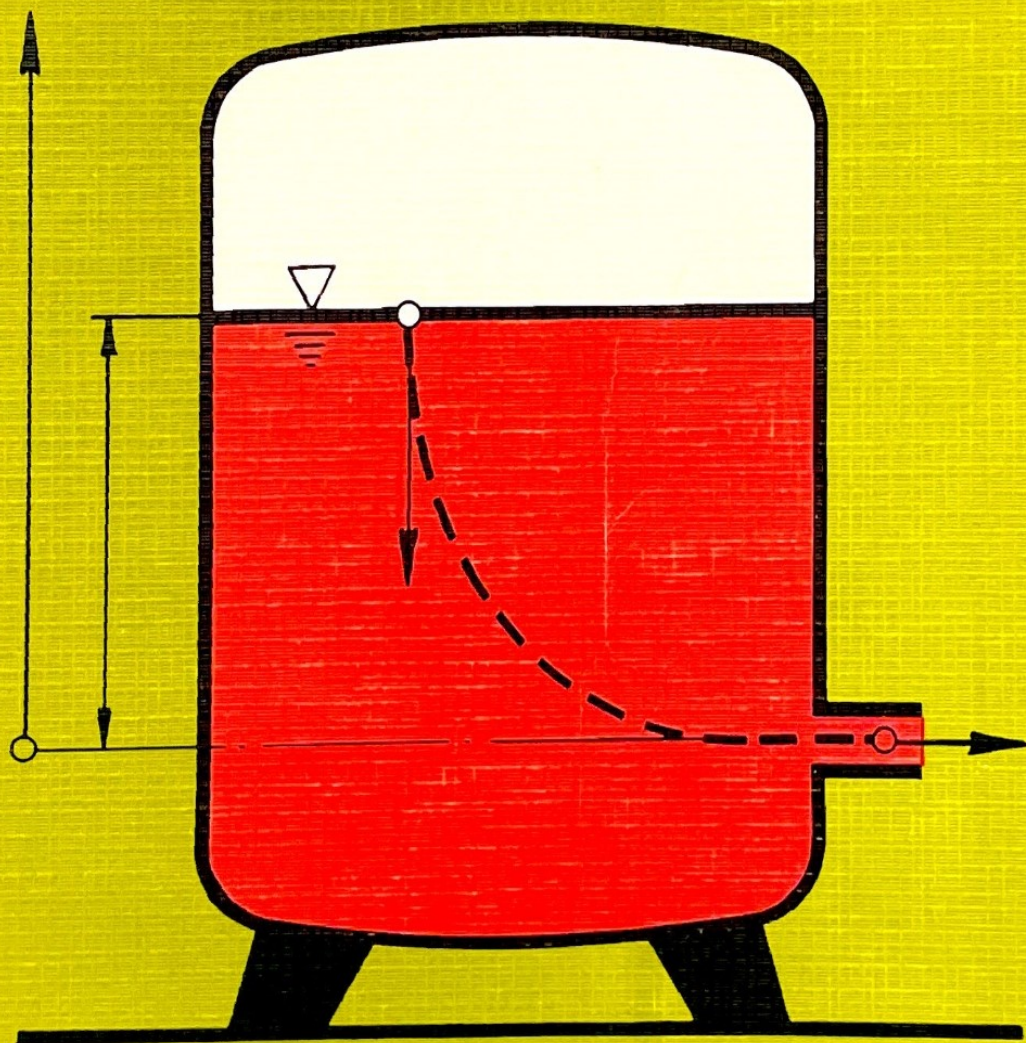


# Fluidmechanik

in Theorie und Praxis

RITTER/TASCA



PHYSIK IN BEISPIELEN

**Fluidmechanik  
in Theorie und Praxis**



# **Fluidmechanik in Theorie und Praxis**

---

von Prof. Dipl.-Ing. Rolf Ritter und Dr. Dan Joan Tasca

Mit 174 durchgerechneten Beispielen  
und 173 Aufgaben mit Lösungen

1979

VERLAG HARRI DEUTSCH  
THUN · FRANKFURT/MAIN



ISBN 3-87144-515-0

© Verlag Harri Deutsch, Thun 1979

Alle Rechte vorbehalten

Herstellung: Fuldaer Verlagsanstalt GmbH, Fulda

Printed in Germany

## V O R W O R T

Langjährige Lehrerfahrung veranlaßte die Verfasser, das Angebot an Theoriebüchern, Beispiel- und Aufgabensammlungen über Fluidmechanik (Hydro- und Aerostatik, Hydrodynamik, Gasdynamik) durch folgende Konzeption der Stoffdarbietung zu ergänzen:

- Den einzelnen Stoffbereichen wird jeweils ein kurzgefaßter, aber in seinen Ableitungen vollständiger Theorieblock vorangestellt.
- Die Lösungswege sind ausführlich gehalten; sie enthalten auch notwendige physikalische Erklärungen.
- Mathematische Begriffe der Fluidmechanik werden dem Leser dadurch verdeutlicht, daß der diesbezügliche physikalische Hintergrund besonders hervorgehoben wird.

Mit diesem Buch wird der Zweck verfolgt, eine praxisbezogene Einführung in die Fluidmechanik zu geben. Die sogenannte Praxisbezogenheit soll aber nicht mißverstanden werden, daß den Leser etwa rezeptartig zurechtgeschnittene oder katalogisierte Anwendungsbeispiele erwarten. Im Gegenteil. Die Verfasser sehen ihre Aufgabe darin, dem Leser vor allen Dingen theoretisches Handwerkszeug zu liefern, das ihn befähigt, mutig und selbständig Problemlösungen jedweder Art anzusteuern.

Man muß in der Technik vielfach auf exakte, mathematische Lösungen verzichten, weil beispielsweise Randbedingungen fehlen oder noch kein zufriedenstellendes, mathematisches Beschreibungsmodell existiert. Man muß sich also mit einem Kompromiß, einer Näherungslösung begnügen. Das wiederum verlangt vom Bearbeiter ein breitgefächertes Grundlagenwissen.

Nachdem im Verlaufe eines Studiums physikalische und mathematische Grundlagen beschafft worden sind, soll hiermit gezeigt werden, wie sie in der angewandten Fluidmechanik Verwendung finden. - Aus didaktischen Gründen steht das vollständig durchgerechnete Beispiel im Mittelpunkt der Stoffdarbietung. Es möge sich dabei um numerische oder allgemeine Beispiele handeln, um immer wieder das Arbeiten mit ein paar wenigen Grundlagen vor Augen zu führen.

Das Buch gliedert sich in vier Hauptteile: Fluidspezifische

Grundlagen, Fluidstatik, Fluiddynamik und Gasdynamik.

Im ersten Hauptteil wird das Stoffgebiet der Fluidmechanik abgegrenzt. Weiter werden physikalische Eigenschaften der Fluide zusammengestellt, damit das Verhalten der Fluide (Flüssigkeiten und Gase) verständlich wird.

Der Fluidstatik (Hydro- und Aerostatik) ist ein verhältnismäßig breiter Raum gewidmet. Das erklärt sich einerseits damit, daß sich das Mechanik-Verständnis der Fluidmechanik hierdurch besonders gut vermitteln läßt. Gleichzeitig wird das Gleichgewichts- und Bilanzdenken vorteilhafterweise geschult.

Die Stoffauswahl in der Fluiddynamik erklärt sich aus der Absicht der Verfasser, die praktische Anwendung fluidmechanischer Gesetzmäßigkeiten immer wieder in den Vordergrund zu schieben. Die Gasdynamik kann hier nur in der Art einer knapp gehaltenen Einführung angeboten werden.

Alle Gleichungen verstehen sich als Größengleichungen. Es wird nur im 'Internationalen Maßsystem' gearbeitet. -Vorgeschriebene Symbolnormungen werden weitgehend eingehalten, bis auf einige Abweichungen bei den Geschwindigkeitssymbolen.

Aus Platzgründen wird auf einen umfangreichen Tabellen- und Diagramm-Anhang verzichtet, zumal es in Handbüchern und der einschlägigen Fachliteratur wertvolle Zusammenstellungen dieser Art gibt.

Das Buch wendet sich an Studenten und Berufstätige, die sich in die Fluidmechanik einarbeiten oder ihre Kenntnisse auffrischen und ergänzen wollen.

An dieser Stelle sei Frau R. Ritter ganz herzlich gedankt, weil sie unermüdlich mit großer Sorgfalt sämtliche Abbildungen angefertigt hat.

Gleicherweise ist der Verlagsleitung für das Interesse, das sie dieser Buchkonzeption entgegenbringt, und für die angenehme Zusammenarbeit zu danken.

Die Verfasser sind für Kritik und Anregungen dankbar. Sie hoffen jedoch, daß die getroffene Stoffauswahl akzeptabel ist und daß mit dieser Buchkonzeption eine weitere Art der Wissensvermittlung in der Fluidmechanik gefunden worden ist.

Saarbrücken, im Juni 1979

Rolf Ritter

Dan Tasca

I N H A L T S V E R Z E I C H N I S

T E I L I : G R U N D L A G E N

	Seite
<u>1. Stoffgebiet der Fluidmechanik</u>	1
1.1. Aggregatzustände, Phasen	1
1.1.1. Übersicht	1
1.1.2. Stetigkeit	1
1.1.3. Beispiele	3
1.2. Fluidität	4
1.3. Physikalische Größen	5
1.3.1. Allgemeines	5
1.3.2. Intensive Größen	5
1.3.3. Extensive Größen	5
1.3.4. Spezifische Größen	5
<u>2. Physikalische Eigenschaften der tropfbaren Flüssigkeiten</u>	8
2.1. Masse	8
2.2. Druck	8
2.3. Kompressibilität, Schallgeschwindigkeit	8
2.3.1. Theorie	8
2.3.2. Beispiele	10
2.4. Schwere	13
2.4.1. Theorie	13
2.4.2. Beispiel	14
2.5. Gasgehalt und Kavitation	14
2.5.1. Theorie	14
2.5.2. Beispiele	16
2.6. Zähigkeit	19
2.6.1. Theorie	19
2.6.2. Rheologischer Überblick	19
2.7. Freie Oberfläche und Mischbarkeit	21

	Seite
2.8. Kapillarität	22
2.8.1. Theorie	22
2.8.2. Beispiele	25
2.9. Wärmeeigenschaften	32
2.9.1. Theorie	32
2.9.2. Beispiele	33
3. <u>Physikalische Eigenschaften der Gase</u>	35
3.1. Gemeinsame Eigenschaften der Flüssigkeiten und Gase	35
3.2. Leichtgewichtigkeit	35
3.3. Ausdehnbarkeit und Diffusion	35
3.4. Kompressibilität, Schallgeschwindigkeit	36
3.5. Wärmeeigenschaften	36
3.5.1. Zustand, Zustandsgröße, Zustandsänderung	36
3.5.2. Isobare Zustandsänderung	37
3.5.3. Isochore Zustandsänderung	37
3.5.4. Isotherme Zustandsänderung	37
3.5.5. Druckenergie	38
3.5.6. Allgemeine Zustandsgleichung	38
3.5.7. Wärmeaustausch, spezifische Wärme	39
3.5.8. Innere Energie	39
3.5.9. Enthalpie	39
3.5.10. Erster Hauptsatz der Thermodynamik	40
3.5.11. Polytrope Zustandsänderung	41
3.5.12. Adiabate Zustandsänderung	42
4. <u>Klassifikation der Kräfte in der Fluidmechanik</u>	42

T E I L   I I :   F L U I D S T A T I K
---

5. <u>Einführung in die Hydro- und Aerostatik</u>	44
5.1. Ruhezustand	44
5.2. Gleichgewichtsgleichungen	44
5.2.1. Vektorielle Schreibweise	44
5.2.2. Kartesische Schreibweise	44
5.3. Druckkräfte als Stützreaktionen	44
5.3.1. Skalare Natur des Druckes, erster Pascalscher Hauptsatz	44



5.3.2. Orientierung einer Druckkraft	46
5.4. Potentialfunktion einer Massenkraft	46
5.4.1. Druckgradient	46
5.4.2. Gaußscher Integralsatz	46
5.4.3. Bedeutung der Potentialfunktion	48
5.5. Allgemeine Druckformel	49
6. <u>Druckformel in der Hydrostatik</u>	49
6.1. Sonderfall für inkompressible Flüssigkeiten	49
6.2. Sonderfall für inkompr. u. schwere Flüssigk.	50
6.3. Zweiter Pascalscher Hauptsatz	52
6.4. Sonderfall für inkompressible Flüssigkeiten unter Vernachlässigung der Erdschwere	52
6.5. Beispiele	53
7. <u>Berechnung der Druckkräfte in der Hydrostatik</u>	70
7.1. Allgemeines	
7.2. Druckkräfte auf ebene offene Flächen	71
7.2.1. Theorie	71
7.2.2. Beispiele	71
7.3. Druckkräfte auf gekrümmte offene Flächen	83
7.3.1. Theorie	83
7.3.2. Beispiele	83
7.4. Druckkräfte auf geschlossene Flächen	99
7.4.1. Bei isobarer Umgebung	99
7.4.2. Bei schwerer Umgebung	99
8. <u>Hydrostatischer Auftrieb und Schwimmzustand</u>	99
8.1. Hauptsatz von Archimedes	99
8.2. Vertikalbewegungen und Schwimmen	101
8.3. Stabilität des Schwimmzustandes (Satz v. Dupin)"	
8.4. Beispiele	108
9. <u>Das relative Gleichgewicht</u>	130
9.1. Absolut-, Fahrzeug- und Relativbewegung	130
9.2. Dynam. Grundgesetz für die Relativbewegung	133
9.3. Relatives Gleichgewicht	133
9.4. Beispiele	134

10. <u>Aerostatik</u>	166
10.1. Theorie	166
10.2. Beispiele	168

T E I L   I I I :   F L U I D D Y N A M I K
---

11. <u>Grundbegriffe der Dynamik vollkommener Fluide</u>	179
11.1. Definitionen und Klassifikationen	179
11.1.1. Allgemeines	179
11.1.2. Strombahnen, Stromlinien, Stromfaden, Stromröhren	181
11.1.2.1. Theorie	181
11.1.2.2. Beispiel	185
11.1.3. Beschleunigungen	189
11.1.3.1. Theorie	189
11.1.3.2. Beispiel	191
11.2. Kontinuitätsbedingung	193
11.2.1. Für Stromröhre bei stationärer Strömung	193
11.2.2. Für Volumenbereich bei stationärer Strömung	197
11.2.3. Stromfunktion von Stokes	199
11.2.4. Kontinuitätsbedingung bei insta- tionärer Strömung	201
11.2.5. Beispiele	204
11.3. Wirbelbewegung	211
11.3.1. Wirbelvektor, Wirbellinie, Wirbel- fläche, Wirbelschicht	211
11.3.2. Wirbelrohr, Wirbelintensität, Zirkulation, Wirbelfaden	215
11.3.3. Wirbelkern, Potentialbewegung, indu- zierte Geschwindigk., Potentialwirb.	218
11.3.4. Beispiele	222
12. <u>Die Bewegung der vollkommenen Fluide</u>	226
12.1. Bewegungsgleichungen	226

12.2. Bernoulli- und Energieformel (erweiterte Bernoulli-Formel)	227
12.2.1. Theorie	227
12.2.2. Beispiele	233
12.3. Impulssätze (Euler)	265
12.3.1. Kräfte	265
12.3.2. Momente	269
12.3.3. Beispiele	270
13. <u>Potentialbewegung</u>	298
13.1. Einführung	298
13.2. Ebene Potentialbewegung	298
13.3. Konforme Abbildung	300
13.4. Beispiele	301
14. <u>Wasserstoß</u>	317
14.1. Theorie	317
14.2. Beispiel	318
15. <u>Grundbegriffe der Dynamik reeller Fluide</u>	319
15.1. Allgemeines	319
15.2. Mechanische Ähnlichkeit	320
15.2.1. Theorie	320
15.2.2. Beispiel	321
16. <u>Die Bewegung der reellen Fluide</u>	324
16.1. Bewegungsgleichungen	324
16.1.1. Bewegung nach Couette	324
16.1.2. Bewegung nach Hagen-Poiseuille	326
16.1.3. Allgemeine Bewegungsgleichungen	328
16.1.4. Gleichungen von Navier-Stokes	329
16.2. Grenzschichten	330
16.2.1. Bewegungsgleichungen im Grenzschichtbereich	330
16.2.2. Physikalische Betrachtungen	333
16.3. Experiment von Reynolds, Laminarität, Turbulenz	334
16.4. Turbulente Grenzschicht, Einfluß der Oberflächenrauigkeit	336

17. <u>Bernoulligleichung mit Dissipationen</u>	337
17.1. Theorie	337
17.2. Anwendungen	342
17.2.1. Lokale und lineare Dissipationen in Rohrleitungen	342
17.2.2. Dissipationen in Kanälen und Flüssen	
17.2.2.1. Einführung	346
17.2.2.2. Beispiele	348
17.2.3. Rohrleitungsnetze	350
17.2.3.1. Einführung	350
17.2.3.2. Beispiele	350
18. <u>Fluidodynamischer Auftrieb und Widerstand</u>	354
18.1. Theorie	354
18.2. Beispiele	355
19. <u>Beispiele aus dem Gebiet der Strömungsmaschinen</u>	359
19.1. Energieformel im Pumpenfall u.a.	359
19.2. Definitionen von Strömungsgeschwindigkeiten	360
19.3. Geschwindigkeitsdreiecke, Hodograf u.a. für Pumpenstufe radialer Bauart	362
19.4. Bernoulliformel für Relativströmung	365
19.5. Eulersche Pumpenhauptgleichung u.a.	365
19.6. Ähnlichkeitsmechanik im Strömungsmaschinen- bau	368

T E I L   I V :   G A S D Y N A M I K
---------------------------------------

20. <u>Grundbegriffe der Gasdynamik</u>	370
20.1. Einführung	370
20.2. Thermodynamisches Verhalten der Gase	371
20.2.2. Allgemeines	371
20.2.2. Arbeit der Druckkraft und Druck- arbeit (Volumen- und Druckänderungs- arbeit)	373
20.2.3. Wärme	375
20.2.4. Entropie	376

20.2.5. Zweiter Hauptsatz der Thermodynamik	377
20.2.6. Berechnung von Zustandsänderungen und kalorischer Arbeit	380
21. <u>Eindimensionale Bewegung</u>	382
21.1. Kontinuitätsgleichung	382
21.2. Schallgeschwindigkeit	382
21.3. Bernoulligleichung	383
21.3.1. Theorie	383
21.3.2. Beispiele	384
21.4. Energieformel	404
21.4.1. Theorie	404
21.4.2. Beispiel	406
21.5. Impulssätze	409
21.5.1. Theorie	409
21.5.2. Beispiele	409
22. <u>Zweidimensionale Bewegung</u>	416
22.1. Theorie	416
22.2. Beispiele	417
LITERATURVERZEICHNIS	429
SACHVERZEICHNIS	431



E L Z E I C H E N, MASSEINHEITEN

SI-Einheit	Bedeutung	Symbol	SI-Einheit
$m^2$	Fläche, Querschn.	K	-
$m/s^2$	Beschleunigung,	k	l
	massenspez. Kraft	k	$m^3/(kg \cdot s^2)$
J	Anergie	k	$N/m^2 = Pa$
m	Breite	k	m
J/kg	spezifische Aner.		
m	Breite	$k_s$	m
m/s	Absolutgeschwind.	L	m
J/(kg.K)	spez. Wärme	l	m
m	Durchmesser	M	-
-	Druckmittelpunkt	Me	-
m	Durchmesser	Ma	-
-	Dimension von ..	M	Nm
J	Energie	m	kg
$N/m^2 = Pa$	E-Modul	m	kg/s
J	Exergie	n	l
J/kg	spez. Energie	$\vec{n}$	l
J/kg	spez. Exergie	n	m
N	Kraft	P	W
$N/kg = m/s^2$	Feldbeschleunig.	$p_o$	$N/m^2$
$N/m^2$	Schubmodul		
$m/s^2$	Erdbeschleunig.	p	$N/m^2$
-	Gradient von ..	Q	J
m	Höhe		
J	Enthalpie	q	J/kg
m	Höhe, Tiefe		
J/kg	spezif. Enthalpie	R	$\Omega$
$m^4$	Flächenträg-	R	$J/(kg \cdot K)$
	heitsmoment	R	m
kg.m/s	Impuls	r	m
N	Impulsstrom	r	J/kg
$kg \cdot m^2$	polares Massen-	S	- ; $m^2$
	trägheitsmoment		
A	el. Strom	SA	-
l	Einheitsvektor	s	m
l	rel. Spiegelgef.	s	$J/(kg \cdot K)$
l	Einheitsvektor	T	K

SI-Einheit	Bedeutung	Symbol	SI-Einheit
s	Schwingungsdauer	$\delta$	m
(°C)	Temperaturangabe	$\varepsilon$	-
s	Zeit	$\varepsilon$	l
m	benetzter Umfang	$\zeta$	l
V	el.Spannung		
J	innere Energie	$\eta$	Ns/m <sup>2</sup>
J/kg	spez.innere En.		
m/s	Umfangsgeschwind.	$\theta$	grad
m <sup>3</sup>	Volumen	$\alpha$	l
m <sup>3</sup> /s	Volumenstrom	$\lambda$	grad
m/s	Fahrzeuggeschw.	$\lambda$	l
m <sup>3</sup> /kg	spez.Volumen		
J = Nm	Arbeit	$\mu$	l
J/kg	spez.Arbeit	$\nu$	m <sup>2</sup> /s
m	abs.,kartes.Koord.	$\rho$	kg/m <sup>3</sup>
m	relative,kart.K.	$\Sigma$	-
J/kg=m <sup>2</sup> /s <sup>2</sup>	spez.Arbeit oder	$\sigma$	N/m <sup>2</sup> =Pa
	spez.Leistung	$\tau$	N/m <sup>2</sup> =Pa
m	abs.,kartes.Koord.	$\tau_s$	N/m
m	relative,kart.K.	$\Phi$	m <sup>2</sup>
	komplexe Zahl	$\varphi$	l
	konj.-kompl.Zahl	$\varphi$	grad
m	abs.,kartes.Koord.	$\varphi$	m <sup>2</sup> /s
m	relative,kartesische Koordinate	$\chi$	m <sup>2</sup> /s
		$\psi$	m <sup>2</sup> /s
l	Absorptionskoeff.	$\psi$	l
l/K	Längenausd.koeff.		
grad	Winkel	$\omega$	l/s
l/s	Winkelgeschw.		
l/s <sup>2</sup>	Winkelbeschl.		
grad	Winkel		
l/K	Volumenausdehnungskoeff.f.Fl.		
m <sup>2</sup> /s	Zirkulation		
grad	Winkel		
l/K	Drückkoeffizient		
l/s	Schergeschwindigkeit		
grad	Winkel		
grad	Winkel		



## TEIL I : GRUNDLAGEN

### 1. STOFFGEBIET DER FLUIDMECHANIK

#### 1.1. Aggregatzustände, Phasen

##### 1.1.1. Übersicht

Ein Stoff kann bei gleicher chemischen Beschaffenheit drei verschiedene physikalische Erscheinungsformen aufweisen: Man kennt seinen festen, flüssigen und gasförmigen Zustand. Das sind die drei klassischen Aggregatzustände.

Unter Phasen verstehe man homogene Bereiche eines heterogenen Systems. So spricht man von der festen, flüssigen oder gasförmigen Phase eines Stoffes, wenn die Aggregatzustände eines Stoffes nebeneinander in einem System bestehen können.

Die beiden Aggregatzustände "flüssig" und "gasförmig" schreibt man heutzutage Medien zu, die gemeinhin FLUIDE genannt werden.

In Natur und Technik gibt es auch Zwischenzustände, die mit Hilfe der drei klassischen Aggregatzuständen nicht genügend genau erfaßt sind. Eine erweiterte Klassifikation zeigt Bild 1-1.

Außer der dichten Festphase sind alle übrigen fließbar. Solche Medien sind aber Gegenstand der Fließkunde, die allgemein Rheologie heißt. Die Fluidmechanik gehört demzufolge zur Rheologie; gleichzeitig ist sie ein beliebtes Anwendungsgebiet der mathematischen Physik, und zwar als Teil der Kontinuumsmechanik (Stetigkeitsmechanik).

##### 1.1.2. Stetigkeit

Sie soll in dreifacher Hinsicht kurz erläutert werden: geometrisch, mechanisch und molekularphysikalisch.

Ein Raum, wenn er noch so klein ist (z.B.:  $1 \text{ mm}^3$ ), enthält eine dreifache Unendlichkeit ( $\infty^3$ ) geometrischer Punkte, die einen stetigen, geometrischen Raum ( $R^3$ ) bilden.

Ein Raum (z.B.:  $1 \text{ mm}^3$ ) enthält eine dreifache Unendlichkeit ( $\infty^3$ ) materieller Punkte, die einen stetigen, materiellen (mechanisch kontinuierlichen) Raum bilden.

Ein Raum (z.B.:  $1 \text{ mm}^3$ ) enthält eine große Anzahl von Molekülen, die

Phase	Beschreibung	Verformbarkeit	Beispiele
Festphase	dicht	starr	Granit
		elastisch verformbar	Stahl
		plastisch verformbar	Stahl, Pech
	körnig		Split
	pulverig		Mehl
	festes Dispersionsmittel mit gasf. disperser Phase		fester Schaum
Plastische Phase	festes Disp.mittel mit flüssiger Phase		fester Schaum
	festes Disp.mittel mit fester Phase		festes Sol
		plastisch verformbar	Schlamm, Pasten, Harze, Pech
Flüssige Phase	tropfbare Flüssigkeiten und ihre homogenen Mischungen	etwas elastisch verformbar	Wasser, Alkohole, Öle, Emulsoide
	Flüssigkeiten mit körnigen/pulverigen Festphasen gemischt	etwas elastisch verformbar	Suspensioide
	Flüssigkeiten mit Gasblasen	elastisch verformbar	Mineralwässer, Schaum
Gasphase	reine Gase und ihre homogenen Mischungen	kompressibel	Helium, Luft
	Gas mit Staub gem.	"	Aerosole, Rauch
	Gas mit Tropfen gem.	"	Aerosole, Nebel, Wolken
	Dämpfe	"	Naßdampf, Sattdampf, Heißdampf
Plasma	homogen	elastisch verformbar	Leuchtstoffröhren Lichtbogen



einen unstetigen (diskontinuierlichen), materiellen Raum bilden. Diese Wirklichkeit steht im Gegensatz zur Voraussetzung der Kontinuumsmechanik und damit eben auch zur Fluidmechanik.

Beispiele im folgenden Abschnitt lassen die Molekülanzahl abschätzen und damit die Größenordnung des Fehlers abgrenzen, wenn man die Fluidmechanik als Quasi-Kontinuumsmechanik betreibt.

Praktischerweise genügt es, davon auszugehen, daß eine Fluidphase quasi-stetig ist.

In Bild 1-1 findet man Phasen, die keineswegs als quasi-stetig angesehen werden dürfen. - Beispielsweise Flüssigkeiten, mit körnigen Festphasen oder mit Gasblasen gemischt, sowie Gase, die mit Staub oder Tropfen angereichert sind, lassen sich nicht als quasi-stetige Medien behandeln. - Mischungen dieser Art gehören zu rheologischen Phasen, die kein Behandlungsgebiet der Fluidmechanik abgeben.

Fluidphasen sind ausnahmslos massenbehaftet. - Beim Plasma sind die elektromagnetischen Kräfte wesentlich, wogegen die Massenkräfte vernachlässigbar sind (Gegenstand der Magneto-Hydrodynamik).

Nunmehr erfolgt für die weiteren Abhandlungen die Definition eines Fluids: Ein Fluid ist ein quasi-stetiges, massenbehaftetes Medium, das von selbst leicht und relativ schnell fließt.

### 1.1.3. Beispiele

Die folgenden drei Beispiele dienen dazu, dem Leser zu verdeutlichen, daß in technischer Hinsicht die Annahme der Quasi-Stetigkeit gerechtfertigt ist.

1. Beispiel: Der Wasserstoff ist das leichteste Gas, das man kennt. Es ist zu zeigen, wieviele Wasserstoffmoleküle sich in  $1 \text{ mm}^3$  befinden.

Lösung: Aufgrund der Avogadroschen Zahl befinden sich in 1 Mol Wasserstoff  $6,023 \cdot 10^{23}$  Moleküle. Das Molvolumen für den Normzustand ( $p_N = 1,015 \text{ bar}$ ;  $T_N = 273 \text{ K}$ ) ist mit  $22,414 \cdot 10^6 \text{ mm}^3$  anzugeben. - Damit ergibt sich für ein Volumen von  $1 \text{ mm}^3$  eine Molekülanzahl von  $2,687 \cdot 10^{16}$ .

Übrigens gilt diese Anzahl auch für Luft!

2. Beispiel: Das Wasser ist die gewöhnlichste Flüssigkeit. Das Dichteverhältnis von Wasser zu Luft beträgt im Normzustand 773,5. - Wieviele Wassermoleküle befinden sich in  $1 \text{ mm}^3$ ?

Lösung: Näherungsweise läßt sich mit Hilfe des Dichteverhältnisses die Molekülanzahl von Wasser angeben zu :  
 $773,5 \cdot 2,687 \cdot 10^{16} = 2,08 \cdot 10^{19}$  pro Kubikmillimeter.

3.Beispiel: Das Quecksilber ist die bislang schwerste Flüssigkeit. Da seine Dichte mit  $13\,590 \text{ kg/m}^3$  etwa 13,59mal größer ist als diejenige des Wassers, kann man folgendermaßen zur

Lösung gelangen:  
 $13,59 \cdot 2,08 \cdot 10^{19} = 2,83 \cdot 10^{20}$  Quecksilbermoleküle pro Kubikmillimeter.

Im gesamten Gebiet der Fluidmechanik trifft man demzufolge in einem Kubikmillimeter zwischen  $2,687 \cdot 10^{16}$  und  $2,83 \cdot 10^{20}$  Moleküle an!-Die Annahme des stetigen materiellen Körpers bzw. Mediums enthält einen Fehler, der wohl sehr gering sein wird, wenn man die riesige Anzahl der Moleküle ansieht. Der größte Fehler kommt im Falle des Wasserstoffs vor, weil dabei die geringste Molekülanzahl im Kubikmillimeter zu verzeichnen ist.-Bedenkt man zudem, daß ein Wasserstoffmolekül ein Volumen von  $2,26 \cdot 10^{-22} \text{ mm}^3$  und ein Quecksilbermolekül ein Volumen von  $13,97 \cdot 10^{-21} \text{ mm}^3$  besitzen, dann ist es gestattet, das Fluidmolekül für einen materiellen Punkt zu halten und die Molekülmenge als ein quasi-stetiges Medium (trotz der Intermolekularräume) in der Fluidmechanik anzusehen.

## 1.2. Fluidität

Unter Fluidität versteht man die Eigenschaft eines Stoffes, in der Fluidphase von selbst und relativ schnell zu fließen.-Die Ursache der Fluidität ist in der Schwäche der Kohäsionskräfte zu suchen. Bedeutsame Folgerungen der Fluidität sind:

- Fluide haben keine eigene Gestalt, sondern nehmen immer die Form des Behälters an;
- die Berührung der Fluide mit den Behältern wird in zweifach unendlich vielen Kontaktpunkten ( $\infty^2$ ) erreicht;
- Fluide übertragen keine elastischen Beanspruchungen infolge von Zug, Biegung, Torsion und Scherung;
- Fluide können nur elastische Druckbeanspruchungen übertragen;
- die Reibung hat bei Fluiden einen anderen Charakter als bei Festkörpern (vgl. Abschn. 2.6.1 und 15.1);

- die Drehbewegung der Fluidteilchen hat einen anderen Charakter als bei Festkörpern (vgl. Abschn. 11.3).

Die zur Fluidität gegenteilige Stoffeigenschaft heißt Zähigkeit (Viskosität).

### 1.3. Physikalische Größen

#### 1.3.1. Allgemeines

Physikalische Größen beschreiben qualitativ und quantitativ die Zustände und Zustandsänderungen von physikalischen Systemen. Beispiele für Zustände: die Temperatur  $T$ , der Druck  $p$ , die Kraft  $F$ , das Moment  $M$  u.a. - Beispiele für Änderungsgrößen von Zuständen: die Arbeit  $W$ , die Wärmemenge  $Q$  u.a.

Eine physikalische Größe läßt sich qualitativ durch ihre Eigenschaften beschreiben. Die Gesamtheit der Eigenschaften bringt ihre physikalische Natur zum Ausdruck.

Quantitativ wird eine physikalische Größe beschrieben durch das Produkt: Maßzahl  $\times$  Maßeinheit !

Physikalische Größen sind nur dann miteinander vergleichbar, wenn sie von identischer physikalischer Natur sind. Man kann beispielsweise nur Temperaturen miteinander vergleichen. - Ansonsten sind sie bestenfalls analog zueinander.

#### 1.3.2. Intensive Größen

Sind physikalische Größen von der Masse unabhängig, dann nennt man sie intensive Größen. Als Beispiele sind zu erwähnen: die absolute Temperatur  $T$ , die Länge  $L$ , die elektrische Spannung  $U$  u.v.a.m. -

#### 1.3.3. Extensive Größen

Sind physikalische Größen von der Masse abhängig, dann heißen sie extensive Größen. Als Beispiele sind anzuführen: die Kraft  $F$ , das Drehmoment  $M$ , die Energie  $E$ , die Arbeit  $W$ , die Leistung  $P$  u.a.

#### 1.3.4. Spezifische Größen

In der Fluidmechanik und in der Thermodynamik ist es üblich, physikalische Größen auf die Fläche, das Volumen oder die Masse zu beziehen. Dadurch entstehen die sogenannten spezifischen Größen.

Spezifische Größen sind gleichzeitig auch intensive Größen, sofern sie durch Relativierung mit der Masse entstanden sind.-Hierzu einige Beispiele:

#### Dichte

Der aus einem System herausgegriffene und besonders untersuchte Bereich heißt Kontrollraum. Er dient zur Abgrenzung einer bestimmten Materienmenge.-Hat ein Kontrollraum das Volumen V und enthält er die Masse m, dann nennt man das Verhältnis

$$\rho_m = m / V \quad (1-1)$$

seine mittlere Dichte. (Man könnte auch von der Volumendichte der Masse sprechen).-Der genaue Wert der Dichte in einem Punkt des Kontrollraumes wird als Grenzwert

$$\rho = \lim_{\Delta V \rightarrow 0} \Delta m / \Delta V = dm / dV \quad (1-2)$$

verstanden.-Weil der Kehrwert davon, nämlich das

#### spezifische Volumen ( v )

als massenspezifische Größe eine intensive Größe ist, muß auch die Dichte als intensiv gelten.

#### Druck

Das Verhältnis einer Druckkraft F zur normal dazu liegenden Fläche A heißt

$$p_m = F / A \quad (1-3)$$

und wird mittlerer Druck genannt.-Der genaue lokale Wert ist als Grenzwert anzugeben:

$$p = \lim_{\Delta A \rightarrow 0} \Delta F / \Delta A = dF / dA \quad (1-4).$$

Damit präsentiert sich der Druck als spezifische Kraft. Da es gleichgültig ist, wieviel Masse in der Druckzone vorhanden ist, stellt der Druck nicht nur eine spezifische, sondern auch eine intensive, also massenunabhängige Größe dar.

#### Spezifische Massenkraft

Das dynamische Grundgesetz für die Translation nach Newton lautet:

$$\vec{F} = m \cdot \vec{a} \quad (1-5).$$

Das Verhältnis

$$\vec{a} = \vec{F} / m \quad (1-6)$$

nennt man die mittlere spezifische Massenkraft. Sie ist natürlich von der Art einer Beschleunigung.

### Spezifische kinetische Energie

Die kinetische Energie der Translation

$$E_k = (1/2) \cdot m \cdot c^2 \quad (1-7)$$

wird durch Relativierung mit der Masse zur spezifischen Energie

(K ist Nebensymbol)

$$e_k = (1/2) \cdot c^2 = K \quad (1-8).$$

### Spezifische Druckenergie

Bezieht man die Druckenergie

$$E_d = p \cdot V \quad (1-9)$$

auf die Masse, dann läßt sich für die spezifische Druckenergie schreiben:

$$e_d = \frac{p \cdot V}{m} = p / \rho \quad (1-10).$$

### Spezifische potentielle Energie der Lage

Ein Körper hat aufgrund seines Gewichtes  $F_G$  bezüglich einer Nullniveaulinie eine potentielle Lageenergie von

$$E_p = F_G \cdot h = m \cdot g \cdot h \quad (1-11),$$

wobei  $g$  die lokale Erdbeschleunigung und  $h$  die Höhenlage bedeuten. Der Massenbezug liefert ohne weiteres die spezifische potentielle Energie der Lage

$$e_p = g \cdot h \quad (1-12).$$

### Spezifische Exergie und Anergie der potentiellen Energie der Lage

Zunächst versteht man unter Exergie  $E_x$  den in mechanische Arbeit wandlungsfähige Anteil der Energie  $E$ ; der nicht wandlungsfähige An-



teil der zur Verfügung gestellten Energie heißt Anergie B.-Zusammengefaßt gilt:

$$E = E_x + B \quad (1-13).$$

Jede Energieerscheinungsform ist auf ihren exergetischen und anergischen Anteil hin zu untersuchen, wenn man ihren "Gütegrad" feststellen will.

Ein kurzes Beispiel wird für die potentielle Energie der Lage gezeigt: Die Wasserrfassung für ein Wasserturbinenkraftwerk liegt 100 m über dem Meeresspiegel. Das Krafthaus befindet sich auf 40 m über NN.-Wie groß sind die spezifische Exergie und Anergie?

Lösung:

$$\begin{aligned} e_{p1} &= g \cdot h_1 = 9,81 \cdot 100 = 981 \text{ m}^2/\text{s}^2 = 981 \text{ J/kg} ; \\ e_{p2} &= g \cdot h_2 = 9,81 \cdot 40 = 392,4 \text{ J/kg.} \end{aligned}$$

Nur die Differenz der potentiellen Energie ist zur Wandlung in mechanische Arbeit fähig:

$$e_{xp} = g \cdot (h_1 - h_2) \quad (1-14).$$

Daraus folgt für das Beispiel:

$$e_{xp} = 588,6 \text{ J/kg.}$$

Der Anteil  $e_{p2}$  ist reine Anergie, und zwar in bezug auf das in 40 m über NN liegende Krafthaus:

$$b_p = 392,4 \text{ J/kg.}$$

## 2. PHYSIKALISCHE EIGENSCHAFTEN DER TROFFBAREN FLÜSSIGKEITEN

### 2.1. Masse

Neben der Fluidität besitzen Flüssigkeiten eine Masse, die nie vernachlässigbar ist. Als spezifische Größe kennt man sie bekanntlich als Dichte (vgl. Gl. 1-1 und 1-2).

### 2.2. Druck

Jede Flüssigkeit ist Sitz eines Druckes.-Wenn der Druck in einem Kontrollraum bis auf null abnimmt, dann spricht man von Vakuum.

### 2.3. Kompressibilität, Schallgeschwindigkeit

#### 2.3.1. Theorie

Die Druckelastizität, auch Kompressibilität genannt, von Flüssigkeiten

ist vollkommen, also ohne die Nebenerscheinungen der Hysterese. Zur mathematischen Formulierung dieses Sachverhaltes wird auf das Hooke-

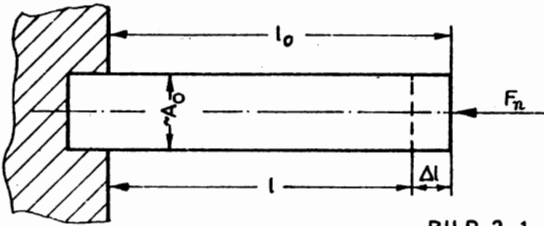


BILD 2-1.

sche Spannungs-Dehnungs-gesetz zurückgegriffen, Bild 2-1. Das negative Vorzeichen im Gesetz

$$\sigma = - E \cdot \epsilon \quad (2-1)$$

weist auf die Druckspannung im Probekörper hin. Das Hookesche Gesetz

läßt sich folgendermaßen weiterentwickeln:

$$\sigma = \frac{F_N}{A_0} = - E \cdot \epsilon = - E \cdot \frac{\Delta l}{l_0} \cdot \frac{A_0}{A_0} = - E \cdot \frac{\Delta V}{V_0}$$

Führt man bei Flüssigkeiten für den Druckunterschied das Symbol  $\Delta p$  ein, dann ergibt sich:

$$\Delta p = - E \cdot \frac{\Delta V}{V_0} \quad (2-2).$$

E hat hier die Bedeutung des Volumenelastizitätsmoduls der Flüssigkeit. -Der Reziprokwert wird Kompressionsmodul k genannt:

$$k = \frac{1}{E} = - \frac{1}{V_0} \cdot \frac{\Delta V}{\Delta p} \quad (2-3).$$

Für reines Wasser beträgt  $E \approx 20\,000 \text{ bar}$ .

In elastischen Medien pflanzen sich geringe Störungen mit Schallgeschwindigkeit fort. Sie stellt demnach eine andere Beschreibungsgröße dar für das elastische Verhalten eines Mediums. -Geht man davon aus, daß der E-Modul und die Dichte eines Mediums die Schallgeschwindigkeit maßgebend beeinflussen, dann erhält man folgenden Zusammenhang:

$$c_s = \sqrt{\frac{E}{\rho}} \quad (2-4).$$

$c_s$  sei das Symbol für die Schallgeschwindigkeit. Der E-Modul ist nur innerhalb gewisser Druck- und Temperaturgrenzen konstant. Messungen der Schallgeschwindigkeit zeigen aber die Abhängigkeit von Druck und Temperatur auf.

### 2.3.2. Beispiele

#### 1. Beispiel

In erster Näherung dürfen die Temperatur- und Druckabhängigkeit des E-Moduls von Wasser linear angenommen werden. Man ermittle:

- die Druckabhängigkeit des E-Moduls, wenn folgende Messungen vorliegen:  $p_{\text{ü}} = 1,015$  bar und  $E = 18\,850$  bar sowie  $p_{\text{ü}} = 6\,700$  bar und  $E = 33\,333$  bar;
- ebenso die Temperaturabhängigkeit bei folgenden Meßwerten:  $T = 273$  K und  $E = 18\,830$  bar sowie  $T = 293$  K und  $E = 20\,050$  bar.
- Durch Superposition der Einzelwirkungen ist die Gleichung  $E = f(T, p_{\text{ü}})$  anzugeben.

#### Lösungen:

- a)  $E = f(p_{\text{ü}})$  : Die zulässige Linearität führt zur nachstehenden Geradengleichung

$$E(p_{\text{ü}}) = 18850 + \frac{33333 - 18850}{6700 - 1,015} \cdot p_{\text{ü}} \quad .$$

Mit  $p_{\text{ü}}$  in bar gilt für Wasser:

$E(p_{\text{ü}}) = 18\,850 + 2,16 \cdot p_{\text{ü}}$

 (2-5) .

- b)  $E = f(T)$  : Mit den dazugehörenden Werten ergibt sich auch in diesem Fall eine Geradengleichung:

$$E(T) = 18850 + \frac{20050 - 18850}{293 - 273} \cdot (T - 273) \quad .$$

$E(T) = 18\,850 + 60 \cdot (T - 273)$

 (2-6) .

- c)  $E = f(p_{\text{ü}}, T)$  : Durch Superposition der beiden Teilgleichungen erhält man schließlich mit  $p_{\text{ü}}$  in bar und  $T$  in K:

$E(p_{\text{ü}}, T) = 18\,850 + 2,16 \cdot p_{\text{ü}} + 60 \cdot (T - 273)$

 (2-7) .

#### 2. Beispiel

Während der Dichtigkeitsprobe eines starren Behälters vom Inhalt  $V_0 = 20 \text{ m}^3$  wird der Druck von 35 bar auf 12 bar zurückgenommen. - Wieviel  $\text{m}^3$  Wasser sind dabei dem Behälter zu entnehmen, wenn der E-Modul des Wassers mit  $E = 20\,700$  bar angegeben wird?

Lösung:

Die Volumenabnahme läßt sich aus Gl.(2-2) ermitteln:

$$\underline{\underline{\Delta V = - \frac{\Delta p \cdot V_0}{E} = - \frac{(35-12) \cdot 20}{20\,700} = - 0,022 \text{ m}^3 \quad .}}$$

3.Beispiel

Um wieviel Prozent nimmt die Dichte des destillierten Wassers bei konstanter Temperatur zu, wenn der Druck, vom Atmosphärendruck  $p_0 = 1,015$  bar ausgehend, um 1000 bar erhöht wird?

Lösung:

Mit Hilfe der Gleichung (2-5) erhält man zunächst für den E-Modul  $E(p_u) = 18\,850 + 2,16 \cdot 1000 = 21\,000$  bar; bekanntlich besteht zwischen Masse, Dichte und Volumen nach Gl.(1-1) im Mittel der Zusammenhang:  $m = \rho \cdot V$ . Durch logarithmische Differentiation ergibt sich folgender Ausdruck:

$$\ln m - \ln \rho - \ln V = 0$$

$$\frac{dm}{m} = \frac{d\rho}{\rho} + \frac{dV}{V} \quad .$$

Bedenkt man zudem, daß die an der Zustandsänderung beteiligte Masse konstant bleibt, dann ergibt sich mit  $dm = 0$  sofort:  $-dV/V = d\rho/\rho$ . Diesen Zusammenhang verwertet man in Gl.(2-2), weshalb sich sodann angeben läßt, und zwar für endliche Differenzen:

$$\frac{\Delta \rho}{\rho} = \frac{\Delta p}{E} = \frac{1000}{21\,000} = 0,0476 \quad .$$

Die Dichte steigt demnach um 4,76 %.

4.Beispiel

In einem starren Behälter befinden sich  $50 \text{ m}^3$  Wasser.-Wie ändert sich das Wasservolumen, wenn der Druck um 100 bar steigt?

Lösung:

Aus Gl.(2-5) folgt für den E-Modul:  $E(p_u) = 18850 + 2,16 \cdot 100 = 19066$  bar.

Aus Gl.(2-2) erhält man ohne weiteres:

$$\Delta V = - \frac{\Delta p \cdot V_0}{E} = - \frac{100 \cdot 50}{19066} = - 0,256 \quad .$$

Es stellt sich eine Volumenänderung von  $\Delta V = - 0,256 \text{ m}^3$  ein.

### 5. Beispiel

Man bestimme den Elastizitätsmodul einer Flüssigkeit, wenn man bei einer Druckzunahme von 10 bar eine Volumenverringerng von  $0,002 \text{ m}^3$  festgestellt hat; das Anfangsvolumen beträgt  $V_0 = 4 \text{ m}^3$ .

Lösung:

Durch Verwendung von Gl.(2-2) läßt sich angeben:  $E = - \frac{\Delta p \cdot V_0}{\Delta V} = - \frac{10 \cdot 4}{(-0,002)}$ .  
Der E-Modul beträgt:

$$\underline{\underline{E = 20\,000 \text{ bar.}}}$$

### 6. Beispiel

Man bestimme die Dichte von Meerwasser  $\rho_2$  in einer Tiefe, wo ein Überdruck von 40 bar vorherrscht. Die Dichte an der Wasseroberfläche wird mit  $\rho_1 = 1035 \text{ kg/m}^3$  angegeben; der mittlere E-Modul beträgt  $E = 20700 \text{ bar}$ .

Lösung:

Die Gl.(2-2) liefert folgende Beziehung:

$$\Delta p = - E \cdot \frac{\Delta V}{V_0} = - E \cdot \frac{V_2 - V_1}{V_1} = - E \cdot \left( \frac{V_2}{V_1} - 1 \right) . \text{ Einen anderen Zu-}$$

sammenhang liefert die Massengleichheit der beiden Zustände:

$$m = \rho_1 \cdot V_1 = \rho_2 \cdot V_2 \quad : \quad V_2/V_1 = \rho_1 / \rho_2 \quad ; \text{ aus diesen bei-}$$

den Angaben läßt sich formulieren:

$$\rho_2 = \frac{1}{1 - \Delta p/E} = \frac{1035}{1 - 40/20700} \quad ; \quad \text{die Dichte beträgt } \underline{\underline{\rho_2 = 1037 \text{ kg/m}^3}} .$$

Zum gleichen Ergebnis wäre man auch mit der in Beispiel 3 gezeigten Lösungsmethode gelangt.

### 7. Beispiel

Wie hoch ist die Schallgeschwindigkeit durch das reine Wasser bei folgenden Zuständen:

- a) Druck  $p = 1,015 \text{ bar}$ ,  $E = 18850 \text{ bar}$ ,  $\rho = 1000 \text{ kg/m}^3$ ;
- b) Druck  $p = 1,015 \text{ bar}$ ,  $E = 20000 \text{ bar}$ ,  $\rho = 998 \text{ kg/m}^3$  ?

Lösungen:

- a) Die Schallgeschwindigkeit errechnet sich in diesem Fall einfach mit Gl.(2-4):

$$\underline{c_s} = \sqrt{E/\zeta} = \sqrt{1,885 \cdot 10^9 / 1000} = \underline{1\,373\text{ m/s}}.$$

b) Der angegebene Lösungsweg ergibt hier:

$$\underline{c_s} = \sqrt{2 \cdot 10^9 / 998} = \underline{1\,419,5\text{ m/s}}.$$

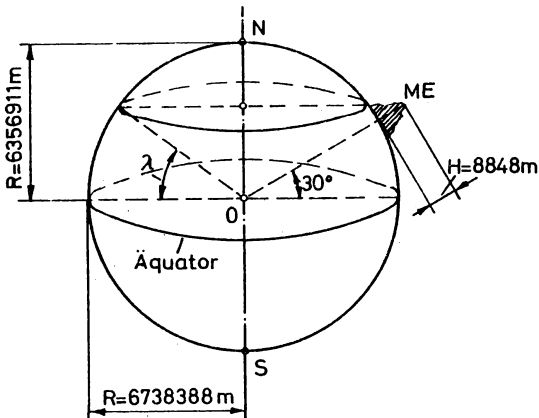
## 2.4. Schwere

### 2.4.1. Theorie

Die tropfbaren Flüssigkeiten werden deshalb für schwere Fluide gehalten, weil in einer Vielzahl von Problemen ihre Gewichtskräfte in der Größenordnung der Druckkräfte liegen. Nur wenn der statische Druck ungewöhnlich groß ist, dürfen Gewichtskräfte vernachlässigt werden, wie z.B. bei Bewegungsvorgängen durch Strömungsmaschinen. Die Schwerkraft ist eine Massenkraft und wird berechnet mit:

$$\vec{F}_G = \int_{(m)} \vec{g} \cdot dm = \int_{(V)} \vec{g} \cdot \zeta \cdot dV \quad (2-8),$$

wobei  $dm$  das Massendifferential,  $\zeta$  die Dichte,  $V$  das Volumen und  $\vec{g}$  die Erdbeschleunigung bedeuten. - Die Erdbeschleunigung  $\vec{g}$  beinhaltet nicht nur die reine Massenanziehungskraft (Gravitationskraft), sondern



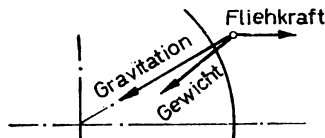
sie berücksichtigt auch die Fliehkraftwirkung aufgrund der täglichen Erdrotation, Bild 2-2. - Die Erdbeschleunigung ist abhängig vom Abstand des Massenpunktes zum Erdmittelpunkt. Diesen Sachverhalt kann man auch über die geographische Breite und die Höhe  $H$  über Meereshöhe angeben:

$$g = 9,806059 - 0,025028 \cdot \cos 2\lambda - 1,15 \cdot 10^{-6} \cdot H$$

(2-9).

$H$  in m,  $g$  in  $\text{m/s}^2$ ,  $\lambda$  in  $\text{grad}$ .

BILD 2-2.



## 2.4.2. Beispiel

Wie schwer ist  $1 \text{ m}^3$  Wasser:

- a) am Äquator ( $\lambda = 0^\circ$ ) und auf Ozeanniveau ( $H = 0$ ) ;
- b) am Nordpol ( $\lambda = 90^\circ$ ) und Ozeanniveau ( $H = 0$ ) ;
- c) auf dem Mount Everest ( nördliche Breite  $\lambda = 30^\circ$ ,  $H = 8848 \text{ m}$  ) ?

### Lösungen:

- a) Mit Gl.(2-9) erhält man für die lokale Erdbeschleunigung:

$g = 9,806059 - 0,025028 \cdot \cos 0^\circ = 9,781031 \text{ m/s}^2$ , womit nun das Gewicht lautet, und zwar unter Verwendung von Gl.(2-8):

$$\underline{F_G = \rho \cdot g \cdot V = 1000 \cdot 9,781031 \cdot 1 = 9\,781,031 \text{ N}} ;$$

- b) ebenso erhält man:  $g = 9,806059 - 0,025028 \cdot \cos 180^\circ$

$$g = 9,831087 \text{ m/s}^2 \quad \text{und}$$

$$\underline{F_G = 9\,831,087 \text{ N}} .$$

- c) Für diesen Punkt erhält man:

$$g = 9,806059 - 0,025028 \cdot \cos 60^\circ - 1,15 \cdot 10^{-6} \cdot 8848$$

$$g = 9,783369 \text{ m/s}^2 ;$$

$$\underline{F_G = 9\,783,369 \text{ N}} ,$$

also nur wenig mehr als am Äquator auf Ozeanniveau.

## 2.5. Gasgehalt und Kavitation

### 2.5.1. Theorie

Tropfbare Flüssigkeiten lösen umso mehr Gase, je höher der auf dem Flüssigkeitsspiegel lastende Gasdruck ist und je niedriger die Flüssigkeitstemperatur liegt. - Im anderen Fall des Druckabfalls und der Temperaturzunahme werden die gelösten Gase wieder allmählich frei!- Die Gasabgabe wird natürlich immer von einer geringen Dampfabgabe begleitet, und zwar in Folge von Verdunstung. Beim Siedepunkt entstehen im Inneren der Flüssigkeit Dampfblasen, die wirbelnd aufsteigen und den angefüllten Dampf in die Umwelt ablassen. Im Zustand des Siedens ist die Löslichkeit von Gasen null!- Die mit der Dampfblasenbildung und dem Freiwerden gelöster Gase verbundenen Effekte, besonders in der Nähe fester Wände, werden als HOHLRAUMBILDUNG oder KAVITATION bezeichnet. - Erscheinungen, die man alle in Verbindung mit der Kavitation bringt, sind vielfältiger Art, wobei einige noch nicht vollständig geklärt sind.

1. Effekt: Die Stetigkeit der tropfbaren Flüssigkeit verschwindet; deshalb verlieren Gesetzmäßigkeiten, welche die Stetigkeit zur Voraussetzung haben, ihre Gültigkeit.

2. Effekt: Die austretenden Gase sind anfangs einatomig. Sofern also z.B. Luft gelöst war, wird der einatomige Sauerstoff besonders korrosiv wirken! - Neben Oxiden wird es auch zu Karbonaten kommen, weil die Kohlensäure als instabil bekannt ist. Bei eisenhaltigen Wänden wird sich demzufolge leicht Rost bilden können, der eine Mischung aus Eisenoxiden und Eisenkarbonaten darstellt.

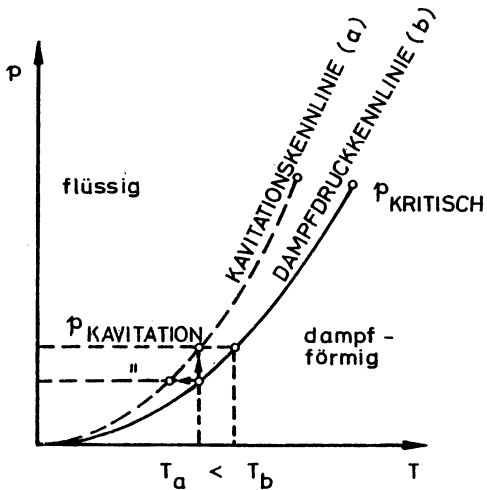


BILD 2-3.

3. Effekt: Gelangen die Dampfblasen in Zonen niedrigeren Druckes, dann kann es zu lokalen Dampfexplosionen mit hohem Temperaturabfall kommen, was sich auf feste Wände stark erosiv auswirken kann.

4. Effekt: Ebenso können Dampfblasen in Gebiete höheren Druckes gelangen, wobei sich dann Implosionen einstellen mit ebenfalls verheerenden Materialzerstörungen der umgebenden festen Wände. Neben dieser Art von Erosion stellt sich dabei der

5. Effekt ein: Die lokalen hohen Drücke komprimieren das eingeschlossene Gas und/oder den Dampf derart, daß Temperaturerhöhungen von einigen 1000 K keine Seltenheit sind. Dadurch kann es örtliche Schmelzvorgänge geben.

6. Effekt: Die Kavitation ist von einer starken Lärmentwicklung begleitet.

7. Effekt: Es ist nicht ausgeschlossen, daß auch Ultraschallwellen eine Rolle spielen, die ebenfalls schlimme Beschädigungen metallischer Wände verursachen können (Strukturveränderungen!).

8. Effekt: Da die Hohlräume stark ionisierte Zonen sind, kommt es zu plasmadynamischen Erscheinungen: Man kann im Laboratorium sogar Funken feststellen. Es ist noch nicht geklärt, ob es



sich um Glühfunken wegen der hohen Temperatur oder um elektrische Funken handelt. Auf jeden Fall werden auch hierdurch metallische Flächen zerstört.

Die Kavitationsempfindlichkeit einer Flüssigkeit wird durch die Kavitationskennlinie der Flüssigkeit gegeben. Ihr qualitativer Verlauf wird in Bild 2-3 (Kurve a) gezeigt. - Der Zusammenhang zwischen Dampfdruck und Temperatur einer reinen Flüssigkeit heißt Dampfdruckkurve (Bild 2-3, Kurve b). - Sind Gase in der Flüssigkeit gelöst (absorbiert), dann setzt bei einer bestimmten Temperatur die Verdampfung schon bei einem etwas höheren auf der Flüssigkeit lastenden Außendruck ein. Bezüglich eines bestimmten Außendruckes, der natürlich niedriger als der kritische Druck sein muß, setzt die Verdampfung bereits bei einer niedrigeren Temperatur ein :  $T_a < T_b$  .

## 2.5.2. Beispiele

### 1. Beispiel

- a) Wieviel Sauerstoff ( $O_2$ ) und Stickstoff ( $N_2$ ) enthält 1 kg Wasser im Zustand von  $p_0 = 1,015$  bar und  $T_0 = 273$  K ? - Die Anteile sind als Massenteile zu verstehen. - Für die Lösung werden noch angegeben:

Definition des Absorptionskoeffizienten

$$\alpha = m_{\text{Gas}} / m_{\text{Flüssigkeit}} \quad (2-10).$$

Absorptionskoeffizient für Sauerstoff/Wasser bei Normaldruck

$$\alpha_{O_2} = 0,04115 - 1,09 \cdot 10^{-3} \cdot (T-273) + 22,56 \cdot 10^{-6} \cdot (T-273)^2 \quad (2-11).$$

Absorptionskoeffizient für Stickstoff/Wasser bei Normaldruck

$$\alpha_{N_2} = 0,020346 - 0,53887 \cdot 10^{-3} \cdot (T-273) + 11,156 \cdot 10^{-6} \cdot (T-273)^2 \quad (2-12).$$

Da die Luft bezüglich der Masse aus 20,96 % Sauerstoff und 79,04 % Stickstoff besteht, lautet der diesbezügliche Absorptionskoeffizient für Luft/Wasser:

$$\alpha_{\text{Luft}} = 0,2096 \cdot \alpha_{\text{O}_2} + 0,7904 \cdot \alpha_{\text{N}_2} \quad (2-13).$$

- b) Weiterhin sind die relativen Massenanteile des im Wasser gelösten Sauerstoffs und Stickstoffs zu ermitteln;  
c) ebenso für die in Luft vorhandenen Anteile.

Lösungen:

a) Gelöste Sauer- und Stickstoffmengen:

Aus den Gl.(2-11) und (2-12) folgt für den Fall, daß die Gase einzeln vorhanden sind:

$\alpha_{\text{O}_2} = 0,04115$  und  $\alpha_{\text{N}_2} = 0,020346$ . -Somit ergibt sich mit Gl. (2-13) der Absorptionskoeffizient von Luft in Wasser:

$$\alpha_{\text{Luft}} = 0,2096 \cdot 0,04115 + 0,7904 \cdot 0,020346$$

$$\alpha_{\text{Luft}} = \underbrace{0,008625}_{\text{Sauerstoff-anteil}} + \underbrace{0,0160815}_{\text{Stickstoff-anteil}} = 0,0247065 \approx 2,47\%$$

Die Masse der gelösten Luft ergibt sich mit Gl.(2-10) zu:

$$m_{\text{Luft}} = 0,0247 \cdot l = 0,0247 \text{ kg} = 24,7 \text{ g}.$$

Für den gelösten Sauerstoff erhält man:

$$m_{\text{O}_2} = 0,008625 \cdot l = 0,008625 \text{ kg} = 8,625 \text{ g} ;$$

analog ergibt sich für den gelösten Stickstoff:

$$m_{\text{N}_2} = 0,0160815 \cdot l = 0,0160815 \text{ kg} = 16,082 \text{ g}.$$

b) Relative Massenanteile im Wasser:

Die Verhältnisse für  $\text{O}_2$  :  $0,008625/0,0247065 = 0,349$  und

$\text{N}_2$  :  $0,0160815/0,0247065 = 0,651$

geben die Massenanteile von Sauerstoff und Stickstoff an, die mit der Luft im Wasser gelöst sind.

c) Die in Luft vorhandenen Massenanteile betragen laut Angabe für

$\text{O}_2$  :  $0,2096$  und  $\text{N}_2$  :  $0,7904$ .

Aus den Ergebnissen von b) und c) folgt der Sachverhalt, daß die im Wasser gelöste Luft sauerstoffreicher ist als normale Luft!

## 2. Beispiel

- Wieviel g Luft sind in 1 kg Wasser bei  $p_0 = 1,015$  bar Luftdruck und einer Temperatur von  $T_0 = 293$  K gelöst?
- Man vergleiche den gefundenen Wert mit dem Ergebnis von Beispiel 1a!
- Wie groß ist hierbei der Dampfdruck des Wassers?

### Lösungen:

- Luftgehalt: Den Absorptionskoeffizienten für Luft in Wasser ermittelt man mit Hilfe der Gl.(2-11) bis (2-13):

$$\alpha_{O_2} = 0,047994 \quad \text{und} \quad \alpha_{N_2} = 0,0140310 ;$$

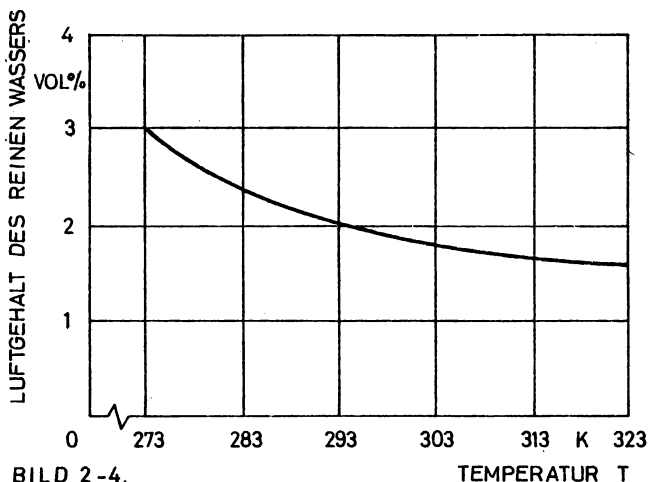
$$\alpha_{\text{Luft}} = 0,02115 .$$

Die Multiplikation mit 1 kg Wasser ergibt nach Gl.(2-10) eine gelöste Luftmasse von  $m_{\text{Luft}} = 21,15$  g .

- Vergleich: Eine Masse von 1 kg Wasser verliert bei einem Temperaturanstieg von 20 K:  $24,7 - 21,15 = 3,55$  g Luft. Nimmt zudem der örtliche Druck ab, dann verstärkt sich dieser Effekt.
- Dampfdruck: Aus der Dampftafel [11] folgt direkt für 293 K  $p = 0,02337$  bar.

## 3. Beispiel

Wieviel  $\text{cm}^3$  Luft enthält 1  $\text{dm}^3$  Wasser beim Atmosphärendruck  $p_0 = 1,015$  mbar und einer Temperatur von  $T_0 = 293$  K ?



### Lösung:

Aus dem Diagramm von Bild 2-4 findet man 2 %, d.h.: In 1000  $\text{cm}^3$  Wasser trifft man 20  $\text{cm}^3$  Luft an.

## 2.6. Zähigkeit

### 2.6.1. Theorie

Bekanntlich ist die Zähigkeit oder Viskosität die der Fluidität entgegengesetzte Flüssigkeitseigenschaft. Sie ist die Ursache für das Widerstandsverhalten bei der fließenden Bewegung. Die Zähigkeitwirkung besteht in der Entstehung von Tangentialkräften, deren Ursache nicht eindeutig geklärt sind. Die Adhäsion zwischen einer festen Wand, die Reibung zwischen Flüssigkeitsschichten und elastische Scherkräfte sind von Einfluß. - Es ist bemerkenswert, daß diese Tangentialkräfte nur bei Geschwindigkeitsunterschieden zwischen Flüssigkeitsschichten untereinander oder zwischen der Flüssigkeit und festen Wänden auftreten.

Flüssigkeiten im definierten Sinne lassen sich bezüglich ihres Reibungsverhaltens durch das Newtonsche Zähigkeitgesetz beschreiben: Die Tangentialkraft  $F_t$  ist umso größer, je größer die Berührungsfläche  $A$  ist, und je höher der Geschwindigkeitsgradient  $\Delta c / \Delta n$  ausfällt, wobei  $\Delta c$  den Geschwindigkeitsunterschied zwischen Wand und Flüssigkeitsschicht abgibt;  $\Delta n$  deutet auf die Schichtdicke hin:

$$F_t = \eta \cdot A \cdot \frac{\Delta c}{\Delta n} \quad (2-14).$$

Der Proportionalitätsfaktor  $\eta$  in  $\text{Ns/m}^2$  ist als dynamische oder absolute Zähigkeit bekannt. - Bezieht man die Tangentialkraft auf die Fläche, dann erhält man die mittlere Tangentialspannung:

$$\tau_m = \frac{F_t}{A} = \eta \cdot \frac{\Delta c}{\Delta n} \quad (2-15).$$

Als Lokalwert gilt:

$$\tau = \eta \cdot \frac{dc}{dn} \quad (2-16).$$

Flüssigkeiten, die sich durch dieses Gesetz beschreiben lassen, nennt man Newtonsche Flüssigkeiten. - Mit Nichtnewtonschen Flüssigkeiten hat man es dann zu tun, wenn ihr Fließverhalten nicht mit Gl. (2-15) beschrieben werden kann. Sie sind Betrachtungsgegenstand der Rheologie. - Man beachte, daß die Flüssigkeitsreibung von der Größe der Berührungsfläche abhängt, nicht aber die Festkörperreibung, s. Gl. (9-17), S. 78 und 140.

### 2.6.2. Rheologischer Überblick

In der Rheologie sind die Tangentialkräfte enger mit der Adhäsion

und den elastischen und plastischen Scherkräften gekoppelt, als es in der Fluidmechanik der Fall ist.

Man kennt in der Rheologie zwei Gesetzmäßigkeiten, welche das tangentielle Spannungsverhalten eines allgemeinen Fluids beschreiben helfen. Einmal bedient man sich des Hookeschen Spannungs-Dehnungs-Gesetzes

$$\tau = \frac{dF_t}{dA} = G \cdot \gamma \quad (2-17),$$

wo  $G$  in Pa oder bar den Schubmodul und  $\gamma$  in rad den Deformationswinkel angeben, Bild 2-5.- Als zweite Gesetzmäßigkeit ist das Newtonsche Schub-

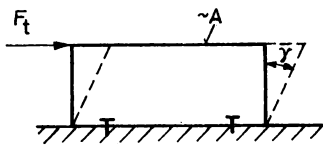


BILD 2-5.

spannungsgesetz zu nennen, das man noch durch Einführung der Schergeschwindigkeit  $\dot{\gamma}$ , die in 1/s gemessen wird, umformen kann:

$$\tau = \eta \cdot \dot{\gamma} \quad (2-18).$$

Da aber bei einem rheologischen Fluid die absolute Zähigkeit nur selten konstant ist, stellt man das Newtonsche Schubspannungsgesetz in der Rheologie folgendermaßen dar:

$$\tau^k = \eta \cdot \frac{d\tau}{ds} = \eta \cdot \dot{\gamma} \quad (2-19);$$

dabei besitzt der Exponent folgende Bedeutung:

$k = 1$  : Es liegt ein Newtonsches Fluid vor.

$k > 1$  : Man spricht hierbei von einer pseudoplastischen bzw. strukturviskosen Phase.

$k < 1$  : Dieser Wert deutet dilatante Phasen an, Bild 2-6, Pos. a.

Die lokale absolute Zähigkeit ist bei dieser Darstellung als Tangentensteigung an die Fließkurven zu verstehen.

Beginnt ein rheologischer Stoff erst dann zu fließen, wenn eine bestimmte Schwellspannung überschritten wird, dann liegt eine Bingham-Phase vor. Von einem Bingham-Stoff ist die Rede, wenn der weitere Fließkurvenverlauf mit  $k = 1$  beschrieben werden kann (Bild 2-6, Pos. b). Weitere Besonderheiten im Fließverhalten rheologischer Stoffe stellt man in der Rheopexie und der Thixotropie fest.-Bei rheopexen Stoffen wächst die Viskosität bei gleichbleibender Scherbeanspruchung mit zunehmender Zeit.-Thixotrope Stoffe zeigen entgegengesetztes Verhalten. Zudem werden auch noch Hysteresereerscheinungen beobachtet.

Andere rheologische Stoffe entwickeln erst dann Tangentialspannungen, wenn die Schergeschwindigkeit einen gewissen Schwellwert erreicht hat (Bild 2-6, Pos. c). Man spricht in diesem Zusammenhang von Ostwald-Phasen.

In diesem Buch werden nur Newtonsche Fluide eingesetzt.

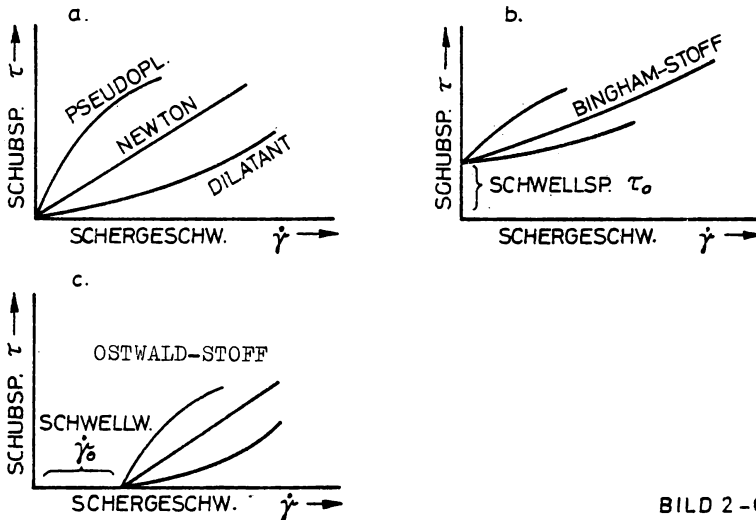


BILD 2-6.

## 2.7. Freie Oberfläche und Mischbarkeit

Manchmal haben tropfbare Flüssigkeiten im Zustand der Ruhe oder der Bewegung eine freie Oberfläche (z.B.: Wasserspiegel), die als Obergrenze des flüssigen Gebietes gilt, auch wenn der Behälter ein größeres Volumen als die Flüssigkeitsmenge hat. Das folgt aus der Unfähigkeit tropfbarer Flüssigkeiten zur elastischen Ausdehnbarkeit. Zusammengebrachte Flüssigkeiten ordnen sich zunächst auf Grund der verschiedenen Dichten übereinander an. Die schwere Flüssigkeit lagert sich unten ab, die leichtere darüber. Zwischen den Flüssigkeiten bildet sich jeweils im Zustand der Ruhe eine ebene Trennebene aus, welche eine ähnliche Rolle spielt wie die freie Oberfläche. Handelt es sich bei zwei sich berührenden Flüssigkeiten um mischbare Flüssigkeiten, dann werden sie sich wegen ihres Diffusionsverhaltens mit der Zeit vermischen; ansonsten bleiben sie getrennt. Man nennt sie dann nichtmischbare Flüssigkeiten.

## 2.8. Kapillarität

### 2.8.1. Theorie

Die Massenanziehungskraft zweier Massen  $m_1$  und  $m_2$  beträgt, wenn ihre Massenmittelpunkte den Abstand  $r$  haben, nach dem Newtonschen Gravitationsgesetz:

$$F_{12} = F_{21} = k \cdot \frac{m_1 \cdot m_2}{r^2} \quad (2-20),$$

wobei  $F_{12}$  die Kraftwirkung der Masse  $m_1$  auf die Masse  $m_2$  bedeutet.  $F_{21}$  stellt die Kraftwirkung der Masse  $m_2$  auf die Masse  $m_1$  dar. Beide Kräfte sind zwar vom gleichen Betrag, aber entgegengesetzt gerichtet.  $k$  heißt Gravitationskonstante und beträgt  $6,67 \cdot 10^{-11} \text{ m}^3/(\text{kg} \cdot \text{s}^2)$ . - Gleiches gilt natürlich auch bezüglich der Anziehungskraft zweier Moleküle, die man Kohäsionskraft nennt, Bild 2-7, Pos. a.

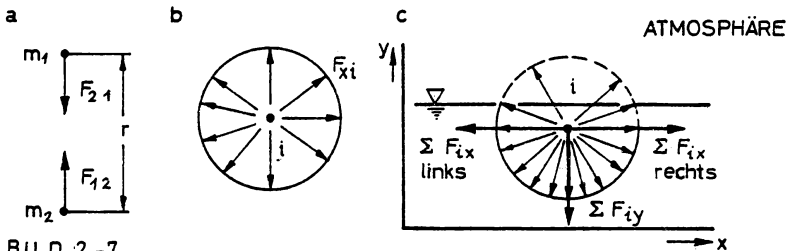


BILD 2-7.

Bild 2-7, Pos. b, will sagen, daß das Molekül Nr.  $i$  im Inneren der Flüssigkeit von allen in einem kugelförmigen Wirkungsbereich befindlichen Molekülen  $x$  angezogen wird und sich deshalb im Gleichgewicht befindet. Damit erklärt sich die leichte Verschieblichkeit der Moleküle im Inneren der Flüssigkeit. Moleküle, die sich in der Nähe der freien Oberfläche befinden, werden luftseitig viel weniger stark angezogen als aus der Flüssigkeit selbst heraus, und zwar wegen der viel geringeren Luftdichte (Bild 2-7, Pos. c). Bildet man die beiden horizontalen Teilresultierenden  $\sum F_{ix}/\text{links}$  und  $\sum F_{ix}/\text{rechts}$ , so gelangt man zu der Einsicht, als ob die freie Oberfläche von Zugkräften beansprucht wäre! - Deshalb heißt das Verhältnis

$$\tau_s = \frac{\sum F_{ix}/\text{links oder rechts}}{s} = \frac{F_L}{s} \quad (2-21)$$

$F_L$  in N stellt eine Linienkraft dar.

Oberflächenspannung, gemessen in N/m. -  $s$  stellt die Länge eines Oberflächenabschnittes dar. - Die Vertikalresultierende  $\sum F_{iy}$  führt, bezogen auf die Oberfläche  $dA$ , zu einer Art Kohäsionsdruck:

$$p_K = \frac{d \sum F_{iy}}{dA} \quad (2-22),$$

der aber an festen Wänden nicht spürbar werden kann.

Der Zusammenhang zwischen diesen Zug- und Druckkraftwirkungen wird besonders bei gekrümmten Oberflächen (z.B.: Tropfen, Meniskus) deutlich, Bild 2-8. Ein elementares, räumlich gekrümmtes Rechteck von den Seitenlängen  $ds_1$  und  $ds_2$  ist herausgezeichnet. Für den Gleichgewichtsfall werden die Zugkräfte auf die  $z$ -Achse projiziert:

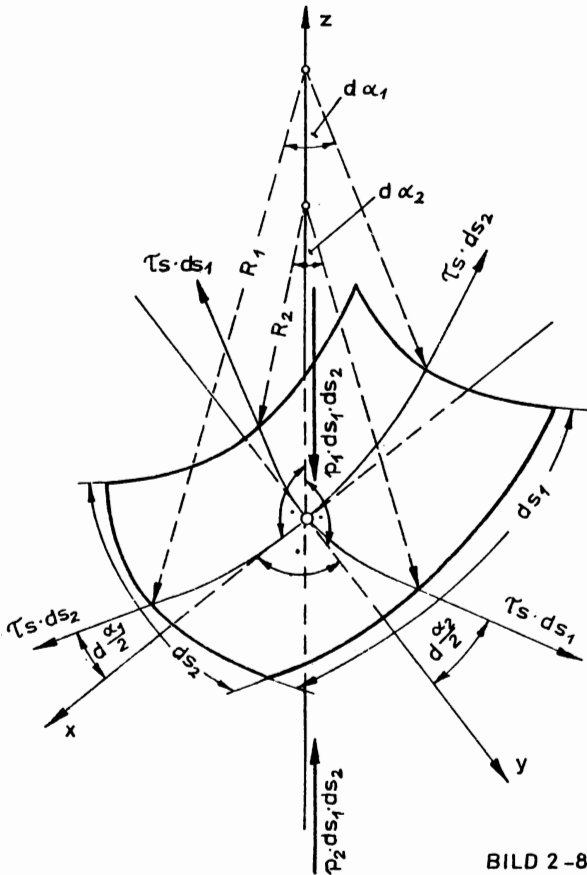


BILD 2-8.

$$\begin{aligned} \sum F_{iz} = & -p_1 \cdot ds_1 \cdot ds_2 + p_2 \cdot ds_1 \cdot ds_2 + 2 \cdot \tau_s \cdot \operatorname{tg}\left(\frac{d\alpha_2}{2}\right) \cdot ds_1 + \\ & + 2 \cdot \tau_s \cdot \operatorname{tg}\left(\frac{d\alpha_1}{2}\right) \cdot ds_2 = 0; \text{berücksichtigt man} \end{aligned}$$

$\operatorname{tg}(d\alpha_1/2) = ds_1/R_1$  und  $\operatorname{tg}(d\alpha_2/2) = ds_2/R_2$ , so läßt sich für den Druckunterschied nach Division durch  $ds_1 \cdot ds_2$  der zusätzliche Krümmungsdruck ermitteln:



$$\Delta p_{Kr} = p_1 - p_2 = \tau_s \cdot (1/R_1 + 1/R_2) \quad (2-23).$$

Er kann auch, ganz im Gegensatz zum Kohäsionsdruck, auch nach außen hin wirksam sein. Der Klammerausdruck entspricht der mittleren Oberflächenkrümmung.

Wenn die "Wirkungskugel" eines Moleküls von zwei Grenzen durchschnitten wird, wie es z.B. in der Nähe einer Wand bei Atmosphärenzutritt der Fall ist, Bild 2-9, Pos. a, dann steigt die Flüssigkeit etwas an der

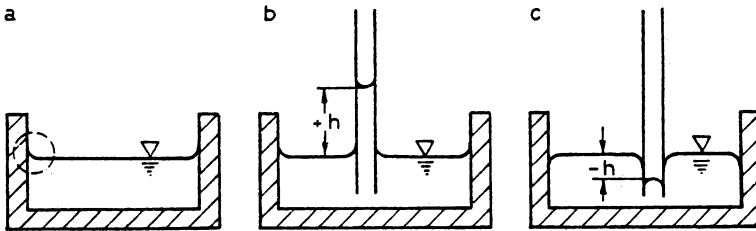


BILD 2-9.

Wand hoch, wenn die Adhäsionskräfte zwischen Wand und Flüssigkeit die Kohäsionskräfte der Flüssigkeit überwiegen, sofern man vom Einfluß der Luftmoleküle absieht. Im anderen Fall bildet sich ein konvexer Flüssigkeitsspiegel in Wandnähe aus (Bild 2-9, Pos. b und c). Die Erscheinung, daß Flüssigkeiten in dünnen Röhrchen (Haarröhrchen) aufsteigen oder in ihnen absinken, heißt bekanntlich Kapillarität. Da hierbei, wie ersichtlich, die Oberflächenspannung die entscheidende Rolle spielt, wird sie auch Kapillarspannung genannt.

Im Zusammenhang mit der Adhäsion und der Kapillarität sind auch andere Flüssigkeitseffekte zu sehen, wie z.B.:

- die Bildung der Tropfen (Stalagmetrie) und kugelige Gestalt;
- die kugelförmige Grenze von Gasblasen in Flüssigkeiten;
- die kugeligen Seifenblasen u.v.a.m.

Der Tropfen im Ruhezustand besitzt deshalb die Gestalt einer Kugel,



Bild 2-10

weil die Oberflächenspannung  $\tau_s$  regelmäßig verteilt ist. Dieser Umstand sichert dem Tropfen eine geometrische Gestalt, wo der flüssige Körper bei einem bestimmten Volumen die geringste Oberfläche besitzt: die Kugelgestalt. Ein fallender Tropfen nimmt bald arodynamische Gestalt an, Bild 2-10.

## 2.8.2. Beispiele

### 1. Beispiel

Im Punkte A treffen Luft und zwei Flüssigkeiten zusammen, Bild 2-11, Pos. a. Die Oberflächenspannungen betragen:

a LAGEPLAN

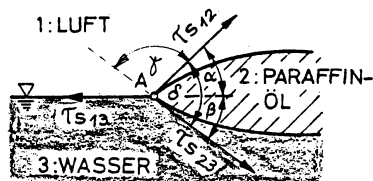
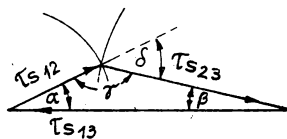


BILD 2-11.

b KRÄFTEPLAN

$$1\text{cm} \hat{=} 10 \cdot 10^{-3} \text{ N/m}$$



$$\begin{aligned} \tau_{sl12} &= 27 \cdot 10^{-3} \text{ N/m (Paraffinöl gegen Luft);} \\ \tau_{sl23} &= 50 \cdot 10^{-3} \text{ " (Paraffinöl gegen Wasser);} \\ \tau_{sl13} &= 72,9 \cdot 10^{-3} \text{ N/m (Wasser gegen Luft).} \end{aligned}$$

Man ermittle den Flankenwinkel  $\delta$  des auf dem Wasser schwimmenden linsenförmigen Öltropfens.

### Lösung:

Die in A befindliche Molekülgruppe ist drei verschiedenen Kräften ausgesetzt; diese Belastung kann auch, auf die Länge bezogen - hier senkrecht zum Bild gedacht -, durch die sogenannte Oberflächenspannungen in der Tendenz ersetzt werden.

Nach der Wahl eines Kräfteplanmaßstabs läßt sich bei den drei gegebenen "Kräften" ohne weiteres der "Kräfteplan" (Stevinus-Dreieck) zeichnen (Bild 2-11, Pos. b). Aus dem Kosinussatz folgt:

$$\tau_{sl13}^2 = \tau_{sl12}^2 + \tau_{sl23}^2 - 2 \cdot \tau_{sl12} \cdot \tau_{sl23} \cdot \cos \gamma \quad . \quad \text{Bedenkt man, daß}$$

$$\alpha + \beta + \gamma = 180^\circ \quad \text{und} \quad \delta + \gamma = 180^\circ \quad \text{gilt, so folgt:}$$

$$\tau_{sl13}^2 = \tau_{sl12}^2 + \tau_{sl23}^2 + 2 \cdot \tau_{sl12} \cdot \tau_{sl23} \cdot \cos \delta \quad .$$

$$\cos \delta = \frac{\tau_{sl13}^2 - (\tau_{sl12}^2 + \tau_{sl23}^2)}{2 \cdot \tau_{sl12} \cdot \tau_{sl23}} \quad (2-24).$$

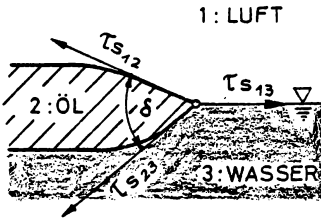
Damit ergibt sich

$$\underline{\underline{\delta = 39,40^\circ}} \quad .$$

## 2. Beispiel

Ein Öltropfen wird auf eine Wasseroberfläche gebracht. - Welcher Flankenwinkel  $\delta$  stellt sich ein, wenn auf der freien Oberfläche der Atmosphärendruck lastet? - Die vermutete Anordnung ist dem Bild 2-12 zu entnehmen. Als Oberflächenspannungen kennt man:

a LAGEPLAN



b KRÄFTEPLAN

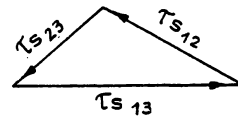


BILD 2-12.

$$\begin{aligned}\tau_{s12} &= 30 \cdot 10^{-3} \text{ N/m} & (\text{Öl gegen Luft}) ; \\ \tau_{s23} &= 20 \cdot 10^{-3} \text{ "} & (\text{Öl gegen Wasser}) ; \\ \tau_{s31} &= 72,9 \cdot 10^{-3} \text{ "} & (\text{Wasser gegen Luft}) .\end{aligned}$$

### Lösung:

Lageplan und qualitativer Kräfteplan (Bild 2-12) weisen den Lösungsweg. Bei der Zeichnung des realen Kräfteplans muß man jedoch feststellen, daß bereits die algebraische Summe der beiden kleinen Dreiecksseiten kleiner ist als die große:  $30 \cdot 10^{-3} + 20 \cdot 10^{-3} < 72,9 \cdot 10^{-3}$  ! - Daraus folgt die Tatsache, daß sich gar kein schließendes Kräftedreieck angeben läßt. Die Oberflächenspannung  $\tau_{s13}$  überwiegt, weshalb eine resultierende Oberflächenspannung den Öltropfen auseinanderzieht: Das Öl breitet sich u.U. bis zu einer molekularen Ölhaut auf der Wasseroberfläche aus. - Dieser dünne Ölfilm bewirkt auch eine Dämpfung der Amplituden von Kapillarwellen auf der Wasseroberfläche.

## 3. Beispiel

In jeder Grenzfläche herrscht eine Oberflächenspannung, auch in der Grenze zwischen einer festen Wand und einer Flüssigkeit oder einem Gas.

Aus Bild 2-13 geht hervor, daß auf einer Glasplatte (3) ein Wassertropfen (2) liegt unter Anwesenheit der Atmosphäre (1). -

Man ermittle den Flankenwinkel  $\delta$ , wenn die Oberflächenspannungen angegeben werden zu:

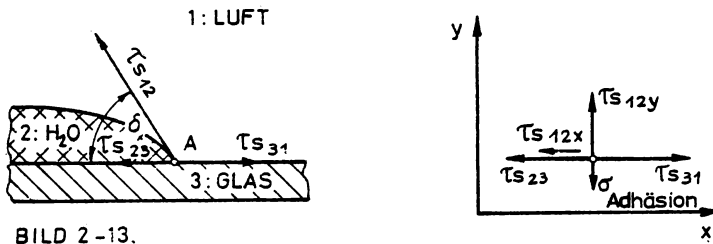


BILD 2-13.

$$\begin{aligned}\tau_{s12} &= 72,9 \cdot 10^{-3} \text{ N/m (Wasser gegen Luft);} \\ \tau_{s23} &= 28 \cdot 10^{-3} \text{ " (Wasser gegen die Wand);} \\ \tau_{s31} &= 90 \cdot 10^{-3} \text{ " (Wand gegen Luft).}\end{aligned}$$

#### Lösung:

Das Kräfte- bzw. Spannungsgleichgewicht in horizontaler Richtung ergibt:

$$\sum \tau_{s1x} = -\tau_{s23} - \cos \delta \cdot \tau_{s12} + \tau_{s31} = 0 \quad ; \text{ damit folgt:}$$

$$\boxed{\cos \delta = \frac{\tau_{s31} - \tau_{s23}}{\tau_{s12}}} \quad (2-25).$$

Mit den angeführten Zahlenwerten entsteht ein Flankenwinkel von

$$\underline{\underline{\delta = 31,7^\circ.}}$$

Die Vertikalkomponente der Oberflächenspannung  $\tau_{s12}$  wird durch Adhäsion von der Wand aus kompensiert!

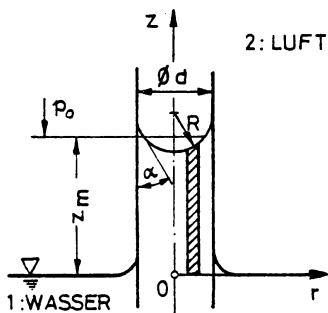
#### 4. Beispiel

Wenn man ein Haarröhrchen in die Oberfläche einer benetzenden Flüssigkeit eintaucht, dann steigt die Flüssigkeit bekanntlich in dem Rohr hoch. Dieser Effekt wird mit Kapillarität bezeichnet (genauer: Kapillaraszension). - Wie hoch steigt nun Wasser in einem Röhrchen, wenn bei  $20^\circ\text{C}$  die Oberflächenspannung bzw. Kapillarkonstante zwischen Rohr und Wasser  $\tau_{s12} = 72,9 \cdot 10^{-3} \text{ N/m}$  beträgt bei einem Durchmesser von  $d = 3 \text{ mm}$ , dem Randwinkel  $\alpha \approx 0$  und der Dichte  $\rho_w = 1000 \text{ kg/m}^3$  und  $\rho_2 \ll \rho_1$ ?

### Lösung:

In Bild 2-14 sind die notwendigen Größen eingetragen. Das Druckgleichgewicht bezüglich eines mittleren Säulenelements beträgt:

LAGEPLAN



DRUCKGLEICHGEWICHT

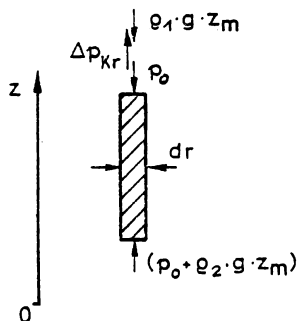


BILD 2-14.

$$\sum p_i = -p_0 + \Delta p_{Kr} - \rho_1 \cdot g \cdot z_m + (p_0 + \rho_2 \cdot g \cdot z_m) = 0 \quad ;$$

zur Berechnung von  $\Delta p_{Kr}$  nach Gl.(2-23) wird vereinfachend  $R_1=R_2$  (kugelliger Meniskus) angenommen, so daß sich  $\Delta p_{Kr}$  unter Beachtung von  $R = d/(2 \cdot \cos \alpha)$  angeben läßt mit:

$$\Delta p_{Kr} = 4 \cdot \tau_s \cdot \cos \alpha / d \quad (2-26).$$

Führt man diesen Wert in die obige Druckgleichgewichtsgleichung ein, dann folgt für die mittlere Steighöhe:

$$z_m = \frac{4 \cdot \tau_{sl2} \cdot \cos \alpha}{d \cdot (\rho_1 - \rho_2) \cdot g} \quad (2-27).$$

Das Einsetzen der Daten ergibt:

$$\underline{\underline{z_m}} = \frac{4 \cdot 72,9 \cdot 10^{-3} \cdot \cos 0^\circ}{0,003 \cdot 1000 \cdot 9,81} = \underline{\underline{0,01 \text{ m}}}.$$

Beachtet man, daß die Größen:  $\tau_{sl2}$ ,  $\alpha$ ,  $g$ ,  $\rho_1$  und  $\rho_2$  unabhängig von den Rohrabmessungen sind, dann kann man doch folgende Zusammenstellung notieren:

$$z_m \cdot d = 4 \cdot \frac{\tau_{sl2} \cdot \cos \alpha}{g \cdot (\rho_1 - \rho_2)} = \text{const} \quad (2-28).$$

Dieser Zusammenhang ist unter dem Namen Jurinsches Gesetz bekannt. Die Jurinsche Konstante lautet für Wasser und Glasrohr bei Anwesenheit atmosphärischer Luft in Abhängigkeit von der Temperatur, wenn man  $d$  und  $z_m$  in mm angibt:

Temperatur in K :	273	283	293	303	313
const in $\text{mm}^2$ :	30,8	30,2	29,7	29,2	28,6

### 5. Beispiel

In einem Kapillarrohr bleibt ein Wasserpfropfen hängen. Man bestimme die mittlere Länge  $h$ , wenn folgende Angaben gemacht werden, Bild 2-15:

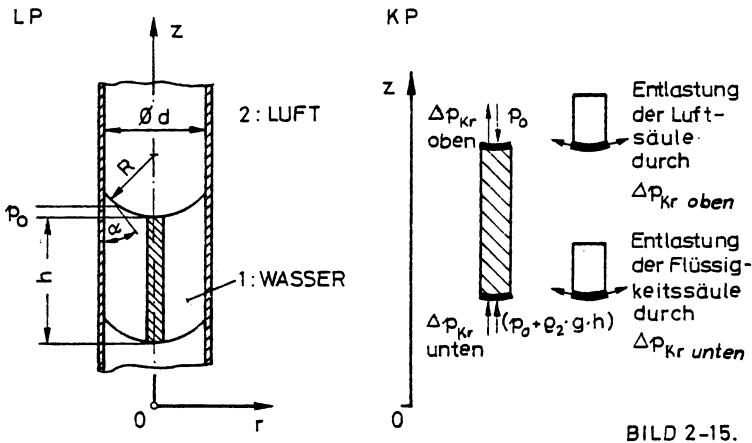


BILD 2-15.

$\tau_{sl2} = 70 \cdot 10^{-3} \text{ N/m}$ ;  $d = 2 \text{ mm}$ ; freie Oberflächen entsprechen Halbkugeln: Randwinkel  $\alpha = 0$ ;  $\rho_W = 1000 \text{ kg/m}^3$ ;  $\rho_{\text{Luft}}$  darf vernachlässigt werden.

### Lösung:

Für einen beliebigen Säulenausschnitt gilt die Druckgleichheit:

$$\sum p_{iz} = -p_0 + \Delta p_{Kr, \text{oben}} - \rho_W \cdot g \cdot h + (p_0 + \rho_{\text{Luft}} \cdot g \cdot h) + \Delta p_{Kr, \text{unten}} = 0.$$

Die Krümmungsdrücke lassen sich vereinfacht mit Gl. (2-26) berechnen. Somit folgt:

Mit Zahlenwerten folgt:

$$\underline{\underline{h = \frac{8 \cdot 70 \cdot 10^{-3}}{0,002 \cdot 9,81 \cdot 1000} = 0,0285 \text{ m}}}$$

### 6. Beispiel

Wird ein Kapillarrohr in eine nicht benetzende Flüssigkeit eingetaucht, so sinkt erfahrungsgemäß der Flüssigkeitsspiegel im Rohr ab (Kapillardepression). - Man bestimme die Absenkung bei Quecksilber ( $\tau_s = 471 \cdot 10^{-3} \text{ N/m}$ ), wobei zudem die Annahme eines halbkugeligen Meniskus zulässig sei. - Rohrdurchmesser  $d = 5 \text{ mm}$ ;  $\rho_{\text{Hg}} = 13\,600 \text{ kg/m}^3$ ;  $\rho_2 \ll \rho_1$  !

### Lösung:

Das Druckgleichgewicht in Höhe N-N, Bild 2-16, lautet:

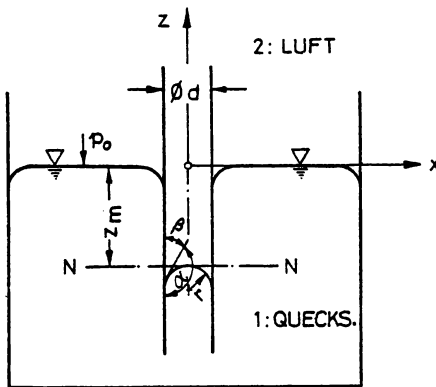


BILD 2-16.

$$\sum p_{iz} = -p_0 - \rho_2 \cdot g \cdot z_m - \Delta p_{Kr} + (p_0 + \rho_1 \cdot g \cdot z_m) = 0$$

Mit Gl. (2-26) und der Annahme, daß der Randwinkel  $180^\circ$  betrage, folgt:

$$\beta^\circ = 180^\circ - \alpha^\circ$$

$$z_m = - \frac{4 \cdot \tau_{s12} \cdot \cos \beta}{d \cdot (\rho_1 - \rho_2) \cdot g} \quad (2-29);$$

in Zahlen:

$$z_m = - \frac{4 \cdot 471 \cdot 10^{-3} \cdot \cos 0^\circ}{0,005 \cdot 13600 \cdot 9,81}$$

$$\underline{\underline{z_m = - 2,8 \text{ mm}}}$$

## 7. Beispiel

Aus einem senkrechten Röhrchen treten am unteren Ende Flüssigkeitstropfen aus. Der Tropfendurchmesser ist kurz vor der Ablösung grösser als der Rohrdurchmesser, Bild 2-17. Beim Losreißen fällt aller-

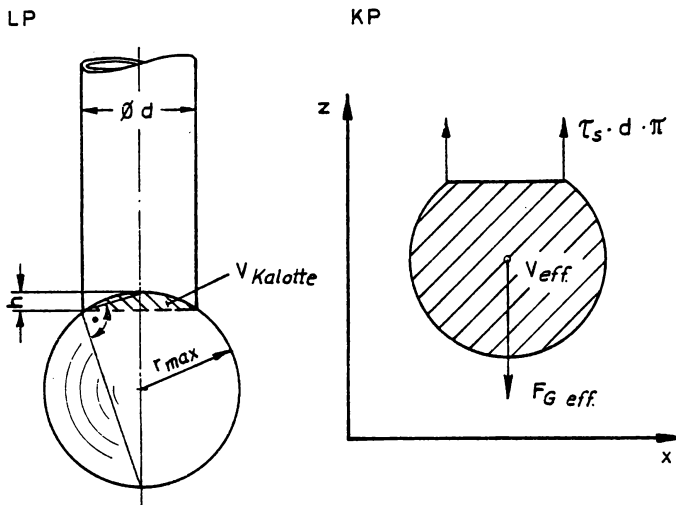


BILD 2-17.

dings nur ein kleinerer Tropfen ab. Der Rest des großen Tropfens bleibt im Rohr zurück. - Experimente ergaben folgende Beziehung zwischen dem Maximalvolumen und dem effektiven Fallvolumen:

$$V_{\text{eff}} = 0,8963 \cdot V_{\text{max}}.$$

Demnach lautet dann die Beziehung zwischen den analogen Tropfenradien:

$$r_{\text{eff}} = 0,9642 \cdot r_{\text{max}}.$$

Durch ein Glasröhrchen fließt Mineralöl ( $d = 3 \text{ mm}$ ;  $\tau_s = 70 \cdot 10^{-3} \text{ N/m}$ ;  $\rho_{\text{Öl}} = 850 \text{ kg/m}^3$ ) und tropft ab. - Man ermittle:

- den effektiven Kugelradius  $r_{\text{eff}}$ ;
- den maximalen Kugelradius nach experimenteller Angabe;
- den relativen Fehler der Volumina, wenn man von der Vorstellung ausgeht, daß das Effektivvolumen des fallenden Tropfens gerade dem Volumen ( $V_{\text{max}} - V_{\text{Kalotte}}$ ) nach Bild 2-17 entspräche.

### Lösungen:

- $r_{\text{eff}}$ : In der Abreißphase setzt man das Tropfengewicht gleich der ringförmig angeordneten Haltekraft infolge der Oberflächenspannung und schreibt:



$$\pi \cdot d \cdot \tau_s = \rho_{G, \text{eff}} = \rho \cdot \rho_{\text{öl}} \cdot V_{\text{eff}} = \rho \cdot \rho_{\text{öl}} \cdot \frac{4}{3} \cdot \pi \cdot r_{\text{eff}}^3 \quad . \text{Damit folgt:}$$

$$r_{\text{eff}} = \sqrt[3]{\frac{d \cdot s \cdot 3}{\rho_{\text{öl}} \cdot g \cdot 4}} = \sqrt[3]{\frac{0,00370 \cdot 10^{-3} \cdot 3}{850 \cdot 9,81 \cdot 4}} = 0,002663 \text{ m} = \underline{\underline{2,663 \text{ mm}}}.$$

b)  $r_{\text{max}}$  :

$$\underline{\underline{r_{\text{max}}}} = r_{\text{eff}} / 0,9642 = 2,663 / 0,9642 = \underline{\underline{2,762 \text{ mm}}}.$$

c)  $\Delta V / V_{\text{eff}}$  :

$$V_{\text{max}} - V_{\text{kal}} = \frac{4}{3} \cdot \pi \cdot r_{\text{max}}^3 - \frac{\pi}{3} \cdot h^2 \cdot (3 \cdot r_{\text{max}} - h) \quad (\text{a}).$$

Mit dem Höhensatz im rechtwinkligen Dreieck ergibt sich nachstehende Hilfsgleichung zur Elimination von h :

$$(d/2)^2 = h \cdot (2 \cdot r_{\text{max}} - h)$$

$$h = r_{\text{max}} - \sqrt{r_{\text{max}}^2 - d^2/4} \quad (\text{b}).$$

Mit den Zahlenwerten erhält man aus (b):

$$\underline{h} = 2,762 - \sqrt{2,762^2 - 3^2/4} = \underline{0,4428 \text{ mm}} ; \text{ nun folgt mit (a):}$$

$$\underline{V_{\text{max}} - V_{\text{kal}}} = \frac{4}{3} \cdot \pi \cdot 2,762^3 - \frac{\pi}{3} \cdot 0,4428^2 \cdot (3 \cdot 2,762 - 0,4428) = \underline{\underline{86,7446 \text{ mm}^3}},$$

$$\underline{V_{\text{eff}}} = \underline{86,6487 \text{ mm}^3} . \text{Damit beträgt der relative Fehler:}$$

$$\underline{\underline{\Delta V / V_{\text{eff}} = 0,11 \%}} .$$

Als Nachtrag zu diesem Beispiel ist zu erwähnen, daß man mit der gezeigten Anordnung die Kapillarkonstante für relativ zähe (rheologische) Medien bestimmt (Stalagmometrie!), wobei es gilt, das Tropfengewicht und den Tropfendurchmesser zu messen. - Auswertungsgleichung hierfür ist die unter Pos. a) angeführte Gleichgewichtsgleichung.

## 2.9. Wärmeeigenschaften

### 2.9.1. Theorie

Die Volumenausdehnung beträgt:

$$\boxed{V_2 = V_1 \cdot (1 + \beta \cdot \Delta t)} \quad (2-30).$$

Es bedeuten:  $V_2$  in  $\text{m}^3$  : Volumen nach der Temperaturänderung;  
 $V_1$  " " : Volumen vor der Temperaturänderung;

$\beta$  in  $1/K$  oder  $1/^{\circ}C$  : Volumenausdehnungskoeffizient;  
 $\Delta T$  oder  $\Delta t$  in  $K$  oder  $^{\circ}C$  : Temperaturdifferenz  $T_2 - T_1$   
oder  $t_2 - t_1$ .

Zu- oder abgeführte Wärmemengen berechnen sich mit der allbekannten Formel:

$$Q = m \cdot c \cdot \Delta t \quad (2-31).$$

Es bedeuten:  $Q$  in  $J$  : Wärmemenge  
 $m$  "  $kg$  : Masse;  
 $c$  "  $J/(kg \cdot K)$  : spezifische Wärme  
 $\Delta T = \Delta t$  : Temperaturdifferenz.

Beginnt eine Flüssigkeit zu siedend, so ist ihr zur Sattedampfbildung die dem herrschenden Druck entsprechende Verdampfungswärme  $r$  in  $J/kg$  zuzuführen. Während der Verdampfung bleibt die Temperatur konstant. Die gleiche Wärmemenge ist bei der entsprechenden Kondensation abzuführen. - Analoges gilt für den Schmelz- bzw. Erstarrungsvorgang.

## 2.9.2. Beispiele

### 1. Beispiel

In einem vertikalen Glasrohr eines Meßgerätes ist Toluol eingefüllt. Man kennt bei  $T_1 = 288 K$  die Dichte des Toluols von  $\rho_1 = 866 kg/m^3$ . Es sind zu ermitteln:

- die Dichte des Toluols bei  $T_2 = 298 K$ , wenn der Volumenausdehnungskoeffizient mit  $\beta_{Toluol} = 1,08 \cdot 10^{-3} 1/K$  angegeben ist;
- die Länge der Toluolsäule bei der Temperatur von  $T_1$ , und zwar für den Fall, daß bei  $T_2$  eine Länge von 200 mm gemessen worden ist.

### Lösungen:

- a)  $\rho_2$  : Man gehe davon aus, daß die Masse des Toluols im Rohr gleichbleibt:  $m = \rho_1 \cdot V_1 = \rho_2 \cdot V_2$  ; damit folgt mit Gl.(2-30):

$$\underline{\underline{\rho_2 = \frac{V_1 \cdot \rho_1}{V_1 \cdot (1 + \beta \cdot \Delta T)} = \frac{\rho_1}{1 + \beta \cdot \Delta T} = \frac{866}{1 + 1,08 \cdot 10^{-3} \cdot 10} = 856,75 kg/m^3.}}$$

- b)  $\underline{\underline{\beta}}$  : Der lineare Ausdehnungskoeffizient  $\alpha$  einer Flüssigkeit darf mit genügender Genauigkeit angenommen werden zu:

$$\boxed{\alpha = \beta / 3} \quad (2-32).$$

Somit errechnet sich die Länge  $l_1$  mit der bekannten Gleichung für die Längenausdehnung eines stabförmigen Körpers:

$$l_2 = l_1 \cdot (1 + \alpha \cdot \Delta T) \quad (2-33)$$

zu:

$$\underline{l_1} = \frac{0,2}{1 + \frac{1}{3} \cdot 1,08 \cdot 10^{-3} \cdot 10} = \underline{\underline{0,1993 \text{ m}}}$$

## 2. Beispiel

Eine Masse von 5 kg Eis wird bei einem Atmosphärendruck von 1 bar, angefangen bei  $-8^\circ\text{C}$ , erwärmt. -Man führe so viel Wärme zu, bis aus dem Eis gerade Sattdampf geworden ist. -Man ermittle:

- die dem Eis zuzuführende Wärmemenge, wenn man die spezifische Wärme des Eises mit  $c_{\text{Eis}} = 2000 \text{ J/(kg}\cdot\text{K)}$  angibt;
- die gesamte Schmelzwärme bei einer spezifischen Schmelzwärme von  $q_s = 0,3336 \cdot 10^6 \text{ J/kg}$ ;
- die Flüssigkeitswärme bis zur Verdampfung mit der spezifischen Wärme  $c_w = 4186 \text{ J/kgK}$ ;
- die bei der Verdampfung zuzuführende Wärme bei einer Verdampfungswärme von  $r = 2,2579 \cdot 10^6 \text{ J/kg}$ ;
- die insgesamt zuzuführende Wärmemenge.

## Lösungen:

- a)  $Q_{\text{Eis}}$  : Im Sinne von Gl. (2-31) folgt:

$$\underline{Q_{\text{Eis}}} = 5 \cdot 2000 \cdot 8 = 80\,000 \text{ J} = \underline{\underline{80 \text{ kJ}}}$$

Alle Einzelvorgänge können qualitativ in Bild 2-18 verfolgt werden.

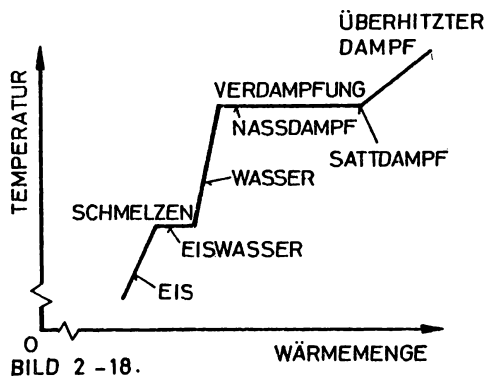


BILD 2 -18.

- b) Q<sub>S</sub> : Die beim Schmelzen aufzuwendende Wärme läßt sich mit

$$\boxed{Q_S = m \cdot q_S} \quad (2-32)$$

angeben zu:

$$\underline{Q_S} = 5.0,3336 \cdot 10^6 = 1,668 \cdot 10^6 \text{ J} = \underline{\underline{1\,668 \text{ kJ}}}.$$

- c) Q<sub>W</sub> : Die Flüssigkeitswärme berechnet sich mit Gl.(2-31) zu:

$$\underline{Q_W} = 5 \cdot 4186 \cdot 100 = 2,093 \cdot 10^6 \text{ J} = \underline{\underline{2093 \text{ kJ}}}.$$

- d) Q<sub>r</sub> : Diese Wärmezufuhr ist mit

$$\boxed{Q_r = m \cdot r} \quad (2-33)$$

zu ermitteln; r in J/kg steht für die Verdampfungswärme.

$$\underline{Q_r} = 5 \cdot 2,2579 \cdot 10^6 = 11,2895 \cdot 10^6 \text{ J} = \underline{\underline{11\,289,5 \text{ kJ}}}.$$

- e) Q<sub>ges</sub> : Durch Aufsummieren ergibt sich:

$$\underline{Q_{ges}} = Q_{Eis} + Q_S + Q_W + Q_r = \underline{\underline{15\,130,5 \text{ kJ}}}.$$

### 3. PHYSIKALISCHE EIGENSCHAFTEN DER GASE

#### 3.1. Gemeinsame Eigenschaften der Flüssigkeiten und Gase

Hier werden nur diejenigen physikalischen Eigenschaften nochmals erwähnt, welche für beide Medien die gleiche Bedeutung haben und durch die gleichen Formalismen beschrieben werden:

die Masse, der Druck und die Zähigkeit .

#### 3.2. Leichtgewichtigkeit

Gasförmige Fluide werden deshalb für leichtgewichtig gehalten, weil in der Mehrheit der Probleme das Verhältnis Gewichts- zur Druckkraft vernachlässigbar ist. Die Gewichtskraft enthält die beiden Faktoren m und  $\vec{g}$  (Gl.2-8), von denen nur die Erdbeschleunigung vernachlässigbar ist, nicht aber die Masse. -Andere Massenkräfte, wie z.B. Fliehkräfte in Strömungsmaschinen, sind nicht mehr zu vernachlässigen.

#### 3.3. Ausdehnbarkeit und Diffusion

Die Gase füllen den ihnen zur Verfügung gestellten Raum völlig aus.

Die Beweglichkeit ihrer Moleküle ist so groß, daß nur dichte Wände die Gase zurückhalten können.-Verschiedene Gase in einem Raum vermischen sich sehr schnell.Diese Erscheinung heißt Diffusion.Es gibt im Gegensatz zu Flüssigkeiten-nur mischbare gasförmige Fluide.

### 3.4. Kompressibilität, Schallgeschwindigkeit

Die Druckelastizität der Gase läßt sich im Prinzip durch den gleichen Formalismus wie bei den Flüssigkeiten beschreiben (Gl.2-2).Ersetzt man in dieser Gleichung die Differenzen durch die entsprechenden Differentiale,so erhält man mit  $dV/V_0 = - d\varrho / \varrho$ , was nach der Ableitung in Beispiel 3, Abschn. 2.3.2, bei konstanter Masse zulässig ist:

$$E = - \frac{V_0}{dV} \cdot dp = \frac{\varrho}{d\varrho} \cdot dp ; \text{ aus der Umformung } \frac{E}{\varrho} = \frac{dp}{d\varrho}$$

läßt sich sofort in Anlehnung an Gl.(2-4) die Schallgeschwindigkeit in Gasen notieren:

$$c_s = \sqrt{\frac{dp}{d\varrho}} \quad (3-1).$$

Mit dieser Geschwindigkeit breiten sich in einem Medium relativ schwache Störungen aus.-Bei Gasen ist die Schallgeschwindigkeit von der während der Ausbreitung sich einstellenden Zustandsänderung abhängig.

### 3.5. Wärmeeigenschaften

#### 3.5.1. Zustand, Zustandsgröße, Zustandsänderung

Alle Momentanwerte physikalischer Größen, welche ein System (einen abgegrenzten Raum) beschreiben, kann man pauschaliert Zustand nennen.

Physikalische Größen heißen dann Zustandsgrößen, wenn sie wegunabhängig sind; das soll bedeuten: Es ist gleichgültig, auf welche Art und Weise der Momentanwert dieser physikalischen Größe erreicht worden ist.- Differentielle Änderungen von Zustandsgrößen dürfen deshalb, mathematisch gesprochen, als totale Differentiale verstanden werden: Ihr Integral stellt sich einfach als Differenz zwischen Anfangs- und Endwert dar (Linienintegral!). Den Übergang von einem Zustand zum anderen nennt man Zustandsänderung. Dabei sind verschiedenartige Übergänge denkbar.

### 3.5.2. Isobare Zustandsänderung

Im gesamten Kontrollbereich gilt  $p(x,y,z) \equiv \text{const}$ . Den Zusammenhang zwischen Volumen- und Temperaturänderung bei konstantem Druck, Bild 3-1, Pos. a, gibt das Gay-Lussacsche Gesetz an:

$$V_2 = V_1 \cdot (1 + \beta \cdot \Delta T) \quad (3-2).$$

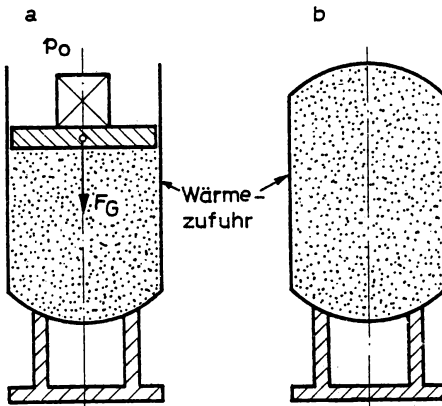


BILD 3-1

Es bedeuten:

$V_1$  in  $\text{m}^3$ : Volumen am Anfang;  
 $V_2$  " " : " " Ende;  
 $\beta$  "  $1/\text{K}$ : Volumenausdehnungskoeffizient für ideale Gase;  
 $\Delta T$  "  $\text{K}$ : Temperaturdifferenz.

### 3.5.3. Isochore Zustandsänderung

Im gesamten Kontrollbereich gilt  $\rho(x,y,z) \equiv \text{const}$ . Bleibt das Volumen konstant, ändern sich aber Druck und Temperatur, dann gilt das Charlesche Gesetz (Bild 3-1, b):

$$p_2 = p_1 \cdot (1 + \gamma \cdot \Delta T) \quad (3-3).$$

Es bedeuten:

$p_2$  in  $\text{Pa}$ : Druck nach der Zustandsänderung;  
 $p_1$  " " : " vor " " ;  
 $\gamma$  "  $1/\text{K}$ : Druckkoeffizient, der bei idealen Gasen nach Untersuchungen von Clapeyron gleich dem Volumenausdehnungskoeffizienten  $\beta$  ist;  
 $\Delta T$  "  $\text{K}$ : Temperaturdifferenz.

### 3.5.4. Isotherme Zustandsänderung

Überall im Kontrollbereich gilt  $T(x,y,z) \equiv \text{const}$ . Den Zusammenhang von Volumen- und Druckänderung bei konstanter Temperatur findet man

im Boyle-Mariotteschen Gesetz:

$$p_1 \cdot V_1 = p_2 \cdot V_2 = p \cdot V = \text{const} \quad (3-4).$$

### 3.5.5. Druckenergie

Das Produkt  $p \cdot V$  ist bereits in Gl.(1-9) als Druckenergie vorgestellt worden. Um von dieser physikalischen Größe eine bessere Vorstellung zu bekommen, wird auf folgenden Sachverhalt hingewiesen:

Ein Gasdruckbehälter, bestehend aus einer elastischen "Ballonhülle", wird mit Gas aufgeladen. Der Druck steigt auf  $p_1$  und das Volumen auf  $V_1$ . - Die hineingesteckte Aufbläharbeit (Verschiebearbeit gegen den Umgebungsdruck + Arbeit gegen den Formänderungswiderstand der Ballonhülle) findet sich als gespeicherte Arbeit, eben als Druckenergie  $p_1 \cdot V_1$  wieder:  $E_{d1} = p_1 \cdot V_1$ . - Entläßt sich der Druckgasbehälter auf  $p_2$ , dann nimmt natürlich wegen des elastischen Behälters auch das Volumen auf  $V_2$  ab. Es bleibt die Druckenergie  $E_{d2} = p_2 \cdot V_2$  zurück. Am Energiespeicher ist eine Kapazitätsänderung von

$$\Delta E_d = p_1 \cdot V_1 - p_2 \cdot V_2 \quad (3-5)$$

vorgenommen worden.

### 3.5.6. Allgemeine Gasgleichung

Die Verbindung der Gl.(3-2) mit Gl.(3-4) führt zur allgemeinen Gasgleichung für ideale Gase, welche den Zusammenhang zwischen den drei thermischen Zustandsgrößen : Druck, Temperatur und Volumen angibt:

$$p \cdot V = m \cdot R \cdot T \quad (3-6).$$

Es bedeuten:

$p$  in Pa : absoluter Druck;  $R$  in  $J/(kg \cdot K)$  : individuelle Gaskonstante;  
 $V$  "  $m^3$  : Gasvolumen;  
 $m$  " kg : Gasmasse;  $T$  " K : absolute Temperatur.

Auf die Masse bezogen, lautet die allgemeine Gasgleichung bzw. die thermische Zustandsgleichung eines idealen Gases:

$$p \cdot v = p / \rho = R \cdot T \quad (3-7).$$

Dabei lautet die Definition für das spezifische Volumen:

$$v = 1 / \rho$$

(3-8).

### 3.5.7. Wärmeaustausch, spezifische Wärme

Für die ausgetauschte Wärmemenge gilt die schon erwähnte Gl.(2-31).- Bei tropfbaren Flüssigkeiten ist die spezifische Wärme fast eine Phasenkonstante. Für Gase gilt das nicht mehr. Entscheidend für die spezifische Wärme ist die Art der Zustandsänderung. In den folgenden beiden Abschnitten werden dahingehend zwei spezielle Zustandsänderungen untersucht: die isochore und die isobare Zustandsänderung bei Wärmezufuhr beispielsweise.

### 3.5.8. Innere Energie

Führt man einem Gas, das in einem starren Behälter eingeschlossen ist, Wärmeenergie zu (Bild 3-1, Pos. b), dann geht die Wärme über in innere Energie des Gases:

$$\Delta U = \int \delta Q$$

$$\Delta U = m \cdot c_v \cdot \Delta T$$

(3-9),

wobei  $\Delta U$  in J die Änderung der inneren Energie,  $m$  in kg die beteiligte Gasmasse,  $c_v$  in J/(kg.K) die spezifische Wärme bei konstantem Volumen und  $\Delta T$  in K die Temperaturdifferenz bedeuten.

### 3.5.9. Enthalpie

Ist ein Gas in einem Behälter eingeschlossen, der einen reibungsfrei gelagerten Deckenkolben besitzt (Bild 3-1, Pos. a), dann wird von der zugeführten Wärmeenergie nicht nur die Temperatur des eingeschlossenen Gases ansteigen, sondern es wird auch Verschiebearbeit verrichtet gegen die Umwelt, und das alles bei konstantem Systemdruck. In Zusammenfassung spricht man von isobarer Wärmezufuhr, die sich in der Enthalpieänderung manifestiert:

$$\Delta H = m \cdot c_p \cdot \Delta T$$

(3-10).

Es bedeuten:

$\Delta H$  in J : Enthalpieänderung;  $m$  in kg : Masse;

$c_p$  " J/(kgK): spezifische Wärme bei isobarer Zustandsänderung  
(das Gas wird hierbei nicht nur wärmer, sondern es muß zudem Verschiebearbeit verrichten! - Deshalb ist  
 $c_p > c_v$  ! ) ;

$\Delta T$  " K : Temperaturdifferenz.



### 3.5.10. Erster Hauptsatz der Thermodynamik

Er stellt die kalorische Form des allgemeinen Energieerhaltungssatzes dar und gibt gleichzeitig die Definition der Wärme an:

$$dQ = dU + p.dV \quad (3-11).$$

Zugeführte Wärme kann sich also aufspalten in die Zunahme der inneren Energie und in einen Verschiebearbeitsanteil. (Arbeit der Druckkraft).

Zum Begriff der Wärme ist kurz noch folgendes zu sagen:

Wärme und mechanische Arbeit sind zwei Möglichkeiten, wie Energie Systemgrenzen überschreiten kann. Wärme tritt nur während des strömenden Überganges auf. Wärme ist also von dynamischer Natur. Von Wärme im Zustand der Ruhe zu sprechen, ist nicht richtig. Demnach kann Wärme auch keine thermodynamische Zustandsgröße sein.

Eine Folgerung des ersten Hauptsatzes der Thermodynamik ist die Robert-Mayersche Gleichung:

$$c_p - c_v = R \quad (3-12).$$

#### Beweis:

Aus dem 1. Hauptsatz folgt z.B. für isobare Wärmezufuhr mit Gl. (3-9):

$$dQ = dm \cdot c_p \cdot dT = (c_v \cdot dT + p \cdot dv) \cdot dm$$

$$c_p = c_v + p \cdot dv/dT ;$$

die differenzierte allgemeine Gasgleichung (Gl. 3-7) lautet:

$$p \cdot dv + v \cdot dp = R \cdot dT ;$$

da  $dp = 0$  ist wegen der isobaren Zustandsänderung, vereinfacht sich dieser Ausdruck zu:  $p \cdot dv = R \cdot dT$ . - Setzt man die Kombination  $p \cdot dv/dT = R$  oben bei  $c_p$  ein, dann ergibt sich die bekannte Beziehung  $c_p - c_v = R$ ! - Die Wichtigkeit dieser Formel besteht u.a. auch darin, daß der erste Hauptsatz der Thermodynamik auch in Abhängigkeit von der Enthalpie angeschrieben werden kann:

$$dq = du + p \cdot dv$$

$$dq = c_v \cdot dT + d(p \cdot v) - v \cdot dp$$

$$dq = c_v \cdot dT + R \cdot dT - v \cdot dp$$

$$dq = (c_v + R) \cdot dT - v \cdot dp = c_p \cdot dT - v \cdot dp$$

$$dq = dh - v \cdot dp$$

(3-13).

### 3.5.11. Polytrope Zustandsänderung

Eine Zustandsänderung, gleich welcher Art, aber mit konstanter spezifischen Wärme ablaufend, wird Polytrope genannt. Im folgenden soll kurz die Formel für eine polytrope Zustandsänderung abgeleitet werden. - Die Gleichungen (2-31), (3-9) und (3-11) ergeben zusammen:

$$dQ = m \cdot c \cdot dT = m \cdot c_v \cdot dT + p \cdot dV$$

$$m \cdot (c - c_v) \cdot dT = p \cdot dV$$

Eliminiert man hier  $dT$  mittels der Differentialform der allgemeinen Gasgleichung:  $dT = (1/R) \cdot (p \cdot dV + v \cdot dp)$ , dann folgt:

$$(1/R) \cdot (c - c_v) \cdot (p \cdot dV + v \cdot dp) = p \cdot dV$$

Durch Trennung der Variablen erhält man nachstehende Differentialgleichung:

$$\frac{c - c_p}{c - c_v} \cdot \frac{dv}{v} + \frac{dp}{p} = 0$$

Sie läßt sich nach Einführung des Polytropenexponenten

$$n = \frac{c - c_p}{c - c_v} = \text{const}$$

(3-14)

einfacher anschreiben:

$$n \cdot \frac{dv}{v} + \frac{dp}{p} = 0$$

Durch Integration bekommt man:

$$n \cdot \ln v + \ln p = \text{const}$$

$$p \cdot v^n = \text{const}$$

(3-15).

Damit läßt sich unter Verwendung von Gl. (3-7) und Gl. (3-8) für die thermischen Zustandsänderungen angeben:

$$\frac{p_2}{p_1} = \left[ \frac{T_2}{T_1} \right]^{\frac{n}{n-1}} = \left[ \frac{v_1}{v_2} \right]^n = \left[ \frac{\rho_2}{\rho_1} \right]^n$$

(3-16).

Es sind hier nur so viele thermodynamischen Grundlagen angeführt worden als zum Verständnis anstehender Beispiele vonnöten sind.

### 3.5.12. Adiabate Zustandsänderung

Steht ein thermodynamisches System nicht im Wärmeaustausch mit seiner Umgebung, dann spricht man von einer adiabaten Zustandsänderung im System.-Mit welchem Polytropenexponenten zu rechnen ist, hängt von den systeminternen Dissipationen ab.

## 4. KLASSIFIKATION DER KRÄFTE IN DER FLUIDMECHANIK

Wenn später Kräftegleichgewichtsbetrachtungen anzustellen sind, dann ist es notwendig zu wissen, welche Kraftarten in der Fluidmechanik von Bedeutung sind, so daß man an Hand einer gewissen Checkliste erkunden mag, ob am freigemachten Objekt alle möglichen Kräfte angesetzt sind. Bild 4-1 gibt einen Überblick.- Kräfte sind bekanntlich als die Ur-

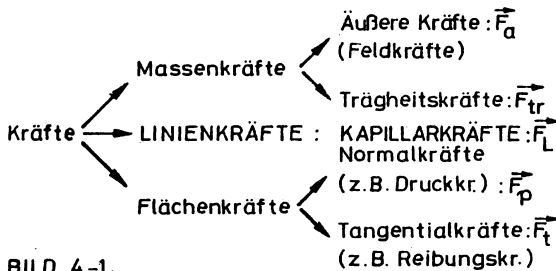


BILD 4-1.

sachen anzusehen für die Änderungen des Bewegungszustandes und/oder die Deformation eines Körpers. Im ersten Fall gilt es zu beachten, daß ein Geschwindigkeitsvektor sowohl der Richtung als auch der Größe nach veränderlich sein kann. Wirkrichtung der Kraft und Richtung

der Bewegungsänderung sind parallel zueinander.-Die Kräfte lassen sich ihrer physikalischen Natur nach in Massenkräfte, Linienkräfte (Kapillarkräfte, Gl. 2-21) und Flächenkräfte einteilen.

Massenkräfte lassen sich ihrerseits als äußere Kräfte (z.B.: Feldkräfte)

$$\vec{F}_a = \int_{(m)} \vec{f} \cdot dm = \int_{(V)} \vec{f} \cdot \rho \cdot dV \quad (4-1)$$

( $\vec{f}$  in  $m/s^2$  : massenspezifische äußere Kraft, Feldbeschleunigung) oder als Trägheitskräfte verstehen:

$$\vec{F}_{tr} = - \int_{(m)} \vec{a} \cdot dm = - \int_{(m)} \frac{d\vec{c}}{dt} \cdot dm = - \int_{(V)} \frac{d\vec{c}}{dt} \cdot \rho \cdot dV \quad (4-2).$$

Als Absolutbeschleunigung eines Körpers ist definiert:

$$\vec{a} = \frac{d\vec{c}}{dt} \quad (4-3).$$

Man vergl. auch die Gl.(1-5) und (1-6).

Der Begriff Flächenkräfte ist deshalb zur Klassifizierung geschaffen worden, um die an der Oberfläche eines Kontrollraumes angreifenden Kräfte bezüglich ihrer Orientierung zu unterscheiden; denn die Flächenkräfte lassen sich weiterhin in normal und tangential gerichtete Kräfte einteilen, weshalb sich ohne weiteres die Namen wie Druck- und Tangentialkräfte verstehen lassen. Ihre Definitionsgleichungen lauten:

Druckkräfte als  
Stützreaktionen:

$$\vec{F}_p = - \int_{(A)} \vec{n} \cdot p \cdot dA \quad (4-4).$$

Tangentialkräfte:

$$\vec{F}_t = \int_{(A)} \vec{\tau} \cdot dA \quad (4-5).$$

$\vec{n}$  deutet auf den Normalenvektor hin (Einheitsvektor zur Richtungsanzeige). - Gl.(2-21) definiert die Linienkräfte  $F_L$ .

Je nach dem Vorhandensein der fünf genannten Kraftarten:  $\vec{F}_a$ ,  $\vec{F}_{tr}$ ,  $\vec{F}_p$ ,  $\vec{F}_t$  und  $F_L$  lassen sich drei Arbeitsbereiche der Fluidmechanik unterscheiden:

### 1. Arbeitsbereich

Wenn an jeder Stelle eines Kontrollraumes die Geschwindigkeit verschwindet, wenn also gilt:  $\vec{c}(x,y,z) \equiv 0$ , dann gibt es auch keine Trägheits- und Reibungskräfte. Wenn demnach nur Feldkräfte und Druckkräfte anzutreffen sind, dann liegt das Stoffgebiet der Fluidstatik vor. - Linienkräfte sind meistens zu vernachlässigen.

### 2. Arbeitsbereich

Vernachlässigt man den Einfluß der Zähigkeit, so verschwinden die Tangential-/Reibungskräfte. Man hat es hierbei nur mit Feldkräften, den Trägheitskräften und den Druckkräften zu tun. Das ist wiederum das Stoffgebiet der Mechanik vollkommener Fluide. - Die Beschäftigung mit vollkommenen Fluiden hat sich als sehr wertvoll erwiesen: Die Probleme werden theoretisch durchgespielt und danach durch Korrekturglieder und Korrektorkoeffizienten an die Wirklichkeit angepaßt.

### 3. Arbeitsbereich

Kommen alle vier Kraftarten vor, dann liegt die Fluidmechanik reeller Fluide vor.

## TEIL II : FLUIDSTATIK

### 5. | EINFÜHRUNG IN DIE HYDRO- UND AEROSTATIK

#### 5.1. Ruhezustand

Die Fluidstatik ist die Lehre von den Kräften, die auf einen ruhenden Fluidbereich einwirken und sich an ihm das Gleichgewicht halten. Dieser Sachverhalt ist bereits im sogenannten ersten Arbeitsbereich des Abschnittes 4 angeklungen, wo mit  $\vec{c}(x,y,z) \equiv 0$  in knappster Form die Fluidstatik definiert worden ist. Nur äußere Kräfte und Druckkräfte spielen eine Rolle; Trägheits- und Tangentialkräfte scheiden dabei aus. - Von Sonderfällen abgesehen, werden Linienkräfte also vernachlässigt.

#### 5.2. Gleichgewichtsgleichungen

##### 5.2.1. Vektorielle Schreibweise

Das Kräftegleichgewicht an einem flüssigen oder gasförmigen Körper wird bekanntermaßen angegeben durch:

$$\boxed{\sum \vec{F}_i = 0} \quad (5-1).$$

Da wegen der Fluidität keine Momente übertragbar sind, entfällt in diesem Zusammenhang die sonst zusätzliche Forderung nach dem Gleichgewicht der Momente  $\sum \vec{M}_i = 0$ .

##### 5.2.2. Kartesische Schreibweise

Bettet man den fluidischen Körper in ein rechtwinkliges oder kartesisches Koordinatensystem ein, dann lauten die drei rechnerischen Gleichgewichtsbedingungen für ein fluidstatisches, räumliches Problem:

$$\boxed{\sum F_{ix} = 0 ; \sum F_{iy} = 0 ; \sum F_{iz} = 0} \quad (5-2).$$

#### 5.3. Druckkräfte als Stützreaktionen

##### 5.3.1. Skalare Natur des Druckes, erster Pascalscher Hauptsatz

Greift man aus einem in Ruhe befindlichen Fluidgebiet einen kleineren Bereich heraus, Bild 5-1, so müssen auch die an ihm angreifenden Teilkräfte miteinander im Gleichgewicht stehen. Es sind dies einmal

z.B. eine äußere Kraft  $\vec{F}_a$  und mehrere normale Stützreaktionen, die von der losgetrennten fluidischen Umwelt herrühren:  $\Delta \vec{F}_1, \Delta \vec{F}_2 \dots$ . Die auf die Oberflächenelemente bezogenen Normalkräfte entsprechen dem jeweiligen mittleren Druck. (Siehe auch Gl.1-3 und 1-4).

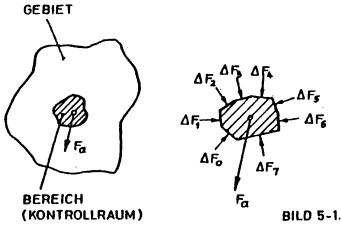


BILD 5-1.

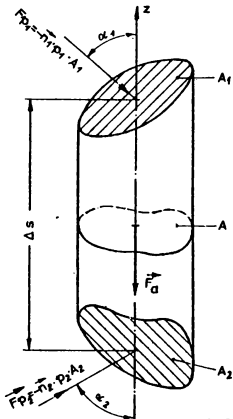


BILD 5-2.

Ohne Einbuße an Allgemeingültigkeit kann man um die Wirkungslinie der resultierenden äußeren Kraft  $\vec{F}_a$  einen zylindrischen Kontrollraum abgrenzen, der "oben und unten" beliebig schräg begrenzt ist, Bild 5-2. Da der Fluidbereich in Ruhe sein soll, müssen sich die Druckkräfte rundum gegenseitig aufheben. In Richtung der z-Achse muß folgendes Kräftegleichgewicht eingehalten werden:

$$\sum F_{iz} = -F_{p1} \cdot \cos \alpha_1 - F_a + F_{p2} \cdot \cos \alpha_2 = 0.$$

Mit Hilfe der beiden Schnittflächen  $A_1$  und  $A_2$  schreibt sich unter Annahme unterschiedlicher Drücke  $p_1$  und  $p_2$  die Gleichgewichtsgleichung folgendermaßen an:

$$-A_1 \cdot p_1 \cdot \cos \alpha_1 - F_a + A_2 \cdot p_2 \cdot \cos \alpha_2 = 0.$$

Setzt man die geometrische Erkenntnis  $A_1 \cdot \cos \alpha_1 = A$  (Normalschnitt!) und  $A_2 \cdot \cos \alpha_2 = A$  ein und erweitert gleichzeitig  $F_a = f \cdot \rho \cdot \Delta V$  (vgl. Gl.4-1) mit  $\Delta V = A \cdot \Delta s$ , dann erhält man:

$$-p_1 \cdot A - f \cdot \rho \cdot A \cdot \Delta s + p_2 \cdot A = 0 \quad ; \text{ davon bleibt:}$$

$$-p_1 - f \cdot \rho \cdot \Delta s + p_2 = 0.$$

Läßt man  $\Delta s \rightarrow 0$  gehen, um die äußeren Kräfte zu beseitigen, dann bleibt:

$$\underline{p_1 = p_2 = p},$$

was bedeutet, daß der Druck in einer ruhenden Flüssigkeit an einem ganz bestimmten Punkt im Kontrollraum unabhängig von der Richtung ist. Damit entspricht er einer skalaren Ortsfunktion und zeigt keinen

Vektorcharakter!-Das ist aber die Aussage des ersten Pascalschen Hauptsatzes.

### 5.3.2. Orientierung einer Druckkraft

Da der Druck eine skalare Größe ist, die Druckkraft aber natürlich ein Vektor ist, führt man über einen Normalenvektor den Richtungssinn ein, wie es beispielsweise in Bild 5-2 gezeigt worden ist:

$\vec{F}_{p1} = -\vec{n}_1 \cdot p_1 \cdot A_1$  und  $\vec{F}_{p2} = -\vec{n}_2 \cdot p_2 \cdot A_2$  als Stützreaktionen; die Normalenvektoren selbst weisen aber vom Fluidgebiet oder Kontrollraum nach "außen" hin !

### 5.4. Potentialfunktion einer Massenkraft

#### 5.4.1. Druckgradient

Der Gradient einer skalaren Ortsfunktion stellt einen Vektor dar, welcher in die Richtung der maximalen Änderung weist. Sein Betrag gibt den Wert der maximalen Änderung an. Dies gilt auch für den Druck  $p(x, y, z)$ , da er ja einer skalaren Größe entspricht. Der Gradientenvektor des Druckes lautet demnach:

$$\nabla p = \text{grad } p = \frac{\partial p}{\partial x} \cdot \vec{i} + \frac{\partial p}{\partial y} \cdot \vec{j} + \frac{\partial p}{\partial z} \cdot \vec{k} \quad (5-3).$$

#### 5.4.2. Gaußscher Integralsatz

Es ist gezeigt worden, daß Druckkräfte als Stützreaktionen den Zustand der Ruhe gewährleisten, wenn man das Kräftegleichgewicht an einem freigemachten Fluidbereich als Kontrollraum untersucht. Demnach steht die Summe aller äußerer Kräfte  $\vec{F}_a$  mit der Summe aller Druckkräfte (Stützreaktionen) im Gleichgewicht. Es gilt also nach Bild 5-3:

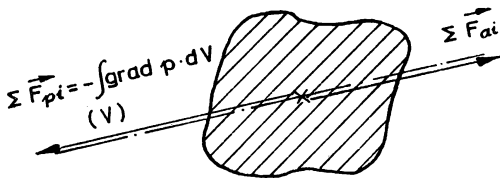


BILD 5-3.

$$\sum \vec{F}_{pi} + \sum \vec{F}_{ai} = 0$$

Man muß in diesem Zusammenhang nun unterscheiden zwischen Druckkräften, die aus dem Inneren des Fluidkontrollraumes herauskommen und nach außen wirken und denjenigen Druckkräften, die als Stützreaktionen, von außen nach innen wirkend, festzuhalten sind. - Die Aktionswirkung, also

die resultierende Druckkraft von innen nach außen, läßt sich mittels des Gaußschen Integralsatzes aus einem Oberflächenintegral in ein Volumenintegral umformen:

$$\oint_{(A)} \vec{n} \cdot p \cdot dA = \int_{(V)} \nabla p \cdot dV \quad (5-4).$$

Die diesbezügliche Stützreaktion erhält das negative Vorzeichen beim Einsetzen in die obige Gleichgewichtsgleichung! - Es ergibt sich damit unter zusätzlicher Verwendung der Gl. (4-1) folgender Zusammenhang:

$$\int_{(V)} -\nabla p \cdot dV + \int_{(V)} \rho \cdot \vec{f} \cdot dV = 0.$$

Der Integrandenvergleich erlaubt folgende Gleichsetzung:

$$\nabla p = \rho \cdot \vec{f} \quad (5-5).$$

Wenn der spezifische Feldkraftvektor komplett in der Form

$$\vec{f} = f_x \cdot i + f_y \cdot j + f_z \cdot k \quad (5-6)$$

angeschrieben wird, dann lassen sich sofort für das kartesische Koordinatensystem drei partielle Differentialgleichungen notieren:

$$\frac{1}{\rho} \cdot \frac{\partial p}{\partial x} = f_x ; \frac{1}{\rho} \cdot \frac{\partial p}{\partial y} = f_y ; \frac{1}{\rho} \cdot \frac{\partial p}{\partial z} = f_z \quad (5-7).$$

Man kann dieses Gleichungssystem integrieren, wenn man die erste Gleichung mit dx, die zweite mit dy und die dritte mit dz multipliziert, weil die darauffolgende Addition der drei Gleichungen zu einem totalen Differential der linken Gleichungsseite führt, so daß der Druck auch in mathematischer Hinsicht als Zustandsgröße erkannt worden ist. (Die Integration totaler Differentiale ist wegunabhängig, was ja auch das Charakteristikum einer Zustandsgröße ist!)

$$\frac{1}{\rho} \cdot \left( \frac{\partial p}{\partial x} \cdot dx + \frac{\partial p}{\partial y} \cdot dy + \frac{\partial p}{\partial z} \cdot dz \right) = f_x \cdot dx + f_y \cdot dy + f_z \cdot dz \quad (5-7a).$$

= dp

Schreibt man einen Ortsvektor, Bild 5-4, folgendermaßen an:



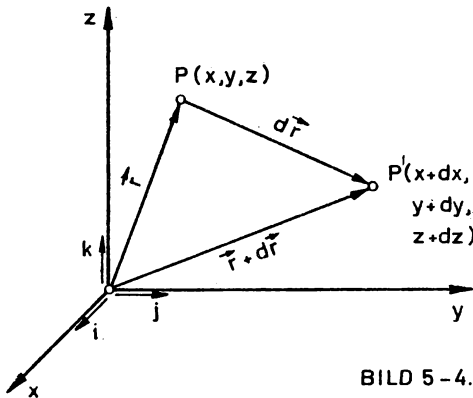


BILD 5-4.

$$\vec{dr} = dx \cdot \vec{i} + dy \cdot \vec{j} + dz \cdot \vec{k} \quad (5-8),$$

so erkennt man im rechten Ausdruck der Gl.(5-7a) das Skalarprodukt zweier Vektoren :  $\vec{f} \cdot \vec{dr}$  ! Vereinfachend läßt sich nunmehr schreiben:

$$\frac{dp}{\rho} = \vec{f} \cdot \vec{dr} \quad (5-9).$$

*gilt das auch?*

### 5.4.3. Bedeutung der Potentialfunktion

Die rechte Gleichungsseite von Gl.(5-9) ist von der Art einer mechanischen Arbeit. Da aber im Zustand der Ruhe am Kontrollraum keine Arbeit verrichtet werden kann, handelt es sich offenbar um eine virtuelle (scheinbare, nur gedachte) Arbeit. Sie könnte aber (in Gedanken) auch nur verrichtet werden, wenn ein Energiereservoir - hier im Zustand der Ruhe handelt es sich natürlich um potentielle Energie - vorhanden wäre! - Allgemein gilt, daß bei Arbeitsverrichtung das Energieangebot abnimmt. In Bezug auf das anstehende Problem kann man schreiben:

$$\vec{f} \cdot \vec{dr} = - de_p = \frac{dp}{\rho} \quad (5-10).$$

Die kartesische Entwicklung dieser Gleichung führt zu:

$$f_x \cdot dx + f_y \cdot dy + f_z \cdot dz = \left(-\frac{\partial e_p}{\partial x}\right) \cdot dx + \left(-\frac{\partial e_p}{\partial y}\right) \cdot dy + \left(-\frac{\partial e_p}{\partial z}\right) \cdot dz$$

Daraus folgt:

$$f_x = -\frac{\partial e_p}{\partial x} ; \quad f_y = -\frac{\partial e_p}{\partial y} ; \quad f_z = -\frac{\partial e_p}{\partial z} \quad (5-11).$$

Bildet man aus diesen drei Komponentengleichungen zwei Vektoren, so erhält man die äußerst interessante und wichtige Beziehung:

$$\vec{f} = - \text{grad } e_p = -\nabla e_p \quad (5-12).$$

Im Zuge der Ableitung von Gl.(5-10) hat man die spezifische potentielle Energie  $e_p$  eingeführt (vgl.Gl.1-12).-Der negative Aus-  
druck:  $-e_p$  wird in der Sprache der mathematischen Strömungslehre  
POTENTIAL genannt.In diesem Buch wird darauf verzichtet,für die Po-  
tentialfunktion ein zusätzliches Symbol einzuführen.Der Leser soll  
nicht durch eine weitere physikalische Größe irritiert werden,son-  
dern ständig an die zentrale Rolle der potentiellen Energie erinnert  
werden!

Die Gl.(5-12) läßt sich folgendermaßen interpretieren:

Die Wegableitung von  $-e_p$  ergibt den massenspezifischen  
Feldvektor  $\vec{f}$ .

Es ist gezeigt worden,daß die auf einen ruhenden Fluidbereich ein-  
wirkenden äußeren Kräfte durch ein Potential beschrieben werden können.

(Diese Überlegungen gelten auch für den Fall des relativen Gleichge-  
wichts,vgl. Abschn. 9.3.)

#### 5.5. Allgemeine Druckformel

Die Integration der Gl.(5-9) führt zur allgemeinen Druckformel der  
Fluidstatik,und zwar unter Verwendung von Gl.(5-10):

$$\int_1^2 \frac{dp}{\rho} = \int_1^2 \vec{f} \cdot d\vec{r} = - \int_1^2 de_p = -(e_{p2} - e_{p1}) \quad ;$$

man erhält somit:

$$\boxed{\int_1^2 \frac{dp}{\rho} = e_{p1} - e_{p2}} \quad (5-13).$$

Sonderfälle hierzu lassen sich beispielsweise in der Hydrostatik an-  
führen.

### 6. DRUCKFORMEL IN DER HYDROSTATIK

#### 6.1. Sonderfall für inkompressible Flüssigkeiten

Ist die Dichte einer Flüssigkeit an jeder Stelle des Bereiches bzw.  
Kontrollraumes gleich groß,also identisch konstant:  $\rho(x,y,z) \equiv \text{const}$ ,  
so läßt sich die linke Seite der Gl.(5-13) einfach integrieren:

$$\int_1^2 \frac{dp}{\rho} = \frac{1}{\rho} \int_1^2 dp = \frac{p_2 - p_1}{\rho}, \text{ weil der Druck}$$

eine Zustandsgröße ist. Damit lautet die integrierte Gl. (5-13):

$$\boxed{\frac{p_1}{\rho} + e_{p1} = \frac{p_2}{\rho} + e_{p2} = \frac{p}{\rho} + e_p = \text{const}} \quad (6-1).$$

Diese Gleichung läßt sich folgendermaßen interpretieren: Die Summe der spezifischen Druckenergie  $p/\rho$ , (Gl. 1-10), und der spezifischen potentiellen Energie  $e_p$ , hervorgerufen durch die Einwirkung einer äußeren Kraft, ist konstant. Das entspricht aber dem Energieerhaltungssatz bezüglich eines in Ruhe befindlichen Flüssigkeitsbereiches bzw. Kontrollraumes.

Die Gleichung  $p(x, y, z) = \text{const}$  entspricht einer Fläche, auf welcher überall der gleiche Druck vorherrscht; deshalb wird auch von einer Isobarfläche gesprochen. Die Gleichung  $p(x, y, z) = \text{const}$  bedeutet darüber hinaus, daß der Druck im ganzen Bereich und nicht nur in einer Fläche konstant ist!

Aus Gl. (6-1) folgt zudem für den Fall  $p/\rho = \text{const}$ , daß auch die spezifische potentielle Energie  $e_p = \text{const}$  und  $-e_p = -\text{const} = \text{const}$ , das sogenannte Potential, konstant sind. Aus diesem Grunde sind Isobarflächen auch Äquipotentialflächen!

Abschließend sei hierzu vermerkt, daß Niveauflächen sowohl Isobar- als auch Äquipotentialflächen sind.

## 6.2. Sonderfall für inkompressible und schwere Flüssigkeiten

Die massenspezifische Feldkraft des Erdschwerefeldes ist die allbekannte Erdbeschleunigung  $\vec{g}$ , Bild 6-1. Die Beziehungen der Gl. (5-11) werden nun zur Berechnung der Potentialfunktion des Erdschwerefeldes herangezogen. Das Erdschwerefeld muß sich nach den Überlegungen von Abschn. 5.4.3 durch ein Potential beschreiben lassen.

$$\text{Gl. (5-12): } \vec{f} = -\nabla e_p.$$

Im Falle des Erdschwerefeldes sind

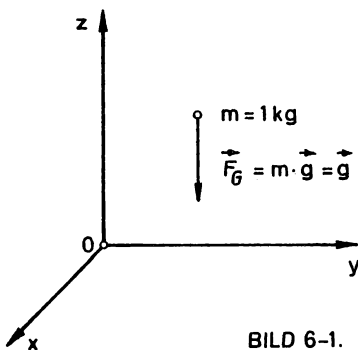


BILD 6-1.

$f_x = f_y = 0$  und  $f_z = - \frac{\partial e_p}{\partial z} = -g$  ! - Die unbestimmte Integration von  $de_p = -g \cdot dz$  ergibt für die Potentialfunktion des Erdschwerefeldes:

$$-e_p = -g \cdot z + \text{konst} \quad (6-2).$$

Führt man jetzt Gl.(6-2) in Gl.(6-1) ein, so erhält man nach vorangegangener Multiplikation mit (-1) den Energieerhaltungssatz bezüglich einer in Ruhe befindlichen inkompressiblen Flüssigkeit:

$$\frac{p}{\rho} + g \cdot z = \text{Konst} \quad (6-3).$$

Hierbei sind die Isobarflächen waagerechte Ebenen mit der Gleichung  $z = \text{const.}$  Analoges gilt für die Äquipotentialflächen. Damit ist auch die Aussage in Abschn. 6.1, Niveauflächen seien gleichbedeutend mit Isobarflächen und Äquipotentialflächen, erhärtet worden.

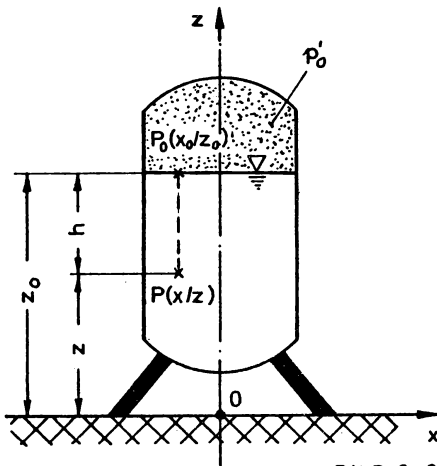


BILD 6-2.

Die Ermittlung der Integrationskonstanten in Gl.(6-3) wird an Hand eines allgemein gültigen Beispiels, Bild 6-2, durchgeführt. Für den Punkt  $P_0(x_0; z_0)$  gilt:

$$\frac{p'_0}{\rho} + g \cdot z_0 = \text{Konst} ;$$

für den Punkt  $P(x; z)$  gilt:

$$\frac{p}{\rho} + g \cdot z = \text{Konst} .$$

Durch Gleichsetzen und Umformen ergibt sich:

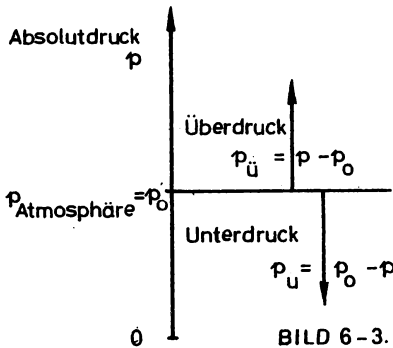
$$\frac{p}{\rho} - \frac{p'_0}{\rho} = g \cdot (z_0 - z) .$$

Kürzt man  $(z_0 - z)$  mit der Tiefenangabe  $h$  ab, so schreibt sich die Druckformel speziell für inkompressible und schwere Flüssigkeiten folgendermaßen an:

$$p = p'_0 + \rho \cdot g \cdot h \quad (6-4).$$

Hier ist  $p'_0$  der auf der Oberfläche lastende Druck. - Ist der Behälter oben offen, dann entspricht  $p'_0$  natürlich dem Atmosphärendruck  $p_0$  ! -

Man nennt in dieser Beziehung  $p$  den Absolutdruck; das Produkt  $\rho \cdot g \cdot h$  wird als Atmosphärenüberdruck verstanden, wenn der Absolutdruck größer als der Atmosphärendruck ist; fällt der Absolutdruck geringer aus, dann heißt  $\rho \cdot g \cdot h$  Atmosphärenunterdruck, Bild 6-3.

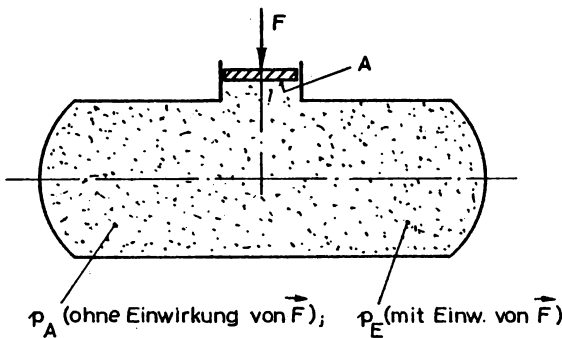


$$p_u = p - p_0 = \rho \cdot g \cdot h$$

$$p_u = p_0 - p = \rho \cdot g \cdot h$$

(6-5).

### 6.3. Zweiter Pascalscher Hauptsatz



Wird über einen Kolben von der Fläche  $A$ , Bild 6-4, eine Kraft  $F$  in einen flüssigen Bereich (Kontrollraum) eingeleitet, so entsteht ein Zusatzdruck  $\Delta p = F/A$  (vgl. auch Gl. 1-3 und 1-4), welcher sich im ganzen Bereich ausbreitet und an jeder Stelle  $(x; y; z)$  zum Vordruck  $p_A$  dazukommt:

$$p_E = p_A + \Delta p$$

(6-6).

Das aber ist die Aussage des zweiten Pascalschen Hauptsatzes.

### 6.4. Sonderfall für inkompressible Flüssigkeiten unter Vernachlässigung der Erdschwere

Ein einfaches Zahlenbeispiel soll zeigen, von welcher Grenze an man u.U. den Einfluß der Erdschwere gegenüber den Druckkräften wird ver-

nachlässigen können.

Das Gewicht eines Wasserwürfels von 1 m Kantenlänge beträgt bekanntlich  $F_G = m \cdot g = 1000 \cdot 9,81 = 9810 \text{ N}$ . Ein aufgeprägter Zusatzdruck betrage  $\Delta p = 10 \text{ bar}$ , weshalb beispielsweise die Bodenfläche des Wasserwürfels von der Größe  $1 \text{ m}^2$  mit einer zusätzlichen Druckkraft  $F_{\Delta p} = 1 \cdot 10 \cdot 10^5 = 10^6 \text{ N}$  belastet wird. Das Verhältnis  $F_G/F_{\Delta p} = 0,00981$  besagt doch, daß der Gewichtskrafteinfluß noch etwa 1 % beträgt. Man sieht also, daß bei noch höheren Zusatzdruckkräften der Schwereeinfluß immer mehr ins Hintertreffen gerät. Vernachlässigt man die Schwere, dann vereinfacht sich die Gl. (6-4) zu  $p = p'_0$ , was zudem noch präziser als  $p(x;y;z) = p'_0 \equiv \text{const}$  angeschrieben werden kann: Der Kontrollraum ist danach ein isobarer Raum!

## 6.5. Beispiele

### 1. Beispiel

Wie groß ist der absolute Druck in einer Meerestiefe von 200 m? Die Dichte des Meerwassers betrage  $\rho = 1035 \text{ kg/m}^3$  und der Atmosphärendruck sei  $p_0 = 1,015 \text{ bar}$ .

Lösung:

Nach Gl. (6-4) folgt einfach:  $p = 1,015 \cdot 10^5 + 1035 \cdot 9,81 \cdot 200$

$$\underline{p = 2,132 \cdot 10^6 \text{ Pa} = \underline{\underline{21,32 \text{ bar}}}}$$

### 2. Beispiel

Wie tief befindet sich ein Punkt  $P(x,y,z)$  unter dem Wasserspiegel (Wasserdichte  $\rho_w = 1000 \text{ kg/m}^3$ ), wenn ein Überdruck von  $p_{\text{ü}} = 0,4 \text{ bar}$  an dieser Stelle gemessen wird?

Lösung:

Nach Gl. (6-5) ergibt sich sofort:

$$p_{\text{ü}} = 1000 \cdot 9,81 \cdot h = 40\,000 \text{ Pa}$$

$$\underline{\underline{h = 4,0775 \text{ m}}}$$

### 3. Beispiel

In einer Wasserleitung wird ein Unterdruck von  $p_u = 0,4 \text{ bar}$  gemessen. Wie hoch ist der absolute Druck, wenn der Atmosphärendruck mit  $p_0 = 1020 \text{ mbar}$  angegeben wird?

#### Lösung:

Mit Gl. (6-5) erhält man:  $\underline{p} = p_o - p_u = 1,02 - 0,4 = \underline{0,62 \text{ bar.}}$

#### 4. Beispiel

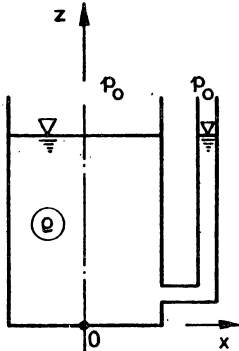


BILD 6-5.

Ein nach oben offener Behälter ist mit Wasser gefüllt und mit einem seitlichen Steigrohr versehen, Bild 6-5. - Warum kann das Steigrohr als Niveauanzeiger Verwendung finden?

#### Lösung:

Nach Gl. (6-3) folgt bezüglich der freien Oberfläche, welche ja die Kontaktfläche zwischen der Luft und dem Wasser darstellt:

$$p_o / \rho + g \cdot z = \text{Konst. Daraus folgt:}$$

$$\underline{z = \text{const.}}$$

Demnach gilt für die gesamte freie Oberfläche diese Beziehung, weshalb auch in dem Steigrohr die Flüssigkeit gleich hoch wie im Behälter steht. - Hinter diesem Beispiel verbirgt sich das "Prinzip kommunizierender Röhren". Es besagt:

Untereinander in Verbindung stehende offene Behälter zeigen bei eingefüllter inkompressibler Flüssigkeit in jedem Gefäß den gleichen Flüssigkeitsstand!

(Die Niveaulinie  $z = \text{const}$  ist Isobar- und Äquipotentialfläche!)

#### 5. Beispiel

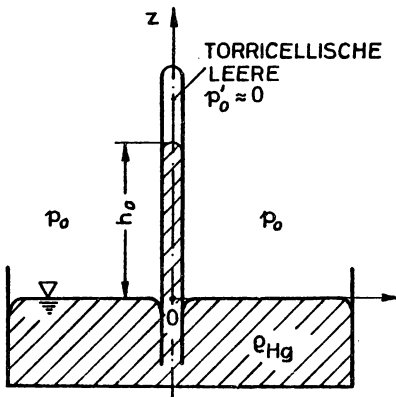


BILD 6-6.

Über- und Unterdrücke werden mit Mano- und Vakuummetern gemessen. Die Instrumente zur Messung des Absolutdruckes heißen Barometer. Der Atmosphärendruck ist beispielsweise ein Absolutdruck. - Als einfaches Gerät wird das Torricelli-Barometer vorgestellt: Man fülle ein etwas mehr als 1 m langes Glasrohr mit Quecksilber an, bis die gesamte Luft entwichen ist. Dann verschließe man das Rohr mit einem Finger, drehe das Rohr um 180°

herum und tauche es in ein Quecksilberbad ein, Bild 6-6. Dabei stellt man fest, daß die Quecksilbersäule auf  $h_0$  zurückfällt. - Der Raum über der Quecksilbersäule wird Torricellische, (auch barometrische) Leere genannt. Der Druck  $p'_0$  im Sinne der Gl. (6-4) ist praktisch null, wenn man von ein paar verdampften Quecksilbermolekülen einmal absieht. - Im Fußpunkt O in der Quecksilbersäule liegt der Druck  $p = \rho_{\text{Hg}} \cdot g \cdot h_0$ , der auch gleich dem gesuchten Atmosphärendruck ist, denn O liegt in gleicher Höhe wie die freie Oberfläche, welche mehrfach schon als Isobarfläche erkannt worden ist. - Hier sei hervorgehoben, daß eine Druckmessung gegen das Vakuum als Absolutdruckmessung bezeichnet wird. - In der Meteorologie ist der Normaldruck der Atmosphäre mit  $h_0 = 760 \text{ mm Hg}$  festgelegt, was mit  $\rho_{\text{Hg}} = 13\,590 \text{ kg/m}^3$  einen Normaldruck von  $p_0 = 13\,590 \cdot 9,81 \cdot 0,76 = 1,0132 \cdot 10^5 \text{ Pa} = 1013,2 \text{ mbar}$  ergibt.

Man nehme nun an, daß beim Einfüllen des Quecksilbers etwas Wasser wegen der nassen Rohrwand in die Torricellische Leere gelangt ist. - Wie wird hierdurch die Messung des Atmosphärendrucks verfälscht bzw. mit welcher Korrektur müßte man arbeiten?

#### Lösung:

Jede Flüssigkeit besitzt für ihre Momentantemperatur einen individuellen Dampfdruck. Das Wassertröpfchen wird also verdampfen, d.h.: der Druck im Fußpunkt O setzt sich aus  $p'_0 = p_{\text{Dampf}}$  und  $\rho_{\text{Hg}} \cdot g \cdot h_0$  zusammen:

$$p_0 = p_D + \rho_{\text{Hg}} \cdot g \cdot h_0$$

Damit man eine Vorstellung von der Größenordnung der Meßkorrektur bekommt, werden einige Dampfdruckdaten angegeben:

t in °C	0	10	20	30	40
$p'_0$ in mbar	6,108	12,27	23,37	42,43	73,75
" " mm Hg	45 81	92 03	175 3	318 1	553 1

Fazit: Beim Einfüllen des Quecksilbers muß auf eine trockene Rohrinnenwand besonders geachtet werden!

#### 6. Beispiel

Auf der Flüssigkeit, die sich in einem geschlossenen Behälter befindet, lastet ein Gaspolster vom Absolutdruck  $p'_0$ . - Das Gefäß weist neben einem Standglas auch ein Steigrohr auf, Bild 6-7.

Man ermittle den absoluten Gasdruck, wenn folgende Meßdaten vorliegen:

$$\rho_w = 1000 \text{ kg/m}^3 ; h = 2 \text{ m} ; p_0 = 1 \text{ bar}$$



Lösung:

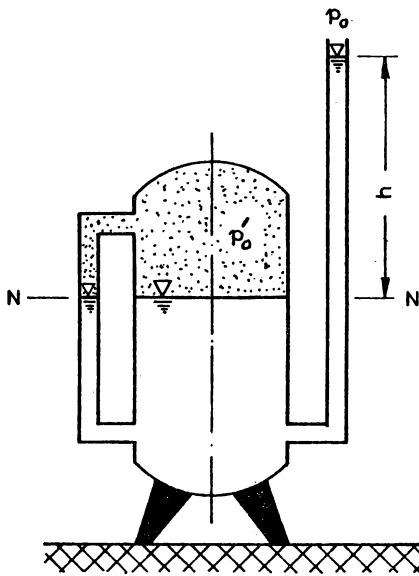


BILD 6-7

Die Ebene N-N erfüllt als erste, von oben her betrachtet, die Bedingung der vollständigen Berührung mit der Flüssigkeit. Alle weiteren Ebenen darunter erfüllen natürlich ebenfalls diese Bedingung. - Die Ebene N-N ist eine Isobarebene; man wählt sie deshalb als Referenzebene, weil dort der gesuchte Druck  $p_o'$  vorherrscht.

$$p_o' = \rho_w \cdot g \cdot h + p_o$$

$$p_o' = 1000 \cdot 9,81 \cdot 2 + 1 \cdot 10^5$$

$$p_o' = 0,11962 \cdot 10^6 \text{ Pa}$$

$$\underline{\underline{p_o' = 1,1962 \text{ bar.}}}$$

Die Wassersäule mißt übrigens gerade den Atmosphärenüberdruck  $\rho_w \cdot g \cdot h$ .

7. Beispiel

In Bild 6-8 wird eine Differenzdruck-Meßanordnung gezeigt. In der Kuppe der Leitung, welche die beiden Behälter meßtechnisch verbindet, wird Preßluft eingegeben, und zwar über den Hahn Ha.

- Welche Rolle spielt der Hilfsdruck  $p_x$  bezüglich der Auswertung der Meßwerte?
- Welcher Differenzdruck besteht zwischen den beiden Gasdrücken  $p_1$  und  $p_2$ , wenn man folgende Werte kennt:

$$\rho_1 = 1000 \text{ kg/m}^3 ; \rho_2 = 900 \text{ kg/m}^3 ; h_1 = 0,9 \text{ m} ; h_2 = 0,5 \text{ m} ?$$

- Wie ändert sich die Säulendifferenz  $\Delta h$  bei Variation des Sperrluftdruckes  $p_x$  ?
- Was geschieht, wenn der Hahn Ha so lange geöffnet bleibt, bis die Luft verdrängt ist, und wenn er danach wieder verschlossen wird?

Lösungen:

- Rolle von  $p_x$ :

Für die beiden Gasdrücke erhält man mit dem bisher Gesagten:

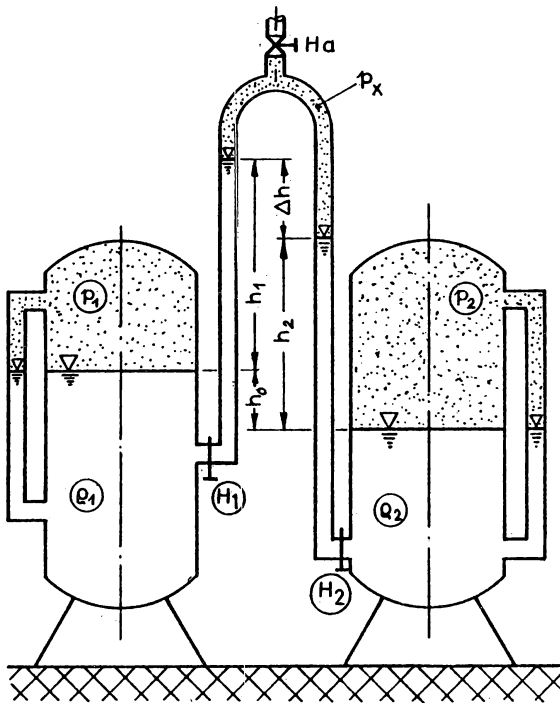


BILD 6-8

$$p_1 = p_x + \rho_1 \cdot g \cdot h_1 ;$$

$$p_2 = p_x + \rho_2 \cdot g \cdot h_2 .$$

Durch Subtraktion dieser beiden Gleichungen ergibt sich für den angestrebten Druckunterschied:

$$\Delta p = p_1 - p_2 = g \cdot (\rho_1 \cdot h_1 - \rho_2 \cdot h_2) .$$

Diese Ergebnisgleichung enthält den Hilfsdruck  $p_x$  nicht mehr. Das heißt doch: Für die Auswertung der Meßergebnisse ist die Größe von  $p_x$  nicht erforderlich!

b)  $\Delta p$ :

Mit den Zahlenwerten bekommt man aus dem oben ermittelten Zusammenhang:

$$\Delta p = 9,81 \cdot (1000 \cdot 0,9 - 900 \cdot 0,5) = 4,4145 \cdot 10^3 \text{ Pa} = \underline{\underline{0,044 \text{ bar}}} .$$

c)  $\Delta h = f(p_x)$ : Geometrische Beziehungen lauten:  $h_0 + h_1 = h_2 + \Delta h$ ; mit den Druckgleichungen aus Position a) folgt:

$$\Delta h = h_0 + h_1 - h_2 = h_0 + \frac{p_1 - p_x}{g \cdot \rho_1} - \frac{p_2 - p_x}{g \cdot \rho_2} = h_0 + \frac{p_1}{g \cdot \rho_1} - \frac{p_2}{g \cdot \rho_2} + \frac{p_x}{g} \cdot \left( \frac{1}{\rho_2} - \frac{1}{\rho_1} \right) .$$

Hierin sind alle Größen bis auf  $\Delta h$  und  $p_x$  konstant. Die Säulendifferenz  $\Delta h$  ändert sich also linear mit dem Hilfsdruck  $p_x$ ! - Mit größerem  $p_x$  wächst wegen der höheren Meßempfindlichkeit auch die Meßgenauigkeit. Übrigens ist bei Gleichheit der Dichten  $\Delta h$  von  $p_x$  unabhängig.

d) Bei geöffnetem Hahn  $H_a$  wird die Luft, von jeder Behälterseite ausgehend, verdrängt, bis Flüssigkeit herausgepreßt wird. Schließt man nun den Hahn, dann wird so lange Medium 1 von links nach rechts (Bild 6-8) fließen, bis es zum Druckausgleich in den beiden Behäl-

tern gekommen ist. Zur Vermeidung dieses Umstandes verwende man die beiden unteren Hähne  $H_1$  und  $H_2$ .

### 8. Beispiel

Zwei Meßapparaturen gestatten die Bestimmung der Dichte einer Lösung

$\varphi_L$  im Vergleich mit destilliertem Wasser  $\varphi$ , Bild 6-9. - In Pos. a wird mit Luftüberdruck- und in Pos. b mit Luftunterdruck gearbeitet. Angaben:  $h = 0,2 \text{ m}$ ;  $h_L = 0,15 \text{ m}$ ;  $\varphi = 1000 \text{ kg/m}^3$ . - Man bestimme:

- die Dichte einer Salzlösung  $\varphi_L$  mit dem Überdruckverfahren;
- ebenso, aber mit dem Unterdruckverfahren.

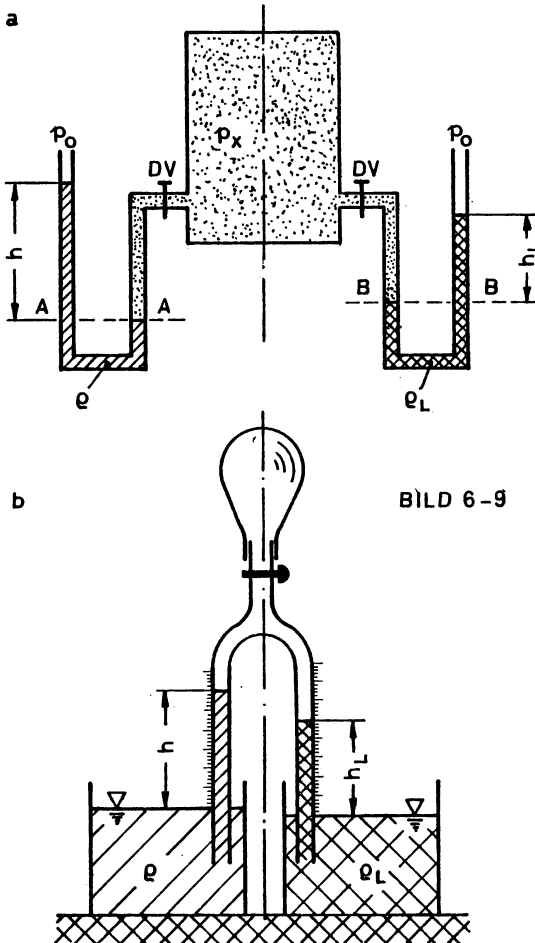


BILD 6-9

#### Lösungen:

a)  $\varphi_{L,u}$ : Bei geschlossenen Hähnen DV gieße man links Wasser und rechts die Salzlösung ein. Bringt man nun den Behälter in Verbindung mit den U-Rohren, dann steigen wegen des Überdruckes  $p_x$  die Flüssigkeitssäulen verschieden hoch. Es gilt:

$$p_{AA} = p_x = p_o + \varphi \cdot g \cdot h \text{ und}$$

$$p_{BB} = p_x = p_o + \varphi_L \cdot g \cdot h_L, \text{ wo-}$$

raus sich ergibt:

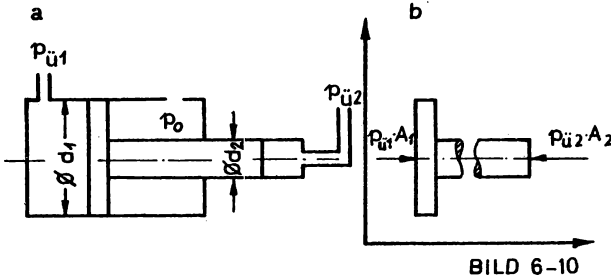
$$\underline{\underline{\varphi_L = \varphi \cdot h / h_L = 1000 \cdot 0,20 / 0,15 = 1333,3 \text{ kg/m}^3.}}$$

b)  $\varphi_{L,u}$ : Zum gleichen Ergebnis gelangt man, indem man mit der Gummi-Blase (Bild 6-9, Pos. b) einen Unterdruck erzeugt und die

Flüssigkeiten hochsteigen läßt. Diese Meßmethode ist praktischer.

### 9. Beispiel

Das Schema eines Druckverstärkers wird in Bild 6-10, Pos. a, gezeigt.



Der Wirkungsgrad wird auf Grund quasi-statischer Arbeiten folgendermaßen definiert:

$$\eta = \frac{F_2 \cdot s}{F_1 \cdot s} = \frac{p_{ü2} \cdot A_2}{p_{ü1} \cdot A_1}$$

(6-7).

Man bestimme für

$d_1 = 100 \text{ mm}$  und  $d_2 = 20 \text{ mm}$  bei  $p_{ü1} = 10 \text{ bar}$ :

- im verlustlosen Fall den Überdruck am Ausgang  $p_{ü2}$ ;
- den Überdruck  $p_{ü2}$  für den Fall, daß die Verluste mit  $\eta = 0,9$  berücksichtigt worden sind. - Der Einfluß der Erdschwere darf vernachlässigt werden (vgl. Abschn. 6.4).

### Lösungen:

- $p_{ü2}$  bei  $\eta = 1$  : Das Kräftegleichgewicht am freigemachten Kolben (Bild 6-10, Pos. b) führt zu:

$$\underline{\underline{p_{ü2} = p_{ü1} \cdot \frac{A_1}{A_2} = 10 \cdot (100/20)^2 = 250 \text{ bar} .}}$$

- $p_{ü2}$  bei  $\eta = 0,9$  :

$$\underline{\underline{p_{ü2} = \eta \cdot p_{ü1} \cdot \frac{A_1}{A_2} = 0,9 \cdot 250 = 225 \text{ bar} .}}$$

### 10. Beispiel

Das Schema einer hydraulischen Presse (Bramah, 1796) ist aus Bild 6-11 zu ersehen. Beim Aufwärtshub des Tauchkolbens 1 öffnet Ventil  $V_1$ , und der Atmosphärendruck  $p_0$  drückt Öl in die rechte Pressenkammer. Beim Abwärtshub schließt Ventil  $V_1$ ; der Öldruck öffnet Ventil  $V_2$ , durch welches das Öl unter den Lastkolben gelangt. - Üblicherweise gibt man den

Wirkungsgrad in der Art an:

$$\eta = \frac{(F_L/F_H)_{\text{real}}}{(F_L/F_H)_{\text{theoretisch}}} \quad (6-8).$$

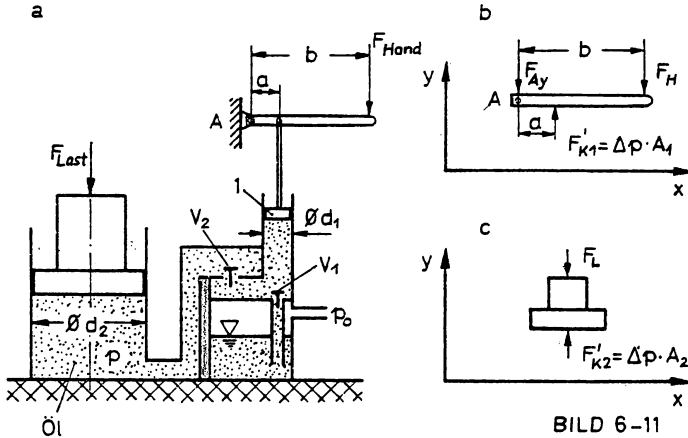


BILD 6-11

- Man bestimme das Kräfteverhältnis  $F_L/F_H$  ohne Verluste;
- im Falle mit Verlusten;
- man vergleiche die Kraftverstärkung auf Grund der Hebelwirkung mit derjenigen der hydraulischen Übersetzung, und zwar im theoretischen Fall. Die Daten hierzu lauten:  $d_1 = 20 \text{ mm}$ ;  $d_2 = 160 \text{ mm}$ ;  $a/b = 1/5$ ;  $\eta = 0,8$ .
- Das gleiche Funktionsprinzip liegt beim hydraulischen Wagenheber vor. Wie groß muß die Handkraft  $F_H$  sein, wenn bei einer PKW-Reifenpanne näherungsweise ein Viertel des PKW-Gewichtes überwunden werden muß? Die Gesamtmasse des PKWs beträgt  $m = 2000 \text{ kg}$ .

### Lösungen:

- $(F_L/F_H)_{\text{theoretisch}}$  : Das Momentengleichgewicht am freigemachten Hebelarm lautet:

$$\sum M_i = -F'_{K1} \cdot a + F_H \cdot b = 0$$

$$F'_{K1} = \frac{b}{a} \cdot F_H \quad (1).$$

Die Kraft  $-F'_{K1} = F_{K1}$  wirkt über den Kolben 1 auf die Flüssigkeit ein, so daß sich im Flüssigkeitsraum ein Zusatzdruck  $\Delta p$  aufbaut (vgl. Abschn. 6.3):

$$\Delta p = F_{K1}/A_1 \quad (2).$$

Der Druck  $\Delta p$  baut sich übrigens nur deshalb auf, weil durch den Widerstand  $F_L$  der Flüssigkeitsverschiebung entgegengewirkt wird. Nach dem zweiten Pascalschen Hauptsatz breitet sich, hier im quasi-statischen Zustand, der Druck  $\Delta p$  aus bis unter den Lastkolben. Die anzuhebende Last beträgt demnach:

$$F_L = \Delta p \cdot A_2 \quad (3).$$

Aus den drei Bestimmungsgleichungen erhält man für das Kräfteverhältnis:

$$\left[ \frac{F_L}{F_H} \right]_{th} = \frac{b}{a} \cdot \left( \frac{d_2}{d_1} \right)^2 \quad (6-9).$$

Mit den Zahlenangaben folgt:

$$\left( \frac{F_L}{F_H} \right)_{th} = 5 \cdot (160/20)^2 = 320.$$

b)  $\left( \frac{F_L}{F_H} \right)_{real}$  : Mit Gl.(6-8) folgt:

$$\left( \frac{F_L}{F_H} \right)_{real} = 0,85 \cdot 320 = 272.$$

c) Vergleich der Verstärkerwirkungen:

Die Hebelübersetzung bewirkt eine Kraftverstärkung von 5:1; die hydraulische Verstärkung liegt im Quadrat des Durchmesserungsverhältnisses begründet und ist deshalb viel wirksamer: 64:1. - Die gesamte theoretische Verstärkung beträgt  $5 \cdot 64 = 320$  !

d)  $F_H$ :

Das PKW-Gewicht berechnet sich mit Gl.(2-8) zu:

$$F_G = m \cdot g = 2000 \cdot 9,81 = 19,62 \cdot 10^3 \text{ N}.$$

Ein Viertel davon geht als  $F_L$  weiterhin in Rechnung. Mit den Realdaten aus Aufgabenposition b) erhält man für die notwendige Handkraft:

$$\underline{\underline{F_{H,real} = 19,62 \cdot 10^3 / (272 \cdot 4) = 18,033 \text{ N} .}}$$

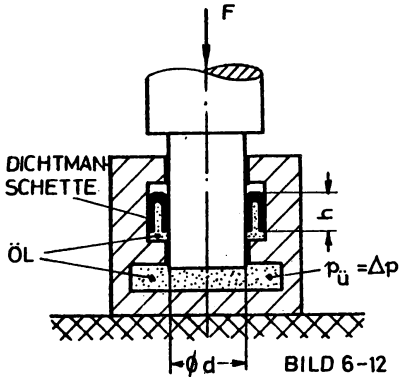
## 11. Beispiel

Ein mit Öl gefülltes Spurzapfenlager, Bild 6-12, wird axial mit  $F = 20 \text{ kN}$  belastet. Die Dichtmanschette wird durch den sich einstellenden Öldruck auf einer Länge von  $h = 50 \text{ mm}$  an den Zapfen angepreßt ( $d = 100 \text{ mm}$ ). - Der Reibwert zwischen Ledermanschette und Stahlzapfen betrage  $\mu = 0,2$  ! - Man ermittle:

a) den Zusatz- bzw. Überdruck im Lager bei Vernachlässigung des

Schwereeeinflusses;

- b) das bei Drehbewegung zu überwindende Reibmoment, wobei auf die Bremswirkung zwischen Stirnzapfenfläche und Öl verzichtet wird.



Lösungen:

- a)  $\Delta p$ : Die Gesamtkraft in Wellenachse wird durch  $\Delta p \cdot A$  im Gleichgewicht gehalten. Damit folgt:

$$\Delta p = 20 \cdot 10^3 \cdot 4 (\pi \cdot 0,1)^2 = \underline{\underline{25,46 \text{ bar}}}.$$

- b)  $M_R$ : Das Reibmoment berechnet man mit:

$$M_R = F_R \cdot \frac{d}{2} = \mu \cdot F_N \cdot \frac{d}{2} = \mu \Delta p \cdot \pi \cdot d \cdot h \cdot \frac{d}{2} \quad (6-10).$$

$$\underline{\underline{M_R}} = 0,2 \cdot 25,46 \cdot 10^5 \cdot \pi \cdot 0,1 \cdot 0,05 \cdot 0,05 = \underline{\underline{400 \text{ Nm}}}.$$

## 12. Beispiel

Differenzdrücke lassen sich mit der Ringwaage messen, Bild 6-13. - Man

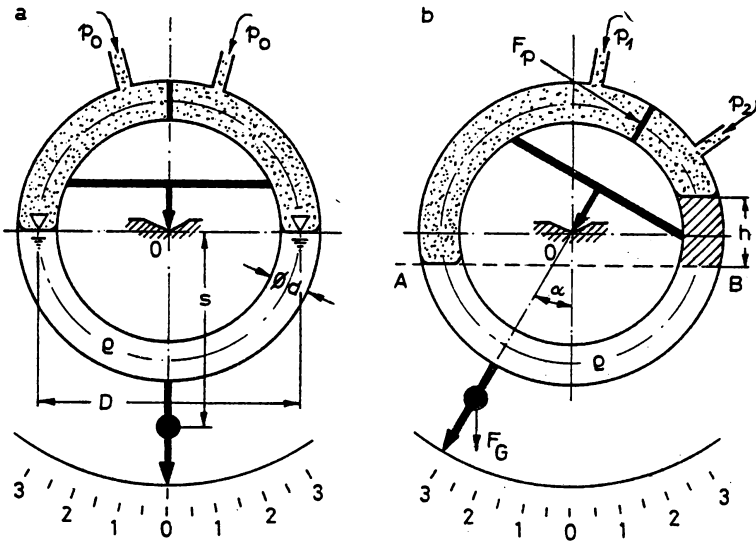


BILD 6-13.

bestimme den Schwenkwinkel  $\alpha$ , wenn folgende Angaben gemacht werden:  
 $D = 80 \text{ mm}$ ;  $d = 6 \text{ mm}$ ;  $s = 70 \text{ mm}$ ;  $F_G = 1 \text{ N}$ ;  $p_1 = 1 \text{ bar}$ ;  $p_2 = 0,7 \text{ bar}$ .

Lösung:

Zur Eichung läßt man das Gerät unter gleichen Drücken  $p_1 = p_2 = p_0$  (Atmosphärendruck) stehen und macht Zeiger und Skalennullpunkt deckungsgleich (Bild 6-13, Pos. a). Sind die beiden Drücke verschieden, dann dreht sich der ringförmige Glaskörper der Ringwaage (Bild 6-13, Pos. b). Die Ebene AB ist eine Isobarfläche, weil sie in jedem Schenkel des kommunizierenden Systems die Flüssigkeit trifft. Dafür gilt die Druckgleichheit:

$$p_1 = p_2 + \rho \cdot g \cdot h \quad (1).$$

Das Momentengleichgewicht bezüglich des Drehpunktes O lautet:

$$\sum M_1 = F_G \cdot s \cdot \sin \alpha - F_p \cdot \frac{D}{2} = 0 \quad ; \quad (1a).$$

das Gewicht der schraffierten Flüssigkeitssäule errechnet sich zu:

$$F'_G = (\pi/4) \cdot d^2 \cdot \rho \cdot g \cdot h \quad (2).$$

Das entspricht aber gerade der Differenzdruckkraft  $F_p$ . Mit den Beziehungen (1) und (2) folgt aus der Momentenbeziehung (1a):

$$\sin \alpha = \frac{\pi \cdot d^2 \cdot D \cdot (p_1 - p_2)}{8 \cdot s \cdot F_G} \quad (6-11).$$

Unter Verwendung der genannten Zahlenwerte folgt aus dieser Gleichung:

$$\sin \alpha = (\pi \cdot 0,006^2 \cdot 0,08 \cdot 0,3 \cdot 10^5) / (8 \cdot 0,071) = 0,4847$$

$$\underline{\underline{\alpha = 29^\circ}} \quad .$$

Die Dichte hat auf die Messung keinen direkten Einfluß, nur auf die Baugröße.

13. Beispiel

Das Krellsche Mikromanometer ist in Bild 6-14 zu sehen. Man ermittle den Differenzdruck, wenn man vom Gerät und der Messung folgende Werte kennt:  $D = 100 \text{ mm}$ ;  $d = 6 \text{ mm}$ ;  $s_g = 187 \text{ mm}$ ;  $\alpha = 15^\circ$ ; als Meßflüssigkeit ist Äthanol eingefüllt mit einer Dichte von  $\rho_1 = 794 \text{ kg/m}^3$  bei  $288 \text{ K}$  und einem Ausdehnungskoeffizienten  $\beta = 1,1 \cdot 10^{-3} \text{ 1/K}$ ; die Temperatur im Labor beträgt  $298 \text{ K}$ . Man ermittle:

a) den Druckunterschied und gebe einen Hinweis bezüglich



- b) der Ablesemethode und  
c) der Ablesegenauigkeit.

Lösungen:

a)  $\Delta p$ :

Über die Stellschrauben S bringt man das Gerät in Horizontallage und das Meßlineal in Nullposition auf dem Niveau AB, solange die Druckanschlüsse gleichen Druck führen, hier den Atmosphärendruck  $p_0$ . Werden nun die Druckmeßleitungen angeschlossen, dann kann die Messung beginnen: Der größere Druck  $p_1$  läßt Flüssigkeit im Schrägrohr aufsteigen, und man liest die Meßlänge  $s_g$  ab. Die Isobarfläche CD läßt folgende Druckgleichheit zu:

$$p_1 = p_2 + \rho \cdot g \cdot h \quad (1).$$

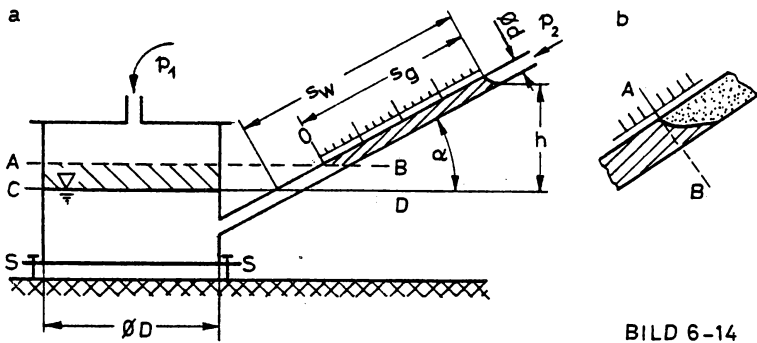
Hierbei läßt sich der effektive Spiegelunterschied mit

$$h = s_w \cdot \sin \alpha \quad (2)$$

bestimmen, wobei zudem gilt:

$$\frac{\pi \cdot D^2}{4} \cdot (s_w - s_g) \cdot \sin \alpha = \frac{\pi \cdot d^2}{4} \cdot s_g \quad (3) ,$$

was aus der Gleichheit der verdrängten Volumina folgt. Damit ergibt



sich nun die wirkliche Säulenlänge zu:

$$s_w = s_g \cdot \left( 1 + \frac{d^2}{D^2 \cdot \sin \alpha} \right) \quad (4).$$

Mittels der Beziehungen (1) und (2) ergibt sich ein geschlossener Ausdruck:

$$\Delta p = \varrho \cdot g \cdot \left( 1 + \frac{d^2}{D^2 \cdot \sin \alpha} \right) \cdot s_g \cdot \sin \alpha \quad (6-12).$$

Zieht man zudem den Temperatureinfluß in Betracht, so kann man unter Verwertung der Erkenntnisse in Beispiel 1 aus Abschn. 2.9.2 angeben:

$$\Delta p = \frac{\varrho \cdot \varrho_1}{1 + \beta \cdot \Delta T} \cdot \left( 1 + \frac{d^2}{D^2 \cdot \sin \alpha} \right) \cdot s_g \cdot \sin \alpha \quad (6-13).$$

Das Einsetzen der Zahlenwerte ergibt:

$$\underline{\underline{\Delta p}} = \frac{9,81.794}{1 + 110 \cdot 10^{-5} \cdot 10} \cdot \left( 1 + \frac{0,006^2}{0,1^2 \cdot \sin 15^\circ} \right) \cdot 0,187 \cdot \sin 15^\circ = \underline{\underline{378 \text{ Pa}}}.$$

#### b) Ablesemethode:

Um den Fehler des Kapillaritätseinflusses am geringsten zu halten, ist es empfehlenswert, senkrecht zur Rohrwand, also in Richtung AB, abzulesen (Bild 6-14, Pos. b).

#### c) Ablesegenauigkeit:

Je kleiner der Neigungswinkel  $\alpha$  ist, desto genauer werden die Meßlängen  $s_g$  abgelesen. Der relative Fehler  $\Delta s / s_g$  reduziert sich, wobei  $\Delta s$  den absoluten Ablesefehler bedeutet.

### 14. Beispiel

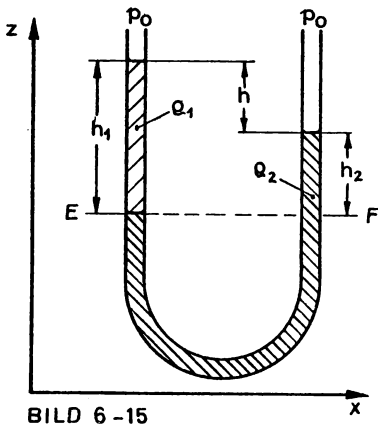


BILD 6-15

In einem U-Rohr, Bild 6-15, befinden sich zwei nicht mischbare Flüssigkeiten von den Dichten  $\rho_1 = 900 \text{ kg/m}^3$  und  $\rho_2 = 1100 \text{ kg/m}^3$ . Man bestimme den Höhenunterschied der beiden Oberflächen, wenn die Säulenlänge der leichteren Flüssigkeit  $h_1 = 0,5 \text{ m}$  beträgt.

#### Lösung:

Die waagerechte Ebene EF ist eine Niveauläche ( $z = \text{const}$ ) und gleichzeitig auch eine isobare Fläche ( $p = \text{const}$ ). Eine Isobarfläche ist u.a.

auch dadurch gekennzeichnet, daß sie unter sich nur gleichartige Flüssigkeit kennt!-Die Druckgleichheit in EF lautet:  $p_E = p_F$ . Also gilt:

$$p_0 + \rho_1 \cdot g \cdot h_1 = p_0 + \rho_2 \cdot g \cdot h_2 \quad ; \quad h_2 = h_1 \cdot (\rho_1 / \rho_2) \quad .$$

Damit läßt sich für den Höhenunterschied anschreiben:

$$h = h_1 - h_2 = 0,5 \cdot (1 - 900/1100) = 0,0909 \text{ m} = \underline{\underline{90,9 \text{ mm}}} \quad .$$

### 15. Beispiel

Ein U-Rohrmanometer werde nach der Art des Bildes 6-16 mit zwei nicht mischbaren Flüssigkeiten gefüllt.-Es ist eine einfache Beziehung

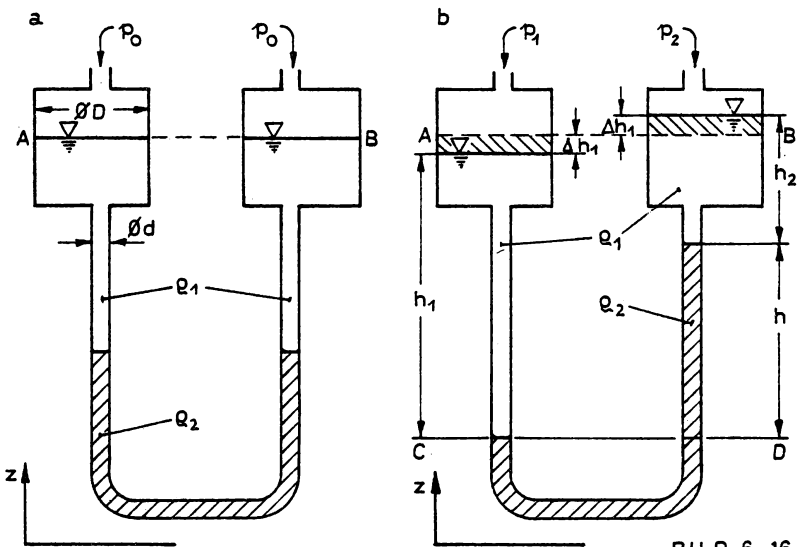


BILD 6-16

zwischen den Gerätegrößen, der Säulendifferenz  $h$  der schweren Flüssigkeit und dem Druckunterschied  $\Delta p$  herzuleiten!-Folgende Angaben werden gemacht:  $\rho_1 = 900 \text{ kg/m}^3$  ;  $\rho_2 = 1000 \text{ kg/m}^3$  ;  $\Delta p = p_1 - p_2 = 200 \text{ Pa}$  ;  $D = 100 \text{ mm}$  ;  $d = 8 \text{ mm}$  [28] .

### Lösung:

Die Eichung wird bei Atmosphärendruck in jedem Gerätezweig vorgenommen; sie führt zum Niveau AB, wonach sich dann die folgenden Zusammenhänge ergeben (Bild 6-16, Pos. a) :

Nach der Eichung werden die beiden Meßleitungen angeschlossen. Da man voraussetzt, daß  $p_1 > p_2$  sei, stellen sich die Verhältnisse ein, wie sie in Bild 6-16, Pos. b, festgehalten sind. Mit CD als Isobarfläche stellt sich folgende Druckgleichheit ein:

$$p_1 + g \cdot \rho_1 \cdot h_1 = p_2 + g \cdot \rho_2 \cdot h + g \cdot \rho_1 \cdot h_2 ;$$

$$p_1 - p_2 = g \cdot (\rho_2 \cdot h + \rho_1 \cdot h_2 - \rho_1 \cdot h_1) \quad (1).$$

Zur Verminderung der Anzahl der Unbekannten:  $h; h_1; h_2$  wird eine Volumenbilanz herangezogen:

$$\pi \cdot D^2 \cdot \Delta h_1 / 4 = \pi \cdot d^2 \cdot h / 4 ; \text{ damit ergibt sich:}$$

$$\Delta h_1 = (d/D)^2 \cdot h \quad (2).$$

Weiter folgt:

$$h + h_2 = h_1 + 2 \cdot \Delta h_1 \quad \text{und}$$

$$h_1 - h_2 = h - 2 \cdot \Delta h_1 \quad (3).$$

Man eliminiere die zusätzliche Unbekannte  $\Delta h_1$  mittels der Beziehung (2), und man erhält:

$$h_1 - h_2 = h - 2 \cdot (d/D)^2 \cdot h = h \cdot [1 - 2 \cdot (d/D)^2] \quad (4) ,$$

was zusammen mit der Beziehung (1) zu folgender Gleichung führt:

$$h = \frac{\Delta p}{g \cdot [\rho_2 - \rho_1 \cdot (1 - 2 \cdot d^2/D^2)]} \quad (6-14).$$

Die Zahlenangaben führen zu folgendem Ergebnis:

$$h = \frac{200}{9,81 \cdot [1000 - 900 \cdot (1 - 2 \cdot 0,008^2/0,1^2)]}$$

$$h = \underline{\underline{182,8 \text{ mm}}} .$$

Zu diesem Meßinstrument sollen noch ein paar Bemerkungen gemacht werden:

- Obwohl hier die Druckdifferenz sehr klein ist, wird sie doch mit einer relativ großen Flüssigkeitssäule gemessen. Das Meßinstrument ist also sehr empfindlich.
- Worauf ist diese Empfindlichkeit zurückzuführen? - Die Säulendifferenz ist umso größer bei einer gegebenen Druckdifferenz, je kleiner die Differenz der Dichten  $\rho_1$  und  $\rho_2$  ist, und je größer der Durchmesser D gegenüber dem Durchmesser d ist.

- Um eine noch größere Genauigkeit des Meßinstruments zu erlangen, werden Meßrohre nicht mehr vertikal angeordnet, sondern schräg (Bild 6-14).
- Für alle Differentialmanometer gilt: Der Druckunterschied  $p = p_1 - p_2$  kann auch als Unterschied der Überdrücke gemessen werden.

$$p_{u1} - p_{u2} = (p_1 - p_0) - (p_2 - p_0) = p_1 - p_2 = \Delta p \quad (6-15).$$

- Ebenso gilt: Der negative Druckunterschied ist gleich der Differenz der Unterdrücke:

$$p_{u1} - p_{u2} = (p_0 - p_1) - (p_0 - p_2) = -(p_1 - p_2) = -\Delta p \quad (6-16).$$

### 16. Beispiel

Zur Meßbereichserweiterung eines Manometers werden U-Rohrmanometer in Serie geschaltet, wie es Bild 6-17 zeigt. Die Konzeption verlangt

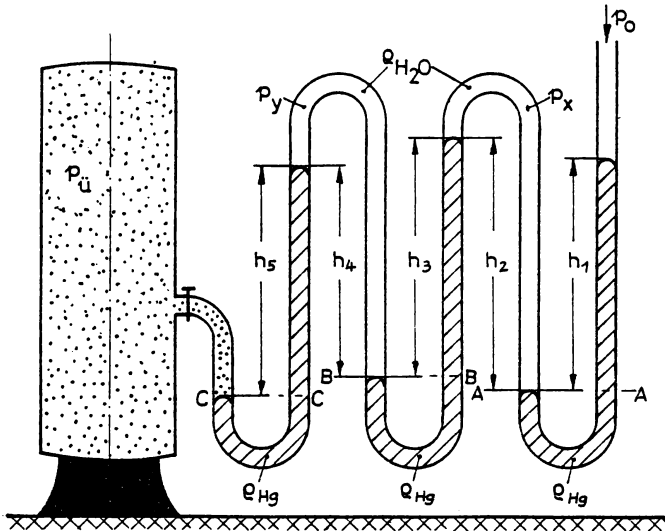


BILD 6-17

die Verwendung unterschiedlich schwerer Flüssigkeiten. Im vorliegenden Beispiel verwendet man Quecksilber und Wasser.

Wie groß ist der Überdruck in einem Gasbehälter, wenn mit einem solchen Serienmanometer gemessen wird? - Angaben:  $\rho_{H_2O} = 1000 \text{ kg/m}^3$ ;

$\rho_{Hg} = 13590 \text{ kg/m}^3$ ;  $h_1 = 1,1 \text{ m}$ ;  $h_2 = 1,2 \text{ m}$ ;  $h_3 = 1,3 \text{ m}$ ;  $h_4 = 1,4 \text{ m}$ ;  $h_5 = 1,5 \text{ m}$ .

### Lösung:

Bezüglich der drei Isobarflächen kann man folgende drei Druckgleichheiten aufstellen:

$$p_{AA} = p_o + \rho \cdot \rho_{Hg} \cdot h_1 = p_x + \rho \cdot \rho_w \cdot h_2 \quad (1);$$

$$p_{BB} = p_x + \rho \cdot \rho_{Hg} \cdot h_3 = p_y + \rho \cdot \rho_w \cdot h_4 \quad (2);$$

$$p_{CC} = p_{\ddot{u}} + p_o = p_y + \rho \cdot \rho_{Hg} \cdot h_5 \quad (3).$$

Durch Elimination der unbekannten Drücke  $p_x$  und  $p_y$  aus diesen drei Beziehungen erhält man:

$$p_{\ddot{u}} = \rho \cdot \rho_{Hg} \cdot (h_1 + h_3 + h_5) - \rho \cdot \rho_w \cdot (h_2 + h_4) \quad (6-17).$$

Die Zahlenrechnung führt zu dem Ergebnis:

$$\underline{p_{\ddot{u}} = 9,81 \cdot 13590 \cdot (1,1 + 1,3 + 1,5) - 9,81 \cdot 1000 \cdot (1,2 + 1,4) = 4,944 \text{ bar} .}$$

Diese Meßvorrichtung ist deshalb so praktisch, weil die Höhe eines einzelnen Meßrohres stark verkleinert wird!

### 17.Beispiel

Zur Messung vieler relativ geringer Über- und Unterdrücke (z.B. bei

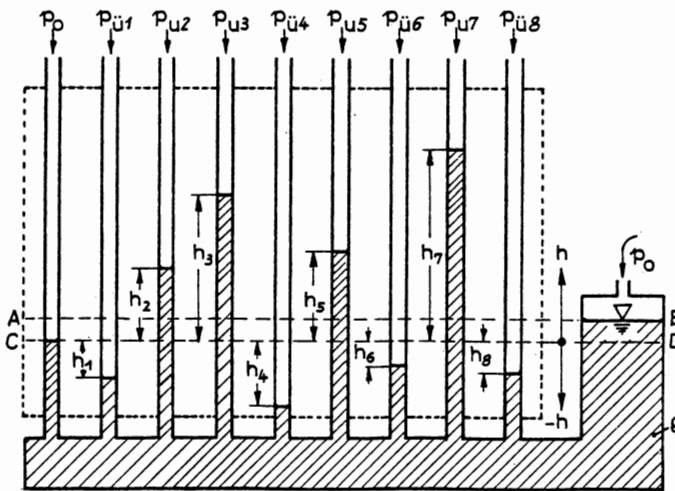


BILD 6-18

Windkanalmessungen) eignet sich das Vielfachmanometer, Bild 6-18.

Nullniveau ist die Ebene AB, auf der überall der Atmosphärendruck lastet. - Beim Meßvorgang ändert sich das Vergleichsniveau auf CD als Referenzebene. Das kommunizierende System erlaubt eine einfache Ermittlung der Differenzdrücke. - Man bestimme die Über- und Unterdrücke zu folgenden Messungen:

$\rho = 800 \text{ kg/m}^3$ ;  $h_1 = 150 \text{ mm}$ ;  $h_2 = -200 \text{ mm}$ ;  $h_3 = -350 \text{ mm}$ ;  $h_4 = 180 \text{ mm}$ ;  $h_5 = -220 \text{ mm}$ ;  $h_6 = 70 \text{ mm}$ ;  $h_7 = -430 \text{ mm}$ ;  $h_8 = 140 \text{ mm}$ .

Diese Messung möge fotografisch festgehalten worden sein!

### Lösungen:

Für jedes Meßrohr gilt entweder  $p_{ui} = g \cdot \rho \cdot h$  oder  $p_{ui} = g \cdot \rho \cdot (-h)$ .

$$p_{u1} = 9,81 \cdot 800 \cdot 0,15 = 1\,177 \text{ Pa}; \quad p_{u2} = 9,81 \cdot 800 \cdot (+0,2) = 1\,570 \text{ Pa};$$

$$p_{u3} = 9,81 \cdot 800 \cdot (+0,35) = 2\,747 \text{ Pa}; \quad p_{u4} = 9,81 \cdot 800 \cdot 0,18 = 1\,413 \text{ Pa};$$

$$p_{u5} = 9,81 \cdot 800 \cdot (+0,22) = 1\,727 \text{ Pa}; \quad p_{u6} = 9,81 \cdot 800 \cdot 0,07 = 549 \text{ Pa};$$

$$p_{u7} = 9,81 \cdot 800 \cdot (+0,43) = 3\,375 \text{ Pa}; \quad p_{u8} = 9,81 \cdot 800 \cdot 0,14 = 1\,099 \text{ Pa}.$$

## 7. BERECHNUNG DER DRUCKKRÄFTE IN DER HYDROSTATIK

### 7.1. Allgemeines

In Gl.(4-4) ist gezeigt worden, wie man eine Druckkraft zu berechnen hat. Der Betrag des Normalenvektors ist die dimensionslose arithmetische Einheit. Das Integrationsgebiet (A) ist ein beliebiger Teil derjenigen Fläche, die insgesamt von der Flüssigkeit beaufschlagt wird. Die Gestalt dieser Fläche wird durch ihre Gleichung angegeben:

$$f(x, y, z) = \text{const} \quad (7-1).$$

Durch Gradierung der Flächenfunktion ergibt sich der Gradientenvektor der Fläche, welcher bekanntlich senkrecht auf der Fläche steht. Dividiert man ihn durch seinen Betrag, dann ergibt sich der Normalenvektor als Einheitsvektor!

$$\vec{n} = \frac{\nabla f}{|\nabla f|} = \frac{\frac{\partial f}{\partial x} \cdot i + \frac{\partial f}{\partial y} \cdot j + \frac{\partial f}{\partial z} \cdot k}{\sqrt{\left(\frac{\partial f}{\partial x}\right)^2 + \left(\frac{\partial f}{\partial y}\right)^2 + \left(\frac{\partial f}{\partial z}\right)^2}} \quad (7-2).$$

$p(x,y,z)$  ist der absolute Druck als stetige und eindeutige Funktion. Gl.(4-4) läßt sich nun folgendermaßen entwickeln:

$$\vec{F}_p = \int_{(A)} \frac{i \cdot \frac{\partial p}{\partial x} + j \cdot \frac{\partial p}{\partial y} + k \cdot \frac{\partial p}{\partial z}}{\sqrt{\left(\frac{\partial p}{\partial x}\right)^2 + \left(\frac{\partial p}{\partial y}\right)^2 + \left(\frac{\partial p}{\partial z}\right)^2}} \cdot p(x,y,z) \cdot dA \quad (7-3).$$

Im kartesischen Koordinatensystem läßt sich die Druckkraft nunmehr in Komponentenform darstellen:

$$\vec{F}_p = i \cdot F_{px} + j \cdot F_{py} + k \cdot F_{pz} \quad (7-4).$$

In den nachfolgenden Abschnitten werden einige Sonderfälle zur Druckkraftbestimmung gezeigt.

## 7.2. Druckkräfte auf ebene offene Flächen

### 7.2.1. Theorie

Da der Normalenvektor einer ebenen Fläche eine konstante Größe ist, kann man ihn aus dem Integranden der Gl.(4-4) herausziehen:

$$\vec{F}_p = \vec{n} \int_{(A)} p(x,y,z) \cdot dA \quad (7-5).$$

### 7.2.2. Beispiele

#### 1. Beispiel

Es ist die Überdruckkraft auf den Seitenwandausschnitt A einer schrägen Behälterwand gesucht, Bild 7-1. Die Orientierung wird mittels eines x,y-Koordinatensystems vorgenommen. Die wahre Größe von A ergibt sich durch Umklappen der Seitenwand in die Bildebene.

#### Lösung:

Der Überdruck  $p_u = p - p_0 = g \cdot \rho \cdot h$  führt mit der Tiefenlage  $h = y \cdot \sin \alpha$  zur Überdruckkraft in der Form:

$$\vec{F}_{pu} = \vec{n} \int_{(A)} g \cdot \rho \cdot y \cdot \sin \alpha \cdot dA$$



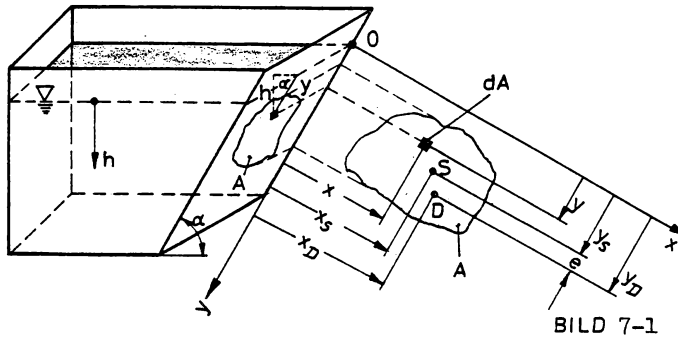


BILD 7-1

Zieht man noch weitere konstante Größen vor das Integral, dann folgt:

$$\vec{F}_{pü} = \vec{n} \cdot g \cdot \rho \cdot \sin \alpha \int_{(A)} y \cdot dA \quad (7-6).$$

Der Ausdruck:

$$S_x = \int_{(A)} y \cdot dA = y_S \cdot A \quad (7-7)$$

stellt das statische Moment der Fläche A bezüglich der x-Achse dar. Hierbei versteht man unter  $y_S$  die Ordinate des Flächenschwerpunktes. Mit seiner Tiefenlage  $h_S = y_S \cdot \sin \alpha$  erhält man für die Überdruckkraft

$$\vec{F}_{pü} = \vec{n} \cdot g \cdot \rho \cdot h_S \cdot A \quad (7-8).$$

Zur Richtung dieser Kraft ist zu sagen, daß sie senkrecht zur ebenen Fläche steht; die Kraft ist übrigens von der Flüssigkeit zur Fläche hin orientiert. Der Betrag der Überdruckkraft lautet:

$$F_{pü} = g \cdot \rho \cdot h_S \cdot A = p_{üS} \cdot A \quad (7-8a)$$

mit  $p_{üS}$  als dem Überdruckwert im Flächenschwerpunkt. - Der Angriffspunkt der Kraft ist nicht im Flächenschwerpunkt zu suchen, und zwar wegen der Druckverteilung auf Grund des Schwereinflusses. Der Momentensatz von Varignon hilft hier weiter:

Das statische Moment der Resultierenden ist gleich der algebraischen Summe der statischen Momente der Einzelkräfte!

Wendet man den Momentensatz einmal bezüglich der x-Achse und einmal

für die y-Achse an, dann erhält man zwei Bestimmungsgleichungen für die beiden Unbekannten  $x_D$  und  $y_D$ , die beiden Koordinaten des Druckmittelpunktes, wie der Angriffspunkt auch noch genannt wird.

$$F_{\text{pü}} \cdot y_D = \int_{(A)} y \cdot g \cdot \rho \cdot \sin \alpha \cdot y \cdot dA = y_D \cdot g \cdot \rho \cdot y_S \cdot \sin \alpha \cdot A = \rho \cdot g \cdot \sin \alpha \cdot \int_{(A)} y^2 \cdot dA$$

$$F_{\text{pü}} \cdot x_D = \int_{(A)} x \cdot g \cdot \rho \cdot \sin \alpha \cdot y \cdot dA = x_D \cdot g \cdot \rho \cdot y_S \cdot \sin \alpha \cdot A = \rho \cdot g \cdot \sin \alpha \cdot \int_{(A)} x \cdot y \cdot dA$$

Die Ausrechnung dieser beiden Gleichungen führt zu folgenden Ausdrücken:

$$x_D = \frac{\int_{(A)} x \cdot y \cdot dA}{y_S \cdot A} = \frac{I_{xy}}{y_S \cdot A} ; \quad y_D = \frac{\int_{(A)} y^2 \cdot dA}{y_S \cdot A} = \frac{I_x}{y_S \cdot A} \quad (7-9),$$

womit sich die gesuchten Koordinaten bestimmen lassen. Unter  $I_{xy}$  ist das Zentrifugalmoment der Fläche A zu verstehen;  $I_x$  gibt das Flächenträgheitsmoment bezüglich der x-Achse ab. - Die Berechnung von  $I_{xy}$

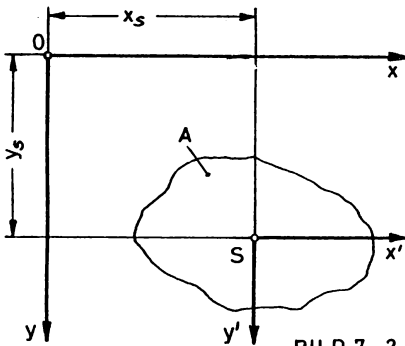


BILD 7-2

und  $I_x$  wird durch Anwendung des Steinerschen Satzes erleichtert. Er stellt eine Beziehung her zwischen dem bereits eingeführten xy-Koordinatensystem und einem dazu achsenparallelen Schwerpunktsystem mit den Achsenbezeichnungen  $x'$  und  $y'$ , Bild 7-2. Damit kann man die Gl. (7-9) umformen zu:

$$x_D = x_S + \frac{I_{x'y'}}{y_S \cdot A} ; \quad y_D = y_S + \frac{I_{x'}}{y_S \cdot A} \quad (7-10).$$

Daß man nur die Überdruckkraft bestimmt hat und nicht die Absolutdruckkraft, hat seinen Grund darin, daß der Absolutdruckkraft

$$\vec{F}_p = \vec{n} \int (p_o + p_u) dA = \vec{n} \int p_o \cdot dA + \vec{n} \int p_u \cdot dA, \text{ die ja von innen auf die}$$

Wand wirkt, eine Atmosphärendruckkraft von  $\vec{F}_{p_o} = -\vec{n} \int p_o \cdot dA$  entgegen-

wirkt. Somit bleibt als Resultierende dieser beiden Druckkräfte nur  $\vec{F}_{pü}$  übrig!

## 2. Beispiel

Man berechne die Kraftwirkung auf eine ebene Wand in einem isobaren Raum!

Lösung:

Da für das vorgelegte Kontrollgebiet nunmehr die Identität  $p(x,y,z) \equiv \text{const}$  gilt, läßt sich die Gl. (4-4) noch weiter vereinfachen, indem man nämlich auch  $p$  vor das Integralzeichen setzen darf:

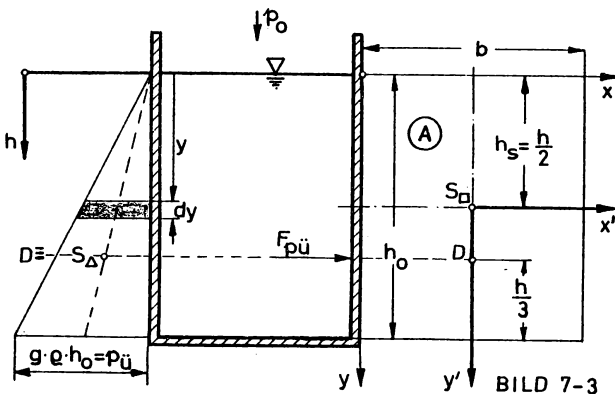
$$\vec{F}_p = \vec{n} \cdot p \int_{(A)} dA = \vec{n} \cdot p \cdot A \quad (7-11).$$

Der Betrag ist das einfache Produkt  $p \cdot A$ ; die Richtung wird selbstverständlich durch den Normalenvektor vorgegeben und ist aus dem Fluid heraus auf die Wand hin gerichtet; interessant ist hier die Feststellung, daß der Druckmittelpunkt mit dem Flächenschwerpunkt zusammenfällt. Fazit: Auf diese Weise werden alle Gasdruckkräfte und alle Flüssigkeitsdruckkräfte, sofern man hier den Schwereeinfluß vernachlässigen darf, berechnet! *Wichtig!*

## 3. Beispiel

Es ist die Überdruckkraft für die ebene vertikale Seitenwand eines Wasserbehälters auszurechnen. Die rechnerische Lösung, die mit den An-

gaben  $\rho = 1000 \text{ kg/m}^3$ ,  $h_0 = 3 \text{ m}$  und  $b = 4 \text{ m}$  anzustreben ist, soll anschließend noch grafisch ausgewertet werden. In beiden Fällen ist auch der Druckmittelpunkt zu bestimmen, Bild 7-3.



### Lösungen:

#### a) Rechnerische Lösung:

Mit Hilfe von Gl.(7-8) läßt sich der Betrag der Überdruckkraft auf die Seitenwand ermitteln:

$$F_{\text{pü}} = g \cdot \varrho \cdot h_S \cdot A = 9,81 \cdot 1000 \cdot 1,5 \cdot 3,4 = 176,58 \text{ kN} .$$

Aus Symmetriegründen ist  $x_D = x_S = 2 \text{ m}$  ; dies folgt direkt aus Gl. (7-10).

Die zweite Beziehung dieser Gleichung liefert die Ordinate des Druckmittelpunktes:

$$y_D = y_S + \frac{I_{x'}}{y_S \cdot A} = \frac{h_0}{2} + \frac{b \cdot h_0^3}{12} \cdot \frac{2}{h_0 \cdot b \cdot h_0} = 1,5 + \frac{3}{6} = 2 \text{ m} .$$

#### b) Grafische Lösung:

Das links am Behälter angegebene Dreieck (Bild 7-3) deutet den linearen Druckverlauf an. Die Dreiecksfläche entspricht gerade der Überdruckkraft bei einer Breite von  $b = 1 \text{ m}$ , wenn man bedenkt, daß gilt:

$$F_{\text{pü}} = \underbrace{\left( \int_A p_{\text{ü}} \cdot dA \right)}_{(A)} = g \cdot \varrho \cdot b \int_0^{h_0} y \cdot dy ; \quad \underline{\underline{F_{\text{pü}} = g \cdot \varrho \cdot b \cdot h_0^2 / 2}} . \quad - \text{ Was den Druck-}$$

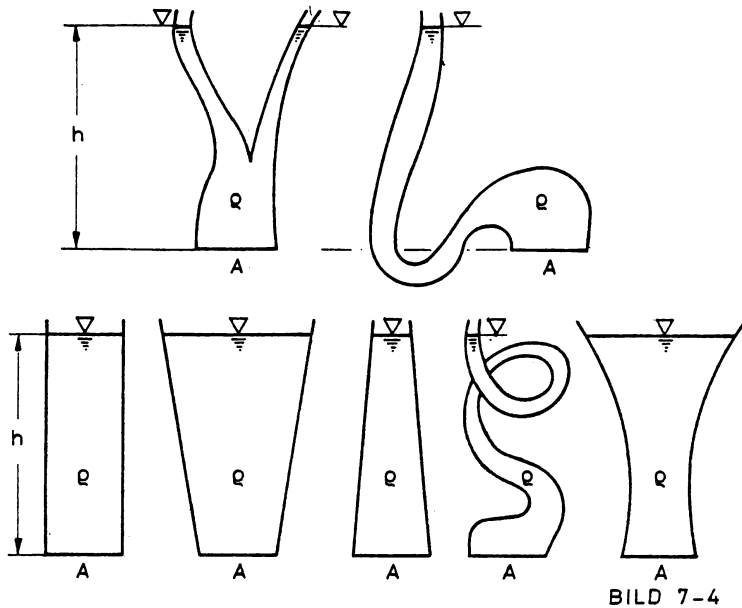
mittelpunkt angeht, so kann gesagt werden, daß er in einer Tiefe von  $2/3 \cdot h_0$  liegt, wonach er auf dem gleichen Niveau liegt wie der Schwerpunkt der Dreiecksfläche. Zur Erinnerung ist angedeutet, daß man den Schwerpunkt eines Dreiecks als den Schnittpunkt zweier Seitenhalbierenden erhält.

### 4. Beispiel

Eine Reihe verschiedener Gefäße gleicher Bodenfläche ist mit einer Flüssigkeit von der Dichte  $\varrho$  bis zur Höhe  $h$  angefüllt, Bild 7-4. Wie unterscheiden sich die einzelnen absoluten Bodendruckkräfte?

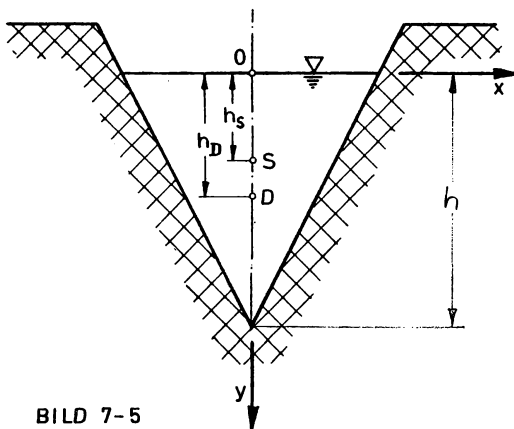
### Lösungen:

Der Einsatz von Gl.(7-4) ergibt:



Daraus folgt mit den gemachten Annahmen, daß die Bodendruckkräfte hier alle gleich groß sind, obwohl die Gewichtskräfte des jeweiligen flüssigen Inhalts verschieden sind. Man spricht hier vom hydrostatischen Paradoxon (auch Stevinus-Paradoxon genannt).

## 5. Beispiel



Man bestimme die Überdruckkraft auf ein senkrechtes Wehr, das einen Kanal von dreieckigem Querschnitt versperrt, Bild 7-5, und zwar der Größe und Lage nach. Angaben:  $\varrho = 1000 \text{ kg/m}^3$ ;  $b = 2 \text{ m}$ ;  $h = 3 \text{ m}$ .

Lösungen:

Die Gl.(7-8) führt zum Betrag der Kraft:

$$F_{pu} = 9,81 \cdot 1000 \cdot 1 \cdot \frac{2,3}{2}$$

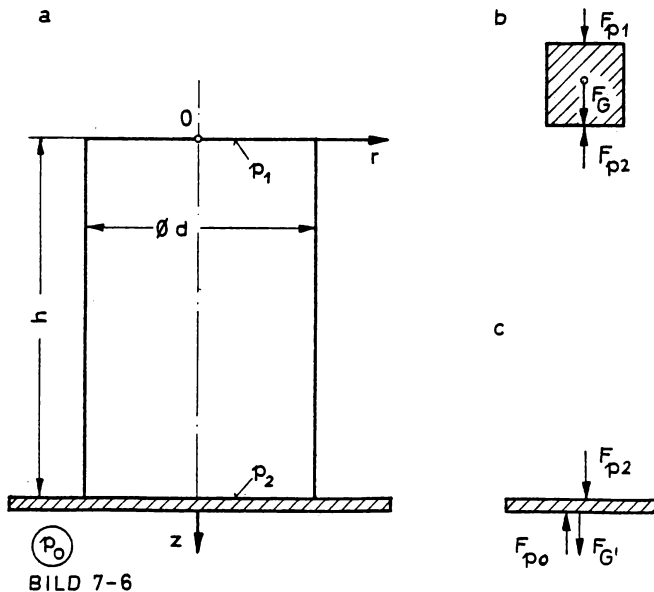
Die Ausrechnung ergibt  
gilt nach Gl.(7-10):

$$\begin{aligned} F_{pü} &= 29,43 \text{ kN} \quad . - \text{ Aus Symmetriegründen} \\ \underline{\underline{x_D}} &= \underline{\underline{x_S}} = 0 \quad . - \text{ Für } y_D \text{ erhält man:} \end{aligned}$$

$$\underline{\underline{y_D}} = \frac{h}{3} + \frac{b \cdot h^3 / 36}{\frac{h}{3} \cdot \frac{b \cdot h}{2}} = \frac{h}{2} = 1,5 \text{ m} \quad .$$

### 6. Beispiel

Ein zylindrisches Gefäß wird bis zum Rand mit Wasser gefüllt, durch eine Glasplatte verschlossen und dann umgestülpt. - Unter welcher Bedingung fließt das Wasser nicht aus, Bild 7-6 ?



### Lösung:

Im Gleichgewichtsfall gilt folgende Druckbilanz:

$$\underline{p_2 = p_1 + \rho \cdot g \cdot h} \quad (1);$$

desgleichen gilt für den freigemachten flüssigen Körper (Bild 7-6, Pos. b):

$$\sum F_{iz} = F_{p1} + F_G - F_{p2} = 0 \quad ;$$

mittels der Datenbeschaffung folgt:

$$\frac{\pi \cdot d^2}{4} \cdot p_1 + g \cdot \rho \cdot \frac{\pi \cdot d^2}{4} \cdot h - \frac{\pi \cdot d^2}{4} \cdot p_2 = 0 \quad , \text{ was zunchst das obige}$$

Druckgleichgewicht besttigt!- Das Gleichgewicht an der freigemachten Glasplatte fhrt zu folgender Gleichung (Bild 7-6, Pos. c) :

$$\sum F_{iz} = F_G' + F_{p2} - F_{p0} = 0 \quad ,$$

wenn man unter  $F_G$ , das Gewicht der Glasplatte versteht. Nach der Datenverwertung folgt:

$$F_G' = \frac{\pi \cdot d^2}{4} \cdot (p_0 - p_2) \quad (2).$$

Wenn man normalerweise das Plattengewicht  $F_G$ , und die Behlterhhe vorgibt, dann ist mit Beziehung (2) der Absolutdruck  $p_2$  zu ermitteln, welcher mit der Beziehung (1) den Wert fr den Absolutdruck  $p_1$  verursacht. Wenn  $p_1 \leq p_{\text{Kavitation}}$  (Bild 2-3), dann ist der Grenzfall des Plattenabfalls gekommen!-Bei dieser Systembetrachtung sind Platten-  
gewicht, Gefßdurchmesser, Gefßhhe und der Atmosphrendruck von Einfluß.

### 7. Beispiel

Ein rechteckiger Gleitschtz vom Gewicht  $F_G = 5 \text{ kN}$  soll hochgezogen werden, Bild 7-7. Die Wassertiefe wird mit  $h = 1,5 \text{ m}$  und die Kanalbreite

mit  $b = 3 \text{ m}$  angegeben. Der Reibungskoeffizient zwischen Gleitschtz und Laufbahn betrgt  $\mu = 0,3$ .- Man bestimme die notwendige Hubkraft  $F_z$  !

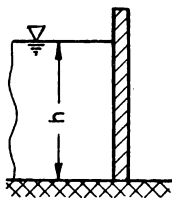
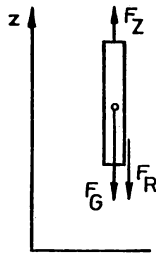


BILD 7-7



#### Lsung:

Das Gleichgewicht des freigemachten Schtzen ist in nachstehender Gleichung gegeben:

$$\sum F_{iz} = - F_G - F_R + F_z = 0 \quad ;$$

das Coulombsche Reibungsgesetz liefert  $F_R = \mu \cdot F_N$ , wobei  $F_N$  die normale Anpreßkraft ist, und zwar von der Grße der hydraulischen berdruckkraft  $F_{pu}$ . Diese Kraft ergibt sich mit Gl.(7-8) zu:

$F_{pü} = 9,81 \cdot 1000 \cdot 0,75 \cdot 1,5 \cdot 3 = 33,109 \text{ kN}$  .-Mit diesem Zwischenwert kann man dann für  $F_z$  notieren:

$$\underline{\underline{F_z = 5 + 0,3 \cdot 33,109 = 14,93 \text{ kN} \quad .}}$$

### 8. Beispiel

Ein Staudamm, dessen Querschnitt ein rechtwinkliges Dreieck ist, wird aus Beton gebaut ( $\rho_B = 2250 \text{ kg/m}^3$ ). -Man bestimme das Verhältnis  $h/c$ , Bild 7-8, so daß das Standmoment mindestens zweimal so groß ist wie das Kippmoment.

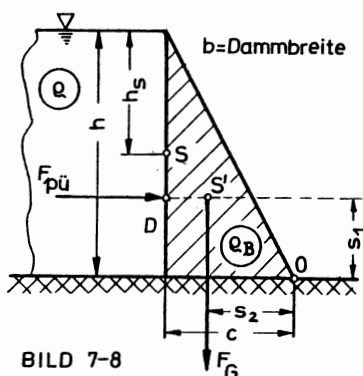


BILD 7-8

### Lösung:

Mit Hilfe der Seitenwanddruckkraft  $F_{pü} = g \cdot \rho \cdot h \cdot A$  (Gl. 7-8) läßt sich das Kippmoment bezüglich des Punktes O angeben zu:

$$M_K = F_{pü} \cdot s_1 = g \cdot \rho \cdot \frac{h}{2} \cdot h \cdot b \cdot \frac{h}{3} \quad . \text{Über das Staudammgewicht } F_G = g \cdot \rho_B \cdot \frac{c \cdot h}{2} \cdot b$$

erhält man für das Standmoment:

$$M_{St} = F_{pü} \cdot s_2 = g \cdot \rho_B \cdot \frac{c \cdot h}{2} \cdot b \cdot \frac{c}{3} \quad .$$

Die vorgeschriebene Sicherheitsbedingung lautet demnach:

$$S = \frac{M_{St}}{M_K} \geq 2 \quad , \quad \text{was unter Verwendung der Zwischenergebnisse ergibt:}$$

$$S = \frac{g \cdot \rho_B \cdot c^2 \cdot h \cdot b \cdot 6}{3 \cdot g \cdot \rho \cdot h^3 \cdot b} \geq 2 : \quad \underline{\underline{\frac{h}{c} \leq \sqrt{\frac{\rho_B}{\rho}} = \sqrt{\frac{2250}{1000}} = 1,5 \quad .}}$$

### 9. Beispiel

Eine vertikale rechteckige Wand trennt zwei Flüssigkeiten voneinander, Bild 7-9. Die Höhen werden mit  $h_1 = 6 \text{ m}$ ,  $h_2 = 4 \text{ m}$ , die Breite mit  $b = 8 \text{ m}$  und die Dichten mit  $\rho_1 = 1000 \text{ kg/m}^3$  und  $\rho_2 = 850 \text{ kg/m}^3$  angegeben. -Man bestimme das Einspannmoment  $M_0$ .



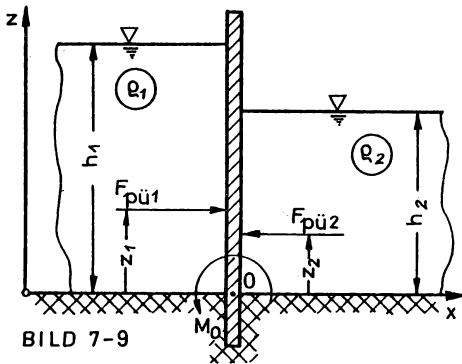


BILD 7-9

### Lösung:

Mit Hilfe der Überdruckkräfte

$$F_{pü1} = g \cdot \varrho_1 \cdot h_{S1} \cdot A_1 = g \cdot \varrho_1 \cdot b \cdot \frac{h_1^2}{2}$$

$$F_{pü2} = g \cdot \varrho_2 \cdot h_{S2} \cdot A_2 = g \cdot \varrho_2 \cdot b \cdot \frac{h_2^2}{2}$$

und den vereinfachten Angaben zu den Druckmittelpunkten:

$z_1 = h_1/3$  und  $z_2 = h_2/3$  ergibt sich aus dem Momentengleichgewicht

bezüglich des Einspannpunktes 0 folgende Beziehung:

$\sum M_i^{(0)} = M_0 - F_{pü1} \cdot z_1 + F_{pü2} \cdot z_2 = 0$ . Der Drehsinn des unbekannten Einspannmomentes ist beliebig herum angenommen worden. Das Zahlenergebnis bestätigt oder verneint die Annahme durch ein positives oder negatives Vorzeichen. - Das Einsetzen der Zahlenwerte ergibt aus der Momentengleichung:

$$M_0 = 9,81 \cdot 1000 \cdot 3 \cdot 6 \cdot 8 \cdot 2 - 9,81 \cdot 850 \cdot 2 \cdot 4 \cdot 8 \cdot \frac{4}{3} ; \underline{\underline{M_0 = 2,1 \cdot 10^6 \text{ Nm}}}$$

Der Drehsinn war zufällig richtig gewählt worden.

### 10. Beispiel

In einem Behälter mit ebener schrägen Seitenwand befinden sich Wasser

( $\varrho_1 = 1000 \text{ kg/m}^3$ ) und Erdöl ( $\varrho_2 = 900 \text{ kg/m}^3$ ) mit den Schichtdicken  $h_1 = 1 \text{ m}$  und  $h_2 = 0,5 \text{ m}$ , Bild 7-10.

Man bestimme die gesamte Überdruckkraft auf die Seitenwand der Grösse nach, wenn folgende Abmessungen bekannt sind: Breite  $b = 2 \text{ m}$  und  $\alpha = 60^\circ$ .

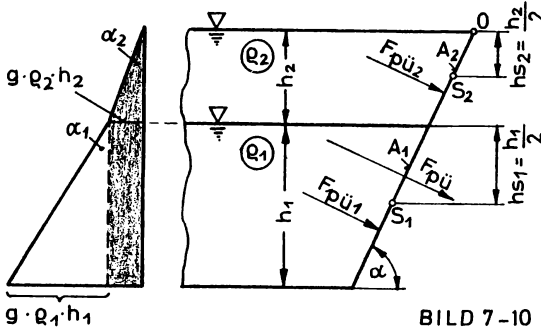


BILD 7-10

### Lösung:

Die einzelnen Überdruckkräfte lauten:

$$F_{pü2} = p_{üS2} \cdot A_2 \text{ mit } p_{üS2} = g \cdot \varrho_2 \cdot h_{S2} ;$$

$$F_{pü1} = p_{üS1} \cdot A_1 \text{ mit } p_{üS1} = g \cdot \varrho_1 \cdot h_{S1} + g \cdot \varrho_2 \cdot h_2 ;$$

für die Einzelflächen findet man sofort:

$$A_1 = b \cdot h_1 / \sin \alpha \quad \text{und} \quad A_2 = b \cdot h_2 / \sin \alpha .$$

Da die beiden Einzelkräfte parallel zueinander wirken, gilt für ihre Resultierende einfach:

$$F_{pü} = F_{pü1} + F_{pü2} = (9,81 \cdot 1000 \cdot 0,5 + 9,81 \cdot 900 \cdot 0,5) \cdot 2 / \sin 60^\circ + 9,81 \cdot 900 \cdot 0,25 \cdot 2 \cdot 0,5 / \sin 60^\circ$$

$$\underline{\underline{F_{pü} = 24,07 \text{ kN} .}}$$

### Bemerkungen:

- a) Zum Überdruckdiagramm: Der Steigungswinkel im oberen Abschnitt lautet  $\alpha_2$ , wobei  $\tan \alpha_2 = g \cdot \varrho_2$  ist. - Für die Flüssigkeit  $\varrho_1$  gilt ein anderer Steigungswinkel:  $\alpha_1$  mit  $\tan \alpha_1 = g \cdot \varrho_1$ . Die Gerade beginnt hier bei einem  $p_{ü} = g \cdot \varrho_2 \cdot h_2$  !
- b) Zum Angriffspunkt der Gesamtkraft  $F_{pü}$ : Zuerst ermittelt man mit Gl.(7-10) die Druckmittelpunktslagen der Einzelkräfte und zum Schluß mittels des Varignonschen Momentensatzes die Lage der Resultierenden.

### 11. Beispiel

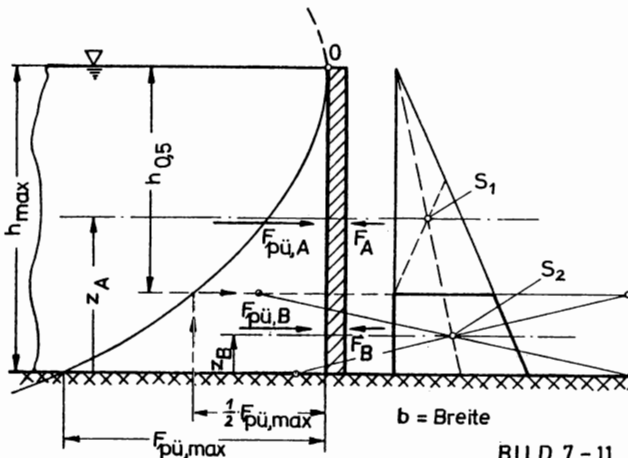


BILD 7-11

Die vertikale Seitenwand eines Wasserbehälters soll auf zwei Balken derart abgestützt werden, daß die Stützkräfte  $F_A$  und  $F_B$ , Bild 7-11, gleich groß ausfallen. - Man ermittle im einzelnen:

- a) die gesamte Seitenwanddruckkraft;
- b) die Höhenlagen der Wirkungslinien  $z_A$  und  $z_B$ ; die Lösung dieses Problems soll zuerst grafisch und dann rechnerisch unternommen werden.

Lösungen:

- a)  $F_{\text{pü}}$ : Nach Gl.(7-8) folgt:  $F_{\text{pü,max}} = g \cdot \varrho \cdot h_S \cdot A = g \cdot \varrho \cdot b \cdot h_{\text{max}}^2 / 2$ ; der Kräfteverlauf läßt sich offensichtlich durch eine Parabel

$$F_{\text{pü}} = g \cdot \varrho \cdot b \cdot h^2 / 2 \quad (7-12)$$

beschreiben. Der Schnittpunkt dieser Parabel mit dem Behälterboden deutet den Wert  $F_{\text{pü,max}}$  an. Die Halbierung dieses Kraftwertes gibt den Hinweis ab, welche beiden Zonen zur gleich großen Seitenwandkraft  $F_{\text{pü,A}}$  und  $F_{\text{pü,B}}$  führen.

- b)  $z_A$  und  $z_B$  (grafisch): Das Belastungsdreieck in Bild 7-11 wird über die Parabel in zwei äquivalente Flächen aufgeteilt: in ein oberes Dreieck und in ein unteres Trapez! - Durch den Schwerpunkt des Dreiecks  $S_1$ , der sich als Schnittpunkt zweier Seitenhalbierenden einstellt, verläuft die horizontale Wirkungslinie von  $F_A$ . - Analoges gilt für den Trapezschwerpunkt  $S_2$ : durch ihn verläuft die Wirkungslinie von  $F_B$ .

Diese Aufteilungsmethode eignet sich auch dafür, wenn noch weitere gleich belastete Seitenwandstützen vorgeschrieben wären.

- $z_A$  und  $z_B$  (rechnerisch): Die Tiefenlage der Trennungsebene errechnet sich folgendermaßen mittels Gl.(7-12):

$$0,5 \cdot F_{\text{pü,max}} = g \cdot \varrho \cdot b \cdot h_{0,5}^2 / 2 ; \quad h_{0,5} = \sqrt{F_{\text{pü,max}} / (g \cdot \varrho \cdot b)} .$$

Damit ergibt sich:

$$z_A = (h_{\text{max}} - h_{0,5}) + h_{0,5} / 3 ;$$

$$z_A = h_{\text{max}} - 2 \cdot h_{0,5} / 3 .$$

Mit Hilfe der Schwerpunktsformel für ein Trapez ergibt sich für  $z_B$ :

$$z_B = \frac{1}{3} \cdot \frac{h_{\text{max}} - h_{0,5}}{h_{\text{max}} + h_{0,5}} \cdot (h_{\text{max}} + 2 \cdot h_{0,5}) .$$

### 7.3. Druckkräfte auf gekrümmte offene Flächen

#### 7.3.1. Theorie

Die allgemein gültigen Berechnungsvorschriften für Druckkräfte von Gl.(7-3) und (7-4):

$$\vec{F}_p = \int \vec{n} \cdot p \cdot dA = i \cdot F_{px} + j \cdot F_{py} + k \cdot F_{pz}$$

werden bezüglich der Komponenten der Druckkräfte weiterentwickelt:

$$\boxed{\begin{aligned} F_{px} &= \int_{(A_{yz})} p(x,y,z) \cdot dA_{yz} & ; & & F_{py} &= \int_{(A_{xz})} p(x,y,z) \cdot dA_{xz} \\ F_{pz} &= \int_{(A_{xy})} p(x,y,z) \cdot dA_{xy} \end{aligned}} \quad (7-13).$$

Das Flächendifferential  $dA_{yz}$  bedeutet dabei die Projektion von  $dA$  auf eine Normalebene zur  $x$ -Achse; Entsprechendes gilt auch für die Flächendifferentiale  $dA_{xz}$  und  $dA_{xy}$ . Der Beweis für die Richtigkeit dieser Aussagen ergibt sich im Verlauf des ersten Beispiels im nachfolgenden Abschnitt (vgl. auch Abschn. 5.3.1).

#### 7.3.2. Beispiele

##### 1. Beispiel

Die Ecke eines Wasserbehälters wird durch einen Kugelausschnitt gebildet, Bild 7-12.-

Man ermittle die Überdruckkraft auf den Kugeloktanten der Größe und Richtung nach. Der Kugelradius beträgt  $r = 1$  m, und der Wasserstand wird mit  $h_0 = 3$  m angegeben.

##### Lösung:

Die Gleichung einer Kugel lautet im Sinne der Gl.(7-1):

$$f(x,y,z) = x^2 + y^2 + z^2 = r^2 = \text{const.}$$

die Gradierung der Flächenfunktion ergibt:

$$\nabla f = i \cdot \frac{\partial f}{\partial x} + j \cdot \frac{\partial f}{\partial y} + k \cdot \frac{\partial f}{\partial z}$$

$$\underline{\nabla f = 2 \cdot (i \cdot x + j \cdot y + k \cdot z)} ; \text{ den Betrag des Gradientenvektors erhält man zu:}$$



$$F_{püx} = \int_{(A)} \frac{x}{r} \cdot g \cdot \rho \cdot h \cdot dA = g \cdot \rho \cdot \int_{(A_{yz})} h \cdot dA_{yz} \quad , \text{ weil } \frac{x}{r} \cdot dA = \cos \alpha \cdot dA = dA_{yz}$$

ist. Das Integral stellt das statische Moment der projizierten Fläche  $A_{yz}$  dar, und zwar bezüglich der  $y'$ -Achse.

Mit Hilfe der beiden anderen Richtungswinkel:  $y/r = \cos \beta$  und  $z/r = \cos \gamma$  lassen sich die zwei noch fehlenden Komponenten der gesuchten Überdruckkraft anschreiben:

$$F_{püy} = \int_{(A)} \frac{y}{r} \cdot g \cdot \rho \cdot h \cdot dA = g \cdot \rho \cdot \int_{(A_{xz})} h \cdot dA_{xz} \quad ; \text{ das Integral stellt das sta-}$$

(A) (A<sub>xz</sub>)

tische Moment der projizierten Fläche  $A_{xz}$  bezüglich der  $x'$ -Achse dar. Die Ergebnisse für die statischen Momente der projizierten Flächen lauten in Anlehnung an Gl.(7-7):

$$\underline{S_{y'} = A_{yz} \cdot h_{SyZ}} \quad \text{und} \quad \underline{S_{x'} = A_{xz} \cdot h_{SxZ}} \quad .$$

Für die  $z$ -Komponente folgt:

$$F_{püz} = \int_{(A)} \frac{z}{r} \cdot g \cdot \rho \cdot h \cdot dA = g \cdot \rho \cdot \int_{(A_{xy})} h \cdot dA_{xy} \quad . \text{ Der Integrand des letzten}$$

(A) (A<sub>xy</sub>)

Integrals läßt sich anschaulich als das Volumenelement  $dV$  interpre-

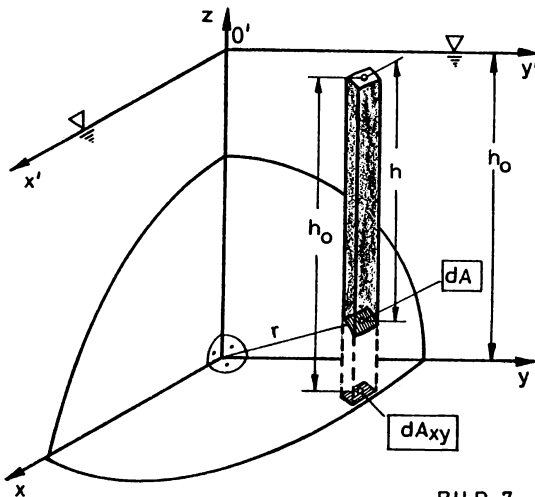


BILD 7-13

tieren, das sich als Säule zwischen dem Oberflächenelement  $dA$  und der Spiegeloberfläche erstreckt, Bild 7-13. Das Integral liefert damit das Volumen  $V_{xy}$ , welches sich über der bespülten Fläche befindet. Damit lassen sich die drei Komponenten zusammenstellen:

$$F_{püx} = g \cdot \varrho \cdot A_{yz} \cdot h_{Syz} ; F_{püy} = g \cdot \varrho \cdot A_{xz} \cdot h_{Sxz} ; F_{püz} = g \cdot \varrho \cdot V_{xy} \quad (7-14).$$

Die Vertikalkomponente einer Überdruckkraft auf eine von oben oder unten bespülten gekrümmten Fläche ist betragsmäßig gleich dem darüber lastenden Flüssigkeitsgewicht, und zwar gerechnet bis zur freien Oberfläche.

In Zahlen folgt nun:

$$F_{püx} = g \cdot \varrho \cdot \pi \cdot r^2 / 4 \cdot (0,4243 \cdot r + h_o - r) = 9,81 \cdot 1000 \cdot \frac{\pi}{4} \cdot (0,4243 + 2) = 18,679 \text{ kN.}$$

Aus Symmetriegründen gilt  $F_{püy} = F_{püx} = 18,679 \text{ kN.}$

Für die z-Komponente ergibt sich:

$$F_{püz} = g \cdot \varrho \cdot V_{xy} = g \cdot \varrho \cdot \left[ \underbrace{\frac{\pi \cdot r^2}{4} \cdot h_o}_{\text{Zylinder- viertel}} - \underbrace{\frac{1}{8} \cdot \frac{4}{3} \cdot \pi \cdot r^3}_{\text{Kugel- achtel}} \right]$$

$$F_{püz} = 9,81 \cdot 1000 \cdot \left( \frac{\pi \cdot 1^2}{4} \cdot 3 - \frac{1}{6} \cdot \pi \cdot 1^3 \right) = 17,978 \text{ kN.}$$

Treffen sich alle drei Kraftkomponenten in einem Punkt, dem Schnittpunkt ihrer Wirkungslinien, dann erhält man nach zweimaliger Anwendung des Pythagoräischen Lehrsatzes die Gesamtkraft:

$$F_{pü} = \sqrt{F_{püx}^2 + F_{püy}^2 + F_{püz}^2} \quad (7-15).$$

Selbst wenn im allgemeinen Fall die Wirkungslinien windschief zueinander sind, kann man nach Parallelverschiebung der Kraftkomponenten eine analoge Zusammenfassung vornehmen; nur führen dann die zusätzlichen Verschiebungsmomente zu einem gesamten Verwölbungsmoment. Da im vorliegenden Beispiel alle elementaren Druckkräfte durch den Kugelmittelpunkt verlaufen, geht auch die Wirkungslinie der gesamten Überdruckkraft

$$F_{pü} = \sqrt{18,679^2 + 18,679^2 + 17,978^2} = 31,953 \text{ kN}$$

durch den Kugelmittelpunkt.

Abschließend sei noch vermerkt, daß auf Grund der vorgenommenen Ableitung die Beziehungen in Gl.(7-14) Allgemeingültigkeit besitzen. Somit ist die Beweisführung für die Gl.(7-13) erbracht.

### Bemerkungen:

Zusammenfassend kann gesagt werden, daß man die Druckkraft auf eine einfach gekrümmte Fläche bei Bespülung durch eine schwere Flüssigkeit mit Hilfe ihrer Horizontal- und ihrer Vertikalkomponente berechnen kann.

- Die Horizontalkomponente wirkt als Druckkraft auf eine Vertikalebene, die als Projektionsebene der krummen Fläche auf eine Normalebene zur Horizontalrichtung zu verstehen ist. - Angriffspunkt ist der Druckmittelpunkt der Projektionsfläche.
- Die Vertikalkomponente ist gleichwertig (äquivalent) der Schwerkraft desjenigen Flüssigkeitsvolumens, das sich zwischen der von oben bespülten, gekrümmten Fläche und der freien Oberfläche befindet. Bei von unten bespülten krummen Flächen handelt es sich um die Schwerkraft der virtuellen (gedachten) Volumina, die sich zwischen den gekrümmten Flächen und den freien Oberflächen befinden. - Angriffspunkt der Vertikalkomponente ist der geometrische Schwerpunkt des über der krummen Fläche befindlichen realen oder virtuellen Volumens. Bei von oben bespülten krummen Flächen verläuft der Wirkungssinn der Vertikalkomponente nach unten; wird eine Fläche von unten bespült, dann kehrt sich der Wirkungssinn gerade um. - Es mag nochmals hervorgehoben werden, daß die Vertikalkomponente keine Gewichtskraft, sondern eine Druckkraft ist. Es ergibt sich nur eine betragsmäßige Übereinstimmung.

### 2. Beispiel

Man beschaffe Berechnungsvorschriften für den Fall, daß die Überdruckkraft ermittelt werden soll, wenn eine gekrümmte Fläche einem Gleichdruckgebiet ausgesetzt ist.

### Lösung:

Die Gl. (7-13) vereinfacht sich wegen des überall konstanten Druckes sofort zu:

$$F_{p_{üx}} = p \cdot A_{yz} ; \quad F_{p_{üy}} = p \cdot A_{xz} ; \quad F_{p_{üz}} = p \cdot A_{xy} \quad (7-16).$$

Der Druckmittelpunkt ist in diesem Fall jeweils der Schwerpunkt der projizierten Fläche. Diese Beziehungen gelten allgemein für Gase, Dämpfe und Flüssigkeiten, die unter sehr hohem Druck stehen, wo man also den Schwereeinfluß vergessen kann; denn es gilt ja  $p(x, y, z) \equiv \text{const} !$



### 3. Beispiel

Eine Wasserrohrleitung aus Stahl ( $\sigma_{z,zul} = 800 \text{ bar}$ ) steht unter einem Überdruck von  $p_{\ddot{u}} = 100 \text{ bar}$ .

Wie groß muß die Wandstärke  $s$  sein, wenn die Nennweite mit  $d=1 \text{ m}$  angegeben wird? - Man vernachlässige den Einfluß der Erdschwere. Eine Übersicht zeigt Bild 7-14, Pos. a .

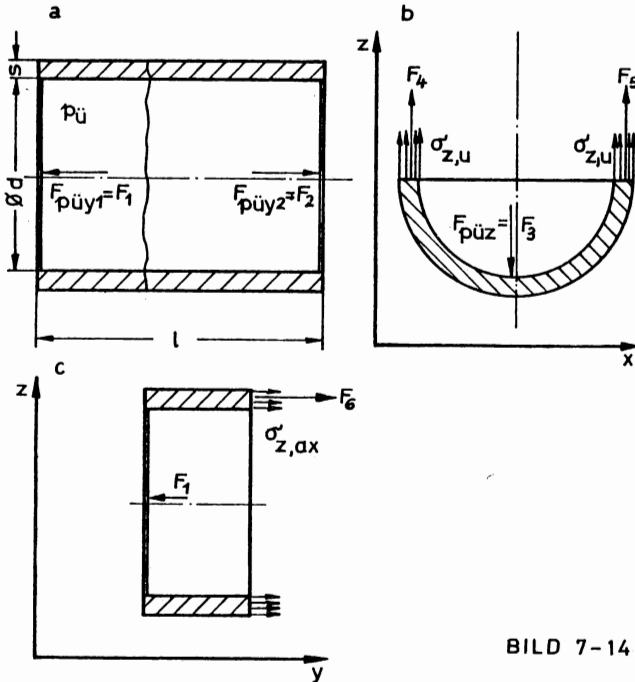


BILD 7-14

#### Lösung:

Die Angabe, daß die Erdschwere vernachlässigbar sei, deutet einen isobaren Raum an, wonach die Kraftkomponenten nach den Erkenntnissen des letzten Beispiels (Gl. 7-16) - vgl. auch Abschn. 6.1 - berechnet werden mögen.

Denkt man sich die gerade Rohrleitung an den Enden abgeschlossen, dann stellt man fest, daß das Rohr nicht nur

in Umfangsrichtung, sondern auch in Längsrichtung gezogen wird.

Das Gleichgewicht der Kräfte in  $z$ -Richtung ( die Rohrleitung ist abgestützt, so daß das Rohrgewicht nicht in Erscheinung tritt) ergibt (Bild 7-14, Pos. b):

$\sum F_{iz} = F_4 + F_5 - F_3 = 2 \cdot F_4 - F_3 = 0$  . Mit  $F_4 = \sigma_{z,u} \cdot s \cdot l$  , wobei konstante Spannungsverteilung als Näherung angenommen worden ist, folgt für die Wandstärke  $s$ , wenn man  $F_3 = p_{\ddot{u}} \cdot d \cdot l$  verwendet:

$$2 \cdot \sigma_{z,u} \cdot s \cdot l - p_{\ddot{u}} \cdot d \cdot l = 0 ;$$

$$s = \frac{p_{\ddot{u}} \cdot d}{2 \cdot \sigma_{z,u}} = \frac{p_{\ddot{u}} \cdot d}{2 \cdot \sigma_{z,zul}}$$

(7-17).

Mit Hilfe der Zahlenwerte folgt:  $s = 100 \cdot 10^5 \cdot 1 / (2 \cdot 800 \cdot 10^5) = \underline{\underline{62,5 \text{ mm}}}$ .

Das Kräftegleichgewicht in y-Richtung lautet:

$\sum F_{iy} = -F_1 + F_6 = 0$  ; die Datenbeschaffung lautet:

$$F_1 = p_u \cdot \pi \cdot d^2 / 4 \quad \text{und} \quad F_6 = \sigma_{z, \text{zul}} \cdot \frac{\pi}{4} \cdot [(d+2 \cdot s)^2 - d^2]$$

Die Gleichheit dieser beiden Kräfte führt schließlich zur Lösung einer quadratischen Gleichung:

$$s = -\frac{d}{2} \pm \sqrt{\frac{d^2}{4} + \frac{p_u \cdot d^2}{4 \cdot \sigma_{z, \text{zul}}}} = -\frac{1}{2} + \sqrt{0,25 + \frac{100 \cdot 10^5 \cdot 1}{4 \cdot 800 \cdot 10^5}} = \underline{\underline{30,33 \text{ mm}}}$$

Dieses Ergebnis besagt, daß die Materialanstrengung durch die Zugspannung in Umfangsrichtung größer ist, weshalb insgesamt die größere Wandstärke  $s = 62,5 \text{ mm}$  zu verwenden ist. -Bemerkung: Gl.(7-17) ist in der Festigkeitslehre auch als Kesselformel bekannt.

#### 4. Beispiel

Für einen kugelförmigen Wasserbehälter ( $d = 1 \text{ m}$ ;  $s = 63 \text{ mm}$ ;  $p_u = 100 \text{ bar}$ )

soll eine Druckprobe vorgenommen werden. Die zulässige Spannung ist zu  $\sigma_{\text{zul}} = 800 \text{ bar}$  angegeben. Das Wassergewicht ist zu vernachlässigen; Stahldichte  $\rho_{\text{St}} = 7850 \text{ kg/m}^3$ . Die Spannungswerte sind für folgende Belastungsfälle zu ermitteln:

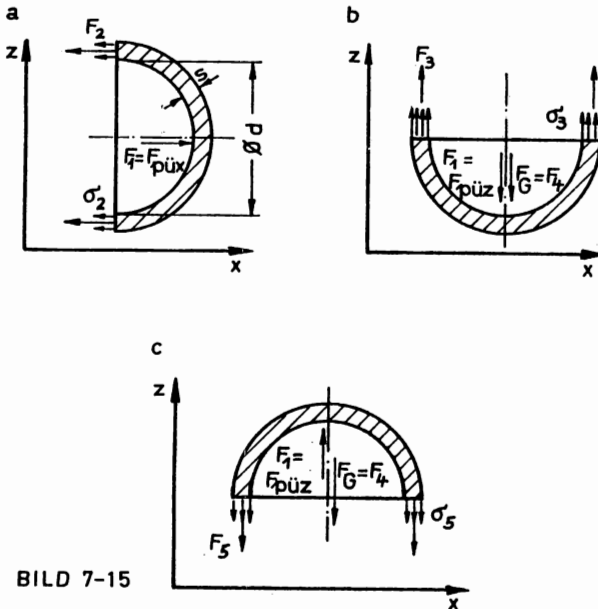


BILD 7-15

- ohne Einfluß des Behältergewichtes;
- mit Berücksichtigung des Kugelbehältergewichtes, und zwar bei aufgehängter Kugel;

c) genauso bei liegender Kugel. -Weitere Angaben siehe Bild 7-15.

Lösungen:

a) Effektivspannung ohne Kugelgewicht  $\sigma_2$  :

Das diesbezügliche Kräftegleichgewicht lautet (Bild 7-15, Pos. a):

$\sum F_{ix} = -F_2 + F_1 = 0$  ; die Datenbeschaffung ergibt:  $F_1 = p_u \cdot \pi \cdot d^2 / 4$   
und  $F_2 = \sigma_2 \cdot (\pi/4) \cdot [(d+2s)^2 - d^2]$  . Damit berechnet sich die effektive Spannung in diesem Belastungsfall mit:

$$\underline{\underline{\sigma_2 = \frac{100 \cdot 10^5 \cdot 1^2}{(1+2 \cdot 0,063)^2 - 1^2} = 373,3 \text{ bar} < 800 \text{ bar} !}}$$

b) Effektivspannung mit Kugelgewicht und aufgehängtem Behälter  $\sigma_3$  :

Nach Bild 7-15, Pos. b, ergibt sich aus dem Kräftegleichgewicht

$$\underline{\underline{\sum F_{zi} = F_3 - F_1 - F_4 = 0}} \text{ mit Hilfe der Einzeldaten:}$$

$$F_3 = \sigma_3 \cdot (\pi/4) \cdot [(d+2s)^2 - d^2] ; F_1 = (\pi/4) \cdot d^2 \cdot p_u \text{ und}$$

$$F_4 = F_G = 2 \cdot (\pi/3) \cdot \left[ \left( \frac{d}{2} + s \right)^3 - \left( \frac{d}{2} \right)^3 \right] \cdot g \cdot \rho_{St} \text{ für die gesuchte}$$

Spannung  $\sigma_3$  :

$$\sigma_3 = \frac{2 \cdot \frac{\pi}{3} \cdot [(0,5+0,063)^3 - 0,5^3] \cdot 7850 \cdot 9,81 + \frac{\pi}{4} \cdot 1^2 \cdot 100 \cdot 10^5}{\frac{\pi}{4} \cdot [(1+2 \cdot 0,063)^2 - 1^2]}$$
$$\underline{\underline{\sigma_3 = 313,7 \text{ bar} .}}$$

Analog folgt für  $\sigma_5$  (Bild 7-15, Pos. c) :

$$\underline{\underline{\sigma_5 = 372,9 \text{ bar} .}}$$

Bemerkungen:

Der Einfluß des Gewichts der Halbkugelschale ist vernachlässigbar. Aus einem Rohrstück von Beispiel 3 und zwei Böden, dargestellt durch zwei Halbkugelschalen nach Beispiel 4, kann man einen Behälter konzipieren, der sich ohne weiteres nach der Kesselformel (Gl. 7-17) berechnen läßt, da die höchste Spannung ja in Umfangsrichtung des zylindrischen Behälterteiles zu suchen ist.

### 5. Beispiel

Ein kugelförmiger, zweigeteilter Wasserbehälter hängt an einem Seil.  
Angaben: Durchmesser  $d = 1 \text{ m}$ ; Wandstärke  $s = 40 \text{ mm}$ ;  $\rho_{\text{Stahl}} = 7850 \text{ kg/m}^3$ ;  
Atmosphärendruck  $p_0 = 1,015 \text{ bar}$ .

Wie groß ist der Absolutdruck in der Trennungsebene des Kugelbehälters, Bild 7-16, damit die beiden Behälterhälften ohne Flanschschrauben zusammengehalten werden? - Die Abdichtung geschieht mittels einer

sehr schmalen Dichtlippe am Kugelinwendurchmesser.

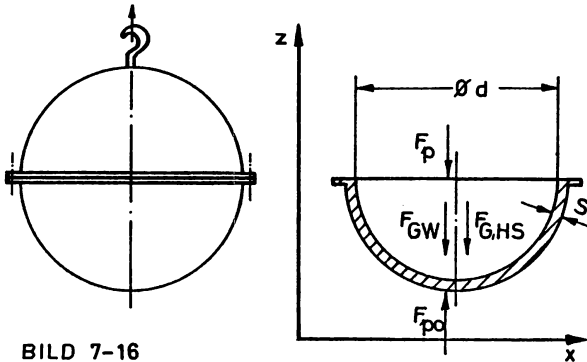


BILD 7-16

### Lösung:

Das Kräftegleichgewicht an der freigemachten unteren Kugelhalbschale lautet:

$$\sum F_{zi} = -F_p - F_{G,W} - F_{G,HS} + F_{p_0} = 0 \quad . \quad \text{Datenbeschaffung:}$$

Absolutdruckkraft:  $F_p = p \cdot (\pi/4) \cdot d^2 \quad ;$

Gewicht der Wasserkugel, die in voller Größe sich auf der unteren Kugelhalbschale abstützt:

$$F_{G,W} = \rho_W \cdot g \cdot (4/3) \cdot \pi \cdot (d/2)^3 \quad ;$$

Gewicht der Halbkugelschale:

$$F_{G,HS} = \rho_{\text{St}} \cdot g \cdot (2/3) \cdot \pi \cdot \left[ \left( \frac{d}{2} + s \right)^3 - \left( \frac{d}{2} \right)^3 \right] \quad ;$$

Absolutdruckkraft der Atmosphäre:

$$F_{p_0} = p_0 \cdot (\pi/4) \cdot d^2 \quad .$$

Setzt man diese Detailausdrücke in die Gleichgewichtsgleichung ein, so ergibt sich für den gesuchten Absolutdruck:

$$p = \frac{1,015 \cdot 10^5 \cdot (\pi/4) \cdot 1^2 - 10^3 (4/3) \cdot \pi \cdot 9,81}{(\pi/4) \cdot 1^2} - \frac{7850 \cdot 9,81 \cdot (2/3) \cdot \pi \cdot (0,54^3 - 0,5^3)}{(\pi/4) \cdot 1^2}$$

$$\underline{\underline{p = 0,883 \text{ bar}}}$$

#### Bemerkung:

Dieses Beispiel lehnt sich an den berühmten Versuch mit den Magdeburger Halbkugeln an, den Otto von Guericke 1654 durchführte.

#### 6. Beispiel

Ein oben offener Wasserbehälter mit zylindrischer Seitenwand, Bild 7-17, erfährt eine resultierende Seitenwandkraft  $F_r$ , die der Größe,

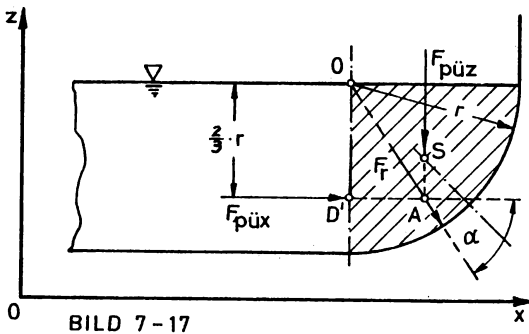


BILD 7-17

Richtung und Lage nach zu ermitteln ist. - Angaben: Radius der zylindrischen Seitenwand  $r = 3 \text{ m}$ ; Behälterbreite  $b = 5 \text{ m}$ ;  $\rho_W = 1000 \text{ kg/m}^3$ .

#### Lösungen:

a) Betrag der Seitenwandkraft:

Den Gl. (7-8) und (7-13)

und den Bemerkungen des ersten Beispiels zufolge berechnet man zuerst die Horizontalkomponente nach:

$$\underline{\underline{F_{püx} = g \cdot \rho_W \cdot h_S \cdot A' = g \cdot \rho_W \cdot (r/2) \cdot b \cdot r = g \cdot \rho_W \cdot b \cdot r^2/2}}$$

Die gestrichelten Angaben beziehen sich auf die projizierte Seitenwand bezüglich einer Normalebene zur x-Achse! - Die Vertikalkomponente entspricht gerade dem Gewicht der schraffierten Zone in Bild 7-17:

$$\underline{\underline{F_{püz} = g \cdot \rho_W \cdot V = g \cdot \rho_W \cdot (\pi/4) \cdot r^2 \cdot b}} \quad \text{Da es sich um eine einfach}$$

gekrümmte Seitenwand handelt, fällt die zweite Horizontalkomponente  $F_{püy}$  weg, so daß nach Gl. (7-15) die resultierende, auf dem Überdruck basierende Seitenwanddruckkraft sich ergibt zu:

$$\underline{\underline{F_r = F_{pü} = \sqrt{F_{püx}^2 + F_{püz}^2} = g \cdot \rho_W \cdot b \cdot r^2 \cdot \sqrt{\frac{1}{4} + \frac{\pi^2}{16}}}} \quad \text{Mit den Zahlen-}$$

werten folgt:

$$\underline{\underline{F_r = 9,81 \cdot 1000 \cdot 5 \cdot 3^2 \cdot \sqrt{0,25 + \pi^2/16} = 411 \text{ kN}}}$$

b) Richtung bzw. Neigungswinkel:

Wegen der einfachen Seitenwandkrümmung dürfen die beiden Kraftkomponenten im Schnittpunkt ihrer Wirkungslinien zusammengefaßt werden; dort läßt sich dann ohne weiteres der Neigungswinkel  $\alpha$  mittels der Beziehung  $\text{tg} \alpha = F_{\text{püz}} / F_{\text{püx}} = \pi/2$  berechnen:

$$\underline{\underline{\alpha = 57,52^\circ}}$$

c) Lage der Wirkungslinie:

Auf jedem Seitenwandelement steht die dazugehörige differentielle Überdruckkraft senkrecht, was bei zylindrischer Wandkrümmung doch nichts anderes bedeutet, als daß die Detailwirkungslinie durch den Krümmungsmittelpunkt hindurchgeht. Da ein ebenes Problem vorliegt (in Bildtiefe ergeben sich in jedem Schnittbild gleiche Verhältnisse) und die Krümmung der Flächenelemente überall gleich ist, besitzen sie alle denselben Krümmungsmittelpunkt O. Somit ist die Gewähr gegeben, daß die resultierende Druckkraft  $F_r = F_{\text{pü}}$  auch durch O verläuft! - Auf Grund dieser Feststellung entfällt die Bestimmung des Flächenschwerpunktes S sowie des Schnittpunktes A. Man darf demnach direkt im Krümmungsmittelpunkt O die Gesamtwirkungslinie unter dem bereits bekannten Neigungswinkel  $\alpha$  eintragen!

## 7. Beispiel

Man bestimme die Seitenwanddruckkraft auf ein Sektorwehr der Größe, Richtung und Lage nach, Bild 7-18.

Angaben: Wasserstandshöhe  $h = 4 \text{ m}$ ; Wehrbreite  $b = 6 \text{ m}$ ; Wehrwinkel  $\alpha = 45^\circ$ .

### Lösungen:

a) Betrag der Seitenwanddruckkraft:

Gleiarartige Überlegungen wie im letzten Beispiel führen zu folgenden Gleichungen:

$$F_{\text{püx}} = g \cdot \varrho \cdot h_{\text{S}} \cdot A' = g \cdot \varrho \cdot 0,5 \cdot h \cdot b = g \cdot \varrho \cdot b \cdot h^2 / 2 \quad ;$$

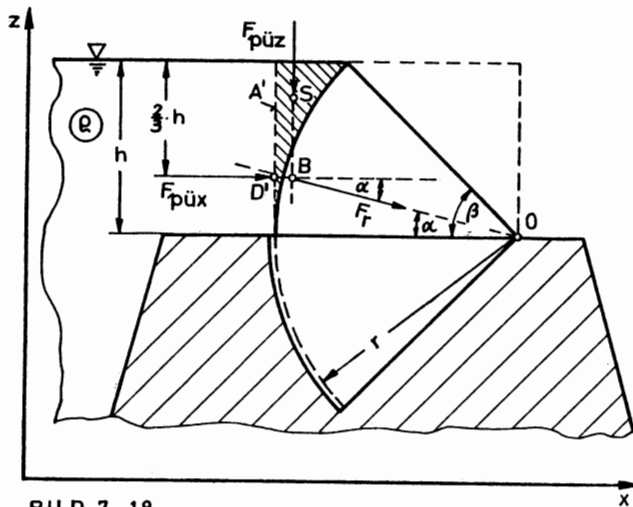


BILD 7-18

$F_{püz} = g \cdot \varrho \cdot V = g \cdot \varrho \cdot b \cdot (h \cdot r - 0,125 \cdot \pi \cdot r^2 - 0,5 \cdot h^2)$  , wobei  $r = h \cdot \sqrt{2}$  gilt. - Die Resultierende errechnet sich dann folgendermaßen:

$$F_r = \sqrt{F_{püx}^2 + F_{püz}^2} = g \cdot \varrho \cdot b \cdot h^2 \cdot \sqrt{0,25 - (\sqrt{2} - 0,25 \cdot \pi - 0,5)} ;$$

$$F_r = F_{pü} = 0,4831 \cdot g \cdot \varrho \cdot b \cdot h^2 \quad . \quad - \text{ In Zahlen folgt:}$$

$$\underline{F_r} = 0,4831 \cdot 9,81 \cdot 1000 \cdot 6 \cdot 4^2 = \underline{454,96 \text{ kN}} \quad .$$

b) Richtung bzw. Neigungswinkel:

Die Winkelbestimmung läßt sich auch hier wie im vorigen Beispiel durchführen:

$$\text{tg} \alpha = F_{püz} / F_{püx} = 0,2576 \quad ; \quad \underline{\alpha = 14,45^\circ} \quad .$$

c) Lage der Wirkungslinie:

Auch in diesem Beispiel entfällt wegen der überall gleichen Seitenwandkrümmung die Bestimmung des Schwerpunktes S der schraffierten Teilfläche und die Ermittlung des Schnittpunktes B. Wiederum verläuft

die Wirkungslinie der Resultierenden durch den Krümmungsmittelpunkt bzw. hier den Drehpunkt O des Sektorwehres.

### 8. Beispiel

Zwei Wasserbehälter sind durch eine halbzyklindrische Seitenwand voneinander getrennt, Bild 7-19. Daraus entnehme man auch die Wasserstands-

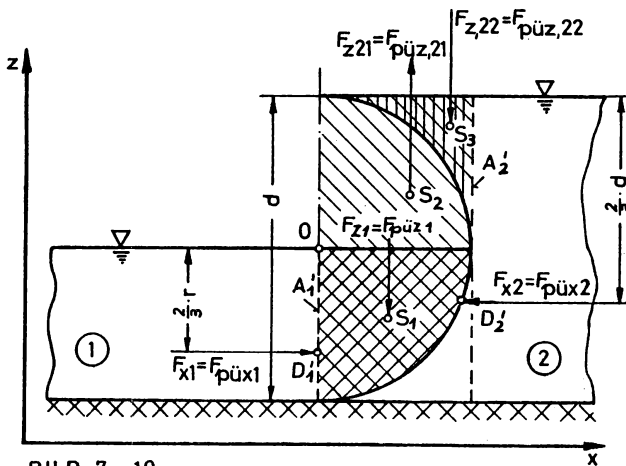


BILD 7 - 19

höhen.-Angaben: Durchmesser  $d = 2 \text{ m}$ , Behälterbreite  $b = 5 \text{ m}$ . - Man ermittle die resultierende Überdruckkraft auf die zylindrische Trennwand der Größe, Richtung und Lage nach.

### Lösungen:

#### a) Betrag der Trennwandkraft:

Das vorgelegte, ebene Komponentensystem läßt sich folgendermaßen kommentieren:

Im Druckmittelpunkt  $D_1'$  wirkt die horizontale Druckkraftkomponente  $F_{x1} = F_{püx,1}$ . - Im Schwerpunkt  $S_1$  wirkt die vertikale Druckkraftkomponente  $F_{z1} = F_{püz,1}$  nach unten; sie entspricht ja gerade dem Gewicht der rechts schraffierten Zone.



Im Druckmittelpunkt  $D_2'$  wirkt die gesamte Horizontalkomponente von rechts her. Sie heit  $F_{x2} = F_{px,2}$ . - Im Schwerpunkt  $S_2$  bezglich der links schraffierten Zone wirkt die Aufdruckkraft  $F_{z,21} = F_{pz,21}$ , welche gleichen Betrag hat wie das links schraffierte Flssigkeitsgewicht. Von unten besplte Flchen erfahren doch eine Aufdruckkraft, die gleich ist dem Gewicht des Flssigkeitsvolumens, das man sich aufgebracht denkt zwischen der von unten besplten Flche und dem Flssigkeitsspiegel.

Im Schwerpunkt  $S_3$  wirkt die Abdruckkraft  $F_{z,22} = F_{pz,22}$ . Sie entspricht dem Gewicht der vertikal schraffierten Zone.

Die linksseitigen Komponenten fhren zu einer Teilresultierenden  $F_{r1}$ , die rechtsseitigen Komponenten ergeben als weitere Teilresultierende  $F_{r2}$ . Jede Teilresultierende verluft mit ihrer Wirkungslinie durch den gemeinsamen Krmmungsmittelpunkt O (siehe auch die Beispiele 6 und 7), so da sie problemlos in O zur Gesamtresultierenden zusammengefat werden knnen. Das erleichtert die rechnerische Ermittlung von  $F_r$  ausserordentlich: Man kann jetzt alle Komponenten schadlos parallel durch O verlaufen lassen. Rechnerisch lt sich folgendermaen vorgehen:

$$\sum F_{xi} = F_{x1} - F_{x2} = F_{rx} \quad (1).$$

$$\sum F_{zi} = -F_{z1} + F_{z,21} - F_{z,22} = F_{rz} \quad (2).$$

Nun hat die Datenbeschaffung der einzelnen Komponenten zu erfolgen:

$$F_{x1} = g \cdot \varrho \cdot h_{S1}' \cdot A_1' = g \cdot \varrho \cdot (d/4) \cdot b \cdot (d/2) = g \cdot \varrho \cdot b \cdot d^2/8 ;$$

$$F_{x2} = g \cdot \varrho \cdot h_{S2}' \cdot A_2' = g \cdot \varrho \cdot (d/2) \cdot b \cdot d = g \cdot \varrho \cdot b \cdot d^2/2 ;$$

$$F_{z1} = g \cdot \varrho \cdot b \cdot 0,25 \cdot (\pi/4) \cdot d^2 = g \cdot \varrho \cdot b \cdot \pi \cdot d^2/16 ;$$

$$F_{z,21} = g \cdot \varrho \cdot b \cdot (0,25 \cdot \frac{\pi \cdot d^2}{4} + \frac{d^2}{4}) = \frac{4+\pi}{16} \cdot g \cdot \varrho \cdot b \cdot d^2 ;$$

$$F_{z,22} = g \cdot \varrho \cdot b \cdot (\frac{d^2}{4} - \frac{\pi \cdot d^2}{16}) = \frac{4-\pi}{16} \cdot g \cdot \varrho \cdot b \cdot d^2 .$$

Damit erhlt man fr die Komponenten der Resultierenden:

$$(1) : \quad \underbrace{F_{rx} = -\frac{3}{8} \cdot g \cdot \varrho \cdot b \cdot d^2}_{\text{}} ; \quad (2) : \quad \underbrace{F_{rz} = +\frac{\pi}{16} \cdot g \cdot \varrho \cdot b \cdot d^2}_{\text{}} .$$

Die Resultierende lautet danach:

$$F_r = \sqrt{F_{rx}^2 + F_{rz}^2} = \sqrt{\left(\frac{3}{8} \cdot 9,81 \cdot 1000 \cdot 5 \cdot 2^2\right)^2 + \left(\frac{\pi}{16} \cdot 9,81 \cdot 1000 \cdot 5 \cdot 2^2\right)^2}$$

$$\underline{\underline{F_r = 83,05 \text{ kN}}}$$

b) Richtung bzw. Neigungswinkel:

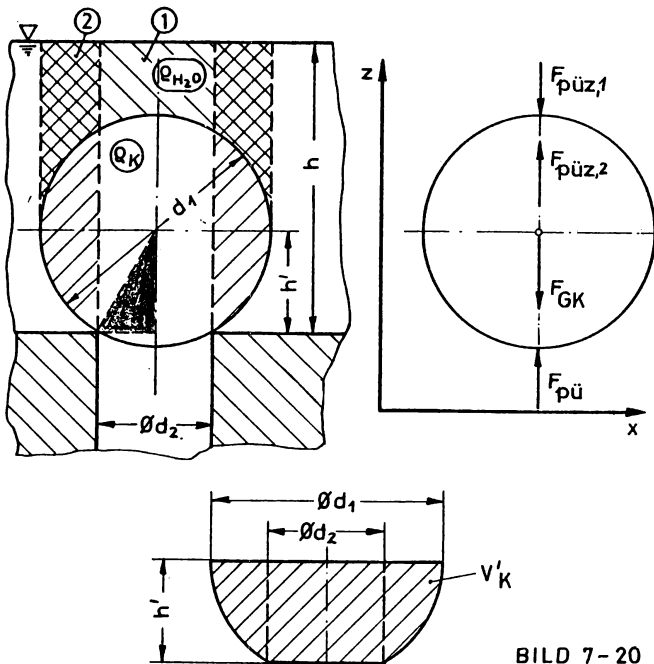
Entsprechend der Vorzeichen der Komponentenergebnisse wirkt die Kraft in den zweiten Quadranten hinein, d.h.: nach links oben!-Der Neigungswinkel beträgt somit:  $\text{tg}\alpha = F_{rz}/F_{rx} = (\pi/16)/(-3/8) = -0,5236$  ;

$$\underline{\underline{\alpha = -27,64^\circ}}$$

c) Lage der Wirkungsline:

Dieses Problem ist bereits in Aufgabenposition a) und b) gelöst worden: Sie verläuft durch 0 bei einem Winkel von  $\alpha = -27,64^\circ$  .

### 9. Beispiel



Ein kugelförmiger Ventilkörper wird durch eine Wassersäule von  $h = 15 \text{ m}$  in seinen Ventilsitz gepreßt, Bild 7-20.-Wie groß muß der untere Überdruck sein, damit ohne Berücksichtigung von Trägheits-, Reibungs- und Adhäsionskräften der Ventilkörper angehoben wird ?

BILD 7-20

Angaben:  $d_1 = 50 \text{ mm}$ ;  $\rho_W = 1000 \text{ kg/m}^3$ ;  $\rho_{\text{Kugel}} = 1800 \text{ kg/m}^3$ ;  $d_2 = 25 \text{ mm}$ .

Lösung:

Im Grenzfall des Anhebens der Kugel gibt es keine Auflagerkraft, vom Ventilsitz herkommend. Deshalb lautet das Kräftegleichgewicht an der freigemachten Kugel:

$$\sum F_{zi} = + F_{pü} - F_{GK} - F_{püz,1} + F_{püz,2} = 0 \quad . \quad - \text{Datenbeschaffung:}$$

Gewicht der Ventilkugel:  $F_{GK} = g \cdot \rho_K \cdot \pi \cdot \frac{4}{3} \cdot \left(\frac{d_1}{2}\right)^3 = \frac{\pi \cdot g \cdot \rho_K \cdot d_1^3}{6}$  ;

unbekannte Überdruckkraft:  $F_{pü} = p_{ü} \cdot (\pi/4) \cdot d_2^2$  ;

Abdruckkraft der von oben gespülten Kugelfläche:

$$F_{püz,1} = g \cdot \rho_W \cdot \left[ \frac{\pi \cdot d_1^2 \cdot (h-h')}{4} - \frac{1}{2} \cdot \frac{4}{3} \cdot \pi \cdot \left(\frac{d_1}{2}\right)^3 \right]$$

mit  $h' = \sqrt{(d_1/2)^2 - (d_2/2)^2}$  .

Aufdruckkraft der von unten gespülten Kugelfläche:

$$F_{püz,2} = g \cdot \rho_W \cdot \left[ \frac{\pi \cdot d_1^2}{4} \cdot (h-h') + V_K' - \frac{\pi \cdot d_2^2 \cdot h}{4} \right]$$

mit dem Volumen der Kugelschicht:

$$V_K' = \frac{\pi}{6} \cdot h' \cdot \left[ 3 \cdot (d_1/2)^2 + 3 \cdot (d_2/2)^2 + h'^2 \right] .$$

Mit den Zahlenwerten erhält man schließlich folgende Einzelergebnisse:

$$F_{GK} = (\pi/6) \cdot 9,81 \cdot 1800 \cdot 0,05^3 = 1,156 \text{ N} ;$$

$$F_{pü} = p_{ü} \cdot (\pi/4) \cdot 0,025^2 = 4,909 \cdot 10^{-4} \text{ N} ;$$

$$h' = \sqrt{0,025^2 - 0,0125^2} = 21,65 \text{ mm} ;$$

$$F_{püz,1} = 9,81 \cdot 1000 \cdot \left[ \frac{\pi \cdot 0,05^2}{4} \cdot (15 - 0,02165) - 0,5 \cdot \frac{4}{3} \cdot \pi \cdot 0,025^3 \right] = 288,19 \text{ N} ;$$

$$V_K' = \frac{\pi}{6} \cdot 0,02165 \cdot \left[ 3 \cdot 0,025^2 + 3 \cdot 0,0125^2 + 0,02165^2 \right] = 3,1882 \cdot 10^{-5} \text{ m}^3 ;$$

$$F_{püz,2} = 9,81 \cdot 1000 \cdot \left[ \frac{\pi \cdot 0,05^2}{4} \cdot (15 - 0,02165) + 3,1882 \cdot 10^{-5} - \frac{\pi \cdot 0,0125^2}{4} \cdot 15 \right]$$

$$F_{püz,2} = 216,59 \text{ N} .$$

Setzt man diese Zwischenergebnisse in die anfängliche Gleichgewichts-gleichung ein, dann folgt:

$$4,909 \cdot 10^{-4} \cdot p_{\text{ü}} - 1,156 - 288,19 + 216,59 = 0 \quad ;$$

$$\underline{\underline{p_{\text{ü}} = 1,482 \text{ bar} \quad .}}$$

#### 7.4. Druckkräfte auf geschlossene Flächen

##### 7.4.1. Bei isobarer Umgebung *Bei isobarer Umgebung*

Bei geschlossenen Flächen handelt es sich selbstverständlich nur um gekrümmte oder polyedrische Flächen. Unter einer geschlossenen Fläche verstehe man beispielsweise die Oberfläche eines Körpers oder Kontrollraumes.

Aus den Bemerkungen zu Gl. (7-16) läßt sich sofort schlußfolgern, daß die resultierende Überdruckkraft verschwindet, wenn ein Körper einem isobaren Druckfeld ausgesetzt wird. In jeder Kontrollrichtung läßt sich die Körperoberfläche auf eine Normalebene projizieren, die von beiden Seiten voraussetzungsgemäß von gleich großem Druck beaufschlagt wird, so daß sich also in jeder Richtung die Überdruckkraftwirkungen aufheben.

##### 7.4.2. Bei schwerer Umgebung

Wird dagegen ein Körper, dessen Oberfläche eine geschlossene Fläche bildet, in eine schwere Flüssigkeit getaucht, dann wird er von einem Druckfeld umgeben, wobei der Druck mit zunehmender Tiefe wächst. Hierbei entsteht erwartungsgemäß eine resultierende Überdruckkraft. Darüber berichtet der nächste Abschnitt.

### 8. HYDROSTATISCHER AUFTRIEB UND SCHWIMMZUSTAND

#### 8.1. Hauptsatz von Archimedes

In Bild 8-1 wird ein Körper gezeigt, der voll in eine schwere Flüssigkeit eingetaucht worden ist. Zur Orientierung dient ein räumliches Koordinatensystem. Es entwickeln sich an jedem Oberflächenelement Überdruckkräfte, die darauf senkrecht stehen. Wie man Überdruckkräfte mittels ihrer Komponenten berechnen kann, geben bekanntlich die Beziehungen von Gl. (7-13) an.

Parallele Geraden zur x-Achse berühren den eingetauchten Körper längs

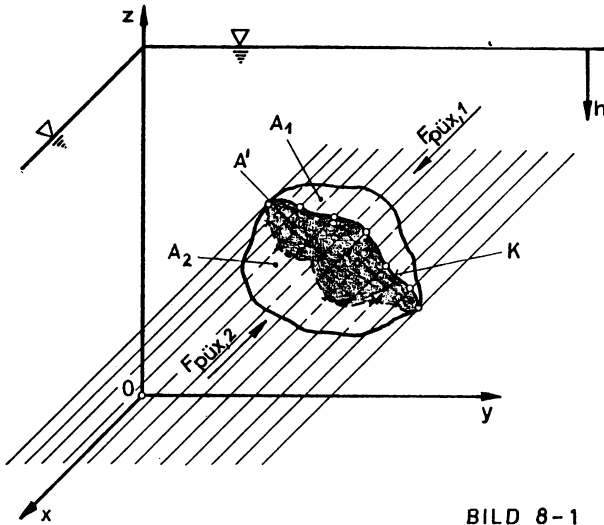


BILD 8-1

der geschlossenen Kurve  $K$ . Damit wird die geschlossene Raumfläche in zwei Teile:  $A_1$  und  $A_2$  getrennt. Projiziert man nunmehr die Teilflächen auf eine Normalebene zur  $x$ -Achse, dann erhält man für beide Beobachtungsseiten dieselbe im Bild 8-1 angeschwärmte Fläche  $A'$ . Die sich einstellenden Überdruckkräfte  $F_{püx,1}$

und  $F_{püx,2}$  sind betragsmäßig gleich, da in jeder Tiefenlage  $h$  die Überdrücke auf den Seiten  $A_1$  und  $A_2$  für sich gleich groß sind, obwohl  $\rho \cdot g \cdot h$  mit der Tiefe zunimmt! Die beiden genannten Überdruckkräfte haben aber entgegengesetzte Richtung, weshalb sie sich gegenseitig aufheben und zu keiner resultierenden Kraftkomponente führen. Sie beanspruchen aber den Körper auf Druck, was für die festigkeitsmäßige Berechnung bedeutungsvoll ist. Die Kraftberechnung wird für den Sonderfall einer vertikal stehenden Seitenwand vorgenommen, und zwar mit Hilfe der Gleichungen (7-8) bis (7-10). Abschließend kann gesagt werden, daß die Überdruckkräfte keine Bewegung des Körpers in  $x$ -Richtung verursachen können.

Zu gleichlautenden Ergebnissen und Aussagen gelangt man auch bei den Untersuchungen in  $y$ -Richtung.

Zu einem ganz anderen Ergebnis führt die Betrachtung der Überdruckkräfte in  $z$ -Richtung, Bild 8-2. Die vertikalen Körpertangenten berühren den Körper längs der geschlossenen Kurve  $K$  und bilden die Mantelfläche eines zylindrischen Körpers. Die beiden durch  $K$  abgetrennten Teilflächen heißen  $A_1$  und  $A_2$ . Nach der dritten Beziehung in Gl. (7-14) berechnen sich die  $z$ -Komponenten der Überdruckkräfte für von unten oder von oben bespülten Körperoberflächen betragsmäßig als das Gewicht des Flüssigkeitsvolumens, das man sich von der fraglichen Körperoberfläche (hier  $A_1$  und  $A_2$ ) bis hin zur Flüssigkeitsoberfläche  $S$

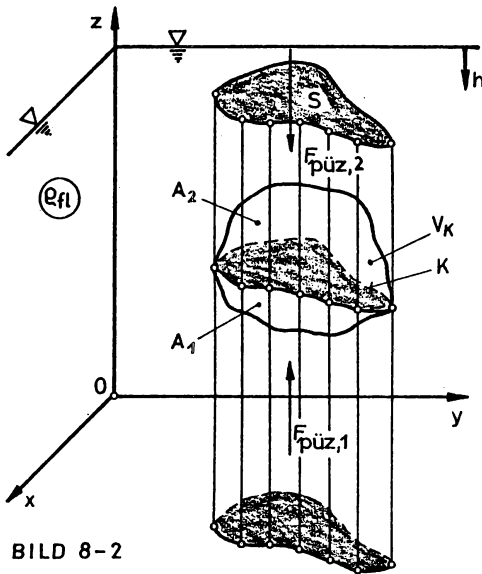


BILD 8-2

vorstellt.-Nennt man das Volumen  $V$  zwischen der De-  
tailoberfläche  $A_1$  und dem  
Flüssigkeitsspiegel  $S$  und  
möge das Körpervolumen  $V_K$   
heißen, dann kann man für  
die Überdruckkräfte notie-  
ren:

$$F_{\text{püz},1} = \rho_{\text{fl}} \cdot g \cdot (V_K + V)$$

und

$$F_{\text{püz},2} = \rho_{\text{fl}} \cdot g \cdot V$$

Es stellt sich danach ei-  
ne nach oben wirkende re-  
sultierende Druckkraft

$$F_{\text{püz}} = \rho_{\text{fl}} \cdot g \cdot V_K = F_{A,\text{st}}$$

(8-1)

ein. Sie wird auch hydrostatischer Auftrieb  $F_{A,\text{st}}$  genannt. Hierin be-  
steht der Hauptsatz von Archimedes:

Wenn ein Körper in eine schwere Flüssigkeit voll eingetaucht  
wird, dann erfährt er eine nach oben gerichtete, resultieren-  
de Überdruckkraft, die gleich ist dem Betrag des Flüssigkeits-  
gewichtes, welches der Körper verdrängt hat. Der Angriffspunkt  
des Auftriebs ist der Massenmittelpunkt  $M_V$  der verdrängten  
Flüssigkeit und wegen der Homogenität der Flüssigkeit gleich-  
bedeutend mit dem geometrischen Schwerpunkt  $S$  des verdrängten  
Flüssigkeitsvolumens.

## 8.2. Vertikalbewegungen und Schwimmen

Ein vollkommen eingetauchter Körper verliert nichts von seinem Ge-  
wicht; es müssen jetzt nur zwei Kräfte berücksichtigt werden, die in  
z-Richtung auf ihn einwirken: die äußere Kraft  $F_G$  und die Flächen-  
kraft  $F_{A,\text{st}}$ , Bild 8-3.

Die Kräftedifferenz  $F_z = F_{A,\text{st}} - F_G = (\rho_{\text{fl}} - \rho_K) \cdot g \cdot V_K$  gibt Auskunft  
über das Bewegungsverhalten des untergetauchten Körpers.

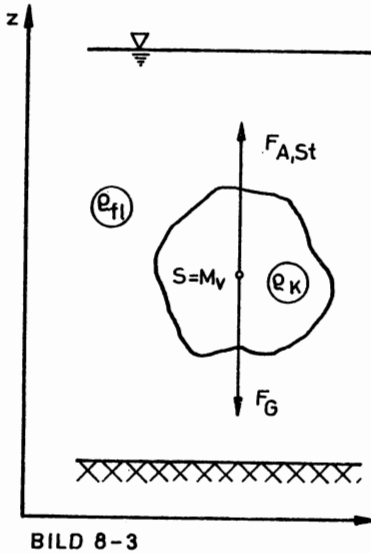


BILD 8-3

1. Fall:  $F_{A,St} < F_G$ ;  $\rho_{fl} < \rho_K$ .

$F_z$  wird negativ und heißt Absinkkraft. Es stellt sich so lange eine Abwärtsbewegung ein, bis der Körper auf dem Grund aufliegt.

2. Fall:  $F_{A,St} = F_G$ ;  $\rho_{fl} = \rho_K$ .

$F_z = 0$  wegen der Gleichheit der Dichten. Der Körper bleibt irgendwo im untergetauchten Zustand "schweben". Es herrscht Kräftegleichgewicht.

3. Fall:  $F_{A,St} > F_G$ ;  $\rho_{fl} > \rho_K$ .

$F_z$  wird positiv und heißt Aufsteigkraft. Wenn man von der Flüssigkeitsreibung zunächst absieht, dann stellt sich wie auch bei der Sink-

bewegung eine beschleunigte Bewegung ein. Der Körper überschreitet die freie Oberfläche und erfährt vertikale Schwingungen, die natürlich im Falle realer Flüssigkeit gedämpft werden und allmählich abklingen: Der Körper kommt zur Ruhe und schaut mit einem Teil seines Körpervolumens  $V_{K2}$  aus der Flüssigkeitsoberfläche heraus, Bild 8-4. Das Kräfte-

gleichgewicht verlangt:

$$F'_{A,St} = \rho_{fl} \cdot g \cdot V_{K1} = F_G = \rho_K \cdot g \cdot V_K$$

Das noch eingetauchte Volumen

$$V_{K1} = \frac{\rho_K}{\rho_{fl}} \cdot V_K = V_V \quad (8-2)$$

heißt "Wasserverdrängung  $V_V$ ", und die entsprechende Masse nennt man Wassermassenverdrängung  $m_V$ .

Die Gewichtskraft des Körpers greift im Schwerpunkt des Körpers  $S_K$  an. Der Auftrieb greift dagegen im Verdrängungsmittelpunkt  $M_V$  an, der identisch ist mit dem geometrischen

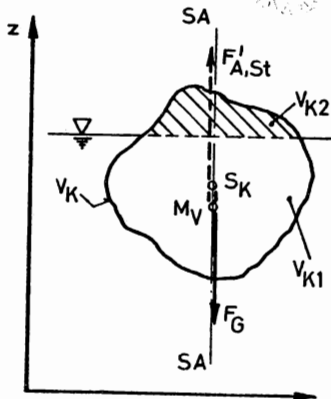


BILD 8-4

Schwerpunkt des verdrängten Flüssigkeitsvolumens  $S'_{V1}$ .

Im Zustand der Ruhe liegen beide Punkte auf einer Vertikalen, die man auch Schwimmachse nennt. Sie gilt mit dem Körper fest verbunden. Dadurch bleibt auch in geneigter Lage der Körperschwerpunkt  $S_K$  ein Punkt auf der Schwimmachse SA, Bild 8-5. Der Verdrängungsmittelpunkt  $M'_V$  (gleich-

bedeutend mit dem Schwerpunkt  $S'_{V1}$  des in geneigter Körperposition verdrängten Flüssigkeitsvolumens) liegt aber nicht mehr auf der Schwimmachse, sondern ausserhalb davon. Das Verdrängungsvolumen wurde ja in seiner Form verändert.

Der Schnittpunkt der Vertikalen durch den Verdrängungsmittelpunkt  $M'_V$  mit der Schwimmachse SA heisst Metazentrum  $M_e$ ; er ist kein fester Punkt. Das Metazentrum liegt zwar immer auf der Schwimmachse, es ändert seine Lage aber mit dem Neigungswinkel  $\alpha$ .

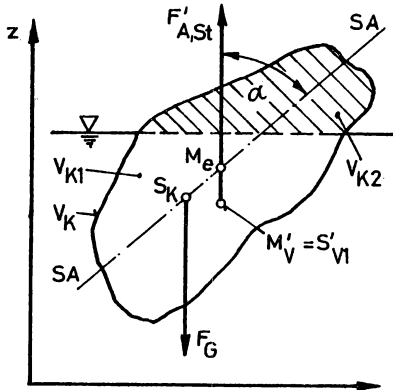


BILD 8-5

### 8.3. Stabilität des Schwimmzustandes (Satz von Dupin)

Allgemein kennt man drei Arten von Gleichgewicht. Man spricht von:

#### stabilem Gleichgewicht,

wenn nach Wegnahme eines Störeinflusses (z.B.: Drehmoment) die ursprüngliche Lage von allein (ohne Regelgerät!) wieder erreicht wird;

#### indifferentem Gleichgewicht,

wenn nach Wegnahme eines Störeinflusses die neue Lage gehalten wird und die ursprüngliche nicht mehr erreichbar ist;

#### labilem Gleichgewicht,

wenn nach Wegnahme eines Störeinflusses der Körper sich noch weiter von seiner ursprünglichen Lage entfernt, bis der Körperschwerpunkt seine tiefst mögliche Lage gefunden hat. (Satz von Torricelli oder Satz von der geringsten potentiellen Energie!).

Stabiles Gleichgewicht lässt sich bei einem schwimmenden Körper



ermöglichen, daß der untere Teil eines Schwimmkörpers eine

größere Massenkonzentration aufweist als der obere. Veranschaulicht wird dieser Sachverhalt zunächst durch ein Aräometer (Senkwaage, Densimeter, Dichtemesser für Flüssigkeiten), wie in Bild 8-6 gezeigt. Das in Schräglage sich einstellende Kräftepaar ( $-F_G$ ;  $+F'_{A,St}$ ) bildet ein aufrichtendes Drehmoment:

$$M = F_G \cdot s$$

so daß die ursprüngliche Lage durch Einschwingen erreichbar wird.

Bei einem homogenen, voll

tauchten Körper, der zudem schwebt, fallen Körperschwerpunkt und

Verdrängungsmittelpunkt

(Schwerpunkt des verdrängten Flüssigkeitsvolumens) zusammen. Da-

durch ist im Falle des Schwimmens nur indifferentes Gleichgewicht möglich.

Das in Abschn. 8.2 erwähnte Metazentrum wird nun hier in Stabilitätsbetrachtungen miteinbezogen. Es kann auf der Schwimmachse bezüglich

örperschwerpunktes drei besondere Lagen einnehmen, Bild 8-7:

egt oberhalb von  $S_K$

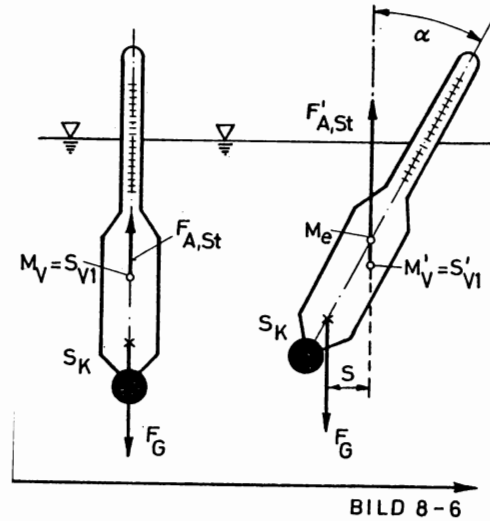


BILD 8-6

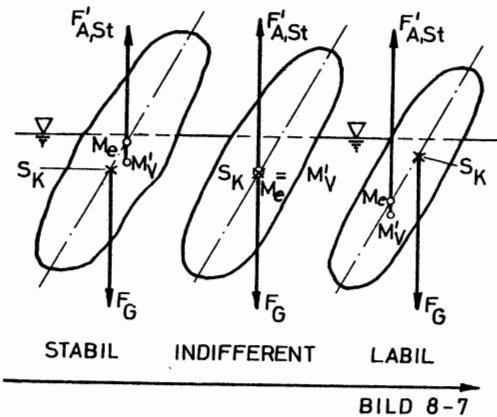


BILD 8-7

Das aus Körpergewicht und Auftrieb sich bildende Kräftepaar richtet den Schwimmkörper wieder auf. Die beiden Kräfte sind deshalb antiparallel gleich, weil im Schwimmzustand Körperge-

wicht und Auftrieb gleich sind, gleichgültig, welche Lage eingenommen wird: stabiles Gleichgewicht!

$M_e$  liegt in  $S_K$

Das Kräftepaar verschwindet; die beiden Kräfte liegen in einer vertikalen Wirkungslinie, die durch  $S_K = M_V$  verläuft: indifferentes Gleichgewicht!

$M_e$  liegt unterhalb von  $S_K$

Das Kräftepaar wirkt nun als zusätzliches Kippmoment: labiles Gleichgewicht!

Zur Formalisierung dieser qualitativen Aussagen führt man die metazentrische Weite  $l_{Me}$ , den Abstand zwischen Verdrängungsmittelpunkt  $M_V$  in Ruhelage und dem Metazentrum  $M_e$ , sowie die Schwerpunktsweite  $l_S$ , den Abstand zwischen dem Verdrängungsmittelpunkt  $M_V$  in Ruhelage und dem Körperschwerpunkt  $S_K$ , ein, Bild 8-8. Je nach der Neigung ändert

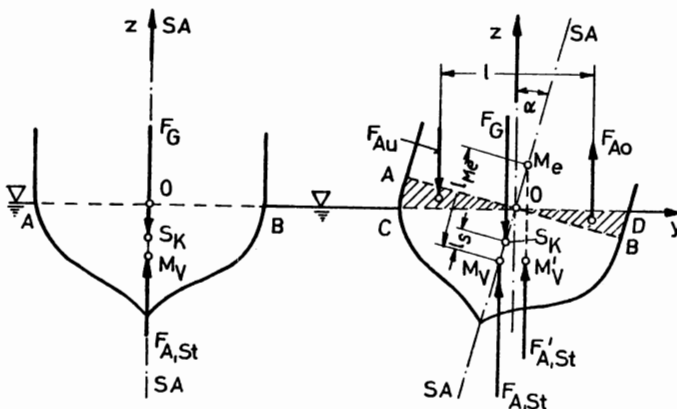


BILD 8-8

sich die metazentrische Weite, wobei die Schwerpunktsweite jedoch konstant bleibt. Ableitung der metazentrischen Weite:  
Im Ruhezustand greifen die Gewichtskraft im Körperschwerpunkt  $S_K$  und der Auf-

trieb im Verdrängungsmittelpunkt  $M_V$  an. Wird die Schwimmachse SA aus der Vertikalen um den Winkel  $\alpha$  geneigt, dann erkennt man sofort, daß im Spantquerschnitt des Schwimmkörpers der keilförmige Bereich OBD auftriebsvermehrend hinzutritt und daß andererseits die Zone OAC dem Auftrieb verloren geht.

Grundsätzlich ist hier zu sagen, daß ein Körper dann stabil schwimmt, wenn sein Körperschwerpunkt tiefer liegt als der Verdrängungsmittelpunkt. Es kann aber unter ganz bestimmten Bedingungen auch dann noch stabiles Schwimmen auftreten, wenn der Körperschwerpunkt über dem Ver-

drängungsmittelpunkt liegt (Bild 8-8): die rechte Anordnung besagt, daß hier bei Neigung der Schwimmachse sich die Gestalt des Verdrängungsvolumens ändert (nicht aber die Größe) und daß der Verdrängungsmittelpunkt von  $M_V$  nach  $M'_V$  wandert! - Man sieht, daß der Auftrieb  $F_{A,st}$  zusammen mit  $F_G$  ein rückdrehendes und aufrichtendes Kräftepaar abgeben, weshalb auch in diesem Fall stabiles Schwimmen gewährleistet ist.

Nun kann man sich, wenn der Körperschwerpunkt als Momentenbezugspunkt angesehen wird, die rücktreibende Drehmomentenwirkung von  $F_{A,st}$  ersetzt denken durch die

gleich große, aber in  $M_V$  wirkende ursprüngliche Auftriebskraft  $F_{A,st}$ , verstärkt durch die Auftriebswirkung  $F_{Ao}$  (Bereich OBD) und verringert durch  $F_{Au}$  (Bereich OAC). Nimmt man den Linksumsinn als positive Drehrichtung an, dann bietet sich die Gleichheit der Drehmomentenwirkungen folgendermaßen an:

$$F'_{A,st} \cdot (l_{Me} - l_s) \cdot \sin \alpha = - F_{A,st} \cdot l_s \cdot \sin \alpha + F_{Ao} \cdot l$$

man erinnere sich der einfachen Anbringung der Drehmomentenwirkung eines Kräftepaares! Es stellt letzten Endes die Drehwirkung folgender Auftriebsverteilung dar, Bild 8-9.

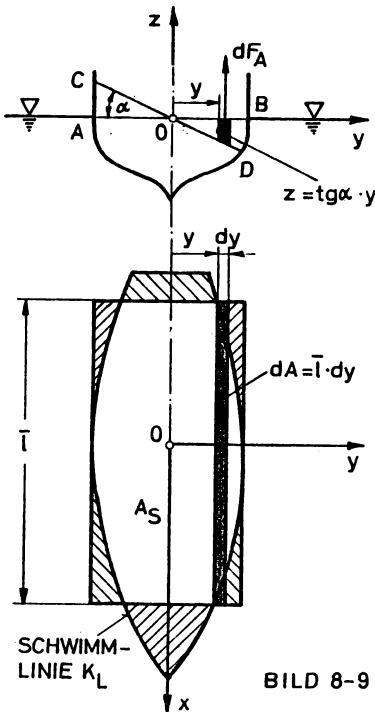


BILD 8-9

$$F_{Ao} \cdot l = \int_A^B dF_A \cdot y = \rho_{fl} \cdot g \cdot \int_A^B dV_V \cdot y = \rho_{fl} \cdot g \cdot \int_A^B \bar{l} \cdot z \cdot dy \cdot y$$

Mit  $z = \operatorname{tg} \alpha \cdot y$  und  $dA = \bar{l} \cdot dy$  ( $\bar{l}$  = ausgeglichene Länge) folgt:

$$F_{Ao} \cdot l = \rho_{fl} \cdot g \cdot \operatorname{tg} \alpha \cdot \int_A^B y^2 \cdot dA = \rho_{fl} \cdot g \cdot \operatorname{tg} \alpha \cdot I_x$$

, wo man unter  $I_x$

das Flächenträgheitsmoment der Schwimmfläche  $A_S$  (Schnittfläche zwischen Wasseroberfläche und Schwimmer) bezüglich der x-Achse versteht. Setzt man dieses Zwischenergebnis in die obige Drehmomentengleichung ein, dann folgt:

$$\rho_{fl} \cdot g \cdot V_V \cdot (l_{Me} - l_S) \cdot \sin \alpha = - \rho_{fl} \cdot g \cdot V_V \cdot l_S \cdot \sin \alpha + \rho_{fl} \cdot g \cdot \tan \alpha \cdot I_x \quad .$$

Bei kleinen Auslenkungen gilt  $\sin \alpha \approx \tan \alpha$ , so daß man schließlich schreiben kann:

$$l_{Me} = I_x / V_V \quad (8-3).$$

Das ist die Aussage des Satzes von Dupin.

Die Art des Gleichgewichtes eines Schwimmkörpers läßt sich jetzt in gedrängter Form durch den Stabilitätskoeffizienten ausdrücken:

$$k = l_{Me} / l_S \quad (8-4).$$

Es gilt danach:

- $k > 1$  : stabiles Gleichgewicht ;
- $k = 1$  : indifferentes Gleichgewicht ;
- $k < 1$  : labiles Gleichgewicht .

Die Dupinsche Gleichung findet beim volleingetauchten Körper keine Anwendung. Übrigens fällt dabei das Metazentrum mit dem Verdrängungsmittelpunkt zusammen.

Die bisher besprochene Stabilität heißt Querstabilität (Rollen, Schlingern). - Die Längsstabilität (Nicken, Stampfen), bezogen auf die y-Achse, führt zu einer analogen Aussage:

$$l'_{Me} = I_y / V_V \quad (8-5)$$

mit  $I_y$  als dem Flächenträgheitsmoment der Schwimmfläche  $A_S$  bezüglich der y-Achse.

In der Schiffsarchitektur ist dieses Metazentrum der Längsstabilität das "große Metazentrum" genannt, im Gegensatz zum "kleinen Metazentrum" bei der Querstabilität.

Bei verschiedenen Schiffsneigungen im Raum beschreibt das kleine Metazentrum eine räumliche "metazentrische Fläche", deren Schnittkurve mit der Quer- oder Spantebene die "metazentrische Linie des kleinen Metazentrums" heißt. - Gleichermäßen beschreibt das große Metazentrum  $M'_e$  seine "metazentrische Fläche", deren Schnittkurve mit der Längsebene "metazentrische Linie des großen Metazentrums" genannt wird.



### Lösung:

Es erhebt sich hier zunächst die Frage, ob der Archimedische Auftriebs-  
satz auch dann gilt, wenn, wie hier, zwei verschiedenartige Flüssigkei-  
ten den eingetauchten Körper umgeben. Diese Frage läßt sich über das  
Gleichgewicht am freigemachten Bienenwachs beantworten:

$$\sum F_{zi} = F_{pül} - F_{GB} - F_{pü2} = 0 ; \text{ Datenbeschaffung:}$$

$$F_{pül} = p_{ül} \cdot A = (\rho_{\ddot{O}} \cdot h_o + \rho_W \cdot h_1) \cdot g \cdot A ; F_{pü2} = p_{ü2} \cdot A = (h_o - h_2) \cdot \rho_{\ddot{O}} \cdot g \cdot A ;$$

$$F_{GB} = \rho_B \cdot g \cdot (h_1 + h_2) \cdot A . \text{ Durch Einsetzen erhält man:}$$

$$\boxed{\rho_W \cdot g \cdot V_1 + \rho_{\ddot{O}} \cdot g \cdot V_2 = \rho_B \cdot g \cdot V_B} ;$$

dieses Ergebnis läßt sich dahingehend interpretieren, daß der Archi-  
medische Auftriebssatz auch in diesem Fall gilt;  $V_1$  stellt das Wasser-  
volumen dar und  $V_2$  dasjenige in Öl. - Nun wird die eigentliche Lösung  
angegangen:  $V_1 = x \cdot V_B ; V_2 = (1-x) \cdot V_B ;$

$$\rho_W \cdot g \cdot x \cdot V_B + \rho_{\ddot{O}} \cdot g \cdot (1-x) \cdot V_B = \rho_B \cdot g \cdot V_B ;$$

$$\underline{\underline{x = (\rho_B - \rho_{\ddot{O}}) / (\rho_W - \rho_{\ddot{O}}) = (960 - 900) / (1000 - 900) = 60 \% .}}$$

### 3. Beispiel

Eine drehbare Verteilervorrichtung hat ein schwimmendes Axiallager  
bei einem Zapfendurchmesser von  $d = 4 \text{ m}$ .

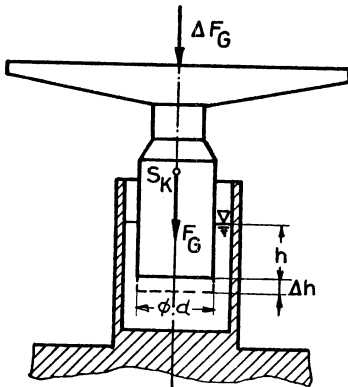


BILD 8-12

- Welcher Tiefgang  $h$ , Bild 8-12, stellt sich bei Wasserfüllung ein, wenn die Drehkörpermasse  $m = 40 \text{ t}$  beträgt ?
- Welcher zusätzliche Tiefgang muß bei einer Belastung durch eine Zusatzmasse  $\Delta m = 2 \text{ t}$  in Kauf genommen werden ?

Lösungen:

a) h : Das Kräftegleichgewicht ergibt:  $\underline{F_{A,st} = F_G}$  ;

$$\underline{h} = \frac{m}{\rho_{fl} \cdot (\pi/4) \cdot d^2} = \frac{40\,000}{1000 \cdot (\pi/4) \cdot 4^2} = \underline{\underline{3,183\,m}} .$$

b)  $\Delta h$  : In analoger Weise erhält man:

$$\rho_{fl} \cdot g \cdot \frac{\pi \cdot d^2}{4} \cdot (h + \Delta h) = F_G + \Delta F_G = g \cdot (m + \Delta m)$$

$$\underline{\underline{\Delta h}} = \frac{40\,000 + 2000}{1000 \cdot (\pi/4) \cdot 4^2} = \underline{\underline{0,159\,m}} .$$

4. Beispiel

Zur Dichtebestimmung eines unbekannten Stoffes wird ein Probekörper davon einmal in Luft ( $\rho_L = 1,293\, \text{kg/m}^3$ ) und einmal unter Wasser ( $\rho_W = 1000\, \text{kg/m}^3$ ) gewogen, Bild 8-13. Diese Ergebnisse sind:

scheinbare Masse

in Luft:

$$m_{iL} = 0,2\, \text{kg} ;$$

scheinbare Masse

in Wasser:

$$m_{iW} = 0,175\, \text{kg} .$$

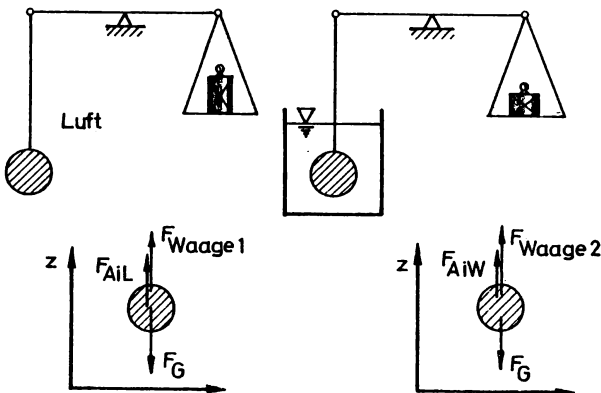


BILD 8-13

Lösung:

Die Gleichgewichtsbetrachtungen des freigemachten Probekörpers führen zu zwei Bestimmungsgleichungen für die beiden Unbekannten  $V_K$  und  $\rho_K$  :

$$\sum F_{zi} = -F_G + F_{AiL} + F_{Waage,1} = 0$$

$$\underline{\underline{-\rho_K \cdot g \cdot V_K + \rho_L \cdot g \cdot V_K + F_{Waage,1} = 0}} . \quad (1).$$

Das Eigengewicht, der Auftrieb in Luft sowie die von der Waage herrührende Haltekraft stehen miteinander im Kräftegleichgewicht:

$$\sum F_{zi} = -F_G + F_{AiW} + F_{Waage,2} = 0$$

$$\boxed{-\rho_K \cdot g \cdot V_K + \rho_W \cdot g \cdot V_K + F_{Waage,2} = 0} \quad (2).$$

Hier stehen das Eigengewicht, der Auftrieb in Wasser sowie die von der Waage herrührende Haltekraft im Gleichgewicht. - Durch Auflösung nach der gesuchten Dichte bekommt man:

$$\rho_K = \frac{m_{iL} \cdot \rho_W - m_{iW} \cdot \rho_L}{m_{iL} - m_{iW}} \quad ; \text{ die Zahlenrechnung}$$

erbringt:

$$\underline{\underline{\rho_K}} = (0,2 \cdot 1000 - 0,175 \cdot 1,293) / (0,2 - 0,175) = \underline{\underline{7990,95 \text{ kg/m}^3}}.$$

Hier ist das weltberühmte Verfahren von Archimedes angewandt worden. Damit hat Archimedes den Goldgehalt einer Legierung nachgewiesen. - Legt man bei bekanntem Körpervolumen der Dichtebestimmung die "Luftmessung" zugrunde, dann beträgt der relative Fehler:

$$\underline{\underline{\rho_L / \rho_K}} = 1,293 / 7990,95 = \underline{\underline{0,16 \text{ ‰}}} \quad (\text{vernachlässigbar}).$$

### 5. Beispiel

Bei einem Eichversuch für ein Aräometer sind die beiden Grenzmarken zu bestimmen.

Einmal wird das Gerät in eine Flüssigkeit von der Dichte  $\rho_1 = 1100 \text{ kg/m}^3$  eingetaucht und in eine zweite von  $\rho_2 = 1200 \text{ kg/m}^3$ , Bild 8-14.

Zu bestimmen ist der Abstand  $\Delta h$  zwischen den beiden Niveaus AA und BB.

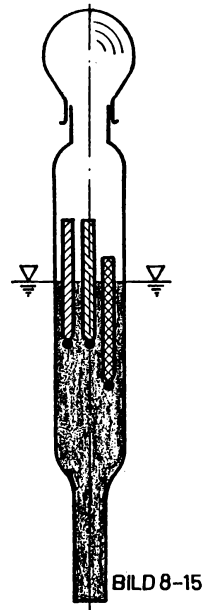
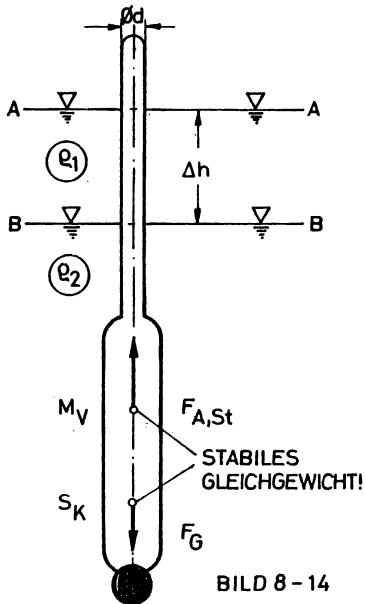
Der Durchmesser des schlanken Skalenteils beträgt  $d = 6 \text{ mm}$ . Die Aräometermasse ist  $m = 0,06 \text{ kg}$ .

### Lösung:

In beiden Fällen wird das Gewicht des Aräometers durch den Auftrieb kompensiert:

$$F_G = \rho_1 \cdot g \cdot V_{V1} = \rho_2 \cdot g \cdot V_{V2} = m \cdot g.$$





Daraus folgt für die Verdrängungsvolumina  $V_{V1} = m/\rho_1$  und  $V_{V2} = m/\rho_2$  .  
Die Differenz dieser Volumina führt dann zur Spiegeldifferenz:

$$\Delta h \cdot (\pi/4) \cdot d^2 = V_{V1} - V_{V2} \quad ;$$

$$\underline{\underline{\Delta h = \frac{0,06/1100 - 0,06/1200}{(\pi/4) \cdot 0,006^2} = 0,161 \text{ m} \quad .}}$$

Ein praktisches Aräometer zur Ermittlung der Säuredichte in einem Akku zeigt Bild 8-15. Es handelt sich dabei um ein Pipetten-Aräometer. Die Schwimmer haben folgende Bedeutung:

- Alle drei Schwimmer oben: Lösung zu konzentriert; Sulfatierungsgefahr im Betrieb;  
zwei Schwimmer oben : richtiger Ladungszustand;  
ein Schwimmer oben : noch zulässiger Ladungszustand;  
alle drei Schwimmer unten: Batterie ist unverzüglich aufzuladen wegen Sulfatierungsgefahr beim Laden.

## 6. Beispiel

Ein Ponton, dessen Querschnitt ein gleichschenkliges Trapez ist, besitzt

eine Leermasse von  $m_0 = 6000 \text{ kg}$  und kann eine maximale Zuladung von  $\Delta m = 1000 \text{ kg}$  aufnehmen, Bild 8-16. - Weitere Angaben: Anfangstiefgang

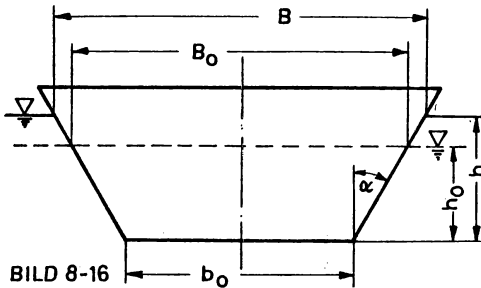


BILD 8-16

$h_0 = 1 \text{ m}$ ; Länge  $L = 3 \text{ m}$ ;  
Meerwasserdichte  $\rho = 1035 \text{ kg/m}^3$ ; Basisbreite  $b_0 = 1,5 \text{ m}$ .

Man ermittle:

- die Abhängigkeit der Gesamtmasse, also unter Einbeziehung der Zuladung, von der Eintauchtiefe (Tiefgang);
- die grafische Darstellung der Funktion  $h = f(m)$ .

#### Lösungen:

a)  $m = f(h)$  : Aus dem Kräftegleichgewicht am leeren Ponton folgt:

$$F_{A0} = \rho \cdot g \cdot L \cdot \frac{h_0}{2} \cdot (B_0 + b_0) = F_{G0} = g \cdot m_0 ; \text{ in Zahlen: } \underline{B_0 = 2,365 \text{ m.}}$$

Bei einer größeren Gesamtmasse gilt sinngemäß:

$$F_A = F_G = \rho \cdot g \cdot L \cdot \frac{h}{2} \cdot (B + b_0) \quad (1).$$

Mit Hilfe des Neigungswinkels  $\alpha$  der Seitenwand:

$$\tan \alpha = (B_0 - b_0) / (2 \cdot h_0) = (B - b_0) / (2 \cdot h) \quad (2)$$

kann man ohne weiteres die Funktion  $B = f(h)$  :

$$B = b_0 + \frac{h}{h_0} \cdot (B_0 - b_0) \quad (3)$$

ermitteln, so daß man mit Hilfe der beiden letzten Beziehungen aus (1) die gesuchte Größe findet:

$$m = \frac{F_G}{g} = \frac{\rho \cdot L}{2 \cdot h_0} \cdot (B_0 - b_0) \cdot h^2 + \rho \cdot L \cdot b_0 \cdot h \quad (4).$$

Setzt man die bekannten Daten ein, dann erhält man die Gleichung einer Parabel:

$$\underline{\underline{m = 1342,9 \cdot h^2 + 4657,5 \cdot h}} \quad .$$

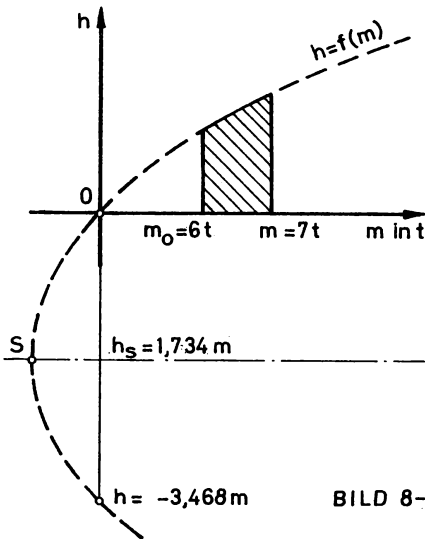


BILD 8-17

b) Grafische Darstellung  
von  $h = f(m)$ :

Die Kurvendiskussion von (4) ergibt Nullstellen bei  $h_1 = 0$  m und  $h_2 = -3,468$  m. Der Scheitel bzw. das Minimum liegt dann bei  $h_S = -1,734$  m; damit erhält man für  $m_S$ :

$$m_S = -4037,77 \text{ kg.}$$

Spiegelt man nun diesen Funktionsverlauf an der Winkelhalbierenden des I. und III. Quadranten, dann ergibt sich der gewünschte Kurvenverlauf  $h = f(m)$ , Bild 8-17. Der physikalisch in Frage kommende Wertebereich liegt zwischen

$$6000 \text{ kg} \leq m \leq 7000 \text{ kg.}$$

7. Beispiel

Ein Körper ( $\rho_K = 1040 \text{ kg/m}^3$ ) schwebt in Meerwasser unter Sonneneinstrahlung. Die Dichte des Wassers in einer Tiefe von  $h = 1,2$  m beträgt  $\rho_{oW} = 1035 \text{ kg/m}^3$ . Die Wasserdichte ändert sich nach folgendem Lineargesetz:

$$\rho_{hW} = \rho_{oW} \cdot (1 + K \cdot h) .$$

Man bestimme die Konstante  $K$ .

Lösung:

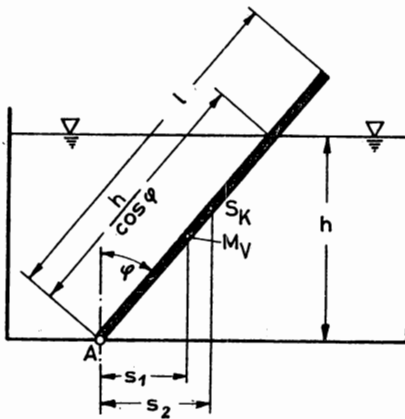
Im Schwebezustand gilt nach Abschn. 8.2 ,2. Fall:  $\rho_K = \rho_{hW}$  .

Also wird

$$K = \left( \frac{\rho_K}{\rho_{oW}} - 1 \right) \cdot \frac{1}{h} = \left( \frac{1040}{1035} - 1 \right) / 1,2 = \underline{\underline{0,004 \text{ 1/m}}} .$$

8. Beispiel

Ein dünnes Holzbrett ( $\rho_H = 800 \text{ kg/m}^3$ ) ist am Boden eines Wasser-



behälters im festen Drehlager A gelagert, Bild 8-18. - Abmessungen:

$L = 4 \text{ m}$ ; Querschnitt  $A = 0,009 \text{ m}^2$ ; Wasserstand  $h = 2 \text{ m}$ ;

$\rho_w = 1000 \text{ kg/m}^3$ . - Man ermittle:

- den Neigungswinkel  $\varphi$  in der Gleichgewichtslage;
- die Auflagerkraft  $F_A$  der Größe und Richtung nach;
- das Verhältnis  $L/h$ , wobei das Brett gerade die Vertikalstellung einnähme.

#### Lösungen:

##### a) $\varphi$ :

Am freigemachten Brett sind alle bekannten und unbekannten Kräfte anzubringen. Unbekannte Kräfte werden in ihren Komponenten beliebig herum angenommen (nur die Richtung unbekannter Reibungskräfte ist mit der korrekten Richtung einzutragen). Das Vorzeichen des jeweiligen Komponentenergebnisses besagt dann, ob die Richtungsannahme

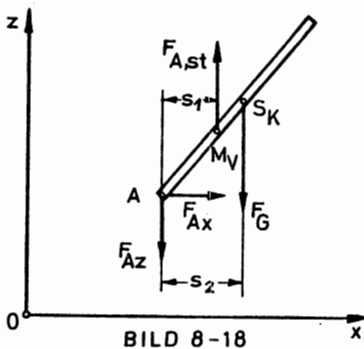


BILD 8-18

richtig (positives Vorzeichen) oder falsch (negatives Vorzeichen) war. Erst nach Abschluß aller Komponenten- und Momentenrechnungen werden schließlich die Richtungen eindeutig angegeben.

Da es sich hier um ein ebenes Problem handelt, kommt man für einen ruhenden Festkörper mit folgenden drei rechnerischen Gleichgewichtsbedingungen aus:

$$(1.) \sum F_{xi} = 0 ; (2.) \sum F_{zi} = 0 ; (3.) \sum M_{yi} = 0 \quad (8-6).$$

Die Kraftkomponenten in x- und z-Richtung halten sich das Gleichgewicht; ebenso kompensieren sich die Drehmomente um die y-Achse bezüglich eines beliebig gewählten Momentenbezugspunktes.

Zur Ermittlung des Neigungswinkels  $\varphi$  lege man nun den Momentenbezugspunkt in das zweiwertige feste Drehlager A und notiere das Momentengleichgewicht:

$$\sum_{yi}^{(A)} = +F_{A,st} \cdot s_1 - F_G \cdot s_2 = 0 \quad ; \quad \text{die Datenbeschaffung lautet unter}$$

Beachtung der Gleichungen (8-1) und (8-2):

$$F_{A,st} = \rho_{fl} \cdot g \cdot V_V = \rho_{fl} \cdot g \cdot A \cdot h / \cos \varphi \quad ; \quad s_1 = \frac{h \cdot \sin \alpha}{2 \cdot \cos \varphi} \quad ; \quad F_G = \rho_H \cdot g \cdot A \cdot L \quad ;$$

$$s_2 = 0,5 \cdot L \cdot \sin \varphi \quad .$$

Durch Einsetzen in die Momentengleichung ergibt sich schließlich:

$$\cos \varphi = \frac{h}{L} \cdot \sqrt{\frac{\rho_{fl}}{\rho_H}} \quad (1).$$

Mit Zahlen folgt:

$$\cos \varphi = (2/4) \cdot \sqrt{1000/800} = 0,559 \quad ; \quad \underline{\underline{\varphi = 56^\circ}} \quad .$$

b) F<sub>A</sub> :

Das Kräftegleichgewicht am freigemachten Brett bezüglich der x-Richtung ergibt:

$$\sum F_{xi} = \underline{\underline{F_{Ax} = 0}} \quad .$$

Das Kräftegleichgewicht in z-Richtung lautet:

$$\sum F_{zi} = -F_{Az} + F_{A,st} - F_G = 0 \quad ;$$

$$F_{Az} = \rho_{fl} \cdot g \cdot A \cdot \frac{h}{\cos \varphi} - \rho_H \cdot g \cdot A \cdot L \quad ;$$

mit Zahlenwerten erhält man:

$$\underline{\underline{F_{Az}}} = 1000 \cdot 9,81 \cdot 0,009 \cdot 2 / \cos 56^\circ - 800 \cdot 9,81 \cdot 0,009 \cdot 4 = \underline{\underline{+ 33,249 \text{ N}}} \quad .$$

Das positive Vorzeichen dieses Ergebnisses besagt, daß die Richtungsannahme von  $F_{Az}$  nach unten in Ordnung ist! - Da die Horizontalkomponente null ist, entfällt die Komponentenzusammenfassung mittels des Pythagoräischen Lehrsatzes.

c) L/h :

Für den Grenzfall  $\varphi = 0^\circ$  folgt aus der Beziehung (1):

$$\cos 0^\circ = (h/L) \cdot \sqrt{1000/800} = 1 ; \quad \underline{\underline{h/L = 0,8944}}$$

### 9. Beispiel

In der Niveauekammer eines Schwimmreglers tritt die Flüssigkeit bei B ein. Der kugelförmige Schwimmer treibt die Schließnadel C an, Bild 8-19.

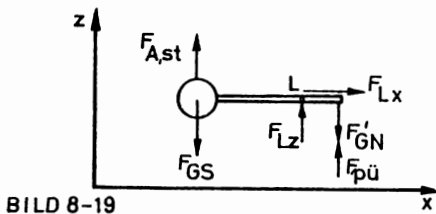
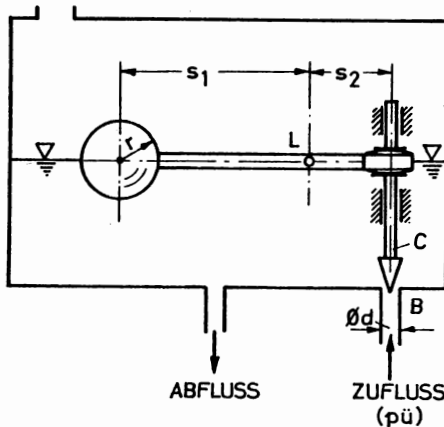


BILD 8-19

Angaben:  $d = 4 \text{ mm}$ ;

$p_{\text{ü}} = 0,3 \text{ bar}$ ;  $s_1 = 0,04 \text{ m}$ ;

$s_2 = 0,015 \text{ m}$ ; Schwimmere-

gewicht  $F_{\text{GS}} = 0,5 \text{ N}$ ;

$\rho_{\text{fl}} = 700 \text{ kg/m}^3$ ; relatives

Gewicht der Schließnadel

in der Flüssigkeit

$F'_{\text{GN}} = 0,5 \text{ N}$ ; das Hebelge-

wicht und Reibungseffekte

sind zu vernachlässigen.

Man ermittle den Kugelra-

dus des Schwimmers gera-

de so, daß beim Sollwert-

durchfluß der Schwimmer ge-

rade zur Hälfte einge-

taucht ist.

### Lösung:

Das Momentengleichgewicht

am freigemachten Hebelarm

führt hier sofort zum Ziel:

$$\sum M_{yi}^{(L)} = +F_{\text{GS}} \cdot s_1 - F_{\text{A,st}} \cdot s_1 + F_{\text{pü}} \cdot s_2 - F'_{\text{GN}} \cdot s_2 = 0$$

Datenbeschaffung:  $F_{\text{A,st}} = \rho_{\text{fl}} \cdot g \cdot \frac{2}{3} \cdot \pi \cdot r^3$ ;  $F_{\text{pü}} = p_{\text{ü}} \cdot \frac{\pi \cdot d^2}{4}$

Daraus folgt:

$$\underline{\underline{r = \sqrt[3]{\frac{F_{\text{GS}} - \frac{s_2}{s_1} \cdot (F'_{\text{GN}} - p_{\text{ü}} \cdot \frac{\pi \cdot d^2}{4})}{\rho_{\text{fl}} \cdot g \cdot (2/3) \cdot \pi}}} = \underline{\underline{0,0316 \text{ m}}}}$$

# 10. Beispiel

Ein zylindrisches Holzstück wird auf dem Boden eines Wasserbehälters mit einem auflösbaren Klebstoff befestigt, Bild 8-20. Nach der Auflösung

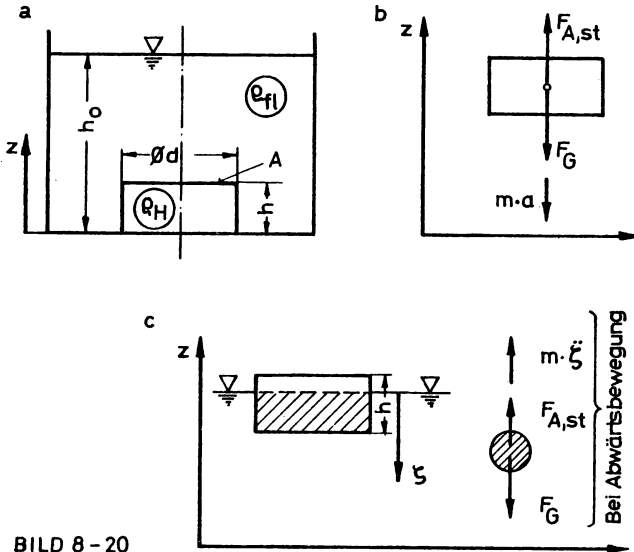


BILD 8-20

des Klebstoffes setzt eine aufsteigende Bewegung ein, die untersucht werden möge. Dabei interessieren insbesondere:

- a) die Beschleunigung  $a$ ;
- b) die Geschwindigkeitsfunktion  $c = f(t)$ ;
- c) die Wegfunktion  $z = f(t)$ ;
- d) die Steigzeit bis zum Erreichen der Oberfläche  $t_S$ ;

- e) die Schwingungsgleichung;
- f) die Schwingungsdauer  $T$ .

Weitere Angaben:  $h_0 = 3 \text{ m}$ ;  $d = 0,5 \text{ m}$ ;  $h = 0,2 \text{ m}$ ;  $\rho_{fl} = 1000 \text{ kg/m}^3$ ;

$\rho_{Holz} = 600 \text{ kg/m}^3$ . - Reibung ist zu vernachlässigen.

## Lösungen:

a) a :

Da der Auftrieb größer ist als das Holzgewicht, setzt eine gleichmäßig beschleunigte Bewegung nach oben ein.

Das dynamische Grundgesetz von Newton, Gl. (1-5), wird nach d'Alembert folgendermaßen umgeformt:

$$\sum \vec{F}_i - m \cdot \vec{a} = 0$$

(8-7).

Durch diesen genialen Trick werden Dynamik-Aufgaben zu quasi-statischen Aufgaben am ruhenden Ersatzkörper!-Es gelten nach Anbringung aller physikalisch nachweisbarer Kräfte, einschließlich der Massenträgheitskraft  $-m \cdot a$  (sie wird auch d'Alembertsche Hilfskraft genannt und ist als eine die Bewegung hemmende Widerstandskraft zu verstehen), alle Gleichgewichtsüberlegungen der Statik.

Das Kräftegleichgewicht am freigemachten ruhenden Ersatzkörper lautet demnach (Bild 8-20, Pos. b) :

$$\sum F_{zi} = + F_{A,st} - F_{GH} - m_H \cdot a = 0 \quad .$$

$$a = \left( \rho_{fl} \cdot g \cdot h \cdot \frac{\pi}{4} \cdot d^2 - m_H \cdot g \cdot \frac{\pi}{4} \cdot d^2 \right) / m_H \quad ;$$

$$a = \frac{1000 \cdot 9,81 \cdot 0,2 \cdot \frac{\pi}{4} \cdot 0,5^2 - 600 \cdot 9,81 \cdot \frac{\pi}{4} \cdot 0,5^2}{600 \cdot 9,81 \cdot (\pi/4) \cdot 0,5^2} \quad ; \quad \underline{\underline{a = 6,54 \text{ m/s}^2}} .$$

b)  $c = f(t)$  :

Die erste Integration der Beschleunigung führt zu:

$$\underline{c = dz/dt = a \cdot t + \text{const}} \quad ;$$

als Anfangsbedingung kennt man  $t = 0$  und  $c = 0$ ; deshalb verschwindet die Integrationskonstante, und es gilt:

$$\underline{\underline{c = 6,54 \cdot t}} \quad .$$

c)  $z = f(t)$  :

Die zweite Integration der Beschleunigung führt dann zu:

$$\underline{\underline{z = \frac{1}{2} \cdot a \cdot t^2 = 3,27 \cdot t^2}} \quad ,$$

und zwar unter Berücksichtigung des Anfangswertes  $t = 0$  und  $z = 0$  .

d)  $t_S$  :

Für die Steighöhe  $z = h_0 = 3 \text{ m}$  erhält man aus der letzten Beziehung:

$$\underline{\underline{t_S = 0,958 \text{ s}}} \quad .$$



e) Schwingungsgleichung:

Schwingungen treten immer dann auf, wenn ein Wechselspiel zwischen potentieller und kinetischer Energie stattfinden kann. Das ist aber im vorliegenden Beispiel der Fall.

Taucht das Holzstück mehr aus dem Wasser auf, dann fungiert ein Mehrbetrag an Schwerkraft als rücktreibende Kraft; verschwindet das Holzstück dagegen mehr im Wasser, dann ist es der Mehrbetrag an Auftrieb, der als rücktreibende Kraft fungiert.

Für die weiteren Betrachtungen führt man eine Hilfskoordinate  $\xi$  ein (Bild 8-20, Pos. c). - Das Kräftegleichgewicht am freigemachten ruhenden Ersatz-Holzklötz lautet damit:

$$\sum F_{\xi} = -m_H \cdot \ddot{\xi} - F_{A,st} + F_{GH} = 0 \quad . \quad - \text{Datenbeschaffung:}$$

$m_H = \rho_H \cdot A \cdot h$  ;  $F_{A,st} = \rho_{fl} \cdot g \cdot A$  ;  $F_{GH} = \rho_H \cdot g \cdot A \cdot h$  . - Daraus ergibt sich nachstehende Differentialgleichung:

$$\ddot{\xi} + \underbrace{\frac{g \cdot \rho_{fl}}{\rho_H \cdot h}}_{= \omega^2} \cdot \xi = g \quad .$$

Typ: Lineare, inhomogene Dgl. zweiter Ordnung mit konstanten Koeffizienten. Die Störfunktion ist ebenfalls eine Konstante.

Die allgemeine Lösung dieser Differentialgleichung setzt sich aus der allgemeinen Lösung der homogenen Differentialgleichung und einer Partikulärlösung der inhomogenen Dgl. zusammen:

$$\xi = \xi_h + \xi_p \quad .$$

Bei der homogenen Lösung erhält man bekanntlich die allgemeine Lösung einer harmonischen Schwingung:

$$\xi_h = A \cdot \sin \omega \cdot t + B \cdot \cos \omega \cdot t = C \cdot \sin (\omega \cdot t + \varphi) \quad .$$

Dabei beträgt die Winkelgeschwindigkeit des Radiusvektors oder Phasors:

$$\omega = \sqrt{(g \cdot \rho_{fl}) / (h \cdot \rho_H)} \quad .$$

Eine Partikulärlösung bietet sich mit

$$\xi_p = g / \omega^2$$

an. Somit lautet die allgemeine Lösung der Dgl.:

$$\xi = C \cdot \sin(\omega \cdot t + \varphi) + \frac{g}{\omega^2}$$

Die beiden Integrationskonstanten C und  $\varphi$  lassen sich durch entsprechende Startangaben bei  $t = 0$  für  $\xi$  und  $\ddot{\xi}$  ermitteln !

f) T :

Die Schwingungsdauer ergibt sich aus

$$T = \frac{2 \cdot \pi}{\omega} = \frac{2 \cdot \pi}{\sqrt{(g \cdot \rho_{fl}) / (h \cdot \rho_H)}}$$

In Zahlen folgt:

$$T = \frac{2 \cdot \pi}{\sqrt{(9,81 \cdot 1000) / (600 \cdot 0,2)}} ; \quad \underline{\underline{T = 0,695 \text{ s}}}$$

Bemerkung:

Handelte es sich bei der Holzplatte um eine Art Floß, dann könnte man die Schwingungsdauer erträglicher gestalten durch Verdickung der Platte. Interessanterweise kommt die Plattenfläche in der Gleichung für die Schwingungsdauer nicht vor. - Die Verstärkung der Platte kann nicht beliebig fortgesetzt werden, ohne dabei die Schwimmstabilität zu stören. Darauf wird im nächsten Beispiel eingegangen.

### 11. Beispiel

Die Symmetrieachse eines zylindrischen Schwimmkörpers steht senkrecht,

Bild 8-21. - Man bestimme den Grenzwert  $d/h$  für die Schwimmstabilität.

Angaben:

$$\rho_K = 750 \text{ kg/m}^3 ;$$

$$\rho_{fl} = 1000 \text{ kg/m}^3 .$$

Lösung:

Die Verdrängungstiefe läßt sich mit Gl. (8-2)

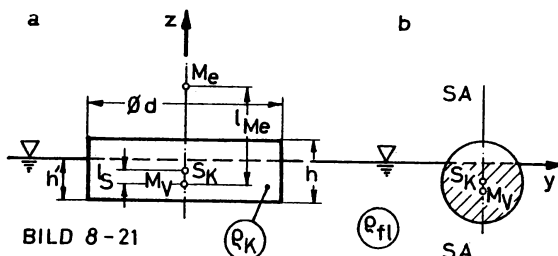


BILD 8-21

sofort angeben:  $V_V = A \cdot h' = (\rho_K / \rho_{fl}) \cdot A \cdot h$  ;

$$h' = (\rho_K / \rho_{fl}) \cdot h$$

Der Schwerpunktsabstand  $\overline{S_K M_V}$  lautet dann:

$$l_S = 0,5 \cdot (h - h') = 0,5 \cdot h \cdot (1 - \rho_K / \rho_{fl})$$

Nach Gl.(8-3) berechnet man die metazentrische Weite :

$$l_{Me} = \frac{I_x}{V_V} = \frac{(\pi/4) \cdot (d/2)^4}{(\pi/4) \cdot d^2 \cdot h'} = \frac{d^2 \cdot \rho_{fl}}{16 \cdot h \cdot \rho_K} \quad . \quad \text{Jetzt folgt mittels}$$

des Stabilitätskoeffizienten k nach Gl.(8-4):

$$k = \frac{l_{Me}}{l_S} = \frac{d^2}{8 \cdot h^2 \cdot (\rho_K / \rho_{fl}) \cdot (1 - \frac{\rho_K}{\rho_{fl}})} \quad \text{oder:}$$

$$d/h = 2 \cdot \sqrt{2 \cdot k \cdot \frac{\rho_K}{\rho_{fl}} \cdot (1 - \rho_K / \rho_{fl})}$$

Für den Grenzwert der Stabilität  $k = 1$  und die angegebenen Werte erhält man:

$$\underline{\underline{d/h = 2 \cdot \sqrt{2 \cdot 1 \cdot \frac{750}{1000} \cdot (1 - \frac{750}{1000})}}} = \underline{\underline{1,225}} \quad . \quad \text{Es gilt somit:}$$

für  $k > 1$  ist  $d/h > 1,225$  : stabiles Gleichgewicht ;

für  $k < 1$  ist  $d/h < 1,225$  : labiles Gleichgewicht .

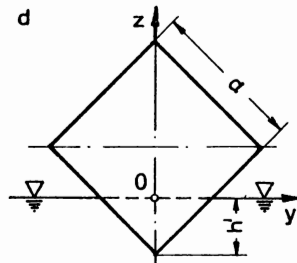
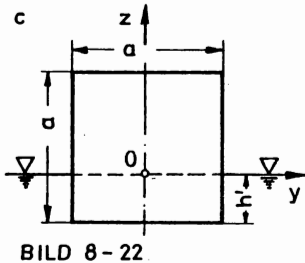
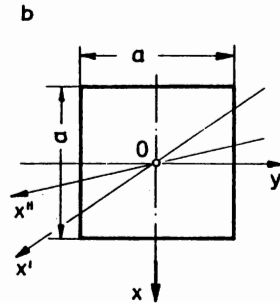
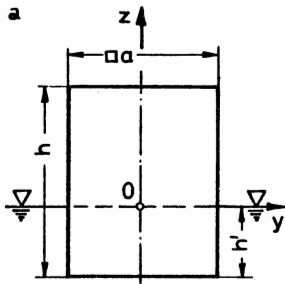
#### Bemerkungen:

Für einen längs liegenden zylindrischen Schwimmkörper gilt immer indifferentes Gleichgewicht, da beim Drehen des Körpers um seine Längsachse die Verdrängungsverhältnisse nicht geändert werden (Bild 8-21, Pos. b ). Jeder Durchmesser kann Momentan-Schwimmachse sein!

## 12. Beispiel

Man untersuche die Schwimmstabilität eines Quaders von quadratischem Querschnitt. Dabei beachte man drei verschiedene Schwimmlagen:

- bei vertikaler Längsachse, Bild 8-22, Pos. a ;
- bei horizontaler Längsachse nach Bild 8-22, Pos. c ;
- bei horizontaler Längsachse nach Bild 8-22, Pos. d .



### Lösungen:

a)  $(a/h)_{\text{Grenz}}$  :

Die Verdrängungstiefe kann formal dem letzten Beispiel entnommen werden:

$$h' = (\rho_K / \rho_{fl}) \cdot h ;$$

gleicherweise läßt sich auch der Schwerpunktsabstand übernehmen:

$$l_S = 0,5 \cdot h \cdot (1 - \rho_K / \rho_{fl}) .$$

Die metazentrische Weite berechnet sich üblicherweise mit Gl.(8-3):

$$l_{Me} = I_x / V_V = (a^4 / 12) / (a^2 \cdot h') = (\rho_{fl} \cdot a^2) / (12 \cdot \rho_K \cdot h) , \text{Bild 8-22, Pos. b.}$$

Es ist hier bemerkenswert, daß das Flächenträgheitsmoment  $I_x$  für alle x-Achsen den gleichen Wert hat, da die Trägheitseellipse in diesem Fall ein Kreis ist. Für den Grenzwert  $k = 1$  des Stabilitätskoeffizienten folgt nunmehr:

$$k = \frac{l_{Me}}{l_S} = \frac{\rho_{fl} \cdot a^2}{12 \cdot \rho_K \cdot h \cdot 0,5 \cdot h \cdot (1 - \rho_K / \rho_{fl})} = 1 \quad . \text{ Daraus ergibt sich:}$$

$$(a/h)_{Grenz} = \sqrt{6 \cdot \frac{\rho_K}{\rho_{fl}} \cdot (1 - \frac{\rho_K}{\rho_{fl}})} \quad .$$

Für Holz in Wasser kann man annehmen:  $\rho_K / \rho_{fl} = 0,5 \dots 0,8$  ; also:

$$(a/h)_{Grenz} = 1,225 \dots 0,98 \quad .$$

b)  $(h'/a)_{Grenz,c}$  :

Hier führt man besser das Verhältnis  $h'/a$  ein . -Datenbeschaffung:

Verdrängungstiefe:  $h' = a \cdot \rho_K / \rho_{fl}$  ;

Schwerpunktsweite:  $l_S = 0,5 \cdot a \cdot (1 - \rho_K / \rho_{fl})$  ;

metazentrische Weite

$$l_{Me} = \frac{h \cdot \frac{a^3}{12}}{a \cdot h' \cdot h} = a^2 / (12 \cdot h') = \frac{\rho_{fl} \cdot a}{12 \cdot \rho_K} ;$$

Stabilitätskoeffizient:

$$k = \frac{l_{Me}}{l_S} = \frac{1}{6 \cdot (\rho_K / \rho_{fl}) \cdot (1 - \rho_K / \rho_{fl})} \quad .$$

Mit dem Grenzwert  $k = 1$  folgt nach Auflösung einer quadratischen Gleichung für das Dichteverhältnis die gesuchte geometrische Beziehung:

$$\begin{aligned} & \parallel 0,789 < h'/a = \rho_K / \rho_{fl} < 0,211 \quad : \text{ Stabilität !} \\ & \parallel 0,211 < h'/a = \rho_K / \rho_{fl} < 0,789 \quad : \text{ Labilität .} \end{aligned}$$

c)  $(h'/a)_{Grenz,d}$  :

Für diese Schwimmlage erhält man sinngemäß:

Verdrängungstiefe: Aus dem Schwimmgleichgewicht folgt nach Archimedes  
des  $\rho_K \cdot g \cdot a^2 \cdot h = \rho_{fl} \cdot g \cdot h' \cdot \frac{2}{3} \cdot h$  ;  $h' = a \cdot \sqrt{\frac{\rho_K}{\rho_{fl}}}$  ;

Schwerpunktsweite:  $l_S = \frac{a \cdot \sqrt{2}}{2} - \frac{2}{3} \cdot h' = a \cdot \left( \frac{\sqrt{2}}{2} - \frac{2}{3} \cdot \sqrt{\frac{\rho_K}{\rho_{fl}}} \right)$  ;

metazentrische Weite:  $l_{Me} = \frac{I_y}{V_V} = \frac{h \cdot (2 \cdot h')^3 / 12}{h \cdot h'^2} = \frac{2}{3} \cdot h' = \frac{2}{3} \cdot a \cdot \sqrt{\frac{\rho_K}{\rho_{fl}}}$  .

Stabilitätskoeffizient:  $k = \frac{2}{3} \cdot \frac{\sqrt{\rho_K / \rho_{fl}}}{\frac{\sqrt{2}}{2} - \frac{2}{3} \cdot \sqrt{\rho_K / \rho_{fl}}}$  .

Für den Grenzfall  $k = 1$  folgt:  $h' / a = 0,3535$  .

||  $h' / a > 0,3535$  : Stabilität !  
||  $h' / a < 0,3535$  : Labilität .

### 13. Beispiel

Ein Seeflugzeug von der Masse  $m = 10$  t besitzt seinen Körperschwerpunkt in einer Höhe von  $z_S = 1,5$  m über dem Wasserspiegel. Der Abstand zwischen den Längsachsen der beiden Schwimmkörpern beträgt  $2 \cdot L = 3$  m. Die Schwimmfläche besteht aus zwei Rechtecken von den Abmessungen  $a = 0,6$  m und  $b = 8$  m, Bild 8-23. Die Tiefenlage des Verdrängungsmittelpunktes wird mit  $h_V = 0,3$  m angegeben. - Man ermittle die Querstabilität.

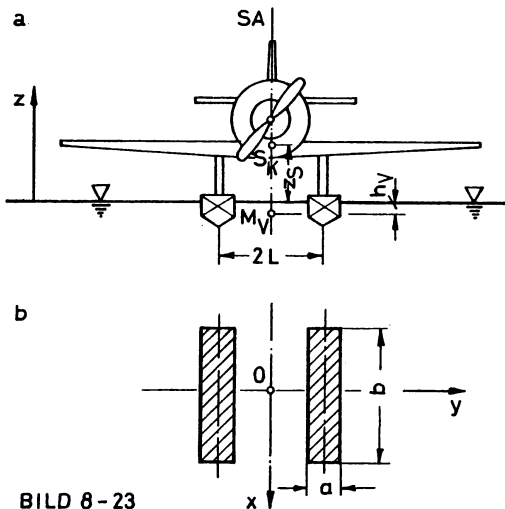


BILD 8-23

### Lösung:

Das Flächenträgheitsmoment der Schwimmfläche bezüglich der x-Achse beträgt:

$I_x = 2 \cdot \left( \frac{b \cdot a^3}{12} + L^2 \cdot a \cdot b \right)$  nach dem Steinerschen Lehrsatz. In Zahlen:

$$I_x = 2 \cdot \left( 8,0,6^3 / 12 + 1,5^2 \cdot 0,6 \cdot 8 \right) = \underline{21,89 \text{ m}^4} .$$

Verdrängungsvolumen:  $V_V = m / \rho_{fl} = 10^4 / 1000 = \underline{10 \text{ m}^3} .$

Metazentrische Weite:  $l_{Me} = I_x / V_V = 21,89 / 10 = \underline{2,189 \text{ m}} .$

Stabilitätskoeffizient:

$$k = l_{Me} / l_g = 21,89 / 1,8 = \underline{\underline{1,216 > 1}} .$$

### 14. Beispiel

Man untersuche die Roll- bzw. Schlingerschwingungen eines Schwimmkörpers im reibungsfreien Fall, Bild 8-24.

Besonders sollen untersucht werden:

- a) die Differentialgleichung der Schwingung und ihre allgemeine Lösung;
- b) die Schwingungsdauer;
- c) die Schwingungsdauer einer Schlingerperiode in einem realen Fall (Bild 8-24, Pos. c).

Die Schwimmfläche wird durch ein flächengleiches Rechteck ersetzt:

$b = 5 \text{ m}$ ;  $L = 50 \text{ m}$ ; der ausgeglichene Tiefgang beträgt  $h = 2,5 \text{ m}$ ;

die angenäherte ausgeglichene Gesamthöhe des Schiffes sei mit  $H = 12 \text{ m}$  angenommen. Effektiver Stabilitätsfaktor  $k = 1,5$ .

- d) die Schwingungsdauer einer Nick- bzw. Stampfperiode; sonstige Angaben wie unter Pos. c.
- e) Man vergleiche die Quer- mit der Längsstabilität !

### Lösungen:

#### a) Dgl. und allgemeine Lösung:

Das dynamische Grundgesetz für die Drehbewegung lautet:

$$\boxed{\sum M_i = I_d \cdot \ddot{\alpha}} \quad (8-8).$$

Es bedeuten  $I_d$  das Massenträgheitsmoment bezüglich der Drehachse und

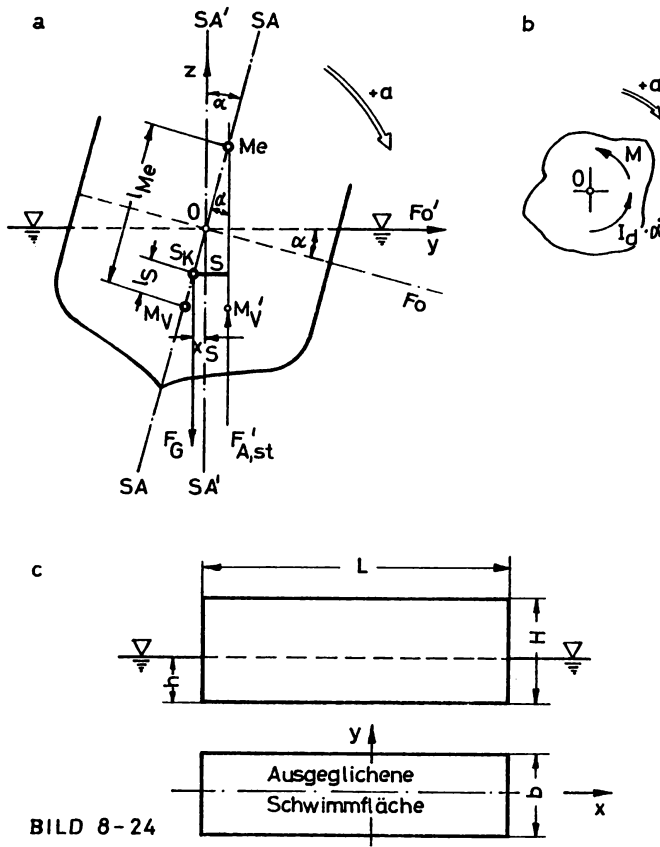


BILD 8-24

$\ddot{\alpha}$  die Winkelbeschleunigung.

Nach d'Alembert schreibt man dieses Gesetz folgendermaßen um:

$$\sum M_i - I_d \cdot \ddot{\alpha} = 0 \quad (8-9).$$

Wiederum werden Dynamik-Aufgaben zu quasi-statischen Aufgaben am ruhenden Ersatzkörper!-Alle einwirkenden Drehmomente  $\sum M_i$  stehen mit den Drehmomenten der Trägheitskräfte  $-I_d \cdot \ddot{\alpha}$  im Momentengleichgewicht. Der Ausdruck  $-I_d \cdot \ddot{\alpha}$  wird am freigemachten und ruhenden Ersatzkörper immer entgegen der als positiv angenommenen Bewegungsrichtung eingetragen (Bild 8-24, Pos. b).

Jetzt lautet das Momentengleichgewicht, wenn man den Koordinatenur-



sprung mit dem Drehmomentenbezugspunkt identifiziert:

$$-F_G \cdot x_S - F_{A,st}' \cdot (s - x_S) - I_{dx} \cdot \ddot{\alpha} = 0$$

Die Drehmomentenwirkung der beiden Kräfte  $F_G$  und  $F_{A,st}'$  ist aber auch gleich derjenigen eines Kräftepaares, so daß notiert werden

$$-F_{A,st}' \cdot s - I_{dx} \cdot \ddot{\alpha} = 0$$

Ersetzt man hierin  $s$  durch  $(l_{Me} - l_S) \cdot \sin \alpha$ , dann folgt:

$$-F_{A,st}' \cdot (l_{Me} - l_S) \cdot \sin \alpha - I_{dx} \cdot \ddot{\alpha} = 0$$

Schließlich beschränke man sich auf kleine Schwingungsausschläge; dadurch ist die Lösungsvereinfachung  $\alpha \approx \sin \alpha$  möglich. - Datenbeschaffung:

$$Gl.(8-3): l_{Me} = I_x / V_V; Gl.(8-1) \text{ und } (8-2): F_{A,st} = F_{A,st}' = \rho_{fl} \cdot g \cdot V_V$$

Nach Einsetzen und Verwerten dieser Zusammenhänge erhält man die Differentialgleichung der Querschwingungen:

$$\ddot{\alpha} + \left[ \frac{I_x / V_V - l_S}{I_{dx}} \cdot \rho_{fl} \cdot g \cdot V_V \right] \cdot \alpha = 0$$

Typ: Lineare, homogene Dgl. zweiter Ordnung mit konstanten Koeffizienten: Dgl. der harmonischen Schwingungen.

Die Winkelgeschwindigkeit des Phasors beträgt:

$$\omega = \sqrt{\frac{\rho_{fl} \cdot g \cdot V_V}{I_{dx}} \cdot (I_x / V_V - l_S)}$$

die allgemeine Lösung für diese Dgl. lautet in Anlehnung an Beispiel 10:

$$\alpha = A \cdot \sin(\omega \cdot t + \varphi)$$

mit  $A$  (Amplitude) und  $\varphi$  (Phasenverschiebung) als den beiden Integrationskonstanten.

b) die Schwingungsdauer  $T_Q$ :

Sie berechnet sich folgendermaßen:

$$T_Q = \frac{2\pi}{\omega} = 2\pi \cdot \sqrt{\frac{I_{dx}}{\rho_{fl} \cdot g \cdot (I_x - l_S \cdot V_V)}} .$$

c)  $T_{Qc}$  :

Datenbeschaffung:

Verdrängungsvolumen  $V_V = b \cdot h \cdot L = 5.2, 5.50 = 625 \text{ m}^3$  (Bild 8-24, Pos. c).

Schiffsmasse  $m = \rho_{fl} \cdot V_V = 1000 \cdot 625 = 625\,000 \text{ kg}$  .

Angenähertes Massenträgheitsmoment (Richtwert):

$$I_{dx} = \frac{m}{12} \cdot (b^2 + h^2) = \frac{625000}{12} \cdot (5^2 + 12^2) = 8,802 \cdot 10^6 \text{ kg} \cdot \text{m}^2 .$$

Flächenträgheitsmoment der Schwimmfläche bezüglich der x-Achse:

$$I_x = \frac{b^3 \cdot L}{12} = \frac{5^3 \cdot 50}{12} = 520,83 \text{ m}^4 .$$

Schwerpunktsabstand  $l_S = l_{Me}/k = I_x / (k \cdot V_V) = \frac{520,83}{1,5 \cdot 625} = 0,556 \text{ m}$  .

Mit diesen Daten folgt für die Schwingungsdauer einer Querschwingung:

$$\underline{T_{Qc}} = 2\pi \cdot \sqrt{\frac{8,802 \cdot 10^6}{1000 \cdot 9,81 \cdot (520,83 - 0,556 \cdot 625)}} = 14,28 \text{ s} .$$

d) Schwingungsdauer einer Nick- oder Stampfperiode (Längsschwingung)  $T_L$ :

Das gleiche Verfahren führt zur Schwingungsdauer  $T_L$ ; nur müssen das Schwimmflächenträgheitsmoment bezüglich der y-Achse und das Massenträgheitsmoment mit der y-Achse als Drehachse berechnet werden:

$$T_L = \frac{2\pi}{\omega} = 2\pi \cdot \sqrt{\frac{I_{dy}}{\rho_{fl} \cdot g \cdot (I_y - l_S \cdot V_V)}} .$$

Angenähertes Massenträgheitsmoment

$$I_{dy} = \frac{m}{12} \cdot (b^2 + L^2) = \frac{625000}{12} \cdot (5^2 + 50^2) = 131,51 \cdot 10^6 \text{ kg} \cdot \text{m}^2 .$$

Flächenträgheitsmoment der Schwimmfläche bezüglich der y-Achse

$$I_y = \frac{b \cdot L^3}{12} = \frac{5 \cdot 50^3}{12} = 52,083 \text{ m}^4 .$$

Somit läßt sich die Schwingungsdauer  $T_L$  berechnen:

$$\underline{T_L} = 2\pi \cdot \sqrt{\frac{131,51 \cdot 10^6}{1000 \cdot 9,81 \cdot (52083 - 0,556 \cdot 625)}} = \underline{3,20 \text{ s}}.$$

Das ist aber ein unerwartetes Ergebnis, daß  $T_L < T_Q$  ist !

#### e) Vergleich der Quer- und Längsstabilität:

Die effektive Querstabilität ist mit  $k_Q = 1,5$  angegeben. Der Stabilitätsfaktor für die Längsstabilität lautet:

$$\underline{k_L} = I_y / (I_S \cdot V_V) = \frac{52,083 \cdot 10^3}{0,556 \cdot 625} = \underline{149,9}.$$

Die Längsstabilität ist etwa 100mal größer als die Querstabilität.

## 9. DAS RELATIVE GLEICHGEWICHT

### 9.1. Absolut-, Fahrzeug- und Relativbewegung

#### Absolutbewegung

Der Trägheitssatz:

|| Jeder Körper verharrt in dem Zustand der Ruhe oder der gleichförmigen Bewegung, wenn er nicht durch äußere Kräfte daran gehindert wird,

gilt genauso wie das dynamische Grundgesetz  $\vec{F} = m \cdot \vec{a}$  nur für ein ruhendes Koordinatensystem (Inertialsystem). Man nennt es auch Absolutsystem, Bild 9-1.

Das x,y,z-Koordinatensystem wird demnach als Absolutsystem deklariert. Die Bewegung des Punktes P(x;y;z) gegenüber diesem System heißt Absolutbewegung. -Der Geschwindigkeitsvektor hierfür lautet:

$$\vec{c} = i \cdot c_x + j \cdot c_y + k \cdot c_z = i \cdot \frac{dx}{dt} + j \cdot \frac{dy}{dt} + k \cdot \frac{dz}{dt} \quad (9-1).$$

Der Beschleunigungsvektor für die Absolutbewegung heißt:

$$\vec{a} = i \cdot a_x + j \cdot a_y + k \cdot a_z = i \cdot \frac{dc_x}{dt} + j \cdot \frac{dc_y}{dt} + k \cdot \frac{dc_z}{dt} \quad (9-2).$$

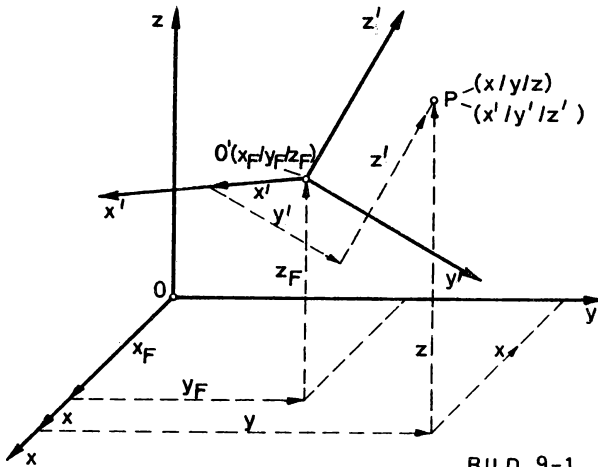


BILD 9-1

### Fahrzeugbewegung

Bewegt sich ein Fahrzeug  $O'$ , mit welchem das  $x', y', z'$ -Koordinatensystem fest verbunden ist, gegenüber dem Abso-lutsystem, so spricht man von einer Fahr-zeugbewegung, die sich mittels der Fahrzeugkoordinaten  $(x_F, y_F, z_F)$  beschreiben läßt. Der Geschwindigkeitsvektor für die Fahr-zeugbewegung lautet:

$$\vec{v} = i \cdot v_x + j \cdot v_y + k \cdot v_z = i \cdot \frac{dx_F}{dt} + j \cdot \frac{dy_F}{dt} + k \cdot \frac{dz_F}{dt} \quad (9-3).$$

Der Beschleunigungsvektor für die Fahrzeugbewegung heißt:

$$\vec{a}_F = i \cdot a_{Fx} + j \cdot a_{Fy} + k \cdot a_{Fz} = i \cdot \frac{dv_x}{dt} + j \cdot \frac{dv_y}{dt} + k \cdot \frac{dv_z}{dt} \quad (9-4).$$

### Relativbewegung

Beobachtet man die "Realbewegung" eines Punktes  $P$  von einem Fahrzeug aus, genauer gesagt: von einem bewegten Koordinatensystem  $O'$  aus, dann spricht man von einer Relativbewegung. Hierfür gilt das dynamische Grundgesetz nicht mehr ohne weiteres!

Das  $(x'; y'; z')$ -Koordinatensystem wird als Relativsystem deklariert. Die Bewegung des Punktes  $P (x'; y'; z')$  gegenüber diesem System heißt bekanntlich Relativbewegung. - Der Geschwindigkeitsvektor lautet:

$$\vec{w} = i \cdot w_x + j \cdot w_y + k \cdot w_z = i \cdot \frac{dx'}{dt} + j \cdot \frac{dy'}{dt} + k \cdot \frac{dz'}{dt} \quad (9-5).$$

Der Beschleunigungsvektor für die Relativbewegung heißt:

$$\vec{a}_r = i \cdot a_{rx} + j \cdot a_{ry} + k \cdot a_{rz} = i \cdot \frac{dw_x}{dt} + j \cdot \frac{dw_y}{dt} + k \cdot \frac{dw_z}{dt} \quad (9-6).$$

### 1. Satz von Coriolis:

Die genannten drei Geschwindigkeiten setzen sich vektoriell folgendermaßen zusammen:

$$\vec{c} = \vec{v} + \vec{w} \quad (9-7).$$

### 2. Satz von Coriolis:

Liegen nur translatorische Bewegungskomponenten vor, dann lassen sich die Beschleunigungen folgendermaßen zusammenfassen:

$$\vec{a} = \vec{a}_F + \vec{a}_r \quad (9-8).$$

Liegt eine allgemeine Bewegung vor, bei welcher also neben der Translations- auch eine Rotationskomponente vorkommt, dann gilt zwar noch Gl. (9-7), aber nicht mehr Gl. (9-8). In diesem Fall kommt noch die Komplementär- oder Coriolisbeschleunigung hinzu! - Sie berechnet sich folgendermaßen:

$$\vec{a}_{Cor} = 2 \cdot (\vec{\omega}_F \times \vec{w}) \quad (9-9).$$

$\vec{\omega}_F$  stellt die Rotationskomponente der Fahrzeugbewegung dar. Die drei Vektoren bilden ein Rechtssystem. (Regel der rechten Hand: Der Daumen weist in Richtung des Winkelgeschwindigkeitsvektors, wobei die gekrümmten Finger den Drehsinn verdeutlichen; der Zeigefinger gibt die Richtung der Relativbewegung an; der Mittelfinger zeigt in Richtung der Coriolisbeschleunigung.)

Für den allgemeinen Bewegungsfall ist der zweite Satz von Coriolis folgendermaßen zu erweitern:

$$\vec{a} = \vec{a}_F + \vec{a}_r + \vec{a}_{Cor} \quad (9-10).$$

Bewegt sich ein Fahrzeug (im Sonderfall kann es sich auch um einen Massenpunkt handeln) gegenüber dem Absolutsystem oder ein Massenpunkt relativ zum Fahrzeug, dann kann man im Sinne der natürlichen Koordinaten bei einer gekrümmten Bahnkurve eine Aufteilung der jeweiligen Beschleunigung in einen tangential gerichteten Anteil und in

einen zum Krümmungsmittelpunkt hin gerichteten Anteil vornehmen. Es gilt dann:

$$\vec{a}_F = \vec{a}_{Ft} + (\vec{-r}_0) \cdot a_{Fn} ; \quad \vec{a}_r = \vec{a}_{rt} + (\vec{-r}_0) \cdot a_{rn} \quad (9-11).$$

$(\vec{+r}_0)$  stellt den Einheitsvektor dar; er ist, vom Krümmungsmittelpunkt aus gesehen, nach außen hin gerichtet; deshalb ist  $(\vec{-r}_0) \cdot a_{Fn}$  als die Zentripetalbeschleunigung der Fahrzeugbewegung nach innen gerichtet. Gleiches gilt auch für die Relativbewegung. Ihre Beträge lauten:

$$a_{Fn} = v_t^2 / r \quad ; \quad a_{rn} = w_t^2 / r \quad (9-12).$$

Der Index  $t$  weist auf die Tangentialkomponente der betreffenden Geschwindigkeit hin, und unter  $r$  ist der Krümmungsradius zu verstehen.

## 9.2. Dynamisches Grundgesetz für die Relativbewegung

Für die weitere Betrachtung der Relativbewegung ist eine andere Schreibweise der Gl. (9-10) vorteilhaft:

$$\vec{a}_r = \vec{a} - \vec{a}_F - \vec{a}_{Cor} \quad (9-13).$$

Multipliziert man diese Gleichung mit der an der Bewegung beteiligten Masse  $m$ , deren Massenmittelpunkt mit dem in Bild 9-1 erwähnten Punkt  $P$  identifiziert werden kann, dann erhält man das angestrebte dynamische Grundgesetz für die Relativbewegung:

$$m \cdot \vec{a}_r = m \cdot \vec{a} - m \cdot \vec{a}_F - m \cdot \vec{a}_{Cor} \quad (9-14).$$

$m \cdot \vec{a} = \sum \vec{F}_i$  ist eine physikalisch nachweisbare Kraft.

$-m \cdot \vec{a}_F$  stellt eine erste Hilfskraft dar und wird auch d'Alembertsche Hilfskraft genannt.

$-m \cdot \vec{a}_{Cor}$  stellt eine zweite Hilfskraft dar und wird auch Corioliskraft genannt.

## 9.3. Relatives Gleichgewicht

Wendet man die Philosophie des d'Alembertschen Prinzips, Gl. (8-7),

auch für die Relativbewegung an, dann schreibt sich die allgemeinste Kräftegleichgewichtsformel für den freigemachten ruhenden Ersatzkörper (nicht das Fahrzeug!) folgendermaßen an:

$$\boxed{\sum \vec{F}_i - m \cdot \vec{a}_r - m \cdot \vec{a}_F - m \cdot \vec{a}_{Cor} = 0} \quad (9-15).$$

Es sei nochmals daraufhingewiesen, daß die Quasi-Ruhe gegenüber dem mit dem Fahrzeug fest verbundenen relativen Koordinatensystem hergestellt wird. Außerdem lassen sich die Fahrzeug- und Relativbeschleunigungen mittels der Gl. (9-11) aufschlüsseln!

Ein Sonderfall des relativen Gleichgewichts liegt dann vor, wenn ein mit dem Fahrzeug fahrender Beobachter keine Bewegung des Massenpunktes P feststellen kann. Die Relativgeschwindigkeit ist identisch null, so daß man vom relativen Ruhezustand spricht.

Wegen  $w = 0$  verschwinden Relativ- und Coriolisbeschleunigung. Die Gleichungen (9-7), (9-10), (9-14) und (9-15) vereinfachen sich zu:

$$\boxed{\begin{aligned} \vec{c} &= \vec{v} & ; & & \vec{a} &= \vec{a}_F \\ \sum \vec{F}_i &= m \cdot \vec{a}_F & ; & & \sum \vec{F}_i - m \cdot \vec{a}_F &= 0 \end{aligned}} \quad (9-16).$$

(d'Alembertsches Prinzip nach Gl. (8-7))

Mit diesem Gleichungspaket läßt sich das Kräftegleichgewicht im relativen Ruhezustand untersuchen. Obige etwas weitergehenden Betrachtungen sind deshalb vonnöten, weil bei Problemen der relativen Ruhe nur die Fahrzeugbewegung beschrieben wird und eine Angabe zur Absolutbewegung fehlt!

#### 9.4. Beispiele

##### 1. Beispiel

Die Steighöhe eines Fahrstuhls in einem Hochhaus beträgt  $h = 210$  m; seine gesamte Fahrzeit beträgt  $t = 38$  s. Bis zur halben Höhe wird eine lineare Beschleunigung verzeichnet; danach tritt eine lineare Verzögerung ein.

Auf dem Boden des Fahrstuhls steht ein Wassergefäß (Leermasse  $m_0 = 4$  kg), das ein Volumen von  $V = 0,03$  m<sup>3</sup> faßt, Bild 9-2. Der Atmosphärendruck ist konstant. - Man ermittle:

a) die maximale Beschleunigung am Ende der Beschleunigungsphase;

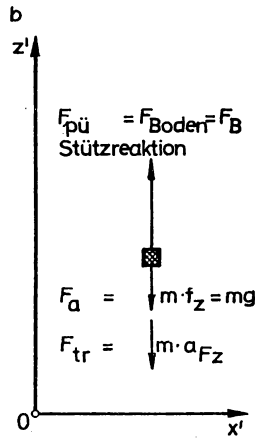
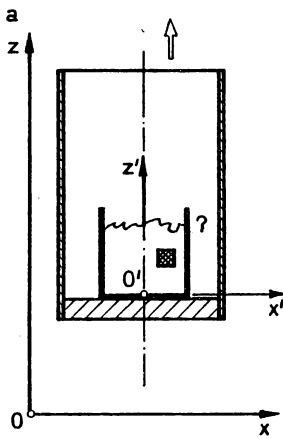


BILD 9-2

- b) hierfür die maximale Bodenstützkraft auf das Wassergefäß;  
c) den Verlauf der Wasseroberfläche während der Beschleunigung.

Lösung:

- a)  $a_{Fz,max}$  :  
Zwischen  $z = 0$  und  $z = h/2 = 105 \text{ m}$  gilt eine zeitliche, lineare Beschleunigungszunahme von  $a_{Fz} = 0$  bis

$a_{Fz} = a_{Fz,max}$ . Das zur Verfügung stehende Zeitintervall beträgt dabei  $t \approx 19 \text{ s}$ . -Beschleunigungs-Zeit-Funktion:

$$a_{Fz} : a_{Fz,max} = t : 19 \quad .$$

$$\underline{a_{Fz} = (a_{Fz,max}/19) \cdot t} \quad .$$

Geschwindigkeits-Zeit-Funktion:

$$\underline{v_z = \int a_{Fz} \cdot dt = (a_{Fz,max} / 38) \cdot t^2} \quad .$$

Weg-Zeit-Funktion:

$$\underline{z = \int v_z \cdot dt = (a_{Fz,max} / 114) \cdot t^3} \quad .$$

Da der Fahrstuhl anfangs in Ruhe gewesen ist, fallen die Integrationskonstanten weg. Aus der letzten Gleichung ergibt sich für die bekannte halbe Steighöhe und die entsprechende Steigzeit die gesuchte maximale Endbeschleunigung des Fahrzeugs (Fahrstuhls) zu:

$$\underline{a_{Fz,max} = 105 \cdot 114 / 19^3 = 1,745 \text{ m/s}^2} \quad .$$

b)  $F_B$  :

Das Fahrzeug hat die Masse aus Wasserinhalt und Becher zu beschleunigen:

$$\underline{m = m_o + m_w = 4 + 1000 \cdot 30 \cdot 10^{-3} = 34 \text{ kg}} \quad .$$



Das relative Gleichgewicht lautet demnach (Bild 9-2, Pos. b):

$\sum F_{zi} = F_B - m \cdot g - m \cdot a_{Fz} = 0$  .- Es sei hier wieder einmal an die Klassifikation der Kräfte erinnert (vgl. Abschn. 4), wonach in der Fluidmechanik letztlich nur Massenkkräfte (äußere Kräfte und Trägheitskräfte) und Flächenkräfte (Druck- und Tangentialkräfte) eine Rolle spielen, wenn man von den Linienkräften absieht.-Im angefangenen Beispiel liegen folgende Kräfte vor:

Äußere Kraft (Feldkraft) :  $F_a = m \cdot f_z = m \cdot g$  ;

Trägheitskraft :  $F_{tr} = m \cdot a_{Fz}$  ;

Flächenkraft (Stützreaktion des Druckes) :  $F_B$  .

Für den Fall maximaler Fahrzeugbeschleunigung erhält man:

$$\underline{F_B = 34.9,81 + 34.1,745 = 392,87 \text{ N} .}$$

c) Verlauf der Wasseroberfläche  $z' = f(x')$  :

In den Abschnitten 5.4.2 und 5.4.3 führte das Gleichgewicht zwischen den Druckkraft-Stützreaktionen und der Massenkraft (dort nur Feldkraft) geradewegs zur Potentialfunktion ( $-e_p$ ), einem mathematischen Ausdruck. ( $+e_p$ ) entspricht bekanntlich der spezifischen potentiellen Energie. Gl. (5-12) lautet:  $\vec{f} = -\text{grad } e_p = -\nabla e_p$  .

Dieser Sachverhalt läßt sich nun auf das relative Gleichgewicht im  $z', x'$ -Koordinatensystem des laufenden Beispiels übertragen.

Da in  $x'$ - und in  $y'$ -Richtung keine Massenkraftkomponenten zu verzeichnen sind, kennt man hierfür auch keine partiellen Änderungen der Potentialfunktion nach Gl. (5-11):

$$f_{x'} = -\frac{\partial e_p}{\partial x'} = 0 ; \quad f_{y'} = -\frac{\partial e_p}{\partial y'} = 0 .$$

Nun kann weiterhin auf das partielle Differentialzeichen verzichtet werden, da es sich nur noch um einen  $z'$ -Einfluß handeln kann!

Die gesamte  $z'$ -Komponente der massenspezifischen Kraft  $f_z$ , setzt sich im obigen Kräfte- und Orientierungsfall zusammen aus zwei Anteilen:

- $g$  , dem nach unten gerichteten Anteil der Feldkraft und
- $a_{Fz}$  , dem ebenfalls nach unten gerichteten Anteil auf Grund der Trägheitskraft, herrührend von der Fahrzeugbeschleunigung.

$$f_{z'} = -g - a_{Fz} = - \frac{de_p}{dz'} ; \quad de_p = (g + a_{Fz}) \cdot dz' ; \text{ daraus folgt}$$

für die massenspezifische potentielle Energie:

$$\underline{e_p = (g + a_{Fz}) \cdot z' + K_1 = (g + a_{Fz, \max} \cdot t / 19) \cdot z' + K_1 .}$$

Hier spielt die Zeit sogar die Rolle eines Parameters!-  $K_1$  ist eine Integrationskonstante.

Die Interpretation dieser Ergebnisgleichung läßt folgenden Schluß zu:

Zu einer gewissen Zeit haben Äquipotentialflächen ( $-e_p = \text{const}$ ) die Form einer horizontalen Fläche ( $z' = \text{Konst}$ ).  
Damit folgt auch mit den Erkenntnissen von Abschn. 6.1 (Druckformel für Flüssigkeiten, Sonderfall für inkompressible Fluide), da Äquipotentialflächen auch Isobarflächen sind:  
Zu einer gewissen Zeit haben Isobarflächen ( $p = \text{const}$ ) die Form einer horizontalen Fläche ( $z' = \text{Konst}$ ).  
Da eine freie Oberfläche wegen  $p_o = \text{const}$  eine Isobarfläche abgibt, ist auch der gesuchte Oberflächenverlauf im beschleunigten Wasserbehälter eine Horizontalfläche.

## 2. Beispiel

Ein Wasserbehälter rechteckigen Querschnitts gleitet zunächst ohne Reibung eine schiefe Ebene ( $\alpha = 30^\circ$ ) herunter. Die Behälterhöhe im Ruhezustand heißt an der unteren Kante  $h_o$ , Bild 9-3, Pos. a .

Man ermittle:

- die Gleichung der freien Oberfläche  $z' = f(y')$  ;
- die Überdruckkraft auf den Behälterboden  $F_{pü, AB}$  ;
- die Überdruckkraft auf die Seitenwand  $F_{pü, AC}$  ;
- die Überdruckkraft auf die Seitenwand  $F_{pü, BD}$  ;
- die gleichen Zusammenhänge wie unter a) bis c), mit dem Unterschied aber, daß der Behälter nun unter dem Einfluß von Reibung nach unten gleitet ( $\mu = 0,3$ ). - Weitere Angaben: Länge  $L = 3 \text{ m}$ ; Breite  $b = 2 \text{ m}$  ;  $z'_o = 1 \text{ m}$  .

## Lösungen:

- a)  $z' = f(y')$  :

Aus dem Kräftegleichgewicht am freigemachten Fahrzeug folgt in y-Richtung , Bild 9-3, Pos. b :

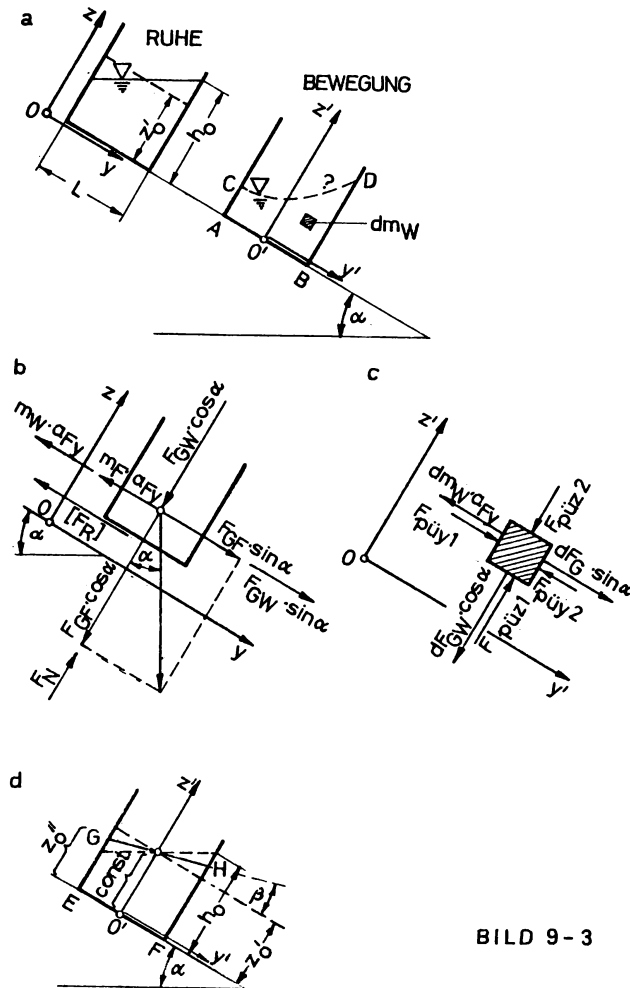


BILD 9-3

$$\sum F_{yi} = -m_F \cdot a_{Fy} + m_F \cdot g \cdot \sin \alpha - m_W \cdot a_{Fy} + m_W \cdot g \cdot \sin \alpha = 0 \quad ; \text{ daraus folgt:}$$

$$a_{Fy} = g \cdot \sin \alpha$$

Aus dem relativen Gleichgewicht an der freigemachten ruhenden Ersatzmasse  $dm_W$  (Bild 9-3, Pos. c) folgt:

$$\sum F_{y'i} = -dm \cdot a_{Fy} + F_{püz'1} - F_{püz'2} + dm \cdot g \cdot \sin \alpha = 0 \quad .$$

Die zusammengefaßten Massenkkräfte lassen sich wieder wie im letzten Beispiel durch die Wegableitung eines Potentials bestimmen, so daß gilt, und zwar zunächst nur in y'-Richtung:

$$f_{y'} = - \frac{\partial e_p}{\partial y'} = -a_{Fy} + g \cdot \sin \alpha \quad ; \quad \text{setzt man die für } a_{Fy} \text{ ermittelte}$$

Beziehung ein, dann wird  $f_{y'} = - \frac{\partial e_p}{\partial y'} = 0$  . Die resultierende

spezifische Massenkraftkomponente in x'-Richtung (senkrecht auf dem Bild stehend) entfällt, so daß sofort

$$f_{x'} = - \frac{\partial e_p}{\partial x'} = 0 \quad \text{notiert werden darf.}$$

Schließlich lautet das relative Gleichgewicht in z'-Richtung:

$$\sum F_{z'i} = -dm_W \cdot g \cdot \cos \alpha + F_{püz'1} - F_{püz'2} = 0 \quad ; \quad \text{deshalb lautet die}$$

resultierende spezifische Massenkraftkomponente in z'-Richtung:

$$f_{z'} = - \frac{\partial e_p}{\partial z'} = -g \cdot \cos \alpha \quad . \quad \text{Die Integration ergibt für die}$$

massenspezifische potentielle Energie:

$$e_p = g \cdot \cos \alpha \cdot z' + \text{Konst} \quad .$$

Die diesbezügliche Potentialfunktion lautet somit:

$$- e_p = -g \cdot \cos \alpha \cdot z' - \text{Konst} \quad .$$

Erinnert man sich jetzt der Druckformel, Gl. (6-1), so ergibt sich:

$$\frac{p}{\rho} + e_p = \frac{p}{\rho} + g \cdot \cos \alpha \cdot z' + \text{Konst} = C \quad \text{oder:}$$

$$p + \rho \cdot g \cdot \cos \alpha \cdot z' = \text{const} \quad .$$

Danach lassen sich Isobarflächen mit  $z' = \text{Const}$  beschreiben:

Es handelt sich um Flächen, die parallel zum Behälterboden verlaufen. Damit verläuft die freie Oberfläche als Isobarfläche ebenfalls parallel zum Boden!

Die Konstante der Druckformel läßt sich somit leicht ermitteln:

$$p_o + \rho \cdot g \cdot \cos \alpha \cdot z'_o = \text{const} \quad ;$$

damit schreibt sich die Berechnungsgleichung für den lokalen Überdruck im Behälter :

$$\underline{\underline{p_{\ddot{u}} = p - p_o = \rho \cdot g \cdot \cos \alpha \cdot (z'_o - z') \quad .}}$$

b)  $\underline{F_{\ddot{u},AB}}$  :

Die Bodendruckkraft ermittelt sich einfach mit  $F_{\ddot{u},AB} = p_{\ddot{u}} \cdot L \cdot b$  , da ja am Boden der Druck überall gleich groß ist:

$$\underline{\underline{F_{\ddot{u}} = 1000 \cdot 9,81 \cdot \cos 30^\circ \cdot (1 - 0) \cdot 3,2 = 50\,974,3 \text{ N} \quad .}}$$

c)  $\underline{F_{\ddot{u},AC}}$  :

Hier verläuft die Druckverteilung linear mit der Tiefe. Damit gilt Gl.(7-8) entsprechend.

$$\underline{\underline{F_{\ddot{u},AC} = \rho \cdot g \cdot \cos \alpha \cdot (z'_o / 2) \cdot b \cdot z'_o = 1000 \cdot 9,81 \cdot \cos 30^\circ \cdot 0,5 \cdot 2 \cdot 1 \quad .}}$$

$$\underline{\underline{F_{\ddot{u},AC} = 8\,495,7 \text{ N} \quad .}}$$

d)  $\underline{F_{\ddot{u},BD}}$  :

Da die Flüssigkeit an der Wand BD genauso hoch steht wie bei AC, sind die Wanddruckkräfte auch gleich groß:

$$\underline{\underline{F_{\ddot{u},BD} = 8\,495,7 \text{ N} \quad .}}$$

e) Gleiche Zusammenhänge wie oben, nur mit Reibung:

Beim Kräftegleichgewicht am freigemachten Fahrzeug kommt zusätzlich die Reibungskraft  $F_R$  hinzu. Diese Kraft ist in Bild 9-3, Pos. b, in Klammer gesetzt worden. Hier wird sie in die Gleichung mit aufgenommen:

$$\underline{\underline{\sum F_{yi} = -m_F \cdot a_{Fy} + m_F \cdot g \cdot \sin \alpha - m_W \cdot a_{Fy} + m_W \cdot g \cdot \sin \alpha - F_R = 0 \quad .}}$$

Das Coulombsche Reibungsgesetz

$$\boxed{F_R = \mu \cdot F_N} \quad (9-17)$$

und das Kräftegleichgewicht in z-Richtung

$$\underline{\underline{\sum F_{zi} = F_N - F_{GF} \cdot \cos \alpha - F_{GW} \cdot \cos \alpha = 0}}$$

lassen über die normale Auflagerkraft  $F_N$  die Reibungskraft berechnen:

$$F_R = \mu \cdot g \cdot (m_F + m_W) \cdot \cos \alpha ; \quad \text{es bedeuten:}$$

$m_F$  die Fahrzeugmasse und  $m_W$  die Wassermasse.-Für die Fahrzeugbeschleunigung läßt sich nunmehr angeben:

$$a_{Fy} = g \cdot (\sin \alpha - \mu \cdot \cos \alpha) .$$

Aus der Tatsache, daß die resultierende spezifische Massenkraft in  $x'$ -Richtung null ist, notiert man:

$$f_{x'} = - \frac{\partial e_p}{\partial x'} = 0 .$$

Das Kräftegleichgewicht ergibt in  $y'$ -Richtung für die resultierende spezifische Massenkraft:

$$f_{y'} = - \frac{\partial e_p}{\partial y'} = -g \cdot (\sin \alpha - \mu \cdot \cos \alpha) + g \cdot \sin \alpha = \mu \cdot g \cdot \cos \alpha .$$

Das Kräftegleichgewicht ergibt in  $z'$ -Richtung für die resultierende spezifische Massenkraft:

$$f_{z'} = - \frac{\partial e_p}{\partial z'} = -g \cdot \cos \alpha .$$

Das totale Differential der massenspezifischen potentiellen Energie heißt schlußendlich:

$$de_p = \frac{\partial e_p}{\partial x'} \cdot dx' + \frac{\partial e_p}{\partial y'} \cdot dy' + \frac{\partial e_p}{\partial z'} \cdot dz' .$$

Unter Verwertung der Teilergebnisse erhält man:

$de_p = 0 + (-\mu \cdot g \cdot \cos \alpha) \cdot dy' + g \cdot \cos \alpha \cdot dz' .$  Die Integration heißt:

$$e_p = -\mu \cdot g \cdot \cos \alpha \cdot y' + g \cdot \cos \alpha \cdot z' + \text{Konst} ,$$

ein Ausdruck, welcher der massenspezifischen potentiellen Energie entspricht. Daraus ergibt sich der Sachverhalt, daß eine Äquipotentialfläche sich mit  $z' - \mu \cdot y' = \text{const}$  beschreiben läßt.

Das ist aber die Gleichung einer schiefen Ebene bzw. einer geneigten Geraden:

$$z' = \text{const} + \mu \cdot y' .$$

Die Wasserspiegelneigung ist in Bild 9-3, Pos. d , gezeigt. Da die Ach-

senabschnitts-Steigungs-Gleichung vorliegt, entspricht  $\mu = \tan \beta$ , der Steigung der Geraden.-Mittels dieser Versuchsanlage kann man auch den Reibungsbeiwert  $\mu$  bestimmen!

Aus der Ergebnisgleichung für  $e_p$  und Gl.(6-1) folgt für die Druckverteilung:

$$\underline{p - \mu \cdot \rho \cdot g \cdot \cos \alpha \cdot y' + \rho \cdot g \cdot \cos \alpha \cdot z' = C} \quad .$$

Gleichung der Isobarflächen:  $\underline{z' = K + \mu \cdot y'}$  .

Ermittlung der Konstanten C in der Druckformel:

$$p_0 + \rho \cdot g \cdot \cos \alpha \cdot z'_0 = C \quad ; \text{ damit folgt für den lokalen}$$

Überdruck im Behälter:

$$p - \mu \cdot \rho \cdot g \cdot \cos \alpha \cdot y' + \rho \cdot g \cdot \cos \alpha \cdot z' = p_0 + \rho \cdot g \cdot \cos \alpha \cdot z'_0$$

$$\underline{p_{\ddot{u}} = p - p_0 = \mu \cdot \rho \cdot g \cdot \cos \alpha \cdot y' + \rho \cdot g \cdot \cos \alpha \cdot (z'_0 - z')} \quad .$$

Überdruckkraft  $F_{p\ddot{u},EF}$  :

Zusammenhänge werden in Bild 9-3, Pos. d, gezeigt. Die Druckverteilung am Boden EF ergibt sich für  $z' = 0$  :

$$p_{\ddot{u},EF} = \mu \cdot \rho \cdot g \cdot \cos \alpha \cdot y' + \rho \cdot g \cdot \cos \alpha \cdot z'_0 \quad .$$

Somit berechnet sich die Bodendruckkraft mit

$$\underline{F_{p\ddot{u},EF}} = \int_{(A_{EF})}^{+L/2} p_{\ddot{u},EF} \cdot dA = \int_{-L/2}^{+L/2} p_{\ddot{u}} \cdot b \cdot dy' = \underline{\rho \cdot g \cdot \cos \alpha \cdot z'_0 \cdot L \cdot b} \quad .$$

Damit ist nachgewiesen, daß hier, also im reibungsbehafteten Falle, die Bodendruckkraft genauso groß ist wie bei reibungsfreier Abwärtsbewegung:

$$\underline{F_{p\ddot{u},EF} = F_{p\ddot{u},AB} = 50\,974,3 \text{ N}} \quad .$$

Überdruckkraft  $F_{p\ddot{u},EG}$  :

Hier erhält man für  $(-L/2) = y'$  die Druckverteilung längs der Seitenwand EG:

$$\underline{p_{\ddot{u},EG} = -\mu \cdot \rho \cdot g \cdot \cos \alpha \cdot \frac{L}{2} + \rho \cdot g \cdot \cos \alpha \cdot (z'_0 - z')} \quad .$$

Differential der Seitenwanddruckkraft:

$$\underline{dF_{p\ddot{u},EG} = p_{\ddot{u},EG} \cdot dA = p_{\ddot{u},EG} \cdot b \cdot dz'} \quad .$$

Integrationsgrenzen:  $z' = 0$  bis  $z' = z''$  mit  $z'' = z'_0 - (L/2) \cdot \tan \beta$  ;

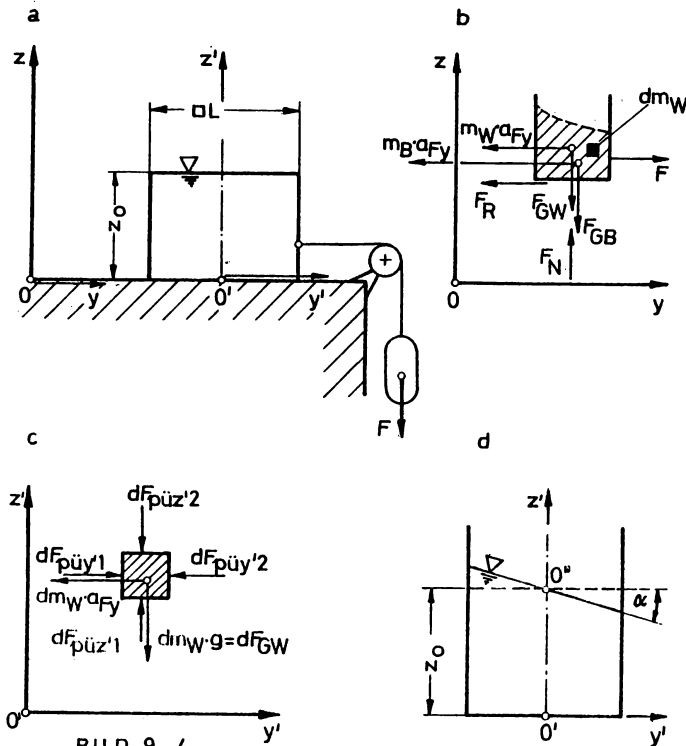
$$\underline{\underline{z''_0 = 1 - 1,5 \cdot 0,3 = 0,55 \text{ m} .}}$$

$$F_{\text{pü,EG}} = \int_0^{z''_0} p_{\text{ü,EG}} \cdot b \cdot dz' = \rho \cdot g \cdot \cos \alpha \cdot b \cdot z''_0 \cdot \left( -\mu \cdot \frac{L}{2} + z'_0 - \frac{z''_0}{2} \right) ;$$

$$\underline{\underline{F_{\text{pü,EG}} = 2570 \text{ N} .}}$$

### 3. Beispiel

Ein Wasserbehälter von quadratischem Querschnitt (  $L = 0,4 \text{ m}$  ) und



einer Leermasse von  $m_B = 5 \text{ kg}$  wird durch eine Seilkraft von  $F = 600 \text{ N}$  beschleunigt, und zwar auf horizontaler Bahn, Bild 9-4, Pos. a. - Man ermittle bei  $z'_0 = 0,4 \text{ m}$  :



- a) die maximale Füllstandshöhe  $z_o$ , damit bei reibungsbehafteter Rutschbewegung ( $\mu = 0,3$ ) eine beschleunigte Bewegung möglich ist;  
 b) das Gleiche im reibungsfreien Fall;  
 c) die Gleichung der freien Oberfläche.

Lösungen:

- a)  $z_{\text{omax}}$  :

Gleichgewichtsbetrachtungen am freigemachten, ruhenden Ersatzfahrzeug führen zu einer Grenzbetrachtung, woraus  $a_{Fy} > 0$  hervorgeht (Bild 9-4, Pos. b).

- (1)  $\sum F_{yi} = -m_B \cdot a_{Fy} - m_W \cdot a_{Fy} - F_R + F = 0$  ;  
 (2)  $\sum F_{zi} = -F_{GW} - F_{GB} + F_N = -m_W \cdot g - m_B \cdot g + F_N = 0$  ;  
 (3)  $F_R = \mu \cdot F_N$  nach Gl.(9-17) .

Daraus folgt:

$$a_{Fy} = \frac{F}{m_B + m_W} - \mu \cdot g ;$$

unter Verwendung der Behältergeometrie ergibt sich:

$$a_{Fy} = \frac{F}{m_B + \rho_W \cdot L^2 \cdot z_{\text{omax}}} - \mu \cdot g .$$

Die Bedingung, damit  $a_{Fy} > 0$  ist, lautet demnach :

$$\frac{F}{m_B + \rho_W \cdot L^2 \cdot z_{\text{omax}}} > \mu \cdot g ; \quad z_{\text{omax}} < \frac{F - \mu \cdot g \cdot m_B}{\rho_W \cdot L^2 \cdot \mu \cdot g} ;$$

$$\underline{z_{\text{omax}} < \frac{600 - 0,3 \cdot 9,81 \cdot 5}{1000 \cdot 0,4^2 \cdot 0,3 \cdot 9,81} = 1,243 \text{ m} .}$$

Diese Bedingung ist im vorgelegten Beispiel wegen  $L = 0,4 \text{ m} < z_{\text{omax}}$  erfüllt.

- b)  $z_{\text{omax}}$  ohne Einfluß der Reibung:

Hier führt der Ausdruck für  $a_{Fy}$  bei  $\mu = 0$  zur Abschätzung:

$$a_{Fy} = \frac{F}{m_B + m_F} = \frac{F}{m_B + \int_W \cdot g \cdot L^2 \cdot z_{\text{omax}}} > 0 .$$

Der Nenner dieses Ausdrucks darf nicht unendlich groß werden, weshalb gilt:

$$\frac{z_{\text{omax}}}{\text{ohne Reibung}} < \infty .$$

c)  $z' = f(y')$  :

Bevor die Ermittlung der massenspezifischen potentiellen Energie oder der Potentialfunktion beginnen kann, muß das Kräftegleichgewicht an der relativ ruhenden Ersatzmasse  $dm_W$  aufgestellt werden (Bild 9-4, Pos. c) :

$$(1) \sum F_{y,i} = dF_{\text{püy}'1} - dF_{\text{püy}'2} - dm_W \cdot a_{Fy} = 0 ;$$

$$(2) \sum F_{z,i} = +dF_{\text{püz}'1} - dF_{\text{püz}'2} - dm_W \cdot g = 0 .$$

Die Drücke um das freigemachte Massenelement  $dm_W$  wurden alle verschieden groß angenommen! - Daraus ergeben sich nun die gleichgewichtshaltenden Massenkraftkomponenten, die, auf die Masse bezogen, zu den Beschleunigungskomponenten (spezifische Massenkraftkomponenten):  $(f_x, f_y, f_z)$  hinführen.

$$\left\{ \begin{array}{l} f_x = -\partial e_p / \partial x' = 0 ; \\ f_y = -\partial e_p / \partial y' = -a_{Fy} = - \left[ \frac{F}{m_B + m_W} - \mu \cdot g \right] ; \\ f_z = -\partial e_p / \partial z' = -g . \end{array} \right.$$

Damit läßt sich das totale Differential der massenspezifischen potentiellen Energie angeben zu :

$$\begin{aligned} de_p &= \left[ \frac{F}{m_B + m_W} - \mu \cdot g \right] \cdot dy' + g \cdot dz' . \quad \text{- Die Integration ergibt:} \\ e_p &= \left[ \frac{F}{m_B + m_W} - \mu \cdot g \right] \cdot y' + g \cdot z' + \text{Konst} . \end{aligned}$$

Äquipotentialflächen folgen demnach der Gleichung :

$$\left[ \frac{F}{m_B + m_W} - \mu \cdot g \right] \cdot y' + g \cdot z' = \text{const} ; \quad \text{oder:}$$

$$z' = \text{Const} - \left[ \frac{F}{m_B \cdot g + \rho_W \cdot g \cdot L^2 \cdot z_0} - \mu \right] \cdot y' .$$

Das ist die Gleichung einer Potentialfläche. Sie entspricht einer Geradengleichung (Schnittspur einer Äquipotentialfläche mit der  $y'; z'$ -Ebene) . - Daraus läßt sich schlußendlich folgern, daß die Wasseroberfläche, wie es Bild 9-4 in Pos. d zeigt, eine negative Steigung aufweist. Es gilt:

$$\text{tg} \alpha = \frac{F}{m_B \cdot g + \rho_W \cdot g \cdot L^2 \cdot z_0} - \mu .$$

Der Zahlenwert lautet:

$$\text{tg} \alpha = \frac{600}{5,9,81 + 1000 \cdot 9,81 \cdot 0,4^2 \cdot 0,4} - 0,3 ;$$

$$\alpha = 30,39^\circ .$$

Aus  $z' = \text{Const} - 0,5864 \cdot y'$  läßt sich nun für  $y' = 0$  und  $z' = z_0$  die Integrationskonstante Const zu  $\text{Const} = z_0 = 0,4 \text{ m}$  ermitteln. Damit heißt die angepaßte Gleichung der freien Oberfläche:

$$z' = 0,4 - 0,5864 \cdot y' .$$

Bemerkung:

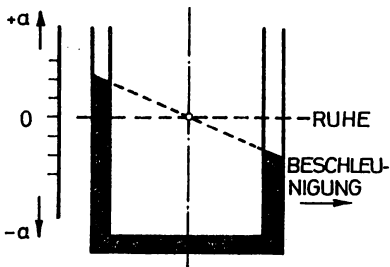


BILD 9-5

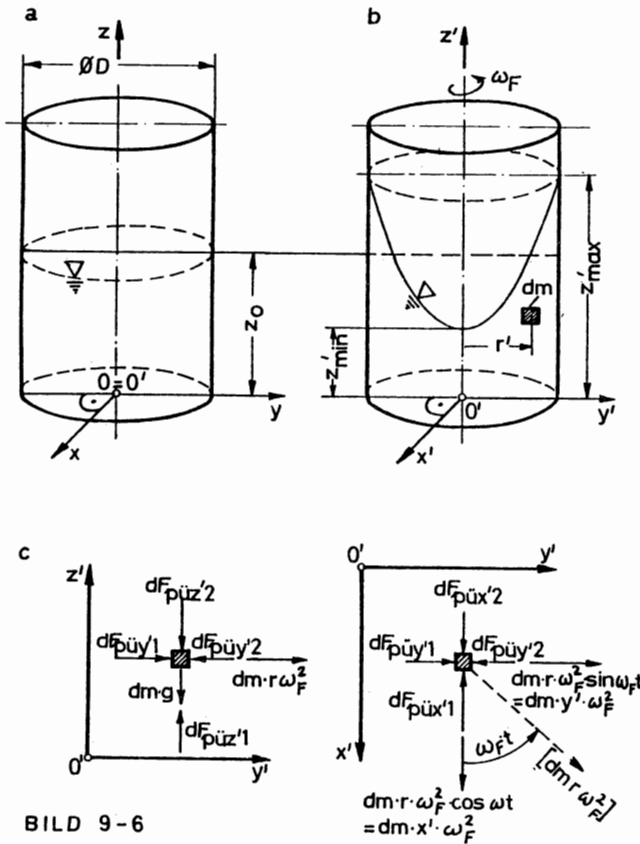
Ein Gefäß mit der Gestalt eines U-Rohres kann auf einem Fahrzeug als einfaches Gerät zur Beschleunigungs- oder Verzögerungsmessung herangezogen werden.

Ein praktisches Akzelerometer zeigt Bild 9-5.

#### 4. Beispiel

Ein zylindrischer Wasserbehälter ( $D = 0,5 \text{ m}$ ) ist im Ruhezustand mit Wasser bis zur Höhe  $z_0 = 0,8 \text{ m}$  angefüllt, Bild 9-6, Pos. a . Er wird mit der Fahrzeugwinkelgeschwindigkeit  $\omega_F = 10 \text{ rad/s}$  in Drehung ver-

setzt. Erfahrungsgemäß steigt die Flüssigkeit an der Wand hoch, Bild 9-6, Pos. b. - Man bestimme:



- die massenspezifische, potentielle Energie  $e_p$ ;
- die allgemeine Druckgleichung;
- die allgemeine Gleichung einer Isobarfläche;
- die Gleichung der Wasseroberfläche;
- die Gleichung der Schnittkurve zwischen Rotationsoberfläche und Meridianebene;
- die Überdruckkraft auf den Boden des Gefäßes.

#### Lösungen:

a)  $e_p$ :

Da sich wiederum nur Massen- und Druckkräfte an der freigemachten, ruhenden Ersatzmasse das relative Gleichgewicht halten, lassen sich die Komponenten der auf die Masse bezogenen resultierenden Massenkraften (Bild 9-6, Pos. c) problemlos notieren. - Übrigens sind die Drücke um das Massenelement herum wieder als verschieden angenommen worden.

$$f_{x'} = -\partial e_p / \partial x' = x' \cdot \omega_F^2 \quad ; \quad f_{y'} = -\partial e_p / \partial y' = y' \cdot \omega_F^2 \quad ;$$

$f_{z'} = -\partial e_p / \partial z' = -g$ . Hiermit kann das totale Differential der massenspezifischen potentiellen Energie aufgestellt werden, wobei man über die Definitionsgleichung für  $de_p$  und mit der Gl.(5-11) zu folgendem Ansatz gelangt:

$$de_p = \frac{\partial e_p}{\partial x'} \cdot dx' + \frac{\partial e_p}{\partial y'} \cdot dy' + \frac{\partial e_p}{\partial z'} \cdot dz' = -f_{x'} \cdot dx' - f_{y'} \cdot dy' - f_{z'} \cdot dz';$$

$$de_p = -x' \cdot \omega_F^2 \cdot dx' - y' \cdot \omega_F^2 \cdot dy' + g \cdot dz' \quad ; \text{ die Integration ergibt:}$$

$$e_p = -(\omega_F^2/2) \cdot (\underbrace{x'^2 + y'^2}_{= r'^2}) + g \cdot z' + \text{Konst} \quad (9-18)$$

b)  $p = f(x'; y'; z'; \text{const})$  :

Mit  $e_p$  und Gl.(6-1) ergibt sich ein Ausdruck:  $(p / \varrho_W) + e_p = \text{Const}$ , welcher nach Multiplikation mit der Dichte  $\varrho_W$  sofort zur allgemeinen Druckformel führt:

$$p = \text{const} + (\varrho_W/2) \cdot \omega_F^2 \cdot r'^2 - \varrho_W \cdot g \cdot z' \quad (9-19).$$

c) Isobarflächengleichung  $z' = f(x'; y')$  :

Setzt man für den Druck einen konstanten Wert an, dann bleibt für die Isobarfläche die Gleichung eines Rotationsparaboloids übrig:

$$r'^2 - \frac{2 \cdot g}{\omega_F^2} \cdot z' = (x'^2 + y'^2) - \frac{2 \cdot g}{\omega_F^2} \cdot z' = \text{const} \quad (9-20).$$

d) die Gleichung der Wasseroberfläche  $z' = f(x'; y')$  :

Zunächst soll die Integrationskonstante von Gl.(9-20) ermittelt werden: Für die Drehachse gilt

$$\text{const} = - \frac{2 \cdot g}{\omega_F^2} \cdot z'_{\min} \quad (\text{Bild 9-6, Pos. b}) .$$

Somit lautet die Gleichung der freien Oberfläche zunächst:

$$z' = \frac{\omega_F^2}{2 \cdot g} \cdot (x'^2 + y'^2) + z'_{\min} \quad (9-21).$$

Hierzu muß noch  $z'_{\min}$  beschafft werden. Eine Volumenbilanz hilft weiter. Da kein Wasser verlorengegangen ist, gilt folgender Zusammenhang:

$$(1) \quad z'_0 \cdot (\pi/4) \cdot D^2 = z'_{\max} \cdot (\pi/4) \cdot D^2 - V_{\text{Paraboloid}}.$$

Den Wert für  $z'_{\max}$  erhält man aus der Oberflächenfunktion

$$x'^2 + y'^2 = D^2 / 4 :$$

$$(2) \quad z'_{\max} = (\omega_F^2 / 2 \cdot g) / (D^2 / 4) + z'_{\min}.$$

Außerdem ist das Paraboloidvolumen genau halb so groß wie der es umschreibende Zylinder:

$$(3) \quad V_P = 0,5 \cdot (\pi/4) \cdot D^2 \cdot (z'_{\max} - z'_{\min}).$$

Mit diesen drei Zusammenhängen erhält man schließlich für die gesuchte Integrationskonstante  $z'_{\min}$ :

$$(4) \quad z'_{\min} = z'_0 - \frac{\omega_F^2}{16 \cdot g} \cdot D^2. \quad \text{Endgültig heißt somit die Gleichung der freien Oberfläche:}$$

$$z' = z'_0 + \frac{\omega_F^2}{2 \cdot g} \cdot \left[ (x'^2 + y'^2) - D^2/8 \right].$$

e) Schnittkurve  $z' = f(r')$  :

Wegen der Rotationssymmetrie gilt, und zwar hier besonders für die Oberfläche des Paraboloids:

$$r'^2 = x'^2 + y'^2,$$

d.h.: Man muß nur Punkte der Oberfläche in die obige Gleichung einsetzen und erfüllt damit auch die Gleichung der Schnittkurve:

$$z' = z'_0 + \frac{\omega_F^2}{2 \cdot g} \cdot (r'^2 - D^2/8).$$

Das ist aber die Gleichung einer Parabel. Angepaßt an das Beispiel,

lautet sie: 
$$\underline{z' = 0,641 + 5,096 \cdot r'^2} \quad .$$

f)  $F_{\text{pü}}$  am Boden des Gefäßes:

An einer beliebigen Stelle des Gefäßbodens herrscht der Überdruck  $p_{\text{ü}} = \rho_W \cdot g \cdot z'$ . Eine elementare Ringfläche berechnet man mit  $dA = 2 \cdot \pi \cdot r' \cdot dr'$ . Damit ergibt sich für das Differential der Überdruckkraft:

$$dF_{\text{pü}} = \rho_W \cdot g \cdot z' \cdot 2 \cdot \pi \cdot r' \cdot dr' \quad .$$

Setzt man für  $z'$  die Gleichung der freien Oberfläche ein, dann ergibt das Integral:

$$F_{\text{pü}} = 2 \cdot \pi \cdot \rho_W \cdot g \cdot \int_0^{D/2} \left[ z_0 + \frac{\omega_F^2}{2 \cdot g} \cdot (r'^2 - D^2/8) \right] \cdot r' \cdot dr' \quad ;$$

$$\underline{F_{\text{pü}} = \rho_W \cdot g \cdot (\pi/4) \cdot D^2 \cdot z_0} \quad .$$

Das ist zumindest ein verblüffendes Ergebnis, daß die Winkelgeschwindigkeit überhaupt keine Rolle spielt. Das ist zwar zu erwarten, da alle Zentrifugalkräfte horizontal sind.

#### Bemerkungen:

1) Aus den Beziehungen (2) und (4) folgt:

$$\underline{z_0 = \frac{z'_{\text{min}} + z'_{\text{max}}}{2}} \quad .$$

2) Die Erklärung für die Oberflächenform bei Rotation ist darin zu suchen, daß die Flüssigkeit infolge der Wandhaftung in Drehung versetzt wird. Die coaxialen Schichten werden wegen der Flüssigkeitsreibung mitgeschleppt. Die "leichte" Verschieblichkeit der Fluidteilchen erlaubt ein Ausweichen der Flüssigkeit auf Grund der Fliehkraftwirkung.

Die Wandhaftung und die innere Schichtreibung ist so groß, daß das ausgebildete Flüssigparaboloid schließlich wie ein Festkörper rotiert nach dem Geschwindigkeitsgesetz

$$\vec{v}_u = \vec{\omega}_F \times \vec{r} \quad .$$

Die Umfangsgeschwindigkeit eines herausgetrennten Fluidteilchens ist gleich dem Vektorprodukt aus Fahrzeugwinkelgeschwindigkeit und dem Radius.

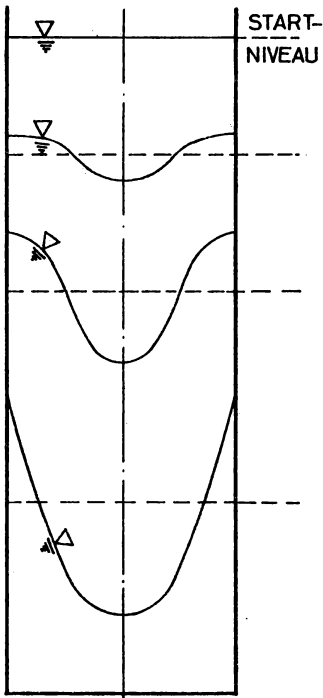


BILD 9-7

Die allmähliche Ausbildung der Oberfläche verdeutlicht übrigens Bild 9-7.

Die Erwähnung der hierbei vorhandenen Reibung widerspricht nicht der gemachten Voraussetzung, daß in der Fluidstatik Reibungskräfte keine Rolle spielen. Die zur Ausbildung des rotierenden Flüssigkörpers notwendigen Reibungskräfte sind tangential gerichtet und stehen deshalb senkrecht auf der Bildebene, allgemeiner ausgedrückt: senkrecht auf der Meridianebene. Diese Kraftrichtung hat aber auf das relative Gleichgewicht in einer Meridianebene keinen Einfluß.

Bei der Drehbewegung einer Flüssigkeit der geschilderten Art spricht man auch von Kern- oder Stabwirbelbewegung, die auch in vollkommenen Fluiden stattfinden können. — Auch als Drehzahlmesser verwendbar.

### 5. Beispiel

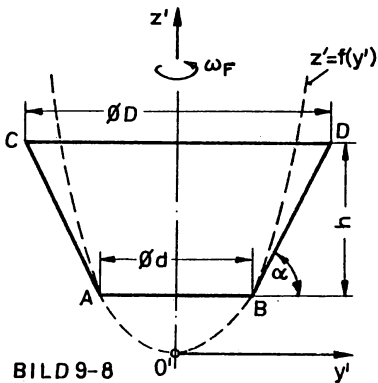


BILD 9-8

Man bestimme die erforderliche Winkelgeschwindigkeit  $\omega_F$  eines rotierenden Behälters nach Bild 9-8

(Angaben:  $d = 0,15 \text{ m}$  ;  $D = 0,3 \text{ m}$  ;  $h = 0,1 \text{ m}$  ), so daß sich keine Flüssigkeit mehr im Behälter befindet.

Lösung:

Der anfangs volle Behälter entleert sich mit zunehmender Winkelgeschwindigkeit. Die sich jeweils einstellen- de Oberfläche zeigt im Meridian- schnitt immer Parabelverlauf. Wenn eine Parabel den Behälter in den Punkten A und B berührt, hat man die Gewähr, daß der Behälter leergeschleudert worden ist. — Die mathematische



Bedingung lautet dazu:  $\operatorname{tg} \alpha = dz' / dy'$  . - Mit Hilfe der gegebenen Geometrie und der Parabelgleichung aus Punkt e) des letzten Beispiels ergibt sich:

$$\frac{h}{(D - d)/2} = \frac{\omega_F^2}{g} \cdot y' = \frac{\omega_F^2}{g} \cdot \frac{d}{2} ; \text{ damit ist}$$

$$\omega_F = 2 \cdot \sqrt{\frac{g \cdot h}{(D - d) \cdot d}} \quad . \quad \text{In Zahlen:}$$

$$\omega_F = 2 \cdot \sqrt{\frac{9,81 \cdot 0,1}{(0,3 - 0,15) \cdot 0,15}} ; \quad \underline{\underline{\omega_F = 13,206 \text{ rad/s} .}}$$

## 6. Beispiel

Ein Radreif wird aus Schleuderguß hergestellt, Bild 9-9. Seine Haupt-

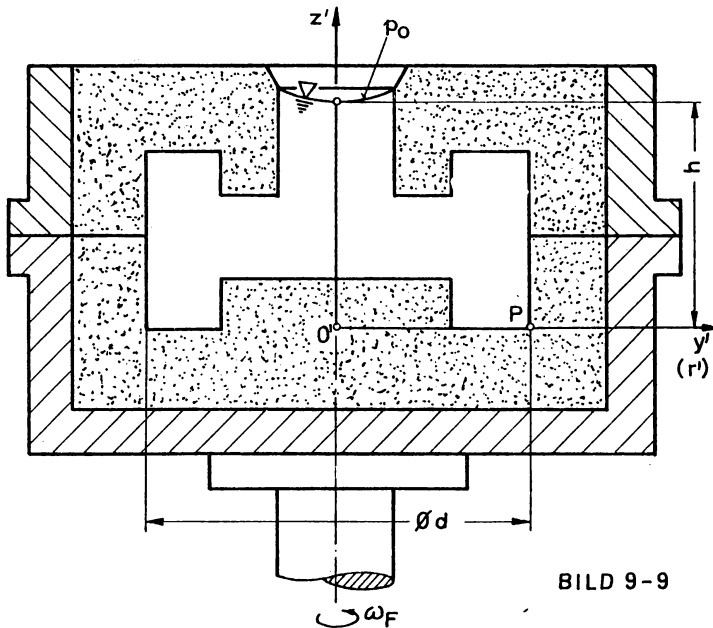


BILD 9-9

abmessungen sind:  $d = 1,2 \text{ m}$  und  $h = 0,23 \text{ m}$ ; die Winkelgeschwindigkeit

der Gießform beträgt  $\omega_F = 30 \text{ rad/s}$  ; die Stoffdichte wird mit  $\varrho = 7000 \text{ kg/m}^3$  angegeben.

Man vergleiche die Überdrücke im Punkte P, die einmal im Ruhezustand und einmal während des rotierenden Vergießens auftreten.

### Lösungen:

#### Überdruck im Ruhezustand:

$$\text{Gl. (6-5) : } \underline{p_{\text{ü}}} = \varrho \cdot g \cdot h = 7000 \cdot 9,81 \cdot 0,23 = \underline{\underline{0,1579 \text{ bar}}}.$$

#### Überdruck bei Rotation:

Bedenkt man die Allgemeingültigkeit der Gleichungen (9-18) bis (9-21) - sie entstanden ja aus dem relativen Gleichgewichtszustand einer ruhenden Ersatzmasse bei rotierendem Fahrzeug und vertikaler Achse-, so kann man nach Festlegung eines relativen Koordinatensystems die Gl. (9-19) verwenden und an die Bestimmung der Integrationskonstanten herangehen:  $p = p_0$  bei  $r' = 0$  und  $z' = h$  .

$$\begin{aligned} \text{Gl. (9-19): } \quad p &= \text{const} + (\varrho/2) \cdot \omega_F^2 \cdot r'^2 - \varrho \cdot g \cdot z' \quad ; \text{ es folgt:} \\ p_0 &= \text{const} - \varrho \cdot g \cdot h \quad ; \text{ also:} \\ \underline{\text{const} = p_0 + \varrho \cdot g \cdot h} \quad . \end{aligned}$$

Damit lautet die an das Problem angepasste Druckformel:

$$\begin{aligned} p &= p_0 + \varrho \cdot g \cdot h + (\varrho/2) \cdot \omega_F^2 \cdot r'^2 - \varrho \cdot g \cdot z' \\ \underline{\underline{p_{\text{ü}} = p - p_0 = \varrho \cdot g \cdot (h - z') + (\varrho/2) \cdot \omega_F^2 \cdot r'^2}} \quad . \end{aligned}$$

Für den Punkt P ( $r' = d/2$ ;  $z' = 0$ ) folgt dann:

$$p_{\text{ü}} = 7000 \cdot 9,81 \cdot 0,23 + (7000/2) \cdot 30^2 \cdot 0,6^2 \quad ; \quad \underline{\underline{p_{\text{ü}} = 11,498 \text{ bar}}} .$$

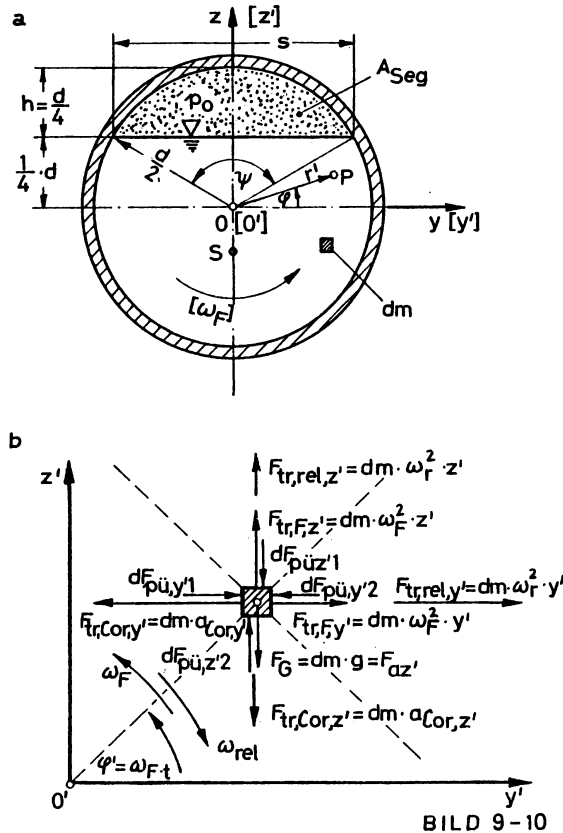
Die Verdichtungswirkung der Gießmasse wird besonders klar ausgedrückt durch das Überdruckverhältnis:

$$\frac{p_{\text{ü, Rotation}}}{p_{\text{ü, Ruhe}}} = \frac{11,498}{0,1579} = 72,82 \quad !!$$

### 7. Beispiel

Eine zylindrische Trommel vom Innendurchmesser  $d = 0,5 \text{ m}$  ist zum Teil

mit Wasser gefüllt; darüber befindet sich im Ruhezustand Luft vom Atmosphärendruck  $p_0 = 1,015 \text{ bar}$ , Bild 9-10, Pos. a. Die Trommel wird



nun um die Horizontalachse (x-Achse) in Drehung versetzt mit der Fahrzeugwinkelgeschwindigkeit  $\omega_F$ . - Man ermittle und untersuche im einzelnen:

- den Ausdruck der massenspezifischen potentiellen Energie  $e_p$ ;
- die Druckformel;
- die Gleichung der Isobarflächen;
- die Gleichung der freien Oberfläche;
- die Winkelgeschwindigkeit  $\omega_F$ , für welche die freie Oberfläche gerade die Trommelinnenwand berührt;

- f) die Gleichung der freien Oberfläche für Fall e) ;
- g) die Stelle und den Betrag des maximalen Druckes für e) ;
- h) die resultierende Kraft auf die rechte Trommelhälfte der Größe, Richtung und Lage nach im Fall e) ,wenn man die Trommellänge mit  $l_k = 0,5 \text{ m}$  annimmt.

#### Lösungen:

a)  $e_p$  :

Die Flüssigkeit wird einer Kernwirbelbewegung ausgesetzt - siehe Bemerkung 2) im vierten Beispiel -,so daß die Flüssigkeit wieder infolge der Fliehkraft an der Behälterwand hochsteigt.

Laboruntersuchungen haben ergeben,daß die Luftzone immer "oben" steht,zumal auch die Luft leichter als Wasser ist.Dieser Sachverhalt führt zu folgender Aussage:

Der "quasi-feste" Flüssigkörper wird nicht nur mit der Winkelgeschwindigkeit des Fahrzeuges rotieren;im Gegenteil: der Flüssigkörper führt eine entgegengesetzte Relativrotation aus,so daß er sich sogar in absoluter Ruhe befindet.Die Erklärung lautet: Der aus der unteren Behälterhälfte im Fahrzeugdrehsinn (hier Gegenuhrzeigersinn) heraustretende Flüssigkeitsschwerpunkt S wird durch das Gewichtsdrehmoment wieder in die tiefste Lage (unterhalb des Drehpunktes) zurückgedreht.Da sich insgesamt in der  $z';y'$ -Ebene wiederum nur Massen- und Druckkräfte sich das relative Gleichgewicht (vgl. Abschn. 9.3 ) halten,gibt es für die resultierende Massenkraft ein Potential.

Zur Ermittlung des Potentials oder der massenspezifischen potentiellen Energie geht man immer vom Gleichgewicht der Kräfte,hier vom relativen Gleichgewicht,aus (Bild 9-10, Pos. b).

Die am Gleichgewicht beteiligten Kräfte heißen:

- 1) die vier Überdruckkräfte  $F_{püy'1}$  ;  $F_{püy'2}$  ;  $F_{püz'1}$  ;  $F_{püz'2}$  ;
- 2) die Gewichtskraft als äußere Kraft  $F_G = dm \cdot g = F_{az}$  ;
- 3) die Zentrifugalkraft auf Grund der Fahrzeugbewegung  $F_{tr,F} = dm \cdot \omega_F^2 \cdot r'$  mit ihren beiden Komponenten:  $F_{tr,F,y'} = dm \cdot \omega_F^2 \cdot y'$  und  $F_{tr,F,z'} = dm \cdot \omega_F^2 \cdot z'$  ;
- 4) die Zentrifugalkraft auf Grund der relativen Drehung des Fluids ( die Relativrotation läuft mit entgegengesetztem Drehsinn ab, und zwar bezüglich der Fahrzeugrotation)  $F_{tr,rel} = dm \cdot \omega_{rel}^2 \cdot r'$  mit den beiden Komponenten:

$$F_{tr,rel,y'} = dm \cdot \omega_{rel}^2 \cdot y' \quad \text{und}$$

$$F_{tr,rel,z'} = dm \cdot \omega_{rel}^2 \cdot z' \quad ;$$

5) die Corioliskraft (sie entsteht ja in dem Augenblick, wo bei Fahrzeugrotation eine Relativbewegung hinzukommt)  $F_{tr,Cor} = dm \cdot a_{Cor}$  mit den beiden Komponenten:

$$F_{tr,Cor,y'} = dm \cdot a_{Cor,y'} \quad \text{und}$$

$$F_{tr,Cor,z'} = dm \cdot a_{Cor,z'} \quad .$$

Zur Potentialermittlung interessieren nur die Massenkräfte, weshalb die in Bild 9-10, Pos. b, eingetragenen Überdruckkräfte hierfür nicht weiter verfolgt werden.

Die Gewichtskraft ist für den Fall, daß die beiden Koordinatensysteme : das  $z;y$ - und das  $z';y'$ -System deckungsgleich sind, was wegen der Fahrzeugrotation pro Umdrehung einmal stattfindet, nach unten gerichtet.

Die beiden Fliehkräfte sind als Trägheitskräfte beide nach außen gerichtet.

Wendet man die Regel der rechten Hand an bezüglich der Richtung der Coriolisbeschleunigung (siehe Erläuterungen zu Gl. 9-9), so findet man ihren Richtungssinn nach außen hin gerichtet, d.h.: die Corioliskraft genannte Massenträgheitskraft ist nach innen gerichtet!

Zur Auffindung der Komponenten der resultierenden massenspezifischen Massenkräfte :  $f_x$  ;  $f_{y'}$  ;  $f_{z'}$ , die man ja zur Ermittlung der Potentialfunktion zunächst benötigt, muß eine Datenbeschaffung über die noch fehlenden Größen  $\vec{a}_{rel}$  und  $\vec{a}_{Cor}$  Auskunft geben.

Die Beobachtung des Fluids bei Fahrzeugrotation besagt, daß der Flüssigkörper, absolut gesehen, sich in Ruhe befindet; also gilt:

$$\vec{\omega}_{abs} = \vec{\omega}_F + \vec{\omega}_{rel} = 0 \quad ; \quad \underline{\underline{\vec{\omega}_{rel} = -\vec{\omega}_F}} \quad .$$

Betragsmäßig sind sie gleich, wohl aber entgegengesetzt gerichtet. Die Zentripetalbeschleunigung der Relativbahn lautet betragsmäßig:

$$\underline{\underline{a_{rel} = \omega_F^2 \cdot r'}} \quad .$$

Nach Gl. (9-9) folgt:

$$\vec{a}_{Cor} = 2 \cdot (\vec{\omega}_F \times \vec{w}) = 2 \cdot \omega_F \cdot w \cdot \sin \varphi \cdot \vec{r}'_0$$

mit  $\vec{r}'_0$  als dem Einheitsvektor.

Die Relativgeschwindigkeit ist gleich der relativen Umfangsgeschwindigkeit  $\omega_F \cdot r'$ ;  $\varphi$  bedeutet den Winkel zwischen den Vektoren  $\vec{r}'$  und dem Vektor der Umfangsgeschwindigkeit. Da  $\varphi = 90^\circ$  ist, gilt:

$$\underline{\underline{a_{Cor} = 2 \cdot \omega_F^2 \cdot r' \quad .}}$$

$$\text{Aus } \sum F_{y,i} = dF_{pü,y'1} - dF_{pü,y'2} - F_{tr,Cor,y'} + F_{tr,F,y'} + F_{tr,rel,y'} = 0$$

folgt unter Einsatz obiger Beschleunigungswerte für die resultierenden massenspezifische Massenkraft

$$\underline{\underline{f_{y'} = 0 \quad .}}$$

Wohlgermerkt, dieses Ergebnis bezieht sich auf den absoluten Raum, beobachtet vom Fahrzeug aus, denn es wird ja mit dem relativen Gleichgewicht gearbeitet.

Da in  $x'$ -Richtung keine Massenkraft wirken, folgt sofort:

$$\underline{\underline{f_{x'} = 0 \quad .}}$$

Eine entsprechende Verwertung des Kräftegleichgewichtes in  $z'$ -Richtung :

$$\sum F_{z,i} = + F_{tr,rel,z'} + F_{tr,F,z'} - dF_{pü,z'1} - F_G - F_{tr,Cor,z'} = 0$$

ergibt:

$$\underline{\underline{f_{z'} = -g \quad .}}$$

Dieses Ergebnis bestätigt wiederum anschaulich die absolute Ruhe des Fluids im Falle der Fahrzeugrotation. Man steht nun vor der ungewöhnlichen Tatsache, daß man die neue Form der Fluidzone, die zwar auch bei absoluter Ruhe existiert, vom Absolutsystem aus nicht erklären kann! - Eine Absolutbetrachtung führt ohne Fahrzeugnebeneinflüsse nur zum horizontalen Flüssigkeitsspiegel (Bild 9-10, Pos. a). Nun wird aber durch die angedeutete Kernwirbelbewegung unter Mitwirkung der Erdschwere eine neue Form bei absoluter Ruhe erzeugt:

$$\underline{\underline{a = 0 \quad .}}$$

Um diese Problematik meistern zu können, hält man das Fahrzeugkoordinatensystem ( $z'; y'$ -System) für einen Augenblick fest, wenn sich das relative und das absolute Koordinatensystem überdecken. Die dabei auftretenden Kräfteverhältnisse sind dann hauptverantwortlich für die neue Fluidform! - Man untersuche also ein Momentanbild des Gesamtgesche-

hens als mitfahrender Beobachter, so als ob das  $z';y'$ -System momentan festgehalten sei. Aus der Massenszene entfallen  $F_{tr,F,y'}$  und  $F_{tr,Cor,y'}$  sowie  $F_{tr,Cor,z'}$  und  $F_{tr,F,z'}$  ! - Es bleiben folgende Werte:

$$\underline{f_{x'} = - \frac{\partial e_p}{\partial x'} = 0} ; \quad \underline{f_{y'} = - \frac{\partial e_p}{\partial y'} = \omega_{rel}^2 \cdot y'} ;$$

$$\underline{f_{z'} = - \frac{\partial e_p}{\partial z'} = \omega_{rel}^2 \cdot z' - g} .$$

Damit bahnt sich die Ermittlung eines "Relativ-Potentials" an!

Das totale Differential der massenspezifischen, potentiellen Energie lautet nach Gl.(5-11) unter Beachtung, daß  $\omega_{rel} = \omega_F$  gilt :

$$de_p = - f_{x'} \cdot dx' - f_{y'} \cdot dy' - f_{z'} \cdot dz' ;$$

$$\underline{de_p = - \omega_F^2 \cdot y' \cdot dy' - (\omega_F^2 \cdot z' - g) \cdot dz'} .$$

Die Integration bringt für  $e_p$ :

$$\underline{e_p = - \frac{\omega_F^2}{2} \cdot (y'^2 + z'^2) + g \cdot z' + \text{Konst}} . \quad (1)$$

b) die Druckformel:

Nach Gl.(6-1):  $p/\varrho + e_p = \text{const}$  folgt :

$$\underline{p = (\varrho/2) \cdot \omega_F^2 \cdot (y'^2 + z'^2) - \varrho \cdot g \cdot z' + \text{const}'} \quad (2).$$

c) Gleichung der Isobarflächen:

Gibt man dem Druck einen parametrischen Festwert, dann lautet die Gleichung für die Isobarflächen:

$$y'^2 + z'^2 - \frac{2 \cdot g}{\omega_F^2} \cdot z' = \frac{2}{\omega_F^2} \cdot \left( \frac{p}{\varrho} - \text{const}^* \right) .$$

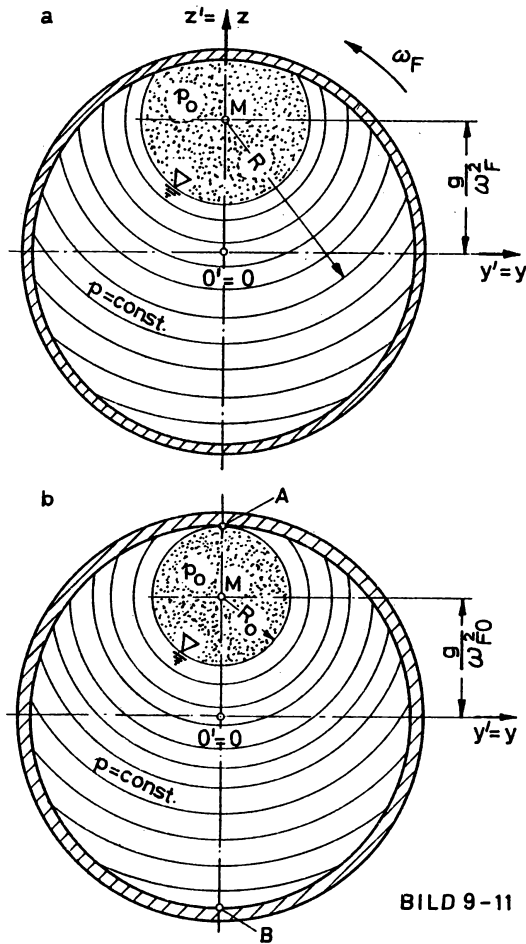


BILD 9-11

Mit Hilfe der quadratischen Ergänzung erhält man:

$$y'^2 + \left(z' - \frac{g}{\omega_F^2}\right)^2 = \frac{2}{\omega_F^2} \cdot \left(\frac{p}{\rho} - \text{const}^*\right) + \frac{g^2}{\omega_F^4} = R^2 \quad (3).$$

Da  $x' = 0$  ist, erkennt man in oben stehender Gleichung die analytische Gleichung eines Kreises vom Radius  $R$  und mit der Nullpunktverschiebung in  $z'$ -Achse vom Betrag:  $g / \omega_F^2$ . - Die Isobarflächen sind also koaxiale Zylinder, Bild 9-11, Pos. a, mit der Längsachse (pa-



rallel zu  $Ox'$ ) im Mittelpunkt der Kreisschar. Der Radius für jeden Kreis ist:

$$R = \frac{1}{\omega_F} \cdot \sqrt{2 \cdot \left( \frac{p}{\rho} - \text{const}^* \right) + \frac{g^2}{\omega_F^2}} \quad (4).$$

Die Ermittlung der Konstanten  $\text{const}^*$  folgt am Ende des Beispielpunktes f).

d) die Gleichung der freien Oberfläche :

Für  $p = p_0$  erhält man aus der Beziehung (3) folgende Gleichung für den Oberflächenkreis:

$$y'^2 + \left( z' - \frac{g}{\omega_F^2} \right)^2 = \frac{2}{\omega_F^2} \cdot \left( \frac{p_0}{\rho} - \text{const}^* \right) + \frac{g^2}{\omega_F^4} \quad (5).$$

e) die Winkelgeschwindigkeit, damit die freie Oberfläche gerade die Trommellinnenwand im Punkte A berührt :

Wegen der Inkompressibilität und wegen Gleichbleibens des Trommelvolumens gilt die Tatsache, daß auch das eingeschlossene Luftvolumen bei gleichem Druck erhalten bleibt. Man notiere:  $A_{\text{Segment}} = A_{\text{Kreis}} !$  (Vgl. Bild 9-10 und 9-11, Pos. b ).

$$0,5 \cdot \left[ b \cdot \frac{d}{2} - s \cdot \left( \frac{d}{2} - h \right) \right] = \pi \cdot R_0^2 \quad \text{mit} \quad b = \frac{d}{2} \cdot \hat{\psi} \quad .$$

Daraus ergibt sich

$$R_0 = \frac{d}{2} \cdot \sqrt{\frac{1}{3} - \frac{\sqrt{3}}{4 \cdot \pi}} \quad (6).$$

In Zahlen für  $d = 0,5 \text{ m}$  ergibt sich dann:  $R_0 = 0,1105 \text{ m}$  .

Aus der Kreisgeometrie ergibt sich problemlos:

$$d / 2 = R_0 + g / \omega_{F0}^2, \quad \text{womit man für die gesuchte}$$

Winkelgeschwindigkeit erhält:

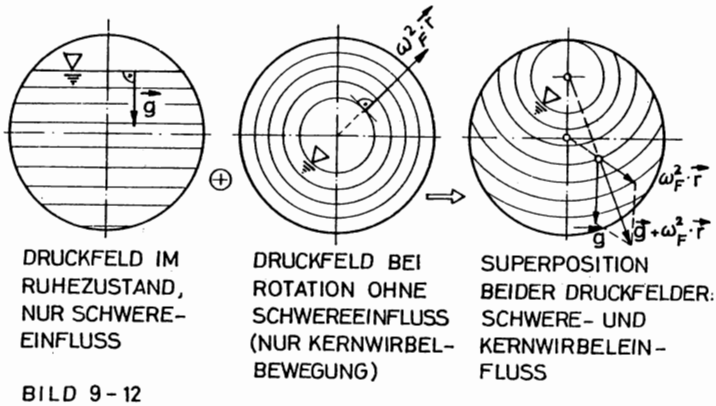
$$0,5/2 = 0,1105 + 9,81 / \omega_{F0}^2 \quad ; \quad \underline{\underline{\omega_{F0} = 8,3859 \text{ rad/s.}}}$$

f) die Gleichung der freien Oberfläche für Fall e) :

Mit  $R_0$  und  $\omega_{Fo}$  ergibt sich aus Beziehung (3) folgende Gleichung:

$$\underline{y'^2 + (z' - 0,1395)^2 = 0,0122} \quad ,$$

wenn man die Längen üblicherweise in m einsetzt. Der Mittelpunkt



für die Kreisschar hat die Koordinaten :  $y' = 0$ ;  $z' = 0,1395$  m .

In Bild 9-12 wird gezeigt, wie man sich dieses Druckfeld qualitativ erklären kann: durch Superposition zweier anderer Druckfelder!

Die in den Beziehungen (3), (4) und (5) enthaltene Konstante  $\text{const}^*$  läßt sich nun mit Beziehung (4) für die freie Oberfläche als Randbedingung ermitteln:

$$0,1105 = \frac{1}{8,3859} \cdot \sqrt{2 \cdot \left( \frac{1,015 \cdot 10^5}{1000} - \text{const}^* \right) + \frac{9,81^2}{8,3859^2}}$$

$$\underline{\underline{\text{const}^* = 101,755 \text{ m}^2}} \quad .$$

g) Stelle und Betrag des maximalen Druckes für Fall e) :

Der größte Druck herrscht in Punkt B bei  $R_{\text{omax}} = d/2 + g/\omega_{Fo}^2$  (Bild 9-11, Pos. b).

Den maximalen Druck berechnet man sich mit Hilfe der Beziehung (4):

$$(0,25 + 0,1395) = \frac{1}{8,3859} \cdot \sqrt{2 \cdot \left( \frac{p_{\max}}{1000} - 101,755 \right) + \frac{9,81^2}{8,3859^2}}$$

$$\underline{\underline{p_{\max} = 1,064 \text{ bar} \quad .}}$$

h)  $F_R$  auf die rechte Trommelhälfte für Fall e) :

Da zwischen den Konstanten  $\text{const}'$  und  $\text{const}^*$  in den Beziehungen (2) und (3) folgender Zusammenhang besteht:  $\text{const}' = \rho \cdot \text{const}^*$  , lautet jetzt die Druckformel für den Überdruck:

$$(2): p_{\ddot{u}} = p - p_0 = \frac{\rho}{2} \cdot \omega_F^2 \cdot (y'^2 + z'^2) - \rho \cdot g \cdot z' + \rho \cdot \text{const}^* - p_0 \quad .$$

$y'^2 + z'^2 = r'^2$  ;  $z' = r' \cdot \sin \varphi$  ; am Trommelinnenrand geht  $r'$  gegen  $d/2$  über; somit gilt für die Druckverteilung an der Trommelwand:

$$p_{\ddot{u}} = \frac{\rho}{2} \cdot \omega_F^2 \cdot \frac{d^2}{4} - \rho \cdot g \cdot \frac{d}{2} \cdot \sin \varphi + \rho \cdot \text{const}^* - p_0 \quad ;$$

$$\underline{\underline{p_{\ddot{u}} = \frac{\rho}{8} \cdot \omega_F^2 \cdot d^2 - \rho \cdot g \cdot \frac{d}{2} \cdot \sin \varphi + \rho \cdot \text{const}^* - p_0 \quad .}}$$

Kräftedifferential: Die Trommelanordnung ersieht man aus Bild 9-13.

$$dF_{p\ddot{u}} = p_{\ddot{u}} \cdot dA$$

$$dF_{p\ddot{u}} = p_{\ddot{u}} \cdot L \cdot \frac{d}{2} \cdot d\varphi \quad .$$

Da eine gekrümmte Wand vorliegt, wird die resultierende Druckkraft über ihre Komponenten berechnet:

$$dF_{p\ddot{u}, y'} = dF_{p\ddot{u}} \cdot \cos \varphi \quad ;$$

$$dF_{p\ddot{u}, y'} = p_{\ddot{u}} \cdot L \cdot \frac{d}{2} \cdot \cos \varphi \cdot d\varphi \quad ;$$

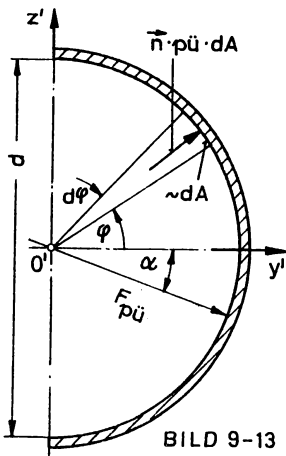


BILD 9-13

$$F_{\text{pü},y'} = L \cdot \frac{d}{2} \cdot \int_{(-\pi/2)}^{(+\pi/2)} \left[ \frac{\rho}{8} \cdot \omega_F^2 \cdot d^2 - \rho \cdot g \cdot \frac{d}{2} \cdot \sin \varphi + \rho \cdot \text{const} \cdot p_0 \right] \cdot \cos \varphi \cdot d\varphi$$

Das Integral führt nach Einsetzen der bekannten Zahlenwerte zu folgendem Teilergebnis:

$$\underline{\underline{F_{\text{pü},y'} = 306,58 \text{ N}}}$$

Ermittlung der z'-Komponente:

$$dF_{\text{pü},z'} = dF_{\text{pü}} \cdot \sin \varphi = p_{\text{ü}} \cdot L \cdot \frac{d}{2} \cdot \sin \varphi \cdot d\varphi ;$$

$$F_{\text{pü},z'} = L \cdot \frac{d}{2} \cdot \int_{(-\pi/2)}^{(+\pi/2)} \left[ \frac{\rho}{8} \cdot \omega_F^2 \cdot d^2 - \rho \cdot g \cdot \frac{d}{2} \cdot \sin \varphi + \rho \cdot \text{const} \cdot p_0 \right] \cdot \sin \varphi \cdot d\varphi$$

Das bestimmte Integral führt hier zu:

$$\underline{\underline{F_{\text{pü},z'} = - 481,55 \text{ N}}}$$

Die resultierende Überdruckkraft heißt dann für die rechte Trommelhälfte nach Bild 9-12:

$$F_{\text{pü}} = \sqrt{306,58^2 + 481,55^2} ; \underline{\underline{F_{\text{pü}} = 570,86 \text{ N}}}$$

Diese Kraft ist in den vierten Quadranten gerichtet und verläuft durch die Längsachse bzw. in der Projektion durch den Koordinatenursprung O', da die Krümmung der Behälterwand konstant ist.

### 8. Beispiel

Nach der Kant-Laplaceschen Hypothese über die Gestalt der Erde (erdkosmogonische Hypothese; 1755 "philosophisch" von Kant und 1796 "mathematisch" von Laplace formuliert) geht man von einer rotierenden Quasi-Flüssigkeit aus, die aus feinsten Partikelchen ("Nebulose") bestehen möge.-Man ermittle:

- a) die Art der geometrischen Form der Erde, wenn die einzelnen "Quasi-Fluidteilchen vom Massenzentrum der "Nebulose" O' durch die Feldkraft  $F_a = - r_o \cdot K \cdot m$  angezogen werden. Diese Annahme gilt als mathe-

matisches Modell. Bei  $K$  handelt es sich um eine Universalkonstante.

- b) Die Gleichung der Erdoberfläche mit Hilfe der Erdachsen:

Erdradius am Äquator  $r_A = 6,378 \cdot 10^6 \text{ m}$  ;

" " Pol  $r_P = 6,3565 \cdot 10^6 \text{ m}$  ;

weitere Angaben: mittlere Erddichte  $\varrho = 5520 \text{ kg/m}^3$ ; Atmosphärendruck  $p_0 = 1,015 \text{ bar}$ ; Winkelgeschwindigkeit der Erde

$\omega_F = 7,28 \cdot 10^{-5} \text{ rad/s} = 1 \text{ Umdrehung/24 h}$  .

### Lösungen:

#### a) Geometrische Form:

Die geometrischen und kinetischen Zusammenhänge zeigt Bild 9-14.

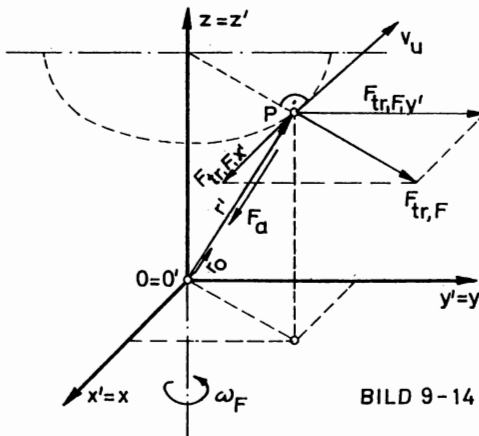


BILD 9-14

Der Massenpunkt  $P(x'; y'; z')$  ist im relativen Gleichgewicht unter der Einwirkung von Überdrücken (nicht im Bild eingetragen), der Feldkraft  $F_a$  und der Trägheitskraft  $F_{tr, F}$  (Zentrifugalkraft). Da sich außer Druckkräften nur noch Massenkräfte am Gleichgewicht beteiligen, läßt sich wiederum ein Potential für die Massenkräfte aufsuchen. Komponenten der massen-

spezifischen resultierenden Massenkraft:

$$\left| \begin{aligned} f_{x'} &= - \frac{\partial e_p}{\partial x'} = - K \cdot x' + \omega_F^2 \cdot x' ; \\ f_{y'} &= - \frac{\partial e_p}{\partial y'} = - K \cdot y' + \omega_F^2 \cdot y' ; \\ f_{z'} &= - \frac{\partial e_p}{\partial z'} = - K \cdot z' . \end{aligned} \right.$$

Das totale Differential der massenspezifischen, potentiellen Energie lautet:

$$de_p = -(-K.x' + \omega_F^2.x').dx' - (-K.y' + \omega_F^2.y').dy' - (-K.z').dz' .$$

Das unbestimmte Integral lautet:

$$e_p = \frac{K - \omega_F^2}{2} \cdot (x'^2 + y'^2) + \frac{K}{2} \cdot z'^2 + \text{const} .$$

Gleichung der Isobarflächen:

Mit Gl.(6-1) :  $p/\rho + e_p = \text{const}'$  folgt für einen parametrisch fixierten Druck:  $p = \rho \cdot \text{const}' - \rho \cdot e_p$  ;

$$(K - \omega_F^2) \cdot (x'^2 + y'^2) + K \cdot z'^2 = 2 \cdot (\text{Konst} - p/\rho) .$$

Daraus ersieht man, daß es sich bei den Isobarflächen um Rotationsellipsoide handelt. Damit stellt auch die Erdoberfläche als freie Oberfläche ein Rotationsellipsoid dar!

b) Gleichung der Erdoberfläche:

Die Gleichung eines Ellipsoids lautet:

$$x'^2/a^2 + y'^2/b^2 + z'^2/c^2 = 1 ,$$

worin a, b und c die drei Halbachsen bedeuten. Im Falle des Rotationsellipsoids sind die beiden Halbachsen a und b gleich groß, weshalb sich die Gleichung für die Erdoberfläche folgendermaßen anschreiben läßt:

$$\frac{x'^2 + y'^2}{\left[ \frac{2 \cdot (\text{Konst} - p/\rho)}{K - \frac{\omega_F^2}{2}} \right]} + \frac{z'^2}{\left[ \frac{2 \cdot (\text{Konst} - p/\rho)}{K} \right]} = 1 .$$

Bestimmung der beiden unbekannten Konstanten K und Konst :

Es gilt doch für den Pol:

$$(1) \quad c^2 = \frac{2 \cdot (\text{Konst} - p_0/\rho)}{K - \omega_F^2} = r_P^2$$

und für den Äquator:

$$(2) \quad a^2 = b^2 = \frac{2 \cdot (\text{Konst} - p_0 / \rho)}{K - \omega_F^2} = r_A^2 .$$

Berechnet man den Klammerausdruck aus Beziehung (1) und setzt ihn in Beziehung (2) ein, dann ergibt sich eine Bestimmungsgleichung für die Universalkonstante K :

$$(3) \quad K = \frac{\omega_F^2 \cdot r_A^2}{r_A^2 - r_P^2} . \text{ In Zahlen:}$$

$$K = \frac{7,28^2 \cdot 10^{-10} \cdot 6,378^2 \cdot 10^{12}}{(6,378^2 - 6,3565^2) \cdot 10^{12}} ; \quad K = \underline{\underline{0,78743 \cdot 10^{-6} \text{ 1/s}^2}} .$$

Damit ergibt sich für Konst:

$$(1): \quad \text{Konst} = \frac{r_P^2}{2} \cdot K + \frac{p_0}{\rho} = \frac{6,3565^2 \cdot 10^{12} \cdot 0,78743 \cdot 10^{-6}}{2} + \frac{1,015 \cdot 10^5}{5520} \\ \underline{\underline{\text{Konst} = 0,159 \cdot 10^6 \text{ m}^2/\text{s}^2}} .$$

Mit diesen Werten bekommt man für die Gleichung der Erdoberfläche abschließend:

$$\frac{x'^2 + y'^2}{0,40653 \cdot 10^{12}} + \frac{z'^2}{0,4038 \cdot 10^{12}} = 1 .$$

Da insgesamt kohärent gerechnet worden ist, sind die Koordinaten natürlich in m einzusetzen.

(Eine andere Behandlung dieses Problems findet man in [2] ).

## 10. AEROSTATIK

### 10.1. Theorie

Im Teil I, besonders in Abschn. 3, sind Eigenschaften und Verhaltensweisen von Gasen (und vollkommenen Dämpfen) dargelegt worden. Neben den besonderen Wärmeeigenschaften erkannte man außerdem bei den Gasen ihre

Leichtgewichtigkeit, Ausdehnbarkeit, Kompressibilität und ihr Diffusionsbestreben.

Da es sich bei Flüssigkeiten und Gasen um homogene Stoffe handeln soll im Sinne der gemachten Definitionen und Stoffgebietsabgrenzungen, sind letzten Endes alle Überlegungen, Gesetzmäßigkeiten usw. der Hydrostatik auch auf die Aerostatik anzuwenden, mit Ausnahme der Wärmeeigenschaften, wo man auf die Art der Zustandsänderung besonders acht haben muß.

Als Druckformel für Gase kann man wegen der Kompressibilität die allgemeine Druckformel nach Gl. (5-13) einfach übernehmen:

$$\int_{1,2} \frac{dp}{\rho} = e_{p1} - e_{p2} \quad (10-1).$$

Das Integral nimmt je nach der Art der Zustandsänderung verschiedene Lösungsformen an. Es halten sich in der Aerostatik wiederum nur Massen- und Druckkräfte das Gleichgewicht, weshalb den Massenkräften verständlicherweise ein Potential zugeschrieben werden kann.

Liegt ein Schwerepotential vor, weil als äußere Massenkraft nur die Schwerkraft der Erde wirken möge, dann kann die Gl. (6-2) auch für die Aerostatik übernommen werden:

$$-e_p = -g \cdot z + \text{konst} \quad (10-2).$$

Nach Multiplikation mit  $(-1)$  geht die Potentialfunktion  $(-e_p)$  über in die Gleichung für die massenspezifische, potentielle Energie:

$$e_p = +g \cdot z + \text{konst}' \quad (10-2a).$$

Damit läßt sich die Gl. (10-1) in der an die Erdschwere angepaßten Form anschreiben:

$$\int_{1,2} \frac{dp}{\rho} - g \cdot (z_1 - z_2) = 0 \quad (10-3).$$

Meistenteils dürfen in der Aerostatik die Massenkräfte gegenüber den Druckkräften vernachlässigt werden. Das ist insofern für die Druckkraftberechnung auf ebene oder gekrümmte, offene Flächen von besonderer Bedeutung, weil dadurch der Einfluß der Schwere entfällt; deshalb wird die Wand nur isobar beaufschlagt: Es gilt Gl. (7-16) !



Druckkraftwirkungen auf geschlossene Flächen sind in der Aerostatik im allgemeinen ebenfalls vernachlässigbar mit einigen Ausnahmen: Ballon, Zeppelin, Baroskop und ev.a.

## 10.2. Beispiele

### 1. Beispiel

Zur Verdeutlichung des Gesetzes von Dalton:

Der Gesamtdruck einer Gasmischung ist gleich der Summe der Partialdrücke der einzelnen Bestandteile. (Unter Partialdruck versteht man den Druck eines Gasbestandteiles, der sich einstellt, wenn der betreffende Gasbestandteil bei der gegebenen Temperatur das zur Verfügung stehende Gesamtvolumen allein ausfüllt.)

möge die Luftmasse  $m_L = 1$  kg dahingehend untersucht werden:

- welche Massenanteile von Stickstoff ( $N_2$ ) und Sauerstoff ( $O_2$ ) bei einem Gesamtdruck dieser Gasmischung von  $p_L = p_{ges} = 1,015$  bar anzutreffen sind und
- wie groß dabei die Partialdrücke sind.

Weitere Angaben: Gaskonstante für Luft  $R_L = 287,14$  J/(kg.K) ;  
" "  $O_2$   $R_{O_2} = 259,97$  " ;  
" "  $N_2$   $R_{N_2} = 296,85$  " .

### Lösungen:

- Massenanteile  $m_{N_2}$  und  $m_{O_2}$  :

Man muß zwei Bestimmungsgleichungen ausfindig machen. Eine Beziehung findet man in der Massenbilanz:

$$m_L = m_{N_2} + m_{O_2} \quad (1).$$

Einen weiteren Zusammenhang liefert die allgemeine Gasgleichung (Gl.3-6):

$$\text{Für Sauerstoff gilt: } p_{O_2} \cdot V_{ges} = m_{O_2} \cdot R_{O_2} \cdot T_{ges} \quad ;$$

$$\text{für Stickstoff gilt: } p_{N_2} \cdot V_{ges} = m_{N_2} \cdot R_{N_2} \cdot T_{ges} \quad ;$$

$$\text{für Luft gilt : } p_L \cdot V_{ges} = m_L \cdot R_L \cdot T_{ges} \quad .$$

Die Summenbildung der ersten beiden Gleichungen ergibt:

$$(p_{O_2} + p_{N_2}) \cdot V_{ges} = (m_{O_2} \cdot R_{O_2} + m_{N_2} \cdot R_{N_2}) \cdot T_{ges} \quad ;$$

$$\frac{p_L \cdot V_{ges}}{T_{ges}} = m_L \cdot R_L = m_{O_2} \cdot R_{O_2} + m_{N_2} \cdot R_{N_2} \quad .$$

Die zweite Beziehung lautet nunmehr:

$$\boxed{m_L \cdot R_L = m_{O_2} \cdot R_{O_2} + m_{N_2} \cdot R_{N_2}} \quad (2).$$

Somit berechnen sich die Massenanteile durch:

$$\boxed{m_{N_2} = \frac{R_L - R_{O_2}}{R_{N_2} - R_{O_2}} \cdot m_L \quad \text{und} \quad m_{O_2} = \frac{R_L - R_{N_2}}{R_{O_2} - R_{N_2}} \cdot m_L} \quad .$$

Nach dem Einsetzen der Zahlen ergibt sich:

$$\underline{\underline{m_{N_2} = 0,737 \text{ kg}}} \quad \text{und} \quad \underline{\underline{m_{O_2} = 0,263 \text{ kg}}} \quad .$$

b) Partialdrücke:

Sauerstoff: Ersetzt man in der Gasgleichung den Ausdruck  $\dot{V}_{ges}/T_{ges}$  durch  $m_L \cdot R_L / p_L$ , dann folgt:

$$\underline{\underline{p_{O_2}}} = \frac{m_{O_2} \cdot R_{O_2}}{m_L \cdot R_L} \cdot p_L = \frac{0,263 \cdot 259,97}{1 \cdot 287,14} \cdot 1,015 \cdot 10^5 = \underline{\underline{0,2417 \text{ bar}}};$$

Stickstoff: Analogerweise ergibt sich hier:

$$\underline{\underline{p_{N_2}}} = \frac{m_{N_2} \cdot R_{N_2}}{m_L \cdot R_L} \cdot p_L = \frac{0,737 \cdot 296,85}{1 \cdot 287,14} \cdot 1,015 \cdot 10^5 = \underline{\underline{0,7733 \text{ bar}}}$$

Bemerkung:

Ein praktisches Beispiel eines Gas-Dampf-Gemisches hat man beim Kondensator einer Dampfturbine: Der aus der Turbine kommende Dampf führt auch noch Restluft mit sich. Bei der Kondensation wird der Naßdampf zu Wasser, wodurch er seinen Partialdruck verliert. Der verbleibende Restdruck oder Kondensatordruck entspricht nun dem Partialdruck der vom Dampf getrennten Luft.

## 2. Beispiel

Wegen der mittleren Motorblocktemperatur nimmt die angesaugte Luft

in einem Dieselmotor die Temperatur  $T_1 = 373 \text{ K}$  an. Der Ansaugdruck beträgt  $p_1 = 0,9 \text{ bar}$  bei einem Atmosphärendruck von  $p_0 = 1,015 \text{ bar}$ . Man ermittle:

- den Kompressionsenddruck  $p_2$ , wenn die Selbstentzündungstemperatur des Kraftstoffes bei  $T_2 = 1000 \text{ K}$  liegt und wenn die Zustandsänderung mit einem Polytropenexponenten  $n = 1,4$  beschrieben werden kann;
- die Überdruckkraft auf den Kolben, wenn der Zylinder eine Bohrung von  $d = 0,2 \text{ m}$  besitzt.

### Lösung:

a)  $p_2$  :

Aus Gl.(3-16) folgt für die Zustandsänderung:

$$\underline{\underline{p_2 = p_1 \cdot (T_2/T_1)^{\frac{n}{n-1}} = 0,9 \cdot 10^5 \cdot (1000/373)^{\frac{1,4}{1,4-1}} = 28,4 \text{ bar} .}}$$

b)  $F_{pü}$  :

Nach Gl.(7-16) folgt:  $F_{pü} = p_{ü} \cdot A_{\text{Kolben}} = (p_2 - p_0) \cdot (\pi/4) \cdot d^2$  ;

$$\underline{\underline{F_{pü} = (28,4 - 1,015) \cdot 10^5 \cdot (\pi/4) \cdot 0,2^2 = 86,033 \text{ kN} .}}$$

### 3. Beispiel

In einem Behälter, Bild 10-1, befinden sich Luft und Wasser. Beim Ein-

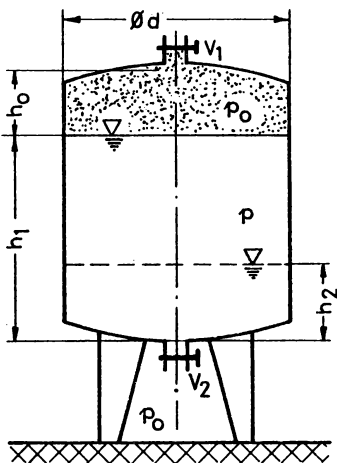


BILD 10-1

gießen des Wassers ist das untere Ventil 2 geschlossen und das obere 1 geöffnet, so daß die Luft verdrängt werden kann. Ist der Behälter dann bis  $h_1$  mit Wasser angefüllt, wird das Ventil 1 ebenfalls geschlossen: Über dem Wasserspiegel lastet demnach der Atmosphärendruck. Weitere Angaben:  $p_0 = 1,015 \text{ bar}$ ;  $h_1 = 2 \text{ m}$ ;  $h_0 = 1 \text{ m}$ . Man bestimme nun die Höhe  $h_2$ , bis zu welcher sich der Wasserspiegel absenkt, wenn bei geöffnetem Ventil 2 Wasser aus dem Behälter ausfließt.

Lösung:

Nimmt man bei der Luft eine isotherme Zustandsänderung nach Gl.(3-4) an, dann folgt:

$$p_1 \cdot V_1 = p_2 \cdot V_2 ; \quad p_o \cdot A \cdot h_o = p \cdot A \cdot (h_o + h_1 - h_2) ;$$

$$\boxed{p_o = (p/h_o) \cdot (h_o + h_1 - h_2)} \quad (1) .$$

Das Wasser fließt so lange aus, bis der sich einstellende Atmosphärenunterdruck der Behälterluft, einschließlich der Restwassersäule, gleich groß ist wie der äußere Luftdruck:

$$\boxed{p_o = p + \rho \cdot g \cdot h_2} \quad (2) .$$

Aus den beiden Bestimmungsgleichungen erhält man nach Elimination von  $p$  eine quadratische Gleichung für  $h_2$  :

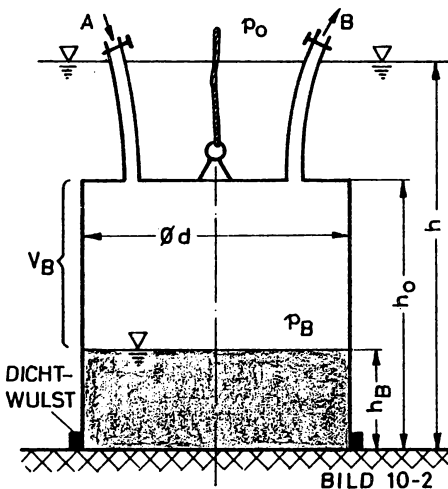
$$h_2 = \frac{\frac{p_o}{\rho} + h_o + h_1}{2} \pm \sqrt{\frac{(\frac{p_o}{\rho} + h_o + h_1)^2}{4} - \frac{p_o \cdot h_1}{\rho \cdot g}} ;$$

$$h_2 = 6,673 \pm 4,883 \text{ m} ; \text{ davon kann physikalisch}$$

nur  $\underline{\underline{h_2 = 1,79 \text{ m}}}$  richtig sein .

4.Beispiel

Für Unterwasserarbeiten wird eine Taucherglocke verwendet, Bild 10-2.



Angaben:  $d = 4 \text{ m}$ ;  $h_o = 2,5 \text{ m}$ ;  
 $h = 12 \text{ m}$  ;  $p_o = 1,015 \text{ bar}$ ;  
 Gaskonstante der Luft  $R = 287,7 \text{ J/(kg.K)}$ ; Lufttemperatur  $T = 288 \text{ K}$  .-Man bestimme:

a) das Volumen  $V_B$  in der Taucherglocke für den Fall, daß die Taucherglocke den Boden berührt;

b) die Höhe  $h_B$  des Wasserspiegels in der Glocke für Fall a);

c) den Luftdruck  $p'$  in der

Zuleitung A ,damit das gesamte Wasser in der Taucherglocke verdrängt wird;

- d) die Luftmasse  $m_L$  ,welche bei geschlossenem Schlauch A durch den Entlüftungsschlauch B entweichen muß,bis zwischen Taucherglocke und Atmosphäre ein Druckausgleich stattgefunden hat.

Lösungen:

- a)  $V_B$  :

Geht man von einer isothermen Zustandsänderung der in der Taucherglocke eingeschlossenen Luft aus,dann ergibt sich als erste Bestimmungsgleichung im Sinne von Gl.(3-4):  $p_o \cdot V_o = p_B \cdot V_B$  ;

$$\boxed{V_B = p_o \cdot (\pi/4) \cdot d^2 \cdot h_o / p_B} \quad (1).$$

Eine weitere Bestimmungsgleichung liefert die Druckbeziehung:

$$\boxed{p_B = p_o + \rho \cdot g \cdot (h - h_B)} \quad (2).$$

Neben der Zustandsgleichung und der Druckgleichung hilft eine Volumenbilanz weiter:

$$\boxed{V_B = V_o - (\pi/4) \cdot d^2 \cdot h_B} \quad (3).$$

Durch Einsetzen von  $h_B$  aus dieser Beziehung in (2) und danach von  $p_B$  in (1) ergibt sich unter Verwendung der Zahlenangaben:

$$\underline{\underline{V_B = 15,424 \text{ m}^3}} .$$

- b)  $h_B$  :

Aus (3) folgt:  $V_B = (\pi/4) \cdot d^2 \cdot (h_o - h_B)$ ;  $h_B = 2,5 - \frac{4 \cdot 15,424}{\pi \cdot 4^2}$

$$\underline{\underline{h_B = 1,273 \text{ m}}} .$$

- c)  $p'$  :

Es ist hierfür folgende Druckbeziehung einzuhalten:  $p' \geq p_o + \rho \cdot g \cdot h$  ;

$$\underline{\underline{p' = 1,015 \cdot 10^5 + 1000 \cdot 9,81 \cdot 12 = 2,1922 \text{ bar}}} .$$

- d)  $m_L$  :

Vor dem Druckausgleich beträgt die in der Taucherglocke enthaltene Luftmasse

$$\boxed{m_L = \rho \cdot V_o} .$$

Den Druck  $p_B$  ermittelt man aus der Beziehung (2):

$$\underline{p_B} = 1,015 \cdot 10^5 + 1000 \cdot 9,81 \cdot (12 - 1,273) = \underline{\underline{2,0673 \text{ bar}}}.$$

Die Dichte  $\rho_B$  ermittelt man mit der Zustandsgleichung für vollkommene Gase, Gl.(3-7):

$$\underline{\rho_B} = \frac{p_B}{R \cdot T} = \frac{2,0673 \cdot 10^5}{287,7 \cdot 288} = \underline{\underline{2,495 \text{ kg/m}^3}}.$$

Somit erhält man für die vor dem Druckausgleich in der Taucherglocke enthaltene Luftmasse:

$$\underline{m_1} = 2,495 \cdot (\pi/4) \cdot 4^2 \cdot 2,5 = \underline{\underline{78,383 \text{ kg}}}.$$

Nach dem Druckausgleich findet man noch eine Luftmasse von

$$\underline{m_2} = \rho_o \cdot V_o = \frac{1,015 \cdot 10^5}{287,7 \cdot 288} \cdot (\pi/4) \cdot 4^2 \cdot 2,5 = \underline{\underline{38,484 \text{ kg}}}.$$

Der Differenzbetrag

$$\underline{m_L} = m_1 - m_2 = 78,383 - 38,484 = \underline{\underline{39,9 \text{ kg}}}$$

ist also beim Druckausgleich durch die Leitung B entwichen.

### 5.Beispiel

Die ICAO ( International Civil Aviation Organization ) gibt für den atmosphärischen Zustand auf Meereshöhe folgende Werte an:

$p_o = 1,014 \cdot 10^5 \text{ Pa}$ ;  $T_o = 288 \text{ K}$ ;  $\rho_o = 1,225 \text{ kg/m}^3$  .-Ferner soll die Zustandsänderung bei zunehmender Höhe mit dem Polytropenexponenten  $n = 1,235$  beschrieben werden, und zwar gültig für die Troposphäre:  $0 \leq h < 11\,000 \text{ m}$  .-Man bestimme nun in Abhängigkeit zunehmender Höhe  $h$  :

- a) den Druckverlauf  $p(h)$  ;
- b) den Temperaturverlauf  $T(h)$  ;
- c) den Dichteverlauf  $\rho(h)$  ;
- d) die Schallgeschwindigkeit  $c_s(h)$  .

### Lösungen:

- a)  $p = f(h)$  :

Die Integration der Druckformel, Gl.(10-3), verlangt zunächst die vollständige Beschaffung des Integranden, in dem für  $\rho$  die Polytropenzustandsgleichung nach Gl.(3-16) eingesetzt wird:

$$\boxed{\rho = \rho_0 \cdot (p/p_0)^{1/n}} \quad (1);$$

eine einfache Potenz-Integration führt zu:

$$p = \frac{n}{n-1} \cdot \frac{p_0}{\rho_0} \cdot \left[ (p/p_0)^{\frac{n-1}{n}} - 1 \right]$$

Da außerdem

$$g \cdot (z_1 - z_2) = -h \cdot g \quad \text{ist, folgt weiterhin:}$$

$$\boxed{-g \cdot h = \frac{n}{n-1} \cdot \frac{p_0}{\rho_0} \cdot \left[ (p/p_0)^{\frac{n-1}{n}} - 1 \right]} \quad (2).$$

Damit ergibt sich für die barometrische Höhenformel:

$$\boxed{p = p_0 \cdot \left[ 1 - g \cdot \frac{n-1}{n} \cdot \frac{\rho_0}{p_0} \cdot h \right]^{\frac{n}{n-1}}} \quad (10-4).$$

Angepaßt an die Zahlenwerte, erhält man als Gebrauchsformel in Pa, wenn man die Höhe in kohärenter Manier in m einsetzt:

$$\boxed{p = 1,014 \cdot 10^5 \cdot (1 - 2,255 \cdot 10^{-5} \cdot h)^{5,2553}} \quad (10-5).$$

b) T = f(h) :

Ersetzt man in Beziehung (2) den Ausdruck  $p_0/\rho_0$  durch  $R \cdot T_0$  (vgl. Gl. 3-7 und 3-8) und  $p/p_0 \exp(n-1)/n$  durch das entsprechende Temperaturverhältnis (vgl. Gl. 3-16), so läßt sich daraus die thermometrische Höhenformel ableiten:

$$\boxed{-g \cdot h = \frac{n}{n-1} \cdot R \cdot (T - T_0)}$$

Löst man diese Gleichung nach T auf, dann ergibt sich:

$$\boxed{T = T_0 - g \cdot \frac{n-1}{n \cdot R} \cdot h} \quad (10-6).$$

In Anlehnung an die Zahlenwerte kann man folgende Gebrauchsgleichung verwenden mit h in m :

$$\boxed{T = 288 - 6,4947 \cdot 10^{-3} \cdot h} \quad (10-7).$$

Der Faktor  $6,4947 \cdot 10^{-3}$  in K/m heißt Temperaturgradient der Atmosphäre.

c)  $\varrho = f(h)$  :

Analogerweise ergibt sich schließlich für den Dichteverlauf:

$$\varrho = \varrho_0 \cdot \left[ 1 - g \cdot \frac{n-1}{n} \cdot \frac{p_0}{\varrho_0} \cdot h \right]^{\frac{1}{n-1}} \quad (10-8).$$

Setzt man die ICAO-Werte ein, dann folgt:

$$\varrho = 1,225 \cdot \left[ 1 - 2,255 \cdot 10^{-5} \cdot h \right]^{4,255} \quad (10-9).$$

d)  $c_s = f(h)$  :

Differenziert man  $p = p_0 \cdot (\varrho / \varrho_0)^n$ , was aus Beziehung (1) folgt, nach der Dichte  $\varrho$ , dann bekommt man:

$$dp = p_0 \cdot n \cdot (\varrho / \varrho_0)^{n-1} \cdot \frac{1}{\varrho_0} \cdot d\varrho = n \cdot R \cdot T_0 \cdot \underbrace{(\varrho / \varrho_0)^{n-1}}_{\text{Gl. (3-16)}} \cdot d\varrho = n \cdot R \cdot T \cdot d\varrho.$$

$$\boxed{dp/d\varrho = n \cdot R \cdot T}$$

Da die Schallgeschwindigkeit mit Gl. (3-1) berechnet werden kann, erhält man zunächst:

$$c_s = \sqrt{\frac{dp}{d\varrho}} = \sqrt{n \cdot R \cdot T} \quad (10-10).$$

Das ist aber die polytrope Schallgeschwindigkeit. Den Höheneinfluß bringt man jetzt mit Gl. (10-7) ins Spiel:

$$c_s = \sqrt{n \cdot R \cdot \left( T_0 - g \cdot \frac{n-1}{n \cdot R} \cdot h \right)} \quad (10-11).$$

In angepaßter Form ergibt sich:

$$c_s = 287,7 \cdot \sqrt{n \cdot (1 - 22,551 \cdot 10^{-6} \cdot h)} \quad (10-12).$$

Bemerkung:

Die Untersuchungen bezüglich der Stratosphäre sind einfacherer Art,





$$\underline{m_F} = m - m_{He} = 1000 - 145,307 = \underline{\underline{854,693 \text{ kg}}} .$$

c)  $h_{\max}$  :

Nach dem Überbordwerfen von  $\Delta m_F = 100 \text{ kg}$  Ballast, bleibt noch eine Festkörpermasse von

$$\underline{m_F'} = m_F - \Delta m_F = 854,693 - 100 = \underline{\underline{754,693 \text{ kg}}} \text{ übrig.}$$

Nunmehr erhält man für die resultierende Steigkraft in einer beliebigen Steighöhe:

$$\boxed{F_S = F_{A,st} - F_G' = \rho_{L,h} \cdot g \cdot V_K - g \cdot (m_F' + m_{He}')}$$

Während des Steigens wird die Heliummasse durch Ausströmen so eingeregelt, daß das Ballonvolumen laut Voraussetzung konstant bleibt.

$$F_S = \rho_{L,h} \cdot g \cdot V_K - \rho_{He,h} \cdot g \cdot V_K - g \cdot m_F' ;$$

$$F_S = \rho_{L,o} \cdot g \cdot V_K \cdot \left(1 - \frac{\rho_{He,h}}{\rho_{L,h}}\right) \cdot \frac{\rho_{L,h}}{\rho_{L,o}} - g \cdot m_F' .$$

Trifft man nun folgende Annahme, daß

$$\rho_{He,h} / \rho_{L,h} = \rho_{He,o} / \rho_{L,o}$$

gilt und setzt man für die Dichtevariation in Abhängigkeit von der Steighöhe die Gl.(10-8) ein, dann folgt:

$$\boxed{F_S = \rho_{L,o} \cdot g \cdot V_K \cdot \left(1 - \frac{\rho_{He,o}}{\rho_{L,o}}\right) \cdot (1 - 2,255 \cdot 10^{-5} \cdot h)^{4,255} - g \cdot m_F'}$$

Die maximale Steighöhe ist erreicht, wenn  $F_S = 0$  ist :

$$1,225 \cdot 9,81 \cdot 816,33 \cdot \left(1 - \frac{0,178}{1,225}\right) \cdot (1 - 2,255 \cdot 10^{-5} \cdot h)^{4,255} - 9,81 \cdot 754,693 = 0;$$

$$\underline{\underline{h = 1127,9 \text{ m}}} .$$

## 7. Beispiel

Ein Laborgerät, Bild 10-4, besteht aus einem mit Wasser gefüllten Becher, der durch eine Membrane abgeschlossen ist. Im Becher befindet sich ein

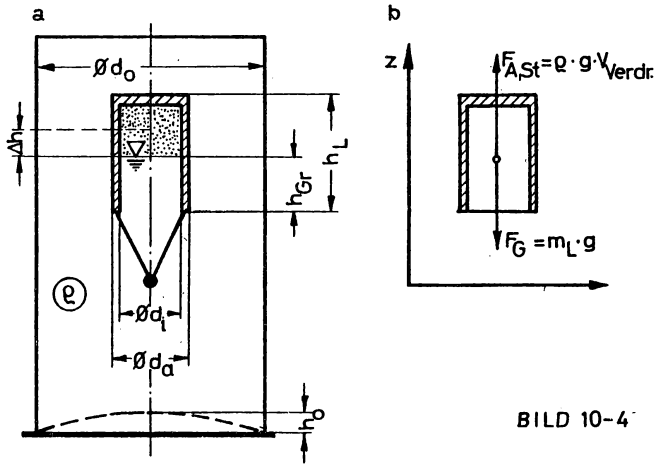


BILD 10-4

Schwimmer (Ludion), der teilweise mit Luft und teilweise mit Wasser ausgefüllt wird. Es ist auch noch ein tief liegendes Gewicht angebracht, damit das Ludion stabil schwebt.

Wenn die Membran nach oben gedrückt wird, gelangt zusätzliches Wasser in das Ludion, so daß die enthaltene Luft weiter komprimiert wird, das Verdrängungsvolumen abnimmt und das Ludion absinkt.

Wie groß sind die Grenzhöhe  $h_{Gr}$  und die Spiegeldifferenzzunahme  $\Delta h$  im Ludion, wenn die Membran in der Art einer Kugelkalotte nach oben gedrückt wird?

Lösung:

Gleichgewicht herrscht zunächst bei  $F_{A,st} = F_G$  :

$$\varrho \cdot g \cdot (\pi/4) \cdot \left[ d_a^2 \cdot h_L + d_i^2 \cdot (h_L - h) \right] = g \cdot m_{Ludion}$$

Die Grenzhöhe  $h_{Gr}$  für den stabilen Schwebezustand errechnet sich damit :

$$h_{Gr} = \frac{m}{\varrho \cdot (\pi/4) \cdot d^2} - \left( \frac{d_a^2}{d_i^2} - 1 \right) \cdot h_L$$

Dafür ist das Ludion ausgelegt. Wegen der Inkompressibilität des Wassers erhält man aus der Gleichheit der Volumina :

$$v_{KK} = (\pi/3) \cdot h_o^2 \cdot \left( \frac{3}{2} \cdot d_o - h_o \right) = (\pi/4) \cdot d_i^2 \cdot \Delta h \quad ;$$

$$\Delta h = \frac{4}{3} \cdot \frac{h_o^2}{d_i^2} \cdot \left( \frac{3}{2} \cdot d_o - h_o \right) \quad .$$


---

Bei Entlastung steigt das Ludion wieder.

## TEIL III : FLUIDDYNAMIK

### 11. GRUNDBEGRIFFE DER DYNAMIK VOLLKOMMENER FLUIDE

#### 11.1. Definitionen und Klassifikationen

##### 11.1.1. Allgemeines

##### Fluidgebiet

Darunter hat man sich einen Bereich vorzustellen, der von materiellen Punkten bei kontinuierlicher Verteilung eingenommen wird. Im Zustand der Bewegung besitzt jeder Punkt seine eigene Geschwindigkeit.

Die Strömungsgeschwindigkeit kann man sich im allgemeinen als eine stetige und eindeutige Funktion der Ortskoordinaten und der Zeit vorstellen:  $\vec{c} = f(x; y; z; t)$ .

Gilt  $\vec{c} = f(x; y; z; t) \equiv 0$ , so bleibt das Fluid in allen Punkten des Fluidgebiets in Ruhe. Das ist aber nach Abschn. 4 das Arbeitsgebiet der Fluidstatik.

Das Gegenteil  $\vec{c} = f(x; y; z; t) \neq 0$  ist nur selten anzutreffen, und das sogar in der Fluiddynamik, weil es bei umströmten Objekten immer Staupunkte gibt, die ja mit  $\vec{c}_{SP} = f(x_S; y_S; z_S; t) = 0$  beschrieben werden.

##### Singuläre Punkte

Es handelt sich hierbei um Ausnahmestellen im Fluidgebiet, an denen die Geschwindigkeit null oder gar mehrdeutig ist.

Die geschwindigkeitsmäßige Beschreibung eines Fluidgebietes lautet allgemein:

$$\vec{c} = f(x; y; z; t) \neq 0 \quad \text{mit} \quad \vec{c}_{SP} = f(x_S; y_S; z_S; t) = 0 \quad (11-1).$$

### Ideales Fluid

In der mathematischen Fluidmechanik wird ein Modellfluid den Betrachtungen zugrundegelegt, und zwar mit den Eigenschaften der Inkompressibilität und der Reibungsfreiheit (vgl. Abschn. 4, 2. Arbeitsgebiet). In diesem Buch werden aber den Überlegungen natürliche Fluide vorangestellt (vgl. Abschn. 4, 3. Arbeitsbereich, und S. 331).

### Vollkommenes Fluid

In zahlreichen Anwendungen lassen sich die Tangentialkräfte gegenüber den Druckkräften vernachlässigen. Ist das der Fall, dann spricht man von vollkommenen Fluiden. Das ist aber keine Eigenschaft des natürlichen Fluids, sondern eine Frage der Umstände, unter denen das natürliche Fluid eingesetzt wird (s. S. 331).

### Reales Fluid

Sind die Tangentialkräfte gegenüber den Druckkräften nicht mehr zu vernachlässigen, dann hat man es mit den sogenannten realen Fluiden zu tun.

Die Bewegung der realen Fluide verläuft immer wie eine Stab- oder Kernwirbelbewegung. Man trifft auch Fälle an, wo sich das Fluidgebiet geschickterweise in zwei oder sogar drei verschiedene Betrachtungszonen einteilen läßt:

- || (1.) Zone der realen Fluide;
- || (2.) Zone der vollkommenen Fluide mit Potentialwirbelbewegung;
- || (3.) Zone der vollkommenen Fluide ohne Potentialwirbelbewegung.

In der Fluidodynamik, die auch Hydrodynamik genannt wird, hat sich wegen der Kompliziertheit realer Vorgänge folgende Betrachtungsweise durchgesetzt und bewährt:

Die Vorgänge werden zuerst derart untersucht, als ob man es mit vollkommenen Fluiden zu tun hätte; danach werden Korrekturglieder und/oder Korrekturkoeffizienten angebracht!

In diesem Buch werden außerdem Kinematik (geometrische Bewegungslehre) und Dynamik gleichzeitig behandelt. Kinematik und Dynamik sind heutzutage unter dem Sammelbegriff Kinetik bekannt.

## 11.1.2. Strombahnen, Stromlinien, Stromfaden, Stromröhren

### 11.1.2.1. Theorie

#### Strombahnen

Wenn ein materieller Punkt sich bewegt, so beschreibt er eine geometrische Linie, die man seine Spur oder seine Bahn bzw. Strombahn nennt. Sie hat keine materielle Bedeutung. Die Zuordnung eines materiellen

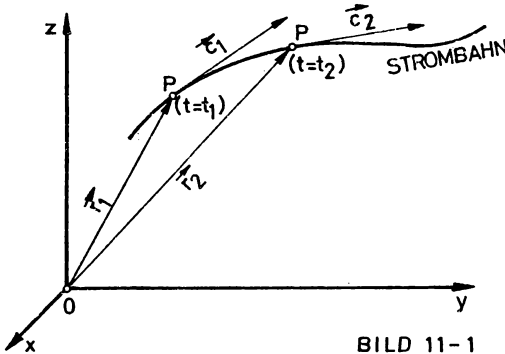


BILD 11-1

Punktes zu seiner Bahn zeigt Bild 11-1. Anschaulich könnte man die Strombahn auch als den Lebensweg eines materiellen Punktes im Fluidgebiet bezeichnen. Die Geschwindigkeitsvektoren  $\vec{c}_1$  und  $\vec{c}_2$  usw. sind immer tangential zur Strombahn gerichtet. Sie gehören zum selben materiellen Punkt P und unterscheiden sich voneinander nach dem Ort als Funk-

tion der Zeit. - Analoges gilt für jeden weiteren Punkt des Fluidgebiets. Aus der Gl. (9-1) folgen drei Differentialgleichungen für einen bestimmten Punkt:

$$\boxed{dt = \frac{dx}{c_x(t)} \quad ; \quad dt = \frac{dy}{c_y(t)} \quad ; \quad dt = \frac{dz}{c_z(t)}} \quad (11-2).$$

Sie entsprechen einer dreifachen Unendlichkeit ( $\infty^3$ ), nämlich der Anzahl materieller Punkte, die Strombahnen beschreiben.

Die Integration führt zu folgenden Ergebnissen:

$$\boxed{x = f_1(t) + K_1 \quad ; \quad y = f_2(t) + K_2 \quad ; \quad z = f_3(t) + K_3} \quad (11-3).$$

Eliminiert man aus diesen drei algebraischen Gleichungen den Parameter  $t$ , dann erhält man zwei Gleichungen, die Raumflächen beschreiben:

$$\boxed{\oint_a(x,y,z) + \text{Const}_a = 0 \quad ; \quad \oint_b(x,y,z) + \text{Const}_b = 0} \quad (11-4).$$

Die Schnittkurve dieser beiden Raumflächen ist nun nichts anderes als die Strombahn des beobachteten materiellen Punktes P .

Nach der Lagrangeschen Betrachtungsweise, wo jeder einzelne Massenpunkt längs seiner Strombahn verfolgt wird, gelangt man sehr schnell zu grossen mathematischen Schwierigkeiten. Praxisnäher ist die Betrachtungsweise nach Euler. Er geht aus von dem Begriff der

### Stromlinie.

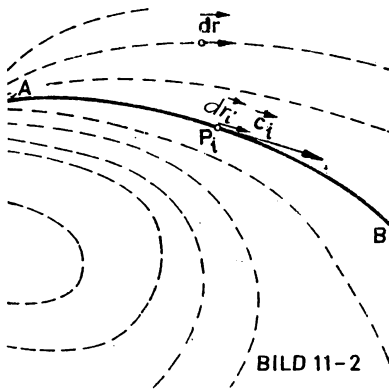
Wenn alle materiellen Punkte eines Fluidgebiets in der Art einer kurz belichteten Fotografie beobachtet werden könnten, dann hinterliessen sie ein Feld strichartiger Spuren, was ihre kurzzeitige Bewegung anbetrifft, Bild 11-2. Jeder Punkt beschreibt einen kurzen Bahnbogen mit seiner ihm eigenen Geschwindigkeit  $\vec{c}_i$ . Die Betrachtung des Spurenfeldes im Bild suggeriert einem geradezu, in der Richtungstendenz benachbarte Bahnabschnitte, die von lauter unterschiedlichen materiellen Punkten überstrichen worden sind, durch einhüllende Kurven (z.B.: A - B) miteinander zu verbinden. Solche Linien nennt man Stromlinien. Sie erhalten folgende mathematische Beschreibung:

Zu jedem Bahnbogen  $d\vec{r}_i$  gehört die lokale Geschwindigkeit  $\vec{c}_i = d\vec{r}_i/dt$ . Die Stromlinie ist also die Einhüllende der Geschwindigkeitsvektoren, die sich auf benachbarte Bahnelemente beziehen. Die Parallelität von Strombahn und Geschwindigkeitsvektor kommt im folgenden Vektorprodukt zum Ausdruck:

$$\boxed{(\vec{c}_i \times d\vec{r}_i) = \begin{vmatrix} i & j & k \\ c_x & c_y & c_z \\ dx & dy & dz \end{vmatrix} = i \cdot (c_y \cdot dz - c_z \cdot dy) + j \cdot (c_z \cdot dx - c_x \cdot dz) + k \cdot (c_x \cdot dy - c_y \cdot dx) = 0} \quad (11-5).$$

Da die Parallelität zwischen Bahn und Geschwindigkeitsvektor für jeden einzelnen Punkt der Stromlinie, und zwar für die Augenblicksaufnahme gedacht, gilt, entfällt der Einflußfaktor Zeit, und übrig bleiben nur die Beschreibungsgrößen des geänderten Ortsvektors und des Geschwindigkeitsvektors. Aus  $\tan \alpha = dy/dx = c_y/c_x$  usw. oder durch Nullsetzen der Komponentenklammern in Gl. (11-5) folgt:

$$\boxed{dx_i / c_{xi} = dy_i / c_{yi} = dz_i / c_{zi}} \quad (11-6).$$



Daraus lassen sich für den materiellen Punkt  $P_i$  zwei Differentialgleichungen ableiten. Notiert man die Gl. (11-6) für den allgemeinen Punkt  $P$ , dann erhält man die beiden Differentialgleichungen aller Stromlinien, welche sich in zusammengefaßter, fortlaufender Form folgendermaßen anschreiben lassen:

$$\frac{dx}{c_x(x,y,z)} = \frac{dy}{c_y(x,y,z)} = \frac{dz}{c_z(x,y,z)} \quad (11-7).$$

Für die Stromlinienmenge verzeichnet man eine doppelte Unendlichkeit ( $\infty^2$ ).

Interessant ist eine zusammenfassende Gegenüberstellung der Beschreibungsgrößen von Strombahn und Stromlinie:

<u>Strombahn</u>	<u>Stromlinie</u>
1) Bezieht sich auf einen materiellen beweglichen Punkt;	1) Hierzu gehört eine einfach unendliche Anzahl materieller Punkte ( $\infty^1$ );
2) wird im Laufe der Zeit von diesem materiellen Punkt beschrieben;	2) ist das Bild unendlich vieler, momentan ruhender materieller Punkte;
3) ist eine geometrische Linie;	3) ist eine substantielle Linie;
4) Anzahl der Bahnen ist eine dreifache Unendlichkeit ( $\infty^3$ );	4) Anzahl der Stromlinien ist eine doppelte Unendlichkeit ( $\infty^2$ );
5) drei Differentialgleichungen beschreiben die Strombahn;	5) zwei Differentialgleichungen beschreiben die Stromlinie;



6) die Geschwindigkeit des materiellen Punktes ist tangential zur Strombahn gerichtet;

6) die Geschwindigkeiten der Punkte einer Stromlinie sind tangential zur Stromlinie gerichtet.

### Stationäre Strömung

Betrachtet man nach einiger Zeit wiederum das Strömungsgeschehen und stellt man das gleiche Stromlinienbild wie in Bild 11-2 fest, dann ist die Bewegung unabhängig von der Zeit; man spricht von einer stationären Bewegung. Die Geschwindigkeit hängt damit in einem Fluidbereich nur vom Ortsvektor und nicht auch noch von der Zeit ab.

### Instationäre Strömung

Hat sich die Konfiguration in Bild 11-2 geändert - sie ist auch unter dem Namen hydrodynamisches Spektrum bekannt - ,dann hängt die Bewegung im Fluidbereich vom Ortsvektor und der Zeit ab:

$$\vec{c} = f(x, y, z, t) \quad (11-8).$$

Die zusammengefaßten zwei Differentialgleichungen für die Stromlinien lauten danach:

$$\frac{dx}{c_x(x, y, z, t)} = \frac{dy}{c_y(x, y, z, t)} = \frac{dz}{c_z(x, y, z, t)} \quad (11-9).$$

Es tritt hier die Veränderliche  $t$  (Zeit) hinzu.

### Stromfaden

In der stationären Strömung haben Strombahn und Stromlinie dieselbe geometrische Gestalt. Mehrere materielle Punkte laufen die Stromlinie entlang. Vom Gesichtspunkt der analytischen Geometrie her gesehen, überlagern sich die Bahn eines Einzelpunktes und die Stromlinie für viele Punkte. Diese gemeinsame Linie wird Stromfaden genannt.

### Stromfläche

Mehrere Stromlinien zusammengekommen, bilden eine Stromfläche. Im Raum ( $R^3$ ) kann man zwei Familien von Stromflächen haben.

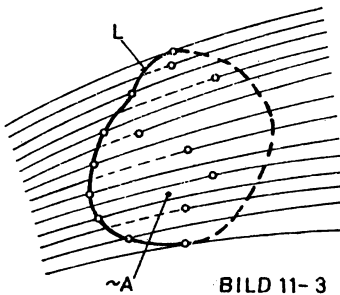


BILD 11-3

### Stromröhre

Im Fluidbereich greife man eine offene Fläche  $A$  heraus, Bild 11-3. Sie enthält unendlich viele Punkte ( $\infty^2$ ). Durch jeden Punkt verläuft eine ganz bestimmte Stromlinie. Die Gesamtmenge der Stromlinien bildet ein sogenanntes Stromrohr.

Die Fläche  $A$  wird von der geschlossenen Linie  $L$  begrenzt.

Alle Stromlinien, welche die Grenzlinie  $L$  treffen, bilden zusammen eine Rohroberfläche (Stromfläche!), welche die Rolle einer Grenzfläche bezüglich der Stromröhre übernimmt. In der mathematischen Fluidmechanik wird nur diese Grenzfläche in topologischer Hinsicht Stromröhre genannt; physikalisch aber gehören alle Stromlinien zum Stromröhrenbereich.

Bei instationären Strömungen ändern die Stromröhren in Abhängigkeit von der Zeit ständig ihre geometrische Gestalt.

Manchmal nennt man den Inhalt einer Stromröhre auch Stromfaden. Bedingung hierfür ist aber die Konstanz der Geschwindigkeit  $\vec{c}_1(x,y,z,t)$  in der Fläche  $A$ .

#### 11.1.2.2. Beispiel

Anhand eines umfassenden Beispiels mögen obige Definitionen veranschaulicht werden, Bild 11-4.

Aus einer Düse  $Dü$  fließt Wasser in horizontaler Richtung heraus. Der Öffnungsquerschnitt läßt sich mittels des Drehhahns  $Ha$  verändern. Ohne bereits an dieser Stelle auf Reibungseffekte genauer eingehen zu müssen, wird nur an die Erfahrungstatsache erinnert, daß sich wohl bei drei verschiedenen Ventilstellungen auch drei verschiedene Wasserstromröhren einstellen. Das bedeutet auch, daß die Düsenaustrittsgeschwindigkeiten ebenfalls drei verschiedene Werte annehmen (Bild 11-4). - Man bestimme:

- a) die Weite  $x_{\max}$ , bei welcher die Stromröhre  $P_1$  den Boden trifft, wenn das Ventil ganz geöffnet ist; die dazugehörige Austrittsgeschwindigkeit heißt  $c_{0\max}$ ;



beiden Komponenten  $c_x = c_{\text{omax}}$  und  $c_z = g \cdot t$  auffinden.

Parametergleichungen der Strombahn für  $t = 0$  und  $x = 0$  sowie  $z = 0$  :

$$c_x = \frac{dx}{dt} = c_0 \longrightarrow x = \int_0^t c_0 \cdot dt = c_0 \cdot t \quad (1);$$

$$c_z = \frac{dz}{dt} = g \cdot t \longrightarrow z = \int_0^t g \cdot t \cdot dt = \frac{1}{2} \cdot g \cdot t^2 \quad (2) \quad .$$

Algebraische Bahngleichung:

Eliminiert man aus den Beziehungen (1) und (2) den Parameter  $t$  , dann ergibt sich die Parabelgleichung für die Strombahn:

$$z = 0,5 \cdot (g/c_0^2) \cdot x^2 \quad (3).$$

Damit schreibt sich die Parabelgleichung  $P_1$  mit  $c_0 = c_{\text{omax}}$  folgendermaßen an:

$$z = 0,5 \cdot (g/c_{\text{omax}}^2) \cdot x^2 \quad (4) \quad .$$

Für  $z = h$  folgt dann ohne weiteres:

$$\underline{\underline{x_{\text{max}} = c_{\text{omax}} \cdot \sqrt{2 \cdot h/g}}} \quad (5) \quad .$$

b)  $x_m$  :

Sinngemäß berechnet sich diese Größe mittels (5) zu :

$$\underline{\underline{x_m = c_{\text{om}} \cdot \sqrt{2 \cdot h/g}}} \quad (6) \quad .$$

c)  $x_{\text{min}}$  :

Desgleichen ergibt sich hier :

$$\underline{\underline{x_{\text{min}} = c_{\text{omin}} \cdot \sqrt{2 \cdot h/g}}} \quad (7) \quad .$$

d)  $T_1 ; T_2 ; T_3$  :

Die erforderlichen Fallzeiten  $T_i$  lassen sich einfach mit dem Zusammenhang :

$$T_i = x_{i,\text{Boden}} / c_{\text{oi}} \quad \text{für } i = \text{max, m, min} \quad (8)$$

berechnen. Dabei fällt auf, daß alle drei Fallzeiten gleich groß sind:

$$\underline{T_1 = T_2 = T_3 = T = \sqrt{2 \cdot h / g}} \quad (9).$$

e) Gleichung der Strombahn im instationären Fall:

Zuerst bestimme man die Konstante  $k$  für die Gleichung, mit welcher die Austrittsgeschwindigkeit an der Düse bestimmt wird:

$$c_o = c_{o\max} - k \cdot t \quad (10).$$

Also gilt laut Angaben:

$$\underline{k = (c_{o\max} - c_{o\min}) / T} \quad (11).$$

Damit schreibt sich die Beziehung (10) wie folgt an:

$$\underline{c_o = c_{o\max} - (c_{o\max} - c_{o\min}) \cdot t / T} \quad (12).$$

Aus den Beziehungen (1) und (2) folgt mit (12) die Parameterdarstellung der Strombahn:

$$\left\{ \begin{array}{l} x = \left[ c_{o\max} - (c_{o\max} - c_{o\min}) \cdot t / T \right] \cdot t \quad (13) \text{ und} \\ z = 0,5 \cdot g \cdot t^2 \quad (14) \end{array} \right.$$

Würde man hierin den Parameter  $t$  eliminieren, dann bekäme man eine Hyperbel vierten Grades. Aus Gründen einfacher Weiterrechnung begnüge man sich mit der Parameterform.

Ein ausfließender materieller Punkt befindet sich nach der Zeit  $T$  in  $P'$ , Bild 11-5.

Aus der Tatsache, daß ein elementarer Strombahnbogen mit einem elementaren Stromlinienbogen deckungsgleich ist, folgt, daß der bewegte Massenpunkt während seiner Bahn ständig eine andere Stromlinie berührt!—Das veranschaulicht besonders Bild 11-5, Pos. b, und zwar für den Fall, daß die Ventilverstellung in Stufen erfolgt, und nicht stetig wie vorher (Pos. a).

Macht man durch ein Kontrastmittel Wasserteilchen sichtbar, so läßt sich mittels einer Filmkamera die Strombahn feststellen. Die Beobachtungen erleichtert man sich durch Mitaufnahme einer hintergründigen Schirmbildraasterung.

f)  $x_{\max} ; x_m ; x_{\min} ; T_i :$

Aus Beziehung (5) folgt:

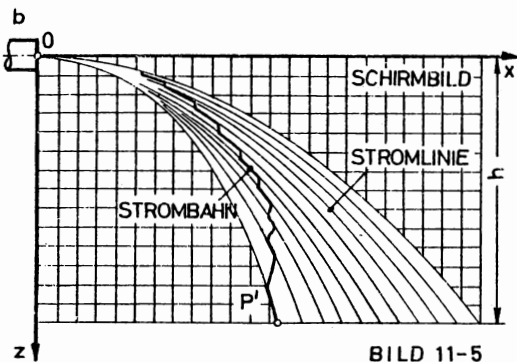
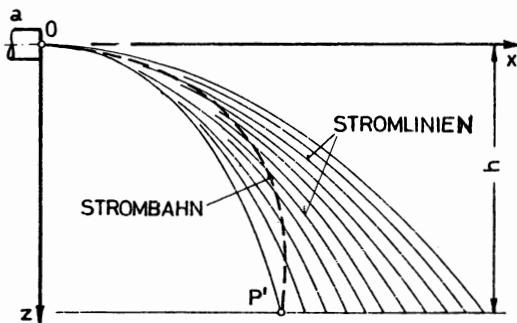


BILD 11-5

$$x_{\max} = 1 \cdot \sqrt{2.1/9.81}$$

$$\underline{x_{\max} = 0,4515 \text{ m} ;}$$

(12): für  $t = T/2$  erhält man für  $c_{om}$ :

$c_{om} = 0,9 \text{ m/s}$ , womit sich ergibt:

$$(6): x_m = 0,9 \cdot \sqrt{2.1/9.81}$$

$$\underline{x_m = 0,4064 \text{ m} ; \text{ ebenso:}}$$

$$(7): \underline{x_{\min} = 0,3612 \text{ m.}}$$

$$(9): T_i = T = \sqrt{2.1/9.81};$$

$$\underline{T = 0,4515 \text{ s} .}$$

g) Strombahngleichung für den Fall e) und f):

Wenn man die Angaben in (13) und (14) einsetzt, dann erhält man:

$$\underline{x = \left[ 1 - \frac{1 - 0,8}{0,4515} \cdot t \right] \cdot t = \underline{\underline{(1 - 0,4430 \cdot t) \cdot t}} \quad (15).$$

$$\text{Außerdem erhält man: } \underline{\underline{z = 0,5 \cdot g \cdot t^2}} \quad (16).$$

Auch hier begnüge man sich mit der Parameterdarstellung.

### 11.1.3. Beschleunigungen

#### 11.1.3.1. Theorie

Aus der Festkörpermechanik kennt man die Beschleunigung als die zeitliche Änderung der Geschwindigkeit:

$$\vec{a} = \frac{d\vec{c}}{dt} = \frac{d}{dt} \vec{c}(x, y, z, t) \quad (11-10).$$

Dieser Ausdruck läßt sich mit Hilfe des totalen Differentials von  $\vec{c}$  weiterentwickeln:

$$\vec{a} = \frac{\frac{\partial \vec{c}}{\partial t} dt + \frac{\partial \vec{c}}{\partial x} dx + \frac{\partial \vec{c}}{\partial y} dy + \frac{\partial \vec{c}}{\partial z} dz}{dt} \quad (11-11).$$

$$\vec{a} = \frac{\partial \vec{c}}{\partial t} + \frac{\partial \vec{c}}{\partial x} \cdot c_x + \frac{\partial \vec{c}}{\partial y} \cdot c_y + \frac{\partial \vec{c}}{\partial z} \cdot c_z$$

Der nur von der Zeit abhängige Beschleunigungsanteil  $(\partial \vec{c} / \partial t)$  ist unter dem Begriff "Lokalbeschleunigung" bekannt.

Der nur vom Ort abhängige Beschleunigungsanteil heißt "konvektive Beschleunigung".

Die Beschleunigung  $\vec{a}$  wird manchmal auch Totalbeschleunigung oder "substantielle Beschleunigung" genannt, weil die Stromlinie eine substantielle (materielle) Linie ist.

In der Gl.(11-11) könnte man rein formal  $\vec{c}$  "ausklammern". Unter dem Restausdruck verstehe man einen "symbolischen Operator", der bei

Multiplikation mit  $\vec{c}$  zur substantiellen Beschleunigung führt:

$$\vec{a} = \left( \frac{\partial}{\partial t} + c_x \cdot \frac{\partial}{\partial x} + c_y \cdot \frac{\partial}{\partial y} + c_z \cdot \frac{\partial}{\partial z} \right) \vec{c} = \frac{\partial \vec{c}}{\partial t} + (\vec{c} \cdot \nabla) \vec{c} \quad (11-12).$$

Die Komponenten der Beschleunigung lauten bezüglich des kartesischen Koordinatensystems:

$$\begin{aligned} a_x &= \frac{\partial c_x}{\partial t} + c_x \cdot \frac{\partial c_x}{\partial x} + c_y \cdot \frac{\partial c_x}{\partial y} + c_z \cdot \frac{\partial c_x}{\partial z} \\ a_y &= \frac{\partial c_y}{\partial t} + c_x \cdot \frac{\partial c_y}{\partial x} + c_y \cdot \frac{\partial c_y}{\partial y} + c_z \cdot \frac{\partial c_y}{\partial z} \\ a_z &= \frac{\partial c_z}{\partial t} + c_x \cdot \frac{\partial c_z}{\partial x} + c_y \cdot \frac{\partial c_z}{\partial y} + c_z \cdot \frac{\partial c_z}{\partial z} \end{aligned} \quad (11-13).$$

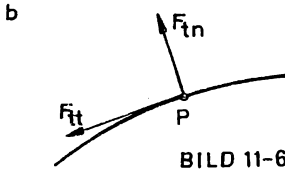
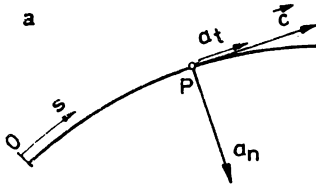


BILD 11-6

Führt man hier wie in Abschn. 9.1 die natürlichen Koordinaten ein (vgl. Gl. 9-11 und 9-12), Bild 11-6, dann ergibt sich für die Tangentialbeschleunigung (Pos. a) :

$$a_t = \frac{dc(s,t)}{dt} = \frac{\frac{\partial c}{\partial t} \cdot dt + \frac{\partial c}{\partial s} \cdot ds}{dt} = \frac{\partial c}{\partial t} + c \cdot \frac{\partial c}{\partial s}$$

(11-14).

Für die Normalbeschleunigung erhält man in diesem Zusammenhang:

$$a_n = c^2 / R$$

(11-15).

Unter R versteht man den Krümmungsradius der Bahn.

Die entsprechenden Massenträgheitskräfte ( $F_{tt}$  und  $F_{tn}$ ) sind im Sinne des d'Alembertschen Prinzips den beiden Beschleunigungen entgegengesetzt gerichtet (Bild 11-6, Pos. b).

### 11.1.3.2. Beispiel

Allgemein gesprochen, kann sich ein Geschwindigkeitsvektor nach dem Betrag und der Richtung ändern. Bleiben beide Größen konstant, dann spricht man von einer gleichförmigen Bewegung, welche die Geradlinigkeit impliziert.

Bereits bei der Änderung nur einer Größe spricht man von einer ungleichförmigen Bewegung, die gleichmäßig oder ungleichmäßig beschleunigt/verzögert sein kann. An Hand der beiden Gl. (11-14) und (11-15) sowie der einschlägigen Definitionen soll eine Klassifikation der Bewegungsarten in groben Umrissen gegeben werden.

### Lösung:

Wenn die Geschwindigkeit und die Beschleunigungsanteile verschiedene Werte annehmen, dann kann man folgende Einteilung vornehmen:



Geschwindigkeit $c$	Beschleunigungen		normal: $a_n$	Bezeichnungen
	tangential: $a_t$			
	lokal	konvektiv		
$c \equiv 0$	$\frac{\partial c}{\partial t} \equiv 0$	$c \cdot \frac{\partial c}{\partial s} \equiv 0$	$a_n \equiv 0$	Ruhezustand
$c \equiv \text{const}$	$\frac{\partial c}{\partial t} \equiv 0$	$c \cdot \frac{\partial c}{\partial s} \equiv 0$	$a_n \equiv 0$	gleichförmige Bew.: stationär
$c \equiv \text{const}$	$\frac{\partial c}{\partial t} \equiv 0$	$c \cdot \frac{\partial c}{\partial s} \equiv 0$	$a_n \equiv \text{const}$	ungleichförmige Bew.; gleichmäßig beschl. Kreisbewegung bei konst. Umfangsgeschw.: stationär
$c \equiv \text{const}$	$\frac{\partial c}{\partial t} \equiv 0$	$c \cdot \frac{\partial c}{\partial s} \equiv 0$	$a_n \neq \text{const}$	ungleichförmige, krummlinige Bewegung: stationär
$c \neq \text{const}$	$\frac{\partial c}{\partial t} \equiv 0$	$c \cdot \frac{\partial c}{\partial s} \neq 0$	$a_n \equiv 0$	ungleichförmige, gerad- linige Bewegung: stationär
$c \neq \text{const}$	$\frac{\partial c}{\partial t} \neq 0$	$c \cdot \frac{\partial c}{\partial s} \equiv 0$	$a_n \neq 0$	ungleichförmige, krummlinige Bewegung bei $c(s) = \text{const}$ , aber $c(t) \neq \text{const}$ : instationär
$c \neq \text{const}$	$\frac{\partial c}{\partial t} \neq 0$	$c \cdot \frac{\partial c}{\partial s} \neq 0$	$a_n \neq 0$	ungleichförmige, all- gemeinste Bewegung: instationär .

## 11.2. Kontinuitätsbedingung

### 11.2.1. Für Stromröhre bei stationärer Strömung

#### Relativ kleiner Strömungsquerschnitt (Stromfaden)

Ein Kontrollvolumen (Kontrollraum) befinde sich in einer dünnen Stromröhre zwischen den Kontrollebenen (Strömungsquerschnitten) 1 und 2, Bild 11-7, Pos. a. Nach dem Zeitintervall  $\Delta t$  befinden sich die materiellen Punkte der Kontrollebene 1 nun in 1' und diejenigen von 2 in 2'. Wegen der Massenerhaltung in den Kontrollräumen 12 und 1'2' gilt  $m_{12} = m_{1'2'}$ . Versteht man unter  $\Delta m_1$  die im Zeitintervall  $\Delta t$  in den Kontrollraum 1'2' eingeströmte Masse und unter  $\Delta m_2$  die im selben Zeitintervall aus dem Kontrollraum 12 ausgetretene Masse, dann gilt auch:

$$m_{12} = \Delta m_1 + m_{1'2'} = m_{1'2'} = m_{1'2'} + \Delta m_2 \quad .$$

Daraus ergibt sich, weil die Masse  $m_{1'2'}$  beiden Kontrollräumen eigen ist:  $\Delta m_1 = \Delta m_2$ . - Mit Hilfe der Querschnitte  $A_1$  und  $A_2$ , den Geschwindigkeiten  $c_1$  und  $c_2$  (konstante Verteilung über die Querschnitte vorausgesetzt) und den Dichten  $\varrho_1$  und  $\varrho_2$  (ebenfalls gleiche Verteilung über die Querschnitte vorausgesetzt) erhält man:

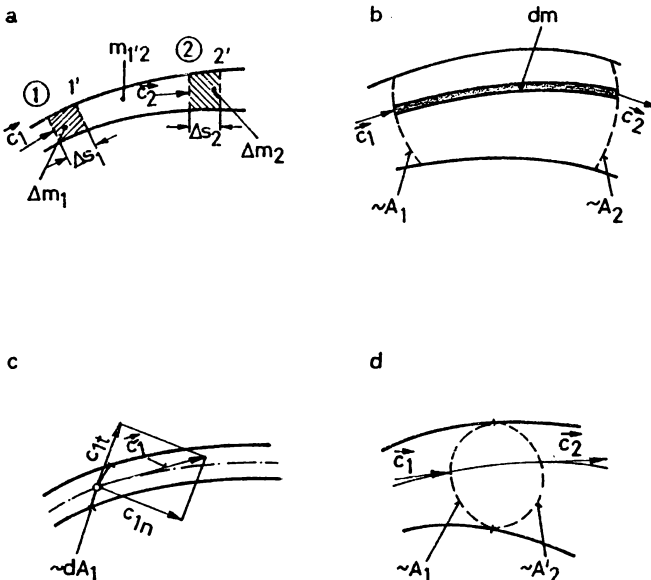


BILD 11-7

$$\varrho_1 \cdot \Delta V_1 = \varrho_2 \cdot \Delta V_2$$

$$\varrho_1 \cdot A_1 \cdot \Delta s_1 = \varrho_2 \cdot A_2 \cdot \Delta s_2$$

$$\boxed{\varrho_1 \cdot A_1 \cdot c_1 \cdot \Delta t = \varrho_2 \cdot A_2 \cdot c_2 \cdot \Delta t} \quad .$$

Kürzt man diesen Ausdruck mit  $\Delta t$ , dann erhält man die Kontinuitätsgleichung für ein dünnes Stromrohr bei stationärer Strömung und senkrecht auf dem Strömungsquerschnitt stehendem Geschwindigkeitsvektor:

$$\boxed{\varrho_1 \cdot A_1 \cdot c_1 = \varrho_2 \cdot A_2 \cdot c_2 = \varrho \cdot A \cdot c = \text{const}} \quad (11-16).$$

Das gesamte Produkt heißt Massenstrom und wird in kg/s gemessen:

$$\boxed{\dot{m} = \varrho \cdot A \cdot c} \quad (11-17).$$

Verzweigt sich ein Stromrohr, Bild 11-8, Pos. a, dann ist der Anfangsmassenstrom gleich der arithmetischen Summe der Zweigmassenströme:

$$\dot{m} = \dot{m}_1 + \dot{m}_2 + \dot{m}_3 \quad .$$

Der Beweis folgt aus der Anschauung bezüglich der Massenstrombilanz am Kontrollraum K.

Werden mehrere Massenströme zusammengeführt (Bild 11-8, Pos. b), dann lautet sinngemäß der gesamte Endmassenstrom:

$$\dot{m}_4 + \dot{m}_5 + \dot{m}_6 = \dot{m} \quad .$$

Hat man es mit mehreren zu- und abfließenden Massenströmen zu tun, liegt also eine Art "Knotenpunkt" vor, dann gilt doch (Bild 11-8, Pos. c):

$$\dot{m}_1 + \dot{m}_2 + \dot{m}_3 = \dot{m} = \dot{m}_4 + \dot{m}_5 + \dot{m}_6 \quad .$$

Die algebraische Gesamtsumme der Massenströme führt aber zur berühmten Kirchhoffschen "Knotenpunktsregel", die sowohl in der Fluidmechanik als auch in der Elektrotechnik gilt:

$$\boxed{\sum \dot{m}_i = 0} \quad (11-18).$$

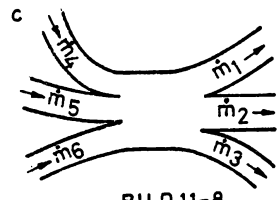
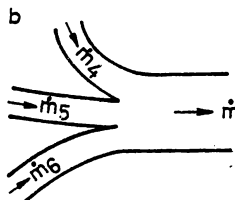
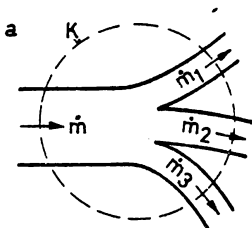


BILD 11-8

Der Massenstrom ist nach Gl.(11-17) mit Hilfe der örtlichen Absolutgeschwindigkeit zu Recht gebildet worden. Berücksichtigt man in diesem Zusammenhang nun Gl.(9-7), den ersten Satz von Coriolis, so folgt auch der vektoriellen Schreibweise wegen nach Orientierung der Fläche  $dA$  mittels eines Normalenvektors  $\vec{n}$  :

$$\dot{m} = \varrho \cdot A \cdot c = \varrho \cdot \int_{(A)} \vec{n} \cdot \vec{c} \cdot dA = \varrho \cdot \int_{(A)} \vec{n} \cdot (\vec{v} + \vec{w}) \cdot dA \quad ;$$

die Dichte  $\varrho$  darf unter der Annahme konstanter Dichteverteilung vor das Integral gesetzt werden. Die weitere Aufgliederung des Integranden führt zu nachstehendem Ausdruck:

$$\begin{array}{l} \dot{m} = \varrho \cdot \underbrace{\int_{(A)} \vec{n} \cdot \vec{v} \cdot dA}_{\dot{m}_F} + \varrho \cdot \underbrace{\int_{(A)} \vec{n} \cdot \vec{w} \cdot dA}_{\dot{m}_R} \\ \dot{m} = \dot{m}_F + \dot{m}_R \end{array} \quad (11-19).$$

$\dot{m}_F$  entspricht dem Anteil an Massenstrom aufgrund der Fahrzeugbewegung,  $\dot{m}_R$  ist der relative Massenstrom, gemessen mittels der Relativgeschwindigkeit.

Auf diesen Zusammenhang wird besonders in Abschn. 12.2 , 12.3 und 19 ( Beispiele aus dem Gebiet der Strömungsmaschinen ) eingegangen werden.

Für ein inkompressibles Fluid:  $\varrho(x,y,z) \equiv \text{const} \rightarrow \varrho_1 = \varrho_2 = \varrho$  , vereinfacht sich die Kontinuitätsgleichung (Gl. 11-16) zu:

$$\boxed{A_1 \cdot c_1 = A_2 \cdot c_2 = A \cdot c = \text{konst}} \quad (11-20),$$

wobei man das Produkt Volumenstrom nennt; er wird in  $\text{m}^3/\text{s}$  gemessen:

$$\boxed{\dot{V} = A \cdot c} \quad (11-21).$$

Die Stromröhre verhält sich in diesem Unterabschnitt wie ein Stromfaden.

Bemerkung:

In der klassischen Mechanik (Newton) bleibt die Masse eines bewegten Körpers konstant. In der relativistischen Mechanik (Einstein) wird zwischen der Ruhemasse  $m_0$  und der bewegten Masse  $m_b$  unterschieden. Mit Hilfe des Lorentz-Faktors  $\sqrt{1 - c^2/c_L^2}$  entsteht folgender Zusammenhang:

$$m_b = m_0 / \sqrt{1 - c^2/c_L^2} \quad (11-22).$$

Es bedeutet  $c_L = 300 \cdot 10^6$  m/s die Lichtgeschwindigkeit. In der Fluidmechanik sind die Geschwindigkeiten sehr viel kleiner als  $c_L$ . Die notwendige Höchstgeschwindigkeit in der Raumfahrt beträgt beispielsweise  $c = 11,2 \cdot 10^3$  m/s, auch als zweite kosmische Geschwindigkeit bekannt. Der Korrekturfaktor ist hierbei  $\sqrt{1 - 1,395 \cdot 10^{-9}} \approx 1$ , der die Annahme konstanter Masse - ohne Abbrand natürlich - zuläßt. Meteore können noch höhere Geschwindigkeiten erreichen, aber infolge der Erhitzung sind Dissoziationsprozesse vorhanden, so daß das Fluid in die Plasmaphase überwechselt.

Relativ großer Strömungsquerschnitt

In Bild 11-7, Pos. b, ist eine relativ dicke Stromröhre gezeigt. Krümme Querschnittsflächen  $A_1$  und  $A_2$  begrenzen den Kontrollraum. Aus ihm greife man einen differentiellen Stromfaden von der Masse  $dm$  heraus, und zwar im Sinne des Masseninhaltes einer differentiellen Stromröhre.

Hier gilt für die im Zeitintervall  $dt$  eintretende Masse  $dm_1$  und die austretende Masse  $dm_2$  gleichfalls:  $dm_1 = dm_2$ . Da die Geschwindigkeit  $\vec{c}_1$  nicht senkrecht auf dem krummen Querschnittsflächenelement  $dA_1$  steht, empfiehlt sich eine Komponentenaufteilung normal und tangential zu  $dA_1$  (Bild 11-7, Pos. c).

Die Tangentialkomponente  $c_{1t}$  kann zum Massenstrom nichts beitragen; nur die Normalkomponente  $c_{1n}$  ist dazu in der Lage. Mit Hilfe eines Normalenvektors erhält man dann für die Kontinuitätsgleichung in der allgemeingültigen Form:

$$\dot{m} = \int_{(A_1)} d\dot{m} = \int_{(A_1)} \varrho \cdot \vec{n} \cdot \vec{c} \cdot dA = \int_{(A_2)} \varrho \cdot \vec{n} \cdot \vec{c} \cdot dA \quad (11-23).$$

Bei inkompressibler Strömung ( $\varrho = \text{const}$ ) folgt vereinfachend wegen

der Dichtekonstanz für den Volumenstrom:

$$\dot{V} = \int_{(A)} d\dot{V} = \int_{(A_1)} \vec{n} \cdot \vec{c} \cdot dA = \int_{(A_2)} \vec{n} \cdot \vec{c} \cdot dA \quad (11-24).$$

### 11.2.2. Für Volumenbereich bei stationärer Strömung

Die krummen Querschnittsflächen  $A_1$  und  $A_2'$  mögen derart zusammenrücken, daß sie eine geschlossene Fläche  $A$  bilden (Bild 11-7, Pos. d). Hier gilt nun in Anlehnung an Gl.(11-23) für den Massenstrom:

$$\dot{m}_1 = \int_{(A_1)} \varrho \cdot \vec{n} \cdot \vec{c} \cdot dA = \dot{m}_2' = \int_{(A_2')} \varrho \cdot \vec{n} \cdot \vec{c} \cdot dA \quad \text{oder:}$$

$$\int_{(A_1)} \varrho \cdot \vec{n} \cdot \vec{c} \cdot dA - \int_{(A_2')} \varrho \cdot \vec{n} \cdot \vec{c} \cdot dA = \oint_{(A)} \varrho \cdot \vec{n} \cdot \vec{c} \cdot dA = 0 \quad (11-25).$$

Analogerweise gilt im inkompressiblen Fall ( $\varrho = \text{const}$ ) für den Volumenstrom:

$$\int_{(A_1)} \vec{n} \cdot \vec{c} \cdot dA - \int_{(A_2')} \vec{n} \cdot \vec{c} \cdot dA = \oint_{(A)} \vec{n} \cdot \vec{c} \cdot dA = 0 \quad (11-26).$$

mit  $A = A_1 + A_2'$

Die zweite Integralformel von Gauß heißt:

$$\oint_{(A)} \vec{n} \cdot \vec{c} \cdot dA = \int_{(V)} \text{div } \vec{c} \cdot dV \quad (11-27).$$

Damit läßt sich die Kontinuitätsbedingung im inkompressiblen Fall, dargestellt durch die Gl.(11-26), auch noch anschreiben:

$$\text{div } \vec{c} = 0 \quad (11-28).$$

Man versteht unter der DIVERGENZ von  $\vec{c}$  :  $\text{div } \vec{c} = \nabla \cdot \vec{c}$  das skalare Produkt des Symbolvektors

$$\nabla = i \frac{\partial}{\partial x} + j \frac{\partial}{\partial y} + k \frac{\partial}{\partial z}$$

mit dem Geschwindigkeitsvektor

$$\vec{c} = i \cdot c_x + j \cdot c_y + k \cdot c_z \quad . \quad \text{Das ergibt}$$

schließlich:

$$\begin{aligned} \nabla \cdot \vec{c} = \text{div } \vec{c} &= \left( i \frac{\partial}{\partial x} + j \frac{\partial}{\partial y} + k \frac{\partial}{\partial z} \right) \cdot (i \cdot c_x + j \cdot c_y + k \cdot c_z) \\ &= \frac{\partial c_x}{\partial x} + \frac{\partial c_y}{\partial y} + \frac{\partial c_z}{\partial z} = 0 \end{aligned} \quad (11-29).$$

Die Kontinuitätsbedingung für den kompressiblen Fall erhält man dadurch, daß die zweite Integralformel von Gauß in der Gl.(11-25) auf den Vektor  $(\varrho \cdot \vec{c})$  angewendet wird.

$$\oint_{(A)} \varrho \cdot \vec{n} \cdot \vec{c} \cdot dA = \oint_{(A)} \vec{n} \cdot (\varrho \cdot \vec{c}) \cdot dA = \int_{(V)} \nabla \cdot (\varrho \cdot \vec{c}) \cdot dV = \int_{(V)} \text{div}(\varrho \cdot \vec{c}) \cdot dV = 0 \quad (11-30).$$

Daraus folgt einfach:

$$\nabla \cdot (\varrho \cdot \vec{c}) = \text{div}(\varrho \cdot \vec{c}) = 0 \quad (11-31).$$

Hier ist auch:

$$\nabla \cdot (\varrho \cdot \vec{c}) = (\nabla \cdot \varrho) \cdot \vec{c} + \varrho \cdot (\nabla \cdot \vec{c}) \quad \text{oder}$$

$$\nabla \cdot (\varrho \cdot \vec{c}) = \vec{c} \cdot \text{grad } \varrho + \varrho \cdot \text{div } \vec{c} = 0 \quad (11-32).$$

Die Integrationsgebiete in der Gl.(11-27) sind durch die gesamte Grenzfläche A und durch den Kontrollraum V vorgegeben. Für weitere

Anwendungen ist die Gl.(11-29) wichtig !

### 11.2.3. Stromfunktion von Stokes

Man betrachte nun eine ebene Fluidbewegung. Hier liegen in allen Parallelebenen  $\varepsilon_1, \varepsilon_2, \varepsilon_3$  usw., Bild 11-9, gleiche Zustände und Bewegungs-

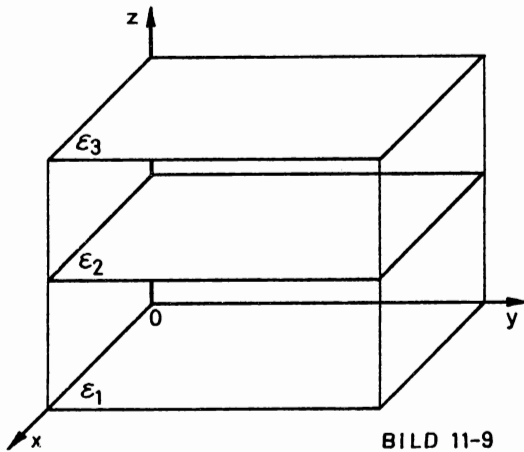


BILD 11-9

verhältnisse vor. Demnach sind die partiellen Ableitungen aller physikalischen Größen in der z-Richtung identisch null. Unter anderem ist also auch die Geschwindigkeitskomponente  $c_z \equiv 0$ . Somit reduziert sich die Kontinuitätsgleichung für eine ebene und inkompressible Strömung nach Gl.(11-28)

zu:

$$(1) \operatorname{div} \vec{c} = \frac{\partial c_x}{\partial x} + \frac{\partial c_y}{\partial y} = 0.$$

Weiterhin schrumpfen

die beiden Differentialgleichungen für die Stromlinien nach Gl.(11-7) auf eine zusammen:

$$(2) \quad dx / c_x(x,y) = dy / c_y(x,y) \quad \text{Diese Dgl. wird umgeformt:}$$

$$(3) \quad -c_y \cdot dx + c_x \cdot dy = 0 \quad \text{Man könnte sie in geeigneter Weise integrieren, wenn das totale Differential } d\psi \text{ einer Funktion } \psi \text{ vorläge:}$$

$$(4) \quad d\psi = \frac{\partial \psi}{\partial x} \cdot dx + \frac{\partial \psi}{\partial y} \cdot dy = -c_y \cdot dx + c_x \cdot dy = 0 \quad \text{.- Dabei wäre:}$$

$$(5) \quad \boxed{c_y = -\partial \psi / \partial x \quad \text{und} \quad c_x = \partial \psi / \partial y} \quad (11-33).$$

Die Beziehungen (4) und (5) haben ihre Richtigkeit, wenn nach dem Satz



von L.Schwartz die gemischten Ableitungen gleich sind:

$$(6) \quad \frac{\partial^2 \psi}{\partial x \cdot \partial y} = \frac{\partial}{\partial x} \left( \frac{\partial \psi}{\partial y} \right) = \frac{\partial}{\partial y} \left( \frac{\partial \psi}{\partial x} \right) \quad (11-33 a).$$

Prüft man (4) mit Hilfe von (6) nach, dann ergibt sich:

$$(7) \quad \frac{\partial}{\partial x} (+ c_x) = \frac{\partial}{\partial y} (- c_y) \quad \text{.- Daraus folgt: } \frac{\partial c_x}{\partial x} + \frac{\partial c_y}{\partial y} = 0.$$

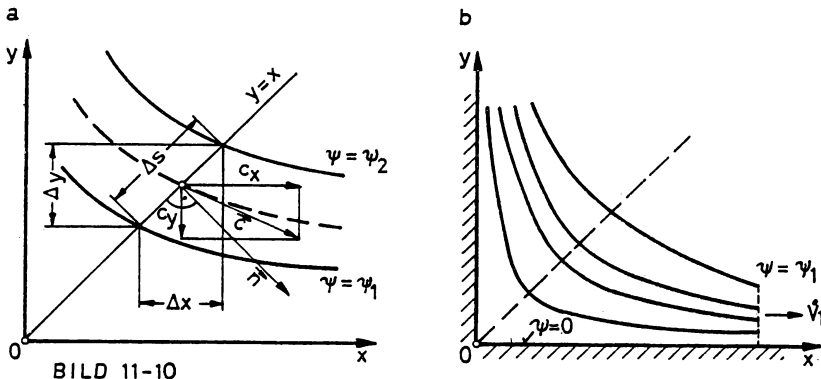
Diese Beziehung ist aber in Ordnung, wenn die Kontinuitätsgleichung nach (1) erfüllt wird:

Immer wenn die Kontinuitätsbedingung erfüllt ist, existiert eine Funktion  $\psi$ .

Aus  $d\psi(x,y) = 0$  folgt sofort:

$$\psi(x,y) = \text{Konst} \quad (11-33b).$$

Diese Gleichung beschreibt eine Stromlinienschar, und  $\psi$  wird Stromfunktion genannt. Jeder Stromlinie entspricht eine andere Konstante. Die Stromfunktion  $\psi$  besitzt eine aufschlußreiche physikalische Bedeutung, Bild 11-10:



Die Differenz parametrischer Werte der Stromfunktion  $\Delta \psi = \psi_2 - \psi_1$  entspricht gerade dem Volumenstrom, der zwischen den beiden Stromlinien hindurchfließt.

Beweis:

Zwei benachbarte Stromlinien  $\psi = \psi_1$  und  $\psi = \psi_2$  werden von der Geraden  $y = x$  geschnitten (Bild 11-10, Pos. a). Betragsmäßig gilt bei einer Tiefe von 1 m (senkrecht auf der Bildebene gerechnet) für den Teilvolumenstrom  $\Delta \dot{V}$ , welcher zwischen den beiden Stromlinien aufgrund der Komponentenanteile hindurchströmt:

$$(8) \quad \Delta \dot{V} = \vec{n} \cdot \vec{c} \cdot \Delta s = |c_y| \cdot \Delta x + |c_x| \cdot \Delta y .$$

Beziehung (4) kann auch mit endlichen Differenzen angeschrieben werden:

$$(9) \quad \Delta \psi = \frac{\partial \psi}{\partial x} \cdot \Delta x + \frac{\partial \psi}{\partial y} \cdot \Delta y \quad \text{oder:} \quad \Delta \psi = -c_y \cdot \Delta x + c_x \cdot \Delta y .$$

Vergleicht man nun (8) mit (9), dann fällt sofort auf, daß

$$\Delta \dot{V} = \Delta \psi = \psi_2 - \psi_1$$

ist! - Wenn man auch eine feste Wand mit einer Stromlinie identifiziert, sie also gleichfalls mit einer Stromfunktion beschreibt (Bild 11-10, Pos. b), dann kann man dem parametrischen Wert einer Stromfunktion folgende anschauliche Bedeutung abgewinnen:

Der parametrische Wert einer Stromlinie  $\psi = \psi_1$  gibt an, welcher Teilvolumenstrom zwischen einer festen Orientierungswand und der Stromlinie selbst hindurchströmt ( $\dot{V}_1 = \psi_1$ ). Insofern ist nunmehr die Bedeutung von  $\Delta \psi$  augenfällig.

Für  $\psi_1 \rightarrow 0$ , geht  $\dot{V}_1 \rightarrow 0$ ; damit lautet die Gleichung der Grenzlinie (feste Wand):  $\psi(x, y) = 0$ .

Die Ableitung der Stromlinie ergab sich zwar aus einer Betrachtung der ebenen Strömung. Es ist aber einzusehen, daß im Raume analoge Zusammenhänge bestehen werden. Man denke nur an eine Körperumströmung im Raume. Hier werden keine Stromlinien den Fluidbereich ordnen helfen, sondern Stromflächen, zwischen denen sich Teilvolumenströme bewegen werden.

#### 11.2.4. Kontinuitätsbedingung bei instationärer Strömung

##### Stromröhre von relativ kleinem Querschnitt (Stromfaden)

In Bild 11-11 sind für ein dünnes Stromrohr Angaben für den instationären Fall gemacht worden.

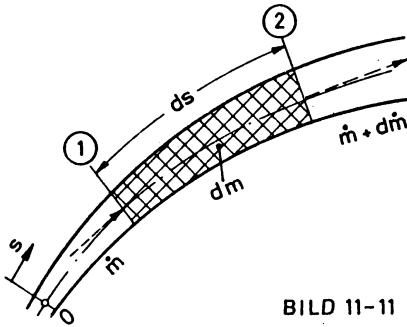


BILD 11-11

Wenn in die Kontrollebene 1 der Massenstrom  $\dot{m}$  eintritt und den Kontrollraum in der Kontrollebene 2 mit der Größe  $(\dot{m} + d\dot{m})$  verläßt, dann muß der Masseninhalt  $dm$  des Kontrollraumes eine zeitliche Abnahme zu verzeichnen haben, was in folgender Bilanz zum Ausdruck kommt:

$$\frac{\partial \dot{m}}{\partial s} ds = - \frac{\partial (dm)}{\partial t} .$$

Entwickelt man diesen Ausdruck bei Anwendung von Gl.(11-17) weiter, so zeigt sich:

$$\frac{\partial}{\partial s} (\rho \cdot A \cdot c) \cdot ds + \frac{\partial}{\partial t} (\rho \cdot A \cdot ds) = 0 .$$

Nach Kürzung durch  $ds$  heißt die Kontinuitätsgleichung bei instationärer Strömung bezüglich einer Stromröhre relativ kleinen Querschnitts:

$$\frac{\partial}{\partial s} (\rho \cdot A \cdot c) + \frac{\partial}{\partial t} (\rho \cdot A) = \frac{\partial}{\partial s} (\rho \cdot \dot{V}) + \frac{\partial (\rho \cdot A)}{\partial t} = 0 \quad (11-34).$$

Im Falle der Inkompressibilität kann  $\rho$  gekürzt werden. Es bleibt dann:

$$\frac{\partial}{\partial s} (A \cdot c) + \frac{\partial A}{\partial t} = \frac{\partial \dot{V}}{\partial s} + \frac{\partial A}{\partial t} = 0 \quad (11-35).$$

#### Stromröhre von relativ großem Querschnitt

In Gl.(11-34) sind Dichte und Geschwindigkeit jeweils konstant über der Fläche anzunehmen. Dies gilt natürlich bei einem relativ großen Querschnitt  $A$  nicht mehr. Vielmehr sind die obigen Klammerausdrücke, wie z.B. in Gl.(11-34), als Flächenintegrale zu bestimmen:

$$\frac{\partial}{\partial s} \int_{(A)} \rho \cdot \vec{n} \cdot \vec{c} \cdot dA + \frac{\partial}{\partial t} \int_{(A)} \rho \cdot dA = 0 .$$

Der zweite Term wird nun folgendermaßen umgeformt:

$$\begin{aligned} \frac{\partial}{\partial t} \int_{(A)} \rho \cdot dA &= \int_{(A)} \frac{\partial}{\partial t} (\rho \cdot dA) = \int_{(A)} \frac{\partial \rho}{\partial t} \cdot dA + \underbrace{\int_{(A)} \rho \cdot \frac{\partial (dA)}{\partial t}}_{= \int_{(A)} d(\rho \cdot \frac{\partial A}{\partial t})} = 0 \end{aligned}$$

Somit ergibt sich:

$$\boxed{\frac{\partial}{\partial s} \int_{(A)} \rho \cdot \vec{n} \cdot \vec{c} \cdot dA + \int_{(A)} \frac{\partial \rho}{\partial t} \cdot dA + \int_{(A)} d(\rho \cdot \frac{\partial A}{\partial t}) = 0} \quad (11-36).$$

Diese Gleichung vereinfacht sich im inkompressiblen Fall zu:

$$\boxed{\frac{\partial}{\partial s} \int_{(A)} \vec{n} \cdot \vec{c} \cdot dA + \frac{\partial A}{\partial t} = 0} \quad (11-37).$$

#### Im Volumenbereich

In Abschn. 11.2.2 ist die Kontinuitätsbedingung für den Volumenbereich stationärer Strömungen abgehandelt worden. Die Massenstrombilanz war null, weil ein- und austretender Massenstrom gleich groß waren. Ist aber z.B. der austretende Massenstrom größer als der eintretende bezüglich des Kontrollraumes, dann muß sich die Masse im Kontrollraum verringert haben, denn die Massenerhaltung im Kontrollbereich muß ja gewährleistet sein!

Dieser Sachverhalt läßt sich zusammen mit Gl. (11-30) folgendermaßen angeben:

$$\operatorname{div} (\rho \cdot \vec{c}) \cdot dV = - \frac{\partial}{\partial t} (dm) = - \frac{\partial}{\partial t} (\rho \cdot dV) \quad ;$$

nach Kürzung durch  $dV$  ergibt sich die Kontinuitätsgleichung für den Volumenbereich und instationäre Strömung:

$$\boxed{\begin{aligned} \operatorname{div} (\rho \cdot \vec{c}) + \frac{\partial \rho}{\partial t} &= 0 \quad \text{oder:} \quad \nabla (\rho \cdot \vec{c}) + \frac{\partial \rho}{\partial t} = 0 \\ \text{oder:} \quad \rho \cdot \operatorname{div} \vec{c} + \vec{c} \cdot \operatorname{grad} \rho + \frac{\partial \rho}{\partial t} &= 0 \end{aligned}} \quad (11-38).$$

Für den Fall der Inkompressibilität und ständig voll ausgefülltem Kontrollvolumen entartet die letzte Gleichung zu  $\text{div } \vec{c} = 0$ . Das ist aber die Kontinuitätsgleichung nach Gl.(11-28) im stationären Strömungsfall. Mit anderen Worten: Eine instationäre Strömung im inkompressiblen Fall bei ständig ausgefülltem Kontrollvolumen ist unmöglich!

### 11.2.5. Beispiele

#### 1. Beispiel

Die Geschwindigkeit einer gleichförmigen Fließbewegung beträgt  $c = 2 \text{ m/s}$  und verläuft in Richtung der Geraden  $x = y = z$ , Bild 11-12. Strömungsmedium ist Wasser.

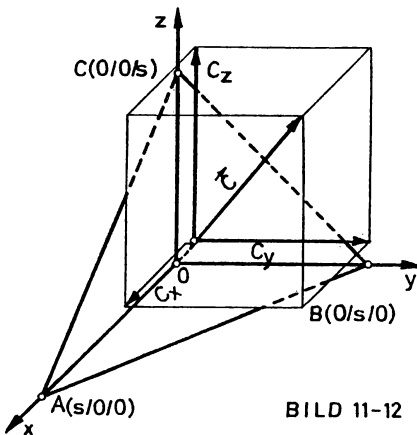


BILD 11-12

- Man ermittle den Volumenstrom bezüglich der Dreiecksfläche ABC, die als Querschnitt eines Stromrohres figuriert ( $s = 1,5 \text{ m}$ ) und vergleiche
- dieses Ergebnis mit der Summe der drei Volumenströme, welche den Tetraeder durch die drei Flächen OAB, OBC und OCA eintreten.
- Schließlich ist das Ergebnis zu diskutieren.

#### Lösungen:

a)  $\dot{V}$ :

Charakteristik: stationär, geradlinig, inkompressibel, relativ großer Stromrohrquerschnitt. Deshalb gilt Gl.(11-24):

$$\dot{V} = \int_{(A)} \vec{n} \cdot \vec{c} \cdot dA = \int_{(A)} c \cdot dA = c \cdot A_{ABC} \quad . \quad \text{Die Fläche } A \text{ berechnet sich folgendermaßen:}$$

$$A_{ABC} = 0,5 \cdot s \cdot \sqrt{2} \cdot h_{AB} = 0,5 \cdot \sqrt{2} \cdot \sqrt{(s \cdot \sqrt{2})^2 - \left(\frac{s \cdot \sqrt{2}}{2}\right)^2} = \frac{\sqrt{3}}{2} \cdot s^2 \quad .$$

In Zahlen folgt:

$$\underline{\underline{\dot{V}}} = 2 \cdot \frac{1,5^2}{2} \cdot \sqrt{3} = \underline{\underline{3,897 \text{ m}^3/\text{s}}}.$$

b)  $\dot{V}_x, \dot{V}_y, \dot{V}_z$  :

$$\dot{V}' = \dot{V}_x + \dot{V}_y + \dot{V}_z = A_{yz} \cdot c_x + A_{zx} \cdot c_y + A_{xy} \cdot c_z ;$$

ferner gilt:

$$c = \sqrt{c_x^2 + c_y^2 + c_z^2} = \sqrt{3 \cdot c_x^2} \longrightarrow c_x = c_y = c_z = \frac{c}{\sqrt{3}} \text{ und}$$

$$A_{yz} = A_{zx} = A_{xy} = s^2/2 \text{ . Daraus folgt jetzt:}$$

$$\underline{\underline{\dot{V}'}} = 3 \cdot \frac{c}{\sqrt{3}} \cdot \frac{s^2}{2} = 3 \cdot 2 \cdot 1,5^2 / (\sqrt{3} \cdot 2) = \underline{\underline{3,897 \text{ m}^3/\text{s}}} .$$

Man stellt die Gleichheit beider Ergebnisse fest.

### c) Diskussion der Ergebnisse:

In vielen Fällen ist die Zerlegung des Volumenstrom-Integrals in drei einfachere Integrale viel bequemer. Bildet man in dem Ausdruck  $\dot{V} = \int_{(A)} \vec{n} \cdot \vec{c} \cdot dA$  das Skalarprodukt des Normalenvektors nach Gl.(7-2) mit dem Geschwindigkeitsvektor  $\vec{c}$ , dann erhält man zum Integrieren einen sehr komplizierten Ausdruck. Es fallen dabei aber die Richtungskosinuswerte auf, so daß man  $dA \cdot \cos \alpha$ ,  $dA \cdot \cos \beta$  und  $dA \cdot \cos \gamma$  bilden kann, was eben zur vereinfachten Berechnungsmethode des Volumenstroms führt:

$$\dot{V} = \int_{(A)} \vec{n} \cdot \vec{c} \cdot dA = \int_{(A_{yz})} c_x \cdot dA + \int_{(A_{zx})} c_y \cdot dA + \int_{(A_{xy})} c_z \cdot dA \quad (11-39).$$

### 2. Beispiel

In einem Großwasserbecken ist die Eckenströmung zu untersuchen, Bild 11-13.

Abmessungen:  $s = AA' = AA'' = 2 \text{ m}$  ;  $H = AB = 1,5 \text{ m}$ . - Es handelt sich um eine ebenes Problem mit den Geschwindigkeiten  $c_A = c_B = 0,5 \text{ m/s}$ . Die Geschwindigkeitsabhängigkeit in radialer Richtung heißt:

$$c = K \cdot r \quad ! - \text{Man ermittle:}$$

a) den Volumenstrom in der Ebene OABC;

b) Existenznachweis und Herleitung der Stromfunktion  $\psi$  ;



$$\underline{\underline{\psi = K \cdot x \cdot y}} \quad .$$

Kontrolle:

$$\text{Gl. (11-33 a): } \frac{\partial}{\partial y} \left( \frac{\partial \psi}{\partial x} \right) = \frac{\partial}{\partial x} \left( \frac{\partial \psi}{\partial y} \right) \rightarrow \underline{\underline{K = K}} \quad !$$

c) Kontrolle des Volumenstroms mittels der Stromfunktion:

Der parametrische Wert der Stromfunktion längs der hyperbolischen Stromlinienspur durch den Punkt A lautet:

$$\underline{\underline{\psi_A = K \cdot s^2 = 0,1768 \cdot 2^2 = 0,7072 \text{ m}^2/\text{s} \quad .}}$$

Der analoge Wert für den Punkt O lautet:

$$\underline{\underline{\psi_0 = 0 \quad .}}$$

In den Erläuterungen zur Stromfunktion fand man auf Seite 201 für eine Tiefe von 1 m :

$\Delta \dot{V} = \Delta \psi = \psi_2 - \psi_1$  ; bezüglich des vorliegenden Problems ergibt sich:

$$\underline{\underline{\dot{V} = H \cdot (\psi_A - \psi_0)}} \quad ; \text{ in Zahlen:}$$

$$\underline{\underline{\dot{V} = 1,5 \cdot (0,7072 - 0) = 1,0608 \text{ m}^3/\text{s} \quad !}}$$

Bemerkungen:

- 1) Man erzielt bei einer ebenen Strömung obiger Art den Volumenstrom sowohl über ein Flächenintegral als auch über die Stromfunktion.
- 2) Die Stromlinien sind gleichseitige Hyperbeln.
- 3) Längs jeder Stromlinie gilt ein anderer parametrischer Wert der Stromfunktion.
- 4) Das Verteilungsgesetz der Geschwindigkeit gilt nur in Eckennähe.

3. Beispiel

In der Krümmungszone eines horizontalen Wasserkanals ( Breite  $b = 4 \text{ m}$ ; Tiefe  $h = 3 \text{ m}$ ; Krümmungsradius am Innenrand  $R_i = 20 \text{ m}$  steigt das Fluid außen hoch und sinkt am Innenrand ab.- In erster Näherung möge die Strömungsgeschwindigkeit mit  $c = 5 \text{ m/s}$  angenommen werden.-Man ermittle, Bild 11-14:

- a) die Gestalt der freien Oberfläche in Höhe der Winkelhalbierenden;
- b) den Volumenstrom in einem Querschnitt des geraden Kanals;
- c) den Volumenstrom im Querschnitt der Winkelhalbierenden.



Lösungen:

a) Oberflächenverlauf:

Da die Absolutgeschwindigkeiten alle senkrecht aus den Querschnittsebenen stehen, darf man vom relativen Gleichgewicht ausgehen und die

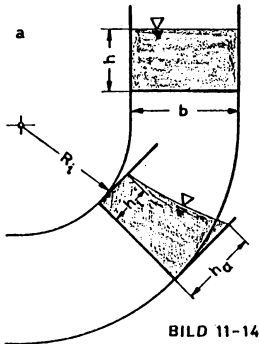
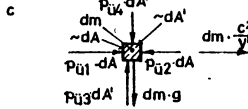
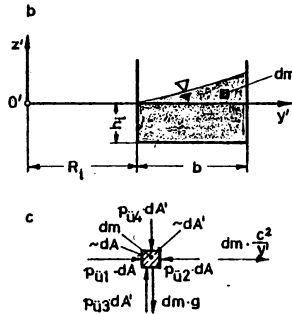


BILD 11-14



Orientierung mittels des  $y', z'$ -Koordinatensystems vornehmen. Da die freie Oberfläche eine Isobarfläche darstellt, ist über das Kräftegleichgewicht an einer freigelegten, ruhenden Ersatzmasse  $dm$  (Bild 11-14, Pos. c) die Gleichung für die massenspezifische, potentielle Energie aufzustellen, damit man im Anschluß daran die Gleichung für die Isobarflächen bekommen kann. - Da sich nur Druck- und Massenkräfte

das Gleichgewicht halten, kann man sich auf die Ermittlung der resultierenden, massenspezifischen äußeren Kraft (Feldkraft) bezüglich des relativen Gleichgewichts beschränken (siehe Lösungskommentar auf S. 147):

$$\underline{f_{x'} = 0 ; f_{y'} = c^2 / y' ; f_{z'} = -g} . \text{ In Anlehnung an Gl.(5-11) folgt:}$$

$$de_p = (\partial e_p / \partial x') \cdot dx' + (\partial e_p / \partial y') \cdot dy' + (\partial e_p / \partial z') \cdot dz'$$

$$de_p = -f_{x'} \cdot dx' - f_{y'} \cdot dy' - f_{z'} \cdot dz' ; \quad \underline{de_p = - (c^2 / y') \cdot dy' + g \cdot dz' ;}$$

$$\underline{e_p = - c^2 \cdot \ln y' + g \cdot z' + \text{const.}}$$

Aus der Druckformel für inkompressible Flüssigkeiten erhält man

$$\text{nach Gl.(6-1) : } p/\rho + e_p = \text{const} : \quad \underline{p/\rho - c^2 \cdot \ln y' + g \cdot z' = K} .$$

Um die Konstante  $K$  zu bestimmen, beachte man die Randbedingungen:

$$y' = R_1 ; z' = 0 ; p = p_0 :$$

$$\frac{p_0}{\rho} - c^2 \cdot \ln R_1 = K = \frac{p}{\rho} - c^2 \cdot \ln y' + g \cdot z' ;$$

$$\underline{\underline{\frac{p - p_0}{\rho} = c^2 \cdot \ln (y' / R_1) - g \cdot z' .}}$$

Für  $p = p_0$  erhält man dann die Gleichung der Oberfläche :

$$z' = \frac{c^2}{g} \cdot \ln(y'/R_1) \quad .$$

Einige rechnerische Stützdaten:

y' in m :	20	21	22	23	24
z' " " :	0	0,1243	0,2429	0,3562	0,4646

Jetzt sind die innere und äußere Wasserstandshöhen gesucht, Bild 11-15.  
Nachstehende Flächengleichheit:

$$b \cdot h - b \cdot h_i = \int_{R_1}^{(R_1+b)} z' dy' = \frac{c^2}{g} \left( \ln \frac{y'}{R_1} \cdot dy' \right)$$

führt zu  $h_i$  ! Durch  
partielle Integration  
ergibt sich:

$$h_i = h - \frac{c^2}{g \cdot b} (y' \cdot \ln \frac{y'}{R_1} - y')$$

zwischen den Grenzen  
 $R_1$  und  $(R_1 + b)$ .

In Zahlen:

$$\underline{\underline{h_i = 2,7601 \text{ m} .}}$$

Sofort ergibt sich auch  $h_a = h_i + z'_{\max} = 2,7601 + 0,4646$

$$\underline{\underline{h_a = 3,2247 \text{ m} .}}$$

Eine analoge Ermittlung von  $y'_m$  ergibt  $\underline{\underline{R_m = 22 \text{ m} !}}$

b)  $\dot{V}_{\text{gerader Kanal}} :$

$$\text{Gl. (11-24): } \dot{V} = \int \vec{n} \cdot \vec{c} \cdot dA = c \cdot A = c \cdot b \cdot h = 5 \cdot 4 \cdot 3 ; \quad \underline{\underline{\dot{V} = 60 \text{ m}^3/\text{s} .}}$$

(A)

c)  $\dot{V}_{\text{gekrümmter Kanal}} :$

Hier führt folgende Gleichung zum Ziel:  $\dot{V} = c \cdot (b \cdot h_i + \int_{R_1}^{(R_1+b)} z' \cdot dy' )$

$R_i$

$$\dot{V} = c \cdot (b \cdot h_1 + \frac{c^2}{g} \int_{R_1}^{(R_1+b)} \ln \frac{y'}{R_1} \cdot dy') = c \cdot \left\{ b \cdot h_1 + \frac{c^2}{g} \left[ (R_1+b) \cdot \ln \frac{R_1+b}{R_1} - b \right] \right\}$$

Auch hier findet man  $\dot{V} = 60 \text{ m}^3/\text{s}$ .

Damit ist die Kontinuitätsbedingung erfüllt.

#### 4. Beispiel

Wasser wird durch einen elastischen Schlauch aus einem oben offenen Behälter abgesaugt.-Plötzlich soll mehr abgesaugt werden.-Wie ändert sich der Schlaucheintrittsquerschnitt, wenn bei dieser instationären Übergangsströmung der Austrittsquerschnitt durch einen festen Stutzenanschluß konstant bleibt ?

#### Lösung:

Die Strömungscharakteristik lautet: instationär; inkompressibel; relativ kleiner Strömungsquerschnitt; keine Dissipationen.

Somit läßt sich Gl.(11-35) verwenden:

$$\frac{\partial \dot{V}}{\partial s} + \frac{\partial A}{\partial t} = 0$$

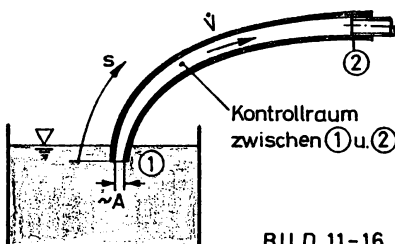


BILD 11-16

Die Systemanordnung zeigt Bild 11-16.

Wenn aus Gründen der Tragheit und mangelnder sofortiger Wassernachlieferung der Stromgradient  $\partial \dot{V} / \partial s$  entsteht, wird aus der Substanz des Kontrollraumes geschöpft. Die Kontinuitätsbedingung verlangt deshalb einen negativen Wert für  $\partial A / \partial t$ , was bedeutet,

daß der Eintrittsquerschnitt A momentan abnimmt!

#### 5. Beispiel

In einer Rohrströmung konstanten Querschnitts kommt es zu einer in-

stationären Strömung.-Wie ist das zu erklären ?

Lösung:

Die Kontinuitätsgleichung wird vorsichtshalber in der allgemein gültigen Form nach Gl.(11-34) für die relativ enge Stromröhre und instationäre Strömung notiert:

$$\frac{\partial}{\partial s}(\rho \cdot \dot{V}) + \frac{\partial(\rho \cdot A)}{\partial t} = \frac{\partial}{\partial s}(\rho \cdot c \cdot A) + \frac{\partial(\rho \cdot A)}{\partial t} = 0 \quad ; \text{daraus folgt:}$$

$$\frac{\partial(\rho \cdot c)}{\partial s} + \frac{\partial \rho}{\partial t} = 0 \quad .$$

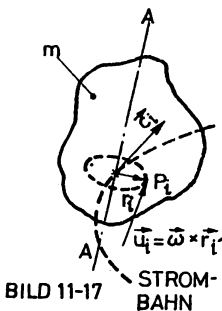
Die lokale Dichteänderung und die konvektive Änderung der Massenstromdichte ( $\rho \cdot c$ ) sind nur möglich bei kompressiblen Fluiden mit Wärmeaustausch, und damit liegt ein Problem der Gasdynamik ( Teil IV ) vor.

11.3. Wirbelbewegung

11.3.1. Wirbelvektor, Wirbellinie, Wirbelfläche, Wirbelschicht

Wirbelvektor

Eine kleine Fluidmasse  $m$  dreht um eine Schwerachse AA. Materielle Punkte beschreiben Kreisbahnen, Bild 11-17. Die Umfangsgeschwindigkeit eines Punktes  $P_i$  berechnet sich bekanntermaßen mit:



$$\vec{u} = \vec{\omega} \times \vec{r} \quad (11-40).$$

Man verstehe unter  $\vec{u}$  die Umfangskomponente der Fahrzeugbewegung bei einem Festkörper oder, wie hier, die Umfangskomponente der Absolutbewegung eines Fluidteilchens.

Wegen der Fluidität (vgl. Abschn. 1.2) besitzen die Punkte eines Fluidteilchens verschiedene Winkelgeschwindigkeiten  $\vec{\omega}_i$  (im allgemeinsten Fall), ganz im Gegensatz zu einem rotierenden Festkörper. Trotzdem aber definiert man einen Wirbelvektor,

der die mittlere Winkelgeschwindigkeit der Fluidmasse  $m$  um eine Schwerachse angibt.

Den mathematischen Ausdruck für den Wirbelvektor bestimmt man folgendermaßen:

Zunächst wird der kleine Fluidbereich auf die  $z,y$ -Ebene eines rechtwinkligen Koordinatensystems projiziert, Bild 11-18. Dadurch erhält man

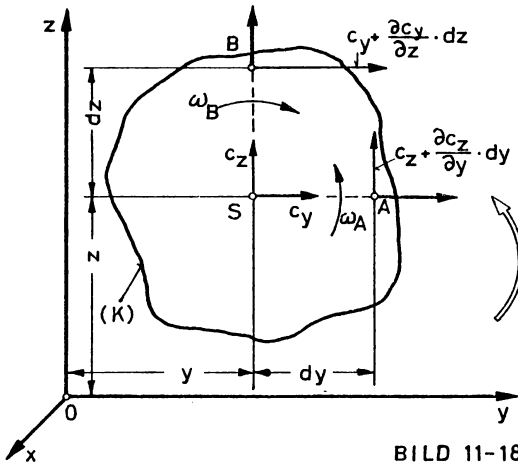


BILD 11-18

die geschlossene Projektionslinie  $K$ .

Der Schwerpunkt der von ihr umschlossenen Fläche heißt  $S$ . Die translatorischen Geschwindigkeitskomponenten sind  $c_y$  und  $c_z$ . Im Nachbarpunkt  $A(y+dy; z)$  trifft man unter der Annahme linearer differentieller Zunahmen folgende  $z$ -Komponente der Geschwindigkeit an:

$$c_{zA} = c_z + \frac{\partial c_z}{\partial y} \cdot dy$$

Für den Nachbarpunkt  $B(y; z+dz)$  gilt analog, so daß seine  $y$ -Komponente lautet:

$$c_{yB} = c_y + \frac{\partial c_y}{\partial z} \cdot dz$$

Erinnert man sich der Tatsache, daß die Geschwindigkeit eines jeden Punktes sich in eine translatorische und in eine rotatorische Komponente aufteilen läßt (Satz von König), so läßt sich beispielsweise die  $z$ -Komponente der Geschwindigkeit des Punktes  $A$  (Bild 11-18) folgendermaßen aufschlüsseln:

$$c_{zA} = \left( c_z + \frac{\partial c_z}{\partial y} \cdot dy \right) = c_z + \omega_A \cdot dy$$

hierbei bedeutet

$$\omega_A = \frac{\partial c_z}{\partial y} \quad (11-41)$$

die Winkelgeschwindigkeit des Punktes A um den Drehpunkt S. Entsprechenderweise kann man zur y-Komponente des Punktes B sagen:

$$c_{yB} = \left( c_y + \frac{\partial c_z}{\partial y} \cdot dy \right) = c_y + \omega_B \cdot dz \quad ; \text{legt man den Linksdrehsinn als mathematisch positiv fest,}$$

dann ergibt sich für die Winkelgeschwindigkeit des Punktes B um S :

$$\omega_B = - \frac{\partial c_y}{\partial z} \quad (11-41a).$$

$c_y$  und  $c_z$  sind Komponenten der Schwerpunktschwindigkeit.

Bildet man jetzt den arithmetischen Mittelwert der Winkelgeschwindigkeiten der beiden untersuchten Nachbarpunkte A und B, dann ergibt sich für eine im Schwerpunkt S stehende und zur x-Achse parallele Drehachse:

$$\omega_x = \frac{\omega_A + \omega_B}{2} = \frac{1}{2} \cdot \left( \frac{\partial c_z}{\partial y} - \frac{\partial c_y}{\partial z} \right) \quad (11-42)$$

Unter  $\omega_x$  versteht man die x-Komponente des Wirbelvektors. Durch eine zyklische Permutation, Bild 11-19, ergibt sich für die beiden anderen Komponenten der mittleren Winkelgeschwindigkeit:

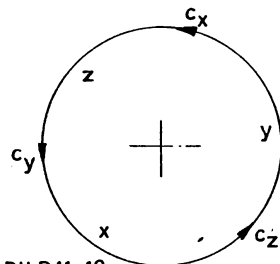


BILD 11-19

$$\omega_y = \frac{1}{2} \cdot \left( \frac{\partial c_x}{\partial z} - \frac{\partial c_z}{\partial x} \right) \quad (11-42a);$$

$$\omega_z = \frac{1}{2} \cdot \left( \frac{\partial c_y}{\partial x} - \frac{\partial c_x}{\partial y} \right)$$

Den resultierenden Wirbelvektor

$$\omega = i \cdot \omega_x + j \cdot \omega_y + k \cdot \omega_z \quad (11-43)$$

kann man auch in Form einer symbolischen Determinanten anschreiben:

$$\vec{\omega} = \frac{1}{2} \cdot \left[ i \cdot \left( \frac{\partial c_z}{\partial y} - \frac{\partial c_y}{\partial z} \right) + j \cdot \left( \frac{\partial c_x}{\partial z} - \frac{\partial c_z}{\partial x} \right) + k \cdot \left( \frac{\partial c_y}{\partial x} - \frac{\partial c_x}{\partial y} \right) \right]$$

$$\vec{\omega} = \frac{1}{2} \begin{vmatrix} i & j & k \\ \frac{\partial}{\partial x} & \frac{\partial}{\partial y} & \frac{\partial}{\partial z} \\ c_x & c_y & c_z \end{vmatrix} \quad (11-44).$$

Diese Determinante bedeutet aber das Vektorprodukt  $\nabla \times \vec{c}$  !- Es ist nun üblich geworden, dieses Vektorprodukt als den Rotor der Geschwindigkeit  $\vec{c}$  zu bezeichnen. Zwischen dem Wirbelvektor (physikalische Tatsache) und dem Rotor der Geschwindigkeit (mathematische Definition) besteht nun folgender Zusammenhang:

$$\vec{\omega} = \frac{1}{2} \cdot \nabla \times \vec{c} = \frac{1}{2} \cdot \text{rot } \vec{c} \quad (11-45).$$

### Wirbellinie

Die Einhüllende von Wirbelvektoren heißt Wirbellinie. Wie bei den Stromlinien (vgl. Gl. 11-7) erhält man aus der Parallelbedingung:

$\vec{\omega} \parallel d\vec{r}$  die beiden Differentialgleichungen der Wirbellinie, welche man in fortlaufender Form folgendermaßen angeben kann:

$$\frac{dx}{\omega_x(x,y,z,t)} = \frac{dy}{\omega_y(x,y,z,t)} = \frac{dz}{\omega_z(x,y,z,t)} \quad (11-46).$$

### Wirbelfläche

Mehrere Wirbellinien zusammengenommen, bilden eine Wirbelfläche. Im Raum ( $R^3$ ) kann man zwei Familien von Wirbelflächen haben.

### Wirbelschicht

Zwei sehr benachbarte Wirbelflächen, die derselben Familie angehören, bilden zusammen eine Wirbelschicht. Wirbelschichten spielen oft die Rolle materieller Fluidgrenzen zwischen zwei verschiedenen Bereichen. Die sogenannten Diskontinuitätsflächen, die Grenzschichten und die Schmierschichten sind Beispiele für Wirbelschichten (s.S. 334).

### 11.3.2. Wirbelrohr, Wirbelintensität, Zirkulation, Wirbelfaden

#### Wirbelrohr

Eine offene Fläche  $A$  im Wirbelbereich enthält eine doppelte Unendlichkeit Punkte. Durch jeden Punkt verläuft eine Wirbellinie. Alle Wirbellinien zusammen bilden ein Wirbelrohr, Bild 11-20. Alle Wirbellinien, welche die geschlossene Kurve  $K$  kreuzen, bilden zusammen eine das Wirbelrohr begrenzende zylindrische Mantelfläche (Wirbelfläche).

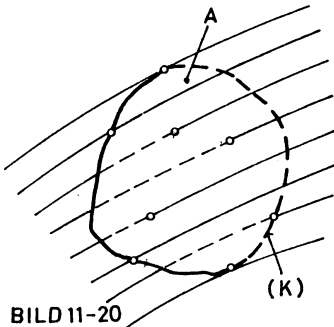


BILD 11-20

#### Wirbelintensität, Zirkulation

Auf der Suche nach einer Beschreibungsgröße für die Wirbelintensität bietet sich der Wirbelstrom oder Wirbelfluxus an:

$$\int_{(A)} \vec{n} \cdot \vec{\omega} \cdot dA$$

Die Analogie zum Geschwindigkeitsfluxus (Volumenstrom)  $\dot{V} = \int_{(A)} \vec{n} \cdot \vec{c} \cdot dA$  liegt nahe.

Aus Gründen mathematischer Bequemlichkeit führt man als Wirbelintensität den doppelt so großen Wert ein:

$$\Gamma = 2 \cdot \int_{(A)} \vec{n} \cdot \vec{\omega} \cdot dA \quad (11-47),$$

damit man später bei Verwendung des Rotors der Geschwindigkeit nicht immer den Faktor  $1/2$  mitschleppen muß.

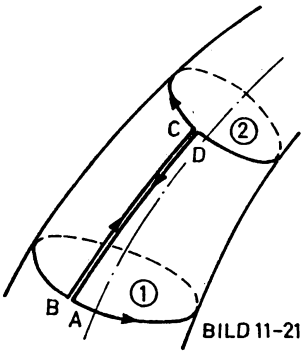
$$\Gamma = \int_{(A)} \vec{n} \cdot \text{rot } \vec{c} \cdot dA = \int_{(A)} \vec{n} \cdot (\vec{\omega} \times \vec{c}) \cdot dA \quad (11-48).$$



Die Größe  $\Gamma$  heißt Wirbelintensität (Intensität der Wirbelröhre). Die Berechnung des vorliegenden Integrals vereinfacht sich außerordentlich bei Verwendung der Integralformel von Stokes, wonach sich das Flächenintegral in ein Linienintegral umwandeln läßt:

$$\Gamma = \int_{(A)} \vec{n} \cdot \text{rot } \vec{c} \cdot dA = \oint_{(K)} \vec{c} \cdot d\vec{r} = \oint_{(K)} c_t \cdot ds \quad (11-49).$$

Das Linienintegral längs der geschlossenen Kurve K (Bild 11-20), welche die Fläche A umschließt, heißt die Zirkulation  $\Gamma$  des Geschwindigkeitsvektors  $\vec{c}$  oder einfach die Zirkulation der Geschwindigkeit. Somit entpuppt sich die "Zirkulation" als ein mathematischer Ausdruck zur Beschreibung der physikalischen Größe "Wirbelintensität".



Man untersuche nun die Zirkulation für ein dickes Wirbelrohr bei den Querschnitten 1 und 2, Bild 11-21. Sie werden als  $\Gamma_1$  und  $\Gamma_2$  nach Gl. 11-49 berechnet.

Ermittelt man die Zirkulation längs der geschlossenen Linie ABCDA :

$$\begin{aligned} \Gamma_{ABCD A} &= \Gamma_1 + \int_{(BC)} \vec{c} \cdot d\vec{r} - \Gamma_2 + \int_{(DA)} \vec{c} \cdot d\vec{r} = \\ &= 2 \cdot \int_{(A_{ABCD A})} \vec{n} \cdot \vec{\omega} \cdot dA \end{aligned}$$

und beachtet man, daß sich einmal die Linienintegrale längs BC und DC aufheben, da sie sehr dicht nebeneinander liegen, und daß zum anderen kein Fluxus durch die Mantelfläche des Stromrohrs vorhanden ist, dann vereinfacht sich die Lösungsgleichung zu:

$$\Gamma_{ABCD A} = \Gamma_1 - \Gamma_2 = 0,$$

zumal das Skalarprodukt  $\vec{n} \cdot \vec{\omega}$  wegen der Parallelität der beiden Vektoren verschwindet. Daraus läßt sich aber ablesen:

$$\underline{\underline{\Gamma_1 = \Gamma_2}}$$

Kontinuitätsbedingung für ein Wirbelrohr:

|| In einem Wirbelrohr bleibt die Wirbelintensität, ausgedrückt durch die Zirkulation der Geschwindigkeit, konstant.

Die unmittelbare Folgerung daraus ist, daß ein Wirbelrohr kein freies Ende in einem Fluidgebiet haben kann. Im anderen Fall müßte die Zirkulation am Wirbelrohrende plötzlich null werden, was nach obiger Aussage unzulässig ist. - Aus diesem Grunde besitzen Wirbelröhren prinzipielle Gestalten, wie sie in Bild 11-22 angeführt sind.

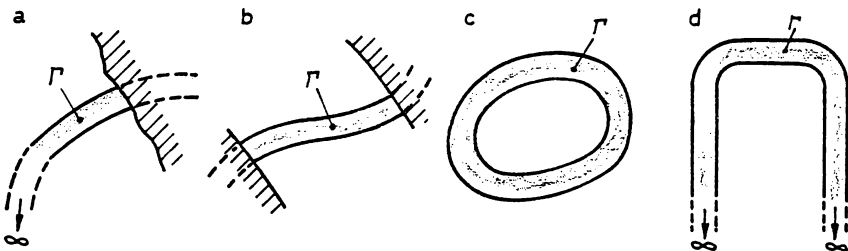


BILD 11-22

Pos. a : Wirbelrohr mit einem festen Ende; das andere Ende ist unendlich weit fort. Das Reflektionsprinzip kann sich auch als mathematisches Modell verstehen lassen, so daß man sich das Wirbelrohr durch den Festkörper hindurch verlängert vorstellen möge. - Das Wirbelrohrende kann auch flüssig sein.

Pos. b : Wirbelrohr mit zwei Enden.

Pos. c : Wirbelring.

Pos. d : Wirbelrohr, dessen beide Enden im Unendlichen liegen.

Wirbelfaden

Ist mit einer konstanten Verteilung des Wirbelvektors in den Querschnitten zu rechnen, dann spricht man von einem Wirbelfaden. Die Querschnitte sind dann als gerade Ebenen zu nehmen. Ein Wirbelfaden kann gerade oder krumm sein. Seine Intensität wird als doppelter Fluxus der Wirbel nach Gl. (11-47) angegeben und lautet einfach:

$$\Gamma = 2 \cdot \int_{(A)} \vec{n} \cdot \vec{\omega} \cdot dA = 2 \cdot \omega \cdot A \quad (11-50).$$

### 11.3.3. Wirbelkern, Potentialbewegung, induzierte Geschwindigkeit, Potentialwirbel

#### Wirbelkern

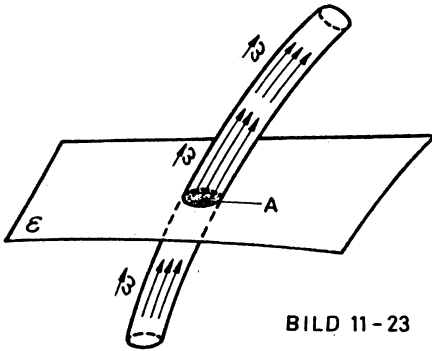


BILD 11-23

Schneidet man ein Wirbelrohr mit einer Querschnittsebene  $E$ , Bild 11-23, dann kann man klar zwei Fluidbereiche unterscheiden: Im Wirbelrohr gibt es eine dreifache Unendlichkeit von Wirbelvektoren, während außerhalb des Wirbelrohres kein Wirbelvektor angetroffen wird.

Der Querschnitt A in der Ebene wird Wirbelkern genannt.

#### Potentialbewegung

Warum der Außenbereich einer Potentialströmung zugeschrieben wird, soll nunmehr erklärt werden.

Unter der Potentialfunktion eines Geschwindigkeitsfeldes versteht man eine Funktion  $\varphi(x,y,z)$ , also eine skalare Ortsfunktion, deren Wegableitung zur entsprechenden Geschwindigkeit führt.

Der Bereich außerhalb des Wirbelrohres (Bild 11-23) könnte durch eine Potentialfunktion beschrieben werden, wenn nachweislich der Wirbelvektor verschwindet. Zu diesem Zweck bildet man:

$$\vec{c} = \text{grad } \varphi = \nabla \varphi; \text{ wenn das gilt, folgt: } 2. \vec{\omega} = \nabla \times \vec{c} = \text{rot } \vec{c} = \text{rot grad } \varphi = \nabla \times (\nabla \varphi).$$

Entwickelt man die Rotordeterminante (vgl. Gl. 11-44 und 11-45 )

$$\text{rot grad } \varphi = \nabla \times (\nabla \varphi) = \begin{vmatrix} i & j & k \\ \frac{\partial}{\partial x} & \frac{\partial}{\partial y} & \frac{\partial}{\partial z} \\ \frac{\partial \varphi}{\partial x} & \frac{\partial \varphi}{\partial y} & \frac{\partial \varphi}{\partial z} \end{vmatrix}$$

nach der ersten Zeile :

$$\text{rot grad } \varphi = i. \left[ \frac{\partial}{\partial y} \left( \frac{\partial \varphi}{\partial z} \right) - \frac{\partial}{\partial z} \left( \frac{\partial \varphi}{\partial y} \right) \right] + j. \left[ \frac{\partial}{\partial z} \left( \frac{\partial \varphi}{\partial x} \right) - \frac{\partial}{\partial x} \left( \frac{\partial \varphi}{\partial z} \right) \right] +$$

$$k. \left[ \frac{\partial}{\partial x} \left( \frac{\partial \varphi}{\partial y} \right) - \frac{\partial}{\partial y} \left( \frac{\partial \varphi}{\partial x} \right) \right]$$

,dann fällt sofort auf, daß  
wegen Gleichheit der gemisch-  
ten Ableitungen die ecki-

gen Klammern alle wegfallen, weshalb der Rotor der Geschwindigkeit verschwindet. Das entspricht wiederum dem Sachverhalt, daß der "Außenbereich" wirbelfrei ist.

Aus dieser Betrachtung darf man den Schluß ziehen: Ein wirbelfreies Geschwindigkeitsfeld läßt sich durch eine Potentialfunktion beschreiben. Deshalb spricht man auch dann von einer Potentialbewegung. Es gilt in Zusammenfassung:

$$\varphi = f(x, y, z)$$

$$\vec{c} = \text{grad } \varphi = \nabla \varphi$$

$$\text{rot grad } \varphi = 0$$

(11-51).

### Induzierte Geschwindigkeit

In Bild 11-24 ist noch einmal der Wirbelkern einer Wirbelröhre gezeigt worden, mit der Ergänzung jedoch, daß der Wirbelschwerpunkt S eingetragen ist. In ihm greift der mittlere Wirbelvektor  $\vec{\omega}_S = \frac{1}{A} \int_A \vec{\omega} dA$  an.

Infolge der in einer natürlichen Flüssigkeit immer vorhandenen Kohäsionskräften wird das Wirbelrohr, und damit besonders seine Oberfläche, versuchen, den fluidischen Außenbereich in Drehrichtung mitzunehmen. Beschränkt man sich auf die Verhältnisse um einen Wirbelfaden, dann lautet nach Gl. (11-50) die Gesamtzirkulation, die in der Querschnittsebene vom Wirbelfaden ausgeht:

$$\Gamma = 2 \cdot \omega_S \cdot A$$

Da wegen der äußeren Wirbelfreiheit keine weiteren Dreh-

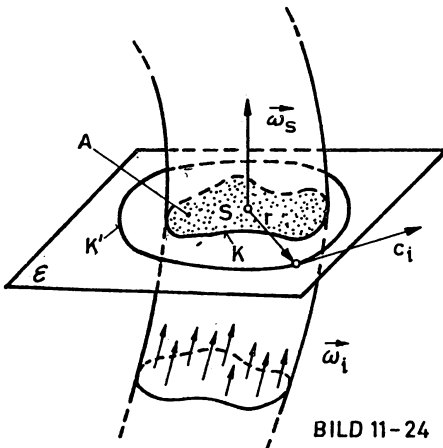


BILD 11-24

effekte hinzukommen, kann die Zirkulation längs der geschlossenen Kurve  $K'$  (hier Kreisform) nur  $\Gamma$  heißen, wie es der Wirbelfaden diktiert. - Die im Außenbezirk hervorgerufene Geschwindigkeit heißt induzierte Geschwindigkeit  $\vec{c}_i$ . Man berechnet sie mit Gl. (11-49):

$$\Gamma = 2 \cdot \omega_S \cdot A = \oint \vec{c}_i \cdot d\vec{r} = c_i \cdot 2 \cdot \pi \cdot r$$

$$c_i = \frac{\Gamma}{2 \cdot \pi \cdot r} = \frac{\omega_S \cdot A}{\pi \cdot r} \quad (11-52).$$

(allgemein (Sonderfall:  
gültig) (Stromfaden)

### Potentialwirbel

Der bisher immer wieder erwähnte "Außenbereich" ist bekanntlich in sich wirbelfrei. Da aber die Geschwindigkeiten durch ein Wirbelrohr oder durch einen Wirbelfaden induziert werden, spricht man bei der Außenbewegung von Potentialwirbelbewegung. - Ein Punkt im Innenbereich

dreht sich um  $S$  mit der Umfangsgeschwindigkeit

$$\vec{u}_i = \vec{\omega}_i \times \vec{r}_i, \text{ Bild 11-25.}$$

wie ein materieller Punkt eines Festkörpers, mit dem Unterschied aber, daß der lokale Wirbelvektor  $\vec{\omega}_i$  eine Funktion der Koordinaten ist. Jeder Punkt kann also eine Eigenrotation haben.

Die Punkte im Außenbereich bewegen sich ebenfalls um  $S$ , aber mit der induzierten Geschwindigkeit  $\vec{c}_i$ . Man be-

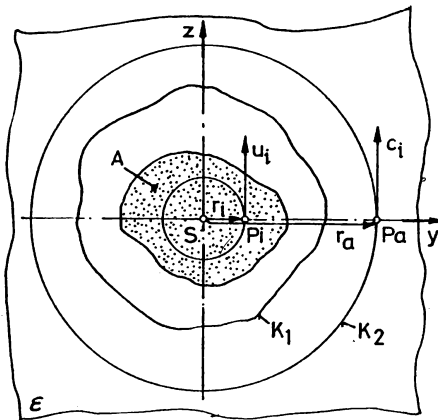


BILD 11-25

achte den Punkt  $P_a$ , der auf der Kreiskontur  $K_2$  liegt. Gleiches gilt für jede andere Kurve (z.B.:  $K_1$ ) auch.

Da jeder Punkt  $P_i$  eine eigene Winkelgeschwindigkeit haben kann, gibt es im Wirbelkern unendlich viele Einzelzirkulationen, wogegen im Außenbezirk nur eine Zirkulation:  $\Gamma$  wirksam ist.



Ein Fluid stellt immer ein kontinuierliches Medium dar.

Die Kohäsionskräfte sind von den Bewegungsumständen abhängig. Am stärksten ist die Kohäsion in der Kernwirbelbewegung; dort ist das Kräfteverhältnis  $F_t/F_p$  in Betracht zu ziehen, wie es bei reellen Fluiden der Fall ist.

Mittelstark ist die Kohäsion bei Potentialbewegungen mit Zirkulation. Das Verhältnis  $F_t/F_p$  ist zwar vernachlässigbar, nicht aber die Auswirkungen der Kohäsion: Man beachte die induzierte Geschwindigkeit, zu der es ohne materielle Teilchenkopplung nicht käme. - Man spricht von quasi-vollkommenen Fluiden, weil sie in der Lage sind, eine Zirkulation weiterzuleiten.

Am schwächsten ist die Kohäsion bei den Potentialbewegungen ohne Zirkulation. Man spricht von vollkommenen Fluiden; sie sind nicht fähig, eine Zirkulation zu behalten. Auch hier ist die Kohäsion nicht null, denn das Fluid ist ein kontinuierliches Medium geblieben.

#### 11.3.4. Beispiele

##### 1. Beispiel

Es wird das 4. Beispiel von Abschn. 9.4 (Seite 146) wieder aufgegriffen. Bei dem rotierenden Becher ist die Fahrzeugwinkelgeschwindigkeit mit  $\omega_F = 10 \text{ rad/s}$  gegeben. - Man suchen nun in diesem Zusammenhang:

- den Wirbelvektor  $\vec{\omega}_i(x, y, z)$ , Bild 11-27;  $d = 2.R = 0,5 \text{ m}$ ;
- das Wirbelrohr und seine Gesamtzirkulation  $\Gamma$ ;
- den Volumenstrom durch eine Meridianebene.

##### Lösungen:

- $\vec{\omega}_i(x, y, z)$  :

Da es bei der vorliegenden Kernwirbelbewegung keine Relativbewegung gibt, ist nur die Absolutbewegung zu untersuchen. - Die Absolutgeschwindigkeit eines beliebigen materiellen Punktes  $P_i(r, z)$  ist

$$\vec{u}_i = \vec{\omega}_i \times \vec{r}_i$$

##### 1. Lösungsverfahren

Der lokale absolute Wirbelvektor ist

$$\vec{\omega}_i = \frac{1}{2} \cdot \text{rot } \vec{u}_i = \frac{1}{2} \cdot \nabla \times \vec{u}_i = \frac{1}{2} \cdot \nabla \times (\vec{\omega}_F \times \vec{r}_i).$$

Es mag hier an die Formel des doppelten Vektorprodukts erinnert werden:

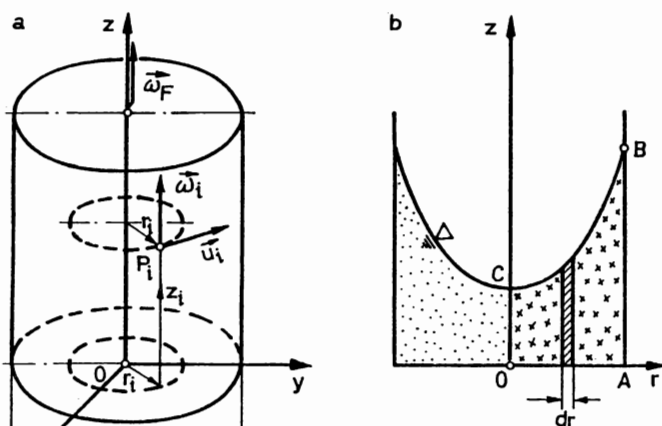


BILD 11-27

$\vec{a} \times (\vec{b} \times \vec{c}) = (\vec{a} \cdot \vec{c}) \cdot \vec{b} - (\vec{a} \cdot \vec{b}) \cdot \vec{c}$  .Angewendet auf die obige Gleichung, folgt:

$$\nabla \times (\vec{\omega}_F \times \vec{r}_i) = (\nabla \cdot \vec{r}_i) \cdot \vec{\omega}_F - (\nabla \cdot \vec{\omega}_F) \cdot \vec{r}_i ; \text{ hierbei ist}$$

$$\nabla \cdot \vec{r}_i = \text{div } \vec{r}_i = \nabla \cdot (i \cdot x + j \cdot y) = \frac{\partial x}{\partial x} + \frac{\partial y}{\partial y} = 2 ;$$

$$(\nabla \cdot \vec{r}_i) \cdot \vec{\omega}_F = 2 \cdot \vec{\omega}_F .$$

Da  $\vec{\omega}_F = \text{konst}$  ist, folgt :  $\nabla \cdot \vec{\omega}_F = \text{div } \vec{\omega}_F \equiv 0$  .Schließlich gilt:

$$\vec{\omega}_i = \frac{1}{2} \cdot \text{rot } \vec{u}_i = \vec{\omega}_F .$$

Der lokale absolute Wirbelvektor ist also konstant und gleich der Fahrzeugwinkelgeschwindigkeit.

## 2. Lösungsverfahren

In  $\vec{\omega}_i = 0,5 \cdot \nabla \times (\vec{\omega}_F \times \vec{r}_i)$  gilt auch:  $\omega_{Fx} = \omega_{Fy} = 0$  und  $\omega_{Fz} = k \cdot \omega_F$ ;

somit folgt für das Vektorprodukt:

$$\vec{\omega}_F \times \vec{r}_i = \begin{vmatrix} i & j & k \\ 0 & 0 & \omega_F \\ x & y & z \end{vmatrix} = i \cdot (-y \cdot \omega_F) + j \cdot (x \cdot \omega_F) = \omega_F \cdot (-i \cdot y + j \cdot x)$$



Weiterhin ist:

$$\underline{\underline{\vec{\omega}_i}} = \frac{1}{2} \begin{vmatrix} i & j & k \\ \frac{\partial}{\partial x} & \frac{\partial}{\partial y} & \frac{\partial}{\partial z} \\ -y \cdot \omega_F & x \cdot \omega_F & 0 \end{vmatrix} = \underline{\underline{k \cdot \omega_F}} \quad ; \quad \text{q.e.d.}$$

### 3. Lösungsverfahren

Die Zirkulation längs einer Kreisbahn vom Radius  $r_i$  (Bild 11-27, Pos. a) lautet:

$$\Gamma(r_i) = 2 \cdot \pi \cdot r_i \cdot u_i = 2 \cdot \pi \cdot \omega_F \cdot r_i^2.$$

$\Gamma(r_i=0) = 0$  und  $\Gamma(r_i=R) = 2 \cdot \pi \cdot \omega_F \cdot R^2$ . Differenziert man nun  $\Gamma(r_i)$  nach dem Radius, so folgt:

$$\frac{d\Gamma(r_i)}{dr_i} = 4 \cdot \pi \cdot \omega_F \cdot r_i \cdot dr_i.$$

Nach dem Satz von Stokes gilt für den elementaren Wirbelfluxus

$$\underline{\underline{d\Gamma(r_i) = \text{rot } u_i \cdot 2 \cdot \pi \cdot r_i \cdot dr_i = 2 \cdot \omega_i \cdot 2 \cdot \pi \cdot r_i \cdot dr_i = 4 \cdot \pi \cdot \omega_i \cdot r_i \cdot dr_i.}}$$

Aus der Gleichheit der beiden differentiellen Zirkulationen ergibt sich:  $\underline{\underline{\omega_i = \omega_F}} \quad ; \quad \text{q.e.d.}$

#### b) Wirbelrohr und $\Gamma$ :

Die gesamte Fluidmasse im zylindrischen Behälter bildet einen Wirbelfaden in der Absolutbewegung. Die Mantelfläche des Wirbelfadens ist gleich der Innenwand des Zylinders. Die untere Grenze des Wirbelfadens gibt der Zylinderboden ab, seine obere Grenze stellt die parabolische Fluidgrenze dar. -

Für die Zirkulation in einem Wirbelfaden folgt einfach nach Gl. (11-50):

$$\Gamma = 2 \cdot \omega_F \cdot \pi \cdot R^2.$$

$$\Gamma = 2 \cdot 10 \cdot \pi \cdot 0,25^2 \quad ; \quad \underline{\underline{\Gamma = 3,927 \text{ m}^2/\text{s}}}.$$

#### c) $\dot{V}$ :

Es ist der Volumenstrom gesucht, der in der Fläche OABCO anfällt. (Bild 11-27, Pos. b):

$$\dot{V} = \int_{(A)} \vec{n} \cdot \vec{u}_1 \, dA = \int_0^R u_1 \cdot z \cdot dr = \int_0^R \omega_F \cdot r \cdot z \cdot dr \quad . \text{ Als Funktion } z = f(r) \text{ setze}$$

man die Ergebnisgleichung  
für  $z'$  auf Seite 150 ein:

$$\dot{V} = \omega_F \cdot \int_0^R r \cdot (0,641 - 5,096 \cdot r^2) \cdot dr = \omega_F \cdot (0,3205 \cdot R^2 + 1,274 \cdot R^4);$$

in Zahlen:  $\dot{V} = 10 \cdot (0,3205 \cdot 0,25^2 + 1,274 \cdot 0,25^4) = \underline{\underline{0,25 \text{ m}^3/\text{s}}}$ .

#### Bemerkungen:

Der Meridianschnitt OABCO ist kein Querschnitt eines Wirbelrohres, weil alle Wirbelvektoren parallel zur Drehachse Oz sind. Damit stehen sie alle senkrecht zu den Flächennormalen der Meridianebenen, weshalb es zu keinem Wirbelfluxus kommen kann. - Folgerung: Im vorliegenden Beispiel sind alle Meridianebenen wirbelfrei.

Allgemein gilt danach:

Ein Strömungsbereich ist wirbelbehaftet, wenn die Zirkulation längs einer geschlossenen Linie nicht verschwindet.

Ein Strömungsbereich ist wirbelfrei, wenn die Zirkulation auf allen erdenklichen, geschlossenen Kurven null ist. Die Nachprüfung dieser Bedingung ist kompliziert.

## 2. Beispiel

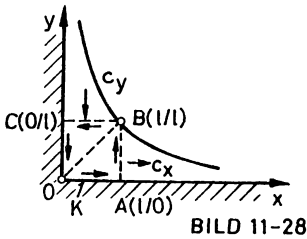
Man weise nach, daß die Eckenströmung nach Beispiel 2, Abschn. 11.2.5, Seite 205, wirbelfrei ist.

#### Lösung:

Man untersuche die Strömungszone zwischen zwei Stromlinien. Da feste Wände als Stromlinien aufgefaßt werden dürfen, konzentriert sich die Überprüfung auf das Geschehen zwischen der festen Berandung und einer Stromlinie, Bild 11-28.

Man bilde nun das Linienintegral der Zirkulation längs des Kurvenzuges OABCO, wobei man auf die Gl. (11-49) zurückgreift:

$$\Gamma = \oint_{(K)} c_t \cdot ds = \int_0^1 c_x \cdot dx + \int_0^1 c_y \cdot dy + \int_{-1}^0 c_x \cdot dx + \int_1^0 c_y \cdot dy \quad .$$



Die Geschwindigkeiten zeigen folgende Abhängigkeit:

$$c_x = K \cdot x \quad \text{und} \quad c_y = -K \cdot y. \text{ (Siehe S. 206).}$$

Damit folgt für die Zirkulationsberechnung:

$$\Gamma = \int_0^1 K \cdot x \cdot dx - K \cdot \int_0^1 y \cdot dy + K \cdot \int_1^0 x \cdot dx - K \cdot \int_1^0 y \cdot dy$$

$$\Gamma = \frac{K}{2} \cdot 1^2 - \frac{K}{2} \cdot 1^2 - \frac{K}{2} \cdot 1^2 + \frac{K}{2} \cdot 1^2 = 0$$

Damit ist auf relativ einfache Art der Nachweis gelungen, daß die Eckenströmung von Beispiel 2, Abschn. 11.2.5, wirbelfrei ist, obwohl nur eine geschlossenen Kurve untersucht worden ist.

Mit der festen Wand und einer beliebigen Stromlinie ist nämlich der gesamte Eckenbereich erfaßt.

## 12. DIE BEWEGUNG DER VOLLKOMMENEN FLUIDE

### 12.1. Bewegungsgleichungen

Ist der Zähigkeitseinfluß zu vernachlässigen, dann spielen nur die drei

Kraftarten: äußere Massenkräfte  $\vec{F}_a$ ,  
Trägheitskräfte  $\vec{F}_{tr}$  und  
Druckkräfte  $\vec{F}_p$

eine Rolle. Nach Abschn. 4 liegt dann der zweite Arbeitsbereich vor:

Mechanik der vollkommenen Fluide; hier besonders die

Kinetik der vollkommenen Fluide (s. Abschn. 11.1.1).

Die Kräfte werden mittels der Gl. (4-1), (4-2) und (4-4) berechnet.

Kontrollgebiet ist entweder das Volumen (V) oder die geschlossene Fläche (A), Bild 12-1.

Im Sinne des d'Alembertschen Prinzips (Gl. 8-7, Seite 118) halten sich die drei Kräfte  $\vec{F}_a$ ,  $\vec{F}_{tr}$  und  $\vec{F}_p$  das dynamische Gleichgewicht. - Übrigens können sich drei Kräfte nur dann das Gleichgewicht halten, wenn sich ihre Wirkungs-

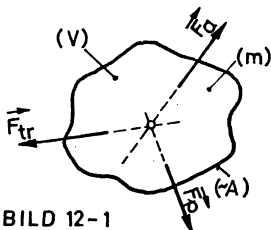


BILD 12-1

Linien in einem Punkte schneiden und wenn das Kräfteck sich schließt.  
Es gilt demnach:

$$\sum \vec{F}_i - m \cdot \vec{a} = \vec{F}_a + \vec{F}_p + \vec{F}_{tr} = 0 .$$

Die Druckkraft ist als Stützreaktion zu betrachten; Stützreaktionen nennt man in der Festkörpermechanik auch quasi-äußere Kräfte.

Unter Einsatz der angeführten Berechnungsgleichungen kommt jetzt :

$$\int_{(V)} \vec{f} \cdot \varrho \cdot dV - \int_{(A)} \vec{n} \cdot p \cdot dA - \int_{(V)} \frac{d\vec{c}}{dt} \cdot \varrho \cdot dV = 0 .$$

Nach der ersten Integralformel von Gauß, Gl. (5-4), kann man eine Oberflächenintegral in ein Volumenintegral umwandeln. Danach folgt:

$$\int_{(V)} \varrho \cdot \frac{d\vec{c}}{dt} \cdot dV + \int_{(V)} \nabla p \cdot dV = \int_{(V)} \vec{f} \cdot \varrho \cdot dV .$$

In der Umgebung eines materiellen Punktes gilt wegen

$$\frac{d \int_{\dots}}{dV} = \lim_{\Delta V \rightarrow 0} \frac{\Delta \left[ \int_{\dots} \right]}{\Delta V} :$$

$$\boxed{\varrho \cdot \frac{d\vec{c}}{dt} + \nabla p = \varrho \cdot \vec{f} \quad \text{oder} \quad \frac{d\vec{c}}{dt} + \frac{\nabla p}{\varrho} = \vec{f}} \quad (12-1).$$

Dies ist die vektorielle Schreibweise der Bewegungsgleichungen. Ihre einfache Form verbirgt die mathematischen Schwierigkeiten, was ihre Integration anbetrifft. - Die hier nicht ausgeschriebenen Komponentengleichungen kennt man unter dem Namen: Eulersche Bewegungsgleichungen.

## 12.2. Bernoulli- und Energieformel

### 12.2.1. Theorie

#### Formel von Bernoulli

Um die Bewegungsgleichung integrieren zu können, projiziert man in einem Sonderfall zuerst alle Kraftvektoren auf die Tangente einer

Stromlinie:

$$\frac{dc}{dt} + \frac{1}{\varrho} \cdot \frac{\partial p}{\partial s} = f_s \quad (12-2).$$

Wenn man die Aussage der Gl.(11-14) ,Seite 191,hier mit verwertet, und für die Kraftkomponente  $f_s$  ein Kräftepotential zuläßt,wie es eigentlich die Erkenntnisse aus der Fluidstatik nahelegen, dann erhält man:

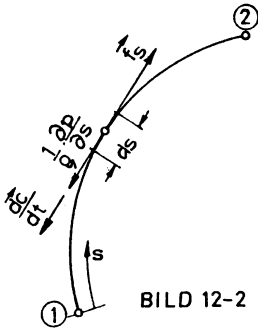


BILD 12-2

$$\frac{\partial c}{\partial t} + c \cdot \frac{\partial c}{\partial s} + \frac{1}{\varrho} \cdot \frac{\partial p}{\partial s} = f_s = - \frac{\partial e_p}{\partial s} .$$

In vielen Fällen der technischen Anwendungen kann man das Vektorfeld einer äusseren (Massen-) Kraft durch ein Kräftepotential beschreiben helfen.

ds ist ein Kurvenelement zwischen zwei Punkten einer Stromlinie,Bild 12-2.Das Linienintegral obiger Kräftebilanz führt zu einer Arbeits- bzw. Energiebilanz:

$$\int_{1.2} \frac{\partial c}{\partial t} \cdot ds + \int_{1.2} c \cdot \frac{\partial c}{\partial s} \cdot ds + \int_{1.2} \frac{1}{\varrho} \cdot \frac{\partial p}{\partial s} \cdot ds = - \int_{1.2} \frac{\partial e_p}{\partial s} \cdot ds .$$

Da für die Tangente der Stromlinie gilt,daß jedes Differential der Form  $\frac{\partial ( )}{\partial s} \cdot ds = d ( )$  dem totalen Differential  $d ( )$  entspricht, kann man weiterschreiben:

$$\int_{1.2} \frac{\partial c}{\partial t} \cdot ds + \int_{1.2} c \cdot dc + \int_{1.2} \frac{dp}{\varrho} = - \int_{1.2} de_p ;$$

Für den Fall konstanter Dichte  $\varrho(x,y,z) \equiv \text{const}$  ,was für inkompressible Fluide zutrifft,ergibt sich nach teilweiser Integration :

$$\int_{1.2} \frac{\partial c}{\partial t} \cdot ds + \frac{p_1}{\varrho} + \frac{c_1^2}{2} + e_{p1} = \frac{p_2}{\varrho} + \frac{c_2^2}{2} + e_{p2} \quad (12-3).$$

[+g.z<sub>1</sub>]                      [+g.z<sub>2</sub>]

Es handelt sich hier um die berühmte Formel von Daniel Bernoulli (Hydrodynamica, Straßburg 1738).

Für stationäre Strömungen verschwindet der Term  $\int (\partial c / \partial t) \cdot ds$ , so daß sich Gl.(12-3) vereinfacht zu:

$$\frac{p_1}{\rho} + \frac{c_1^2}{2} + e_{p1} = \frac{p_2}{\rho} + \frac{c_2^2}{2} + e_{p2} = \frac{p}{\rho} + \frac{c^2}{2} + e_p = \text{Konst} \quad (12-4).$$

$[+g \cdot z_1] \qquad \qquad \qquad [+g \cdot z_2]$

Multipliziert man alle Glieder einer Gleichungsseite mit der Masse  $m$ , so erhält man eine anschauliche Deutung der einzelnen Ausdrücke:

$$p \cdot V + \frac{1}{2} \cdot m \cdot c^2 + E_{\text{pot}} = E^* \quad (12-5).$$

Die Totalenergie längs einer Stromlinie bleibt konstant und setzt sich allgemein drei Energieerscheinungsformen zusammen: aus der Druckenergie, der kinetischen Energie und der potentiellen Energie.

Für das Erdschwerefeld läßt sich nach Gl.(6-2) die potentielle Energie in ihrer massenspezifischen Form angeben zu:  $\underline{e_p = g \cdot z + \text{const.}}$

Deshalb lautet die Formel von Bernoulli auch:

$$\frac{p_1}{\rho} + \frac{c_1^2}{2} + g \cdot z_1 = \frac{p_2}{\rho} + \frac{c_2^2}{2} + g \cdot z_2 = \frac{p}{\rho} + \frac{c^2}{2} + g \cdot z = \text{konst} \quad (12-6).$$

Die Energiekonstante  $E^*/m = \text{konst}$  ist bei der Potentialbewegung (Abschn. 11.3.3) überall gleich im wirbelfreien Gebiet.

#### Energieformel (erweiterte Bernoulli-Formel)

Die Bernoulli-Formel ist durch einen Sonderfall beim Integrieren gewonnen worden. Beschränkt man sich beim Integrieren nicht bloß auf eine Stromlinie, sondern gibt man einen beliebigen Integrationsweg vor, so gelangt man zur allgemeinen Energieformel.

In der Bewegungsgleichung (Gl. 12-1) erfährt die Absolutbeschleunigung  $d\vec{c}/dt$  eine umfangreiche Umformung.

Man weiß aus obiger Ableitung, daß die kinetische Energie in ihrer massenspezifischen Form  $c^2/2$  in der Schlußgleichung von Bedeutung sein wird. -Man bilde deshalb als Vorübung die partielle Ableitung der kinetischen Energie  $0,5 \cdot (c_x^2 + c_y^2 + c_z^2)$  nach der Komponentenrichtung  $x$ :

$$\frac{\partial}{\partial x} \left( \frac{c_x^2 + c_y^2 + c_z^2}{2} \right) = c_x \cdot \frac{\partial c_x}{\partial x} + c_y \cdot \frac{\partial c_y}{\partial x} + c_z \cdot \frac{\partial c_z}{\partial x} .$$

Analoges gilt für die y- und z-Komponenten.

Man erweitert nun die Beschleunigungskomponenten in Gl.(11-13) um solche Glieder, daß in jeder Komponente die partielle Ableitung der kinetischen Energie vorliegt. Das Einfügen von jeweils zwei positiven Ergänzungsausdrücken muß natürlich sofort wieder rückgängig gemacht werden, indem man die addierten Glieder anschließend wieder subtrahiert. Das Ergebnis dieser Manipulation sieht folgendermaßen aus:

$$a_x = \frac{\partial c_x}{\partial t} + c_x \cdot \frac{\partial c_x}{\partial x} + c_y \cdot \frac{\partial c_x}{\partial y} + c_z \cdot \frac{\partial c_x}{\partial z} + c_y \cdot \frac{\partial c_y}{\partial x} - c_y \cdot \frac{\partial c_y}{\partial x} + c_z \cdot \frac{\partial c_z}{\partial x} - c_z \cdot \frac{\partial c_z}{\partial x}$$

$$a_y = \frac{\partial c_y}{\partial t} + c_x \cdot \frac{\partial c_y}{\partial x} + c_y \cdot \frac{\partial c_y}{\partial y} + c_z \cdot \frac{\partial c_y}{\partial z} + c_x \cdot \frac{\partial c_x}{\partial y} - c_x \cdot \frac{\partial c_x}{\partial y} + c_z \cdot \frac{\partial c_z}{\partial y} - c_z \cdot \frac{\partial c_z}{\partial y}$$

$$a_z = \frac{\partial c_z}{\partial t} + c_x \cdot \frac{\partial c_z}{\partial x} + c_y \cdot \frac{\partial c_z}{\partial y} + c_z \cdot \frac{\partial c_z}{\partial z} + c_x \cdot \frac{\partial c_x}{\partial z} - c_x \cdot \frac{\partial c_x}{\partial z} + c_y \cdot \frac{\partial c_y}{\partial z} - c_y \cdot \frac{\partial c_y}{\partial z}$$

Die einzelnen Glieder werden nun folgendermaßen zusammengestellt:

$$a_x = \frac{\partial c_x}{\partial t} + \left( c_x \cdot \frac{\partial c_x}{\partial x} + c_y \cdot \frac{\partial c_x}{\partial y} + c_z \cdot \frac{\partial c_x}{\partial z} \right) + c_y \cdot \left( \frac{\partial c_x}{\partial y} - \frac{\partial c_y}{\partial x} \right) + c_z \cdot \left( \frac{\partial c_x}{\partial z} - \frac{\partial c_z}{\partial x} \right)$$

$$a_y = \frac{\partial c_y}{\partial t} + \left( c_x \cdot \frac{\partial c_y}{\partial x} + c_y \cdot \frac{\partial c_y}{\partial y} + c_z \cdot \frac{\partial c_y}{\partial z} \right) + c_x \cdot \left( \frac{\partial c_y}{\partial x} - \frac{\partial c_x}{\partial y} \right) + c_z \cdot \left( \frac{\partial c_y}{\partial z} - \frac{\partial c_z}{\partial y} \right)$$

$$a_z = \frac{\partial c_z}{\partial t} + \left( c_x \cdot \frac{\partial c_z}{\partial x} + c_y \cdot \frac{\partial c_z}{\partial y} + c_z \cdot \frac{\partial c_z}{\partial z} \right) + c_x \cdot \left( \frac{\partial c_z}{\partial x} - \frac{\partial c_x}{\partial z} \right) + c_y \cdot \left( \frac{\partial c_z}{\partial y} - \frac{\partial c_y}{\partial z} \right)$$

(12-7)

Vergleicht man jetzt obige Gruppierungen mit dem Wirbelvektor nach Gl.(11-44), so folgt unter Berücksichtigung der oben erwähnten partiellen Ableitung der massenspezifischen, kinetischen Energie:

$$\begin{aligned}
 a_x &= \frac{dc_x}{dt} = \frac{c_x}{t} + \frac{\partial}{\partial x} \left( \frac{c^2}{2} \right) + 2 \cdot c_z \cdot \omega_y - 2 \cdot c_y \cdot \omega_z & .i \\
 a_y &= \frac{dc_y}{dt} = \frac{\partial c_y}{\partial t} + \frac{\partial}{\partial y} \left( \frac{c^2}{2} \right) + 2 \cdot c_x \cdot \omega_z - 2 \cdot c_z \cdot \omega_x & .j \\
 a_z &= \frac{dc_z}{dt} = \frac{\partial c_z}{\partial t} + \frac{\partial}{\partial z} \left( \frac{c^2}{2} \right) + 2 \cdot c_y \cdot \omega_x - 2 \cdot c_x \cdot \omega_y & .k
 \end{aligned}$$

Diese drei Komponentengleichungen faßt man zu einem Vektor zusammen:

$$\boxed{\frac{d\vec{c}}{dt} = \frac{\partial \vec{c}}{\partial t} + \text{grad} \left( \frac{c^2}{2} \right) + 2 \cdot \vec{\omega} \times \vec{c}} \quad (12-8).$$

Diese Gleichung ersetzt in Gl.(12-1) die Absolutbeschleunigung. Beachtet man die bekannte Beziehung  $\vec{f} = -\nabla e_p$ , so erhält man:

$$\boxed{\frac{\partial \vec{c}}{\partial t} + \nabla \left( \frac{c^2}{2} \right) + 2 \cdot \vec{\omega} \times \vec{c} + \frac{\nabla p}{\rho} = -\nabla e_p} .$$

Das ist die umgeformte Kräftebilanzgleichung nach Gl.(12-1). Sie eignet sich nach skalarer Multiplikation mit dem beliebigen Wegelement  $d\vec{r}$  dazu, durch Lösung der Linienintegrale die Energieformel in ihrer allgemeinsten Form zu beschaffen:

$$\int_{1.2} \frac{\partial \vec{c}}{\partial t} \cdot d\vec{r} + \int_{1.2} d \left( \frac{c^2}{2} \right) + 2 \cdot \int_{1.2} \vec{\omega} \times \vec{c} \cdot d\vec{r} + \int_{1.2} \frac{dp}{\rho} = - \int_{1.2} de_p ;$$

$$\boxed{\int_{1.2} \frac{\partial \vec{c}}{\partial t} \cdot d\vec{r} + \frac{c_2^2 - c_1^2}{2} + 2 \cdot \int_{1.2} \vec{\omega} \times \vec{c} \cdot d\vec{r} + \int_{1.2} \frac{dp}{\rho} = e_{p1} - e_{p2}} \quad (12-9).$$



Im Sonderfall inkompressibler Fluide bei Schwereeeinfluß erhält man mit:

$$\int_{1.2} \frac{dp}{\varrho} = \frac{p_2 - p_1}{\varrho} \quad \text{und} \quad e_p = g \cdot z + \text{const} \quad \text{aus Gl. (12-9):}$$

$$\int_{1.2} \frac{\partial \vec{c}}{\partial t} \cdot d\vec{r} + \frac{c_2^2 - c_1^2}{2} + 2 \cdot \int_{1.2} \vec{\omega} \times \vec{c} \cdot d\vec{r} + \frac{p_2 - p_1}{\varrho} = g \cdot (z_1 - z_2)$$

(12-10).

Eine Gegenüberstellung der allgemeinen Bernoulli-Formel (etwa Gl.12-3) und der allgemeinen Energieformel (etwa Gl.12-10) zeigt auf, daß in beiden massenbezogene Energieerscheinungsformen vorkommen und kinetische Energie, Druckenergie und potentielle Energie der Lage heißen. Außerdem ist beiden gemeinsam ein Term, welcher auf die Beschleunigungs- oder Verzögerungsarbeit hinweist:

$$\int_{1.2} \frac{\partial c}{\partial t} \cdot ds \quad \text{und} \quad \int_{1.2} \frac{\partial \vec{c}}{\partial t} \cdot d\vec{r}$$

Die Bernoulli- und die Energieformel unterscheiden sich also nur in dem Ausdruck

$$2 \cdot \int_{1.2} \vec{\omega} \times \vec{c} \cdot d\vec{r}, \text{ der Wirbelarbeit genannt wird. Das ist die mechanische Arbeit der Kräfte, die von Wirbeln verursacht worden ist.}$$

Die Wirbelarbeit spielt die Hauptrolle beim Exergieaustausch in Strömungsmaschinen zwischen dem Fluid einerseits und der Maschine andererseits. -Der Unterschied der beiden Formeln kann also darin gesehen werden, daß die Bernoulli-Formel nur das Wechselspiel von Beschleunigungs- bzw. Verzögerungsarbeit, kinetischer Energie, Druckenergie und potentieller Energie der Lage beschreibt, wobei zwischen zwei Stromlinienpunkten die Gesamtenergie konstant bleibt; die Energieformel gibt darüber hinaus auch noch Auskunft über den Exergieaustausch bzw. Austausch mechanischer Arbeit.

Kurze Diskussion über die Wirbelarbeit (Beispiel siehe besonders Abschn.19 ):

Der Integrand der Wirbelarbeit (Gl.12-10) heißt  $\vec{\omega} \times \vec{c} \cdot d\vec{r}$  !-Die geometrische Interpretation führt zu einem Quadvolumen, Bild 12-3.

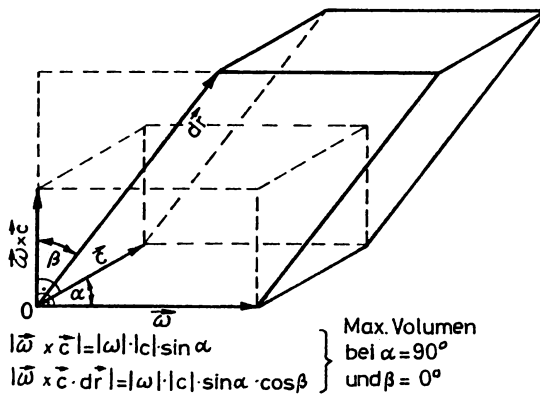


BILD 12-3

Immer wenn das Quader-  
volumen nicht verschwin-  
det, kommt es zum Exergie-  
austausch zwischen Fluid  
und Turbomaschine. Das  
Quadervolumen und damit  
auch die ausgetauschte  
Arbeit wird ein Maximum,  
wenn die drei Vektoren  
senkrecht aufeinander-  
stehen:  $\vec{\omega} \perp \vec{c} \perp \vec{dr}$  !-  
Diese Bedingung ist bei  
der Auslegung von Strö-  
mungsmaschinen besonders  
zu beachten.

Es gibt nun sieben Fälle,  
bei denen das Quadervolumen null ist, weshalb dann auch kein Exergie-  
austausch stattfindet:

- 1.)  $d\vec{r} = 0$  : es wird momentan nicht integriert;
- 2.)  $\vec{c} = 0$  : keine Bewegung, also Ruhezustand;
- 3.)  $\vec{\omega} = 0$  : Wirbelfreiheit oder Potentialbewegung;
- 4.)  $\vec{c} \parallel d\vec{r}$  : Integration längs einer Stromlinie; es liegt  
der Sonderfall der Bernoulli-Formel vor;
- 5.)  $\vec{\omega} \parallel d\vec{r}$  : Integration längs einer Wirbellinie;
- 6.)  $\vec{c} \parallel \vec{\omega}$  : Schraubenbewegung (auch helikoidale Bewegung  
genannt);
- 7.)  $\vec{c} \parallel \vec{\omega} \parallel d\vec{r}$  : Schraubenbewegung, aber die Integration er-  
folgt hier längs einer Wirbellinie, die so-  
gar identisch ist mit der Stromlinie.

## 12.2.2. Beispiele

### 1. Beispiel

Aus einem oben offenen Behälter fließt Wasser durch eine kleine Öff-  
nung aus, Bild 12-4. Man ermittle die anfängliche Austrittsgeschwindig-

keit, Bild 12-4.-Als Angaben kennt man:  $A_1 \gg A_2 = 5 \text{ cm}^2$ ;  $h = 1,5 \text{ m}$ ;  $A_1 = 1 \text{ m}^2$ .

Lösung:

Bei den nun folgenden Beispielen ist es angebracht, die sogenannte Strömungscharakteristik festzustellen, damit man die geeignete Gestalt der Bernoulli- und der Energieformel schnell im Zugriff hat. Unter der Strömungscharakteristik verstehe man die Abklärung der Fragen nach: der Inkompressibilität oder Kompressibilität, der Stationarität oder Instationarität, der Reibungsfreiheit oder Dissipationsanfälligkeit und schließlich des Energieaustausches, genauer gesagt: des Exergie- bzw. Arbeitsaustausches.

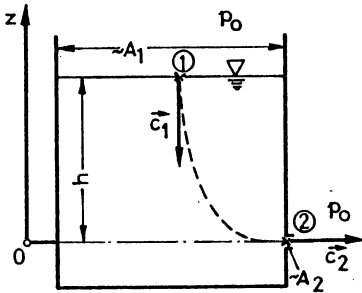


BILD 12-4

Für das vorliegende Beispiel kann man folgende Charakteristik feststellen:

Anfangs quasi-stationär, weil nur die Anfahrphase gemeint ist und  $A_1 \gg A_2$  gilt; inkompressibel; reibungsfrei; ohne Arbeitsaustausch! Damit bietet sich die Bernoulli-Formel in Gl. (12-6) an. Man wähle eine Stromlinie aus und gebe auf ihr zwei Punkte an, die in Kontrollebenen liegen, wofür möglichst viele Daten bekannt sind.

Das sind hier die freie Oberfläche und der Austrittsquerschnitt. Außerdem ist eine Reverenzebene für die z-Koordinaten zu wählen. Häufig eignet sich der Flächenschwerpunkt des am tiefsten liegenden Strömungsquerschnitts. - Die diesbezügliche Bernoulli-Formel lautet also:

$$\frac{p_1}{\rho} + \frac{c_1^2}{2} + g \cdot z_1 = \frac{p_2}{\rho} + \frac{c_2^2}{2} + g \cdot z_2$$

Nunmehr ist diese Gleichung über die Datenbeschaffung an das Beispiel anzupassen:  $p_1 \approx p_2 = p_0$ ;  $z_1 = h$ ;  $z_2 = 0$ ;  $c_1 = (A_2/A_1) \cdot c_2$ .

Die Datenverwertung ergibt:

(Gl. 11-20)

$$c_2 = \sqrt{\frac{2 \cdot g \cdot h}{1 - (A_2/A_1)^2}} = \sqrt{\frac{2 \cdot 9,81 \cdot 1,5}{1 - (5 \cdot 10^{-4}/1)^2}} ; \quad \underline{\underline{c_2 = 5,425 \text{ m/s.}}}$$

### Bemerkungen:

Der sogenannte Einschnürungsfaktor oder Einschnürungskoeffizient  $1 - (A_2/A_1)^2$  ist hier mit 1,0000001 vernachlässigbar, so daß sich die Ausflußgeschwindigkeit einfach berechnen läßt mit

$$c_2 = \sqrt{2 \cdot g \cdot h} \quad (12-11).$$

Das ist aber die berühmte Formel von Torricelli, dem bekanntesten Schüler von Galileo Galilei. Galilei selbst hat eine formal identische Gleichung für den freien Fall ohne Vorgeschwindigkeit gefunden. Gl. (12-11) hätte sich ergeben, wenn man die Absinkgeschwindigkeit  $\vec{c}_1$  vernachlässigt hätte.

### 2. Beispiel

Ein mit Gas gefüllter geschlossener Behälter steht unter dem absoluten Druck  $p_1 = 1,02$  bar bei einer Gasdichte von  $\rho = 1 \text{ kg/m}^3$ , Bild 12-5. Der Atmosphärendruck beträgt  $p_0 = p_2 = 1,015$  bar.

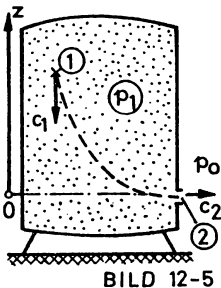


BILD 12-5

Man ermittle die anfängliche, quasi-stationäre Austrittsgeschwindigkeit  $c_2$ .

### Lösung:

Der statische Austrittsdruck  $p_2$  ist deshalb gleich dem Atmosphärendruck, weil in einem Freistrah der statische Druck nicht größer oder kleiner als der Umgebungsdruck sein kann, denn

sonst würde der Strahl zerrieben oder gewellt werden.

Charakteristik: quasi-stationär; inkompressibel wegen sehr geringen Druckunterschieds; reibungsfrei; ohne Arbeitsaustausch; horizontal, weil der geringe Gassäuleneinfluss  $\rho \cdot g \cdot z_1$  vernachlässigbar ist;  $c_1$  ist ebenfalls zu vernachlässigen.

Somit eignet sich Gl. (12-6):

$$\frac{p_1}{\rho} + \frac{c_1^2}{2} + g \cdot z_1 = \frac{p_2}{\rho} + \frac{c_2^2}{2} + g \cdot z_2.$$

Setzt man die charakteristischen Daten ein und berücksichtigt man darüberhinaus, daß die Vorgeschwindigkeit sehr klein ist, dann bleibt eine

Beziehung übrig:

$$c_2 = \sqrt{2 \cdot \frac{p_1 - p_0}{\rho}} \quad (12-12) ,$$

die als die Formel von Bunsen bekannt ist.-Mit Zahlenangaben folgt:

$$c_2 = \sqrt{2 \cdot \frac{1,02 - 1,015}{1} \cdot 10^5} ; \underline{\underline{c_2 = 31,62 \text{ m/s.}}}$$

### 3. Beispiel

In einem Behälter lastet nun ein Gaspolster auf einer Flüssigkeitsschicht, Bild 12-6. Auch hier soll die Austrittsgeschwindigkeit ermittelt werden, aber nur in der Startphase, damit quasi-stationär gerechnet werden kann.-Angaben:  $p_2 = p_0 = 1,015 \text{ bar}$ ;  $\rho_W = 1000 \text{ kg/m}^3$ ;  $c_1 \approx 0$ ;  $p_1 = 1,02 \text{ bar}$ ;  $z_2 = 0$ ;  $z_1 = h = 1,5 \text{ m}$ .

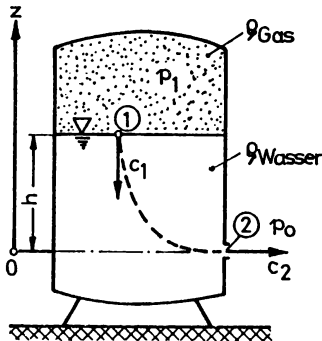


BILD 12-6

Charakteristik: quasi-stationär; inkompressibel; reibungsfrei; ohne Arbeitsaustausch.

Somit folgt aus Gl.(12-6):

$$c_2 = \sqrt{2 \cdot g \cdot h + 2 \cdot \frac{p_1 - p_0}{\rho_W}} \quad (12-13) ,$$

wenn erwartungsgemäß auf den Gassäuleneinfluß  $\rho_G \cdot g \cdot z$  verzichtet wird, und zwar bei der Angabe des Absolutdruckes in der Ebene 1 (genauer gesagt im Punkt 1 der herausgegriffenen Stromröhre).-Mit Zahlenwerten:

$$c_2 = \sqrt{2 \cdot 9,81 \cdot 1,5 + 2 \cdot \frac{1,02 - 1,015}{1000} \cdot 10^5} ; \underline{\underline{c_2 = 5,516 \text{ m/s.}}}$$

### 4. Beispiel

Aus einem großen Wasserbehälter tritt einmal durch drei verschiedene Öffnungen bei ebener Seitenwand und einmal aus dem Boden des Behälters ein Volumenstrom aus.

a) Man ermittle den Volumenstrom für den Fall nach Bild 12-7, Pos. a;

Angaben:  $\alpha = 30^\circ$ ;  $h_1 = 1,5 \text{ m}$ ;  $h_2 = 2,5 \text{ m}$ ;  $B = 3 \text{ m}$  ;

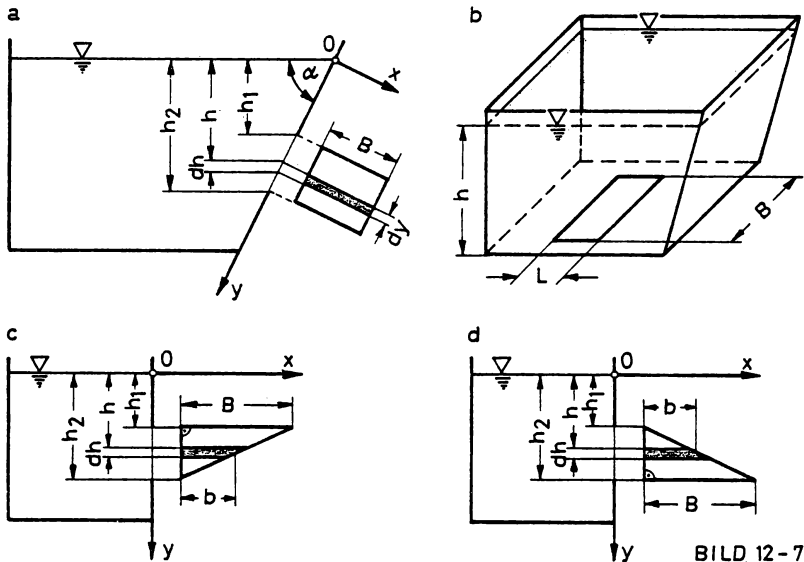


BILD 12-7

- ebenfalls den Volumenstrom bei vertikaler Seitenwand ( $\alpha = 90^\circ$ ) und sonst gleichen Angaben wie unter a);
- desgleichen ist der Volumenstrom zu ermitteln, nun aber für eine Bodenöffnung nach Bild 12-7, Pos. b.-Angaben:  $h = 5 \text{ m}$ ;  $L = 4 \text{ m}$ ;
- die Volumenstromberechnung ist jetzt für eine dreieckige vertikale Seitenwandöffnung nach Bild 12-7, Pos. c, zu bestimmen, und zwar mit den entsprechenden Angaben aus Punkt a);
- kehrt man die Dreiecksfläche in der Seitenwand um, so daß also die große Kathete des rechtwinkligen Dreiecks unten liegt (Bild 12-7, Pos. d), dann wolle man auch hierfür zu Vergleichszwecken mit d) den Volumenstrom berechnen.

### Lösungen:

a)  $\dot{V}_a$  :

Die wahre Größe der Seitenwandöffnung erhält man dadurch, daß man die Seitenwand um  $90^\circ$  in die Bildebene hineindreht: Ebene Oxy .-

Charakteristik: stationär wegen der relativ großen Oberfläche; diese Aussage gilt exakt, wenn durch Zufluß die Spiegelhöhe gehalten wird;  
inkompressibel; reibungsfrei; ohne Arbeitsaustausch.

Für einen relativ großen Strömungsquerschnitt wird die Volumenstromberechnung nach Gl.(11-24) vorgenommen:

$$\dot{V} = \int \vec{n} \cdot \vec{c} \cdot dA \quad , \text{ worin man ersetzt: } c = c_2 = \sqrt{2 \cdot g \cdot h} \text{ nach Gl.(12-11) ,} \\ (A) \quad \text{und das Flächenelement heißt } dA = B \cdot dy. \text{ Da die Austritts-} \\ \text{geschwindigkeit senkrecht auf dem Flächenelement steht,}$$

folgt:

$$\dot{V} = \int c \cdot dA = \int_{h_1}^{h_2} \sqrt{2 \cdot g \cdot h} \cdot B \cdot \frac{dh}{\sin \alpha} = \frac{B \cdot \sqrt{2 \cdot g}}{\sin \alpha} \cdot \int_{h_1}^{h_2} h^{0,5} \cdot dh \quad ;$$

$$\boxed{\dot{V} = \frac{2}{3} \cdot \frac{B \cdot \sqrt{2 \cdot g}}{\sin \alpha} \cdot (h_2^{3/2} - h_1^{3/2})} \quad . \quad (12-14).$$

In Zahlen:

$$\dot{V} = \frac{2}{3} \cdot \frac{3 \cdot \sqrt{2 \cdot 9,81}}{0,5} \cdot (2,5^{3/2} - 1,5^{3/2}) \quad ; \quad \underline{\underline{\dot{V}_a = 37,486 \text{ m}^3/\text{s}}} \quad .$$

b)  $\dot{V}_b$  :

Bei vertikaler Seitenwand ändert sich nur der  $\sin \alpha$ -Wert von 0,5 in  $\sin 90^\circ = 1$ , wodurch sich der Volumenstrom gerade halbiert:

$$\underline{\underline{\dot{V}_b = 18,743 \text{ m}^3/\text{s}}} \quad .$$

c)  $\dot{V}_c$  :

Für diesen Fall gilt Gl.(12-14) nicht mehr, da wegen  $\sin 0^\circ = 0$  der Volumenstrom den Wert unendlich annehmen würde, was unzulässig ist. Die korrekte Berechnung lautet:

$$\dot{V} = \int c \cdot dA = c \cdot A = \sqrt{2 \cdot g \cdot h} \cdot B \cdot L \quad ; \quad \text{in Zahlen: } \dot{V} = \sqrt{2 \cdot 9,81 \cdot 5} \cdot 3 \cdot 4 \quad ; \\ (A) \quad \underline{\underline{\dot{V}_c = 118,854 \text{ m}^3/\text{s}}} \quad .$$

Das Stromrohr entartete hier zu einem Stromfaden, weil die Geschwindigkeit als konstant über den Ausflußquerschnitt angenommen werden durfte.

d)  $\dot{V}_d$  :

Das Volumenstromelement berechnet sich nach Bild 12-7, Pos. c, folgen-

dermaßen:  $d\dot{V} = \sqrt{2 \cdot g \cdot h} \cdot b \cdot dh$  ; bevor der Integralansatz gemacht wird, möge zuerst  $b = f(h)$  ermittelt werden! - Die Linearfunktion lautet allgemein:

$b = K_1 \cdot h + K_2$  .- Für  $b = 0$  gilt  $h = h_2$ ; bei  $h = h_1$  ist  $b = B$  . Daraus folgt:  $K_1 = -B/(h_2 - h_1)$  und  $K_2 = B \cdot h_2 / (h_2 - h_1)$  . Somit ergibt sich für die gesuchte Linearverteilung:

$$b = \frac{B}{h_2 - h_1} \cdot (h_2 - h) \quad ; \text{ der Ansatz heißt nun:}$$

$$\dot{V} = \int_{h_1}^{h_2} \sqrt{2 \cdot g \cdot h} \cdot \frac{B}{h_2 - h_1} \cdot (h_2 - h) \cdot dh = \frac{B \cdot \sqrt{2 \cdot g}}{h_2 - h_1} \cdot \left( h_2 \cdot \int_{h_1}^{h_2} \frac{1}{2} h^{-1/2} \cdot dh - \int_{h_1}^{h_2} h^{3/2} \cdot dh \right) ;$$

$$\dot{V} = \frac{2 \cdot B \cdot \sqrt{2 \cdot g}}{h_2 - h_1} \cdot \left( h_2 \cdot \frac{h_2^{3/2} - h_1^{3/2}}{3} - \frac{h_2^{5/2} - h_1^{5/2}}{5} \right) \quad . \quad \text{In Zahlen:}$$

$$\dot{V} = \frac{2 \cdot 3 \cdot \sqrt{2 \cdot 9,81}}{2,5 - 1,5} \cdot \left( 2,5 \cdot \frac{2,5^{3/2} - 1,5^{3/2}}{3} - \frac{2,5^{5/2} - 1,5^{5/2}}{5} \right) ;$$

$$\underline{\underline{\dot{V}_d = 8,978 \text{ m}^3/\text{s} \quad .}}$$

#### Bemerkung:

Obwohl die Dreiecksfläche genau halb so groß ist wie unter b), beträgt jetzt der Volumenstrom weniger als die Hälfte, weil im Bereich größerer Geschwindigkeit weniger Austrittsfläche zur Verfügung steht, was eben für die untere Dreieckszone gilt.

#### e) $\underline{V_e}$ :

Liegt die große Kathete des rechtwinkligen Seitenwandausschnitts unten, wie aus Bild 12-7, Pos. d, hervorgeht, so ändern sich die Randbedingungen für die Linearfunktion  $b = f(h)$  in  $b = 0$  bei  $h = h_1$  und  $b = B$  bei  $h = h_2$ . Daraus folgt:

$$b = \frac{B}{h_2 - h_1} \cdot (h - h_1) \quad . \text{ - Jetzt lautet der Ansatz erneut:}$$



$$\dot{V} = \int_{h_1}^{h_2} \sqrt{2 \cdot g \cdot h} \cdot \frac{B}{h_2 - h_1} \cdot (h - h_1) \cdot dh \quad ; \text{ das Ergebnis lautet nun:}$$

$$\dot{V} = \frac{2 \cdot B \cdot \sqrt{2 \cdot g}}{h_2 - h_1} \cdot \left( \frac{h_2^{5/2} - h_1^{5/2}}{5} - h_1 \cdot \frac{h_2^{3/2} - h_1^{3/2}}{3} \right) \quad ; \text{ in Zahlen:}$$

$$\underline{\underline{\dot{V}_e = 9,765 \text{ m}^3/\text{s} \quad .}}$$

Bemerkung:

Nun gilt  $\dot{V}_e > \dot{V}_d$  !-Außerdem ist  $2 \cdot \dot{V}_e > \dot{V}_b$  ! -Der relative größere Flächenanteil bei größerer Austrittsgeschwindigkeit im Falle e) erklärt die Überraschung beim Vergleich der Volumenströme  $\dot{V}_b$ ,  $\dot{V}_d$  und  $\dot{V}_e$  .

5. Beispiel

In Bild 12-8, Pos. a, ist noch einmal die Ausflusssituation aus einem großen Behälter gezeigt. Verschiebt man nun die linke Seitenwand weit

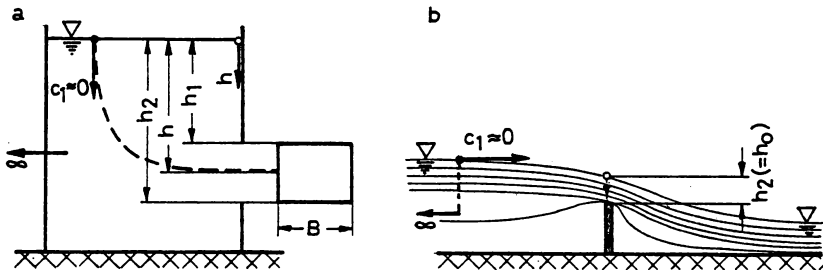


BILD 12-8

weg und läßt gleichzeitig die Tiefe  $h_1 \rightarrow 0$  gehen, dann liegt eine Abflusssituation vor, wie sie Bild 12-8, Pos. b, verdeutlicht: Überfallwehrrückströmung. -Man ermittle eine Näherungsgleichung für den Volumenstrom im reibungsfreien Fall.

Lösung:

Die Gl. (12-14) vereinfacht sich mit  $\sin \alpha = \sin 90^\circ = 1$  und  $h_1 = 0$  zu:

$$\dot{V} = \frac{2}{3} \cdot B \cdot \sqrt{2 \cdot g \cdot h_0}^{3/2} = \frac{2}{3} \cdot B \cdot h_0 \cdot \sqrt{2 \cdot g \cdot h} = \frac{2}{3} \cdot A \cdot \sqrt{2 \cdot g \cdot h_0} \quad (12-15).$$

An Stelle von  $h_2$  wird nun  $h_0$  geschrieben.

#### Bemerkung:

Der Strömungsquerschnitt ist mit  $A = B \cdot h_0$  angegeben. - Die Näherungen liegen darin, daß man den Geschwindigkeitsvektor als senkrecht auf A stehend annahm. Weiterhin ist Gl. (12-14) unter der Voraussetzung abgeleitet worden, daß die Vorgeschwindigkeit  $c_1$  vernachlässigt werden darf. Hier bedeutet dies, daß die Zuströmgeschwindigkeit weit vor dem Wehr (Bild 12-8, Pos. b) unberücksichtigt bleibt.

#### 6. Beispiel

Sollte der Strömungsquerschnitt am Überfallwehr die Form eines rechtwinkligen und gleichschenkligen Dreiecks annehmen, dann ändert sich natürlich der Koeffizient in Gl. (12-15). - Man ermittle wiederum eine

Näherungsformel für den Volumenstrom, Bild 12-9 :

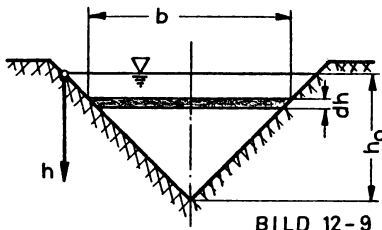


BILD 12-9

#### Lösung:

$$\dot{V} = \int_0^{h_0} c \cdot b \cdot dh = \int_0^{h_0} \sqrt{2 \cdot g \cdot h} \cdot 2 \cdot (h_0 - h) \cdot dh ;$$

Die Integration bringt ein:

$$\dot{V} = \frac{8}{15} \cdot h_0^2 \cdot \sqrt{2 \cdot g \cdot h_0} = \frac{8}{15} \cdot A \cdot \sqrt{2 \cdot g \cdot h_0} .$$

#### 7. Beispiel

Ein zylindrischer Wasserbehälter dreht sich um seine vertikale Achse mit der Winkelgeschwindigkeit  $\omega_F = 10 \text{ rad/s}$ , Bild 12-10. Durch die kleine Bodenöffnung von  $d = 0,06 \text{ m}$  fließt Wasser aus. Im Ruhezustand beträgt die Füllstandshöhe  $z_0 = 0,8 \text{ m}$ . Der Innendurchmesser des Behälters beträgt  $D = 0,5 \text{ m}$  (s. Beispiel 4 in Abschn. 9.4, S. 146). - Man ermittle:

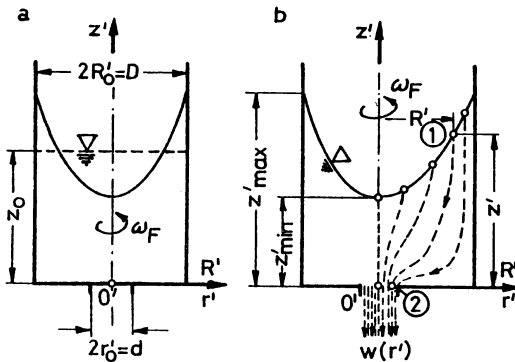


BILD 12-10

- den relativen Volumenstrom zu Beginn des Ausfließens;
- ebenso den absoluten Volumenstrom;
- zum Vergleich den Volumenstrom bei ruhendem Behälter.

Lösungen:

a)  $\dot{V}_r$  :

Bei rotierendem Behälter befindet sich die Flüssigkeit im relativen Ru-

hezustand, d.h.: das Fluid ist gegenüber dem bewegten Fahrzeug in Ruhe. Es gilt:  $w(x', y', z') \equiv 0$  . - Das Volumenstromdifferential am Austritt ermittelt sich aus einem Ringflächenelement  $2 \cdot \pi \cdot r' \cdot dr'$ . Die senkrecht darauf stehende Austrittsgeschwindigkeit heißt  $w(r')$  :

$$d\dot{V} = 2 \cdot \pi \cdot dr' \cdot w(r') \quad .$$

Die Geschwindigkeiten  $w(r')$  sind Stromfäden zugeordnet, wie z.B. dem Stromfaden 12 (Bild 12-10, Pos. b). Also darf man bei ruhender Spiegeloberfläche die Torricellische Formel, Gl. (12-11), verwenden, um die Stromfadenaustrittsgeschwindigkeit  $w(r')$  zu berechnen:

$$w(r') = \sqrt{2 \cdot g \cdot z'(R')} \quad .$$

Die Gleichung für den Oberflächenverlauf entnimmt man dem auf Seite 149 abgehandelten Parallelbeispiel:

$$z' = f(R') = z_0 + \frac{\omega_F^2}{2 \cdot g} \cdot \left( R'^2 - \frac{D}{8} \right) \quad .$$

In der übernommenen Gleichung mußte nur eine Symbolanpassung vorgenommen werden:  $r' \rightarrow R'$  !

Die neu aufgetauchte Abhängigkeit  $r' = f(R')$  wird näherungsweise entschärft durch die sehr wahrscheinliche Annahme:

$$r'/R' = d/D \quad .$$

Nach Einsetzen aller dieser Zusammenhänge erhält man folgenden Lösungsansatz:

$$\dot{V}_r = 2 \cdot \pi \cdot \sqrt{2 \cdot g} \cdot \int_0^{d/2} \sqrt{z_0 - \frac{\omega_F^2 \cdot D^2}{16 \cdot g} + \frac{\omega_F^2 \cdot D^2}{2 \cdot g \cdot d^2} \cdot r'^2} \cdot r' \cdot dr'$$

Substituiert man den Wurzelradikanden durch  $\xi^2$ , so folgt auch weiterhin:

$$r' \cdot dr' = \frac{2 \cdot g \cdot d^2}{\omega_F^2 \cdot D^2} \cdot \xi \cdot d\xi$$

Nach der Integration und Re-substitution ergibt sich:

$$\dot{V}_r = \frac{8}{3} \cdot \frac{\pi \cdot g \cdot \sqrt{2 \cdot g} \cdot d^2}{\omega_F^2 \cdot D^2} \cdot \left( \sqrt{z_0 - \frac{\omega_F^2 \cdot D^2}{16 \cdot g} + \frac{\omega_F^2 \cdot D^2}{2 \cdot g \cdot d^2} \cdot r'^2} \right)^3 \Big|_0^{d/2}$$

In Zahlen:

$$\dot{V}_r = \frac{8 \cdot \pi \cdot 9,81 \cdot \sqrt{2 \cdot 9,81} \cdot 0,06^2}{3 \cdot 10^2 \cdot 0,5^2} \cdot \left( \sqrt{0,8 - \frac{10^2 \cdot 0,5^2}{16 \cdot 9,81} + \frac{10^2 \cdot 0,5^2 \cdot 0,03^2}{2 \cdot 9,81 \cdot 0,06^2}} \right)^3 - \left( \sqrt{0,8 - \frac{10^2 \cdot 0,5^2}{16 \cdot 9,81}} \right)^3$$

$$\dot{V}_r = 0,014 \text{ m}^3/\text{s}$$

b)  $\dot{V}$ :

Die Absolutgeschwindigkeit wird nach Gl.(9-7) angegeben mit  $\vec{c} = \vec{v} + \vec{w}$ . Bild 12-11 veranschaulicht die kinematischen Zusammenhänge.

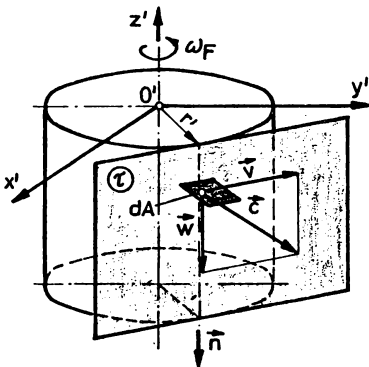


BILD 12-11

Der absolute Volumenstrom ist nach Gl.(11-24):

$$\dot{V} = \int_{(A)} \vec{n} \cdot \vec{c} \cdot dA = 2 \cdot \pi \cdot \int_0^{d/2} w(r') \cdot dr'$$

weil  $\vec{n} \cdot \vec{c} = w$  ist, Bild 12-11. Der Normalenvektor liegt nämlich in der Tangentialebene  $\tau$ , in welcher die Absolutgeschwindigkeit gebildet worden ist. Infolgedessen gilt:

$$\dot{V} = \dot{V}_r = 0,014 \text{ m}^3/\text{s}$$

c)  $\dot{V}_0$ :

Der Volumenstrom im Zustand der Ruhe berechnet sich einfach mit:

$$\dot{V}_0 = \int c \cdot dA = \sqrt{2 \cdot g \cdot z_0} \cdot (\pi/4) \cdot d^2 = \sqrt{2 \cdot 9,81 \cdot 0,8} \cdot (\pi/4) \cdot 0,06^2 ;$$

(A)

$$\dot{V}_0 = 0,0112 \text{ m}^3/\text{s}.$$

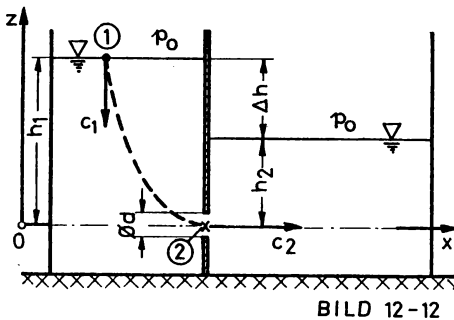
Bemerkung:

Der effektive austretende Volumenstrom bei rotierendem Behälter ist 25 % größer als bei ruhendem Gefäß. - "Geschirrspüler" drehen aufgrund einer Berufserfahrung die zu spülenden Flaschen, damit das Spülwasser schneller beim Leeren der Flaschen ausströmt!

8. Beispiel

Wasser fließt nach Bild 12-12 aus dem linken Gefäß in das rechte. Es gilt hier zu beachten, daß der bei 2 austretende Wasserstrahl in eine Flüssigzone eindringt. - Angaben:  $h_1 = 2,2 \text{ m}$ ;  $h_2 = 0,9 \text{ m}$ ;  $d = 0,10 \text{ m}$ . Man ermittle:

- Die Durchtrittsgeschwindigkeit  $\vec{c}_2$  in der runden Öffnung;
- den entsprechenden Volumenstrom.



Lösungen:

a)  $\vec{c}_2$  :

Charakteristik: quasi-stationär; inkompressibel; reibungsfrei; ohne Arbeitsaustausch. Infolgedessen notiert man die Energiebilanzgleichung in der Art von Gl. (12-6):

$$\frac{p_1}{\rho} + \frac{c_1^2}{2} + g \cdot z_1 = \frac{p_2}{\rho} + \frac{c_2^2}{2} + g \cdot z_2 .$$

Im Zuge der Problemanpassung kann festgehalten werden:

$p_1 = p_0$ ;  $c_1 = 0$  (Näherung von Torricelli);  $z_1 = h_1$ ;  $p_2 = p_0 + \rho \cdot g \cdot h_2$ : Das ist eine sehr wichtige Erkenntnis; die Umgebung, in welche der Strahl eindringt, steht unter diesem absoluten Druck! -  $z_2 = 0$ . - Unter Beachtung dieser Datenbeschaffung bleibt folgende Beziehung übrig:

$$\underline{\underline{c_2 = \sqrt{2 \cdot g \cdot (h_1 - h_2)} = \sqrt{2 \cdot g \cdot \Delta h} .}}$$

In Zahlen folgt:  $c_2 = \sqrt{2 \cdot 9,81 \cdot (2,2 - 0,9)}$  ;  $c_2 = \underline{\underline{5,050 \text{ m/s}}}$  .

b)  $\dot{V}$  :

Aus der Berechnungsgleichung für die Strömungsgeschwindigkeit ersieht man die überraschende Tatsache, daß die Geschwindigkeit nur von der Spiegeldifferenz abhängt, weshalb die Geschwindigkeit in der Übergangsöffnung überall konstant ist: Man muß nicht über den Querschnitt integrieren im Sinne eines relativ großen Stromrohres, sondern man darf die Methode der Volumenstromberechnung in einem Stromfaden übernehmen, wie es Gl.(11-21) vorschreibt:

$$\dot{V} = c \cdot A = \sqrt{2 \cdot g \cdot h} \cdot (\pi/4) \cdot d^2 = 5,05 \cdot (\pi/4) \cdot 0,1^2 \quad ; \quad \dot{V} = \underline{\underline{0,0397 \text{ m}^3/\text{s}}}$$

### 9. Beispiel

Das Mariottesche Gefäß ist ein geschlossener Behälter, der teilweise mit Luft und teilweise mit einer Flüssigkeit -hier mit Wasser- ausgefüllt wird, Bild 12-13. Außerdem ist ein Belüftungsrohr in die Flüssig-

zone eingeführt. Auf dem Wasserspiegel lastet der unbekannte Luftdruck  $p_x$ . Sobald er sich verringert, weil Flüssigkeit ausfließt und das Gasvolumen zunimmt, wird an der Rohrmündung Atmosphärenluft in Form von Luftblasen hochsteigen und den Druck  $p_x$  wieder ansteigen lassen. -Angaben:

$h_0 = 0,2 \text{ m}$ ;  $d = 0,04 \text{ m}$ ;  $D = 0,4 \text{ m}$  .-Man bestimme:

- die Ausflußgeschwindigkeit zu Beginn des Ausfließens;
- die Ausflußgeschwindigkeit bei reduziertem  $h_x$  ;
- den Volumenstrom für beide Fälle.

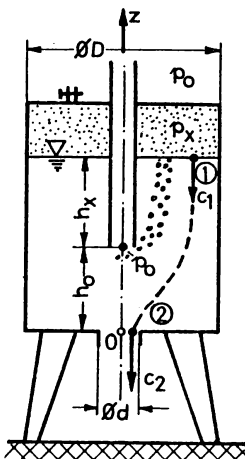


BILD 12-13

Lösungen:

a)  $c_{2a}$  :

Charakteristik: quasi-stationär; inkompressibel; reibungsfrei; ohne Arbeitsaustausch.

Man notiere zunächst die Bernoulli-Formel nach Gl.(12-6) für die anfängliche Austrittsgeschwindigkeit:

$$\frac{p_1}{\rho} + \frac{c_1^2}{2} + g \cdot z_1 = \frac{p_2}{\rho} + \frac{c_2^2}{2} + g \cdot z_2 \quad \text{und vermerke gleichzeitig, daß gilt:}$$

$p_1 = p_x$  ;  $c_1 = (d/D)^4 \cdot c_2$  wegen der Kontinuität;  $z_1 = h_o + h_x$  ;  
 $p_2 = p_o$  ;  $z_2 = 0$  ;  $p_o = p_x + \rho \cdot g \cdot h_x$  (Druckgleichheit an der Rohrmündung).-Setzt man diese Daten ein,so bleibt:

$$c_2 = \sqrt{\frac{2 \cdot g \cdot h_o}{1 - (d/D)^4}} .$$

In Zahlen:

$$c_2 = \sqrt{\frac{2 \cdot 9,81 \cdot 0,2}{1 - (0,04/0,4)^4}} \quad ; \quad \underline{\underline{c_{2a} = 1,981 \text{ m/s}}} .$$

b)  $c_{2b}$  :

Da die in a) abgeleitete Gleichung zur Geschwindigkeitsberechnung nur von geometrischen Größen und nicht von der Zeit abhängt,bleibt die Austrittsgeschwindigkeit ständig konstant,solange  $h_x \geq 0$  ist.

$$\underline{\underline{c_{2a} = c_{2b} = 1,981 \text{ m/s}}} .$$

c)  $\dot{V}_a$  und  $\dot{V}_b$  :

Wegen der Konstanz der Geschwindigkeit darf man wiederum den Volumenstrom mit Gl.(11-21) berechnen:

$$\dot{V} = c \cdot A = 1,981 \cdot (\pi/4) \cdot 0,04^2 \quad ; \quad \underline{\underline{\dot{V}_a = \dot{V}_b = 0,00249 \text{ m}^3/\text{s}}} .$$

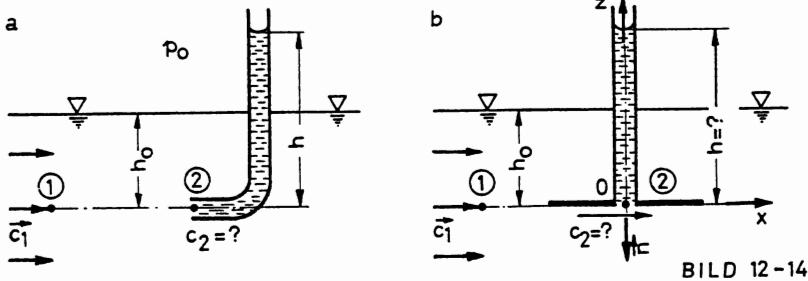
## 10.Beispiel

In einen horizontalen Wasserkanal,in dem die Strömungsgeschwindigkeit  $c_1(x,y,z) = 1 \text{ m/s}$  vorherrscht,taucht man ein Pitot-Rohr(Haken-sonde) bis zur Tiefe  $h_o = 0,1 \text{ m}$  ein,Bild 12-14,Pos. a.-Man ermittle:

a) die Wasserstandshöhe  $h$  im Pitot - Rohr ;

b) die Bedeutung der Wassersäulendifferenz  $h - h_o$  ;

- c) die Höhen  $h_0$  und  $h$  im Falle, daß als Meßsonde eine Sersche Scheibe benützt wird.
- d) Es ist ferner die Frage nachträglich zu beantworten, warum die beiden Geschwindigkeiten  $c_1$  und  $c_2$  bei Anwendung der Serschen Scheibe gleich sind (Bild 12-14, Pos. b).



### Lösungen:

a) h :

Für den Stromfaden 12 stellt man die Bernoulligleichung auf, nachdem die Charakteristik : stationär; inkompressibel; reibungsfrei; ohne Arbeitsaustausch - festgestellt worden ist: Gl.(12-6) :

$$\frac{p_1}{\rho} + \frac{c_1^2}{2} + g \cdot z_1 = \frac{p_2}{\rho} + \frac{c_2^2}{2} + g \cdot z_2 \quad \text{.-Datenbeschaffung: } p_1 = p_0 + \rho \cdot g \cdot h_0;$$

$$c = c_1 = 1 \text{ m/s} ; z_1 = z_2 = 0 ;$$

$$p_2 = p_0 + \rho \cdot g \cdot h ; c_2 = 0, \text{ weil das}$$

Wasser nicht durch das Meßrohr fließt!-In 2 liegt ein sogenannter Staupunkt vor. Das Fluid wird bis auf die Geschwindigkeit null abgebremst!-Nach dem Einsetzen erhält man:

$$h = h_0 + \frac{c^2}{2 \cdot g} \quad \text{In Zahlen : } h = 0,1 + \frac{1^2}{2 \cdot 9,81} ; \quad \underline{\underline{h = 0,151 \text{ m}}}$$

b) h - h\_0 :

Diese Differenz wird als  $c^2/(2 \cdot g)$  Geschwindigkeitshöhe genannt. Man kann darunter auch die auf die Gewichtseinheit bezogene kinetische Energie verstehen. Übrigens kann man mit dieser Säulendifferenz die Strömungsgeschwindigkeit errechnen:



$$c = \sqrt{2 \cdot g \cdot (h - h_0)}$$

c)  $h_0$ ;  $h$  :

Das eingetauchte Sondenrohr (Bild 12-14, Pos. b) trägt am Ende eine kreisförmige Scheibe mit Meßbohrung. -Wiederum wird die Energiebilanz längs eines Stromfadens 12 in der bekannten Art aufgestellt. -Datenbeschaffung:  $p_1 = p_0 + \rho \cdot g \cdot h_0$  ;  $c_0 = c_2 = c$  ;  $z_1 = z_2 = 0$  ;

$$p_2 = p_0 + \rho \cdot g \cdot h \quad \text{.-Nach dem Einsetzen in die bereits}$$

angeführte Bernoulli-Formel bleibt noch übrig:

$$h = h_0$$

d)  $c_2$  :

Die aufgeworfene Frage läßt sich folgendermaßen beantworten: Wenn man von der Strömungsverfälschung durch das Rohr und den Sondenkörper absieht, müßte  $c_2$  im Falle der Ungleichheit eine x- und eine z-Komponente besitzen:  $c_{2x}$  und  $c_{2z}$ . Letztere wäre die Durchströmgeschwindigkeit im Meßrohr. Da aber gilt:  $\vec{n} \perp \vec{c}$  und  $\vec{n} \cdot \vec{c} = 0$ , muß  $c_{2z} = 0$  sein.

#### Bemerkungen:

Die dem Bild 12-14 zugrundeliegenden Erkenntnisse veranlaßten L. Prandtl, eine Kombinationssonde zu entwickeln, wie Bild 12-15 sie zeigt. In 1 bil-

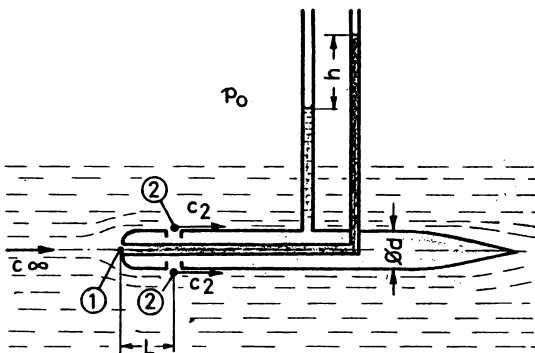


BILD 12-15

det sich ein Stau-  
punkt aus:  $c_1 = 0$ .  
In der Ebene 22 be-  
findet sich ein Ring-  
spalt. Die Geschwindig-  
keit weit vor der  
Sonde  $c_\infty$  und dieje-  
nige in Ebene 22 :  
 $c_2$  sind genügend ge-  
nau gleich, wenn die  
Geschwindigkeitszu-  
nahme infolge der end-  
lichen Sondendicke  
(Verdrängungseffekt)

von  $c_\infty$  nach  $c_2$  vernachlässigt werden darf. -Wenn man die Gl. (12-6) mit der Dichte multipliziert, dann bekommt jeder Teilausdruck die Dimen-

sion eines Druckes:

$$p_1 + \frac{\rho}{2} \cdot c_1^2 + \rho \cdot g \cdot z_1 = p_2 + \frac{\rho}{2} \cdot c_2^2 + \rho \cdot g \cdot z_2 \quad .$$

Das Symbol  $p$  steht für den sogenannten absoluten statischen Druck.  
Den Ausdruck

$$p_k = \frac{\rho}{2} \cdot c^2 \quad (12-16)$$

nennt man kinetischen Druck, Geschwindigkeitsdruck oder Staudruck. Beim Abbremsen, wie z.B. in dem Zentralrohr der Prandtl'schen Meßsonde (Bild 12-15), wird  $p_k$  der ankommenden Strömung zusätzlich in statischen Druck umgewandelt, so daß hiermit die Summe aus dem statischen Druck unmittelbar vor der Sonde und dem Staudruck gemessen wird, weshalb der Summendruck

$$p^* = p + p_k = p + \frac{\rho}{2} \cdot c^2 \quad (12-17)$$

Gesamt- oder Totaldruck genannt wird. - Obige Bernoulligleichung läßt sich nun umschreiben:

$$p_1 + p_{k1} + \rho \cdot g \cdot z_1 = p_2 + p_{k2} + \rho \cdot g \cdot z_2 \quad .$$

Bei horizontaler Strömung ist  $z_1 = z_2$  ( im vorliegenden Sondenfall genügend genau ), so daß auch gilt:

$$\underline{p_1^* = p_2^*} \quad .$$

Voraussetzung hierzu ist natürlich der dissipationsfreie Übergang von 1 nach 2 . Im Punkte 1 wird der Totaldruck gemessen:  $p_1^*$  . Über den ringförmigen Meßspalt wird  $p_2$  , also der statische Druck in der Ebene 22 , gemessen:

$$\underline{p_1^* = p_2 + \frac{\rho}{2} \cdot c_2^2} \quad !$$

Über die Differenzdruckmessung  $\rho \cdot g \cdot h$  läßt sich jetzt die Geschwindigkeit ermitteln:

$$c_\infty = \sqrt{2 \cdot \frac{(p_1^* - p_2)}{\rho}} = \sqrt{2 \cdot g \cdot h} \quad (12-18) .$$

In einem inkompressiblen Fluid ändert sich die Dichte während des Abbremsvorganges in Staupunktnähe nicht, wohl aber bei Abbremsung aus hoher Geschwindigkeit. Die Dichte steigt von der freien Strömung vor der Sonde an bis zum Staupunktszustand. Deshalb wird nicht  $(\rho/2) \cdot c_\infty^2$  gemessen, sondern ein größerer Wert, der als

$$p_{\text{dyn}} = \epsilon \cdot \frac{\rho}{2} \cdot c_\infty^2 = \epsilon \cdot p_k \quad (12-19)$$

dynamischer Druck genannt werden möge. Der Faktor  $\epsilon$  ist größer eins. Seine Ermittlung wird in Abschn. 21.5.2 ( 2. Beispiel) vorgeführt.

Untersuchungen Prandtls ergaben für die optimale Sondengeometrie u.a.:  $L \approx 3 \cdot d$ .

### 11. Beispiel

Bild 12-16 zeigt das Prinzip eines Venturi-Rohres. Die statischen Drücke  $p_1$  und  $p_2$  werden mittels Wandbohrungen erfaßt und über eine Ringleitung dem Meßkanal zugeführt. Im jeweiligen Ringsammler entsteht ein physikalischer Mittelwert. Über eine Differenzdruckmessung

kann auf den Volumenstrom geschlossen werden.

Angaben:  $d = 0,05 \text{ m}$ ;

$D = 0,16 \text{ m}$ ;  $p_1 - p_2 = 0,5 \text{ bar}$ .

Man ermittle für Wasserstr.:  
a) die Geschwindigkeit in

der Rohrleitung;

b) den Volumenstrom.

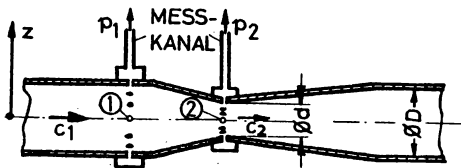


BILD 12-16

### Lösungen:

a)  $c_1$  :

Man greife die Stromlinie 12 heraus und stelle, wie üblich, die Energiebilanz auf nach Gl.(12-6):

$$p_1/\rho + c_1^2/2 + g \cdot z_1 = p_2/\rho + c_2^2/2 + g \cdot z_2 \quad \text{und beachte, daß } z_1 = z_2 = 0 \text{ ist:}$$

$$(p_1 - p_2)/\rho = (c_2^2 - c_1^2)/2$$

Aus der Kontinuitätsbedingung, Gl.(11-20), folgt:  $c_2 = (D/d)^2 \cdot c_1$ .

Damit ergibt sich schließlich:

$$c_1 = \sqrt{\frac{2}{\rho} \cdot \frac{p_1 - p_2}{(D/d)^4 - 1}} \quad . \quad \text{In Zahlen:}$$

$$c_1 = \sqrt{\frac{2}{10^3} \cdot \frac{0,5 \cdot 10^5}{(0,16/0,05)^4 - 1}} \quad ; \quad \underline{\underline{c_1 = 0,981 \text{ m/s}}}$$

b)  $\dot{V}$  :

$$\text{Gl. (11-21)} : \quad \dot{V} = A \cdot c = (\pi/4) \cdot D^2 \cdot c_1 = (\pi/4) \cdot 0,16^2 \cdot 0,981 \quad ; \quad \underline{\underline{\dot{V} = 10,045 \text{ m}^3/\text{s}}}$$

## 12. Beispiel

Aus einem Wassergefäß fließt Medium ab, wie es die Anordnung in Bild 12-17 verdeutlicht. Nach der Bodenöffnung vom Querschnitt  $A_2$  schließt sich ein Austrittsdiffusor an. -Angaben:  $h = 2 \text{ m}$ ;  $L = 0,8 \text{ m}$ ;  $D = 0,16 \text{ m}$ ;  $d = 0,12 \text{ m}$ ;  $p_0 = 1,015 \cdot 10^5 \text{ Pa}$ ; Wassertemperatur  $t = 20^\circ\text{C}$  :

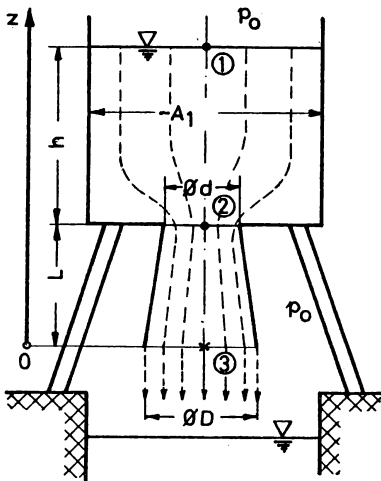


BILD 12-17

- die Austrittsgeschwindigkeit  $c_3$  am Anfang der Bewegung;
- den Volumenstrom;
- den statischen absoluten Druck in der Bodenöffnung  $p_2$  ;
- die gleichen Größen, nur ohne Austrittsdiffusor.
- Besteht bereits die Gefahr der Kavitation in der Bodenöffnung?

### Lösungen:

a)  $c_3$  :

Für die vertikale Stromlinie 123 wird Gl. (12-6) angewandt:

$$\frac{p_1}{\rho} + \frac{c_1^2}{2} + g \cdot z_1 = \frac{p_2}{\rho} + \frac{c_2^2}{2} + g \cdot z_2 = \frac{p_3}{\rho} + \frac{c_3^2}{2} + g \cdot z_3$$

Datenbeschaffung für den Fall, daß die Bernoulli-Formel zwischen den Kontrollebenen 1 und 3 eingesetzt wird:  $p_1 = p_3 = p_0$ ;  $c_1 \approx 0$  (Torricellische Näherung);  $z_1 = h + L$ ;  $z_3 = 0$ . Es folgt:

$$c_3 = \sqrt{2 \cdot g \cdot (h + L)} \quad . - \text{In Zahlen: } c_3 = \sqrt{2 \cdot 9,81 \cdot 2,8} \quad ; \quad \underline{c_3 = 7,412 \text{ m/s} .}$$

b)  $\dot{V}$  :

$$\text{Gl. (11-21): } \dot{V} = A_3 \cdot c_3 = (\pi/4) \cdot D^2 \cdot c_3 = (\pi/4) \cdot 0,16^2 \cdot 7,412 ;$$

$$\underline{\dot{V} = 0,149 \text{ m}^3/\text{s} .}$$

c)  $p_2$  :

Erstreckt man die Bernoulli-Formel zwischen den Stromlinienpunkten 1 und 2 ,dann erhält man wiederum nach Vernachlässigung von  $c_1$  für den statischen Druck  $p_2$  :

$$\underline{p_2 = p_0 + \rho \cdot g \cdot h - (\rho/2) \cdot c_2^2} \quad .$$

Setzt man  $c_2$  über die Volumenstromberechnung  $c_2 = \dot{V}/A_2$  ein, dann ergibt sich:

$$\underline{p_2 = p_0 + \rho \cdot g \cdot h - (\rho/2) \cdot (\dot{V}/A_2)^2} \quad . \text{ In Zahlen:}$$

$$p_2 = 1,015 \cdot 10^5 + 10^3 \cdot 9,81 \cdot 2 - (10^3/2) \cdot [4 \cdot 0,149 / (\pi \cdot 0,12^2)]^2$$

$$\underline{\underline{p_2 = 0,3434 \text{ bar.}}}$$

d)  $c_{20}$  ;  $\dot{V}_0$  ;  $p_{20}$  :

Ohne Austrittsdiffusor gilt:  $c_3 = c_{20}$  für  $L = 0$  ; damit folgt:

$$c_{20} = \sqrt{2 \cdot g \cdot h} = \sqrt{2 \cdot 9,81 \cdot 2} \quad ; \quad \underline{c_{20} = 6,264 \text{ m/s} .}$$

Der Volumenstrom beträgt:

$$\dot{V} = (\pi/4) \cdot 0,12^2 \quad ; \quad \underline{\dot{V}_0 = 0,0708 \text{ m}^3/\text{s} .}$$

Endlich ist auch

$$\underline{\underline{p_{20} = p_0 = 1,015 \text{ bar.}}}$$

e) Kavitationsgefahr:

Der Dampfdruck des Wassers lautet für  $t = 20^\circ\text{C}$  :  $p_{\text{Dampf}} = 0,02337 \text{ bar}$ . (Vgl. Abschn. 2.5). Der Kavitationsdruck liegt nach Bild 2-3 etwas darüber. Ein praktischer Näherungswert ist  $p_K \approx 0,025 \text{ bar}$ . Da der Druck  $p_3$  (Beispielposition c) etwa 13,7mal größer ist als der Kavitationsdruck  $p_K$ , besteht keine Kavitationsgefahr.

Bemerkung: Der Austrittsdiffusor heißt bei Wasserturbinen auch noch Saugdiffusor. Er legt an die engste Stelle einen

niedrigeren Druck. Deshalb fließt mehr Fluid durch die Anlage!

### 13. Beispiel

Durch Einfügen eines Steigrohres in die engste Stelle eines Venturirohres erhält man einen Injektor, wie er zu Mischzwecken in der Verfahrenstechnik Verwendung findet, Bild 12-18. Folgende Systemdaten sind

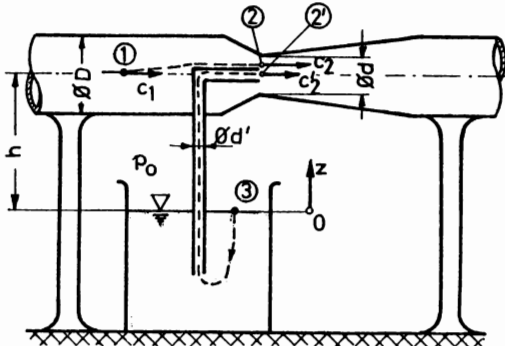


BILD 12-18

bekannt:  $\dot{V} = 0,05 \text{ m}^3/\text{s}$ ;  
 $D = 0,2 \text{ m}$ ;  $d = 0,1 \text{ m}$ ;  
 $d' = 0,05 \text{ m}$ ; Dichte des Treibmediums  $\rho = 1000 \text{ kg/m}^3$ ; Dichte des angesaugten Mediums  $\rho' = 1,3 \cdot 10^3 \text{ kg/m}^3$ ;  $h = 1 \text{ m}$ ;  
 $p_2 = 0,05 \text{ bar}$ ;  $p_0 = 1,015 \text{ bar}$ .  
 Man bestimme:

- den angesaugten Massenstrom im Steigrohr  $\dot{m}'$ ;
- den gesamten Massenstrom  $\dot{m}^*$ ;

- den Massenanteil des angesaugten Fluids in der Mischung;
- die Strömungsgeschwindigkeit  $c_1$ ;
- den absoluten statischen Druck  $p_1$ .

### Lösungen:

- $\dot{m}'$ :

$$\text{Gl. (12-6) für die Passage } 32' : p_3/\rho' + c_3^2/2 + g \cdot z_3 = p_2'/\rho' + c_2'^2/2 + g \cdot z_2' .$$

Datenbeschaffung:  $p_3 = p_0$ ;  $c_3 = 0$ ;  $z_3 = 0$ ;  $p_2' = p_2$ ;  $z_2' = z_2$ .

Die Datenverwertung ergibt:

$$c_2' = \sqrt{2 \cdot \left( \frac{p_0 - p_2}{\rho'} - g \cdot h \right)} . \quad \text{In Zahlen:}$$

$$c_2' = \sqrt{2 \cdot \left( \frac{1,015 \cdot 10^5 - 0,05 \cdot 10^5}{1300} - 9,81 \cdot 1 \right)} ; \quad \underline{\underline{c_2' = 11,35 \text{ m/s}}} .$$

$$\text{Gl. (11-17) : } \dot{m}' = \rho' \cdot A' \cdot c_2' = 1300 \cdot (\pi/4) \cdot 0,05^2 \cdot 11,35 ;$$

$$\underline{\underline{\dot{m}' = 28,974 \text{ kg/s}}} .$$

b)  $\dot{m}^*$  :

$$\dot{m}^* = \dot{m} + \dot{m}' = \varrho \cdot \dot{V} + \dot{m}' = 1000 \cdot 0,05 + 28,974 \quad ; \quad \underline{\underline{\dot{m}^* = 78,974 \text{ kg/s.}}}$$

c)  $x = m'/m^*$  :

Das Massenverhältnis darf nach der Regel von de l'Hospital auch über das Verhältnis der Massenströme berechnet werden:

$$x = \frac{\dot{m}'}{\dot{m}^*} = \lim_{\Delta t \rightarrow 0} \left[ \frac{\Delta m' / \Delta t}{\Delta m^* / \Delta t} \right] ; \quad \text{in Zahlen : } x = \frac{28,974}{78,974} \quad ; \quad \underline{\underline{x = 0,367}} \quad .$$

d)  $c_1$  :

Aus der Kontinuitätsgleichung folgt:  $\dot{V} = A \cdot c_1$  ;

$$c_1 = \frac{4 \cdot \dot{V}}{\pi \cdot D^2} = \frac{4 \cdot 0,05}{\pi \cdot 0,2^2} \quad ; \quad \underline{\underline{c_1 = 1,5915 \text{ m/s}}} \quad .$$

e)  $p_1$  :

$$\text{Gl.(12-6) für die Passage 12 : } \frac{p_1}{\varrho} + \frac{c_1^2}{2} + g \cdot z_1 = \frac{p_2}{\varrho} + \frac{c_2^2}{2} + g \cdot z_2 \quad ;$$

$$\text{Datenbeschaffung: } z_1 = z_2 \quad ; \quad c_2 = 4 \cdot \dot{V} / (d^2 - d'^2) \cdot 1/\pi \quad .$$

$$c_2 = \frac{4 \cdot 0,05}{\pi \cdot (0,1^2 - 0,05^2)} \quad ; \quad \underline{\underline{c_2 = 8,488 \text{ m/s}}} \quad ; \quad \text{aus der Bernoulliglei-}$$

$$\text{chung ergibt sich: } \underline{\underline{p_1 = p_2 + \frac{\varrho}{2} \cdot (c_2^2 - c_1^2)}} \quad ; \quad \text{in Zahlen:}$$

$$p_1 = 0,05 \cdot 10^5 + \frac{1000}{2} \cdot (8,488^2 - 1,5915^2) \quad ; \quad \underline{\underline{p_1 = 0,3976 \text{ bar}}} \quad .$$

#### 14.Beispiel

Ein oben offenes Gefäß ist bis zur Höhe  $z_1 = 1,8 \text{ m}$  mit Wasser gefüllt. Durch eine kleine Bodenöffnung kann Wasser ausfließen, Bild 12-19. Der sich einstellende Strömungsvorgang kann von vornherein als instationär deklariert werden. Die Ableitungen dürfen in diesem Zusammenhang ohne die in der Energiebilanzgleichung vorhandene Verzögerungsarbeit vorgenommen werden. - Man ermittle:

a) die Auslaufzeit  $t_a$ , bis der Wasserspiegel sich auf eine Spiegelhöhe  $z_3 = 0,3 \text{ m}$  abgesenkt hat; Gefäßdurchmesser  $D = 1,2 \text{ m}$ ; Durch-

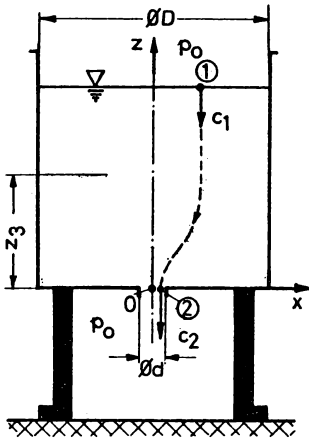


BILD 12-19

- messer der Bodenöffnung  $d = 0,06 \text{ m}$ ;  
 b) die Zeit  $t_b$  für vollständige Entleerung des Gefäßes;  
 c) Abschätzung, ob die Vernachlässigung der Verzögerungsarbeit zu Recht besteht.

Lösungen:

a)  $t_a$  :

Charakteristik: instationär; inkompressibel; reibungsfrei; ohne Arbeitsaustausch. - Also bietet sich Gl. (12-3) als Energiebilanzgleichung an:

$$-\int_{1,2} \frac{\partial c}{\partial t} \cdot ds + \frac{p_1}{\rho} + \frac{c_1^2}{2} + g \cdot z_1 = \frac{p_2}{\rho} + \frac{c_2^2}{2} + g \cdot z_2$$

Macht man jetzt Gebrauch von der zugestandenen Vernachlässigung der spezifischen Verzögerungsarbeit und erinnert man sich auch der Torricellischen Vereinfachung (siehe 1. Beispiel), dann erhält man eine Beziehung für die variable Austrittsgeschwindigkeit:

Datenbeschaffung:  $p_1 = p_2 = p_0$  ;  $z_1 = z$  (variabel!) ;  $z_2 = 0$  :

$$c_2 = \sqrt{2 \cdot g \cdot z}$$

Die weitere Lösungsphilosophie lautet: Die Volumenabnahme im Behälter ist gleich dem durch die Öffnung 2 abgeflossenen Wasser. Oder: Der Volumenstrom in 1 ist gleich dem in 2 .

$$\dot{V}_1 = A_1 \cdot c_1 = \dot{V}_2 = A_2 \cdot c_2 ;$$

$$D^2 \cdot c_1 = d^2 \cdot c_2 ;$$

Die Sinkgeschwindigkeit des Wasserspiegels  $c_1$  wird folgendermaßen angegeben:

$$c_1 = - dz/dt$$

(Das Minuszeichen muß hier stehen, weil sich der Weg in negativer Richtung ändert). Jetzt liegt eine Differentialgleichung vor:

$$d^2 \cdot \sqrt{2 \cdot g \cdot z} = - D^2 \cdot \frac{dz}{dt} ; \text{ nach Trennung der Variablen folgt:}$$

$$dt = - \left( \frac{D}{d} \right)^2 \cdot \frac{dz}{\sqrt{2 \cdot g \cdot z}} ; \text{ die bestimmte Integration ergibt:}$$



$$t = - \frac{D^2}{d^2 \cdot \sqrt{2 \cdot g}} \int_{z_1}^{z_2} z^{-1/2} \cdot dz ; \quad t = \left( \frac{D}{d} \right)^2 \cdot \frac{2}{\sqrt{2 \cdot g}} \cdot (\sqrt{z_1} - \sqrt{z_2}) .$$

In Zahlen:

$$t_a = \left( \frac{1,2}{0,06} \right)^2 \cdot \frac{2}{\sqrt{2 \cdot 9,81}} \cdot (\sqrt{1,8} - \sqrt{0,5}) ; \quad \underline{\underline{t = 114,6 \text{ s} = 1 \text{ min } 54,6 \text{ s}}} .$$

b)  $t_b$  :

Hierfür ist  $z_2 = 0$  einzusetzen:  $\underline{\underline{t_b = 242,31 \text{ s} = 4 \text{ min } 2,31 \text{ s}}} .$

c) Nachweis für die berechnete Vernachlässigung der Verzögerungsarbeit :

Die maximale Geschwindigkeitsänderung an der Stelle 2 ist

$c_2 = \Delta c = \sqrt{2 \cdot 9,81 \cdot 1,8} = 5,94 \text{ m/s}$  .Die gesamte Zeit,die für die Geschwindigkeitsabnahme zur Verfügung steht beträgt  $t_b = 242,31 \text{ s}$  .  
Somit stellt sich an der Stelle 2 eine Lokalverzögerung ein von

$$\frac{\partial c}{\partial t} = \frac{5,94}{242,31} = 0,0245 \text{ m/s}^2 .$$

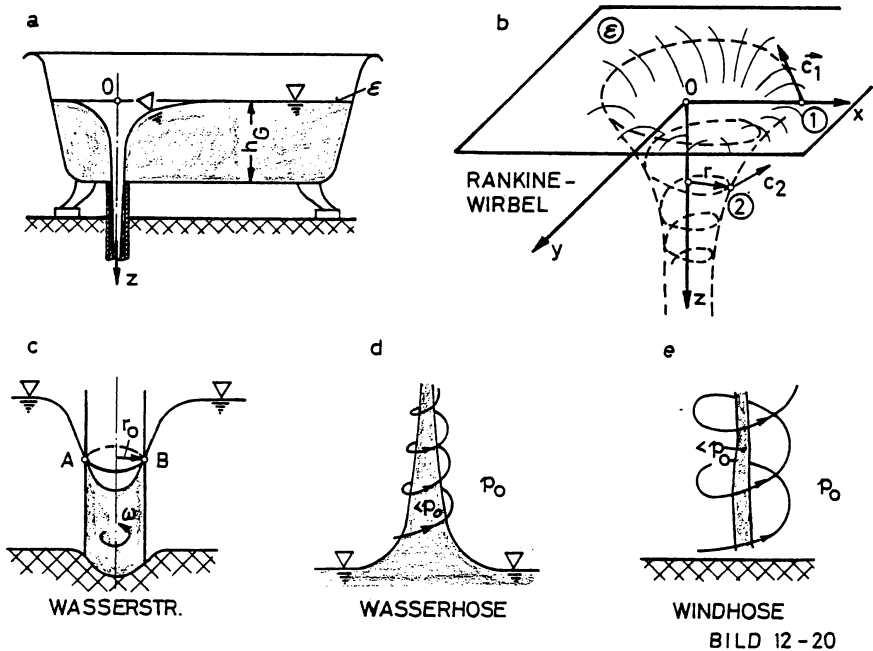
Wenn man nun diesen Wert als konstant längs der Stromlinie 12 vorgibt,dann liegt man an der oberen Grenze,weil alle übrigen Lokalverzögerungen um den Faktor  $D^2/d^2 = 400$  darunterliegen.-Der Maximalbetrag der massenspezifischen Verzögerungsarbeit lautet nun:

$$\underline{\underline{\int \frac{\partial c}{\partial t} \cdot ds = \frac{\partial c}{\partial t} \int_{z_1}^{z_2} ds = \frac{\partial c}{\partial t} \cdot z_1 = 0,0245 \cdot 1,8 = 0,0441 \text{ m}^2/\text{s}^2 .}}$$

Nimmt man aus der Energiebilanzgleichung z.B. das Glied  $g \cdot z_1$  zum Vergleich:  $g \cdot z_1 = 9,81 \cdot 1,8 = 17,658 \text{ m}^2/\text{s}^2$  ,so fällt auf,daß die vernachlässigte Verzögerungsarbeit in diesem Vergleich nur 2,5 % ist.Damit ist der gewünschte Nachweis erbracht!

### 15.Beispiel

Aus einer gefüllten Badewanne fließt das Wasser durch die Bodenöffnung aus,Bild 12-20,Pos. a.Von einem bestimmten Grenzniveau  $h_g$  an



entsteht ein rotierender Wassertrichter, der Wasserstrudel oder Rankine-Wirbel heißt.- Man ermittle:

- den Verlauf der freien Oberfläche, die Gleichung also der Meridianlinie;
- den Oberflächenverlauf für den Fall eines in einem Flußlauf entstandenen Strudels;
- Erläuterungen zum Phänomen der Wasser- und Windhose.

#### Lösungen:

a)  $z = f(r)$  :

Die horizontale Referenzebene heißt  $\epsilon$ . Man betrachte das Geschehen längs einer Stromlinie 12 auf der freien Oberfläche. Die Bernoulli-Formel, Gl. (12-6) wird angeschrieben:

$$\frac{p_1}{\rho} + \frac{c_1^2}{2} + g \cdot z_1 = \frac{p_2}{\rho} + \frac{c_2^2}{2} + g \cdot z_2 \quad ; \quad \text{Datenbeschaffung : } p_1 = p_2 = p_0 ;$$

$c_1 = 0$  ( Vereinfachung von Torricelli);  $z_1 = 0$ ;  $z_2 = -z$  ;

$c_2^2 = c_{2z}^2 + c_{2u}^2 \approx c_{2u}^2$ , weil die Vertikalkomponente  $c_{2z}$  vernachlässigt werden möge; die Umfangs- oder Drallkomponente der Geschwindigkeit ergibt sich aus Gl.(11-52), womit die induzierte Geschwindigkeit  $c_i = c_{2u}$  berechnet werden kann:  $c_{2u} = \Gamma / (2 \cdot \pi \cdot r)$ . Aus der Bernoulli-Formel bleibt noch übrig (Bild 12-20, Pos. b) :

$$\frac{p_o}{\rho} = \frac{p_o}{\rho} + \frac{\Gamma^2}{8 \cdot \pi^2 \cdot r^2} - g \cdot z \quad \text{oder}$$
$$z = \frac{\Gamma^2}{8 \cdot g \cdot \pi^2 \cdot r^2} = \frac{\Gamma^2}{8 \cdot g \cdot \pi^2 \cdot (x^2 + y^2)} \quad .$$

Das ist aber die Gleichung eines Rotationshyperboloids, dessen Meridianlinie die Gleichung:

$$z = \frac{\text{Konst}}{r^2} \quad \text{besitzt.}$$

b)  $z = f(r)$  in Flußstrudel :

Durch eine unegale Grube am Flußboden (Bild 12-20, Pos. c) entsteht beim Überfluten eine unsymmetrische Ausfüllströmung, die allmählich in Rotation gerät.

Von der Wasseroberfläche an gerechnet bis hin zur Horizontalebene AB, gilt die obige Feststellung des hyperbolischen Verlaufs! - Dieser Bereich des Rankine-Wirbels ist nach Abschn. 11.3.3 ein Potentialwirbel. Nun aber beginnt wegen der nicht mehr zu vernachlässigenden Reibung die Zone eines Kernwirbels! - Deshalb liegt ein Oberflächenverlauf nach Gl.(9-21) vor. Die Oberfläche nimmt jetzt die Form eines Rotationsparaboloids an.

Der Rankine-Wirbel setzt sich nunmehr aus einem Potentialwirbel- und einem Kernwirbelbereich zusammen.

o) Wasser- und Windhose :

Man kennt auch Luftstrudel (Tornado). - An der Grenze des Wirbelkerns ist die induzierte Geschwindigkeit am größten (vgl. Bild 11-26). Für einen Punkt einer Oberflächenstromlinie muß dort neben der größten Geschwindigkeit auch der kleinste Druck vorliegen, weshalb der Umgebungsdruck  $p_o$  einmal z.B. Wasser in dem Wirbelschlauch hochdrückt (Bild 12-20, Pos. d: Wasserhose) oder Blätter, Dachziegel usw. wie im Falle einer Windhose (Bild 12-20, Pos. e).

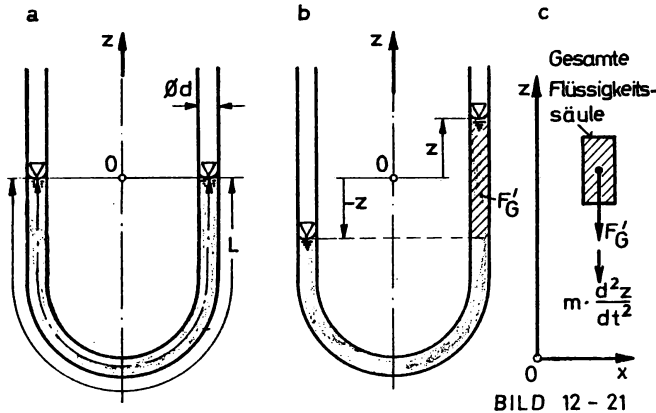
### 16. Beispiel

In einem U-Rohr, Bild 12-21, Pos. a, ist eine Flüssigkeit eingefüllt. Die Rohrnennweite wird mit  $d$  und die Flüssigfadenlänge mit  $L$  bezeichnet. - Wenn nun die Flüssigkeitssäule zur Zeit  $t = 0$  plötzlich

um ein gewisses Maß  $z_0$  ausgelenkt würde, dann entstünden Schwingungen.

Man ermittle:

- die Schwingungsgleichung für den reibungsfreien Fall;
- die Schwingungsdauer.



### Lösungen:

a)  $z = f(t)$  :

Die Angaben bei beliebiger Auslenkung zeigt Bild 12-21, Pos. b. Schwingungen entstehen, wenn eine rücktreibende Kraft vorhanden ist und sich ein ständiges Wechselspiel von potentieller und kinetischer Energie anbietet. - Das dynamische Gleichgewicht für eine ruhende Ersatzmasse ist in Bild 12-21, Pos. c, angedeutet. Nach dem d'Alembert-Prinzip, etwa Gl. (8-7), folgt:

$$\underbrace{\sum F_{i\vec{x}} = -m \cdot \frac{d^2 z}{dt^2} - F'_G = 0}_{\text{D'Alembert-Prinzip}} ; \quad \begin{array}{l} \text{Datenbeschaffung: die Masse des} \\ \text{Flüssigkörpers beträgt : } (\pi/4) \cdot d^2 \cdot L \cdot \rho; \\ \text{die rücktreibende Gewichtskraft ist} \end{array}$$

nur:  $2 \cdot z \cdot (\pi/4) \cdot d^2 \cdot \rho \cdot g$  ! - Daraus folgt:

$$-\frac{\pi \cdot d^2}{4} \cdot L \cdot \rho \cdot \frac{d^2 z}{dt^2} - 2 \cdot z \cdot \frac{\pi \cdot d^2}{4} \cdot \rho \cdot g = 0 ;$$

es ergibt sich die Differentialgleichung der harmonischen Schwingungen:

$$\frac{d^2 z}{dt^2} + \frac{2 \cdot g}{L} \cdot z = 0$$

Nach den Ausführungen auf Seite 120 und 128 sieht die Lösung dieser Dgl. folgendermaßen aus:

$$\begin{cases} z = z_0 \cdot \sin(\omega \cdot t + \varphi_1) \text{ oder} \\ z = z_0 \cdot \cos(\omega \cdot t + \varphi_2) \end{cases}$$

Es ist  $\omega^2 = 2 \cdot g/L$ .

b) Schwingungsdauer:

$$T = \frac{2 \cdot \pi}{\omega} = 2 \cdot \pi \cdot \sqrt{\frac{L}{2 \cdot g}}$$

Sie ist umso größer, je länger der Flüssigfaden ist.

### 17. Beispiel

Ein Tantal-Gefäß, Bild 12-22, wird mit einem konstanten Volumenstrom  $\dot{V}_0$  versorgt. Wenn der Wasserspiegel das Niveau 1 erreicht, springt der

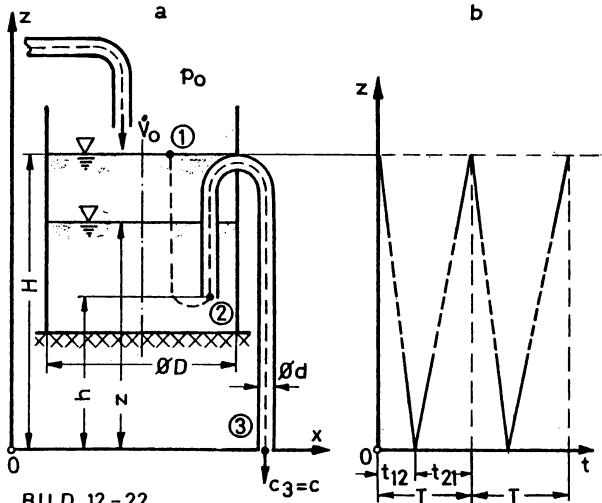


BILD 12-22

Ablaßheber (Siphon) an, und der Wasserspiegel fällt bis zum Niveau 2 ab. Dort gelangt Luft in die Abflußleitung, so daß das Ausströmen unterbunden ist. Der konstante Volumenstrom füllt das Gefäß wieder bis zum Niveau 1. Man ermittle:

- die Füllzeit  $t_{12}$ ;
  - die Strömungsgeschwindigkeit im Abflußrohr
- in allgemeiner Form und beim Beginn des Ausströmens;
- die Entleerungszeit  $t_{21}$ ;
  - eine kurze Beschreibung der periodischen Bewegung.

Angaben:  $D = 0,3 \text{ m}$  ;  $d = 0,04 \text{ m}$  ;  $H = 1,5 \text{ m}$  ;  $h = 0,6 \text{ m}$  ;  $\dot{V}_0 = 0,002 \text{ m}^3/\text{s}$ ; die Rohrwandstärke ist zu vernachlässigen!

Lösungen:

a)  $t_{21}$  :

$$\text{Gl. (11-21): } \dot{V}_0 = A \cdot c_{21} = \frac{\pi}{4} \cdot D^2 \cdot \frac{H - h}{t_{21}} ; \quad t_{21} = \frac{\pi \cdot D^2}{4} \cdot \frac{H - h}{\dot{V}_0} ;$$

in Zahlen:  $t_{21} = \frac{\pi}{4} \cdot 0,3^2 \cdot \frac{1,5 - 0,6}{0,002} ; \quad \underline{\underline{t_{21} = 31,81 \text{ s}}}$

b)  $c_3 = c$  : Charakteristik : instationär; reibungsfrei; ink.; o.A.A.

Bei der Anwendung der Bernoulligleichung berufe man sich auf die Kontrollebenen 1-3 , Gl. (12-3):

$$-\int_{1.3} \frac{\partial c}{\partial t} \cdot ds + \frac{p_1}{\rho} + \frac{c_1^2}{2} + g \cdot z_1 = \frac{p_3}{\rho} + \frac{c_3^2}{2} + g \cdot z_3 ;$$

Datenbeschaffung: Die Verzögerungsarbeit möge vernachlässigt werden (später ist eine Fehlerabschätzung vorzunehmen);  
 $p_1 = p_3 = p_0$  ;  $z_1 = z$  ;  $c_3 = c$  ;  $z_3 = 0$  . Somit folgt:

$$\boxed{c_1^2 = c^2 - 2 \cdot g \cdot z} \quad (a).$$

Eine Volumenstrombilanz hilft weiter:

$$\dot{V}_3 = \dot{V}_0 + \frac{\pi}{4} \cdot (D^2 - d^2) = \frac{\pi}{4} \cdot d^2 \cdot c ;$$

$$\boxed{c_1 = \frac{d^2}{D^2 - d^2} \cdot c - \frac{4 \cdot \dot{V}_0}{\pi \cdot (D^2 - d^2)}} \quad (b).$$

Mit Hilfe dieser beiden Bestimmungsgleichungen ergibt sich die gesuchte Beziehung  $c = f(z)$  .

Zur Auflösung der Gleichung nach Einsetzen von (a) in (b) hält man  $z$  zunächst als Parameter konstant. Die Lösung der quadratischen Gleichung lautet:

$$c = - \frac{\frac{4 \cdot \dot{v}_0 \cdot d^2}{\pi \cdot (D^2 - d^2)^2}}{1 - \frac{d^4}{(D^2 - d^2)^2}} + \left[ \frac{\frac{16 \cdot \dot{v}_0^2 \cdot d^4}{\pi^2 \cdot (D^2 - d^2)^4}}{\left[ 1 - \frac{d^4}{(D^2 - d^2)^2} \right]^2} + \frac{2 \cdot g \cdot z + \frac{16 \cdot \dot{v}_0^2}{\pi^2 \cdot (D^2 - d^2)^2}}{1 - \frac{d^4}{(D^2 - d^2)^2}} \right] ;$$

in Zahlen:

$$\left\{ \begin{array}{l} c = -5,2 \cdot 10^{-4} + \sqrt{8,3 \cdot 10^{-3} + 19,6264 \cdot z} \quad (c). \\ c = -A + \sqrt{B + C \cdot z} \quad (d). \end{array} \right.$$

c)  $t_{12}$ :  
Die Kontinuitätsgleichung (b) läßt sich auch noch folgendermaßen weiterschreiben:

$$c_1 = - \frac{dz}{dt} = \frac{d^2}{D^2 - d^2} \cdot c - \frac{4 \cdot \dot{v}_0}{\pi \cdot (D^2 - d^2)} \quad (e).$$

Setzt man (d) in (e) ein, dann ergibt sich nach Trennung der Variablen nachstehende Differentialgleichung:

$$dt = \frac{(D^2 - d^2) \cdot dz}{d^2 \cdot (-A + \sqrt{B + C \cdot z}) - (4/\pi) \cdot \dot{v}_0} ;$$

Die Integration wird folgendermaßen vorgenommen:

$$t_{12} = \frac{D^2 - d^2}{d^2} \int_h^H \frac{dz}{\sqrt{B + C \cdot z} - \underbrace{\left( A + \frac{4 \cdot \dot{v}_0}{\pi \cdot d^2} \right)}_a} = \frac{D^2 - d^2}{d^2} \int_h^H \frac{dz}{\sqrt{B + C \cdot z} - a} ;$$

Mit der Substitution  $u = \sqrt{B + C \cdot z}$  folgt  $u^2 = B + C \cdot z$  und  $2 \cdot u \cdot du = C \cdot dz$ , was zu  $dz = (2/C) \cdot u \cdot du$  führt:

$$t_{12} = \frac{D^2 - d^2}{d^2} \int_h^H \frac{2}{C} \cdot \frac{u \cdot du}{u - a} = \frac{D^2 - d^2}{d^2} \cdot \frac{2}{C} \int_h^H \left( 1 + \frac{a}{u - a} \right) \cdot du ;$$

$$t_{12} = \frac{2}{c} \cdot \frac{D^2 - d^2}{d^2} \left[ u + a \cdot \ln(u - a) \right] \Bigg|_h^H = \frac{2}{c} \cdot \frac{D^2 - d^2}{d^2} \cdot \left[ \sqrt{B+C \cdot z} + a \cdot \ln(\sqrt{B+C \cdot z} - a) \right] \Bigg|_h^H$$

$$t_{12} = \frac{2}{c} \cdot \frac{D^2 - d^2}{d^2} \cdot \left( \sqrt{B+C \cdot H} - \sqrt{B+C \cdot h} + a \cdot \ln \frac{\sqrt{B+C \cdot H} - a}{\sqrt{B+C \cdot h} - a} \right) .$$


---

In Zahlen:

$$a = 5,2 \cdot 10^{-4} + \frac{4,0,002}{\pi \cdot 0,04^2} = 1,5921 \text{ m/s} .$$

$$t_{12} = \frac{2}{19,6264} \cdot \frac{0,3^2 - 0,04^2}{0,04^2} \cdot \left( \sqrt{8,3 \cdot 10^{-3} + 19,6264 \cdot 1,5} - \sqrt{8,3 \cdot 10^{-3} + 19,6264 \cdot 0,6} + 1,5921 \cdot \ln \frac{\sqrt{8,3 \cdot 10^{-3} + 19,6264 \cdot 1,5} - 1,5921}{\sqrt{8,3 \cdot 10^{-3} + 19,6264 \cdot 0,6} - 1,5921} \right)$$

$$\underline{\underline{t_{12} = 17,8 \text{ s} .}}$$

d) Kurzbeschreibung der periodischen Bewegung:

Die Schwingungsdauer beträgt

$$\underline{\underline{T = t_{12} + t_{21} = 49,61 \text{ s} .}}$$

Es handelt sich um eine unharmonische Schwingung, da die Halbperioden verschieden sind.

Bemerkungen:

Tankstellen waren früher mit Zwilling's-Tantal-Gefäßen als Volumenzähler ausgerüstet. ,

Eine ganz grobe Abschätzung des Fehlers aufgrund der Vernachlässigung der Verzögerungsarbeit  $\int_{4,3} \frac{\partial c}{\partial t} \cdot ds$  ergibt bei der Annahme einer mittleren Geschwindigkeitsabnahme von  $c(z=H)/2 = 5,426/2 = 2,713 \text{ m/s}$

in der Zeit  $t_{12} = 17,8 \text{ s}$  längs des Weges  $s_{13} = 3,3 \text{ m}$  einen Wert von  $0,5 \text{ m}^2/\text{s}^2$  für die massenspezifische Verzögerungsarbeit. Bezieht man sie auf den diesbezüglichen größten spezifischen Energieanteil



$g \cdot z_1 = 9,81 \cdot 1,5 = 14,715 \text{ m}^2/\text{s}^2$ , so kann man sagen, daß die Totalenergie im Stromfaden etwa 3% zu groß angesetzt worden ist.

### 18. Beispiel

Ein Sprühwagen fährt auf ebener Straße, Bild 12-23. An seinem rechten Ende tritt aus ihm ein Wasserstrahl bei stationärer Strömung aus mit der Relativgeschwindigkeit  $w = 0,5 \text{ m/s}$ . Die Austrittsöffnung beträgt  $A = 0,04 \text{ m}^2$ . Man ermittle den absoluten Volumenstrom bei einer Fahrzeuggeschwindigkeit von  $v = 1 \text{ m/s}$  bezüglich der Kontrollebene BB - sie befinde sich etwa 0,05 m außerhalb der Austrittsöffnung - für den Fall, daß

- das Fahrzeug sich nach rechts und
- nach links bewegt. - Man beachte besonders die Ausführungen zu Gl.(11-19).

#### Lösungen:

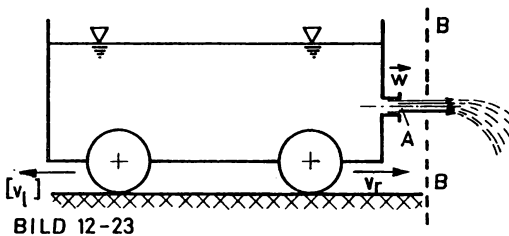
- $\dot{V}_{\text{rechts}}$  :

Die Absolutgeschwindigkeit lautet hier nach Gl.(9-7) betragsmäßig:

$$c = v_r + w = 1 + 0,5 = 1,5 \text{ m/s.}$$

Den absoluten Volumenstrom erhält man dann mit Gl.(11-21) zu:

$$\dot{V}_{\text{rechts}} = A \cdot c = 0,04 \cdot 1,5 ; \quad \underline{\underline{\dot{V}_{\text{rechts}} = 0,06 \text{ m}^3/\text{s.}}}$$



- $\dot{V}_{\text{links}}$  :

Sinngemäß erhält man hier für die Absolutgeschwindigkeit

$$c = v_l - w = 1 - 0,5 ;$$

$$c = 0,5 \text{ m/s.}$$

Damit folgt für den absoluten Volumenstrom in diesem Fall:

$$\dot{V}_{\text{links}} = A \cdot c = 0,04 \cdot 0,5 ; \quad \underline{\underline{\dot{V}_{\text{links}} = 0,02 \text{ m}^3/\text{s.}}}$$

#### Bemerkungen:

In beiden Bewegungszuständen versteht sich der relative Volumenstrom ohne weiteres: Es handelt sich um den direkt das Fahrzeug verlassenden Volumenstrom. - Bei der Bewegung nach rechts schiebt sich der Wasserstrahl um die Fahrzeuggeschwindigkeit schneller durch die Kontroll-

ebene hindurch, weshalb der absolute Volumenstrom zunehmen muß. Im anderen Fall nimmt das Fahrzeug seinen Wasserstrahl mit, so daß eben weniger den Kontrollquerschnitt passiert.

### 12.3. Impulssätze (Euler, 1754)

#### 12.3.1. Kräfte

Aus den drei Newtonschen Hauptsätzen der allgemeinen Mechanik: dem Trägheitsgesetz, der Proportionalität zwischen Kräften und Beschleunigungen bezüglich desselben beweglichen Körpers und dem Wechselwirkungsgesetz resultiert die Hauptgleichung für die Translation:

$$\boxed{\frac{d(m \cdot \vec{c})}{dt} = \frac{d\vec{I}}{dt} = \sum \vec{F}_i} \quad (12-20).$$

Die Größe

$$\boxed{\vec{I} = m \cdot \vec{c} = \int_{(m)} dm \cdot \vec{c} = f(t, s)} \quad (12-21)$$

heißt Impulsvektor und muß in der Fluidmechanik als Integral angeschrieben werden, weil jedes Massenelement  $dm$  eine andere Geschwindigkeit im Kontrollraum haben kann. - Unter Kontrollraum versteht man die in die Betrachtung einbezogene und abgegrenzte Fluidmasse. - Die Weiterentwicklung der beiden letzten Gleichungen bringt für die Fluidmechanik folgende Zusammenhänge:

$$\begin{aligned} \frac{d\vec{I}}{dt} &= \frac{d}{dt} \left( dm \cdot \vec{c} \right) = \frac{d(dm)}{dt} \cdot \vec{c} + dm \cdot \frac{d\vec{c}}{dt} = \frac{d}{dt} (\rho \cdot dV) \cdot \vec{c} + (\rho \cdot dV) \cdot \left( \frac{\partial \vec{c}}{\partial t} + \vec{c} \cdot \frac{\partial \vec{c}}{\partial s} \right) = \sum \vec{F}_i ; \\ \frac{d\vec{I}}{dt} &= \int \left[ \frac{d\rho}{dt} \cdot dV + \rho \cdot \frac{d(dV)}{dt} \right] \cdot \vec{c} + \int (\rho \cdot dV) \cdot \left( \frac{\partial \vec{c}}{\partial t} + \vec{c} \cdot \frac{\partial \vec{c}}{\partial s} \right) = \int \left( \frac{d\rho}{dt} \cdot dV + \rho \cdot d\dot{V} \right) \cdot \vec{c} + \int (\rho \cdot dV) \cdot \left( \frac{\partial \vec{c}}{\partial t} + \vec{c} \cdot \frac{\partial \vec{c}}{\partial s} \right) \end{aligned}$$

da  $\rho = f(t, s)$  ist, folgt für  $d\rho = \frac{\partial \rho}{\partial t} \cdot dt + \frac{\partial \rho}{\partial s} \cdot ds$ ; weiterhin gilt dann:

$$\begin{aligned} \frac{d\vec{I}}{dt} &= \int \frac{\partial \rho}{\partial t} \cdot \vec{c} \cdot dV + \int \vec{c} \cdot \frac{\partial \rho}{\partial s} \cdot c \cdot dV + \int \rho \cdot \vec{c} \cdot d\dot{V} + \int \rho \cdot \frac{\partial \vec{c}}{\partial t} \cdot dV + \int \rho \cdot \vec{c} \cdot \frac{\partial \vec{c}}{\partial s} \cdot dV = \sum \vec{F}_i ; \\ &\quad \text{fällt weg, da} \qquad \qquad \qquad = \int dm \cdot \vec{c} \qquad \text{fällt weg, da} \\ &\quad \text{stationär} \qquad \qquad \qquad \qquad \qquad \text{stationär} \end{aligned}$$

$$\frac{d\vec{I}}{dt} = \int_{(V)} \left( \frac{\partial \rho}{\partial s} \cdot c + \rho \cdot \frac{\partial c}{\partial s} \right) \cdot \vec{c} \cdot dV + \int_{(\dot{m})} dm \cdot \vec{c} = \int_{(V)} \frac{\partial(\rho \cdot c)}{\partial s} \cdot (\vec{c} \cdot dV) + \int_{(\dot{m})} dm \cdot \vec{c} = \sum \vec{F}_i .$$

(Die Integrationsbereiche sind aus Platzgründen nur in der letzten Zeile angegeben worden.)

Wegen der Stationarität können die einzelnen Größen in den Integranden nur noch vom Weg  $s$  abhängig sein und nicht mehr von der Zeit  $t$  :

$$\frac{d\vec{I}}{dt} = \iint \vec{c} \cdot dA \cdot ds \cdot \frac{\partial(\varrho \cdot c)}{\partial s} + \int d\dot{m} \cdot \vec{c} = \int \vec{c} \cdot ds \cdot \underbrace{\frac{\partial(\varrho \cdot c \cdot dA)}{\partial s}}_{= \dot{dm}} + \int d\dot{m} \cdot \vec{c} = \sum \vec{F}_i ;$$

wegen der Stationarität verschwindet zudem die konvektive Änderung des Massenstromes, so daß die zeitliche Änderung des Impulses für stationäre Strömungen nur noch lautet:

$$\boxed{\frac{d\vec{I}}{dt} = \int_{(\dot{m})} d\dot{m} \cdot \vec{c} = \sum \vec{F}_i} \quad (12-22).$$

Aus Gründen der Kontinuität ( $\dot{m}_1 = \dot{m}_2$ ) folgt für einen Kontrollraum mit nur einem Eintritt und einem Austritt, wie es Bild 12-24 angibt:

$$\boxed{\sum \vec{F}_i = \dot{m} \cdot (\vec{c}_2 - \vec{c}_1) = \vec{i}_2 - \vec{i}_1} \quad (12-23) ,$$

wenn man mit

$$\boxed{\vec{i} = \dot{m} \cdot \vec{c}} \quad (12-24)$$

die Größe des Impulsstromes einführt.-

Üblicherweise wird der Impulssatz für stationäre Strömungen dadurch abgeleitet, daß man von einem ruhenden Beobachtungsbereich (in Bild 12-24 gepunktet) mit nur einem Ein- und Austritt ausgeht und die zeitliche Änderung des Impulses des hindurchfließenden Fluids untersucht.

Für das dünne Stromrohr (Stromfaden) gilt:

In Bild 12-24 wird ein gekrümmter Stromfaden mit den beiden Querschnitten 1 und 2 gezeigt. Die einbezogene Fluidmasse ist  $m_{1,2}$ . In  $S$ , ihrem

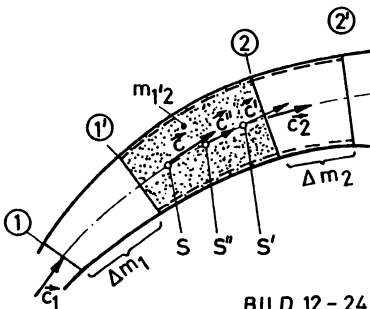


BILD 12 - 24

Schwerpunkt, trifft man auf die Schwerpunktschwindigkeit  $\vec{c}$ . nach dem Zeitintervall  $\Delta t$  befindet sich die Masse  $m_{1,2}$  nunmehr zwischen den Kontrollebenen 1'2':  $m_{12} = m_{1',2'}$ . Die Schwerpunktschwindigkeit in  $S'$  heißt jetzt  $\vec{c}'$ . Beiden Massenbereichen ist die Teilmasse  $m_{1,2}$  (punktiert) mit ihrem Schwerpunkt  $S''$  und ihrer Schwerpunktschwindigkeit  $\vec{c}''$  gemeinsam.

Die Weiterentwicklung von Gl.(12-22) ergibt hierfür:

$$\frac{d(m \cdot \vec{c})}{dt} = \lim_{\Delta t \rightarrow 0} \frac{m_{1,2} \cdot \vec{c}' - m_{12} \cdot \vec{c}}{\Delta t} = \lim_{\Delta t \rightarrow 0} \frac{m_{1,2} \cdot \vec{c}'' + \Delta m_2 \cdot \vec{c}_2 - (\Delta m_1 \cdot \vec{c}_1 + m_{1,2} \cdot \vec{c}'')}{\Delta t} = \sum \vec{F}_i$$

$$\frac{d(m \cdot \vec{c})}{dt} = \lim_{\Delta t \rightarrow 0} \frac{\Delta m_2 \cdot \vec{c}_2 - \Delta m_1 \cdot \vec{c}_1}{\Delta t} = \lim_{\Delta t \rightarrow 0} \frac{\rho_2 \cdot A_2 \cdot c_2 \cdot \Delta t \cdot \vec{c}_2 - \rho_1 \cdot A_1 \cdot c_1 \cdot \Delta t \cdot \vec{c}_1}{\Delta t} = \sum \vec{F}_i ;$$

schließlich erhält man daraus:

$$\underline{\underline{\sum \vec{F}_i}} = \dot{m}_2 \cdot \vec{c}_2 - \dot{m}_1 \cdot \vec{c}_1 = \dot{m} \cdot (\vec{c}_2 - \vec{c}_1) = \underline{\underline{\dot{I}_2 - \dot{I}_1}} ,$$

was zu beweisen war!

Die Differenz der Impulsströme bedeutet eine Massenträgheitskraft und gehört damit in die Familie der Widerstandskräfte. Der Trägheitseffekt ist bei einer stationären Strömung in der konvektiven Beschleunigung oder Verzögerung zu suchen; wegen der Stationarität fallen Lokalbeschleunigungen und Lokalverzögerungen weg!

Sind im weiteren Verlauf der Abhandlungen Kräfte gefragt, dann wird praktisch immer vom Gleichgewicht am Kontrollraum ausgegangen.

Wendet man die Philosophie des d'Alembertschen Prinzips auch für einen fluidischen Körper an (dynamisches Gleichgewicht am freigemachten fluidischen Körper, der ruhender Ersatzkörper genannt werden kann), dann folgt in Verallgemeinerung bei mehreren ein- und austretenden Impulsströmen folgende, allgemein gültige Generalgleichung:

$$\sum \vec{F}_i - \sum \vec{\dot{I}}_{2i} + \sum \vec{\dot{I}}_{1i} = 0 .$$

Danach behalten bei einer Gleichgewichtsbetrachtung die eintretenden Impulsströme als Kraftwirkung auf den Kontrollraum ihre Richtung bei. Austretende Impulsströme dagegen wirken mit ihrer Reaktion auf den im Gleichgewicht befindlichen Kontrollraum zurück. Somit gilt:

$$\underline{\underline{\vec{\dot{I}}_{2i}}} = - \vec{\dot{I}}_{2i} .$$

Aus diesen Erkenntnissen heraus lautet der Impulssatz stationärer Strömungen

$$\boxed{\sum \vec{F}_i + \sum \vec{\dot{I}}_1 + \sum \vec{\dot{I}}_2 = 0} \quad (12-25).$$

Schlüsselt man  $\sum \vec{F}_i$  noch auf, so kommen hierfür folgende Kraftarten in Betracht (vgl. ebenso Abschn. 4) :

- (1) Äußere Massenkraft : hier nur die Schwerkraft  $\vec{F}_G$  ;
- (2) Druckkräfte  $\vec{F}_p$  ; sie sind bezüglich des freigemachten Kontrollraumes immer als Stützreaktionen zu werten und sind deshalb auf den Kontrollraum gerichtet. Sie rühren einmal her von der Einwirkung fester Wände und zum anderen von der losgetrennten fluidischen Nachbarschaft (z.B.: Kontrollebene 1 und 2 in Bild 12-24).
- (3) Tangentialkräfte aufgrund von Reibungswirkungen. Bei vollkommenen Fluiden sind sie bekanntlich null.

Von Linienkräften (Kapillarkräften) wird nachfolgend Abstand genommen.

Es ist festzuhalten:

An einem fluidischen Körper (Kontrollraum) halten sich, sofern ein vollkommenes Fluid vorliegt, folgende Kräfte das dynamische Gleichgewicht: die Schwerkraft, Druckkraftreaktionen, eintretende Impulsströme und die Reaktionen austretender Impulsströme.

Für die praktische Verwendung der Gl.(12-25) beachte man:

- (1) Sie gilt nur für stationäre Strömungen.
- (2) Sie gilt auch für reibungsbehaftete Strömungen, weil bei der Ableitung keine Einschränkungen dieser Art vorgenommen worden sind.
- (3) Die Kontrollraumbegrenzungen sind vorteilhaft so anzulegen, daß nach Möglichkeit feste Wände, Stromlinien und Normalen dazu geholt werden.
- (4) Druckkräfte sind stets senkrecht auf die Kontrollflächen gerichtet.
- (5) Eintretende Impulsströme und die Reaktionen der austretenden sind auf den Kontrollraum hin gerichtet.
- (6) Die Untersuchungen sagen nichts über das Geschehen im Inneren des Kontrollraumes aus. Es können nur Beobachtungen über die Verhältnisse an der Oberfläche des Kontrollraumes angestellt werden.

Für das dicke Stromrohr gilt:

Überlegungen, die für einen Stromfaden angestellt worden sind und zu Gl. (12-23) geführt haben, gelten jetzt für die Masse  $dm$ , Bild 12-25. Integriert man über die gesamte Kontrollraummasse, dann folgt:

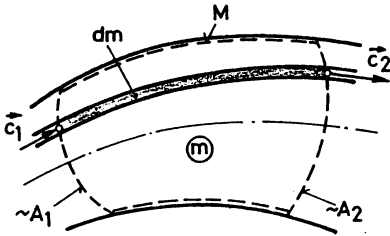


BILD 12-25

$$\int_{(\dot{m})} d\dot{m} \cdot (\vec{c}_2 - \vec{c}_1) = \sum \vec{F}_i \quad (12-26).$$

Für den dynamischen Gleichgewichtsfall eines Stromrohres läßt sich notieren:

$$\sum \vec{F}_i - \int_{(\dot{m})} d\dot{m} \cdot (\vec{c}_2 - \vec{c}_1) = 0 \quad (12-27).$$

Wenn man  $d\dot{m}$  durch  $\rho \cdot d\dot{V}$  ersetzt, ergibt sich ein Volumenintegral, das bekanntlich auch in ein Oberflächenintegral umwandeln läßt. Dann heißt der Integrationsbereich: Mantelfläche des Stromrohres  $M$ , Kontrollquerschnittsflächen  $A_1$  und  $A_2$ .

Für den Volumenbereich gilt:

Rückt die Fläche  $A_2$  in Richtung  $A_1$ , dann verschwindet die Mantelfläche, und die Untersuchungen sind dann völlig unabhängig von einem Stromrohr:

$$\sum \vec{F}_i - \int_{(\dot{V})} \vec{c} \cdot \rho \cdot d\dot{V} = 0 \quad (12-28).$$

### 12.3.2. Momente

Aufgrund der einleitenden Bemerkungen zu Abschn. 12.3.1 (S.265) ergibt sich auch für die Rotation eine Hauptgleichung:

$$\frac{d(\vec{r} \times m \cdot \vec{c})}{dt} = \frac{dD}{dt} = \sum \vec{M}_i \quad (12-29).$$

Die Größe

$$\vec{r} \times m \cdot \vec{c} = \vec{D}$$

(12-30)

heißt Impulsmoment oder Drall. Seine zeitliche Änderung wird durch die Einwirkung von Momenten verursacht und heißt kinetisches Moment. Da wegen der Fluidität (vgl. Abschn. 1.2, S.4) keine Momente übertragen werden können, sind Momenteneffekte nur in Verbindung fester Wände usw. möglich.

Bei stationärer Strömung und konstanter Momenteneinwirkung folgt aus Gl. (12-29):

$$\int_{1.2} d(\vec{r} \times m \cdot \vec{c}) = \sum_{1.2} \vec{M}_i \cdot \int dt \quad ; \quad \text{der Radiusvektor geht von einem Momentenbezugspunkt } 0 \text{ aus. Es ist danach:}$$

$$\vec{r}_2 \times m \cdot \vec{c}_2 - \vec{r}_1 \times m \cdot \vec{c}_1 = \Delta t \cdot \sum \vec{M}_i \quad \text{oder}$$

$$\boxed{\vec{r}_2 \times \dot{m} \cdot \vec{c}_2 - \vec{r}_1 \times \dot{m} \cdot \vec{c}_1 = \sum \vec{M}_i} \quad (12-31).$$

Im Falle des dynamischen Gleichgewichtes gilt:

$$\boxed{\sum \vec{M}_i - \vec{r}_2 \times \dot{m} \cdot \vec{c}_2 + \vec{r}_1 \times \dot{m} \cdot \vec{c}_1 = 0} \quad (12-32).$$

Ist der Momentenbezugspunkt gleich dem Drehpunkt, dann gilt:

$$\boxed{\sum M_i - \dot{m} \cdot c_{2u} \cdot r_2 + \dot{m} \cdot c_{1u} \cdot r_1 = 0} \quad (12-33).$$

Analoge Betrachtungen sind anzustellen bei einem dicken Stromrohr und im Volumenbereich. Im wesentlichen interessieren die Zusammenhänge bei einer Stromfadenströmung.

### 12.3.3. Beispiele

#### 1. Beispiel

Ein von Wasser durchströmter, horizontal gelagerter Rohrkrümmer wird in Bild 12-26 gezeigt. - Angaben:  $d_1 = 0,2 \text{ m}$ ;  $d_2 = 0,1 \text{ m}$ ;  $\alpha = 35^\circ$ ;

$\beta = 45^\circ$ ;  $c_1 = 2 \text{ m/s}$ ;  $r = 0,25 \text{ m}$ ;  $p_{1u} = 0,2 \text{ bar}$ . - Man ermittle:

a) den Volumenstrom  $\dot{V}$  bei stationärer Strömung;

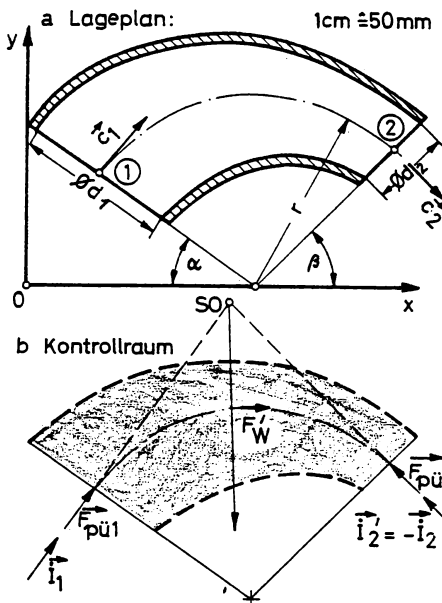
b) die Strömungsgeschwindigkeit  $c_2$ ;

- c) den statischen Überdruck  $p_{2ü}$  ;  
d) die Impulsströme am Ein- und Austritt  $\vec{i}_1$  und  $\vec{i}_2$  , wobei es sich um eine Stromfadenströmung handeln möge (also enges Stromrohr!), was eine Vereinfachung darstellt;  
e) die Überdruckkräfte  $\vec{F}_{pü1}$  und  $\vec{F}_{pü2}$  ;  
f) die gleichgewichtshaltende Kraft  $\vec{F}'_W$  ; sie wirkt von der Wand auf den Kontrollraum und ist als Stützreaktion zu verstehen aufgrund der Druckverteilung entlang der Rohrrinnenwand. Man bestimme diese Kraft der Größe, Richtung und Lage nach auf grafische Art;  
g) ebenso auf rechnerische Art;  
h) die Kraftwirkung auf die Wand  $\vec{F}_W$  .

Lösungen:

a)  $\dot{V}$  :

Der Volumenstrom berechnet sich einfach mit Gl.(11-21):



c Kräfteplan: 1cm  $\hat{=}$  100N

$$\Sigma \vec{F} = \vec{i}_1 + \vec{F}_{pü1} + \vec{F}_{pü2} + \vec{i}_2' + \vec{F}'_W = 0$$

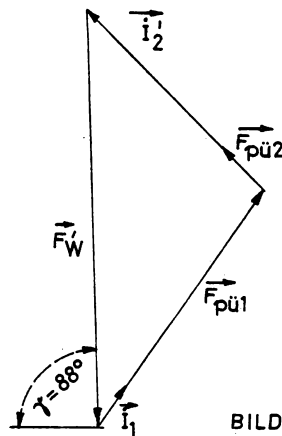


BILD 12 - 26

$$\dot{V} = A_1 \cdot c_1 = (\pi/4) \cdot d_1^2 \cdot c_1 = (\pi/4) \cdot 0,2^2 \cdot 2 = \underline{\underline{0,0628 \text{ m}^3/\text{s}}}$$

b)  $c_2$  :

Die Kontinuitätsgleichung nach Gl.(11-20) ergibt:  $c_1 \cdot d_1^2 = c_2 \cdot d_2^2$  ;

$$\underline{\underline{c_2 = 2 \cdot (0,2/0,1)^2 = 8 \text{ m/s} ;}}$$



c)  $p_{2ü}$  :

Die Strömungscharakteristik lautet: stationär; inkompressibel; reibungsfrei; ohne Arbeitsaustausch; horizontal. - Damit kommt die Bernoulligleichung nach Gl. (12-6) zum Zuge:

$$\frac{p_{1ü} + p_o}{\rho} + \frac{c_1^2}{2} + g \cdot z_1 = \frac{p_{2ü} + p_o}{\rho} + \frac{c_2^2}{2} + g \cdot z_2, \text{ was mit } z_1 = z_2 \text{ ergibt:}$$

$$p_{2ü} = p_{1ü} + \frac{c_1^2}{2} - \frac{c_2^2}{2}; \quad p_{2ü} = 0,2 \cdot 10^5 + \frac{2^2}{2} - \frac{8^2}{2}; \quad \underline{\underline{p_{2ü} = 0,1997 \text{ bar.}}}$$

d)  $\vec{i}_1$ ;  $\vec{i}_2$  :

Impulsströme berechnen sich nach Gl. (12-23):

$$\dot{I} = \rho \cdot A \cdot c^2; \quad \dot{I}_1 = 1000 \cdot (\pi/4) \cdot 0,2^2 \cdot 2^2; \quad \underline{\underline{\dot{I}_1 = 125,66 \text{ N}}};$$

$$\dot{I}_2 = 1000 \cdot (\pi/4) \cdot 0,1^2 \cdot 8^2; \quad \underline{\underline{\dot{I}_2 = 502,65 \text{ N}}}.$$

e)  $\vec{F}_{pü1}$  und  $\vec{F}_{pü2}$  :

$$F_{pü1} = (\pi/4) \cdot 0,2^2 \cdot 0,2 \cdot 10^5; \quad \underline{\underline{F_{pü1} = 628,32 \text{ N}}};$$

$$F_{pü2} = (\pi/4) \cdot 0,1^2 \cdot 0,1997 \cdot 10^5; \quad \underline{\underline{F_{pü2} = 156,84 \text{ N}}}.$$

f)  $\vec{F}'_W$  ( grafische Lösung ) :

Zur Ermittlung von  $F'_W$  gehe man von einer Gleichgewichtsaufgabe aus. Alle am Kontrollraum einwirkenden Kräfte halten sich das Gleichgewicht: Aussage der Gl. (12-25), auch Impulssatz stationärer Strömungen genannt. Nach dem Erstarrungsprinzip betrachtet man den Kontrollraum, der nach der dritten Regieanweisung von Seite 268 (unten) so ausgewählt worden ist, wie es Bild 12-26, Pos. b, zeigt, als einen augenblicklichen Festkörper, so daß die Erkenntnisse aus der Statik für Festkörper entsprechende Anwendung finden, wie z.B.:

- Drei Kräfte können sich nur das Gleichgewicht halten, wenn ihre Wirkungslinien sich in einem Punkte schneiden und wenn das Kräfteck sich schließt.
- Ist der Körper im Gleichgew., dann ist es auch jeder herausgetrennte, freigemachte Einzelteil.
- Die Kraft  $F'_W$  ist die unbekannte gleichgewichtshaltende Kraft von der Wand auf den Kontrollraum; die entgegengesetzt

wirkende, gleich große Kraft  $\vec{F}_W = -\vec{F}'_W$  ist die Kraft, die vom Kontrollraum, also vom Fluid aus, auf die Wand wirkt.

- Ist die Kraft  $\vec{F}_W$  gesucht, dann empfiehlt es sich, zuerst die Gleichgewichtsaufgabe zu lösen und zum Abschluß der Aufgabenlösung einfach den Richtungssinn umzukehren!

Den in der grafischen Statik üblichen maßstabsgetreuen Lageplan findet man in Bild 12-26, Pos. b. Die vier bekannten Kräfte:  $\vec{I}_1$ ;  $\vec{F}_{pül}$ ;  $\vec{I}_2$  und  $\vec{F}_{pü2}$  werden angelegt. In Bild 12-26, Pos. c, ist dann der maßstabsgetreue Kräftezug angegeben. Das Krafteck wird von der gesuchten Kraft  $\vec{F}'_W$  geschlossen. Damit liegen Größe und Richtung der Kraft fest:

$F'_W = 1095 \text{ N}$  bei  $\gamma = 88^\circ$  (in den IV. Quadranten wirkend). - Verschiebt man nun diesen Kraftvektor parallel zu sich, bis er durch den Schnittpunkt SO im Lageplan hindurchgeht, dann kennt man auch die Lage der Wirkungslinie von  $\vec{F}'_W$  (Bild 12-26, Pos. b). - Nunmehr kehrt man den Richtungssinn von  $\vec{F}'_W$  um: Das Ergebnis ist die gesuchte Kraftwirkung auf den Rohrkrümmer  $\vec{F}_W$ ! - (Vorgriff von h)).

g)  $\vec{F}'_W$  ( rechnerische Lösung ) :

Da ein zentrales Kräftesystem vorliegt (Schnittpunkt SO), schreiben sich die beiden rechnerischen Gleichgewichtsbedingungen folgendermaßen an:

$$(1.) \sum F_{xi} = 0 \quad \text{und} \quad (2.) \sum F_{yi} = 0$$

Vgl. auch Gl. (5-1) und (5-2). Danach dürfte es also nie das Problem des Momentengleichgewichts geben, weil wegen der Fluidität keine Momente übertragbar sind. Seit Abschn. 12.3.2 weiß man aber, daß auch Momentenwirkungen möglich sind: Diese Realität ist an die Anwesenheit fester Wände gebunden. - Demnach ist der Hinweis auf ein zentrales Kräftesystem im vorliegenden Beispiel, wonach die Momentengleichgewichtsbedingung (3.)  $\sum \vec{M}_i = 0$  wegfällt, nicht überflüssig.

Bild 12-27 zeigt einen qualitativen Lageplan mit angelegten Kräften.

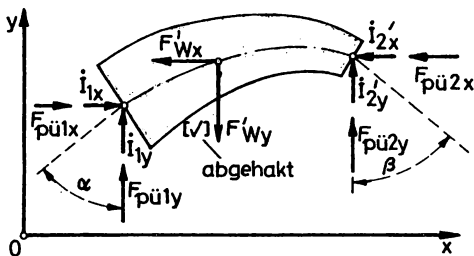


BILD 12 - 27

Zu beachten ist folgende wichtige Erkenntnis aus der Statik:

- Bei rechnerischen Lösungen dürfen die Komponenten unbekannter Kräfte in beliebiger Richtung angenommen werden.
- Eventuelle Reibungskräfte müssen, selbst wenn sie

unbekannt sind, in der korrekten Richtung eingetragen werden. Man erhält sie durch eine virtuelle Verschiebung.

- (c) Ist ein Komponentenergebnis negativ, so bedeutet dies, daß die ursprüngliche Richtungsannahme falsch war. Erst nach Abschluß der gesamten Rechnung kehrt man im qualitativen Lageplan die Pfeilrichtungen um; ansonsten kann man durch Abhaken die Richtigkeit der Richtungsannahme quittieren.

Es folgt nun:

$$(1.) \sum F_{xi} = + \dot{i}_{1x} + F_{pü1x} - \dot{i}'_{2x} - F_{pü2x} - F'_{Wx} = 0 ;$$

$$(2.) \sum F_{yi} = + \dot{i}_{1y} + F_{pü1y} + \dot{i}'_{2y} + F_{pü2y} - F'_{Wy} = 0 .$$

Datenbeschaffung:

$$\dot{i}_{1x} = \dot{i}_1 \cdot \sin \alpha ; F_{pü1x} = F_{pü1} \cdot \sin \alpha ; \dot{i}'_{2x} = \dot{i}'_2 \cdot \sin \beta ; F_{pü2x} = F_{pü2} \cdot \sin \beta ;$$

$$\dot{i}_{1y} = \dot{i}_1 \cdot \cos \alpha ; F_{pü1y} = F_{pü1} \cdot \cos \alpha ; \dot{i}'_{2y} = \dot{i}'_2 \cdot \cos \beta ; F_{pü2y} = F_{pü2} \cdot \cos \beta .$$

Somit folgt:

$$(1.) : F'_{Wx} = 125,66 \cdot \sin 35^\circ + 628,32 \cdot \sin 35^\circ - 502,65 \cdot \sin 45^\circ - 156,84 \cdot \sin 45^\circ$$

$$\underline{\underline{F'_{Wx} = - 33,86 \text{ N} .}}$$

$$(2.) : F'_{Wy} = 125,66 \cdot \cos 35^\circ + 628,32 \cdot \cos 35^\circ + 502,65 \cdot \cos 45^\circ + 156,84 \cdot \cos 45^\circ$$

$$\underline{\underline{F'_{Wy} = + 1083,95 \text{ N} .}}$$

Die Richtungsannahme von  $F'_{Wx}$  ist falsch gewesen, diejenige von  $F'_{Wy}$  richtig (abhaken im Lageplan). Die Kraft  $\vec{F'_W}$  wirkt in den IV. Quadranten hinein. - Der Betrag berechnet sich mit

$$\underline{\underline{F'_W = \sqrt{F'^2_{Wx} + F'^2_{Wy}} = \sqrt{33,86^2 + 1083,95^2} = 1084,48 \text{ N} .}}$$

Man stellt aufgrund der Zeichengenauigkeit einen Fehler von 1% fest gegenüber der grafischen Lösung. - Außerdem folgt:

$$\tan \gamma = |F'_{Wx}| / F'_{Wy} = 33,86 / 1083,95 ; \underline{\underline{\gamma = 1,789^\circ .}}$$

Mit Hilfe des Momentensatzes ließe sich auch noch die genaue Lage der Wirkungslinie bestimmen.

h)  $\vec{F'_W}$  :

Nach den Bemerkungen auf S. 273 (oben) muß man jetzt nur den Richtungspfeil umkehren, d.h.: die Kraft  $\vec{F'_W}$  wirkt vom Kontrollraum, also dem

Fluid, in Richtung des II. Quadranten.

## 2. Beispiel

Aus einer Düse gelangt ein Wasser-Freistrahл auf eine Prallplatte. - Wie groß ist die Kraft auf die Wand  $\vec{F}_W$ ? - Die Anordnung ist dem Bild 12-28 zu entnehmen.

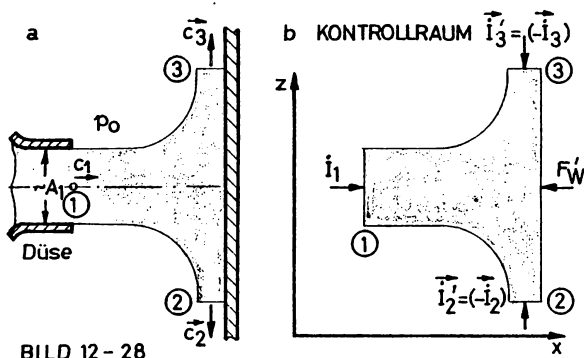


BILD 12-28

### Lösung:

Ohne Schwerkräfteinfluß verteilt sich das Wasser symmetrisch. Der Kontrollraum wird wieder so gewählt, daß eine feste Wand, Stromlinien und Normalen dazu die Begrenzungen darstellen.

Die Kontrollebenen 2 und 3 sind übrigens

so weit entfernt gelegt worden, damit Wandnormalen auch senkrecht auf den darüber befindlichen Stromlinien stehen: Damit entfallen mögliche x-Komponenten der Impulsströme  $\dot{i}_2$  und  $\dot{i}_3$ ! - Da im Freistrahл und um den Freistrahл herum überall der gleiche statische Druck:  $p_0$ , der Atmosphärendruck, vorhanden ist, entfallen bei der Kraftangabe am Kontrollraum (Bild 12-28, Pos. b) die Überdruckkräfte. Da sich aus Symmetriegründen die Impulsstromwirkungen in z-Richtung aufheben, bleibt nur die Untersuchung des Kräftegleichgewichts in x-Richtung:

$$\boxed{\sum F_{xi} = \dot{i}_1 - F'_W = 0} \quad \text{-Datenbeschaffung: } \dot{i}_1 = \varrho \cdot A_1 \cdot c_1^2$$

Die gleichgewichtshaltende Kraft heißt  $F'_W = \varrho \cdot A_1 \cdot c_1^2$ . Da sie ein positives Ergebnis erwarten läßt, ist die Richtungsannahme nach links korrekt. Somit wirkt das Fluid aus dem Kontrollraum heraus nach rechts auf die Prallplatte mit

$$\boxed{F_W = \varrho \cdot A_1 \cdot c_1^2} \quad (12-34).$$

## 3. Beispiel

Ein Wasserstrahl trifft auf eine schräg angestellte Platte, Bild 12-29, Pos. a. - Es handle sich um ein ebenes Problem, so daß mit einer Tiefe

(senkrecht zur Bildebene) von  $b = 1 \text{ m}$  gerechnet werden möge. Angaben:  
 $B = 0,1 \text{ m}$ ;  $c_1 = 1,5 \text{ m/s}$ ;  $\alpha = 60^\circ$ . - Man ermittle:

- den Volumenstrom  $\dot{V}_1$  ;
- die Kraftwirkung des Strahles auf die Wand  $\vec{F}_W$  ;
- die Volumenströme  $\dot{V}_2$  und  $\dot{V}_3$  .

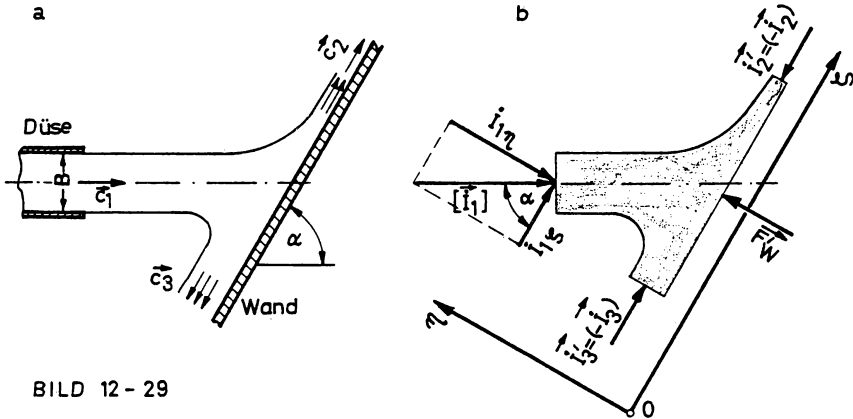


BILD 12 - 29

### Lösungen:

- $\dot{V}_1$  :

Mit Gl.(11-21) folgt:  $\dot{V}_1 = B \cdot b \cdot c_1 = 0,1 \cdot 1 \cdot 1,5 = 0,15 \text{ m}^3/\text{s}$ .

- $\vec{F}_W$  :

Bild 12-29, Pos. b, zeigt den Kontrollraum, der von Stromlinien, der festen Wand und Normalen zu den Stromlinien gebildet wird (s.S. 268). Druckkräfte im Strahl entfallen, da es sich ja um einen Freistrahel handelt. Es halten sich die drei Impulsströme:  $\vec{I}_1$ ,  $(-\vec{I}_2)$ ,  $(-\vec{I}_3)$  und die Kraft von der Wand auf den Kontrollraum das Gleichgewicht:  $F'_W$ . - Die beiden Gleichgewichtsgleichungen lauten:

$$(1.) \sum F_{i\beta} = 0 : \quad \vec{I}_3 - \vec{I}_2 + \vec{I}_{1\beta} = 0 \quad ;$$

$$(2.) \sum F_{i\gamma} = 0 : \quad -\vec{I}_{1\gamma} + F'_W = 0 \quad . - \text{Hieraus folgt sofort:}$$

$F'_W = \rho \cdot A \cdot c_1^2 \cdot \sin \alpha = 1000 \cdot 0,15 \cdot 1,5 \cdot \sin 60^\circ = 194,86 \text{ N}$  .- Nach Pfeilumkehr erhält man die Kraft vom Fluid auf die Wand!

$$F_W = \rho \cdot A \cdot c_1^2 \cdot \sin \alpha$$

(12-35).

c)  $\dot{V}_2$  und  $\dot{V}_3$  :

Aus der ersten Gleichgewichtsbedingung ergibt sich:

$$\rho \cdot \dot{V}_3 \cdot c_3 - \rho \cdot \dot{V}_2 \cdot c_2 + \rho \cdot \dot{V}_1 \cdot c_1 \cdot \cos \alpha = 0 \quad ; \quad \text{da } c_1 = c_2 = c_3 \text{ gilt,}$$

folgt nach Kürzung:

$$\dot{V}_3 - \dot{V}_2 + \dot{V}_1 \cdot \cos \alpha = 0$$

Eine weitere Bestimmungsgleichung liefert die Kontinuitätsbedingung:

$$\dot{V}_1 = \dot{V}_2 + \dot{V}_3$$

Aus diesen beiden Beziehungen erhält man:

$$\dot{V}_2 = \frac{1 + \cos \alpha}{2} \cdot \dot{V}_1 \quad \text{und} \quad \dot{V}_3 = \frac{1 - \cos \alpha}{2} \cdot \dot{V}_1 \quad (12-36).$$

In Zahlen:  $\dot{V}_2 = 0,1125 \text{ m}^3/\text{s}$  und  $\dot{V}_3 = 0,0375 \text{ m}^3/\text{s}$ .

#### 4. Beispiel

Wie im zweiten Beispiel trifft ein Wasserstrahl eine Prallplatte. Dieses Mal aber ist die Platte als Fahrzeug zu verstehen, weil sie sich mit der Fahrzeuggeschwindigkeit  $v$  nach rechts bewegt, Bild 12-30, Pos. a.-Angaben:  $d = 0,1 \text{ m}$ ;  $v = 0,5 \text{ m/s}$ ;  $c_1 = 1,5 \text{ m/s}$ . - Man ermittle:

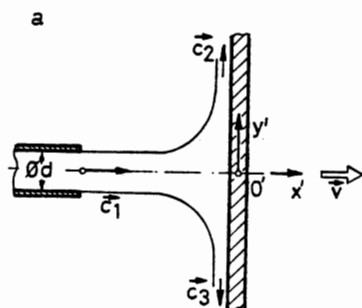
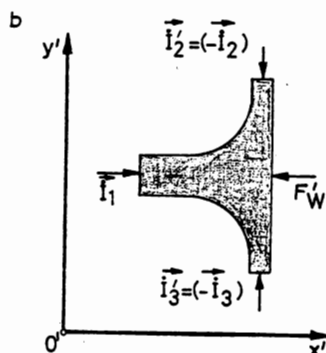


BILD 12-30



- die Kraft  $\vec{F}_W$ , mit welcher der Strahl auf die Platte (Fahrzeug) einwirkt;
- die auf das Fahrzeug übertragene fluidische Leistung  $P$ ;
- das Geschwindigkeitsverhältnis  $v/c_1$ , für welches maximale Leistung übertragen wird.

Lösungen:

a)  $F_W$  :

Da die Impuls-Aufgaben aus didaktischen Gründen zunächst immer als Gleichgewichtsaufgaben verstanden werden mögen, ermittle man als erstes die Kraft von der Wand auf den Kontrollraum (Bild 12-30, Pos. b):

$$F'_W \text{.-Es gilt sofort } \sum F_{ix} = \dot{I}_1 - F'_W = 0 \text{ .}$$

Problematisch ist hier nur die Ermittlung des eintretenden Impulsstromes:  $\dot{I}_1$ . Das dynamische Gleichgewicht am Kontrollraum fußt auf dem relativen Massenstrom und der Relativgeschwindigkeit, weil sie allein spürbar auf das Fahrzeug einwirken. Man beachte auch Gl.(11-19) und Beispiel 18 von Abschn.12.2.2, Seite 264.

$$F'_W = \dot{m}_r \cdot w = \varrho \cdot A_1 \cdot (c - v) \cdot (c - v) = \varrho \cdot A_1 \cdot (c - v)^2 \quad (12-37).$$

$$F'_W = 1000 \cdot (\pi/4) \cdot 0,1^2 \cdot (1,5 - 0,5)^2 = 7,854 \text{ N} \text{ . - Mit der gleich gro-}$$

ßen Kraft entgegengesetzter Richtung wirkt der Strahl auf die Platte.

b)  $P$  :

Die Leistung berechnet sich bekanntlich mit

$$P = F \cdot v$$

und zwar für das Fahrzeug.-In Zahlen:  $P = 7,854 \cdot 0,5 = \underline{\underline{3,927 \text{ W}}}$ .

c)  $(v/c_1)_{\text{opt}}$  :

Wenn man die Leistungsgleichung  $P = \varrho \cdot A_1 \cdot (c-v)^2 \cdot v = A_1 \cdot (c^2 \cdot v - 2 \cdot c \cdot v^2 + v^3)$  nach  $v$  differenziert und null setzt, dann ergibt die Lösung einer quadratischen Gleichung eine Lösung für die minimale Leistung bei  $v=c$  (Leistung null) und eine Lösung für die maximale Leistung:

$$\underline{\underline{v_{\text{opt}} = (1/3) \cdot c_1}} \quad : \quad \underline{\underline{(v/c_1)_{\text{opt}} = 1/3}} \text{ .}$$

5.Beispiel

Das Prinzip eines unterschlächtigen Wasserrades ist in Bild 12-31, Pos. a ,gezeigt.-Angaben: Wassergeschwindigkeit  $c_1 = 2 \text{ m/s}$ ; Fahrzeuggeschwindigkeit versteht sich hier als Umfangsgeschwindigkeit  $v=u=1,5 \text{ m/s}$ ; Radbreite  $b = 0,8 \text{ m}$  (zunächst näherungsweise gleich der Gerinnebreite B). Wassertiefe  $H = 0,2 \text{ m}$ . - Man ermittle:

a) die Kraft auf eine Schaufelplatte  $\vec{F}_W$  ;

b) die übertragene fluidische Leistung  $P$  ;

c) die maximal übertragbare fluidische Leistung  $P_{\text{max}}$  und die dazugehörige optimale Umfangsgeschwindigkeit  $u_{\text{opt}}$ ;

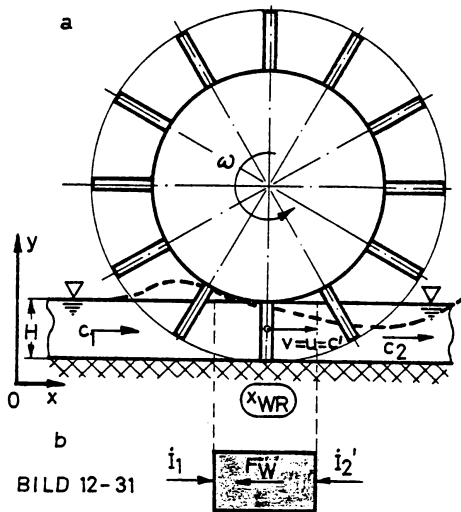


BILD 12-31

d) den Wirkungsgrad .

Lösungen:

a)  $\vec{F}_W$  :

Trotz Wellenbildung verwende man einen quaderförmigen Kontrollraum (Bild 12-31, Pos. b).

$$\sum F_{xi} = \dot{I}_1 - F'_W - \dot{I}'_2 = 0 ;$$

$$F'_W = \dot{I}_1 - \dot{I}'_2 = \dot{m} \cdot (c_1 - c_2) ; |F'_W| = |F_W| .$$

Der kinetischen Energie des Oberwassers wird Arbeit entzogen, so daß  $c_2 < c_1$  ist. Damit bewegt sich das Wasserrad zwangsweise mit einer Geschwindigkeit  $c'$ , die zwischen  $c_1$  und  $c_2$  liegt.

Wegen der Verlangsamung ist die

Kanalführung nur bis  $x_{WR}$  vorzunehmen, damit sich der Wasserstrom aus Kontinuitätsgründen verbreitern kann. - Ermittlung der mittleren Durchströmungsgeschwindigkeit: Entzug der kinetischen Energie ist gleich der verrichteten Arbeit:  $0,5 \cdot \dot{m} \cdot (c_1^2 - c_2^2) = \dot{m} \cdot (c_1 - c_2) \cdot c'$  ;  $c' = (c_1 + c_2)/2$  ! - Bis zum Rad ist die Strömungsgeschwindigkeit schon zur Hälfte abgebaut.

$$c' = u = v = 0,5 \cdot (c_1 + c_2) \quad (12-38a).$$

Volumenstrom in Höhe  $x_{WR}$  :

$$\dot{V} = A \cdot c' = B \cdot H \cdot 0,5 \cdot (c_1 + c_2) \quad (12-38b).$$

Schaufelkraft:

$$F_W = \rho \cdot B \cdot H \cdot 0,5 \cdot (c_1^2 - c_2^2) \quad (12-38c)$$

Schaufelleistung:

$$P = F_W \cdot u = 0,25 \cdot \rho \cdot B \cdot H \cdot (c_1^2 - c_2^2) (c_1 + c_2) \quad (12-38d).$$

Maximale Schaufelleistung:

Mit  $\Delta c = c_1 - c_2$  wird  $P = \rho \cdot A \cdot \Delta c \cdot (c - \Delta c/2)^2$ ; Maximum bei  $\Delta c = 2/3 \cdot c_1$  !

$$u_{\max} = 2/3 \cdot c_1 ; P_{\max} = (8/27) \cdot \rho \cdot B \cdot H \cdot c_1^3 \quad (12-38e).$$

In Zahlen:

$$F_W = 1000 \cdot 0,8 \cdot 0,2 \cdot 0,5 \cdot (2^2 - 1^2) \text{ N} ; \underline{\underline{F_W = 240 \text{ N}}} .$$

b) P :

Mit Gl.(12-38d) folgt:  $\underline{\underline{P = 240 \cdot 0,5 \cdot (2+1) = 360 \text{ W}}} .$



c)  $u_{\max}$  ;  $P_{\max}$  :

$$\text{Gl. (12-38 e) : } \underline{u_{\max} = 4/3 \text{ m/s}} \quad ; \quad P_{\max} = \frac{8}{27} \cdot 1000 \cdot 0,8 \cdot 0,2 \cdot 2^3 \text{ W}$$

$$\underline{P_{\max} = 379,26 \text{ W}} .$$

d)  $\eta$  :

Definiert man den Wirkungsgrad  $\eta = P / P_W$  mit  $P_W = 0,5 \cdot \dot{m} \cdot c_1^2$  ,  
dann erhält man:

$$\underline{P_W = 0,5 \cdot 1000 \cdot 0,8 \cdot 0,2 \cdot 1,5 \cdot 2^2 = 480 \text{ W}} . \quad - \quad \eta = 360/480 ;$$

$$\underline{\eta = 0,75} .$$

Maximalwert:  $\underline{\eta = 0,79} .$

Die diesbezüglichen realen Wirkungsgrade liegen tiefer wegen der Reibungs- und Spaltverluste !

## 6. Beispiel

Eine Pelton-Turbine wird in Bild 12-32 prinzipiell dargestellt. Aus einer Düse kommend, trifft ein Wasserstrahl auf eine Becherschaufel, die den Wasserstrahl kraft einer Zentralschneide (Schnitt A-B) halbiert. Zahlreiche Becherschaufeln sind gleichmäßig am Umfang der Tur-

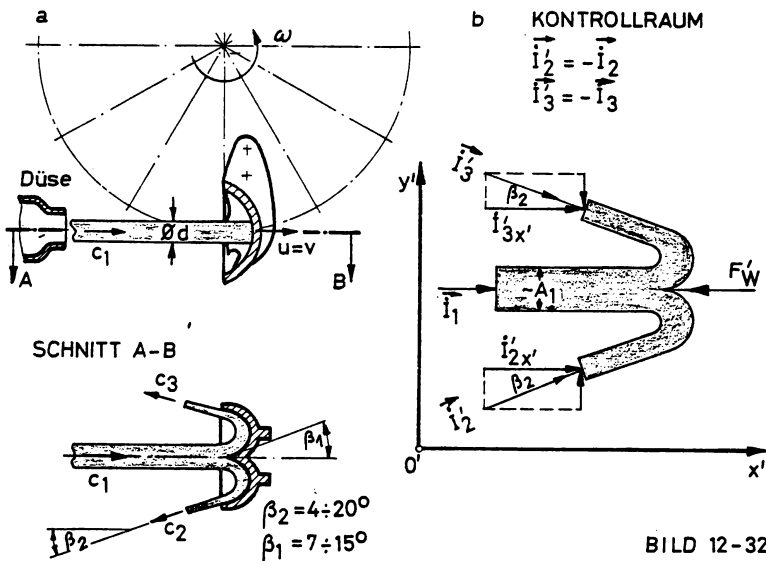


BILD 12-32

binenscheibe verteilt. Da der statische Druck im Strahl überall gleich ist, heißt dieser Turbinentyp auch noch Freistrahlturbine. - Man ermittle:

- die Düsenaustrittsgeschwindigkeit bei einem Gefälle von  $H = 200$  m;
- die Kraft  $\vec{F}_S$ , die vom Strahl auf die Schaufel ausgeübt wird  
(Durchmesser des Wasserstrahls  $d = 0,15$  m; Umfangsgeschwindigkeit  $u = v = 25$  m/s ;  $\beta_2 = 8^\circ$  ) .
- die übertragene Leistung  $P$  ;
- die maximal übertragbare Leistung  $P_{\max}$  und die dazugehörige optimale Umfangsgeschwindigkeit  $u_{\text{opt}}$ .

#### Lösungen:

- a)  $c_1$  :

Mittels der Torricelli-Formel (Gl.12-11) berechnet sich die Düsenaustrittsgeschwindigkeit:

$$\underline{\underline{c_1}} = \sqrt{2 \cdot g \cdot H} = \sqrt{2 \cdot 9,81 \cdot 200} = \underline{\underline{62,64 \text{ m/s}}} .$$

- b)  $\vec{F}_S$  :

Die das Gleichgewicht haltenden Kräfte sind in Bild 12-32, Pos. b, angeführt: der eintretende Impulsstrom  $\dot{I}_1$ , die Reaktionen der beiden austretenden Impulsströme sowie die Kraft von der Schaufelwand auf den Kontrollraum  $F_W$ . - Aus Symmetriegründen heben sich die Kräfte in  $y'$ -Richtung auf, so daß es keinen Axialschub auf die Turbinenwelle gibt. Das Gleichgewicht in  $x'$ -Richtung (Fahrzeugkoordinatensystem) lautet:

$$\boxed{\sum F_{ix'} = \dot{I}_1 + I'_{2x'} + I'_{3x'} - F'_W = 0} .$$

Datenbeschaffung:  $\dot{I}_1 = \varrho \cdot A_1 \cdot c_1 \cdot (c_1 - u) ;$

hierfür ist folgende Überlegung anzustellen: Da genügend viele Laufschaufeln am Umfang verteilt sind, schneiden sie den mit Absolutgeschwindigkeit ankommenden Wasserstrahl in Stücke auf von der Länge einer Schaufelteilung; die in Drehrichtung forteilende Schaufel hat also keine Zeit, dem Absolutstrahl zu entgehen. So erklärt sich der Sachverhalt, daß der Massenstrom eben mit der Absolutgeschwindigkeit gebildet werden muß. Da in der gezeichneten Schaufelposition die Fahrzeuggeschwindigkeit voll zum Tragen kommt, ist die Strahlkraftwirkung auf die Relativgeschwindigkeit zurückzuführen. - Da der Strahl halbiert wird und die Geschwindigkeiten gleich sind, folgt:

Wenn man näherungsweise für den Erstentwurf  $w_1 \approx w_2$  annimmt, dann gilt:

$$\dot{i}'_{2x} = \dot{i}'_{3x} = 0,5 \cdot \varrho \cdot A_1 \cdot c_1 \cdot (c_1 - u) \cdot \cos \beta_2 \quad .$$

Somit folgt nach Richtungsumkehr von  $\vec{F}_W$  für die Kraft auf die Schaufel:

$$F_S = \varrho \cdot A_1 \cdot c_1 \cdot (c_1 - u) \cdot (1 + \cos \beta_2) \quad (12-39).$$

In Zahlen:

$$\underline{F_S} = 1000 \cdot (\pi/4) \cdot 0,15^2 \cdot 62,64 \cdot (62,64 - 25) \cdot (1 + \cos 8^\circ) = \underline{\underline{82,925 \text{ kN}}}.$$

c) P :

Die bekannte Gleichung  $P = F_S \cdot u$  führt zu:

$$\underline{P} = 82\,925 \cdot 25 = \underline{\underline{2,073 \text{ MW}}}.$$

d)  $P_{\max}$  und  $u_{\text{opt}}$  :

Die ausführliche Leistungsgleichung heißt:

$$P = \varrho \cdot (\pi/4) \cdot d^2 \cdot c_1 \cdot (c_1 - u) \cdot (1 + \cos \beta_2) \cdot u \quad (12-40).$$

Durch Differenzieren und Nullsetzen ( $dP/du = 0$ ) erhält man, da die zweite Ableitung negativ ist, ein Maximum für die Leistung bei

$$u_{\text{opt}} = 0,5 \cdot c_1 \quad (12-41).$$

Der Ausdruck für die maximale Leistung heißt danach:

$$P_{\max} = (1/16) \cdot \varrho \cdot \pi \cdot d^2 \cdot c_1^3 \cdot (1 + \cos \beta_2) \quad (12-42).$$

In Zahlen:

$$P_{\max} = (1/16) \cdot 1000 \cdot \pi \cdot 0,15^2 \cdot 62,64^3 \cdot (1 + \cos 8^\circ) ;$$

$$\underline{\underline{P_{\max} = 2,1611 \text{ MW}}}.$$

Die optimale Umfangsgeschwindigkeit wird dann:

$$u_{\text{opt}} = 0,5 \cdot 62,64 ; \quad \underline{\underline{u_{\text{opt}} = 31,32 \text{ m/s}}}.$$

### 7. Beispiel

Ein Wasserskiläufer wird mit einer Fahrzeuggeschwindigkeit von  $v = 5 \text{ m/s}$  geschleppt, Bild 12-33, Pos. a. - Hinter dem Wasserski sinkt das Wasserniveau um  $h = 0,15 \text{ m}$  ab. Die Breite des Skis beträgt  $B = 0,45 \text{ m}$ . Man ermittle:

- die Zugkraft im Zugseil  $\vec{F}_Z$  bei einer Skineigung von  $\alpha = 25^\circ$ ;
- die erforderliche Zugleistung  $P_Z$ .

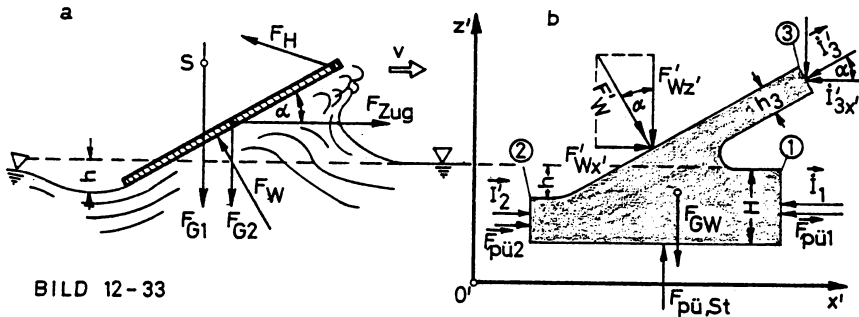


BILD 12-33

### Lösungen:

a)  $\vec{F}_Z$  :

In Bild 12-33, Pos. a, sind diejenigen Kräfte angedeutet, die auf den Wasserski einwirken: Gewicht des Wasserskiläufers  $\vec{F}_{G1}$ ; Skigewicht  $\vec{F}_{G2}$ ; Zugkraft  $\vec{F}_Z$ ; Haltekraft  $\vec{F}_H$ ; Stützkraft vom Wasser auf den Wasserski  $\vec{F}_W$ . - Vernachlässigt man die Haltekraft  $\vec{F}_H$ , dann ist die Horizontalkomponente von  $\vec{F}'_W$  letzten Endes betragsmäßig gleich der gesuchten Zugkraft  $\vec{F}_Z$ .

Die Problemlösung wird über eine Gleichgewichtsbetrachtung am Kontrollraum (Bild 12-33, Pos. b) angestrebt. Ohne Dissipationseffekte halten sich dabei folgende acht Kräfte das Gleichgewicht:

$\vec{I}_1$  : eintretender Impulsstrom, der sich im dynamischen Gleichgewicht (das Koordinatensystem ist fest mit dem Fahrzeug verbunden) mittels der Relativgeschwindigkeit  $\vec{w}_1 = -\vec{v}$  (das Wasser selbst ist ja in absoluter Ruhe) berechnen läßt :  $\vec{I}_1 = \rho \cdot B \cdot H \cdot v \cdot \vec{v} = \rho \cdot B \cdot H \cdot v^2$  ;

$\vec{F}_{pül}$  : Resultierende aus der Überdruckverteilung infolge der Wassertiefe  $H$ ;

$\vec{F}_{GW}$  : Gewicht des Kontrollraumwassers (wird vernachlässigt);

- $\vec{F}_{\text{pü, St}}$  : Stützkraft aufgrund der Druckverteilung am unteren Kontrollraumrand;  
 $\vec{I}_2$  : Reaktion des austretenden Impulsstromes  $\dot{I}_2$  ; aus einer Bernoullibetrachtung läßt sich zeigen, daß die drei Strömungsgeschwindigkeiten alle gleich sind:  
 $w_1 = w_2 = w_3 = v$  !-Deshalb berechnet sich  $\dot{I}_2$  wie folgt:  $\dot{I}_2 = \varrho \cdot B \cdot (H - h) \cdot v^2$  ;  
 $F_{\text{pü2}}$  : Resultierende aus der Überdruckverteilung infolge der Wassertiefe  $h$  ;  $F_{\text{pül}}$  und  $F_{\text{pü2}}$  werden wegen Geringfügigkeit vernachlässigt;  
 $\vec{I}_3$  : Reaktion des austretenden Impulsstromes  $\dot{I}_3$  ; Berechnung:  $\dot{I}_3 = \varrho \cdot B \cdot h_3 \cdot v^2$  ;  
 $F'_W$  : Kraftwirkung vom Wasserski auf die Kontrollraummasse.

Das vertikale Gleichgewicht wird nicht weiter verfolgt. Hier interessiert das horizontale Gleichgewicht:

$$\sum F_{ix'} = \dot{I}_2' - \dot{I}_1' + F'_{Wx'} - \dot{I}_3' = 0 ; \text{ in entwickelter Form lautet}$$

diese Gleichung:

$$\varrho \cdot B \cdot (H - h) \cdot v^2 - \varrho \cdot B \cdot H \cdot v^2 + F'_{Wx'} - \varrho \cdot B \cdot h_3 \cdot v^2 \cdot \cos \alpha = 0 .$$

$$F'_{Wx'} = \varrho \cdot B \cdot v^2 \cdot (h + h_3 \cdot \cos \alpha) .$$

Die Höhe  $h_3$  läßt sich über eine Kontinuitätsbetrachtung ermitteln:

$$\dot{V}_1 = \dot{V}_2 + \dot{V}_3 ; B \cdot H \cdot v = B \cdot (H - h) \cdot v + B \cdot h_3 \cdot v ; \underline{h_3 = h} . \text{ Somit folgt:}$$

$$\underline{\underline{F'_{Wx'} = F_Z = \varrho \cdot B \cdot v^2 \cdot h \cdot (1 + \cos \alpha) .}}$$

In Zahlen:

$$\underline{\underline{F_Z = 1000 \cdot 0,45 \cdot 5^2 \cdot 0,15 \cdot (1 + \cos 25^\circ) = 3,217 \text{ kN} .}}$$

b)  $P_Z$  :

$$\underline{\underline{P_Z = F_Z \cdot v = 3217 ; 5 = 16,08 \text{ kW} .}}$$

## 8. Beispiel

Ein horizontaler Wasserstrahl trifft auf eine vertikal stehende Platte mit scharfer Schneide, Bild 12-34, Pos. a. Ein Teil des Hauptstrahls wird zwangsweise der Platte folgen, der andere wird überraschenderweise um

den Winkel  $\alpha$  abgelenkt. -Angaben:  $c_1 = 10 \text{ m/s}$ ;  $\dot{V}_1 = 0,03 \text{ m}^3/\text{s}$ ;  
 $\dot{V}_2 = 0,012 \text{ m}^3/\text{s}$  .-Reibungseffekte sind zu vernachlässigen. -Man ermittle:  
a) den Ablenkungswinkel  $\alpha$  ;  
b) die Kraft  $F_W$  auf die Platte .

Lösungen:

a)  $\alpha$  :

Das System verlangt die Ermittlung von drei Unbekannten:  $\dot{V}_3$  ,  $\alpha$  und  $F_W$  !  
Somit sind drei Bestimmungsgleichungen zu erstellen: zwei Kräftegleichgewichtsgleichungen nach Bild 12-34, Pos. b, und eine Kontinuitätsbeziehung.

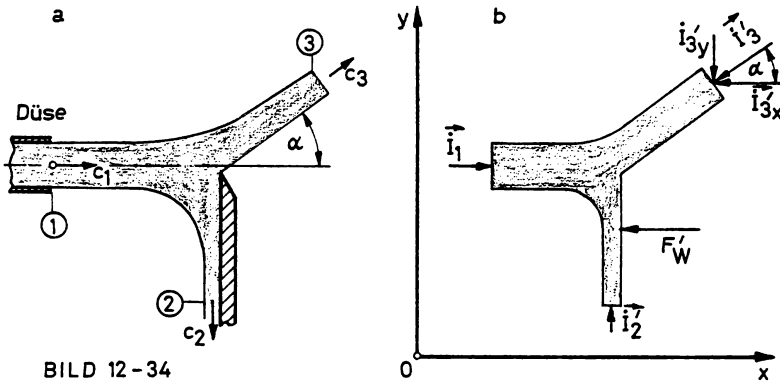


BILD 12-34

$$(1.) \sum F_{ix} = 0 : \dot{I}_1 - F'_W - \dot{I}_{3x} = 0 ;$$

$$(2.) \sum F_{iy} = 0 : \dot{I}_2 - \dot{I}_{3y} = 0 ;$$

$$(3.) \dot{V}_1 = \dot{V}_2 + \dot{V}_3 ;$$

im Freistrahls kennt man wiederum keine Druckkräfte. Nach der Datenbeschaffung folgt unter Beachtung, daß gilt  $c_1 = c_2 = c_3$  :

$$(1.)' \varrho \cdot \dot{V}_1 \cdot c_1 - F'_W - \varrho \cdot \dot{V}_3 \cdot c_3 \cdot \cos \alpha ;$$

$$F'_W = \varrho \cdot c_1 \cdot (\dot{V}_1 - \dot{V}_3 \cdot \cos \alpha) ;$$

$$(2.)' \varrho \cdot \dot{V}_2 \cdot c_2 - \varrho \cdot \dot{V}_3 \cdot c_3 \cdot \sin \alpha = 0 ;$$

$$\dot{V}_2 = \dot{V}_3 \cdot \sin \alpha ;$$

$$(3.)' \dot{V}_3 = \dot{V}_1 - \dot{V}_2 .$$

Setzt man (3.)' in (2.)' ein, dann folgt:

$$\sin \alpha = \dot{V}_2 / (\dot{V}_1 - \dot{V}_2) ; \text{ in Zahlen : } \sin \alpha = 0,012 / (0,03 - 0,012) ;$$

$$\alpha = 41,81^\circ .$$

b)  $\vec{F}_W$  :

Die gleichgewichtshaltende Kraft  $F'_W$  berechnet sich aus den Beziehungen (1)' und (3)':

$$F'_W = \rho \cdot c_1 \cdot \left[ \dot{V}_1 - (\dot{V}_1 - \dot{V}_2) \cdot \cos \alpha \right].$$

In Zahlen:  $F'_W = 1000 \cdot 10 \cdot \left[ 0,03 - (0,03 - 0,012) \cdot \cos 41,81^\circ \right] ;$

$$\underline{\underline{|F'_W| = |F_W| = 165,84 \text{ N} .}}$$

Bemerkung:

Eine ähnlich gestaltete Vorrichtung dient als Strahlablenker bei der Pelton-Turbine.

### 9. Beispiel

Aus einer horizontalen Rohrleitung kommend, platzt das Wasser in eine plötzliche Rohrerweiterung hinein. Die Erfahrung zeigt, daß sich aufgrund von Reibungseffekten (Erläuterungen hierzu finden sich in Abschn. 17) Wirbelecken bilden. In den Wirbeln steckt Rotationsenergie, die der Transportenergie entzogen worden ist und sich allmählich in Reibungswärme umformt. Die Systemanordnung zeigt Bild 12-35, Pos. a. In der Ebene 1 war die

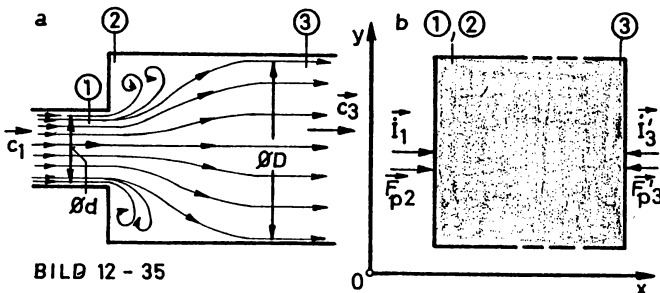


BILD 12 - 35

ne 1 war die Wirbelenergie noch als Transportenergie vorhanden; in der Ebene 3 steht sie nicht mehr als Transportenergie zur Verfügung im Sinne der Bernoulli-Gleichung, die ja

das Wechselspiel mehrerer Erscheinungsformen von Transportenergie in der Gesamtsumme innerhalb eines Stromfadens verfolgt. Man ermittle:

- den Druck in Ebene 3 im Falle verlustloser Strömung  $p_3$  ;
  - den Druck in Ebene 3 im Falle der Wirbelbildung  $p_3'$  ;
  - Größe und Bedeutung des Druckunterschiedes  $\Delta p = p_3 - p_3'$  .
- Angaben:  $d = 0,08 \text{ m}$  ;  $D = 0,18 \text{ m}$  ;  $c_1 = 10 \text{ m/s}$  ;  $p_1 = 3 \text{ bar}$  .

Lösungen:

a) p<sub>3</sub> :

Für einen mittleren Stromfaden zwischen den Kontrollebenen 1 und 3 liegt folgende Charakteristik vor: stationär, inkompressibel, reibungsfrei und horizontal. Damit lautet die Bernoulligleichung nach Gl. (12-6):

$$\frac{p_1}{\rho} + \frac{c_1^2}{2} = \frac{p_3}{\rho} + \frac{c_3^2}{2} ; \quad \text{die Kontinuität ergibt: } c_1 \cdot A_1 = c_3 \cdot A_3 :$$

$$\underline{c_3} = 10 \cdot (0,08^2 / 0,18^2) = \underline{1,975 \text{ m/s}} . \text{ Damit wird } p_3 = 3 \cdot 10^5 + \left[ \frac{10^2}{2} - \frac{1,975^2}{2} \right] \cdot 10^3$$

$$\underline{p_3 = 3,4805 \text{ bar.}}$$

b) p<sub>3'</sub> :

Dieser Druck wird mittels einer Kräftegleichgewichtsbetrachtung am Kontrollraum (Bild 12-35, Pos. b) ermittelt.

$\sum F_{ix} = 0 : \quad \underbrace{\dot{I}_1 + F_{p2} - F_{p3'} - \dot{I}_3}_{\text{ist bis auf } F_{p2} \text{ unproblematisch.}} = 0$  . - Allgemein gilt, daß es senkrecht zu parallelen Stromlinien keinen Druckgradienten gibt, weil kein Anlaß besteht, eventuelle Zentrifugalwirkungen zu kompensieren. Da nun aus Trägheitsgründen die Stromlinien an der Sprungstelle der Querschnittserweiterung 1/2 noch kurzzeitig quasi-parallel sind, gibt es senkrecht zu ihnen keine Druckänderung, weshalb sich der Druck  $p_1$  auch in der Ebene 2 antreffen läßt. Die Richtigkeit dieser Überlegungen wird durch Experimente nachgewiesen. Damit folgt:

$$\rho \cdot (\pi/4) \cdot d^2 \cdot c_1^2 + p_1 \cdot (\pi/4) \cdot D^2 - (\pi/4) \cdot D^2 \cdot p_{3'} - \rho \cdot (\pi/4) \cdot D^2 \cdot c_3^2 = 0 .$$

Daraus ergibt sich:

$$p_{3'} = \rho \cdot \frac{d^2}{D^2} \cdot c_1^2 + p_1 - \rho \cdot c_3^2 ; \quad \text{in Zahlen:}$$

$$p_{3'} = 1000 \cdot (0,08/0,18)^2 \cdot 10^2 + 3 \cdot 10^5 - 1000 \cdot 1,975^2 ;$$

$$\underline{p_{3'} = 3,1585 \text{ bar} .}$$

c) Δp :

Zunächst beträgt der Druckunterschied

$$\underline{\Delta p = p_3 - p_{3'} = 0,322 \text{ bar} .}$$



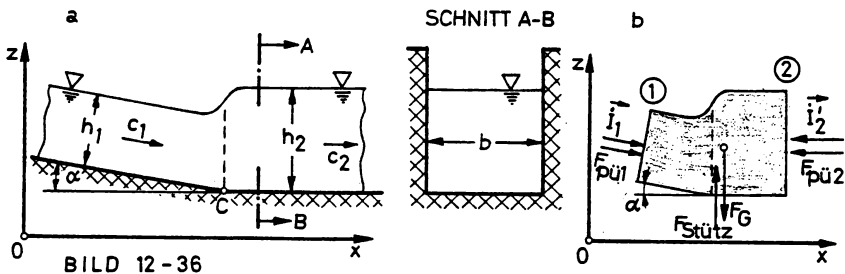
Dividiert man diesen Druckverlust durch die Dichte des Fluids, dann erhält man eine massenspezifische Dissipation, die sich zunächst in den Wirbeln als Rotationsenergie und später stromab als Reibungswärme wiederfindet. Man kann also den Druckverlust über eine Temperaturmessung feststellen.

Bei der plötzlichen Rohrerweiterung spricht man auch vom "ideal schlechten" Diffusor. Der Druckverlust ist auch unter dem Namen "Carnotscher" Stoßverlust bekannt. - Obige Ableitungen erlauben auch folgende Schreibweise:

$$\Delta p_G = \frac{\rho}{2} \cdot (c_1 - c_3)^2 \quad (12-43).$$

### 10. Beispiel

Die Sohle eines Wassergerinnes von rechteckigem Querschnitt ist um den Winkel  $\alpha$  geneigt, Bild 12-36, Pos. a. An der Stelle C liegt ein Knick im Sohlenverlauf (allgemeiner gesprochen eine Störstelle) vor. Dadurch entsteht unter gewissen Bedingungen eine Anhebung des Wasserspiegels bei entsprechender Geschwindigkeitsverringderung. Man spricht



sinnigerweise von einem Wassersprung. - Angaben:  $\alpha = 10^\circ$ ;  $c_1 = 4,5 \text{ m/s}$ ;  $h_1 = 1,5 \text{ m}$ ;  $b = 2 \text{ m}$ . - Man ermittle unter Vernachlässigung der Seitenwandreibung:

- den allgemeinen Ausdruck für die Strömungsgeschwindigkeit  $c_2$ ;
- den allgemeinen Ausdruck für die Wassertiefe  $h_2$ ;
- die Voraussetzung für die Möglichkeit eines Wassersprungs;
- die kritische Strömungsgeschwindigkeit;
- betragsmäßige Werte für  $c_2$  und  $h_2$ .

Lösungen:

a)  $c_2$  :

Die Kontinuitätsgleichung, Gl. (11-20), liefert sofort folgenden Zusammenhang:  $c_1 \cdot b \cdot h_1 = c_2 \cdot b \cdot h_2$  ;

$$\underline{\underline{c_2 = c_1 \cdot (h_1/h_2)}} \quad (1).$$

b)  $h_2$  :

Nach den auf S.268 zusammengestellten Richtlinien für die Aufstellung eines Kontrollraumes entsteht Bild 12-36, Pos. b. Es interessiert hier nur das Kräftegleichgewicht in x-Richtung:

$\sum F_{ix} = 0$  :  $\dot{I}_{1x} + F_{pü1} - \dot{I}'_{2x} - F_{pü2} = 0$  ; mit der Datenbeschaffung läßt sich dann angeben, sofern man nach Bidone auf den Einfluß von  $\cos\alpha$  verzichtet - sonst stieße man auf eine kubische Gleichung:

$$\rho \cdot b \cdot h_1 \cdot c_1^2 + \rho \cdot g \cdot \frac{h_1^2}{2} \cdot b - \rho \cdot g \cdot \frac{h_2^2}{2} \cdot b - \rho \cdot b \cdot h_2 \cdot c_2^2 = 0 \quad .$$

Das führt zu einer quadratischen Gleichung:

$$\underline{\underline{h_2 = -\frac{h_1}{2} + \sqrt{\frac{h_1^2}{4} + \frac{2 \cdot h_1 \cdot c_1^2}{g}}}} \quad (2).$$

c) Bedingung für Wassersprung:

Sie erhält man für den Grenzfall, daß es zu keiner Spiegelanhebung kommt:  $h_1 = h_2$  ! - Setzt man diesen Wert in (2) ein, dann folgt:

$$\underline{\underline{c_1 = c_{1,Grenz} = \sqrt{g \cdot h_1}}} \quad (3).$$

d)  $c_{1,krit} = c_{1,Grenz}$  :

$$c_{1,krit} = \sqrt{9,81 \cdot 1,5} ; \quad \underline{\underline{c_{1,krit} = 3,836 \text{ m/s}}} \quad .$$

Immer dann, wenn die Strömungsgeschwindigkeit  $c_1$  größer als die kritische Geschwindigkeit ist, spricht man von schießendem Abfluß, der bei einer Sohlenstörung zu dem Phänomen Wasserstoß führt. Sonst ist die Rede von strömendem Abfluß. - Im vorliegenden Beispiel ist mit  $c_1 = 4,5 \text{ m/s}$

die Voraussetzung für einen Wassersprung erfüllt.

e)  $c_2$  und  $h_2$  :

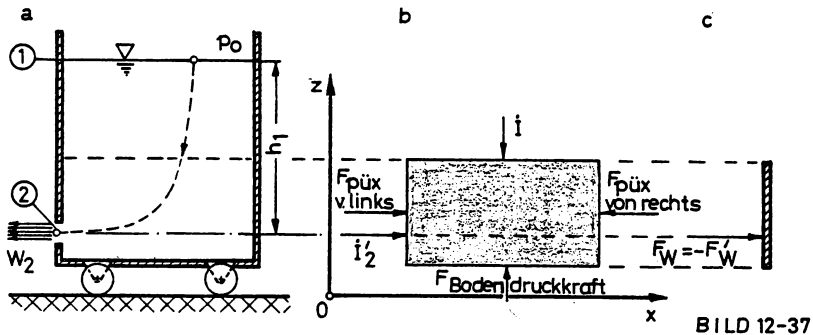
Mit (2) ergibt sich jetzt: 
$$h_2 = -\frac{1,5}{2} + \sqrt{(1,5/2)^2 + \frac{2 \cdot 1,5 \cdot 4,5^2}{9,81}} ;$$

$$\underline{\underline{h_2 = 1,85 \text{ m} .}}$$

### 11. Beispiel

Aus einem Fahrzeug strömt Wasser aus, Bild 12-37, Pos. a. Da  $A_1 \gg A_2$  angenommen wird, soll in der Anfahrphase stationäre Strömung vorliegen. -Angaben:  $A_2 = 5 \cdot 10^{-4} \text{ m}^2$  ;  $h_1 = 0,8 \text{ m}$  ;  $\rho = 1000 \text{ kg/m}^3$  .-Man ermittle:

- die Kraftwirkung auf das Fahrzeug  $\vec{F}_W$  ;
- die Art der Fahrzeugbewegung in der Startphase.



### Lösungen:

a)  $\vec{F}_W$  :

Feste Wände und Normalen zu den Stromlinien bilden die Kontrollraum-begrenzung (Bild 12-37, Pos. b). -Das interessierende Kräftegleichgewicht in x-Richtung lautet:

$$\sum F_{ix} = 0 : \quad \underline{F_{püx,links} + \dot{i}'_2 - F_{püx,rechts} = 0} ;$$

man setze

$$\underline{F_{püx,rechts} - F_{püx,links} = F'_W} ,$$

dann folgt auch:

$$\dot{i}'_2 - F'_W = 0 . \quad \text{Mit der Datenbeschaf-}$$

fung erhält man für die resultierende Druckkraft von der Wandung auf den Kontrollraum:

$$\boxed{F'_W = \dot{I}'_2 = \rho \cdot g \cdot A_2 \cdot w_2^2} \quad . \quad (12-44).$$

Kehrt man die Wirkrichtung von  $\vec{F}'_W$  um, dann erhält man die gesuchte Kraft  $\vec{F}_W$ , die vom Kontrollraum auf die Wand einwirkt! - Die Strömungsgeschwindigkeit berechnet sich bekanntlich mit  $w_2 = \sqrt{2 \cdot g \cdot h_1}$ , so daß insgesamt folgt:

$$\boxed{F_W = 2 \cdot \rho \cdot g \cdot A_2 \cdot h_1} \quad . \quad \text{In Zahlen erhält man:}$$

$$\underline{F_W} = 2 \cdot 1000 \cdot 9,81 \cdot 5 \cdot 10^{-4} \cdot 0,8 = \underline{\underline{7,848 \text{ N}}} \quad .$$

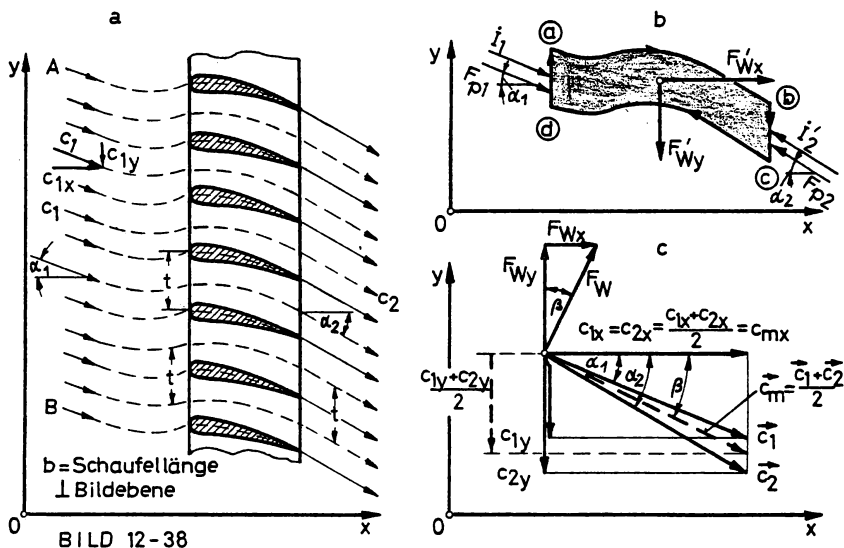
#### b) Bewegungsart:

Wegen der vorausgesetzten Stationarität bleibt die Austrittsgeschwindigkeit konstant, so daß sich auch die Schub- oder Rückstoßkraft nach Gl. (12-44) nicht ändert. Wird aber ein freibeweglicher Körper einer konstanten Krafteinwirkung ausgesetzt, dann stellt sich eine gleichmäßig beschleunigte Bewegung hier ein.

### 12. Beispiel

Ein ebenes und ruhendes Schaufelprofilgitter wird durch die Strömungsfront AB von der Geschwindigkeit  $\vec{c}_1$ , gemessen weit vor dem Gitter, angeströmt. Die Neigung zur x-Achse beträgt  $\alpha_1$ , Bild 12-38, Pos. a. Die Erfahrung zeigt, daß das Fluid weit hinter dem Gitter unter dem Winkel  $\alpha_2$  abströmt. - Äußerst wichtig ist hier zu wissen, daß ein ideales Fluid (s.S. 180) ohne Umlenkung das Gitter passieren würde. - Man gehe ja in diesem Buch immer von einem natürlichen Fluid aus. Im vorgelegten Beispiel handle es sich um eine wirbelfreie Zuströmung, so daß von einem vollkommenen Fluid gesprochen werden kann. Offensichtlich trägt nun das Gitter zur Drehung der Strömungsfront bei ( $\alpha_1 \rightarrow \alpha_2$ ), weshalb nach den Erläuterungen von S. 221 die Zone 2 vorliegt, die wirbelfreie Strömung mit Zirkulation genannt wird. Wie es zur Ausbildung dieser Zirkulation kommt, wird in Abschn. 18.1 gezeigt! - Man ermittle:

- a) die x-Komponente der Kraft vom Fluid auf eine Schaufel  $F_{Wx}$  ;
- b) die y-Komponente der Kraft vom Fluid auf eine Schaufel  $F_{Wy}$  ;
- c) die resultierende Kraft vom Fluid auf eine Schaufel  $\vec{F}_W$  ;
- d) ebenso  $\vec{F}_W$ , aber nun unter Einbeziehung der Zirkulation  $\Gamma$  ;
- e) Bemerkungen zur Richtung der Schaufelkraft .



### Lösungen:

a)  $F_{Wx}$  :

Den Kontrollraum, in dem eine mittlere Schaufel eingebettet liegt, findet man in Bild 12-38, Pos. b. Längs der den Kontrollraum begrenzenden Stromlinien heben sich die Druckverteilungen aus Symmetriegründen gegenseitig auf. Es halten sich deshalb folgende Kräfte das Gleichgewicht: Druckkräfte am Ein- und Austritt, der eintretende Impulsstrom, die Reaktion des austretenden Impulsstromes und die Kraft von der Schaufel auf das im Kontrollraum eingeschlossene Fluid. - Die Komponenten der unbekannten Kraft dürfen beliebig in der Richtung angenommen werden. Das Vorzeichen nach erfolgter Rechnung bestätigt oder verneint die Richtungsannahme ! - Das Kräftegleichgewicht in x-Richtung lautet:

$$\sum F_{ix} = 0 : \quad \dot{I}_1 \cdot \cos \alpha_1 + F_{p1} - \dot{I}_2 \cdot \cos \alpha_2 - F_{p2} + F'_{Wx} = 0$$

Datenbeschaffung:

$$\rho \cdot \dot{V} \cdot c_{1x} + F_{p1x} - \rho \cdot \dot{V} \cdot c_{2x} - F_{p2x} + F'_{Wx} = 0$$

Der Volumenstrom berechnet sich mit  $\dot{V} = t \cdot b \cdot c_{1x} = t \cdot b \cdot c_{2x}$  ; damit ist

$$\underline{c_{1x} = c_{2x}}$$

Die Gleichgewichtsgleichung vereinfacht sich:

$$F_{p1} - F_{p2} + F'_{Wx} = 0 .$$

$$\boxed{F'_{Wx} = t.b.(p_2 - p_1)} . \quad (a).$$

Mittels der Bernoulli-Gleichung gilt für eine Stromlinie (außer der Staupunktsstromlinie):

$$\frac{p_1}{\rho} + \frac{c_1^2}{2} = \frac{p_2}{\rho} + \frac{c_2^2}{2} \quad ; \quad p_1 - p_2 = \frac{\rho}{2} \cdot (c_{2x}^2 + c_{2y}^2 - c_{1x}^2 - c_{1y}^2) ;$$

$$\boxed{\frac{p_1 - p_2}{2} = \frac{\rho}{2} \cdot (c_{2y}^2 - c_{1y}^2)} . \quad \text{Setzt man diese Beziehung in (a)}$$

ein, dann folgt:

$$F'_{Wx} = \frac{\rho}{2} \cdot t.b. (c_{1y}^2 - c_{2y}^2) < 0 \quad \text{nach}$$

den vorgelegten Zusammenhängen. Also war die Richtungsannahme von  $F'_{Wx}$  falsch.

Die x-Komponente der Kraft von der Schaufel auf den Kontrollraum weist nach links.

Die x-Komponente der Kraft vom Kontrollraum auf die Schaufel ist also danach korrekterweise nach rechts gerichtet:

$$\boxed{F_{Wx} = (\rho/2) \cdot t.b. (c_{2y}^2 - c_{1y}^2)} \quad (12-45).$$

Die Vertauschung in der Klammer wurde nur deshalb vorgenommen, um einen positiven Wert zu erhalten.

b)  $F_{Wy}$  :

Hier heißt das Kräftegleichgewicht:

$$\sum F_{iy} = 0 : \quad - \dot{I}_{1y} - F'_{Wy} + \dot{I}_{2y} = 0 ;$$

Datenbeschaffung:

$$-\rho \cdot \dot{V} \cdot c_1 \cdot \cos \alpha_1 - F'_{Wy} + \rho \cdot \dot{V} \cdot c_2 \cdot \cos \alpha_2 = 0 ;$$

$$F'_{Wy} = \rho \cdot t.b. c_{1x} \cdot (c_{2y} - c_{1y}) > 0 .$$

Das Ergebnis wird wegen  $c_{2y} - c_{1y} > 0$  im vorliegenden Fall, positiv, weshalb die Richtungsannahme von  $F'_{Wy}$  richtig gewesen war. - Die Richtungs-umkehr führt zur Kraftkomponente vom Kontrollraum auf die Schaufel:

Die y-Komponente der Kraft vom Kontrollraum auf die Schaufel ist somit nach oben gerichtet.

$$F_{Wy} = \rho \cdot t \cdot b \cdot c_{1x} \cdot (c_{2y} - c_{1y}) \quad (12-46).$$

c)  $\vec{F}_W$ :

Mit Hilfe der Beziehung

$$F_W = \sqrt{F_{Wx}^2 + F_{Wy}^2} \quad (12-47).$$

Diese Kraft weist hier in den ersten Quadranten hinein.

d)  $\vec{F}_W$  unter Verwendung der Zirkulation:

Nach Gl.(11-49), S. 216, erhält man für die Zirkulation beim Umlauf um den Kontrollraum:

$$\Gamma = \oint \vec{c} \cdot d\vec{r} = \int_{ab} \vec{c} \cdot d\vec{r} + \int_{bc} \vec{c} \cdot d\vec{r} + \int_{cd} \vec{c} \cdot d\vec{r} + \int_{da} \vec{c} \cdot d\vec{r} \quad ;$$

$$\Gamma = (-c_{2y}) \cdot (-t) + (-c_{1y}) \cdot t \quad ; \quad \Gamma = t \cdot (c_{2y} - c_{1y}) \quad (b).$$

Diese Beziehung wird nun in den Komponentengleichungen eingebaut:

$$\text{Gl. (12-45):} \quad F_{Wx} = \rho \cdot b \cdot \Gamma \cdot \frac{c_{1y} + c_{2y}}{2} = \rho \cdot b \cdot \Gamma \cdot c_{my} \quad ,$$

wenn man unter  $c_{my}$  den arithmetischen Mittelwert der y-Komponenten der Geschwindigkeiten versteht;

$$\text{Gl. (12-46):} \quad F_{Wy} = \rho \cdot b \cdot \Gamma \cdot c_{1x} \quad . \quad - \text{ Faßt man die beiden}$$

letzten Beziehungen nach Gl.(12-47) zusammen, so ergibt sich:

$$F_W = \rho \cdot \Gamma \cdot b \cdot \sqrt{c_{1x}^2 + c_{my}^2} = \rho \cdot \Gamma \cdot b \cdot c_m$$

mit  $\vec{c}_m$  als der mittleren Geschwindigkeit (Bild 12-38, Pos. c):

$$\vec{c}_m = (1/2) \cdot (\vec{c}_1 + \vec{c}_2) \quad (12-48).$$

Abschließend kann man unter Verwendung der Zirkulation für die Kraft auf die Schaufel notieren:

$$\boxed{\vec{F}_W = \varrho \cdot \Gamma \cdot b \cdot \vec{c}_m} \quad (12-49).$$

e) Bemerkungen zur Richtung der Schaufelkraft:

Bildet man beispielsweise  $\operatorname{tg} \beta$  (Bild 12-38, Pos. c) im angedeuteten Kräfteplan mit den Gl.(12-45) und Gl.(12-46), dann erhält man:

$$\operatorname{tg} \beta = \frac{(c_{1y} + c_{2y})/2}{c_{1x}} \quad , \text{ein Wert, der sich auch dem angezeigten Geschwindigkeitsplan entnehmen läßt.}$$

Daraus ergibt sich die Gleichheit der  $\beta$  genannten Winkel, was nun bedeutet:

Die Schaufelkraft steht senkrecht auf dem vektoriellen Mittelwert der Durchströmungsgeschwindigkeit des Gitters!

Gl.(12-49) und die soeben festgestellte Richtungsaussage bezüglich der Schaufelkraft sind der Inhalt des Kutta-Joukowskyschen Auftriebssatzes. Neben dem dynamischen Auftrieb spricht man auch von Quertrieb.-Wie der Geltungsbereich dieser Gesetzmäßigkeit vom Profilhüter auf den Einzel Flügel ausgedehnt wird, ist im folgenden Beispiel veranschaulicht. - Übrigens ist zum Richtungssinn noch zu sagen, daß die Kraft  $\vec{F}_W$  um  $90^\circ$  gegen die mittlere Durchströmgeschwindigkeit im Gegenuhrzeigersinn gedreht ist, sofern die Zirkulation im Uhrzeigersinn als positiv gewertet worden ist.

### 13. Beispiel

Ein einzelner unendlich langer Tragflügel wird durch eine Parallelströmung von der Geschwindigkeit  $\vec{c}_\infty$ , gemessen weit vor dem Flügel, angeströmt. Die sich einstellende Strömung bei der Tragflügelumströmung sei wirbelfrei, aber mit Zirkulation versehen, d.h.: Es liegt ein vollkommenes Fluid vor (kein ideales, sondern ein natürliches Fluid). Außerdem ist das Fluid als inkompressibel zu betrachten.-Man ermittle den dynamischen Auf- oder Quertrieb.



Lösung:

Zur Untersuchung dieses ebenen Strömungsproblems wird ein kreiszylindrischer Kontrollraum mit dem Radius  $R$  herausgegriffen, Bild 12-39.

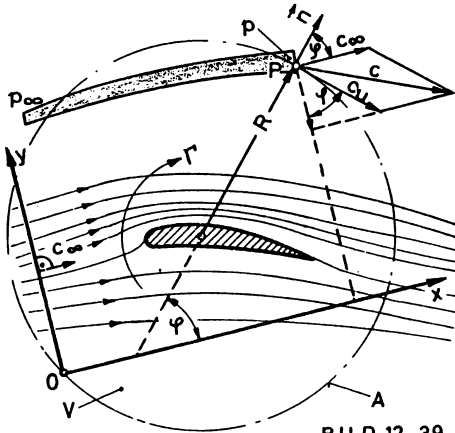


BILD 12-39

Das Koordinatensystem ist parallel und senkrecht zur ankommenden Strömungsfront angeordnet. Die Flügelspannweite heißt  $b$ .

Am Kontrollraum halten sich folgende Kräfte das Gleichgewicht:

$\vec{F}_W$ , die Kraft vom Profil auf das Fluid im Kontrollraum;

$\sum \vec{F}_{pi}$ , die Summe aller Druckkräfte von der fluidischen Umwelt auf den Kontrollraum; es handelt sich um eine Stütz-Reaktion;

$\sum \dot{\vec{I}}_i$ , die Summe aller eintretender Impulsströme und den Reaktionen der austretenden Impulsströme. - Somit läßt sich anschreiben:

Gl.(12-28):  $\sum \vec{F}_i - \oint \vec{c} \cdot \rho \cdot d\vec{V} = 0$ , was für das dynamische Gleichgewicht im Volumenbereich gilt;

$$\vec{F}_W + \sum \vec{F}_{pi} + \sum \dot{\vec{I}}_i = 0 ;$$

$$\vec{F}_W - \oint \vec{n} \cdot p \cdot dA - \oint \vec{c} \cdot \rho \cdot d\vec{V} = 0$$

(A)                      (V)

Gl.(4.4.)      Gl.(12.28)  
und (5.4.)

Bringt man  $\vec{F}_W$  auf die andere Gleichungsseite, kehrt man also sein Vorzeichen um, dann erhält man die gesuchte Kraft vom Kontrollraum auf den Einzelflügel  $\vec{F}_W$ :

$$\vec{F}_W = - \oint \vec{n} \cdot p \cdot dA - \oint \vec{c} \cdot \rho \cdot d\vec{V}$$

(A)                      (V)

Diese Kraftvektoren werden nun alle auf die y-Achse projiziert, so daß man schließlich  $\vec{F}_{Wy} = \vec{F}_A$ , die dynamische Auftriebskraft, erhält.  
Bestimmung des Druck-Integrals:

Die Bernoulli-Gleichung liefert:

$$\frac{p_\infty}{\rho} + \frac{c_\infty^2}{2} = \frac{p}{\rho} + \frac{c^2}{2} = \frac{p}{\rho} + \frac{1}{2} \cdot (c_\infty^2 + c_u^2 + 2 \cdot c_\infty \cdot c_u \cdot \sin \varphi)$$

$$p = p_\infty + (\rho/2) \cdot c_u^2 - \rho \cdot c_\infty \cdot c_u \cdot \sin \varphi = K - \rho \cdot c_\infty \cdot c_u \cdot \sin \varphi;$$

in einem beliebigen Punkt P heißt die resultierende Geschwindigkeit

$$\vec{c} = \vec{c}_\infty + \vec{c}_u,$$

wobei man mit  $c_u$  die induzierte Geschwindigkeit vor sich hat.-  
 Gl.(11-52) hilft hier weiter:

$$c_u = \Gamma / (2 \cdot \pi \cdot R) = \text{const wegen } R = \text{const.}$$

Deshalb kann oben bei p mit der Konstanten K weitergerechnet werden.

$$\int_{(A)} \vec{j} \cdot \vec{n} \cdot p \cdot dA = \int_0^{2\pi} b \cdot (K - \rho \cdot c_\infty \cdot c_u \cdot \sin \varphi) \cdot \sin \varphi \cdot R \cdot d\varphi = - \frac{1}{2} \cdot b \cdot \rho \cdot c_\infty \cdot \Gamma.$$

Bestimmung des Impulsstrom-Integrals:

$$\int_{(V)} \rho \cdot c_y \cdot d\dot{V} = \int_0^{2\pi} \rho \cdot c_y \cdot \vec{n} \cdot \vec{c}_\infty \cdot b \cdot R \cdot d\varphi = \int_0^{2\pi} \rho \cdot c_y \cdot c_\infty \cdot \cos \varphi \cdot b \cdot R \cdot d\varphi;$$

ersetzt man im Integranden  $c_y$  mit  $c_y = -c_u \cdot \cos \varphi = -\frac{\Gamma}{2 \cdot \pi \cdot R} \cdot \cos \varphi$ ,  
 dann folgt:

$$\int_{(V)} \rho \cdot c_y \cdot d\dot{V} = - \frac{\rho \cdot \Gamma}{2 \cdot \pi \cdot R} \cdot c_\infty \int_0^{2\pi} \cos^2 \varphi \cdot b \cdot R \cdot d\varphi = - (1/2) \cdot \rho \cdot c_\infty \cdot \Gamma \cdot b.$$

Damit ergibt sich für die gesuchte Kraft auf die Schaufel in y-Richtung:

$$F_A = \rho \cdot c_\infty \cdot \Gamma \cdot b \quad (12-50).$$

Das ist der allgemeine Beweis für den Kutta-Joukowskyschen Auftriebsatz. Die Kraftrichtung ist wie im vorigen Beispiel um  $90^\circ$  im Gegen-  
uhrzeigersinn gegenüber der Anströmgeschwindigkeit gedreht, sofern der  
Drehsinn der Zirkulation im Uhrzeigersinn als positiv angesetzt wor-  
den ist.

### 13. POTENTIALBEWEGUNG

#### 13.1. Einführung

Wenn der Wirbelvektor in einem Fluidgebiet überall verschwindet, dann  
kann die Strömungsgeschwindigkeit in jedem Punkt  $P(x_k; y_k; z_k)$  durch  
partiell Ableiten einer skalaren Ortsfunktion, die Potentialfunktion  
(s.S. 218 und 219) heißt, ermitteln. Die Geschwindigkeitskomponenten  
lauten damit:

$$c_{xk} = \left[ \frac{\partial \varphi}{\partial x} \right]_k ; c_{yk} = \left[ \frac{\partial \varphi}{\partial y} \right]_k ; c_{zk} = \left[ \frac{\partial \varphi}{\partial z} \right]_k \quad (13-1).$$

Die beiden Differentialgleichungen der Stromlinien, Gl.(11-9), führen  
letztlich zu zwei Stromfunktionen:  $\psi(x, y) = \text{Konst}$ , Gl.(11-33b), und  
 $\chi(y, z) = \text{Konst}$ . Die Stromfunktion  $\psi$  entspricht allen Stromlinien, die  
in Parallelebenen  $z = \text{const}$  sich befinden; genauso entspricht die  
Stromfunktion  $\chi$  allen Stromlinien, die in Parallelebenen  $x = \text{const}$   
sich befinden.

Weiterhin mögen hier nur ebene Probleme ( $z = \text{const}$ ) angesprochen  
werden. In einer ebenen und wirbelfreien Strömung gibt es also zwei  
entscheidende Funktionen zur Beschreibung der Strömungsvorgänge: die  
Potentialfunktion  $\varphi$  und die Stromfunktion  $\psi$ .

#### 13.2. Ebene Potentialbewegung

Faßt man die Aussagen der Gl.(11-33) und (13-1) zusammen, so ergeben  
sich nachstehende Gleichheiten:

$$c_x = \frac{\partial \varphi}{\partial x} = \frac{\partial \psi}{\partial y} ; c_y = \frac{\partial \varphi}{\partial y} = - \frac{\partial \psi}{\partial x} \quad (13-2).$$

Es ist ein interessanter, die weiteren Berechnungen vereinfachender  
Zufall, daß sich die Potential- und die Stromfunktion zu einer analy-  
tischen Funktion zusammenfassen lassen. -Eine Funktion heißt analy-  
tisch, wenn sie bei komplexer, unabhängiger Variablen  $z = x + i.y$

im ganzen Fluidgebiet stetig und eindeutig und damit eben differenzierbar ist.-Identifiziert man in einer komplexen Funktion  $f(z)$  den Realteil mit der Potentialfunktion  $\varphi$  und den Imaginärteil mit der Stromfunktion  $\psi$ , dann ist  $f(z)$  deshalb eine analytische Funktion, weil die beiden Gleichheiten in Gl.(13-2) - sie sind unter dem Namen Cauchy-Riemannsche Differentialgleichungen bekannt - erfüllt sind:

$$f(z) = f(x + i.y) = \varphi(x,y) + i.\psi(x,y) \quad (13-3).$$

Außerdem ist die Ableitung  $df(z)/dz$  von der Richtung unabhängig und deshalb nach allen Seiten gleich. So genügt also beispielsweise schon die partielle Ableitung in x-Richtung:

$$\frac{df(z)}{dz} = \frac{\partial f}{\partial x} = \frac{\partial \varphi}{\partial x} + i.\frac{\partial \psi}{\partial x} = c_x - i.c_y \quad (13-4).$$

Die analytische Funktion wird komplexes Potential genannt, ihre Ableitung heißt sinngemäß "komplexe Geschwindigkeit". - Ersetzt man in  $z$  die kartesischen Koordinaten durch Polarkoordinaten, so sind folgende Zusammenhänge zu beachten, Bild 13-1:

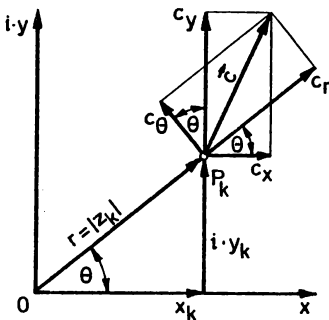


BILD 13-1

$$\begin{aligned} x &= r.\cos \theta ; y = r.\sin \theta ; \\ r &= \sqrt{x^2 + y^2} = |z| ; \\ \theta &= \arctg y/x ; \\ z &= x + i.y = r.(\cos \theta + i.\sin \theta) ; \\ z &= r.e^{i.\theta} ; \bar{z} = x - i.y \end{aligned}$$

(13-5).

Multipliziert man  $df(z)/dz$  mit

$$e^{i.\theta} = \cos \theta + i.\sin \theta, \text{ dann ergibt sich:}$$

$$e^{i.\theta} \cdot \frac{df(z)}{dz} = c_r - i.c_\theta \quad (13-6).$$

Darüberhinaus läßt sich für die beiden neuen Geschwindigkeitskompo-

nenten vermerken:

$$c_r = c_x \cdot \cos \theta + c_y \cdot \sin \theta \quad ; \quad c_\theta = c_y \cdot \cos \theta - c_x \cdot \sin \theta \quad (13-7).$$

### 13.3. Konforme Abbildung

In der  $z$ -Ebene - man nenne sie auch Stammebene - sind zwei Kurven:  $s_1$  und  $s_2$ , die vom Punkt  $p(x, iy)$  ausgehen sollen, gegeben, Bild 13-2.

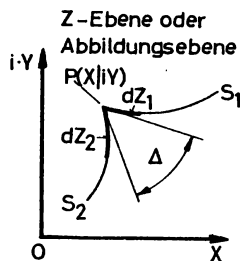
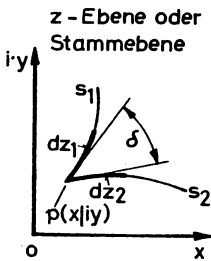


BILD 13-2

Eine komplexe Funktion  $Z(z)$  erlaubt die Übertragung oder Abbildung von Punkten, Kurven und Bereichen aus der  $z$ -Ebene (Stammebene) in die  $Z$ -Ebene (Abbildungsebene):

$$Z(z) = X(z) + iY(z)$$

(13-8).

Diese Abbildungsfunktion darf wieder als analytisch bezeichnet werden, wenn sie den Cauchy-Riemannschen Differentialgleichungen

$$\frac{\partial X}{\partial x} = \frac{\partial Y}{\partial y} \quad \text{und} \quad \frac{\partial X}{\partial y} = - \frac{\partial Y}{\partial x} \quad (13-9)$$

genügt. Weil, wie schon auf S. 299 erwähnt, bei analytischen Funktionen die Ableitung nach  $z$  von der Richtung unabhängig ist, gibt es in einem Punkt  $p$  für  $Z(z)$  nur eine Ableitung, die für alle Richtungen, die man von  $p$  aus einschlägt, gilt. Daraus folgt:  $dZ_1/dz_1 = dZ_2/dz_2$  oder:  $dz_1/dz_2 = dZ_1/dZ_2$ , was bedeutet, daß bei differentiellen Änderungen geometrische Bereiche winkeltreu bzw. ähnlich abgebildet werden, weshalb nach Gauß von "konformer Abbildung" gesprochen wird. -Bedeutung für ebene, wirbelfreie Strömungsfelder: Kennt man beispielsweise die Strömungsverhältnisse um einen umströmten Zylinder (ebenes Problem), dann läßt sich durch eine Abbildungsfunktion, von der Stammebene ausgehend, das Strömungsgeschehen um einen anderen geometrisch verzerrten Körper in der Abbildungsebene bestimmen.

### 13.4. Beispiele

#### 1. Beispiel

Von einem Strömungsfeld wird das komplexe Strömungspotential mit

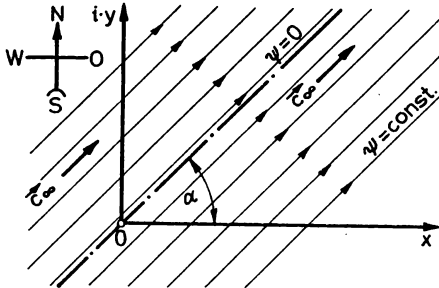


BILD 13-3

$$f(z) = c_{\infty} \cdot e^{-i \cdot \alpha} \cdot z$$

gegeben; zudem kennt man die Windgeschwindigkeit  $c_{\infty} = 2 \text{ m/s}$  sowie die Neigung der Strömungsfront gegen die x-Achse  $\alpha = 45^\circ$ , Bild 13-3. - Man ermittle:

- die Geschwindigkeitskomponenten in einem beliebigen Punkt  $c_x$  und  $c_y$ ;
- die Funktion für das Strömungspotential  $\varphi$  und die Stromfunktion  $\psi$ ;

- die Gleichung für die Stromlinienschar  $\psi(x, y) = \text{Konst}$ ;
- eine physikalische Interpretation.

#### Lösungen:

- $c_x$  und  $c_y$  :

Die Ableitung des komplexen Strömungspotentials erbringt nach Gl.(13-4):

$$df(z)/dz = c_{\infty} \cdot e^{-i \cdot \alpha} = c_x - i \cdot c_y = c_{\infty} \cdot (\cos \alpha - i \cdot \sin \alpha) \quad , \text{ wenn man auch Gl.(13-5) beachtet. -}$$

$$\underline{\underline{c_x}} = c_{\infty} \cdot \cos \alpha = 2 \cdot \cos 45^\circ = \underline{\underline{1,414 \text{ m/s}}} ; \quad \underline{\underline{c_y}} = c_{\infty} \cdot \sin \alpha = 2 \cdot \sin 45^\circ = \underline{\underline{1,414 \text{ m/s}}}.$$

- $\varphi$  und  $\psi$  :

Aufgrund von Gl.(13-3) lässt sich angeben:

$$f(z) = c_{\infty} \cdot (\cos \alpha - i \cdot \sin \alpha) \cdot (x + i \cdot y) = c_{\infty} \cdot (x \cdot \cos \alpha + y \cdot \sin \alpha) + i \cdot c_{\infty} \cdot (y \cdot \cos \alpha - x \cdot \sin \alpha).$$

Der Realteil  $\text{Re} f(z)$  entspricht der Potentialfunktion und der Imaginärteil  $\text{Im} f(z)$  der Stromfunktion:

$$\begin{aligned} \varphi(x, y) &= c_{\infty} \cdot (x \cdot \cos \alpha + y \cdot \sin \alpha) ; \\ \psi(x, y) &= c_{\infty} \cdot (y \cdot \cos \alpha - x \cdot \sin \alpha) . \end{aligned}$$

c) Stromlinienschar:

Schreibt man der Stromfunktion einen konstanten Wert zu, dann lässt sich die Gleichung für die Stromlinienschar folgendermaßen ermitteln:

$\Psi(x,y) = c_{\infty} \cdot (y \cdot \cos \alpha - x \cdot \sin \alpha) = \text{Konst}; \quad y = m \cdot x + b \quad \text{mit } m = \tan \alpha$   
und  $b$  dem  $y$ -Achsenabschnitt.

$$\underline{y = x + b} \quad .$$

Es handelt sich demnach um parallele Geraden von der Steigung 1 .  
Die Gerade  $y = x$ , auf der  $\Psi = 0$  gilt, stellt eine Grenze dar für  $b < 0$  und  $b > 0$ , aber ohne physikalische Bedeutung (Bild 13-3).

d) Physikalische Interpretation:

Bei der Strömungsfront handelt es sich um einen konstanten Wind, der  $\frac{\text{km}}{\text{h}}$  von SW nach NO über eine Ebene bläst, und zwar mit  $c_{\infty} = 2 \text{ m/s} = 7,2 \frac{\text{km}}{\text{h}}$ .

2. Beispiel

Für eine Eckenströmung bei  $\alpha = \pi/2$  kennt man das komplexe Potential  
 $f(z) = B \cdot z^2$  mit

$B = 0,2 \text{ l/s}$  bei  
Wasser als Strömungsmittel.-

Man ermittle:

a) die Geschwindigkeitskomponenten  $c_{x1}$  und  $c_{y1}$  für den Punkt  $P_1(3\text{m}, 3\text{m})$ , Bild 13-4, Pos. a.

b) Geltungsbereich der Geschwindigkeitsverteilung;

c) die Potentialfunktion  $\varphi$  und die Stromfunktion  $\Psi$ ;

d) die Gleichung der Stromlinienschar  $\Psi(x,y) = \text{Konst}$ ;

e) den Volumenstrom, der eine rechteckige Fläche von  $OP_1$  als Breite und  $h = 1 \text{ m}$  (senkrecht auf Bildebene) als Höhe durchsetzt;

f) die Druckkraft  $F_{\text{pi}}$  auf einen Wandausschnitt von der Länge  $OD$  und der Breite  $b = 1 \text{ m}$ , wenn der Überdruck in  $O$  mit  $p_{0ü} = 0,1 \text{ bar}$

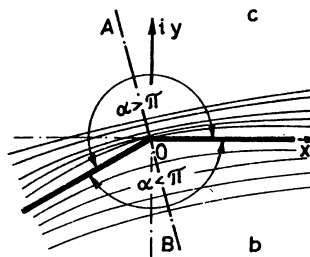
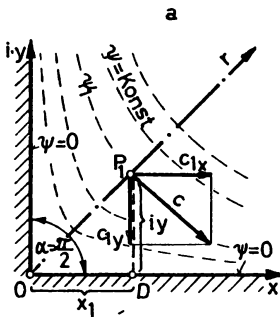


BILD 13-4

gegeben wird;

- g) eine physikalische Interpretation des Strömungsgeschehens;
- h) den Einfluß des Eckenwinkels auf die Geschwindigkeitsverteilung.

Lösungen:

- a)  $c_{x1}$  und  $c_{y1}$  :

$$\text{Gl. (13-4): } df(z)/dz = 2 \cdot B \cdot z = 2 \cdot B \cdot (x + i \cdot y) = c_x - i \cdot c_y \quad ;$$

$$\underline{c_{x1}} = 2 \cdot B \cdot x_1 = 2 \cdot 0,2 \cdot 3 = \underline{1,2 \text{ m/s}} \quad ; \quad \underline{c_{y1}} = -2 \cdot B \cdot y_1 = -2 \cdot 0,2 \cdot 3 = \underline{-1,2 \text{ m/s}} .$$

- b) Geltungsbereich der Geschwindigkeitsverteilung:

Die Zusammenfassung der Komponenten ergibt:

$$\underline{c} = \sqrt{c_x^2 + c_y^2} = \underline{2 \cdot B \cdot r} \quad ;$$

da für  $r \rightarrow \infty$  die Geschwindigkeit ebenfalls unendlich groß würde, was physikalisch unmöglich ist, gilt dieses Berechnungsverfahren nur im Bereich der Ecke. - Der Koordinatenursprung ist wegen  $r = 0$  und  $c = 0$  ein Staupunkt.

- c)  $\varphi$  und  $\psi$  :

Entwickelt man das gegebene komplexe Strömungspotential, dann kann man im Sinne der Gl. (13-3) die beiden gesuchten Funktionen ablesen:

$$f(z) = B \cdot z^2 = B \cdot (x + i y)^2 = B \cdot (x^2 - y^2) + i \cdot 2 \cdot B \cdot x \cdot y \quad ;$$

$$\underline{\varphi = B \cdot (x^2 - y^2)} \quad ; \quad \underline{\psi = 2 \cdot B \cdot x \cdot y} \quad ; \text{ gleichseitige Hyperbeln !}$$

- d)  $\psi(x, y) = \text{Konst}$  :

Gibt man der Stromfunktion einen konstanten Wert, dann erkennt man sofort, daß es sich bei der Kurvenschar der Stromlinien um gleichseitige Hyperbeln handelt:

$$\psi = 2 \cdot B \cdot x \cdot y = \text{Konst} \rightarrow y = \frac{\text{Const}}{x} .$$

Die Stromlinie für  $\psi = 0$  liegt vor bei  $x = 0$  (y-Achse) und bei  $y = 0$  (x-Achse).

- e)  $\dot{V}$  :

Der Volumenstrom durch  $OP_1$  . h hindurch ist gleich demjenigen, der



die Fläche  $\overline{P_1 D} \cdot h$  (Bild 13-4, Pos. a) passiert:

$$\dot{V} = \int_0^3 c_x \cdot h \cdot dy = 2 \cdot B \cdot h \int_0^3 x \cdot dy \quad ; \quad \text{da } x = x_1 = 3 \text{ m ist, folgt aus der Integration } \underline{\underline{\dot{V} = 2 \cdot B \cdot h \cdot x_1 \cdot y \Big|_0^3 = 3,6 \text{ m}^3/\text{s}}}.$$

Zum gleichen Ergebnis gelangt man unter Verwendung der Stromfunktion, wobei an die Ausführungen auf den S.200 und 201 erinnert wird.

$$\dot{V} = \Delta\psi \cdot h = h(\psi_1 - \psi_0) = (2 \cdot B \cdot x_1 \cdot y_1 - 2 \cdot B \cdot x_0 \cdot y_0) \cdot h$$

$$\underline{\underline{\dot{V} = (2 \cdot 0,2 \cdot 3 \cdot 3 - 0) \cdot 1 = 3,6 \text{ m}^3/\text{s}}}.$$

f)  $F_{\text{püy}}$ :

Die Bernoulligleichung längs der Staupunktsstromlinie  $\psi = 0$  bezüglich der x-Achse lautet:

$$p_{ü0}/\varrho + c_0^2/2 = p_{üx}/\varrho + c_x^2/2 \quad ; \quad \text{mit } c_0 = 0 \text{ folgt:}$$

$$p_{üx} = p_{ü0} - \frac{\varrho}{2} \cdot c_x^2 = p_{ü0} - \frac{\varrho}{2} \cdot (2 \cdot B \cdot x)^2, \text{ gültig für den laufenden Punkt von 0 nach D. Es folgt:}$$

$$F_{\text{püy}} = h \cdot \int_0^3 p_{üx} \cdot dx = h \cdot \int_0^3 (p_{ü0} - \frac{\varrho}{2} \cdot 4 \cdot B^2 \cdot x^2) \cdot dx \quad ;$$

$$\underline{\underline{F_{\text{püy}} = h \cdot x_1 \cdot (p_{ü0} - \frac{2}{3} \cdot \varrho \cdot B^2 \cdot x_1^2) = 1 \cdot 3 \cdot (10^4 - \frac{2}{3} \cdot 1000 \cdot 0,2^2 \cdot 3^2)}}$$

$$\underline{\underline{F_{\text{püy}} = 29,28 \text{ kN}}}.$$

g) Physikalische Interpretation des Strömungsgeschehens:

Auf S.205, 2. Beispiel, und in Bild 11-13 ist die Eckenströmung beschrieben worden!

h) Einfluß des Eckenwinkels auf die Geschwindigkeitsverteilung:

Ein monomiales komplexes Strömungspotential beschreibt immer die Strömung in einem Dyeder:

$$\boxed{f(z) = C \cdot z^n \quad \text{mit } \alpha = \frac{\pi}{n}} \quad (13-10).$$

Beispiele:

$n = 1$  : Parallelströmung wie im 1. Beispiel ;  $\alpha = \pi$  ;

$n = 2$  : Eckenströmung wie im vorliegenden Beispiel;  $\alpha = \pi/2$  .

Zwei Grenzwertbetrachtungen geben wichtige Auskunft:

$z \rightarrow 0$  bei  $n > 1$  bzw.  $\alpha < \pi$

$$\lim_{z \rightarrow 0} df(z)/dz = \text{C.n.} \lim_{z \rightarrow 0} z^{n-1} = 0 \quad . \text{ Der Koordinatenursprung ist in diesem Fall Staupunkt, Bild 13-4, Pos. b .}$$

Aus Kontinuitätsgründen rücken die Stromlinien hier auseinander!

$z \rightarrow 0$  bei  $n < 1$  bzw.  $\alpha > \pi$

$$\lim_{z \rightarrow 0} df(z)/dz = \text{C.n.} \lim_{z \rightarrow 0} z^{n-1} = \lim_{z \rightarrow 0} \frac{C \cdot n}{z^{1-n}} \rightarrow \infty .$$

Der Koordinatenursprung ist in diesem Fall ein Punkt im Strömungsgebiet, an den sich die Stromlinien äußerst eng anlegen, Bild 13-4, Pos. c . Die Geschwindigkeit ist dort also sehr groß!

### 3. Beispiel

Es wird das komplexe Strömungspotential  $f(z) = B \cdot \ln z$  vorgegeben.

Man ermittle:

- die Geschwindigkeitskomponenten  $c_r$  und  $c_\theta$  ;
- die Potential- und die Stromfunktion;
- die Gleichung der Stromlinienschar;
- die Bedeutung der Konstanten  $B$  ;
- die physikalische Interpretation der Strömung .

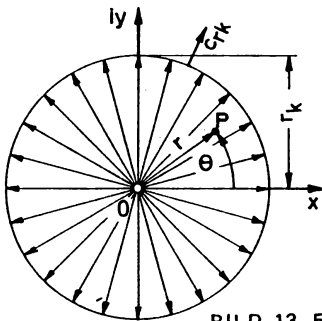


BILD 13-5

Lösungen:

a)  $c_r$  und  $c_\theta$  :

$$\text{Gl. (13-6): } e^{i\theta} \cdot df(z)/dz = e^{i\theta} \cdot \frac{B}{z} = e^{i\theta} \cdot \frac{B}{r \cdot e^{i\theta}} = \frac{B}{r} = \underline{\underline{c_r - i \cdot c_\theta}}$$

Daraus kann abgelesen werden:

$$\underline{\underline{c_r = B / r}} \quad \text{und} \quad \underline{\underline{c_\theta = 0}} \quad , \text{ Bild 13-5.}$$

Da bei  $r \rightarrow 0$  die Geschwindigkeit  $c_r \rightarrow \infty$  geht, ist der Nullpunkt ein singulärer Punkt und ist durch das komplexe Strömungspotential  $f(z)$  nicht definiert.

b)  $\varphi$  und  $\psi$ :

Sinngemäß nach Gl.(13-3) folgt:  $f(z) = B \cdot \ln z = B \cdot \ln(r \cdot e^{i\theta})$   
 $f(z) = B \cdot \ln r + i \cdot B \cdot \theta$

$$\underline{\underline{\varphi(r, \theta) = B \cdot \ln r}} \quad ; \quad \underline{\underline{\psi(r, \theta) = B \cdot \theta}}$$

c) Gleichung der Stromlinienschar:

Nimmt  $\psi$  einen konstanten Wert an, folgt:  $\psi(r, \theta) = B \cdot \theta = \text{Konst}$  ;  
 schreibt man für den Winkel  $\theta = \arctg(y/x)$ , dann erhält man auch:

$$\psi(r, \theta) = B \cdot \arctg(y/x) = \text{Konst} \quad . \quad \underline{\underline{y/x = \arctg(\text{Konst}/B) = m}} \quad ;$$

$$\underline{\underline{y = m \cdot x}}$$

Die Stromlinien sind Nullpunktsgerade mit der Steigung  $m$ .

d) Bedeutung von  $B$ :

Da die Radialgeschwindigkeit längs eines Kreises vom Radius  $r_k$  überall gleich ist, berechnet sich der Volumenstrom, der die Zylinderfläche  $2 \cdot \pi \cdot r_k \cdot h$  ( $h$  steht senkrecht auf der Bildfläche) durchströmt:

$$\dot{V} = 2 \cdot \pi \cdot r_k \cdot h \cdot c_r \quad ; \quad \dot{V} = 2 \cdot \pi \cdot r_k \cdot h \cdot \frac{B}{r_k} \quad ; \quad \underline{\underline{\dot{V} = 2 \cdot \pi \cdot h \cdot B}}$$

Man sieht, daß der Volumenstrom unabhängig vom Radius ist. Nunmehr wird die Bedeutung von  $B$  offensichtlich:

$$\underline{\underline{B = \frac{\dot{V}}{2 \cdot \pi \cdot h} = \frac{\dot{V}'}{2 \cdot \pi}}}$$

e) Physikalische Interpretation:

Man spricht hier von einem Quelfaden mit der Ergiebigkeit von  $\dot{V}/h$ , dem Volumenstrom pro 1 m Quelfadenlänge.

#### 4. Beispiel

Man gibt das komplexe Strömungspotential  $f(z) = i \cdot K \cdot \ln(z/r_0)$  vor.  
 Man ermittle:

- die Geschwindigkeiten  $c_r$  und  $c_\theta$  ;
- die Potential- und die Stromfunktion ;
- die Gleichung der Stromlinienschar  $\psi(r,\theta) = \text{Konst}$  ;
- die Bedeutung der Konstanten  $K$  ;
- die physikalische Interpretation der Strömung ;
- die Gleichung der Stromlinienschar für den Fall, daß man ein neues komplexes Strömungspotential bildet, und zwar durch Überlagerung (Superposition) der Funktionen  $f(z)$  des dritten und vierten Beispiels .

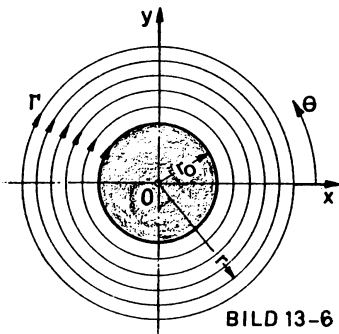


BILD 13-6

### Lösungen:

a)  $c_r$  und  $c_\theta$  :

Gl. (13-6) erbringt

$$e^{i\theta} \cdot \frac{df(z)}{dz} = e^{i\theta} \cdot \frac{i \cdot K}{z} = \frac{i \cdot K}{r} = c_r - i \cdot c_\theta$$

$$\underline{c_r = 0} \quad \text{und} \quad \underline{c_\theta = -K/r} \quad , \text{Bild 13-6.}$$

Das Minuszeichen bedeutet, daß die Geschwindigkeit im Uhrzeigersinn gerichtet ist, wogegen die  $\theta$ -Richtung Linkssinn vorweist.

Der Koordinatenursprung 0 ist wiederum ein singulärer Punkt, weil die Geschwindigkeit gegen unendlich geht, sofern der Radius verschwindet.

b)  $\varphi$  und  $\psi$  :

Die Entwicklung des vorgelegten komplexen Strömungspotentials zeigt

$$f(z) = i \cdot K \cdot \ln(r \cdot e^{i\theta} / r_0) = -K \cdot \theta + i \cdot K \cdot \ln(r / r_0) \quad ; \text{man liest ab:}$$

$$\underline{\varphi = -K \cdot \theta} \quad ; \quad \underline{\psi = K \cdot \ln(r/r_0)} \quad .$$

c) die Gleichung der Stromlinienschar  $\psi(r,\theta) = \text{Konst}$  :

Setzt man etwa  $\text{Konst} = 0$ , dann erkennt man, daß  $\psi = 0$  ist, wenn  $r = r_0$  ist. Die Stromlinie  $\psi = 0$  ist demnach ein Kreis vom Radius  $r_0$  ! Alle übrigen Stromlinien  $\psi = K \cdot \ln(r/r_0) = \text{Konst}$  sind wegen  $r/r_0 = e^{\text{Konst}/K}$  ebenfalls konzentrische Kreise, die der Gleichung genügen:

$$\underline{\underline{x^2 + y^2 = r^2}} \quad .$$

d) die Bedeutung der Konstanten K :

Längs eines Stromlinienkreises ist die Tangentialgeschwindigkeit  $c_\theta$  überall gleich. Deshalb kann man die Zirkulation einfach berechnen:

$$\text{Gl. (11-49): } \Gamma = \oint \vec{c} \cdot d\vec{r} = \int_0^{2\pi} c_\theta \cdot r \cdot d\theta = \int_0^{2\pi} \left(-\frac{\Gamma}{r}\right) \cdot r \cdot d\theta = -2\pi \cdot K$$

Daraus folgt ohne weiteres die Bedeutung der Konstanten K:

$$K = -\frac{\Gamma}{2\pi}$$

Somit darf das komplexe Potential auch noch folgendermaßen angeschrieben werden:

$$f(z) = -\frac{i\Gamma}{2\pi} \cdot \ln(z/r_0)$$

e) Physikalische Interpretation der Strömung :

Vergleicht man  $|c_\theta| = K/r$  mit Gl. (11-52) und beachtet die Ausführungen auf S.220/221, so erkennt man, daß es sich bei der vorgelegten Strömungsform um den Potentialwirbel handelt !-(Siehe auch die S.256 bis 258).

f) Stromlinienschar, durch Superposition erhalten:

Überlagert man das komplexe Strömungspotential einer Fadenquelle

$\psi(r, \theta) = (\dot{V}'/2\pi) \cdot \theta$  und dasjenige eines Potentialwirbels (hier kann man von einem Wirbelfaden sprechen)  $f(z) = -(i\Gamma/2\pi) \cdot \ln(z/r_0)$ .

Wandelt man in der letzten Gleichung das Vorzeichen um, dann dreht der Potentialwirbel eben im Gegen-  
uhrzeigersinn. Aus der Superposition folgt:

$$f(z) = \frac{\dot{V}' + i\Gamma}{2\pi} \cdot \ln(z/r_0)$$

Die Entwicklung dieser komplexen Potentialfunktion liefert:

$$f(z) = \left( \frac{\dot{V}'}{2\pi} \cdot \ln \frac{r}{r_0} - \frac{\Gamma}{2\pi} \cdot \theta \right) + i \cdot \left( \theta \cdot \frac{\dot{V}'}{2\pi} + \frac{\Gamma}{2\pi} \cdot \ln \frac{r}{r_0} \right)$$

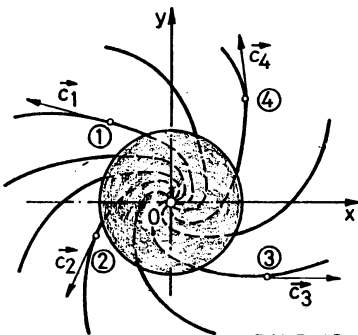


BILD 13-7

Der Imaginärteil entspricht der gesuchten Stromfunktion, weshalb sich

auch die Gleichung für die Stromlinienschar sofort angeben läßt:

$$\psi = \frac{\Gamma}{2\pi} \cdot \ln(r/r_0) + \frac{\dot{V}}{2\pi} \cdot \theta = \text{Konst} \quad ;$$

Diese Gleichung beschreibt logarithmische Spiralen, Bild 13-7. Diese Strömungsform hat eine besondere Bedeutung in der Theorie der radialen Strömungsmaschinen.

### 5. Beispiel

Für das komplexe Strömungspotential  $f(z) = c_\infty \cdot (z + \frac{r_0^2}{z})$  sind zu bestimmen:

- die radiale und die tangential Geschwindigkeitskomponenten  $c_r$  und  $c_\theta$  ;
- die Potential- und die Stromfunktion ;
- die Gleichung für die Stromlinienschar ;
- die physikalische Interpretation der Strömungsbewegung .

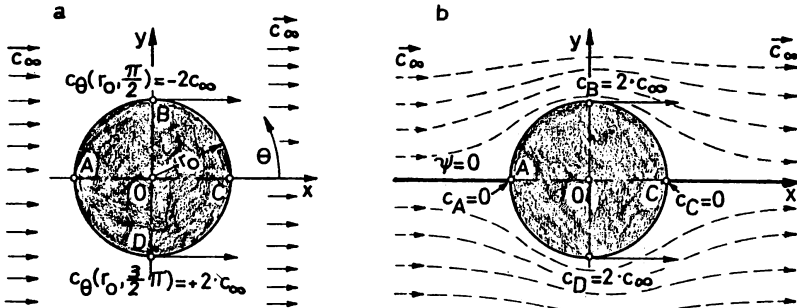


BILD 13-8

### Lösungen:

a)  $c_r$  und  $c_\theta$  :

$$\text{Gl. (13-6): } e^{i\theta} \cdot \frac{df(z)}{dz} = c_\infty \cdot e^{i\theta} \cdot (1 - \frac{r_0^2}{z^2}) = c_\infty \cdot e^{i\theta} \cdot (1 - \frac{r_0^2}{r^2} e^{-2i\theta})$$

$$e^{i\theta} \cdot \frac{df(z)}{dz} = c_\infty \cdot (\cos \theta + i \sin \theta) - c_\infty \cdot \frac{r_0^2}{r^2} \cdot (\cos \theta - i \sin \theta) = c_r - i c_\theta$$

$$\underline{c_r = c_\infty \cdot \cos(1 - \frac{r_0^2}{r^2})} \quad \text{und} \quad \underline{c_\theta = -c_\infty \cdot (1 + \frac{r_0^2}{r^2}) \cdot \sin \theta}$$

Einige Grenzwerte:  $c_{r\infty} = \lim_{r \rightarrow \infty} c_r = c_\infty \cdot \cos \theta$  ;  $c_{\theta\infty} = \lim_{r \rightarrow \infty} c_\theta = -c_\infty \cdot \sin \theta$ .  
Damit folgt:

$$\theta = 0 \quad , \quad c_{r\infty} = c_\infty \quad \text{und} \quad c_{\theta\infty} = 0 \quad ;$$

$$\theta = \pi \quad , \quad c_{r\infty} = -c_\infty \quad \text{und} \quad c_{\theta\infty} = 0 \quad . \quad - \text{Für } r \rightarrow r_0 \text{ findet man}$$

in allen Punkten des Krei-

ses vom Radius  $r_0$ , daß  $c_r = 0$  ist, Bild 13-8, Pos. a. Interessant sind noch die Geschwindigkeiten in den Punkten A, B, C und D:

In Punkt A gilt:  $\theta = \pi$  ;  $c_\theta = 0$  : Staupunkt ;  $c_\theta = -2 \cdot c_\infty \cdot \sin \theta$  ;

in Punkt C gilt:  $\theta = 0$  ;  $c_\theta = 0$  : Staupunkt ;

in Punkt B gilt:  $\theta = \pi/2$  ;  $c_\theta = -2 \cdot c_\infty$  : das Minuszeichen sagt aus, daß die Geschwindigkeit gegen die  $\theta$ -Richtung auftritt;

in Punkt D gilt:  $\theta = (3/2) \cdot \pi$  ;  $c_\theta = 2 \cdot c_\infty$  .

In den Punkten C und D trifft man auf Maximalgeschwindigkeiten ! -

Siehe Bild 13-8, Pos. b .

b)  $\varphi$  und  $\psi$  :

Die Entwicklung des komplexen Strömungspotentials führt zu den gesuchten Funktionen:

$$f(z) = c_\infty \cdot \left( r \cdot e^{i \cdot \theta} + \frac{r_0^2}{r} \cdot e^{-i \cdot \theta} \right) = c_\infty \cdot \cos \theta \cdot \left( r + \frac{r_0^2}{r} \right) + i \cdot c_\infty \cdot \left( r - \frac{r_0^2}{r} \right) = \varphi + i \cdot \psi .$$

$$\underline{\varphi = c_\infty \cdot \cos \theta \cdot \left( r + \frac{r_0^2}{r} \right)} \quad \text{und} \quad \underline{\psi = c_\infty \cdot \sin \theta \cdot \left( r - \frac{r_0^2}{r} \right)} .$$

c) Gleichung der Stromlinienschar :

Die Gleichung der Stromlinien (Bild 13-8, Pos. b) wird durch

$$\underline{c_\infty \cdot \sin \theta \cdot \left( r - \frac{r_0^2}{r} \right) = \text{Konst}} \quad \text{dargestellt.}$$

$\psi = 0$  liegt vor beim Kreis mit Radius  $r_0$  und bei  $\theta = 0^\circ$  und  $\theta = \pi$ .  
(Gesamte x - Achse !)

d) Physikalische Interpretation:

Es handelt sich offensichtlich um die translatorische Umströmung eines Zylinders von der Höhe  $h = 1 \text{ m}$  .

## 6. Beispiel

Ein Flugzeugschuppen wird durch einen starken Wind ( $c_\infty = 10 \text{ m/s}$ )

von der Seite her angeblasen, Bild 13-9, Pos. a. Als Innendruck gilt der Atmosphärendruck mit  $p_0 = 1,015 \text{ bar}$ . Der Durchmesser wird mit  $D = 2 \cdot r_0 = 30 \text{ m}$  angegeben; die Schuppenlänge lautet  $L = 50 \text{ m}$ . Als mittlere Luftdichte verwende man  $\rho = 1,225 \text{ kg/m}^3$ . Man ermittle die Kraft in y-Richtung, mit welcher die Halle aufgrund der Überdruckwirkung "angehoben" wird.

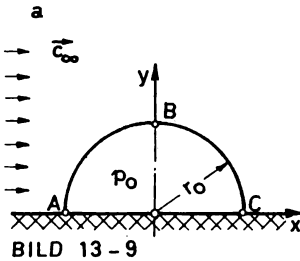
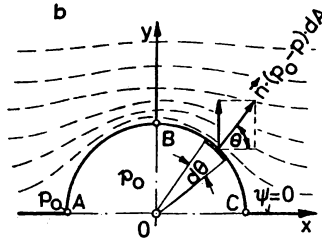


BILD 13-9



#### Lösungen:

Zunächst sei daran erinnert, daß das Strömungsfeld hier gerade der oberen Hälfte des Strömungsbildes von Beispiel 5 entspricht. Infol-

gedessen darf man auf die dort ermittelte Geschwindigkeitsverteilung zurückgreifen. Es interessiert nur die Geschwindigkeitsverteilung längs des Stromlinienabschnitts ABC. Die Druckverteilung lautet nach Bernoulli:  $p_0 - p = (\rho/2) \cdot c_\theta^2$ , wenn man bei der Luftströmung berechtigterweise von den Höhengliedern absieht. Aus der Geschwindigkeitsverteilung ist abzulesen, daß der äußere Druck bis auf die Staupunkte A und C überall längs der kreisförmigen Hallenkontur niedriger liegt als der in der Halle vorherrschende Atmosphärendruck! Die Kraft in y-Richtung berechnet sich folgendermaßen (Bild 13-9, Pos. b) :

$$F_{\text{püy}} = L \cdot r_0 \cdot \int_0^\pi (p_0 - p) \cdot \sin \theta \cdot d\theta = L \cdot r_0 \cdot \int_0^\pi \left( \frac{\rho}{2} \cdot c_\theta^2 \right) \cdot \sin \theta \cdot d\theta$$

$$F_{\text{püy}} = L \cdot r_0 \cdot \frac{\rho}{2} \cdot \int_0^\pi (-2 \cdot c_\infty \cdot \sin \theta)^2 \cdot \sin \theta \cdot d\theta = 2 \cdot \rho \cdot L \cdot r_0 \cdot c_\infty^2 \cdot \int_0^\pi \sin^3 \theta \cdot d\theta$$

$$F_{\text{püy}} = \frac{8}{3} \cdot \rho \cdot L \cdot r_0 \cdot c_\infty^2 \quad \text{In Zahlen:}$$

$$\underline{\underline{F_{\text{püy}} = (8/3) \cdot 1,225 \cdot 50 \cdot 15 \cdot 10^2 = 245 \text{ kN}}}$$

#### Bemerkungen:

Diese verhältnismäßig große Kraft verdeutlicht, warum Hausdächer bei starkem Wind abgedeckt werden (Unterdruckeffekt).

Im Nachtrag zum 5. Beispiel kann gesagt werden, daß bei einer vollen Umströmung eines Zylinders aus Symmetriegründen die gleich große Kraft



nach "unten" wirkt, so daß die Kraftwirkungen in y-Richtung keine Resultierende haben. Analoges gilt für jede andere Diagonallage. Das ist aber ein Sonderfall des d'Alembertschen Paradoxons, wonach in einer zirkulationsfreien Strömung eines vollkommenen Fluids es zu keiner Druckkraftwirkung auf umströmte, geschlossene Körperoberflächen kommt.

### 7. Beispiel

Ein hoher, zylindrischer Schornstein ist der "Kernhalter" einer Windhose, Bild 13-10, Pos. a, geworden. Die diesbezügliche Zirkulation beträgt

$\Gamma = 5 \text{ m}^2/\text{s}$ . Der Schornstein wird zudem durch einen mäßigen Wind von  $c_\infty = 2 \text{ m/s}$  angeblasen. Man ermittle für einen Durchmesser von  $d = 2 \text{ m}$  und eine Teilhöhe  $h = 10 \text{ m}$  sowie der Luftdichte  $\rho = 1,225 \frac{\text{kg}}{\text{m}^3}$ :

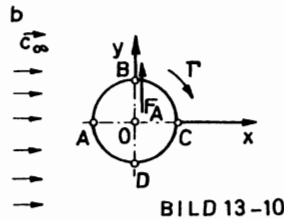
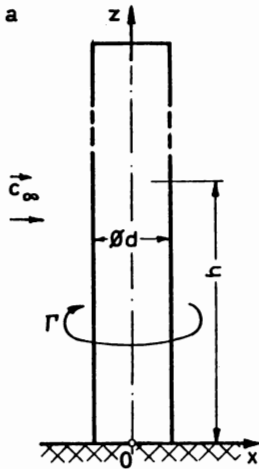


BILD 13-10

- die Windkraft  $F_A$  (Bild 13-10);
- die Geschwindigkeiten für einen beliebigen Querschnitt in den Punkten A, B, C und D;
- das komplexe Strömungspotential;
- die Lage der Staupunkte A' und C';
- die strömungstechnische Bedeutung der vorgelegten Strömungsform.

### Lösungen:

a)  $F_A$  :

Eine Zirkulation ergibt nach Kutta und Joukowski im Zusammenspiel mit einer Parallelströmung einen dynamischen Auf- bzw. Quertrieb, und zwar nach Gl. (12-50):

$$\underline{\underline{F_A = \rho \cdot c_\infty \cdot \Gamma \cdot b = 1,225 \cdot 2 \cdot 5 \cdot 10 = 122,5 \text{ N}}}$$

Entsprechend der gemachten Ausführungen auf S. 295 ist in diesem Falle die Windkraft in y-Richtung wirkend (Bild 13-10, Pos. b).

b)  $c_{\theta A}$ ,  $c_{\theta B}$ ,  $c_{\theta C}$  und  $c_{\theta D}$  :

Es kommt zur Überlagerung der Geschwindigkeiten nach Bild 13-8, Pos. b, und der durch den Potentialwirbel (Windhose) verursachten induzierten Geschwindigkeit  $c_i = \Gamma / (2 \cdot \pi \cdot r_0) = \text{const}$  (Gl. 11-52).

$c_i = 5/(2 \cdot \pi \cdot 1) = 0,796 \text{ m/s}$  . - Damit ergeben sich:

$$\left\| \begin{aligned} c_{\theta A} &= c_i = 0,796 \text{ m/s} ; c_{\theta B} = 2 \cdot c_\infty + c_i = 2 \cdot 2 + 0,796 = 4,796 \text{ m/s} \\ c_{\theta C} &= c_i = 0,796 \text{ m/s} ; c_{\theta D} = 2 \cdot c_\infty - c_i = 2 \cdot 2 - 0,796 = 3,204 \text{ m/s} \end{aligned} \right\| .$$

Diese Geschwindigkeitsvektoren sind auch in Bild 13-11 angedeutet.

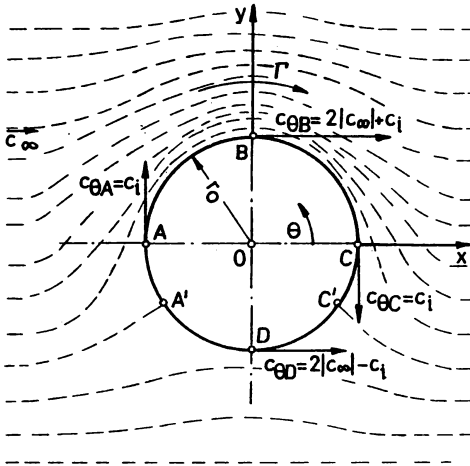


BILD 13-11

### c) Komplexes Potential:

Die Zusammenfassung der Teilpotentiale aus Beispiel 4 und 5 (Potentialwirbel und Parallelumströmung eines Zylinders) ergeben:

$$f(z) = c_\infty \cdot \left( z + \frac{r_0^2}{z} \right) - \frac{i \cdot \Gamma}{2 \cdot \pi} \cdot \ln \frac{z}{r_0} .$$

RTf(z) : Potentialfunktion;

ITf(z) : Stromfunktion.

### d) Staupunkte A' und C':

Unter Beachtung der

Winkelorientierung für  $c_\theta$  (s.S.309 unten) erhält man zusammen mit  $c_i$ , was  $c_\theta$  entgegengesetzt wirkt:

$$- 2 \cdot c_\infty \cdot \sin \theta - c_i = 0 ; \quad \sin \theta_{A', C'} = - \frac{\Gamma}{4 \cdot \pi \cdot r_0 \cdot c_\infty} .$$

Die beiden Staupunkte sind ebenfalls in Bild 13-11 eingetragen.

### e) Strömungstechnische Bedeutung:

Daß ein rotierender Zylinder zusammen mit einer Parallelströmung einen Quertrieb ergibt, hat schon Magnus erkannt (Magnus-Effekt; Flettner-Rotorschiff). Kutta und Joukowski haben diesen Effekt mathematisch erklärt.

Die Superposition einer Parallelströmung und eines Potentialwirbels ist die Basis der Tragflügeltheorie in der Aerodynamik. Durch konforme Abbildung kann man die umströmte Kreiskontur des umströmten Zylinders in ein Profil umwandeln. Somit lassen sich für das Profil das Stromlinienspektrum, die Geschwindigkeitsverteilung, die Druckverteilung,

Kräfte, Momente und Angriffspunkte beschaffen.

### 8. Beispiel

Es wird ein Kreis gegeben vom Radius  $r_0$  und der Mittelpunktslage  $M(-a; b)$ , gültig für das Koordinatensystem  $oxy$ , Bild 13-12. - Man ermittle:

- die konforme Abbildung der Kreiskontur aus der Stammebene ( $oxy$ ) in die Abbildungsebene ( $OXY$ ); aus praktischen Gründen für eine einprägsame Zuordnung sind beide Ebenen übereinandergelegt; insbesondere bilde man die Punkte  $p_1, p_2, p_3$  und  $p_4$  ab und ermittle die Punkte  $P_I, P_{II}, P_{III}$  und  $P_{IV}$ ;  
die Abbildungsfunktion heißt:  $Z = z + \frac{q^2}{z}$  mit dem Parameter  $q$ , welcher der Strecke  $ol$  entspricht;  $z$  diese Funktion stammt von Joukowski; ferner kommentiere man
- die Profilmströmung bei translatorischer Anströmung;
- die Profilmströmung bei Zirkulation;
- die Profilmströmung bei translatorischer Anströmung und Zirkulation.

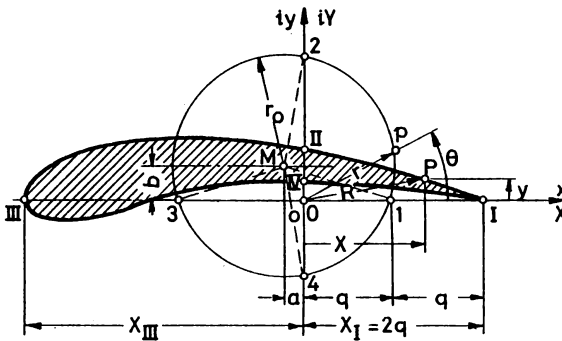


BILD 13-12

### Lösungen:

#### a) Konf. Abbildung:

Jedem Punkt der Stammebene  $p(r, \theta) = p(x, y)$  entspricht ein Punkt der Abbildungsebene  $P(R, \theta) = P(X, Y)$ . Die Abbildungsfunktion läßt sich mit Hilfe von  $z = r \cdot e^{i\theta}$  umfor-

men:

$$Z = r \cdot e^{i\theta} + \frac{q^2}{r} \cdot e^{-i\theta} = r \cdot (\cos \theta + i \cdot \sin \theta) + \frac{q^2}{r} \cdot (\cos \theta - i \cdot \sin \theta);$$

$Z = X + i \cdot Y$  ; daraus folgen die Koordinaten der Abbildungspunkte:

$$\underline{\underline{X = \left(r + \frac{q^2}{r}\right) \cdot \cos \theta}} \quad ; \quad \underline{\underline{Y = \left(r - \frac{q^2}{r}\right) \cdot \sin \theta}} .$$

Nun werden die Koordinaten der Ausgangspunkte und der Abbildungspunkte in der Art  $p(r,\theta) \longrightarrow P(X,Y)$  ermittelt:

$p_1(q,0);$	$X = 2 \cdot q$	$Y = 0$ : $P_I$
$p_2(b+\sqrt{r_0^2-a^2}, \frac{\pi}{2});$	$X = 0$ ;	$Y = b+\sqrt{r_0^2-a^2} - \frac{r_0^2-a^2}{b+\sqrt{r_0^2-a^2}}$ : $P_{II}$
$p_3(a+\sqrt{r_0^2-b^2}, \pi);$	$X = -(a+\sqrt{r_0^2-b^2} + \frac{r_0^2-b^2}{a+\sqrt{r_0^2-b^2}});$	$Y = 0$ : $P_{III}$
$p_4(\sqrt{r_0^2-a^2}-b, \frac{3\pi}{2});$	$X = 0$ ;	$Y = b+ \frac{r_0^2-a^2}{\sqrt{r_0^2-a^2}-b} - \sqrt{r_0^2-a^2}$ : $P_{IV}$ .

Mit diesem Verfahren kann man alle Profilpunkte ermitteln.

b) nur translatorische Profilumströmung:

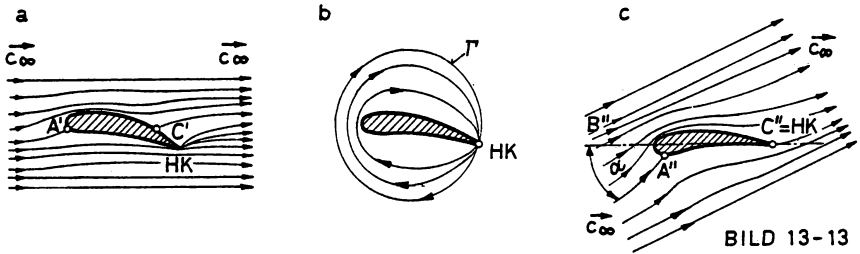
Im 5. Beispiel ist die translatorische Umströmung einer Zylinderkontur (Kreisform) vorgeführt worden (Bild 13-8). Da man mit Hilfe der Joukowskyschen Abbildungsfunktion die Kreiskontur in ein Profil verzerren läßt, kann man analogerwise auch das Strömungsspektrum der Stammebene abbilden, Bild 13-13, Pos. a. Die Zylinderstaupunkte A und C werden zu Profilstaupunkten A' und C'. Gleichzeitig stellen sich an der scharfen Profilhinterkante HK sehr hohe Geschwindigkeiten ein, die im Falle einer Schneide gegen unendlich gehen (Bild 13-4, Pos. c), so daß der Hinterkantenpunkt zum singulären Punkt wird, was physikalisch unreal ist. Außerdem wird nach S. 311/312 keine Kraftwirkung auf das Profil festgestellt; Analoges folgt aus Gl. (12-50) wegen  $\Gamma = 0$ .

c) nur Profilumströmung mit Zirkulation:

Auch hierbei folgt aus dem Auftriebssatz  $F_A = \rho \cdot \Gamma \cdot c_\infty \cdot b$  (Gl. 12-50), daß die Kraftwirkung wegen Fehlens der Translationsgeschwindigkeit verschwindet. Das Strömungsbild ist Bild 13-13, Pos. b, zu entnehmen. Der Hinterkantenpunkt wird gleichfalls zum singulären Punkt, denn die Hinterkante muß ja mit unendlich großer Geschwindigkeit umströmt werden, was wie im Fall b) (oben) physikalisch unmöglich ist.

d) Profilumströmung mit Parallelströmung und Zirkulation :

Nunmehr kann nach dem Kutta-Joukowskyschen Auftriebssatz ein Auftrieb entstehen, aber nur unter Einhaltung einer notwendigen Bedingung:



Eine angelegte Zirkulation - über ihre Entstehung wird in Abschn. 18 berichtet - verschiebt verständlicherweise den Staupunkt  $C'$  weiter zur Hinterkante hin. Solange dieser Staupunkt noch vor der Hinterkante liegt, stellt man, theoretisch gesehen, immer eine unendlich große Umströmungsgeschwindigkeit fest, was physikalisch unmöglich ist. Also muß eine derart bemessene Zirkulation aufgebracht werden, daß der Staupunkt  $C''$  in der Profilhinterkante  $HK$  zu liegen kommt; erst dann herrscht dort eine endlich große Geschwindigkeit, Bild 13-13, Pos. c. Da Strömungsbeobachtungen diese Überlegungen bestätigen, kann das wirkliche Geschehen folgendermaßen beschrieben werden:

Wenn sich bei einer Profilstromung eine glatte Hinterkantenabströmung einstellt, dann muß sich eine Zirkulation aufgebaut haben, damit der hintere Staupunkt mit der Profilhinterkante zusammenfällt. Dies ist die Joukowskysche Abflußbedingung.

Die Berechnungsmethode ist jetzt klar: Der Hinterkante entspricht aufgrund der Abbildungsfunktion ein Punkt der Kreiskontur; letzterer wird zum Staupunkt gemacht über  $c = 0$ . Die daraufhin notwendige Anströmungsfront ist um den Winkel  $\alpha$  gegen die Horizontale geneigt. Man spricht vom Anstellwinkel  $\alpha$ . Die Achse  $B''C''$  heißt Nullauftriebsachse.

Dem Bild 13-13, Pos. c, ist auch zu entnehmen: Die Stromliniendichte an der Profiloberseite ist größer als auf der Unterseite. Eng anliegende Stromlinien weisen auf größere Strömungsgeschwindigkeit und nach Bernoulli auf kleinere Drücke hin; Entsprechendes gilt für die Unterseite: Es stellt sich am Profil ein von unten nach oben wirkender Druckunterschied ein, der ebenfalls die Kraftwirkung am Tragflügel erklären läßt.

## 14. WASSERSTOSS

### 14.1. Theorie

Aus einem Hochbehälter fließt Wasser durch eine gerade Rohrleitung ab.-Man nehme nun im Punkte 0 an, daß der Schieber plötzlich die Leitung absperren möge. Dieser technisch unmögliche Fall dient als Grenze für die sich anschließenden Betrachtungen. In Bild 14-1, Pos. a, ist das Anlagenschema gezeigt. Die Wassersäule wird abgebremst, wobei

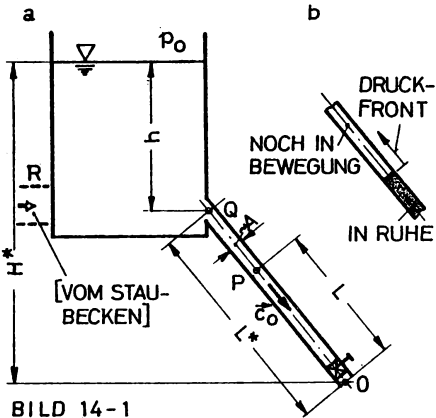


BILD 14-1

die kinetische Energie in Formänderungsarbeit des Wassers und des Rohres übergeht, da es sich bei beiden um elastische Körper handelt. Durch die Abbremsung baut sich in 0 ein zusätzlicher Überdruck  $\Delta p_u$  auf. Gleichzeitig wandert die Druckfront mit Schallgeschwindigkeit  $c_s$  nach oben der noch ankommenden Flüssigkeit entgegen (Bild 14-1, Pos. b). Hinter der Front ist das Fluid zur Ruhe gekommen. Damit gelangt nach der Zeit  $\Delta t$  eine Wasser-

masse von  $\rho \cdot A \cdot L$  zum Stillstand, wenn man die Säulenlänge  $\overline{OP} = L$  mit

$$L = c_s \cdot \Delta t$$

berechnet. Schreibt man der Wassersäule vor der Verzögerung die Geschwindigkeit  $c_0$  zu, dann folgt aus dem Kräftegleichgewicht für den Abbremsvorgang unter Vernachlässigung von Reibung und Wassergewicht:

$$\text{Gl. (8-7): } \sum \vec{F}_i - m \cdot \vec{a} = 0 \quad ; \quad \Delta p_u \cdot A = \rho \cdot A \cdot L \cdot (c_0 / \Delta t) \quad ;$$

$$\Delta p_u = \rho \cdot c_0 \cdot (L / \Delta t) \quad ;$$

$$\boxed{\Delta p_u = \rho \cdot c_0 \cdot c_s} \quad (14-1).$$

Wird der Absperrschieber nur teilweise geschlossen, aber ebenfalls plötzlich, dann bleibt eine Restgeschwindigkeit im Rohr übrig. Der dabei sich einstellende zusätzliche Überdruck lautet:

$$\boxed{\Delta p'_u = \rho \cdot c_s \cdot (c_0 - c)} \quad (14-2).$$

Hat die Druckwelle das Leitungsende in Q erreicht, dann wird der Überdruck dort oben eine Wasserströmung aus dem Rohr in den Behälter in Gang setzen. Es setzt gleichzeitig eine Nachrückbewegung des Wassers

ein, so daß eine Unterdruckwelle nach unten läuft. Ohne Dissipationen und Reflexionen stellt sich der Sachverhalt ein, daß Überdruck und Unterdruck betragsmäßig gleich sind. Nach der Zeit  $t^* = 2.L^*/c_s$  erreicht die Unterdruckwelle den Absperrschieber in O. Nun kehrt die Strömung schlagartig ihre Richtung wieder um, das Wasser fließt augenblicklich nach unten und füllt die Drucksenke aus. Es entsteht wieder das ursprüngliche Druckmaximum. Theoretisch würde sich dieser Schwingungsvorgang wiederholen. - Während der ersten Periode spricht man vom "direkten Wasserstoß". Die "indirekten Wasserstöße" verlaufen mit abnehmenden Amplituden für  $t_s > 2.L^*/c_s$ . - " $t_s$ " bedeutet Schließzeit. Nicht nur die Überdrücke im Punkt O, sondern auch die Unterdrücke im Punkt Q können sehr gefährlich für die Rohrleitung sein. Setzt man bezüglich des indirekten Wasserstoßes die Annahme einer linearen Geschwindigkeitsabnahme von  $c = c_o \cdot (1 - t/t_s)$  in Gl. (14-2) ein - letztere ist ja für plötzliches Schließen angegeben - , so erhält man damit wiederum einen oberen Grenzwert für die maximale statische Druckzunahme:

$$\Delta p_u'' = \rho \cdot c_s \cdot \left[ c_o - c_o \left( 1 - t/t_s \right) \right] = \rho \cdot c_s \cdot c_o \cdot \frac{t}{t_s} = \Delta p_u \cdot \frac{t}{t_s}.$$

Den diesbezüglichen Maximalwert erzielt man natürlich bei allen Vereinfachungen - wie z.B., daß die Schallgeschwindigkeit unabhängig von der Rohrelastizität sei, - nur während der Zeit  $t = 0$  bis  $t = t^* = 2.L^*/$ . Durch Einsetzen in obige Gleichung erhält man die Grenzbeziehung von Michaud:

$$\Delta p_u'' = \rho \cdot c_o \cdot 2.L^*/t_s \quad (14-3).$$

#### 14.2. Beispiel

Einlaufbauwerke, Rohrleitungen usw. von Wasserkraftwerken (Speicherkraftwerken) sind durch schachtartige Schwallräume gegen Druckstöße abgesichert. - Nach Bild 14-1 befindet sich in O der Absperrschieber im Turbinenhaus, bei R kommt das Wasser durch einen Stollen oder eine Rohrleitung vom Staubecken her, der Behälter selbst übernehme die Rolle des Wasserschlosses. - Angaben:  $p_o = 0,96$  bar;  $c_s = 1420$  m/s;  $L^* = 400$  m;  $c_o = 0,75$  m/s;  $H^* = 150$  m;  $h = 25$  m;  $t_s = 2$  s. - Man ermittle:

- den Nachweis, ob der direkte oder indirekte Wasserstoß vorliegt;
- den statischen zusätzlichen Überdruck in O;

- c) den normalen statischen Überdruck in O ,also ohne Stoß;
- d) den gesamten Überdruck bei Stoß;
- e) den Absolutdruck in Q für den Fall der nach unten laufenden Unterdruckwelle.

Lösungen:

a) Direkter oder indirekter Stoß:

Man berechne zunächst die Dauer einer Periode mit  $t^* = 2.L^*/c_S$  ;  
 $t^* = 2.400/1420$  ;  $t^* = 0,563 \text{ s} < t_S = 2 \text{ s} : \text{indirekter Stoß!}$

b)  $\Delta p_{ü}''$  :

$$\text{Gl. (14-3)} : \Delta p_{ü}'' = 1000.0,75.2.400/2 ; \quad \underline{\underline{\Delta p_{ü}'' = 3 \text{ bar}}} .$$

c)  $p_{ü}$  :

$$p_{ü} = \rho \cdot g \cdot H^* = 1000.9,81.150 ; \quad \underline{\underline{p_{ü} = 14,715 \text{ bar}}} .$$

d)  $p_{ü\text{ges}}$  :

$$p_{ü\text{ges}} = p_{ü} + \Delta p_{ü}'' = 14,715 + 3 ; \quad \underline{\underline{p_{ü\text{ges}} = 17,715 \text{ bar}}} .$$

d)  $p_{Qu}$  :

Der Absolutdruck in Q ist  $p_Q = p_o + \rho \cdot g \cdot h = 0,96.10^5 + 10^3.9,81.25$ ;  
 $\underline{\underline{p_Q = 3,413 \text{ bar}}} .$

Der sich einstellende Unterdruck gegenüber Normalverhältnissen in Q  
ist  $-\Delta p_{ü}'' = 3 \text{ bar}$ . Infolgedessen wird  $\underline{\underline{p_{Qu} = 0,413 \text{ bar}}} .$

15. GRUNDBEGRIFFE DER DYNAMIK REELLER FLUIDE

15.1. Allgemeines

Erweitert man das Fluidgeschehen von vollkommenen Fluiden auf reelle Fluide, dann treten zu den bisherigen Kräftearten noch auf Reibungseffekten beruhende Tangentialkräfte (Abschn. 4; Gl.4-5; s.S.42/43) hinzu.-Bei der Besprechung der physikalischen Fluideigenschaften ist auch die Zähigkeit (Abschn.2.6 ,S.19/20) zur Sprache gekommen. Entscheidenden Einfluß auf die Entstehung tangentialer Reibungsspannungen hat



der sogenannte Geschwindigkeitsgradient (Mittelwert, ausgedrückt durch den Differenzenquotienten  $\Delta c / \Delta s$ ; Lokalwert, ausgedrückt durch den Differentialquotienten  $dc/ds$ ). Bild 15-1 soll die Zusammenhänge nochmals aufzeigen.

Außerst wichtig für die Untersuchungen in der Dynamik reeller Fluide ist die Feststellung:

Reelle und benetzende Fluide haften an einer festen Wand und haben dort die Geschwindigkeit  $\vec{c}_{\text{Wand}} = 0$ . Man spricht hierbei von der Haftbedingung. (Bei vollkommenen Fluiden ist  $\vec{c}_{\text{Wand}} > 0$ ).

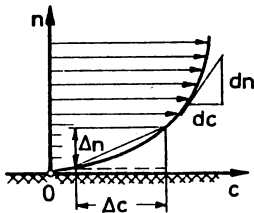


BILD 15-1

Dank der genialen "Entdeckung" von Ludwig Prandtl:

- Reibungswiderstände bei umströmten oder durchströmten Körpern beruhen auf dem Reibungsgeschehen in wandnahen Schichten, den sogenannten Grenzschichten, -

lassen sich reelle Strömungsvorgänge so betrachten, als ob man es bei den natürlichen Fluiden in Wandnähe mit "reellen"

und außerhalb der Grenzschicht mit "vollkommenen" Fluiden zu tun hätte. Die mit vollkommenen Fluiden bisher gewonnenen Erkenntnisse sind durch Experimente zu korrigieren, was seinen Niederschlag in Korrekturgliedern oder Korrekturfaktoren findet.

## 15.2. Mechanische Ähnlichkeit

### 15.2.1. Theorie

Die experimentelle Forschung muß sich häufig der Modelluntersuchungen bedienen. Damit ist die wichtige Frage abzuklären, in welcher Beziehung das Modell (Index M) zur Normalanlage (Index N) stehen muß, damit experimentelle Ergebnisse für Normalauslegungen übertragbar sind. - In der Fluidmechanik verlangt man geometrische und mechanische Ähnlichkeit. Die Forderung nach geometrischer Ähnlichkeit ist naheliegend. Unter der mechanischen Ähnlichkeit verstehe man die Ähnlichkeit der Kräfte an entsprechenden Stellen im Modell und in der Normalanlage. Kräfte in der Fluidmechanik stehen mit folgenden physikalischen Phänomenen in enger Beziehung: Massenträgheit, Schwere, Zähigkeit, Elastizität und Kapillarität. Diese wiederum lassen sich durch folgende physikalische Größen beschreiben: Dichte ( $\rho$ ), Geschwindigkeit ( $c$ ), Erdbeschleunigung ( $g$ ),

absolute Zähigkeit ( $\eta$ ) oder kinematische Zähigkeit

$$\nu = \frac{\eta}{\rho} \quad (15-1),$$

Schallgeschwindigkeit ( $c_s$ ) und die Oberflächenspannung ( $\tau_s$ ). Die zwischen Modell und Normalanlage einzuhaltende Ähnlichkeitsbedingungen werden nach der Methode der Dimensionsanalyse aufgestellt. - Unter einer Dimension verstehe man eine meßbare, physikalische Eigenschaft von Körpern, Vorgängen oder Zuständen. So kennt man beispielsweise als Dimensionen: die Geschwindigkeit (Kurzform:  $\dim c$ ), die Masse ( $\dim m$ ), die Leistung ( $\dim P$ ), den Druck ( $\dim p$ ) usw. - Die Dimension stellt eine qualitative Aussage dar. Eine diesbezügliche quantitative Aussage gibt die sogenannte physikalische Größe an, die man als Produkt aus Maßzahl x Maßeinheit zu verstehen hat. - In der Fluidmechanik sind folgende Symbole für Grunddimensionen, auf denen das "Internationale Maßsystem" aufbaut, anzuführen: L für Länge; T für Zeit; M für Masse;  $\theta$  für Temperatur. Über die physikalischen Gesetze oder Definitionsgleichungen lassen sich zusammengesetzte Dimensionen, wie z.B.: Geschwindigkeit = Länge/Zeit bzw.  $\dim c = \dim s / \dim t$ ; Impulsstrom = Masse.Länge/Zeit<sup>2</sup> bzw.  $\dim \dot{I} = \dim m \cdot \dim s / (\dim t)^2$ ; in abgekürzter Form:  $\dim c = L/T$ ;  $\dim \dot{I} = M.L/T^2$  usw., auf die Grunddimensionen zurückführen. - Unter einer zusammengesetzten Dimension versteht man das Potenzprodukt der Grunddimensionen.

### 15.2.2. Beispiel

Es sind Ähnlichkeitsbedingungen dafür zu beschaffen, damit man am Modell gemessene Kräfte auf die Normalanlage umrechnen kann. - Eine solche Kraft werde von den Haupteinflußgrößen: Geometrie, Fluidichte, Fluidgeschwindigkeit, kinematische Zähigkeit, Schallgeschwindigkeit, Oberflächenspannung und Erdbeschleunigung bestimmt.

Lösung:

Da die geschlossene Funktion  $F_M = f(L, \rho, c, g, \nu, c_s, \tau_s)_M$  (15-2) unbekannt, aber eindeutig und stetig (also differenzierbar) ist, strebt man den Zusammenhang über eine Potenzreihe an:

$$F_M = \sum k_i \cdot L^{x_1} \cdot \rho^{x_2} \cdot c^{x_3} \cdot g^{x_4} \cdot \nu^{x_5} \cdot c_s^{x_6} \cdot \tau_s^{x_7} \quad (15-3).$$

L steht hier für eine maßgebende geometrische Größe. - Beachtet man das Homogenitätsprinzip nach Fourier: die Glieder der beiden Gleichungsseiten müssen gleiche Dimensionen haben, dann geht die algebraische Gl. (15-3) in folgende Dimensionsgleichung über :

$$\dim F_M = (\dim L)^{x_1} \cdot (\dim \varphi)^{x_2} \cdot (\dim c)^{x_3} \cdot (\dim g)^{x_4} \cdot (\dim \tau)^{x_5} \cdot (\dim c_s)^{x_6} \cdot (\dim \tau_s)^{x_7} ; \text{ nach Einföhrung der Symbole f6r die Grunddimensionen gilt:}$$

$$L \cdot T^{-2} \cdot M = (L)^{x_1} \cdot (L^{-3} \cdot M)^{x_2} \cdot (L \cdot T^{-1})^{x_3} \cdot (L \cdot T^{-2})^{x_4} \cdot (L^2 \cdot T^{-1})^{x_5} \cdot (L \cdot T^{-1})^{x_6} \cdot (T^{-2} \cdot M)^{x_7} \quad (15-4) .$$

Die Exponenten der Grunddimensionen m6ssen nun links und rechts gleich sein:

$$\text{F6r die L6nge } L \text{ gilt : } 1 = x_1 - 3 \cdot x_2 + x_3 + x_4 + 2 \cdot x_5 + x_6 ;$$

$$\text{f6r die Zeit } T \text{ gilt : } -2 = -x_3 - 2 \cdot x_4 - x_5 - x_6 - 2 \cdot x_7 ;$$

$$\text{f6r die Masse } M \text{ gilt : } 1 = x_2 + x_7 .$$

Mittels dieser drei Bestimmungsgleichungen, - im behandelten Beispiel mu6 man nur auf  $n = 3$  Grunddimensionen zur6ckgreifen -, kann man von den  $m = 7$  unbekannten Exponenten drei eliminieren, - sieben ist hier auch die Anzahl der als Unabh6ngig-Variable erkannten physikalischen Gr66en -, so da6 sich schlie6lich  $m-n = 7-3 = 4$  dimensionslose Potenzfaktoren ergeben werden, die als sogenannte Kennzahlen die Rolle von Unabh6ngig-Variablen 6bernehmen. Das ist aber die Aussage des  $\pi$ -Theorems von E. Buckingham. - Man erh6lt nun:

$$x_1 = 2+x_4-x_5-x_7 ; x_2 = 1-x_7 ; x_3 = 2-2 \cdot x_4-x_5-x_6-2 \cdot x_7 .$$

Die Exponenten in Gl. (15-3) werden der neuen Situation angepa6t:

$$F_M = \sum k_i \cdot L^{(2+x_4-x_5-x_7)} \cdot \varphi^{(1-x_7)} \cdot c^{(2-2x_4-x_5-x_6-2x_7)} \cdot g^{x_4} \cdot \tau^{x_5} \cdot c_s^{x_6} \cdot \tau_s^{x_7} ;$$

durch Umordnung erh6lt man:

$$F_M = L^2 \cdot \varphi \cdot c^2 \cdot \sum k_i \cdot \left[ \frac{L \cdot g}{c^2} \right]^{x_4} \cdot \left[ \frac{\tau}{L \cdot c} \right]^{x_5} \cdot \left[ \frac{c_s}{c} \right]^{x_6} \cdot \left[ \frac{\tau_s}{L \cdot c^2} \right]^{x_7} \quad (15-5) .$$

Es f6llt auf, da6 der Ausdruck  $(L^2 \cdot \varphi \cdot c^2)$  von der Dimension einer Kraft ist; deshalb m6ssen die 6brigen Wertekombinationen dimensionslos sein. Zur Abk6rzung werden jetzt dimensionslose Kennzahlen eingef6hrt, welche die Anfangsbuchstaben ber6hmter Wissenschaftler tragen:

Froudsche Kennzahl	$Fr = c^2 / (L \cdot g)$	(15-6) .
Reynoldssche Kennzahl	$Re = (L \cdot c) / \eta$	
Machsche Kennzahl	$Ma = c / c_s$	
Webersche Kennzahl	$We = (L \cdot \rho \cdot c^2) / \tau_s$	

Damit lautet Gl.(15-5) nunmehr:

$$F_M = L^2 \cdot \rho \cdot c^2 \cdot \sum_{k_i} \cdot Fr^{-x_4} \cdot Re^{-x_5} \cdot Ma^{-x_6} \cdot We^{-x_7}$$

oder

$$F_M = \frac{\rho}{2} \cdot c^2 \cdot A \cdot \underbrace{\sum_{k_i} \cdot Fr^{-x_4} \cdot Re^{-x_5} \cdot Ma^{-x_6} \cdot We^{-x_7}}_{= K_M}$$

(15-7).

Es gilt offenbar folgende Gleichheit:

$$F_M / (0,5 \cdot \rho \cdot c^2 \cdot A)_M = F_N / (0,5 \cdot \rho \cdot c^2 \cdot A)_N \quad , \text{ wenn } K_M = K_N \text{ ist.}$$

Die zu  $F_M$  analoge Kraft in der Normalanlage  $F_N$  ist also berechenbar geworden. Allerdings hat die Gl.(15-7) nur theoretischen Wert, weil sich in Praxis alle vier Kennzahlen in diesem Beispiel nicht gleichhalten lassen. Es gilt aber, folgendes festzuhalten:

- Die Übertragbarkeit von Modellergebnissen auf die Normalanlage ist nur durch die Einhaltung der Globalkennzahl  $K_M = K_N$  als völlig korrekt anzusehen.
- In Praxis muß man sich leider auf Haupteinflußgrößen beschränken.
- Ist  $K_M$  beispielsweise hauptsächlich eine Funktion von  $Re$ , dann muß zur Quasi-Gleichhaltung von  $K_M = K_N$  nur beachtet werden, daß  $Re_M = Re_N$  ist ! - Die Exponenten sind somit unbedeutend geworden.

#### Sonderfälle:

Ist die Schwerkraft wie bei Schiffsversuchen von besonderem Einfluß, dann gilt es, die Froudsche Kennzahl einzuhalten:  $Fr_M = Fr_N$  .

Beeinflussen hauptsächlich Zähigkeitskräfte das Geschehen, dann muß die Reynoldssche Kennzahl konstant gehalten werden:  $Re_M = Re_N$  .

Überwiegen Kompressibilitätseffekte, so muß die Machsche Kennzahl beachtet werden:  $Ma_M = Ma_N$  .

Sind Oberflächenspannungen wesentlich, ist die Webersche Kennzahl einzuhalten:  $We_M = We_N$  .

## 16. DIE BEWEGUNG DER REELLEN FLUIDE

### 16.1. Bewegungsgleichungen

#### 16.1.1. Bewegung nach Couette

Die Einführung in die Dynamik viskoser Fluide wird anhand eines allgemeinen Beispiels vorgenommen: der Couette-Strömung.

Zwischen zwei ruhenden, horizontalen Platten fließt ein zähes Fluid dank eines Druckunterschiedes  $p_1 - p_2$ , Bild 16-1, Pos. a. Daneben sind noch bekannt: die absolute Zähigkeit  $\eta$ , der Plattenabstand  $h$ , die Kanallänge  $L$ , die Tiefenerstreckung (senkrecht auf der Bildebene b). Der Fließvorgang ist stationär, der Schwereeinfluß sei vernachlässigbar. - Man ermittle:

- die Geschwindigkeitsverteilung  $c = f(y)$  ;
- den Volumenstrom  $\dot{V}$  ;
- die mittlere Strömungsgeschwindigkeit  $c_m$  ;
- die maximale Geschwindigkeit  $c_{\max}$  ;
- die Verteilung der Tangentialspannungen  $\tau = f(y)$  ;
- die Intensität der Wirbelröhren  $\Gamma$  .

#### Lösungen:

- $c = f(y)$  :

Das Kräftegleichgewicht an einem herausgetrennten Fluidquader (Bild 16-1, Pos. b) lautet in x-Richtung:  $\sum F_{ix} = p_1 \cdot A - p_2 \cdot A - 2 \cdot \tau \cdot A' = 0$  .

$$2 \cdot y \cdot (p_1 - p_2) \cdot b = 2 \cdot b \cdot L \cdot \tau \quad ;$$

Gl. (2-16) ermöglicht die Bestimmung von der Scherspannung :

$$\tau = -\eta \cdot dc/dy \quad .$$

Das Minuszeichen rührt davon her, daß die Geschwindigkeit  $c(y)$  bei wachsendem  $y$  abnimmt, die Scherspannung aber ein positives Ergebnis einbringen soll. -

$$y \cdot (p_1 - p_2) = -L \cdot \eta \cdot dc/dy \quad ;$$

$$dc = - \frac{p_1 - p_2}{L \cdot \eta} \cdot y \cdot dy \quad ; \text{ die Integration ergibt}$$

$$c = - \frac{p_1 - p_2}{L \cdot \eta} \cdot \frac{y^2}{2} + \text{konst.} \quad \text{- Mittels der Haft-}$$

bedingung  $c = 0$  bei  $y = h/2$  folgt schließlich die parabolische Ge-

schwindigkeitsverteilung (Bild 16-1,

Pos. c):

$$c = \frac{p_1 - p_2}{2 \cdot L \cdot \eta} \cdot \left( \frac{h^2}{4} - y^2 \right) \quad (16-1).$$

- $\dot{V}$  :

Das Volumenstromdifferential heißt  $d\dot{V} = b \cdot dy \cdot c(y)$  nach Bild 16-1, Pos

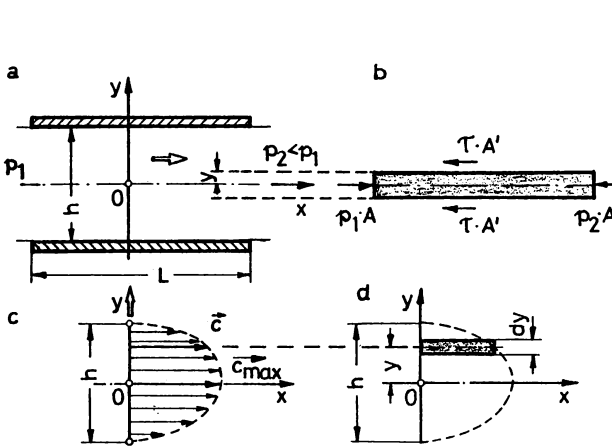


BILD 16-1

$$\dot{V} = 2 \cdot \int_0^{h/2} c \cdot b \cdot dy ;$$

$$\dot{V} = 2 \cdot b \cdot \frac{\Delta p}{2 \cdot L \cdot \eta} \left( \frac{h^4}{4} - y^2 \right) dy ;$$

$$\dot{V} = \frac{b \cdot (p_1 - p_2)}{12 \cdot L \cdot \eta} \cdot h^3$$

(16-2).

c)  $\underline{c_m}$  :

Die mittlere Geschwindigkeit folgt sofort aus :  $c_m = \frac{\dot{V}}{b \cdot h}$  ;

$$c_m = \frac{p_1 - p_2}{12 \cdot L \cdot \eta} \cdot h^2$$

(16-3).

d)  $\underline{c_{max}}$  :

Aus der parabolischen Geschwindigkeitsverteilung (Gl.16-1) folgt für  $y = 0$  in Kanalmitte :

$$c_{max} = \frac{p_1 - p_2}{8 \cdot L \cdot \eta} \cdot h^2 = \frac{3}{2} \cdot c_m$$

(16-4).

e)  $\underline{\tau = f(y)}$  :

Verwertet man Gl.(16-1) durch Differenzieren in  $\tau = -\eta \cdot dc/dy$ , dann erhält man die gesuchte Beziehung:

$$\tau = \frac{p_1 - p_2}{L} \cdot y$$

(16-5).

In Kanalmitte verschwindet die Scherspannung, gegen die obere oder untere Wand nimmt sie linear zu.

f)  $\underline{\Gamma}$  :

Aus Bild 16-2, Pos. a, ist zu ersehen, daß sich zwei Wirbelzonen ausbilden: in der oberen drehen die Einzelwirbel im Gegenuhrzeigersinn,

in der unteren im Uhrzeigersinn. Somit hat man es mit zwei Wirbelröhren

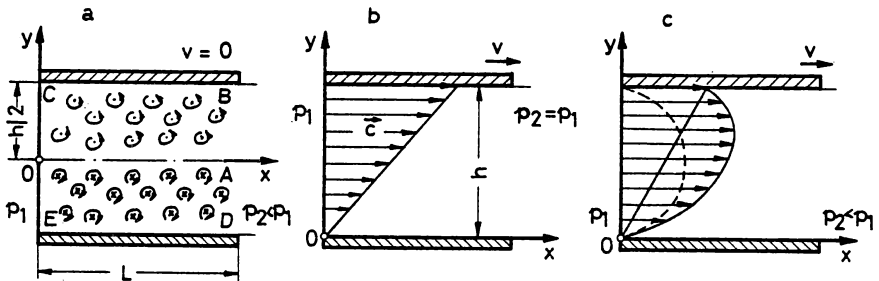


BILD 16-2

zu tun. Nach Gl. (11-49), S. 216, erlaubt die Berechnung der Intensität einer Wirbelröhre:

$$\Gamma = \oint_{OABCO} \vec{c} \cdot d\vec{r} = \int_{OA} c \cdot dx + \int_{AB} c \cdot dy + \int_{BC} c \cdot dx + \int_{CO} c \cdot dy = \int_0^L c_{\max} \cdot dx$$

$$\Gamma = L \cdot c_{\max} = \frac{p_1 - p_2}{8 \cdot \eta} \cdot h^2$$

(16-6).

Die Beträge der beiden Wirbelröhren sind gleich.

Eine wirbelfreie Strömung hätte hier bei gleichem Volumenstrom die konstante Geschwindigkeit  $c_m$  im Querschnitt zur Folge gehabt. Die Wirbel dagegen induzieren Zusatzgeschwindigkeiten, so daß in Kanalmitte die Strömungsgeschwindigkeit zunimmt und in Wandnähe bis auf null abnimmt.

#### Bemerkungen:

- (1) Bewegt sich die obere Platte mit der Fahrzeuggeschwindigkeit  $v$ , bleibt die untere dagegen in Ruhe, so stellt sich im Falle  $\Delta p = 0$  bei einer Newtonschen Flüssigkeit die bekannte lineare Geschwindigkeitsverteilung nach Bild 16-2, Pos. b, ein:  $c = (v/h) \cdot y$ .
- (2) Überlagert man nun beide Fälle: Strömung bei ruhenden Platten und Strömung bei bewegter oberen Platte, so erhält man eine Geschwindigkeitsverteilung nach Bild 16-1, Pos. c.
- (3) Die durch die bewegte Platte verursachte Zusatzströmung bedeutet eine gewisse Pumpwirkung von links nach rechts.

#### 16.1.2. Bewegung nach Hagen-Poiseuille

In einem engen, horizontalen Rohr strömt ein zähes Fluid von links nach rechts, Bild 16-3, Pos. a.

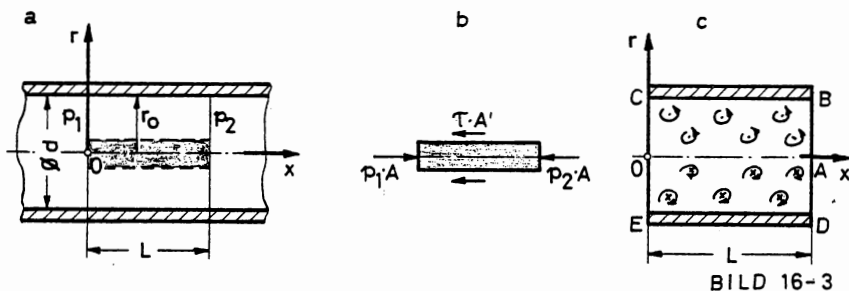


BILD 16-3

Folgende Angaben sind bekannt:  $d$  ;  $L$  ;  $p_1 - p_2$  .-Man ermittle:

- die Geschwindigkeitsverteilung  $c = f(r)$  bei stationärer Strömung ;
- den Volumenstrom  $\dot{V}$  ;
- die mittlere Geschwindigkeit  $c_m$  ;
- die maximale Geschwindigkeit  $c_{\max}$  ;
- die Verteilung der Tangentialspannung  $\tau = f(r)$  ;
- die Intensität des Wirbelringes  $\Gamma$ .

#### Lösungen:

- a)  $c = f(r)$  :

Das dynamische Gleichgewicht wird an einem koaxialen Kontrollraum-element vorgenommen:  $\sum F_{ix} = p_1 \cdot A - p_2 \cdot A - \tau \cdot A' = 0$  ,Bild 16-3, Pos. b.

$$\Delta p \cdot \pi \cdot r^2 = 2 \cdot \tau \cdot r \cdot L \quad ; \quad \tau = -\eta \cdot dc/dr \quad ;$$

nach der Integration und Berücksichtigung der Randbedingung  $r = d/2 = r_0$  und  $c = 0$  folgt:

$$c = \frac{p_1 - p_2}{4 \cdot L \cdot \eta} \cdot (r_0^2 - r^2) \quad (16-7).$$

- b)  $\dot{V}$  :

Mit Hilfe des Volumenstromdifferentials  $d\dot{V} = 2 \cdot \pi \cdot r \cdot dr \cdot c(r)$  ergibt die Integration von 0 bis  $r_0$ :

$$\dot{V} = \frac{\pi \cdot (p_1 - p_2)}{8 \cdot L \cdot \eta} \cdot r_0^4 \quad (16-8).$$

- c)  $c_m$  :

$$c_m = \dot{V} / (\pi \cdot r_0^2) \quad ;$$

$$c_m = \frac{p_1 - p_2}{8 \cdot L \cdot \eta} \cdot r_0^2 \quad (16-9).$$



d)  $c_{\max}$  :

In der Rohrachse (  $r = 0$  ) trifft man die maximale Geschwindigkeit an:  
Gl.(16-7):

$$c_{\max} = \frac{p_1 - p_2}{4 \cdot L} \cdot r_o^2 = 2 \cdot c_m \quad (16-10).$$

e)  $\tau = f(r)$  :

Aus  $\tau = -\eta \cdot dc/dr$  und der Differentiation von  $c(r)$ , Gl.(16-7), ergibt sich:

$$\tau = \frac{p_1 - p_2}{2 \cdot L} \cdot r \quad (16-11).$$

Die Scherspannung ist wiederum in Kanalmitte null und wächst linear mit dem Radius bis auf  $\tau_{\max} = (p_1 - p_2) \cdot r_o / (2 \cdot L)$  an.

f)  $\Gamma$  :

Bild 16-3, Pos. c, kann entnommen werden, daß in der oberen Kanalhälfte ein linksdrehendes Wirbelrohr und in der unteren ein rechtsdrehendes entsteht. Da hier kein ebenes Problem wie im letzten Beispiel der Couette-Strömung vorliegt - dort sind die beiden Wirbelröhren unendlich lang -, sondern ein rotationssymmetrisches und damit räumliches, bilden die beiden Wirbelröhren, zusammengefaßt, einen Wirbelring. -Wiederum verwende man Gl.(11-49):

$$\Gamma = \oint_{OABCO} \vec{c} \cdot d\vec{r} = \int_{OA} c \cdot dx + \int_{AB} c \cdot dr + \int_{BC} c \cdot dx + \int_{CO} c \cdot dr = \int_0^L c_{\max} \cdot dx$$
$$\Gamma = c_{\max} \cdot L = \frac{p_1 - p_2}{4 \cdot \eta} \cdot r_o^2 \quad (16-12).$$

Der Wirbelring erhöht die Geschwindigkeit in Rohrmitte bis  $c_{\max}$  und reduziert die Geschwindigkeit in Wandnähe bis  $c = 0$ .

### 16.1.3. Allgemeine Bewegungsgleichungen

Infolge des Zähigkeitseinflusses treten alle vier in Abschn.4, S.42/43, erwähnten Kraftarten in der Fluidmechanik auf: äußere Massenkkräfte  $\vec{F}_a$ , Trägheitskräfte  $\vec{F}_{tr}$ , Druckkräfte (im Gleichgewichtsfall am Kontrollraum als Stützreaktion verstanden)  $\vec{F}_p$  und Tangentialkräfte  $\vec{F}_t$ .

Damit liegt auch die Beschäftigung mit dem 3.Arbeitsbereich vor (S.43). Die Berechnung der Einzelkräfte erfolgt prinzipiell mit den Gl.(4-1), (4-2), (4-4) und (4-5).-Im dynamischen Gleichgewicht halten sich also nach dem d'Alembertschen Prinzip, Gl.(8-7)+(9-15)+(9-16), folgende Kräfte am fluidischen Kontrollraum das Gleichgewicht:

$$\sum \vec{F}_a + \sum \vec{F}_{tr} + \sum \vec{F}_p + \sum \vec{F}_t = 0 \quad (16-13).$$

Dies ist die allgemeinste Bewegungsgleichung. Sie gilt für jede Strömung und für jedes Fluid ohne Einschränkung.-Sie wird für Sonderfälle weiterentwickelt. Geht man beispielsweise davon aus, daß es bei Absolutströmung nur eine Trägheitskraft und eine äußere Massenkraft gibt, dann läßt sich Gl.(16-13) mit Gl.(4-2) und Gl.(4-4) folgendermaßen angeben:

$$\int_{(V)} \vec{f} \cdot \varrho \cdot dV - \int_{(V)} \frac{d\vec{c}}{dt} \cdot \varrho \cdot dV - \int_{(A)} \vec{n} \cdot p \cdot dA + \int_{(A)} \vec{\tau} \cdot dA = 0 \quad (16-14).$$

oder in Differentialform:

$$\vec{f} - \frac{d\vec{c}}{dt} - \frac{\nabla p}{\varrho} + \frac{d\vec{F}_t}{dm} = 0$$

#### 16.1.4. Gleichungen von Navier-Stokes

Für Newtonsche Fluide, die man also bezüglich ihres Zähigkeitsverhaltens durch die Gl.(2-14) bis (2-16), S.19, beschreiben kann, läßt sich die Differentialform der Gl.(16-14) präzisieren.-Für ein inkompressibles Fluid kann man im Falle stationärer Strömung die x-Komponente der Scherspannung folgendermaßen ermitteln [27] :

$$\tau_x = \eta \cdot \frac{dc_x}{dn} = \eta \cdot \frac{\frac{\partial c_x}{\partial x} \cdot dx + \frac{\partial c_x}{\partial y} \cdot dy + \frac{\partial c_x}{\partial z} \cdot dz}{dn} ;$$

$$\tau_x = \eta \cdot \left( i \cdot \frac{\partial c_x}{\partial x} + j \cdot \frac{\partial c_x}{\partial y} + k \cdot \frac{\partial c_x}{\partial z} \right) \cdot \left( i \cdot \frac{dx}{dn} + j \cdot \frac{dy}{dn} + k \cdot \frac{dz}{dn} \right) = \eta \cdot \text{grad } c_x \cdot \vec{n}$$

$\vec{n} = i \cdot \cos \alpha + j \cdot \cos \beta + k \cdot \cos \gamma$  steht für den Normaleneinheitsvektor. Das Skalarprodukt  $\vec{n} \cdot \text{grad } c_x$  ist die Ableitung von  $c_x$  in der Normalen-

richtung. Für die entsprechende Kraftkomponente läßt sich angeben:

$$F_{tx} = i \cdot \oint_{(A)} \vec{F}_t \cdot d\vec{A} = \gamma \cdot \oint_{(A)} \vec{n} \cdot \nabla c_x \cdot dA = \gamma \cdot \int_{(V)} \text{div}(\nabla c_x) \cdot dV, \text{ wofür die zweite Integralformel von Gauß eingesetzt worden ist. Zudem erhält man über } \text{div}(\nabla c_x) = \nabla^2 c_x = \nabla \cdot (\nabla c_x) = \nabla^2 c_x, \text{ wobei}$$

$$\nabla^2 = \nabla \cdot \nabla = \frac{\partial^2}{\partial x^2} + \frac{\partial^2}{\partial y^2} + \frac{\partial^2}{\partial z^2} \quad \text{den Laplace-Operator bedeutet, nachstehende}$$

Gleichung:

$$F_{tx} = \gamma \cdot \int_{(V)} \nabla^2 c_x \cdot dV \quad \text{und bezüglich der Masse: } \frac{dF_{tx}}{dm} = \frac{\gamma}{\rho} \cdot \nabla^2 c_x = \gamma \cdot \nabla^2 c_x.$$

Über die Resultierende in differentieller Form  $\vec{dF}_t = i \cdot dF_{tx} + j \cdot dF_{ty} + k \cdot dF_{tz}$  ergibt sich, auf die Masse bezogen:

$$\frac{d\vec{F}_t}{dm} = \frac{\vec{\gamma} \cdot dA}{dm} = \gamma \cdot (i \cdot \nabla^2 c_x + j \cdot \nabla^2 c_y + k \cdot \nabla^2 c_z) = \gamma \cdot \nabla^2 \vec{c} \quad (16-15).$$

Setzt man Gl. (16-15) in Gl. (16-14) ein, dann erhält man in Komponentenform die drei Navier-Stokeschen Differentialgleichungen, die sich zu einer Vektorgleichung zusammenfassen lassen:

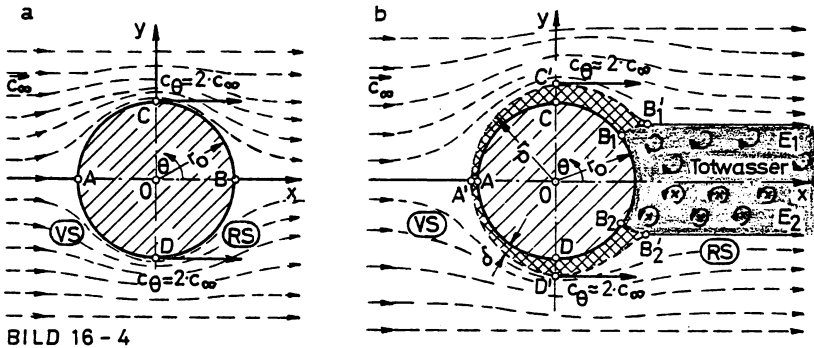
$$\vec{f} - \frac{d\vec{c}}{dt} - \frac{\nabla p}{\rho} + \gamma \cdot \nabla^2 \vec{c} = 0 \quad (16-16).$$

Es gibt nur wenige exakte Sonderlösungen hierzu, wie z.B. die Bewegungen nach Couette und Hagen-Poiseuille (s. Abschn. 16.1.1 und 16.1.2).

## 16.2. Grenzschichten

### 16.2.1. Bewegungsgleichungen im Grenzschichtbereich

Vergleicht man die ebene Potentialbewegung um einen Kreiszylinder (Bild 13-8 und Bild 16-4, Pos. a) mit der analogen Umströmung durch ein reelles Fluid, Bild 16-4, Pos. b, so stellt man folgendes fest: Auf der Vorderseite (VS) ähneln sich die Strömungen bis auf die sich ausbildende Grenzschicht im reellen Fall (Prandtlsche Grenzschicht!). Auf der Rückseite (RS) dagegen löst die Strömung im reellen Fall in den Punkten  $B'_1$  und  $B'_2$  ab. Der Grenzschichtbereich wird von der festen Wand ( $B_1, C, A, D, B_2$ ) und der flüssigen Linie ( $B_1, B'_1, C', A', D', B'_2, B_2$ ) eingeschlossen. Die Trennungslinien  $B'_1 E_1$  und  $B'_2 E_2$  scheiden den Wirbelbereich vom äußeren Potentialbereich und gehören nicht mehr zur Grenz-



schicht.-Man untersuche nun die Scherspannungen innerhalb und außerhalb der Grenzschicht bezüglich ihrer Größenordnung, und zwar für ein natürliches Fluid. Als Beispiel dienen die Verhältnisse in y-Richtung. Innerhalb der Grenzschicht gilt:

$c_\theta = -c_\infty \cdot (1 + r_o^2/r_p^2)$  nach S.309 unten rechts, wenn man  $\theta = \pi/2$  setzt. Da  $r_o^2/r_p^2$  mit  $r_p = r_o + \delta$  gegen eins geht, gilt  $c_\theta \approx 2 \cdot c_\infty$ . Somit folgt:  $\tau = \eta \cdot 2 \cdot c_\infty / \delta$  !-Wegen der Kleinheit von  $\delta$  nicht zu vernachlässigen (s.S.180) !

Außerhalb der Grenzschicht gilt:

$$\tau = \eta \cdot \lim_{y \rightarrow \infty} (2 \cdot c_\infty - c_\infty) / (y - r_o) \rightarrow 0 ! \quad \text{Schlußfolgerung :}$$

Ein natürliches Fluid verhält sich innerhalb der Grenzschicht wie ein reelles Fluid und außerhalb wie ein vollkommenes (vgl. Abschn.15.1 ,S.320).

Die Navier-Stokeschen Differentialgleichungen lassen sich für den Grenzschichtbereich vereinfachend darstellen, wenn folgende Vernachlässigungen beachtet werden:  $f \approx 0$  wegen Geringfügigkeit der Grenzschichtmasse; da man von einem quasi-ebenen Problem ausgehen möge, verschwinden alle z-Änderungen:  $\partial/\partial z \equiv 0$  und  $c_z \equiv 0$ ; deshalb reduzieren sich die Navier-Stokesschen Gleichungen (16-16) unter Zuhilfenahme der Gl.(11-13), nämlich der substantiellen Beschleunigung, zu:

$$\begin{aligned} c_x \cdot \frac{\partial c_x}{\partial x} + c_y \cdot \frac{\partial c_x}{\partial y} + \frac{1}{\rho} \cdot \frac{\partial p}{\partial x} &= \eta \cdot \left( \frac{\partial^2 c_x}{\partial x^2} + \frac{\partial^2 c_x}{\partial y^2} \right) \\ c_x \cdot \frac{\partial c_y}{\partial x} + c_y \cdot \frac{\partial c_y}{\partial y} + \frac{1}{\rho} \cdot \frac{\partial p}{\partial y} &= \eta \cdot \left( \frac{\partial^2 c_y}{\partial x^2} + \frac{\partial^2 c_y}{\partial y^2} \right) \end{aligned}$$

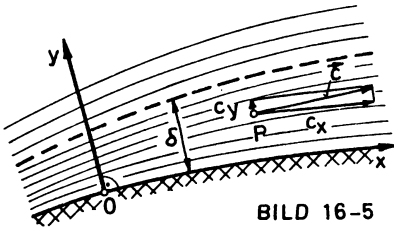


BILD 16-5

Bild 16-5 zeigt eine Grenzschicht mit Wand und schwach gekrümmter x-Achse des Koordinatensystems. Vernachlässigt man die y-Komponente der Geschwindigkeit, so vereinfachen sich oben stehende Gleichungen weitgehend :

$$c_x \cdot \frac{\partial c_x}{\partial x} + \frac{1}{\rho} \cdot \frac{\partial p}{\partial x} = \gamma \cdot \left( \frac{\partial^2 c_x}{\partial x^2} + \frac{\partial^2 c_x}{\partial y^2} \right) \quad (16-17); \quad \frac{1}{\rho} \cdot \frac{\partial p}{\partial y} = 0 \quad (16-17a).$$

Aus Gl.(16-17a) folgt :

- (1) Wenn der Druck unabhängig von y ist, dann gilt sofort:  $\partial p / \partial x = dp/dx$ .
- (2) An einer bestimmten Stelle x ändert sich der Druck in y-Richtung nicht. Dies ist bei der Druckmessung durch "Wandbohrungen" von entscheidender Wichtigkeit ! - Die Messung des statischen Druckes wird also durch die Grenzschicht nicht verfälscht.-

Nun wird die Größenordnung der Geschwindigkeitsglieder in Gl.(16-17) abgeschätzt: Wegen des Mittelwertsatzes der Differentialrechnung gilt:

$\partial c_x / \partial x \approx \Delta c_x / \Delta x \approx c_x / x$  und  $\partial^2 c_x / \partial x^2 = -c_x / x^2$ , sofern man  $c_x$  als Mittelwert konstant hält; Geltungsbereich:  $x \in [0, L_{ACB_1}]$  nach Bild 16-4, Pos. b.

$\partial c_x / \partial y \approx \Delta c_x / \Delta y \approx c_x / y$  und  $\partial^2 c_x / \partial y^2 = -c_x / y^2$  für  $y \in [0, \delta]$ .

Da  $\delta \ll L_{ACB_1}$  und  $\delta^2 \ll L_{ACB_1}^2$  sind, läßt sich schlußfolgern:

$|\partial^2 c_x / \partial x^2| \ll |\partial^2 c_x / \partial y^2|$ . Damit ist die Vereinfachung von Gl.(16-17) zu rechtfertigen:

$$c_x \cdot \frac{\partial c_x}{\partial x} + \frac{1}{\rho} \cdot \frac{dp}{dx} = \gamma \cdot \frac{\partial^2 c_x}{\partial y^2} \quad (16-18).$$

Die notwendige Integration ist recht schwierig. Da die Funktion aus der physikalischen Anschauung heraus stetig und eindeutig, also differenzierbar sein muß, läßt sie sich in eine Potenzreihe entwickeln:

$$c_x = a_0 + a_1 \cdot y + a_2 \cdot y^2 + \dots + a_n \cdot y^n \quad \text{für } y \in (0, \delta) \quad (16-19),$$

wenn man die Untersuchungen an einer bestimmten Stelle x vornimmt.

Ermittlung der unbekannten Koeffizienten:

- (1) Die Randbedingung ergibt an der Wand für  $y=0$  und  $c_x=0$  :  $a_0 = 0$ .

- (2) Die erste Ableitung ergibt mit  $y = 0$  zunächst  $\partial c_x / \partial y = a_1$ .  
 (3) Die zweite Ableitung ergibt mit  $y = 0$  :  $\partial^2 c_x / \partial y^2 = 2 \cdot a_2$ . Setzt man diesen Wert in Gl.(16-18) ein, so folgt für  $a_2 = 0,5 / \gamma \cdot dp/dx$ . An der Fluidgrenze  $y = \delta$  gilt selbstverständlich  $c_x = c_p$ , wobei  $c_p$  die Außen- oder Potentialgeschwindigkeit bedeutet. Gl.(18-19) nimmt die Form an:  $c_p = a_1 \cdot \delta + a_2 \cdot \delta^2 + \dots + a_n \cdot \delta^n$ . Die Glieder für  $n > 2$  können vernachlässigt werden:

$$c_p \approx a_1 \cdot \delta + a_2 \cdot \delta^2 = a_1 \cdot \delta + 0,5 / \gamma \cdot dp/dx \cdot \delta^2 ; \text{ es folgt somit:}$$

$$a_1 = \frac{c_p - a_2 \cdot \delta^2}{\delta} = \frac{c_p}{\delta} - \frac{1}{2 \cdot \gamma} \cdot \frac{dp}{dx} \cdot \delta$$

Gl.(16-19) kann nun in erster Näherung angegeben werden zu :

$$c_x = \left( \frac{c_p}{\delta} - \frac{1}{2 \cdot \gamma} \cdot \frac{dp}{dx} \right) \cdot y + \frac{1}{2 \cdot \gamma} \cdot \frac{dp}{dx} \cdot y^2 + \dots \quad (16-20).$$

Hiermit ist die Geschwindigkeitsverteilung in der Grenzschicht näherungsweise bekannt gemacht worden.

### 16.2.2. Physikalische Betrachtungen

Die folgenden Betrachtungen haben prinzipielle Bedeutung, obwohl sie am Beispiel des reell umströmten Zylinders (Bild 16-4, Pos. b) angestellt werden. - Für zunehmendes  $x$  gilt in

Zone AC: Grenzschichtdicke  $\delta$  wächst von  $\delta_{\min}$  an; die Geschwindigkeit steigt von  $c_p = 0$  bis  $c_{p\max} = 2 \cdot c_\infty$ ; der Druck sinkt von  $p_{\max}$  auf  $p_{\min}$ . -  $c_x$  ist wegen  $y < \delta$  und  $y > y^2$  immer positiv.

Punkt C:  $dp/dx = 0$ ; Gl.(16-20) zeigt:  $c_x = (c_p / \delta) \cdot y = (2 \cdot c_\infty / \delta) \cdot y$  !

Zone C'B<sub>1</sub>: die Grenzschichtdicke wächst weiter; die Geschwindigkeit nimmt wieder ab bei wachsendem Druck.

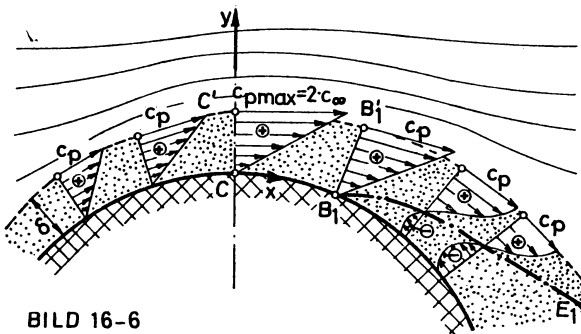


BILD 16-6

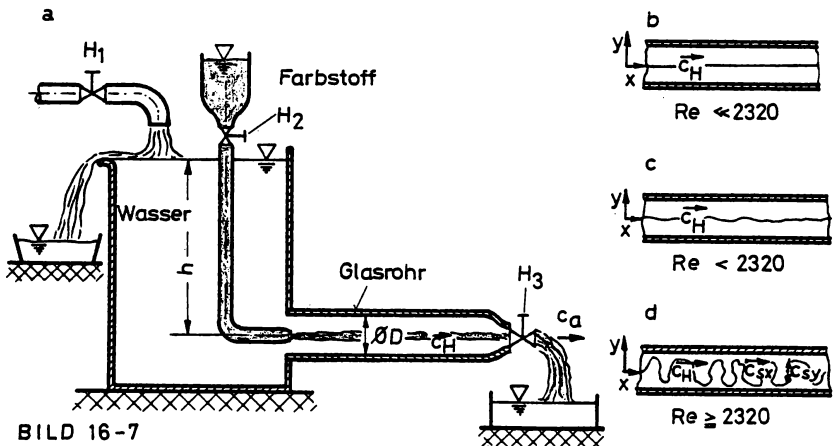
Von  $B_1$  an nimmt  $c_x$  in Abhängigkeit von  $y$  positive und negative Werte an; letztere sind dann vorhanden, wenn in Gl.(16-20) der erste und dritte Summand zusammen kleiner sind als der Betrag des zweiten. Die strichpunktiierte Linie ist der geometrische Ort für  $c_x = 0$ .

Im Punkt  $B_1$  löst die Strömung von der Wand ab!-Die Linie  $B_1E_1$  ist die Spur einer Trennungsfläche zwischen der positiven und negativen Geschwindigkeitszone. Alle ihre Punkte sind Wirbelmittelpunkte. Die (S.215) Trennungsfläche wird auch Diskontinuitätsfläche genannt. Der Bereich zwischen  $B_1B'_1E_1$  und  $B_2B'_2E_2$  (Bild 16-6 und 16-4, Pos. b) heißt oft auch "Totwasser". In ihm herrscht weitgehend der Druck von  $B'_1$  und  $B'_2$ . Er ist größer als  $p_G = p_{\min}$ , aber um einiges kleiner als  $p_A = p_{\max}$ . Die Druckkräfte auf der Vorderseite des Zylinders sind also größer als auf der Rückseite, so daß sich in Strömungsrichtung eine resultierende Druckkraft einstellt, die man als Druck- oder Formwiderstand bezeichnet. Das Flächenintegral  $F_t = \oint \tau \cdot dA$  ist die durch die Grenzschicht entstandene Reibungskraft, die man, längs  $c_\infty$  gesehen, Reibungs- oder Flächenwiderstand nennt. Beide zusammengenommen, bilden den Gesamtwiderstand:

$$\vec{F}_W = \vec{F}_{WD} + \vec{F}_{WR} \quad (16-21).$$

### 16.3. Experiment von Réynolds, Laminarität, Turbulenz

Die Versuchsanordnung gestattet eine stationäre Wasserströmung mittels der Drehhähne  $H_1$  und  $H_3$ . Durch den Überlauf ist gleichbleibende Wasserstanshöhe  $h$  gewährleistet, Bild 16-7. Durch  $H_3$  kann der Volu-



menstrom und damit die Strömungsgeschwindigkeit im Rohr eingestellt werden.-Läßt man zur Wasserströmung noch einen Farbstoff einfließen,

dann nimmt der Farbfaden verschiedene Gestalt an, je nachdem, welche Strömungsgeschwindigkeit vorherrscht.

Erinnert man sich der Ausführungen in Abschn. 15, wo auf die Notwendigkeit hingewiesen worden ist, fluidmechanische Experimente durch Kennzahlen zu fixieren, und bedenkt man zudem, daß im vorgestellten Experiment Reibungskräfte (Grenzschicht an Rohrrinnenwand) von besonderer Bedeutung sind, dann ist es hier nunmehr angebracht, die Reynoldssche Zahl nach Gl. (15-6) für die Rohrströmung wohl zu definieren:

$$\text{Re} = \frac{D \cdot c}{\gamma} \quad (16-22).$$

Die Länge als charakteristische Größe wird beim Rohr vom Durchmesser eingenommen. Als Geschwindigkeit hat man die mittlere Strömungsgeschwindigkeit eingeführt.

Variiert man nun mit  $H_3$  die Strömungsgeschwindigkeit im Rohr, so beeinflusst man natürlich auch den Wert der Reynoldsschen Zahl. Bei sehr kleiner Re-Zahl gilt Bild 16-7, Pos. b: achsparalleler Faden. - Bei etwas erhöhter Geschwindigkeit wird der Farbfaden schon welliger, Bild 16-7, Pos. c. - Bei sehr großer Strömungsgeschwindigkeit führt der verwirbelte Farbfaden wilde, ungeordnete Quer- und Längsbewegungen aus, die der Marschgeschwindigkeit des Wassers überlagert sind, Bild 16-7, Pos. d.

Viele Versuche (bei nicht erschütterungsfrei gelagerter Versuchsanordnung) ergaben eine kritische Re-Zahl von  $\text{Re}_{\text{krit}} = 2320$ , bei welcher etwa der Umschlag von der parallelen Schichtströmung, der sogenannten LAMINARSTRÖMUNG, in die TURBULENTE STRÖMUNG eintritt.

In der turbulenten Strömungsform sind der Hauptgeschwindigkeit  $\vec{c}_H$  Schwankungsgeschwindigkeiten  $\vec{c}_s$  überlagert.

Die physikalische Ursache für die Turbulenz ist noch unbekannt. Darüber heißt es in [8]: Dies ist auch heute noch ein aktuelles Forschungsthema. - Es handelt sich also um einen äußerst komplizierten physikalischen Effekt, den schon viele namhafte Forscher theoretisch und experimentell zu erfassen suchten. Man denke nur an Reynolds, Taylor, Tollmien, Schlichting, Prandtl, v. Kármán u. a.

Eine einfache Erklärung wird hier angeboten für die Tatsache, daß es starke Querbewegungen gibt, wofür man bislang noch keine Auskunft geben konnte:

- Molekularkräfte schließen viele Moleküle zu makroskopischen Fluidballen zusammen (ähnlich der Brownschen Bewegung in einer Kolloidlösung).
- Da in der Laminarströmung mikroskopische Wirbelzentren durch die Wandnähe (siehe Couette-Strömung; Hagen-Poiseuille-Strömung) sich ausbilden, ist auch für die Fluidballen eine Wirbeltendenz zu verzeich-

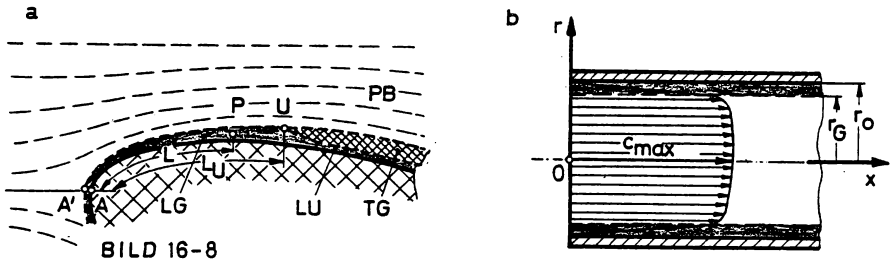


nen. Es bildet sich eine kleine örtliche Zirkulation aus.

- Fluidteilchen, die von der Wirbelung erfaßt werden und kurz davor sich nur translatorisch bewegten, zollen ihren Beitrag an die Rotationsenergie und werden mit dem Wirbelkern in Marschrichtung langsamer.
- Durch die Verlangsamung sind die Wirbelballen einer relativ größeren Anströmungsgeschwindigkeit ausgesetzt. Wenn aber nach dem Kutta-Joukowskyschen Quertriebssatz, Gl. (12-50), S. 297, eine Zirkulationsströmung und eine Parallelströmung superponiert werden (s. auch Abschn. 13.4., S. 313, 7. Beispiel), dann entsteht eine Querkraft, die eben im Falle der Turbulenz durchaus die Querbewegungen erklären hilft.

#### 16.4. Turbulente Grenzschicht, Einfluß der Oberflächenrauigkeit

Experimente zeigen, daß die Grenzschicht längs einer festen Wand ihren laminaren Charakter nur bis zu einem Punkt  $U$ , dem Umschlagspunkt, beibehält, Bild 16-8, Pos. a. Von hier an nimmt sie Turbulenzcharakter an.



Die Grenzschichtdicke nimmt verstärkt zu. - Eine vertiefte Interpretation theoretischer Ergebnisse zeigt, daß die turbulente Grenzschicht gar nicht die feste Wand berühren kann: Es muß also zwischen der Wand und der turbulenten Grenzschicht eine laminare Zwischen- oder Unterschicht immer vorhanden sein.

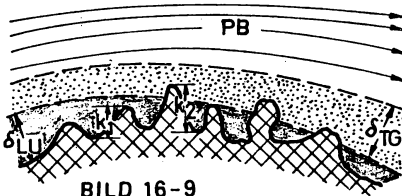
Bei einem geschlossenen Fluidgebiet, wie es die Rohrströmung darstellt, Bild 16-8, Pos. b, reicht die laminare Unterschicht von  $r_G$  bis  $r_0$ . Der übrige Rohrbereich ist turbulent für  $Re > 2320$ .

Beim offenen Fluidgebiet unterscheidet man drei Strömungsbereiche:

- die Laminargrenzschicht LG bis zum Umschlagspunkt  $U$ ;
- die turbulente Grenzschicht TG mit der laminaren Unterschicht LU;
- den Bereich der Außenströmung oder Potentialbewegung PB.

Die Länge  $L$  zwischen dem Staupunkt und einem beliebigen Punkt der Grenzschicht  $P$  dient zur Bildung der Re-Zahl :  $Re = c_{\infty} \cdot L / \nu$ . Experimente belegen, daß die Re-Zahl bezüglich des Umschlagpunktes einen Wert von etwa  $Re_U = 5 \cdot 10^5$  annimmt. Vom Umschlagpunkt an, nimmt die laminare Unterschicht der Dicke nach ab.

Glatte Wände besitzen doch noch minimale Rauheiten und Unebenheiten. Einen übertrieben rau gezeichneten Oberflächenverlauf zeigt Bild 16-9.



Solange die rauhen Stellen in die laminare Grenzschicht eingebettet sind, haben sie keinen Einfluß auf die Wand-schubspannung. Wenn die Rau-higkeitsspitzen aber in den turbulenten Bereich der Grenz-schicht hineinragen, beeinflus-sen sie wohl die Reibungsspan-

nungen.-Die absolute Rauigkeit definiert man als arithmetischen Durch-schnitt (z.B.:  $k_1$ ;  $k_2$ ;  $k_1$ ). In Praxis definiert man eine relative Rauigkeit. Man wählt als Bezugsgröße eine geeignete Referenzgröße; beim Rohr beispielsweise den Durchmesser. Damit lautet die relative Rauig-keit  $\bar{k} / D$  !-

## 17. Bernoulligleichung mit Dissipationen

### 17.1. Theorie

Die Wirbelarbeit in der Energieformel, Gl. (12-10), S. 232, entartet bei reibungsbehafteten Strömungen ohne Arbeitsaustausch mit der Umgebung in die Dissipationsarbeit der Reibungskräfte:  $W_R = \int \vec{F}_t \cdot d\vec{r}$ . Auf die Masse bezogen, schreibt man:  $w_{R12} = W_R / dm$ . Die Energieformel wird damit für stationäre, inkompressible Strömungen in der Form:

$$\frac{p_1}{\rho} + \frac{c_1^2}{2} + g \cdot z_1 = \frac{p_2}{\rho} + \frac{c_2^2}{2} + g \cdot z_2 + w_{R12} \quad (17-1)$$

auch Bernoulligleichung mit Dissipationen genannt. Zur Überwindung der Reibkräfte ist eine zusätzliche Druckkraft vonnöten, so daß auch zu die- sem Zweck ein zusätzlicher Druckunterschied zur Verfügung gestellt wer- den muß: Man spricht vom sogenannten Druckverlust  $p_v$ ; er entspricht der auf das Volumen bezogenen Reibungsarbeit:

$$p_v = w_{R12}/V = w_{R12} \cdot \rho \quad \text{oder} \quad w_{R12} = p_v / \rho \quad (17-2).$$

Setzt man diese Gleichung in Gl.(17-1) ein, dann erhält man die Bernoulligleichung mit Dissipationen in ihrer Druckform:

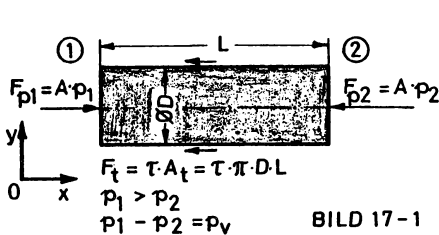
$$p_1 + \frac{\rho}{2} \cdot c_1^2 + \rho \cdot g \cdot z_1 = p_2 + \frac{\rho}{2} \cdot c_2^2 + \rho \cdot g \cdot z_2 + p_v \quad (17-3).$$

Man kennt prinzipiell zwei verschiedene Dissipationsarten:

- Lineare Dissipationen; sie sind von der Länge  $L$  der Stromröhre abhängig wie etwa bei einer geraden Rohrleitung.
- Lokale Dissipationen; sie sind von der Längenerstreckung des Gerätes weitgehend unabhängig. Sie werden verursacht durch lokal konzentrierte Reibungseffekte, massive Druckänderungen und Änderungen der Strömungsrichtung: Alle zusammen lassen lokale Wirbel entstehen. Man denke dabei an: plötzliche Querschnittsänderungen, Rohreintritte, Siebe, Diffusor, Düse, Rohrkrümmer, Rohrverzweigungen, Ventile u.v.a.

#### Ermittlung linearer Dissipationen:

In Bild 17-1 ist der Kontrollraum einer stationären, inkompressiblen und horizontalen Rohrströmung bei gleichbleibenden Nennweiten angegeben. Aus dem Kräftegleichgewicht folgt:  $p_v \cdot (\pi/4) \cdot D^2 = \tau \cdot \pi \cdot D$  ;



$p_v = 4 \cdot \tau \cdot (L/D)$  .-Die Reibungskraft  $F_t = \tau \cdot \pi \cdot D \cdot L$  hängt erfahrungsgemäß von nachstehenden physikalischen Größen ab: Durchmesser  $D$ , Dichte  $\rho$ , mittlere Geschwindigkeit  $c$ , kinematische Zähigkeit  $\nu$ , Rauigkeit  $k$ , Leitungslänge  $L$ .-Hat

man aufgrund von Vorversuchen und theoretischen Überlegungen die wichtigsten Einflußgrößen erkannt, dann wird man mittels der Dimensionsanalyse eine Funktion  $F_t = f(D, \rho, c, \nu, k, L)$ , Gl.(15-2), in Form einer Potenzreihe

$$F_t = \sum k_i \cdot D^{x_1} \cdot \rho^{x_2} \cdot c^{x_3} \cdot \nu^{x_4} \cdot k^{x_5} \cdot L^{x_6} \quad \text{Gl.(15-3), wenigstens an-}$$

satzmäßig bestimmen, um über die sich ergebenden Potenzprodukte ( nach dem  $\pi$ -Theorem von Buckingham kann man jede Gleichung zwischen physikalischen Größen in die Form einer rein mathematischen Funktion von dimensionslosen, aus den Größen gebildeten Potenzprodukten bringen, S.322) gezielte Hinweise für die Experimentierkunst zu finden!-Obiger Ansatz führt zur Dimensionsgleichung:

$L.M.T^{-2} = L^{x_1} \cdot (M.L^{-3})^{x_2} \cdot (L.T^{-1})^{x_3} \cdot (L^2.T^{-1})^{x_4} \cdot L^{x_5} \cdot L^{x_6}$  ; Koeffizientenvergleich:

$$\left. \begin{array}{l} L : 1 = x_1 - 3x_2 + x_3 + 2x_4 + x_5 + x_6 \\ T : -2 = -x_3 - x_4 \\ M : 1 = x_2 \end{array} \right\} \begin{array}{l} \boxed{x_1 = 2 - x_4 - x_5 - x_6} ; \\ \boxed{x_3 = 2 - x_4} ; \\ \boxed{x_2 = 1} . \end{array}$$

Einsetzen der Exponenten in  $F_t$  und Umordnen im Sinne von Gl.(15-5) ergibt:

$$F_t = \rho \cdot D^2 \cdot c^2 \cdot \sum k_1 \cdot \frac{\sqrt{x_4}}{D^{x_4} \cdot c^{x_4}} \cdot \frac{k^{x_5}}{D^{x_5}} \cdot \frac{L^{x_6}}{D^{x_6}}$$

$$F_t = \frac{\rho}{2} \cdot A_t \cdot c^2 \cdot \sum k_1' \cdot \left( \frac{\sqrt{x_4}}{D \cdot c} \right)^{x_4} \cdot (k/D)^{x_5} \cdot (L/D)^{x_6} = \frac{\rho}{2} \cdot A_t \cdot c^2 \cdot \sum k_1' \cdot \text{Re}^{-x_4} \left[ \frac{k}{D} \right]^{x_5} \left[ \frac{L}{D} \right]^{x_6} ;$$

$\tau = \frac{F_t}{A_t} = \frac{\rho}{2} \cdot c^2 \cdot K$  ; somit folgt für  $p_v$  : = K nach Gl.(15-7)

$p_v = 4 \cdot \tau \cdot \frac{L}{D} = \frac{\rho}{2} \cdot c^2 \cdot \frac{L}{D} \cdot (4 \cdot K)$  ; man definiert nun nach Darcy-Weisbach den dimensionslosen Koeffizienten, die sogenannte Rohrreibungszahl:

$$\boxed{\lambda = 4 \cdot K = f(Re, k/D, L/D)} \quad (17-4) .$$

$\lambda$  hängt zunächst von der Reynoldsschen Zahl  $Re$  , der relativen Rauigkeit  $k/D$  und der relativen Rohrlänge  $L/D$  ab. Für den Druckverlust gilt dann:

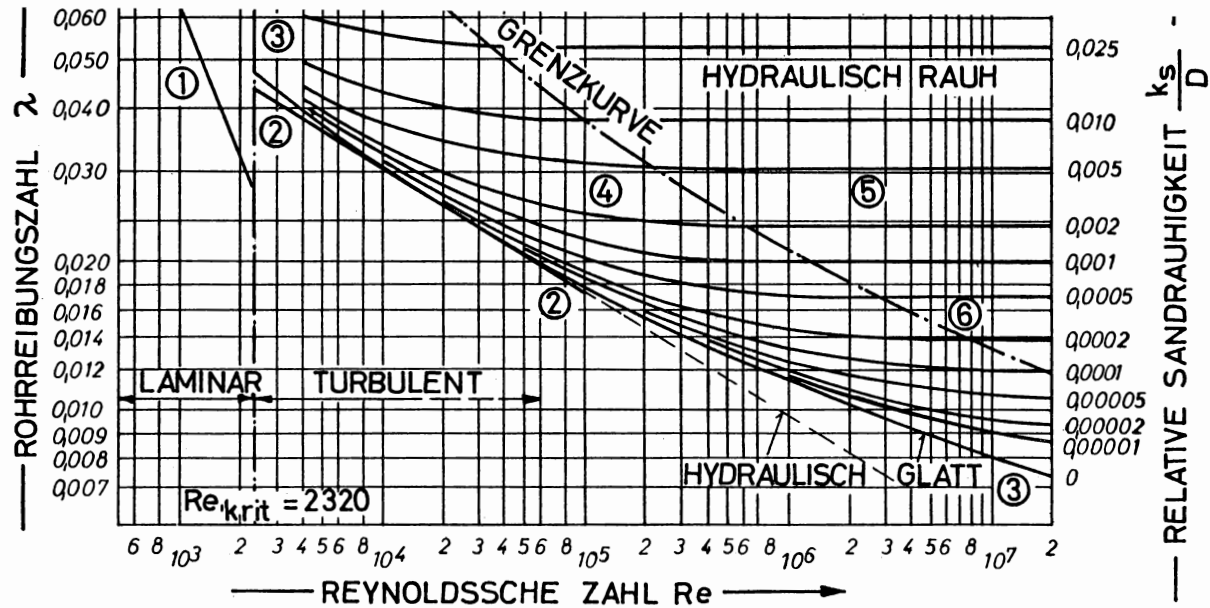
$$\boxed{p_v = \lambda \cdot \frac{L}{D} \cdot \frac{\rho}{2} \cdot c^2} \quad (17-5) .$$

Druckverlustmessungen ergaben nun, daß  $p_v$  nur linear von  $L/D$  abhängt, so daß also  $\lambda$  nicht von  $L/D$  beeinflusst wird, weil die  $L/D$ -Abhängigkeit bereits durch den daneben stehenden Faktor  $L/D$  berücksichtigt ist. -Für die Rohrreibungszahl gilt jetzt vereinfacht [10] :

$$\boxed{\lambda = f(Re, k/D)} \quad (17-6) .$$

In Bild 17-2 sind für künstlich raue Rohre (Sandrauhigkeit  $k_s$ ) zahlreiche Forschungsergebnisse angegeben. Da der Zusammenhang zwischen  $k$ , der realen Rauigkeit, und  $k_s$ , der Sandrauhigkeit, nur unbefriedigend bekannt ist, begnüge man sich in Praxis mit  $k \approx k_s$  . -Nachstehend folgen Namen, Geltungsbereich usw. der Gleichungen, die im Diagramm von Bild 17-2 verwendet worden sind. -Nur im laminaren Fall läßt sich  $\lambda$  rechnerisch ermitteln, z.B. durch Umformung von Gl.(16-9):

$$p_v = p_1 - p_2 = 32 \cdot c_m \cdot L \cdot \frac{1}{D^2} \cdot \frac{\rho}{\rho} \cdot c_m / c_m \cdot 2/2 = (64/Re) \cdot (L/D) \cdot (\rho/2) \cdot c_m^2 ; \text{ somit}$$



- ① HAGEN-POISEULLE (laminar), Gl.(17-7)
- ② BLASIUS (turbulent u. hydraulisch glatt), Gl.(17-8)
- ③ PRANDTL ( - - - - - ), Gl.(17-9)
- ④ COLEBROOK-WHITE (turbulent rauhes Übergangsgebiet), Gl.(17-10)
- ⑤ PRANDTL-NIKURADSE (turbulent u. hydraulisch rauh), Gl.(17-11)
- ⑥ v.KÁRMÁN-HYPERBEL (Grenzkurve), Gl.(17-12)

BILD 17-2

folgt durch Umformung von Gl.(16-9) nach Hagen-Poiseuille im laminaren Fall (Kurve 1):

$$\lambda_{\text{lam}} = 64 / \text{Re} \quad (17-7).$$

Blasius weist für den turbulenten und hydraulisch glatten Fall nach (Kurve 2):

$$\lambda = 0,3164 / \text{Re}^{0,25} \quad (17-8).$$

Nach Prandtl gilt gleicherweise (Kurve 3):

$$\frac{1}{\sqrt{\lambda}} = 2,51 \cdot \lg \frac{\text{Re} \cdot \sqrt{\lambda}}{2,51} \quad (17-9).$$

Für den Übergangsbereich, in dem die Reynoldssche Zahl und die relative Rauigkeit eine Rolle spielen, geben Colebrook und White an (Feld 4):

$$\lambda = \frac{1}{\left[ 1,74 - 2 \cdot \lg \left( \frac{2 \cdot k}{D} + \frac{18,7}{\text{Re} \cdot \sqrt{\lambda}} \right) \right]^2} \quad (17-10).$$

Als Sonderfall hierzu fanden Prandtl und Nikuradse (Feld 5):

$$\lambda = \frac{1}{\left( 1,74 - 2 \cdot \lg \frac{2 \cdot k}{D} \right)^2} \quad (17-11);$$

Von der Grenzkurve an, die v.Kármán angab, Kurve 6 :

$$\text{Re} \cdot (k/D) \cdot \sqrt{\lambda} = 260 \quad (17-12)$$

spielt also nur noch die relative Rauigkeit eine Rolle.

#### Ermittlung lokaler Dissipationen:

Jede Armatur ist für sich zu untersuchen. Man faßt in Gl.(17-5) die Faktoren  $L/D$  und  $\lambda$  zusammen und definiert einen dimensionslosen Verlustbeiwert

$$\zeta = f(\text{Geometrie, Rauheit, Re}) \quad (17-13),$$

so daß sich der Druckverlust mit

$$p_v = \zeta \cdot \frac{\rho}{2} \cdot c^2 \quad (17-14)$$

berechnen läßt, wobei zu vereinbaren ist, an welcher Stelle die Geschwindigkeit gemeint ist. In Handbüchern findet man meistens nur Angaben für  $\zeta$  in Abhängigkeit von der Geometrie !

## 17.2. Anwendungen

### 17.2.1. Lokale und lineare Dissipationen in Rohrleitungen

#### 1. Beispiel

Auf den Seiten 286/288 ist der Carnotsche Stoßverlust behandelt worden, so daß der Druckverlust  $p_v = \Delta p_C$ , Gl. (12-43), berechenbar gemacht worden ist. - Hier soll nun in Ergänzung der Verlustbeiwert  $\zeta$  beschafft werden.

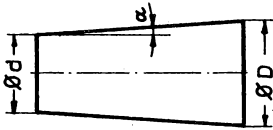


BILD 17-3

#### Lösung:

Man forme die Gl. (12-43) um:

$$p_v = \frac{\rho}{2} \cdot (c_1 - c_3)^2 = \frac{\rho}{2} \cdot (c_1 - c_3) \cdot (c_1 - c_3) = \frac{\rho}{2} \cdot c_1^2 \cdot \left(1 - \frac{c_3}{c_1}\right)^2$$

Berücksichtigt man die Kontinuität:

$$d^2 \cdot c_1 = D^2 \cdot c_3, \text{ so folgt für den Verlust-}$$

$$\text{beiwert: } \zeta = \left(1 - \frac{c_3}{c_1}\right)^2 \quad \text{und} \quad \underline{\underline{\zeta = \left[1 - (d/D)^2\right]^2}}.$$

Bemerkung: Ist die Kanalerweiterung nicht mehr plötzlich, sondern allmählich wie in Bild 17-3, wobei es sich dann um einen Diffusor handelt, dann sind die Druckverluste geringer, was durch einen Reduktionsfaktor  $k_{\text{red}} = 0,05 \div 0,3$  festgehalten wird, unter der Bedingung aber nicht abgelöster Strömung, was durch die Einhaltung der Angabe  $2. \alpha < 8^\circ$  gewährleistet ist.

$$\underline{\underline{\zeta = k_{\text{red}} \cdot \left[1 - (d/D)^2\right]^2}}.$$

#### 2. Beispiel

Zu den wenigen Verlustproblemen, die rechnerisch in Griff genommen werden können, und zwar bei genügender Genauigkeit, gehört auch die plötzliche Richtungsänderung einer Strömung. In Bild 17-4 ist der maßgebende Kontrollraum der Knickzone angedeutet. Kräfte parallel zur Knickebene EE heben sich gegenseitig auf; es bleiben, von Wandreibungskräften abgesehen, zwei Druckkräfte, der eintretende Impulsstrom und die Reaktion des austretenden Impulsstromes übrig. - Man berechne nun den Verlustbeiwert  $\zeta$  für die plötzliche Richtungsänderung. - (Kanalhöhe  $h$  | Bildebene).

#### Lösung:

Das Kräftegleichgewicht in x-Richtung liefert folgenden Zusammenhang:

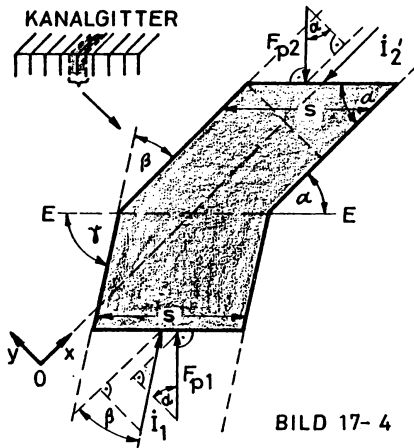


BILD 17-4

$$\sum F_{xi} = i_1 \cdot \cos \beta - i_2' + F_{p1} \cdot \sin \alpha - F_{p2} \cdot \sin \alpha = 0 ; \text{ der Volumenstrom beträgt: } \dot{V} = c_2 \cdot s \cdot h \cdot \sin \alpha ;$$

es folgt:

$$\varrho \cdot c_2 \cdot \sin \alpha \cdot s \cdot h \cdot (c_2 - c_1 \cdot \cos \beta) = (p_1 - p_2) \cdot s \cdot h \cdot \sin \alpha ;$$

$$p_1 - p_2 = \varrho \cdot c_2 \cdot (c_2 - c_1 \cdot \cos \beta) \quad (1) .$$

Aus Gl.(17-3) folgt auch für die Druckverluste:

$$p_v = (p_1 - p_2) + (\varrho/2) \cdot (c_1^2 + c_2^2) \quad (2) .$$

Setzt man (1) in (2) ein, so folgt unter Einsatz von Gl.(17-14):

$$p_v = (\varrho/2) \cdot (c_1^2 - 2 \cdot c_1 \cdot c_2 \cdot \cos \beta + c_2^2) = \zeta \cdot (\varrho/2) \cdot c_1^2 ;$$

mit  $\dot{V} = c_2 \cdot s \cdot h \cdot \sin \alpha = c_1 \cdot s \cdot h \cdot \sin \gamma$  folgt schließlich:

$$\zeta = 1 - 2 \cdot \frac{\sin \gamma}{\sin \alpha} \cdot \cos \beta + \left( \frac{\sin \gamma}{\sin \alpha} \right)^2 .$$

#### Bemerkung:

Im Prinzip liegt hier auch die Verlusttendenz einer Krümmenströmung vor. Allerdings muß das Ergebnis  $\zeta$  mittels eines Ausgleichsfaktors  $k_a$  korrigiert werden, weil wegen der Zentrifugalkräfte eine massive Geschwindigkeitsverteilung in der Krümmenzone sich ausbildet (außen langsamer, innen schneller), die im Auslauf zu zusätzlichen Mischungsverlusten führt. Experimente sind unumgänglich hierzu.

### 3. Beispiel

Eine Rohrleitung führt aus einem großen Wasserbehälter von A nach B, wo sich ein einstellbarer Schieber befindet. -Angaben:  $L = 500 \text{ m}$ ;  $D = 0,5 \text{ m}$ ;  $H = 350 \text{ m}$ ;  $\dot{V} = 10^{-6} \text{ m}^3/\text{s}$ ; Ventilverlustbeiwert  $\zeta_A = 0,5$  bei Vollöffnung und  $\zeta_A = 20$  im halb geöffneten Zustand; mittlere Rauigkeit, die in Näherung auch der Sandrauigkeit entsprechen möge,  $k \approx k_s = 0,5 \text{ mm}$ , Einlaufverlustbeiwert  $\zeta_0 = 1$ . - Man ermittle:

a) die mittlere Strömungsgeschwindigkeit  $c_m$  und den Volumenstrom  $\dot{V}$



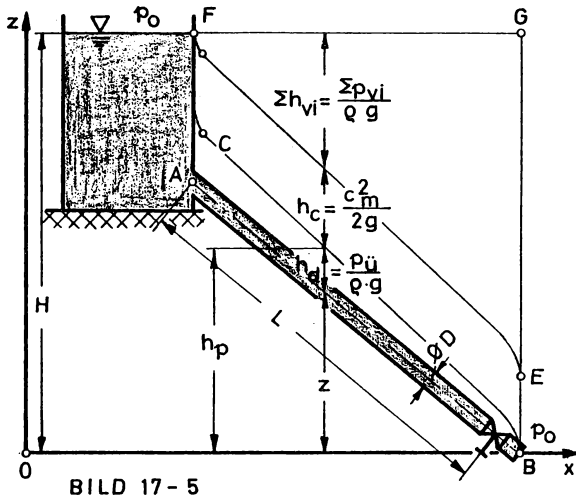


BILD 17-5

- bei vollständiger Schieberöffnung;  
b) ebenso bei halber Öffnung;  
c) Erläuterung von Bild 17-5.

Lösungen:

- a)  $c_m$  und  $\dot{V}$  :

Bei Aufgaben dieser Art verwende man grundsätzlich die Gl. (17-3), die Bernoulli-Gleichung mit Dissipationen, und die Gl. (17-5) und (17-14),

womit die entsprechenden Druckverluste berechnet werden. Zwischendurch ist mit der Re-Zahl, Gl. (16-22), zu arbeiten, was für die Ermittlung der Rohrreibungszahl  $\lambda$  erforderlich ist. Häufig muß man auch zunächst einen  $\lambda$ -Wert annehmen und im nachhinein eine Re-Kontrolle durchführen, was u.U. zu einem iterativen Lösungsweg zwingt.

Gl. (17-3):  $p_1 = p_2 = p_0$  ;  $c_1 = 0$  (Torricelli !) ;  $c_2 = c_m$  ;  $z_1 - z_2 = H$  .

Somit ergibt sich:

$$c_m^2 / 2 + g \cdot H = p_v / \rho = (1/\rho) \cdot \sum p_{vi} = (\zeta_0 + \lambda \cdot L/D + \zeta_A) \cdot c_m^2 / 2$$

$$c_m = \sqrt{\frac{2 \cdot g \cdot H}{1 + \sum \zeta_i + \lambda \cdot L/D}} = \sqrt{\frac{2 \cdot g \cdot H}{1 + \zeta_0 + \zeta_A + \lambda \cdot L/D}} \quad (17-15).$$

Da  $\lambda = f(\text{Re}, k/D)$ , Gl. (17-6), ist, zur Berechnung der Re-Zahl die Geschwindigkeit aber fehlt, tritt bereits der Fall notwendiger  $\lambda$ -Schätzung ein. Sofern es sich um eine raue Oberfläche handelt, nimmt man zum Gebrauch von Bild 17-2 die relative Rauigkeit zu Hilfe; im vorliegenden Beispiel wähle man für  $k/D = 0,5 \cdot 10^{-3} / 0,5 = 0,001$  eine Rohrreibungszahl von  $\lambda = 0,02$  .- Für hydraulisch glatte Rohre schätze man die  $\lambda$ -Werte auf den Kurven 2 und 3 in Erwartung einer turbulenten Strömung, sonst gilt Analoges für Kurve 1 im laminaren Fall.-Hier folgt nun in Zahlen:

$$c_m = \sqrt{\frac{2 \cdot 9,81 \cdot 350}{1 + 1 + 0,5 + 0,02 \cdot 500 / 0,5}} \quad \text{m/s} ; \quad \underline{\underline{c_m = 17,47 \text{ m/s}}}$$

Jetzt hat sofort die Re-Kontrolle zu folgen:  $Re = 17,47 \cdot 0,5 / 10^{-6}$  ;  
 $Re = 8,735 \cdot 10^6$  ,

wobei die  $\lambda$ -Annahme im turbulent,rauhem Bereich (Zone 5 in Bild 17-2) bestätigt worden ist.-Wo nicht, so hätte man für diese Re-Zahl und die relative Rauigkeit eine zweite Näherung von  $\lambda$  dem Diagramm entnehmen müssen usw. (iteratives Vorgehen!). - Der Volumenstrom ist dann:

$$\dot{V} = (\pi/4) \cdot D^2 \cdot c_m = (\pi/4) \cdot 0,5^2 \cdot 17,47 \text{ m}^3/\text{s} ; \quad \underline{\underline{\dot{V} = 3,426 \text{ m}^3/\text{s}}} .$$

b)  $\underline{c'_m}$  und  $\underline{\dot{V}'}$  :

Setzt man für  $\zeta_A$  den geänderten Wert  $\zeta'_A = 20$  ein,dann erhält man:

$$\underline{c'_m = 12,79 \text{ m/s}} \quad \text{und} \quad \underline{\dot{V}' = 2,51 \text{ m}^3/\text{s}} .$$

c) Erläuterung von Bild 17-5 :

Zwischen der x-Achse und der Niveaulinie FG liegt das gesamte zur Verfügung stehende Gefälle H;das ist aber die Gesamtenergie,die in einem Stromfaden mitgeführt wird.Man kann die Gl.(17-3) auch in ihrer Höhenform angeben:

$$\frac{p_1}{\rho \cdot g} + \frac{c_1^2}{2 \cdot g} + z_1 = \frac{p_2}{\rho \cdot g} + \frac{c_2^2}{2 \cdot g} + z_2 + \frac{\sum p_{vi}}{\rho \cdot g} = H = \text{const} \quad (17-16).$$

Gilt wie im obigen Beispiel  $p_1 = p_{1u} + p_o$  und  $p_2 = p_{2u} + p_o$  ,so bleiben nur die statischen Überdrücke in der Rohrleitung übrig.-Es sind nachstehende Bezeichnungen üblich geworden:

Überdrückhöhe	$h_d = p_u / (\rho \cdot g)$	;	(17-17).
Geschwindigkeitshöhe	$h_c = c_m^2 / (2 \cdot g)$	;	
Ortshöhe	$z$	;	
Gesamtenergiehöhe	$H$	;	
Druckverlusthöhe	$\sum h_{vi} = \sum p_{vi} / (\rho \cdot g)$		

Somit gilt auch für Beispiele der behandelten Art:

$$H = h_d + h_c + z + \sum h_{vi} \quad (17-18).$$

Ergänzende Begriffe:

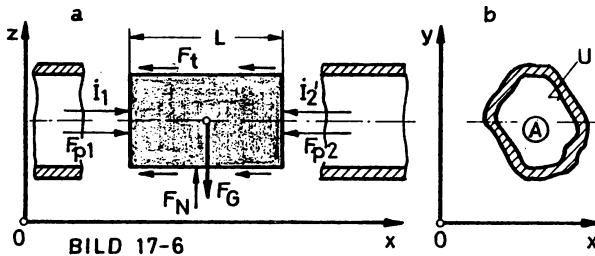
Linie FG : Energieniveau bei reibungsloser Strömung;

Linie FCB : Drucklinie;piezometrische Linie wegen  $h_p = h_d + z$  ;

diese Linie ist auch unter dem Namen Flüssigkeits- oder Wasserlinie (siehe Kanal- und Flußströmungen) bekannt.

#### Nachtrag:

Die Rohrreibungszahl  $\lambda$  ist bisher nur auf voll ausgefüllte Rohre mit Kreisquerschnitt bezogen gewesen.-Wann darf man die  $\lambda$ -Werte auch auf unrunde und nur teilweise ausgefüllte Querschnitte verwenden?-Folgende Überlegung führt zum Ziel und wird auch durch Experimente bestätigt:



Das Kräftegleichgewicht in x-Richtung für einen Kontrollraum aus einer horizontalen Rohrströmung lautet, Bild 17-6:

$$\sum F_{xi} = \dot{I}_1 + F_{p1} - \dot{I}_2 - F_{p2} = 0$$

Die Impulsströme heben sich gegenseitig

auf. Es bleibt also:  $(p_1 - p_2) \cdot A = \tau \cdot U \cdot L$  . - Die allgemeine Abhängigkeit von  $\tau$  ist in der Ableitung zu Gl.(17-4) als  $\tau = (\rho/2) \cdot c^2 \cdot K$  erkannt worden. Damit ist auch  $K = \lambda/4$  !-Setzt man  $p_1 - p_2 = p_v$  ,dann ergibt sich:

$$p_v = (\lambda/4) \cdot (\rho/2) \cdot c^2 \cdot U \cdot L / A = \lambda \cdot \frac{L}{\frac{4 \cdot A}{U}} \cdot \frac{\rho}{2} \cdot c^2$$

.Diese Gleichung  
Deshalb definiert man

$$D_h = \frac{4 \cdot A}{U} \quad (17-19) .$$

Es bedeuten:  $D_h$  = hydraulischer Durchmesser; A = Strömungsquerschnitt; U = benetzter Umfang.-Bildet man nunmehr die Reynoldssche Zahl mit dem hydraulischen Durchmesser, so darf  $\lambda$  für Kreisrohre verwendet werden. Allgemein gilt dann auch:

$$p_v = \lambda \cdot \frac{L}{D_h} \cdot \frac{\rho}{2} \cdot c^2 \quad (17-20) .$$

### 17.2.2. Dissipationen in Kanälen und Flüssen

#### 17.2.2.1. Einführung

Hier werden für die Kanal- und Flußströmung folgende Voraussetzungen gemacht:

(1) der Strömungsquerschnitt bleibt konstant; (2) die Spiegeloberfläche ist parallel zur Sohle; (3) die Strömung ist turbulent.-Im Grunde genommen kann man diese Strömungsart mittels der Gl.(17-3) und Gl.(17-20) bearbeiten.Im Wasserbau hat sich jedoch eine modifizierte Betrachtungsweise durchgesetzt:

Aus der Gleichgewichtsbetrachtung in Strömungsrichtung erkennt man aus Bild 17-7, Pos.a, daß Druckkräfte und Impulsströme sich gegenseitig neutralisieren, so daß nur der Hangabtrieb  $F_G \cdot \sin \alpha$  und die Reibkraft  $F_t$  sich das Gleichgewicht halten müssen:  $F_G \cdot \sin \alpha = \tau \cdot U \cdot L$ . Aus der Dimensionsanalyse weiß man um die Beziehung  $\tau = (\rho/2) \cdot c^2 \cdot K$ . Führt man

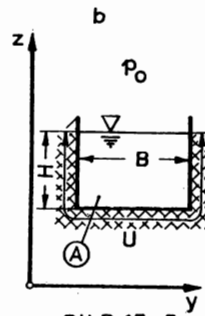
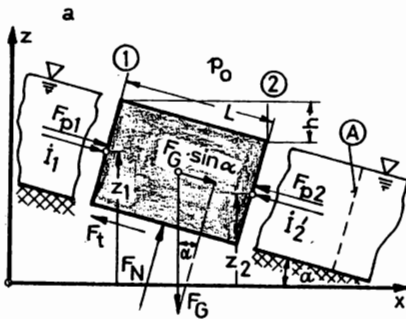


BILD 17-7

hier üblicherweise das relative Spiegelgefälle ein:

$$J = \frac{h}{L} = \sin \alpha \quad (17-21),$$

so läßt sich aus obigen Zusammenhängen ohne weiteres nachstehende Gleichung angeben:

ben:

$$c = \sqrt{\frac{2 \cdot g}{K}} \cdot \sqrt{\frac{A}{U} \cdot J} \quad \text{. Kürzt man den ersten Wurzelausdruck mit } C \text{ (Geschwindigkeitsbeiwert) ab}$$

und führt mit

$$R_h = A / U \quad (17-22)$$

den sogenannten hydraulischen Radius ein, dann erhält man die Fließformel von de Chezy:

$$c = C \cdot \sqrt{R_h \cdot J} \quad (17-23).$$

Die Formel von Bazin erlaubt die Ermittlung des Geschwindigkeitsbeiwertes:

$$C = 87 \cdot \left[ 1 + k' / \sqrt{R_h} \right]^{-1} \quad (17-24).$$

$k'$  bedeutet die Flächenreibungszahl. Einige Werte hierfür: Beton (glatt): 0,06 ; Ziegelwerk : 0,20 ; Erdkanäle : 1,30 ; Geröll : 1,75 ; alle Werte in  $m^{0,5}$ . -  $C$  ergibt sich in  $m^{0,5}/s$  !

### 17.2.2.2. Beispiele

#### 1. Beispiel

Für einen Kanal rechteckigen Querschnitts, Bild 17-7, Pos. b, ermittle man das optimale Verhältnis  $B/H$  bei gegebenem Querschnitt  $A = B \cdot H$ , so daß man den gewünschten Volumenstrom bei geringstem Gefälle zum Ziel bringt.

#### Lösung:

Aus der Bernoulligleichung mit Dissipationen, Gl. (17-16) kann man bei Berücksichtigung von  $p_1 = p_2$  (gilt in jeder Tiefe aufs neue),  $c_1 = c_2$  (stationäre Strömung) und  $\sum p_{vi} = p_v$  herauslesen:

$$\begin{aligned} (z_1 - z_2) \cdot \varrho \cdot g &= p_v = \varrho \cdot g \cdot L \cdot \sin \alpha \\ p_v &= \varrho \cdot g \cdot L \cdot J = \varrho \cdot w_{R12} \end{aligned} \quad (17-25);$$

hier ist auch Gl. (17-2) miteinbezogen worden.

Geringstes Gefälle heißt mit anderen Worten: geringster Druckverlust.  $p_v$  kann nach Gl. (17-20) ein Minimum werden, wenn der hydraulische Durchmesser  $D_h = 4 \cdot R_h$  ein Maximum wird. Das ist wiederum bei minimalem benetzten Umfang der Fall. Es ist:  $U = B + 2 \cdot H = A/H + 2 \cdot H$  ;

$$\frac{dU}{dH} = -\frac{A}{H^2} + 2 = 0 \quad ; \quad 2 \cdot H^2 = A = H \cdot B \quad ;$$

Ergebnis: 
$$\underline{\underline{(B / H)_{opt} = 2 \quad .}}$$

#### 2. Beispiel

Ein Wasserkanal (Wände: glatter Beton) mit rechteckigem Querschnitt ( $H = 1,2 \text{ m}$  ;  $B = 2,4 \text{ m}$ ) hat ein Spiegelgefälle von  $J = 0,005$  .-  $\sqrt{\nu} = 1,1 \cdot 10^{-6} \text{ m}^2/\text{s}$  .- Man ermittle:

- den hydraulischen Radius und den hydraulischen Durchmesser ( $R_h, D_h$ );
- die mittlere Strömungsgeschwindigkeit  $c$  ;
- den Volumenstrom  $\dot{V}$  ;
- den Druckverlust  $p_v$  ;
- die massenspezifische Dissipation  $w_{R12}$  ;
- vergleichsweise die Rohrreibungszahl  $\lambda$  für Kreisrohre ;
- die dafür gültige Reynoldssche Zahl und Nachweis der Turbulenz.

Als Anlagenschema verwende man Bild 17-7.

Lösungen:

a) R<sub>h</sub> ; D<sub>h</sub> :

$$\text{Gl. (17-22)} : R_h = A/U = B.H/(B+2.H) = 2,4.1,2/(2,4+2.1,2) \quad \text{m} ;$$

$$R_h = 0,6 \text{ m} .$$

$$\text{Gl. (17-19)} : D_h = 4.A/U = 4.R_h = 4.0,6 \quad \text{m} ;$$

$$D_h = 2,4 \text{ m} .$$

b) c :

Geschwindigkeitsbeiwert nach Gl. (17-24) :

$$C = 87. \left[ 1 + 0,06 / \sqrt{0,6} \right]^{-1} \text{ m}^{0,5}/\text{s} ; \quad C = 80,745 \text{ m}^{0,5}/\text{s} .$$

Gl. (17-23) :

$$c = C. \sqrt{R_h . J} = 80,745. \sqrt{0,6.0,005} \text{ m/s} ;$$
$$c = 4,42 \text{ m/s} .$$

c)  $\dot{V}$  :

Aus der Kontinuitätsgleichung folgt:  $\dot{V} = A.c = 2,4.1,2.4,42 \text{ m}^3/\text{s} ;$   
 $\dot{V} = 12,74 \text{ m}^3/\text{s} .$

d) p<sub>v</sub> :

$$\text{Gl. (17-25)} : p_v = \rho . g . L . J = 1000.9,81.500.0,005 \quad \text{Pa} ;$$

$$p_v = 0,245 \text{ bar} .$$

e) w<sub>R12</sub> :

$$\text{Gl. (17-2)} : \underline{w_{R12}} = p_v / \rho = 24525/1000 = \underline{24,525 \text{ J/kg}} .$$

f)  $\lambda$  :

Zieht man die Druckverlustgleichung nach Gl. (17-20) heran, so folgt:

$$\lambda = \frac{p_v . D_h . 2}{\rho . L . c^2} = \frac{24525.2.4,2}{1000.500.4,42^2} ;$$

$$\lambda = 0,012 .$$

g) Re :

$$\text{Gl. (16-22)} : Re = D_h . c / \nu = 2,4.4,42 / (1,1.10^{-6}) ;$$

$$Re = 9,64.10^6 .$$

Nach Bild 17-2 befindet man sich demnach in Zone 5 , dem turbulent  
rauen Bereich !

### 17.2.3. Rohrleitungsnetze

#### 17.2.3.1. Einführung

Bei der Berechnung von Rohrleitungsnetzen (Druckverluste, Volumenströme usw.) stößt man immer wieder auf nachstehende Formeln und Beziehungen:

Bernoulligleichung

$$\text{Gl. (17-3), S. 338 : } p_1 + \frac{\rho}{2} \cdot c_1^2 + \rho \cdot g \cdot z_1 = p_2 + \frac{\rho}{2} \cdot c_2^2 + \rho \cdot g \cdot z_2 + \sum p_{vi}$$

Kontinuitätsgleichung

$$\text{Gl. (11-18; 11-20; 11-21), S. 194... : } \sum \dot{V}_i = 0 ; A_1 \cdot c_1 = A_2 \cdot c_2 ; \dot{V} = A \cdot c$$

Lineare Dissipation

$$\text{Gl. (17-5), S. 339 : } p_v = \lambda \cdot (L/D) \cdot (\rho/2) \cdot c^2$$

Lokale Dissipation

$$\text{Gl. (17-14), S. 341 : } p_v = \zeta \cdot (\rho/2) \cdot c^2$$

Reynoldssche Zahl

$$\text{Gl. (16-22), S. 335 : } Re = D \cdot c / \nu \text{ bzw. } Re = D_h \cdot c / \nu$$

Hydraulischer Durchmesser

$$\text{Gl. (17-19), S. 346 : } D_h = 4 \cdot A / U$$

Rohrreibungszahl für Kreisquerschnitte

$$\text{Gl. (17-6), S. 339 : } \lambda = f(Re, k/D) \text{ und Bild 17-2}$$

Verlustbeiwerte für lokale Dissipationen und Rauigkeitswerte sind der einschlägigen Literatur zu entnehmen.

#### 17.2.3.2. Beispiele

##### 1. Beispiel

Eine Serien- oder Reihenschaltung von linearen und lokalen Dissipationsquellen zeigt Bild 17-8. Folgende Angaben werden gemacht:  $L_1$  bis  $L_5$ ;  $D_1$  bis  $D_5$ ;  $\zeta_{01}$  bis  $\zeta_{56}$ ;  $H$ ! - Man ermittle den Volumenstrom bei stationärer Strömung.

##### Lösung:

Da die Rohrreibungszahlen unbekannt sind, müssen sie in einem ersten Iterationsschritt geschätzt werden. Als Starthilfe kann man erfahrungsgemäß mit  $\lambda \approx 0,03$  beginnen. Weitere Iterationsschritte verbessern das Resultat. - Wendet man die Bernoulligleichung längs der Stromlinie a-b an und bedenkt man, daß gilt:

$p_a = p_b = p_0$ ;  $c_a = 0$  (Torricelli);  $z_a = H$ ;  $z_b = 0$ ;  $c_b = c_6$ , dann bleibt nach Einsatz der Gleichungen für die linearen und lokalen Dissipationen noch übrig:

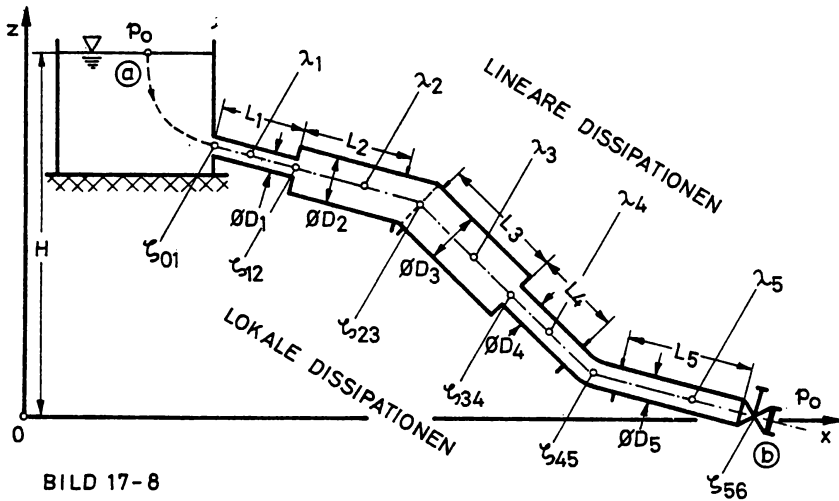


BILD 17-8

$$\rho \cdot g \cdot H = \sum_{i=0, k=1} p_{v, ik} + \sum_{k=1} p_{v, k} = \sum_{i=0, k=1} \frac{\rho}{2} \cdot c_k^2 \cdot (\lambda_k \cdot \frac{L_k}{D_k} + \zeta_{ik}) \quad (17-26).$$

Die Geschwindigkeiten lassen sich über die Kontinuitätsgleichung  $\dot{V} = (\pi/4) \cdot D_k^2 \cdot c_k$  beschaffen. Damit läßt sich für den Volumenstrom angeben:

$$\dot{V} = \frac{\pi}{2} \cdot \sqrt{\frac{g \cdot H}{2 \cdot \sum_{i=0, k=1} D_k^{-4} \cdot (\lambda_k \cdot L_k / D_k + \zeta_{ik})}} \quad (17-27).$$

#### Bemerkung

Ersetzt man in Gl.(17-26)  $c_k^2$  durch  $16 \cdot \dot{V}^2 / (\pi^2 \cdot D_k^4)$  und klammert dabei  $\dot{V}^2$  aus, so erhält man eine Beziehung:

$g \cdot H = \dot{V}^2 \cdot \sum \frac{8}{\pi^2 \cdot D_k^4} \cdot (\lambda_k \cdot L_k / D_k + \zeta_{ik})$ , die zu einer interessanten Analogie Anlaß gibt, wenn das Ohmsche Gesetz der "Elektrik" für die Reihenschaltung dieser Beziehung aus der "Hydraulik" gegenübergestellt wird:



$$\begin{array}{lcl}
 U & = & I \cdot \sum_{i=1}^8 R_i = I \cdot R_{\text{ges}} \\
 \downarrow & & \downarrow \\
 g \cdot H & = & \dot{V}^2 \cdot \sum_{\substack{i=0 \\ k=1}}^8 \underbrace{\frac{8}{g \cdot \pi^2 \cdot D_k^4} \cdot (\lambda_k \cdot L_k / D_k + \zeta_{ik})}_{= R_{Hk}} = \dot{V}^2 \cdot R_{H\text{ges}}
 \end{array} \quad (17-28)$$

Interessant ist die Einführung des "hydraulischen Widerstandes"  $R_H$ , dessen Definition aus Gl.(17-28) hervorgeht.

## 2. Beispiel

Eine Hauptwasserleitung gabelt sich zwischen a und b in vier Stränge ( $z = \text{I; II; III; IV}$ ), Bild 17-9. Die Rohrleitungslängen  $L_z$  und die Nennweiten  $D_z$  sind bekannt. Außerdem seien die Verlustbeiwerte der lokalen Dissipationen  $\zeta_{zj}$  für  $j = 1; 2; 3 \dots n$  ebenfalls gegeben. Man kennt auch die Zustände in a und b:

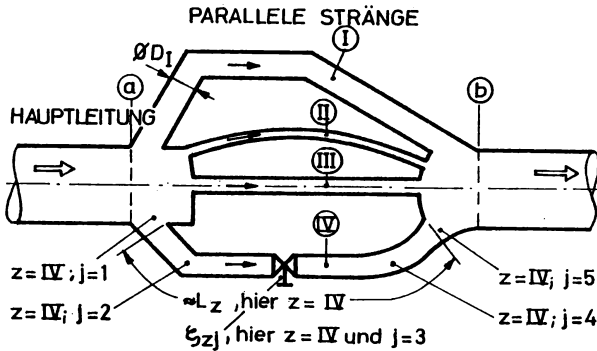


BILD 17-9

Man kennt auch die Zustände in a und b:

$$\begin{aligned}
 p_a + \frac{\rho}{2} \cdot c_a^2 + \rho \cdot g \cdot z_a &= p_b + \frac{\rho}{2} \cdot c_b^2 + \rho \cdot g \cdot z_b = \rho \cdot g \cdot H_a; \\
 p_b + \frac{\rho}{2} \cdot c_b^2 + \rho \cdot g \cdot z_b &= \rho \cdot g \cdot H_b.
 \end{aligned}$$

Man ermittle die Teilvolumenströme  $\dot{V}_z$  bei bekanntem Gesamtvolumenstrom.

## Lösungen:

Für je eine mittlere Stromlinie in den Strängen I und II gilt die Bernoulli-Gleichung in der Form zwischen a und b:

$$\begin{aligned}
 p_a + \frac{\rho}{2} \cdot c_a^2 + \rho \cdot g \cdot z_a &= p_b + \frac{\rho}{2} \cdot c_b^2 + \rho \cdot g \cdot z_b + \frac{\rho}{2} \cdot c_I^2 \cdot (\lambda_I \cdot L_I / D_I + \sum \zeta_{Ij}) ; \\
 p_a + \frac{\rho}{2} \cdot c_a^2 + \rho \cdot g \cdot z_a &= p_b + \frac{\rho}{2} \cdot c_b^2 + \rho \cdot g \cdot z_b + \frac{\rho}{2} \cdot c_{II}^2 \cdot (\lambda_{II} \cdot L_{II} / D_{II} + \sum \zeta_{IIj}) .
 \end{aligned}$$

Daraus geht eindeutig hervor, daß die Gesamtdissipationen in allen parallelen Rohrleitungen gleich groß sind. Die  $\lambda$ -Werte sind zunächst zu

schätzen und später durch Iteration zu korrigieren.-Der für jeden Strang gültige gesamte Druckverlust lautet:

$$p_{v,ges} = \rho \cdot g \cdot (H_a - H_b) = \frac{\rho}{2} \cdot c_z^2 \cdot \left( \lambda_z \cdot L_z / D_z + \sum \xi_{zj} \right) \quad (17-29).$$

Für die Verzweigungspunkte a und b gilt die "Kirchhoffsche Knotenpunktsregel", Gl.(11-18) in der Form für inkompressible Fluide:

$$\dot{V} = \dot{V}_a = \dot{V}_b = \sum \dot{V}_z \quad (17-30).$$

Mittels des hydraulischen Widerstandes für jeden Strang (Definition siehe Gl.17-28) mit der Indexanpassung  $k \rightarrow z$  und  $ik \rightarrow zj$  läßt sich einfacher anschreiben:

$g \cdot (H_a - H_b) = R_{HI} \cdot \dot{V}_I^2 = R_{HII} \cdot \dot{V}_{II}^2 = \dots$ , wonach sich die gesuchte Lösung sofort anbahnt:

$$\dot{V}_I = \sqrt{\frac{g \cdot (H_a - H_b)}{R_{HI}}}; \quad \dots \quad \dot{V}_z = \sqrt{\frac{g \cdot (H_a - H_b)}{R_{Hz}}} \quad (17-31).$$

Bemerkungen:

(1) Aus den Gl.(17-30) und Gl.(17-31) läßt sich

$$\begin{aligned} \dot{V}^2 &= g \cdot (H_a - H_b) \cdot \frac{1}{R_{HI}} + \frac{1}{R_{HII}} + \dots = g \cdot (H_a - H_b) \cdot \sum \frac{1}{R_{Hz}} \\ \dot{V}^2 &= g \cdot (H_a - H_b) / R_{H,ges} \quad \text{mit} \quad 1/R_{H,ges} = \sum 1/R_{Hz} \end{aligned} \quad (17-32).$$

zusammenstellen, so daß die Bestimmung des Ersatzwiderstandes bei Parallelschaltungen in Elektrik und Hydraulik methodisch übereinstimmen.

- (2) Die Größe  $\dot{V}^2$  übernimmt die Rolle des elektrischen Stromes  $I$ , und der Ausdruck  $g \cdot (H_a - H_b)$  steht für die elektrische Spannung.
- (3) Mit diesen Grundlagen parallel und in Reihe geschalteter Rohrleitungen werden auch unter Einsatz elektronischer Rechner vermaschte Rohrnetze berechnet.

## 18. FLUIDDYNAMISCHER AUFTRIEB UND WIDERSTAND

### 18.1. Theorie

Wenn im 17. Abschn. besonders Kraftwirkungen, Druckverluste usw. bei durchströmten Objekten (z.B. Rohrleitungen) untersucht worden sind, dann stehen jetzt besonders Kraftwirkungen auf umströmte Objekte zur Debatte.

Im Zuge der Beschäftigung mit dem Impulssatz für stationäre Strömungen ist mit Gl. (12-50) der Kutta-Joukowskysche Auftriebssatz angezeigt worden. Die Bedeutung des Zusammenspiels zwischen paralleler Anströmung und der Zirkulation um den Tragflügel herum ist klargestellt; nicht aber die physikalische Erklärung für das Auftreten der Zirkulation. Das soll jetzt nachgeholt werden (s.S. 316) : Um den Tragflügel herum

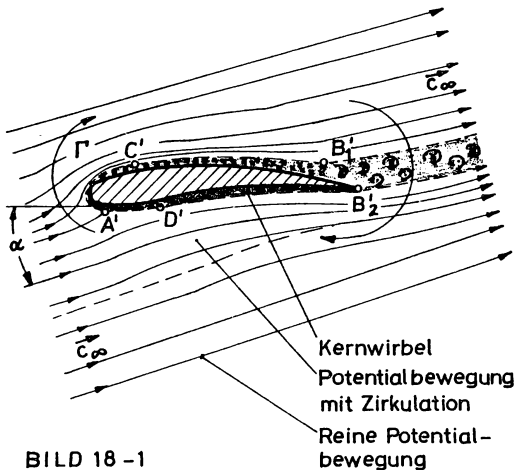


BILD 18-1

entsteht ein Grenzschichtbereich, wie ihn Bild 18-1 zeigt. In bekanntlich durch eine Art Aufrolleffekt lokale Wirbelzentren, die, wenn man sie durch Integration alle aufsummiert, Gl. (11-47 bis 11-49), zur gesamten Flügelzirkulation  $\Gamma$  führt. Integrationsweg ist dabei der Weg  $A'C'B'_1B'_2D'A'$ . Bei relativ großem Anstellwinkel  $\alpha$  wandert der Ablösungspunkt  $B'_1$  nach links, so daß das

Totwasser breiter wird. Gleichzeitig sinkt der Auftrieb wegen reduzierter Zirkulation, der Flügelgesamtwiderstand dagegen wächst, weil der Druckwiderstand, Gl. (16-21), S. 334, ansteigt: Gefahr des Überziehens ! In Bild 18-1 sind die auf S. 221 besonders herausgearbeiteten drei Geschwindigkeitsbereiche für die natürliche Tragflügelumströmung vermerkt: die Kernwirbelzone nahe der Wand; die Potentialbewegung mit Zirkulation außerhalb der Wandgrenzschicht, aber immer noch im Gebiet spürbarer Wirbelinduktion (s.S. 219/220); die reine Potentialbewegung weitab vom Profil, wo trotz Einsatzes eines natürlichen Fluids wegen der Parallelität der Strömungsfront nach Newton, Gl. (4-5), keine Reibungseffekte festgestellt werden können. - Übrigens ist die Zirkulation

proportional zum Sinus des Anstellwinkels, was dem Kommentar zu Bild 13-11 entnommen werden kann!

Aus Betrachtungen der Ähnlichkeitsmechanik, S. 339 u.a., bietet sich im turbulenten Fall die Proportionalität der Auftriebskraft zur Dichte  $\rho$  des Fluids und dem Quadrat der Geschwindigkeit  $c_\infty^2$  an. Man definiert mit

$$F_A = \frac{\rho}{2} \cdot c_\infty^2 \cdot A \cdot c_A \quad ; \quad c_A = f(Re, \alpha) \quad (18-1)$$

den Auftriebsbeiwert  $c_A$ , der in der Tragflügelforschung eine besondere Bedeutung gewonnen hat. - Die Fläche  $A$  stellt die größte ebene Projektion des Tragflügels dar.

Analogerweise notiert man für den Widerstand, Gl. (16-21)

$$F_W = \frac{\rho}{2} \cdot c_\infty^2 \cdot A \cdot c_W \quad ; \quad c_W = f(Re, \alpha) \quad (18-2) ,$$

wobei man  $c_W$  Widerstandsbeiwert nennt. Handelt es sich bei dem umströmten Körper um einen tragfähigen, dann sind die beiden Flächen in den beiden obigen Gleichungen identisch. Besitzt der Körper dagegen eine vernachlässigbare Tragfähigkeit (reiner Widerstandskörper), so versteht man unter  $A$  in Gl. (18-2) die Projektionsfläche des Körpers auf eine Normalebene zur Geschwindigkeitsrichtung. Diese Fläche ist auch Stirn- oder Spantfläche genannt.

## 18.2. Beispiele

### 1. Beispiel

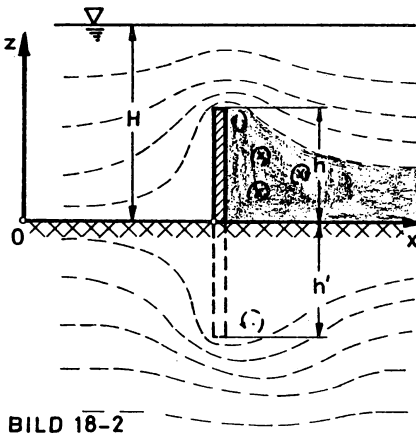


BILD 18-2

In einem Wasserkanal mit rechteckigem Querschnitt ( $B = 4 \text{ m}$ ;  $H = 2 \text{ m}$ ) wird eine rechteckige Platte ( $B = 4 \text{ m}$ ;  $h = 1 \text{ m}$ ) eingebaut, Bild 18-2. Der Wasservolumenstrom beträgt  $\dot{V} = 30 \text{ m}^3/\text{s}$ . Man ermittle:

- die Kraft  $F_W$ , welche das Fluid beim Überströmen des Widerstandskörpers - es kann hier keinen Auftrieb geben - auf die Platte ausübt. Der Widerstandsbeiwert wird mit  $c_W = 2,1$

angegeben;

b) die Widerstandskraft  $F'_W$ , wenn  $B' = 2 \cdot h = 2 \text{ m}$  gilt für  $c'_W = 1,1$ .

#### Lösungen:

a)  $F_W$ :

Zur Elimination des Einflusses vom Kanalboden geht man nach dem Prinzip der Spiegelung (Reflexionsverfahren) vor. Bei der symmetrischen Behandlung kann anschließend die untere Hälfte vergessen werden.

Volumenstrom:  $\dot{V} = B \cdot H \cdot c_\infty$ ;  $c_\infty = 30/(4 \cdot 2)$ ;  $c_\infty = 3,75 \text{ m/s}$ ;

Gl. (18-2):

$$F_W = (1000/2) \cdot 3,75^2 \cdot 4 \cdot 1,2 \cdot 1; \quad \underline{\underline{F_W = 59,063 \text{ kN}}}$$

b)  $F'_W$ :

$$\text{Gl. (18-2): } F'_W = (1000/2) \cdot 3,75^2 \cdot 2 \cdot 1,1 \cdot 1; \quad \underline{\underline{F'_W = 15,469 \text{ kN}}}$$

#### 2. Beispiel

Ein Schornstein vom mittleren Durchmesser  $D_m = 1,2 \text{ m}$  und einer Höhe von  $H = 30 \text{ m}$  soll auch bei einem starken Sturm von  $c_\infty = 40 \text{ m/s}$  stehen bleiben. -Angaben:  $\rho_{\text{Luft}} = 1,29 \text{ kg/m}^3$ ;  $\nu_{\text{Luft}} = 13,55 \cdot 10^{-6} \text{ m}^2/\text{s}$ . -  $c_W = 1,2$ , sofern  $Re > 1000$ . - Man ermittle die vom Luftstrom auf den Schornstein ausgeübte Widerstandskraft  $F_W$ , Bild 18-3.

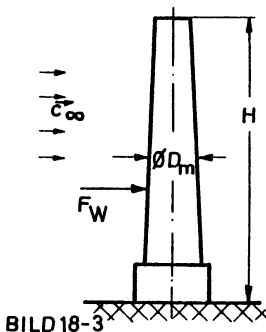


BILD 18-3

#### Lösung:

Zur Elimination des Bodeneinflusses wird wiederum vom Reflexionsverfahren Gebrauch gemacht. -Die Re-Kontrolle  $Re = c_\infty \cdot D_m / \nu = 40 \cdot 1,2 / 13,55 \cdot 10^{-6} = 3,54 \cdot 10^6$  gestattet die Verwendung des angegebenen  $c_W$ -Wertes.

Gl. (18-2):  $F_W = (1,29/2) \cdot 40^2 \cdot 30 \cdot 1,2 \cdot 1,2$ ;

$$\underline{\underline{F_W = 44,582 \text{ kN}}}$$

#### 3. Beispiel

Ein Lieferwagen von Kastenform besitzt ein Radleistung von  $P = 30 \text{ kW}$ . Seine Spantfläche (Stirnfläche) beträgt  $A = 2,5 \text{ m}^2$ ; der dementsprechende Widerstandsbeiwert lautet  $c_W = 0,6$ ;  $\rho_{\text{Luft}} = 1,29 \text{ kg/m}^3$ . -

Man ermittle:

- die Fahrzeuggeschwindigkeit  $v$  ;
- die Fahrzeuggeschwindigkeit  $v'$  eines PKWs mit einer aerodynamisch verbesserten Gestalt;  $c'_W = 0,23$ ; Leistung und Stirnfläche wie unter a).

#### Lösungen:

a)  $v$  :

Aus  $P = F_W \cdot v$  folgt mit Gl.(18-2) :  $F_W = (\rho/2) \cdot c_\infty^2 \cdot A \cdot c_W$  und  $v = c_\infty$  :

$$v = \sqrt[3]{\frac{P}{(\rho/2) \cdot A \cdot c_W}} = \sqrt[3]{\frac{30\,000}{(1,29/2) \cdot 2,5 \cdot 0,6}} ; \quad \underline{\underline{v = 31,42 \text{ m/s}}}$$

b)  $v'$ :

$$\underline{\underline{v'}} = \sqrt[3]{\frac{30\,000}{(1,29/2) \cdot 2,5 \cdot 0,23}} ; \quad \underline{\underline{v' = 43,25 \text{ m/s}}}$$

#### 4. Beispiel

Ein Sportflugzeug fliegt horizontal mit  $v = 40 \text{ m/s}$ . Die Flügelfläche beträgt  $A = 20 \text{ m}^2$ ;  $\rho_{\text{Luft}} = 1,29 \text{ kg/m}^3$ ;  $c_A = 0,7$ . -Man ermittle:

- das Flugzeuggewicht  $F_G$  ;
- die Gleitfluggeschwindigkeit  $v'$  bei  $c'_W = 0,4$  und einem Gleitwinkel  $\epsilon = 7^\circ$  .

#### Lösungen:

a)  $F_G$  :

Aus der vertikalen Gleichgewichtsbedingung  $F_A = F_G$  und der Gl.(18-1) folgt:

$$F_G = (1,29/2) \cdot 40^2 \cdot 20 \cdot 0,7 ; \quad \underline{\underline{F_G = 14,448 \text{ kN}}}$$

b)  $v'$  :

Die Bewegungsverhältnisse für den Gleitflug, also bei stillstehendem Motor, und der diesbezügliche Kräfteplan sind in Bild 18-4 zusammengestellt. -Es gilt:  $F_G \cdot \sin \epsilon = F'_W = (\rho/2) \cdot v'^2 \cdot A \cdot c'_W$  ;

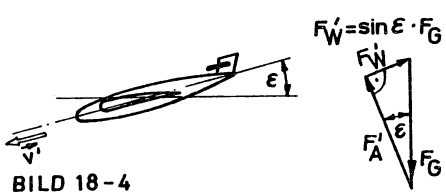


BILD 18-4

$$F'_W = \sin \epsilon \cdot F_G$$

$$v' = \sqrt{\frac{2 \cdot F_G \cdot \sin \epsilon}{\rho \cdot A \cdot c'_W}}$$

$$v' = \sqrt{\frac{2 \cdot 14448 \cdot \sin 7^\circ}{1,29 \cdot 20 \cdot 0,4}}$$

$$\underline{\underline{v' = 18,47 \text{ m/s}}}$$

### 5. Beispiel

Wie groß soll der Durchmesser eines aufgeblähten Fallschirmes sein, damit bei einem Gesamtgewicht von  $F_G = 900 \text{ N}$ ,  $c_W = 1,33$  und  $\rho_L = 1,29 \text{ kg/m}^3$  die Landungsgeschwindigkeit nur  $v = 2 \text{ m/s}$  beträgt?

#### Lösung:

Aus dem Kräftegleichgewicht  $F_G = F_W$  folgt mit Gl.(18-2):

$$F_G = (\rho/2) \cdot v^2 \cdot A \cdot c_W ; D = \sqrt{8 \cdot F_G / (\rho \cdot v^2 \cdot \pi \cdot c_W)} = 8 \cdot 900 / (1,29 \cdot 4 \cdot 1,33)$$

$$\underline{\underline{D = 18,27 \approx 20 \text{ m}}}$$

### 6. Beispiel

Ein Seitenwandausschnitt eines Wasserkanals ( Länge  $L = 3 \text{ m}$ ; Höhe  $H = 1,2 \text{ m}$ ) wird lackiert.-  $c_{\text{Wasser}} = 5 \text{ m/s}$ ;  $\nu_{\text{Wasser}} = 10^{-6} \text{ m}^2/\text{s}$ .- Man ermittle die notwendige Haftspannung, damit das vorbeiströmende Wasser die Lackschicht nicht infolge der Grenzschichtreibung aufrollt und ablöst.

#### Lösung:

Die Reibkraft an der Seitenwand- (Platten-) Oberfläche berechnet sich bei Einführung eines Widerstandsbeiwertes  $c_f$  mittels der Gleichung:

$$F_t = \tau \cdot L \cdot H = (\rho/2) \cdot c^2 \cdot L \cdot H \cdot c_f \quad (18-3).$$

Mittels der halbempirischen Beziehung von v.Kármán

$$c_f = 0,074 / \text{Re}^{0,2} \quad \text{mit} \quad \text{Re} = c \cdot L / \nu \quad (18-4)$$

ergibt sich für die Wandschubspannung und damit eben auch für die notwendige Haftspannung :  $\tau = (\rho/2) \cdot c^2 \cdot c_f$  .

In Zahlen:  $Re = 5.3/10^{-6} = 15.10^6$  ;  $c_f = 0,074/(15.10^6)^{0,2} = 0,0027$ .  
 $\tau = (1000/2) \cdot 5^2 \cdot 0,0027$  ;  $\tau = 33,96 \text{ Pa}$  .

## 19. BEISPIELE AUS DEM GEBIET DER STRÖMUNGSMASCHINEN

### 1. Beispiel

Eine Radialpumpe fördert einen Wasservolumenstrom  $\dot{V} = 0,02 \text{ m}^3/\text{s}$  über eine Gesamthöhe  $H_0 = 30 \text{ m}$ . Die freien Oberflächen in den beiden Behältern sind relativ groß. Ferner gilt  $p_1 = p_2 = p_0$ . Der Förderprozeß erfolgt verlustlos, d.h. ohne Dissipationen in Rohrleitung und Pumpe. - Man ermittle:

- die für dieses Problem zugeschnittene Energieformel in ihrer massenspezifischen Form;
- die hydraulische Leistung mit beigefügtem Kommentar zu diesbezüglichen Sonderfällen;
- die hydraulische Leistung der in Bild 19-1 vorgestellten Anlage.

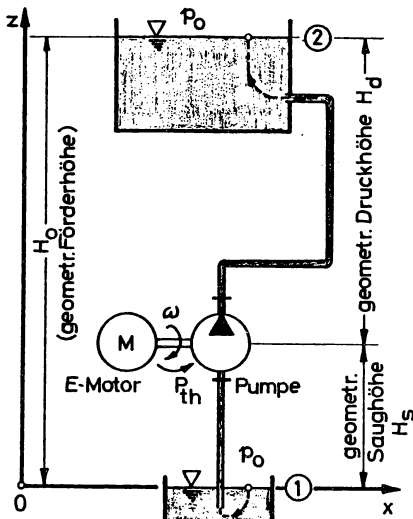


BILD 19-1

### Lösungen:

#### a) Energieformel :

Gl. (12-10), S. 232, wird für den stationären Strömungsfall folgendermaßen vereinfacht und umgeordnet angeschrieben:

$$\frac{p_1}{\rho} + \frac{c_1^2}{2} + g \cdot z_1 - 2 \int_1^2 \vec{\omega} \times \vec{c} \cdot d\vec{r} = \frac{p_2}{\rho} + \frac{c_2^2}{2} + g \cdot z_2$$

Auf der linken Seite steht das Energieangebot und die zur Verfügung gestellte Arbeit (eben für den Pumpenfall), auf der rechten Seite finden sich die Zielgrößen. Es ist üblich geworden,

für die massenspezifische Arbeit (auch spezifische Stutzen- oder Radararbeit genannt) das Symbol  $Y_{th}$  zu verwenden. Der Index th bedeutet "theoretisch", was besagt : Ohne Dissipationen könnte  $Y_{th}$  vollständig in hydraulische Arbeit/Energie umgeformt werden.



Man schreibt demzufolge:

$$Y_{th} = - 2 \cdot \int_1^2 \vec{\omega} \times \vec{c} \cdot d\vec{r} \quad (19-1).$$

Somit lautet die angepaßte Energieformel:

$$\frac{p_1}{\rho} + \frac{c_1^2}{2} + g \cdot z_1 + Y_{th} = \frac{p_2}{\rho} + \frac{c_2^2}{2} + g \cdot z_2 \quad (19-2).$$

b)  $P_h$  :

$Y_{th}$  kann sowohl als auf die Masse bezogene hydraulische Arbeit als auch auf den Massenstrom bezogene hydraulische Leistung angesehen werden, weshalb gilt:

$$P_h = \dot{m} \cdot Y_{th} \quad (19-3).$$

Setzt man aus Gl.(19-2) den Wert für  $Y_{th}$  hier ein, dann erhält man:

$$P_h = \dot{m} \cdot \left[ \left( \frac{p_2}{\rho} + g \cdot z_2 + \frac{c_2^2}{2} \right) - \left( \frac{p_1}{\rho} + g \cdot z_1 + \frac{c_1^2}{2} \right) \right] \quad (19-4).$$

Sonderfälle:

$$(1) \ p_1 = p_2 \text{ und } c_1 = c_2 : \quad P_h = \dot{m} \cdot g \cdot (z_2 - z_1) = g \cdot \rho \cdot \dot{V} \cdot H_0 \quad (19-5) ;$$

Anwendung: Pumpen-Anlagenbau wie im vorgelegten Beispiel.

$$(2) \ z_1 = z_2 \text{ und } c_1 = c_2 : \quad P_h = \dot{V} \cdot (p_2 - p_1) \quad (19-6) ;$$

Anwendung: Hochdruckhydraulik.

$$(3) \ p_1 = p_2 \text{ und } z_1 = z_2 : \quad P_h = \rho \cdot \dot{V} \cdot \left( \frac{c_2^2 - c_1^2}{2} \right) \quad (19-7) ;$$

Anwendung: Fluidbeschleunigung wie bei Schiffsschraube.

c)  $P_h$  :

$$\text{Gl.(19-5): } P_h = 9,81 \cdot 1000 \cdot 0,02 \cdot 30 ; \quad \underline{\underline{P_h = 5886 \text{ W}}} .$$

## 2.Beispiel

Folgende Begriffe, die im Strömungsmaschinenbau Bedeutung erlangt haben und sich auf die Kinematik beziehen, sollen anhand der "Erdeometrie"

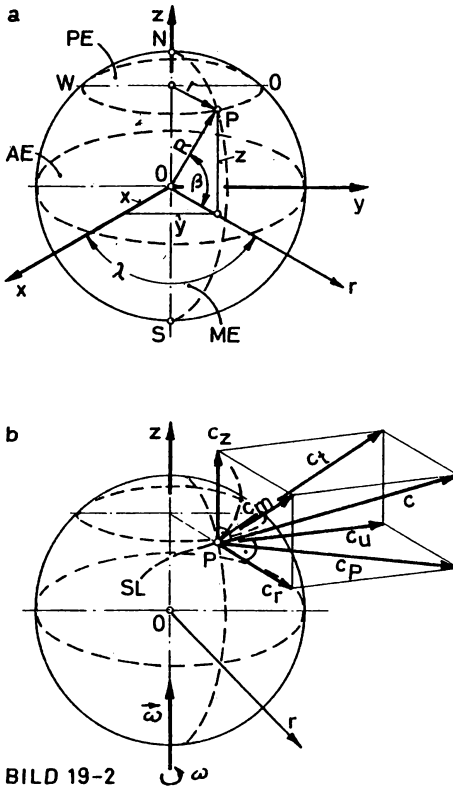


BILD 19-2

erklärt werden:

Äquatorebene, Meridianebene, Parallellebene, Geschwindigkeitsbezeichnungen, wie etwa: Axial-, Radial-, Tangential-, Meridian- und Parallelgeschwindigkeit, Geschwindigkeit in der Tangentialebene. - Außerdem ist eine Klassifikation der Strömungsmaschinen vorzunehmen mit Hilfe der in einem Maschinentyp überwiegenden Geschwindigkeitskomponenten.

#### Lösungen:

##### a) Erläuterungen:

Bezüglich der "Erdd geometrie", Bild 19-2, Pos. a, bedeuten:

- AE : Äquatorebene Oxy;
- SN : Polachse Oz (Süd-Nord);
- ME (SPN): Meridianebene eines Punktes P ;
- PE (WPO): Parallellebene des

Punktes P (West-P-Ost);

$\lambda$  : geographischer Längenwinkel; er bestimmt die Meridianebene.

$\beta$  : geographischer Breitenwinkel; er bestimmt die Parallellebene.

Folgende Koordinatensysteme sind gebräuchlich:

- (1) Kartesische Koordinaten:  $P (x, y, z)$  ;
- (2) Zylinder-Koordinaten :  $P (r, z, \lambda)$  ;
- (3) Kugel-Koordinaten :  $P (R, \lambda, \beta)$  .

Geschwindigkeitsdefinitionen nach Bild 19-2, Pos. b :

Auf einer beliebigen Stromlinie SL befindet sich ein Punkt P. Die Absolutgeschwindigkeit  $\vec{c}$  liegt bekanntlich tangential zur Stromlinie. Man spricht von :

$c_z$  : Axialkomponente ;  $c_r$  : Radialkomponente ;  $c_u$  : Umfangskomponente ; gewisse Teilresultierenden heißen:

Meridiangeschwindigkeit

$$\vec{c}_m = \vec{c}_z + \vec{c}_r \quad (19-8);$$

Parallelgeschwindigkeit

$$\vec{c}_p = \vec{c}_r + \vec{c}_u \quad (19-9)$$

Geschwindigkeit in der  
Tangentialebene

$$\vec{c}_t = \vec{c}_z + \vec{c}_u \quad (19-10).$$

b) Klassifikation von Strömungsmaschinen :

- (1) Gilt  $c_z \gg c_r$  ,dann spricht man von Axialmaschinen: Kaplan-Turbinen,Axialpumpen,Axialdampfturbinen,Axial-Gasturbinen,Axialventilatoren,Axialgebläse,Axialkompressoren;
- (2) gilt  $c_r \gg c_z$  ,dann spricht man von Radialmaschinen: Francis-Turbinen,Radialpumpen,Radialdampfturbinen,Radialgasturbinen,Radialventilatoren,Radialgebläse,Radialkompressoren;
- (3) gilt  $c_u \gg c_r, c_z$  ,dann spricht man von Tangentialmaschinen: Pelton-Turbine,Elektra-Turbine ;
- (4) gilt  $c_z \approx c_r$  ,dann spricht man von Halbaxial- oder Diagonalmaschinen: Francis-Turbinen,Unterwassermotor-Pumpen u.a.

Bemerkung:

Für die Auslegung von Strömungsmaschinen sind noch folgende Beziehungen bedeutungsvoll:

$$\begin{aligned} \vec{u} &= \vec{\omega} \times \vec{r} ; \quad \vec{c} = \vec{u} + \vec{w}, \text{ weil } \vec{v} \rightarrow \vec{u} ; \quad \vec{c}_u = \vec{u} + \vec{w}_u \\ c_m &\equiv w_m ; \quad c_r \equiv w_r ; \quad c_z \equiv w_z \end{aligned} \quad (19-11).$$

3.Beispiel

Im Verlauf der Grobauslegung eines radialen Pumpenlaufrades sind jetzt bekannt: die Kanalgeometrie bis auf die definitiven Schaufelwinkel und die Geschwindigkeitsdreiecke am Laufradein- und Laufradaustritt bezüglich der Parallelebenen 1 und 2 .-Man ermittle:

- a) die Meridiangeschwindigkeiten an Ein- und Austritt  $\vec{c}_{m1}$  und  $\vec{c}_{m2}$  ;
- b) die wahren Größen der Absolut- und Relativgeschwindigkeiten  $\vec{c}_1, \vec{c}_2$ ,  $\vec{w}_1$  und  $\vec{w}_2$  ;
- c) den Hodografen zur Lagenabgrenzung eines mittleren Geschwindigkeits-



b)  $\vec{c}_1, \vec{c}_2, \vec{w}_1, \vec{w}_2$  :

Die beiden gegebenen, in Parallelebenen liegenden Geschwindigkeitsdreiecke werden in zulässiger Weise übereinander gezeichnet, Bild 19-3, Pos. c. Aus den Geschwindigkeitsdreiecken im Meridianschnitt lassen sich auch die Axialkomponenten  $c_{1z}$  und  $c_{2z}$  abgreifen. Die Tatsache, daß z-Komponenten senkrecht auf P-Komponenten stehen, führt zusammen mit der Aussage in Gl. (19-11) zur Bestimmung der wahren Geschwindigkeiten, wie es in Bild 19-3, Pos. c, grafisch gezeigt worden ist.

c) Hodograf:

Die wahren Geschwindigkeitsdreiecke sind in Bild 19-3, Pos. d, übereinander gezeichnet, obwohl die Ebenen der Geschwindigkeitsdreiecke verschiedene räumliche Lagen haben. Die Verbindungslinie GH ist der geometrische Ort für die Spitzen der zwischenliegenden Geschwindigkeitsdreiecke. Diese Linie wird auch Hodograf genannt.

d) Räumliche Darstellung der Geschwindigkeitsverhältnisse:

In Bild 19-3, Pos. e, sind alle erwähnten Geschwindigkeitskomponenten für einen beliebigen Punkt O im Laufradkanal räumlich zusammengestellt.

e)  $\dot{\vec{V}}$  :

Man ermittle den Volumenstrom beispielsweise in der Laufradaustrittsfläche  $A_2 = \pi \cdot D_2 \cdot b_2$ , Bild 19-3, Pos. b. Die Absolutgeschwindigkeit  $\vec{c}_2$  setzt sich nach dem ersten Satz von Coriolis vektoriell aus der Relativgeschwindigkeit  $\vec{w}_2$  und der Fahrzeuggeschwindigkeit  $\vec{v} = \vec{u}_2$  zusammen. Damit gilt für die Volumenstromberechnung Gl. (11-19), S. 195. An Stelle des Massenstromes darf hier wegen der Inkompressibilität mit dem Volumenstrom gerechnet werden:

$$\dot{\vec{V}} = \dot{\vec{V}}_F + \dot{\vec{V}}_r = \vec{n} \cdot \vec{u}_2 \cdot A_2 + \vec{n} \cdot \vec{w}_2 \cdot A_2 \quad ; \text{ da } \vec{n} \perp \vec{u}_2 \text{ steht, ist } \dot{\vec{V}}_F = 0.$$

Es bleibt:

$$\dot{\vec{V}} = \dot{\vec{V}}_r = \vec{n} \cdot \vec{w}_2 \cdot A_2 = w_{2r} \cdot A_2 = c_{2r} \cdot A_2 \quad (19-12).$$

Für genauere Berechnungen wird sinngemäß Gl. (11-39), S. 205, empfohlen.

#### 4. Beispiel

Es ist die Bernoulli-Formel für die Relativströmung eines radialen Pumpenlaufrades aufzustellen. Man greife hierfür die mittlere Stromlinie eines Schaufelkanals heraus (Bild 19-3, Pos. b): 1-2 !

#### Lösung:

Die Bernoulli-Formel lautet nach S. 229 für die inkompressible, stationäre und reibungsfreie Strömung im absoluten Strömungsfall:

$$p_1/\rho + c_1^2/2 + e_{p1} = p_2/\rho + c_2^2/2 + e_{p2} = \text{Konst.}$$

Um diesen Zusammenhang analog verwenden zu können, und zwar für eine Stromlinie im Fahrzeug (Lauftrad), sind zuerst die Absolutgeschwindigkeiten durch Relativgeschwindigkeiten zu ersetzen; danach ist die passende Beziehung für die massenspezifische potentielle Energie  $e_p$  einzubringen. Greift man dabei auf die Ergebnisse zurück, die bei der Untersuchung in rotierenden Gefäßen gefunden worden sind, ob mit vertikaler oder horizontaler Achse, so läßt sich für  $e_p$  notieren: S. 148, Gl. (9-18) und S. 158, (1):

$e_p = -(\omega_F^2/2) \cdot r'^2 + g \cdot z' + \text{Const}$  ; geht  $r' \rightarrow r$  und  $z' \rightarrow z$ , so folgt schließlich:

$$\boxed{\frac{p_1}{\rho} + \frac{w_1^2 - u_1^2}{2} + g \cdot z_1 = \frac{p_2}{\rho} + \frac{w_2^2 - u_2^2}{2} + g \cdot z_2} \quad (19-13).$$

#### 5. Beispiel

Geometrie und Geschwindigkeiten eines radialen Pumpenlaufrades sind vorgegeben. In Bild 19-4 werden nur die notwendigsten Angaben eingezeichnet. Da es sich um einen Parallelschnitt handelt, sind die wahren Geschwindigkeitskomponenten durchgezogen, die verzerrten Geschwindigkeiten und Winkel strichliert worden. -Voraussetzungen: dissipationsfreie Strömung; die Strömungswinkel  $\beta_1$  und  $\beta_2$  sollen mit den geometrischen Schaufelwinkeln übereinstimmen; konstante Geschwindigkeitsverteilung in den Querschnitten  $A_1, A_2, \dots, A_i$ . -Man ermittle:

- das Antriebsdrehmoment  $M$  ;
- das Antriebsdrehmoment  $M$  unter Einsatz der Zirkulation  $\Gamma$  ;
- die mechanische Antriebsleistung  $P_m$  ;

- d) die hydraulische Leistung  $P_h$  ;
- e) die massenspezifische Antriebsarbeit  $Y_m$  und die massenspezifische hydraulische Arbeit  $Y_{th}$  ;
- f) Vergleich der Bernoulliformel für die Relativströmung mit der Energieformel für die Absolutströmung;
- g) Gegenüberstellung von den massenspezifischen Arbeiten: hydraulische Arbeit, Rad- oder Stutzenarbeit, Wirbelarbeit, mechanische Antriebsarbeit:  $Y_{th}, Y_{Wirbel}, Y_m$  .

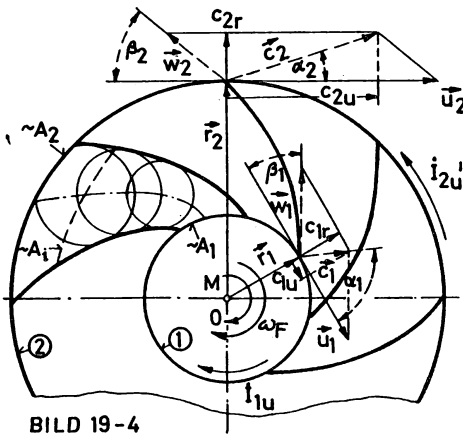


BILD 19-4

### Lösungen:

#### a) M :

Betrachtet man den Laufradinhalt zwischen den Ringflächen  $A_1$  und  $A_2$  als Kontrollraum, dann wird das dynamische Drehmomentengleichgewicht :  $\vec{M} - d\vec{D}/dt = 0$  , durch Gl.(12-33), S.270, ausgedrückt. Es halten sich das Gleichgewicht:

- (1) das von der Antriebswelle herkommende mechanische Antriebsmoment  $\vec{M} = \sum \vec{M}_i$ ,

im Uhrzeigersinn drehend; es wird von den Schaufeln aufs Fluid übertragen;

- (2) das Moment der Umfangskomponente der Reaktion des austretenden Impulsstromes  $\vec{i}_{2u} \times \vec{r}_2 = \dot{m} \cdot c_{2u} \cdot r_2$  ;

- (3) das Moment der Umfangskomponente des eintretenden Impulsstromes  $\vec{i}_{1u} \times \vec{r}_1 = \dot{m} \cdot c_{1u} \cdot r_1$  . - Es gilt also:

$$M = \dot{m} \cdot (c_{2u} \cdot r_2 - c_{1u} \cdot r_1) \quad (19-14).$$

#### b) M in Verbindung mit $\Gamma$ :

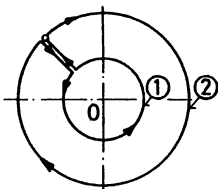


BILD 19-5

Bildet man nach Vorschrift von Gl.(11-49), S.216, und zwar längs der geschlossenen Kurve, wie man sie in Bild 19-5 erkennt, die Zirkulation, dann folgt, da sich die Zirkulationsbeiträge der Radialwege aufheben:

$$\Gamma_2 - \Gamma_1 = 2 \cdot \pi \cdot (c_{2u} \cdot r_2 - c_{1u} \cdot r_1) \cdot$$

Setzt man diese Beziehung in Gl.(19-14) ein, dann zeigt sich:

$$M = \frac{\dot{m}}{2\pi} \cdot (\Gamma_2 - \Gamma_1) = \dot{m} \cdot Y_{\text{Wirbel}} / \omega_F \quad (19-15).$$

c)  $\underline{P_m}$  :

Sie lautet einfach

$$P_m = M \cdot \omega_F = \dot{m} \cdot (c_{2u} \cdot u_2 - c_{1u} \cdot u_1) \quad (19-16).$$

d)  $\underline{P_h}$  :

Im dissipationsfreien Fall kann die mechanisch zugeführte Leistung vollständig in hydraulische Leistung umgeformt werden:

$$P_h = P_m \quad (19-17).$$

e)  $\underline{Y_m}$  und  $\underline{Y_{th}}$  :

Wegen Gl.(19-17) folgt aus den Gl.(19-3) und Gl.(19-16) :

$$Y_m = Y_{th} = c_{2u} \cdot u_2 - c_{1u} \cdot u_1 \quad (19-18).$$

Das ist aber die berühmte Eulersche Pumpen-Hauptgleichung.

f) Vergleich der Bernoulli-formel für die Relativströmung mit der Energieformel für die Absolutströmung :

Ersetzt man in Gl.(19-13) die Ausdrücke  $(w_1^2 - u_1^2)$  mit Hilfe des Cosinus-Satzes :  $w_1^2 = u_1^2 + c_1^2 - 2 \cdot u_1 \cdot c_1 \cdot \cos \alpha_1$  - man beachte die Geschwindigkeitsdreiecke in Bild 19-4 - ,dann bekommt man:

$$\frac{p_1}{\rho} + \frac{c_1^2}{2} + g \cdot z_1 + (c_{2u} \cdot u_2 - c_{1u} \cdot u_1) = \frac{p_2}{\rho} + \frac{c_2^2}{2} + g \cdot z_2 \quad (19-19).$$

Das ist also die weiterentwickelte Bernoulli-formel für die Relativströmung.

Man stellt nun mit einiger Überraschung fest, wenn man Gl.(19-18) in Gl.(19-2), die sogenannte Energieformel, einführt: Es ergibt sich eine mit Gl.(19-19) identische Beziehung! - Ergebnis: Die Bernoulli-formel für die Relativbewegung ist nichts anderes als die Energieformel für die Absolutbewegung!

g) Vergleich diesbezüglicher, massenspezifischer Arbeiten: Im dissipationsfreien Fall folgt:  $Y_{th} = Y_{\text{Wirbel}} = Y_m$  in Zusammenstellung:

$$Y_{th} = -2 \cdot \int_{1,2} \vec{\omega} \times \vec{c} \cdot d\vec{r} = c_{2u} \cdot u_2 - c_{1u} \cdot u_1 = \frac{\omega_F}{2\pi} \cdot (\Gamma_2 - \Gamma_1) .$$



Bemerkungen:

- (1) Ein Vergleich der Gl.(19-13) und Gl.(19-19) liefert eine weitere Beziehung für die massenspezifische Radarbeit, womit man einen besonderen Einblick in das kinematische Geschehen einer Strömungsmaschinenstufe bekommt:

$$Y_{th} = \frac{c_2^2 - c_1^2}{2} + \frac{w_1^2 - w_2^2}{2} + \frac{u_2^2 - u_1^2}{2} \quad (19-20).$$

- (2) Die Ableitungen in Abschn. 19 sind bezüglich  $Y_{th}$  für "Arbeitsmaschinen" vorgenommen worden : Pumpen, Ventilatoren, Gebläse, Verdichter u.a.  
Läßt man  $Y_{th} \rightarrow -Y_{th}$  gehen, dann ergeben sich die notwendigen Zusammenhänge für "Kraftmaschinen" : Turbinen u.a.
- (3) Die fluidmechanische Kopplung zwischen den Kanalwänden einer Strömungsmaschine und dem Fluid wird durch die in diesem Buch vorgestellte mechanische Wirbelarbeit, Gl.(19-1), hergestellt.

6.Beispiel

Mit Hilfe der Dimensionsanalyse soll für den Strömungsmaschinenbau eine Leistungskennzahl ermittelt werden, so daß man an Modellmaschinen gemessene Leistungen auf Normalmaschinen übertragen kann.

Lösung:

Als die Leistung bestimmende Haupteinflußgrößen sind erkannt worden: die Fluidichte  $\rho$ , die Umfangsgeschwindigkeit  $u$ , ein Laufreihenradius  $R$  (man bezieht sich hier meistens auf den Größtwert),  $\dot{V}$  u. die massenspezifische Radarbeit  $Y_{th}$ . -Sinngemäß folgt nach Gl. (15-2) und Gl.(15-3):

$$P_M = f(\rho, u, R, \dot{V}, Y_{th}) = \sum k_i \cdot \rho^{x_1} \cdot u^{x_2} \cdot R^{x_3} \cdot \dot{V}^{x_4} \cdot Y_{th}^{x_5} ; \text{ nun folgt weiter: } \dim P = (\dim \rho)^{x_1} \cdot (\dim u)^{x_2} \cdot (\dim R)^{x_3} \cdot (\dim \dot{V})^{x_4} \cdot (\dim Y_{th})^{x_5}.$$

Einführung der Symbole für die Grunddimensionen:

$$M \cdot L^2 \cdot T^{-3} = (M \cdot L^{-3})^{x_1} \cdot (L \cdot T^{-1})^{x_2} \cdot L^{x_3} \cdot (L^3 \cdot T^{-1})^{x_4} \cdot (L^2 \cdot T^{-2})^{x_5}.$$

Exponentenvergleich:

$$\left. \begin{array}{lcl} M & : & 1 = x_1 \\ L & : & 2 = -3 \cdot x_1 + x_2 + x_3 + 3 \cdot x_4 + 2 \cdot x_5 \\ T & : & -3 = -x_2 - x_4 - 2 \cdot x_5 \end{array} \right\} \begin{array}{l} \text{Man eliminiert} \\ x_1, x_2 \text{ und } x_3 ! \end{array}$$

Damit folgt also:  $x_1 = 1$  ;  $x_2 = 3 - x_4 - 2 \cdot x_5$  ;  $x_3 = 2 - 2 \cdot x_4$  .

Für die Leistung ergibt sich jetzt:

$$P_M = \sum k_i \cdot \varrho \cdot u^{3-x_4-2 \cdot x_5} \cdot R^{2-2 \cdot x_4} \cdot \dot{V}^{x_4} \cdot Y_{th}^{x_5} \quad \text{oder}$$

$$P_M = \varrho \cdot u^3 \cdot R^2 \cdot \sum k_i \cdot u^{-x_4-2 \cdot x_5} \cdot R^{-2 \cdot x_4} \cdot \dot{V}^{x_4} \cdot Y_{th}^{x_5} \quad ; \text{ebenso kann}$$

man schreiben:

$$P_M = \frac{\varrho}{2} \cdot u^2 \cdot \pi \cdot R^2 \cdot u \cdot \sum \frac{2}{\pi} \cdot k_i \cdot \left[ \frac{\dot{V}}{u \cdot R^2} \right]^{x_4} \cdot \left[ \frac{Y_{th}}{u^2} \right]^{x_5} .$$

Daraus folgt die Definition der gesuchten dimensionslosen Leistungszahl:

$$\lambda = \frac{P_M}{(\varrho/2) \cdot u^3 \cdot \pi \cdot R^2} = \underbrace{\sum \frac{2}{\pi} \cdot k_i \cdot \left[ \frac{\dot{V}}{u \cdot R^2} \right]^{x_4} \cdot \left[ \frac{Y_{th}}{u^2} \right]^{x_5}}_{K_M} \quad (19-21).$$

Die analogen Ausführungen auf S.323 besagen, daß die für dieses Problem erhaltene Globalkennzahl  $K_M$  für die Übertragbarkeit einzuhalten ist. Man sucht, diese Forderung durch Gleichhaltung der Basiswerte in der vorgelegten Potenzreihe zu erfüllen. Die geklammerten Basiswerte sind in folgender Form bekannt als:

$$\text{Lieferzahl } \varphi = \frac{\dot{V}}{u \cdot \pi \cdot R^2} \quad \text{und Druckzahl } \psi = \frac{Y_{th}}{u^2/2} \quad (19-22).$$

Bringt man diese derart definierten Kennzahlen mit der hydraulischen Leistung  $P_h$ , Gl.(19-3), in Verbindung und verwertet man gleichzeitig Gl.(19-21), dann erhält man das Ähnlichkeitsgesetz für Turbomaschinen nach Rateau:

$$\lambda = \varphi \cdot \psi \quad (19-23).$$

Bildet man den Volumenstrom mit  $\dot{V} = \pi \cdot R^2 \cdot u \cdot \varphi$ , die spezifische Förder- oder Fallhöhe  $H_{th} = Y_{th}/g = (u^2/2g) \cdot \psi$  und die Umfangsgeschwindigkeit  $u = R \cdot (n \cdot 2\pi)/30$ , so läßt sich der Radius eliminieren, damit man eine andere von der Maschinengröße unabhängige Kennzahl bekommt:

$$\frac{\dot{V}^2}{H_{th}^2} = \frac{\pi^4 \cdot n^2 \cdot \varphi^2 \cdot \cancel{R^6} \cdot 30^6 \cdot 2^3 \cdot g^3}{30^2 \cdot \pi^6 \cdot n^6 \cdot \psi^3 \cdot \cancel{R^6}} = \frac{30^4 \cdot 2^3 \cdot g^3}{\pi^2 \cdot n^4} \cdot \frac{\varphi^2}{\psi^3}; \text{ eine Umgruppierung}$$

und das Ziehen der vierten Wurzel ergibt eine Beziehung, die unter dem Namen spezifische, aber dimensionsbehaftete Drehzahl bekannt ist:

$$n_q = n \cdot \frac{\dot{V}^{0,5}}{H_{th}^{0,75}} = 157,79 \cdot \frac{\varphi^{0,5}}{\psi^{0,75}} \quad (19-24).$$

Die Maßeinheit von  $n_q$  ist  $(l/min) \cdot m^{0,75} \cdot s^{-0,5}$ ; überraschenderweise wird in der Literatur nur von  $l/min$  gesprochen!

Den dimensionslosen Teilausdruck

$$\sigma = \varphi^{0,5} / \psi^{0,75} \quad (19-25)$$

nennt man nach Keller "Schnellaufzahl".- Unter der dimensionsbehafteten, spezifischen Drehzahl kann man sich beispielsweise eine zu einem Prototyp geometrisch ähnliche Pumpe vorstellen, die bei einem Meter Förderhöhe einen Volumenstrom von  $1 \text{ m}^3/s$  fördert.

#### T E I L   I V :   G A S D Y N A M I K

### 20. GRUNDBEGRIFFE DER GASDYNAMIK

#### 20.1. Einführung

Als Fluid kommen hier nur vollkommene Gase in Betracht (S.180). Die diesbezüglichen physikalischen Eigenschaften sind bei S. 35 bis 42 zusammengestellt: Masse, Druck, Zähigkeit, Leichtgewichtigkeit, Ausdehnbarkeit, Diffusion, Kompressibilität, Schallgeschwindigkeit und Wärmeeigenschaften.

Die Berechnung von Druckkräften hat nach Gl.(7-16),S.87,zu erfolgen.Es ist besonders dabei zu beachten,daß der Angriffspunkt der Druckkraft mit dem Schwerpunkt der projizierten Fläche zusammenfällt.

In der Gasdynamik wird der Schwereeinfluß ausnahmslos vernachlässigt.-Bei der Beschäftigung mit Gasen ist nur in den Aerostatik-Beispielen 5 und 6,S.173 und 176,die Erdschwere zu beachten gewesen.

Die Ausdehnbarkeit und die Kompressibilität - beide zusammen bilden die Elastizität von Gasen - spielen in der Gasdynamik eine zentrale Rolle.Dichteänderungen bilden einen wichtigen Problemkreis dabei.

Gasströmungen niedriger Geschwindigkeit und geringer Dichteänderungen dürfen mit den fluiddynamischen Gesetzmäßigkeiten behandelt werden.Wo die vereinbarte Grenze liegen mag,wird in Abschn. 21.3.2,S.386,noch behandelt werden.

## 20.2. Thermodynamisches Verhalten der Gase

### 20.2.1. Allgemeines

In der Gasdynamik muß man den Wärmeeigenschaften der Fluide ganz besondere Aufmerksamkeit schenken.

Die klassische Thermodynamik beschäftigt sich mit Gleichgewichtszuständen und den Übergängen (Prozeßwege,Prozeßführungen) vom einen zum anderen Zustand.Man muß in der Technik also praktisch immer zum Kompromiß von Quasi-Gleichgewichtszuständen bereit sein, was glücklicherweise oft zu genügend genauen Ergebnissen führt. Hier soll in Ergänzung zu Abschn. 3.5.1,S.36,eine Zustandsgröße auch noch folgendermaßen definiert werden: Von einer Zustandsgröße ist dann die Rede,wenn die Differenz der betreffenden physikalischen Größe nur von den beiden Systemzuständen abhängt,gleichgültig,wie es zu den beiden Systemzuständen gekommen ist.

In der Fluidmechanik ist es doch üblich,zur genaueren Untersuchung von Kräftegleichgewicht,Massenbilanz usw. Kontrollräume aus dem gesamten Fluidbereich herauszutrennen oder freizumachen.Eine analoge Arbeitsweise kennt man ebenfalls in der Thermodynamik.Nur spricht man dabei von einem System.

Den bisher (Abschn.3.5) besprochenen Wärmeeigenschaften lag immer ein geschlossenes System zugrunde,was besagt,daß man es bei einer

Zustandsänderung immer mit derselben Fluidmasse zu tun gehabt hat: Volumen, Temperatur usw. können sich ändern, nicht aber die Fluidmasse.

Bei den thermischen Turbomaschinen (Dampfturbinen, Gasturbinen, Kompressoren) beispielsweise ändert aber dauernd die Fluidmasse im Kontrollraum. In diesem Fall liegt ein sogenanntes offenes System vor. Wie man die thermodynamischen Erkenntnisse, die an geschlossenen Systemen gewonnen worden sind, auf offene Systeme (Kontrollräume) überträgt, ist mithin Aufgabe der folgenden Abschnitte.

Sieht man von elektrischen, magnetischen, auf der Kapillarität und der Gravitation beruhenden Wirkungen bezüglich der vollkommenen Gasen ab, dann darf von einem einfachen System gesprochen werden, das erfahrungsgemäß durch drei Zustandsgrößen beschrieben werden kann. Den diesbezüglichen Zusammenhang muß man experimentell beschaffen (thermische und kalorische Zustandsgleichungen).

Man kennt direkt meßbare und abgeleitete Zustandsgrößen. Als direkt meßbar können gelten: die drei thermischen Zustandsgrößen "Druck, Temperatur, Volumen" und die Masse. - Als abgeleitete Zustandsgrößen gelten die drei kalorischen Zustandsgrößen, von denen zwei: die innere Energie und die Enthalpie, S. 39, bereits bekannt sind.

Energie ist im allgemeinen Sprachgebrauch definiert als die Fähigkeit, Arbeit zu verrichten. Das ist aber unscharf. Seit Gl. (1-13), S. 8, ist aber bekannt, daß bei der Verwendbarkeit der Energie ihr exergetischer Anteil allein den Ausschlag gibt, was nie vergessen werden möge. Jede Energieerscheinungsform ist unbedingt auf ihren wandlungsfähigen und nichtwandlungsfähigen Anteil zu untersuchen.

Jede Energieerscheinungsform ist im Gleichgewichtszustand eine Zustandsgröße. Sie ist es nicht mehr, wenn sie sich auf Wanderschaft befindet, wie die Wärme (Abschn. 20.2.3) oder die mechanische Arbeit. Beide sind Prozeßgrößen, Austauschgrößen oder Transformationsgrößen, also von der Prozeßführung oder dem Weg abhängig. Wärme u. mechanische Arbeit sind also Energieerscheinungsformen, aber dabei keine Zustandsgrößen.

Die allgemeine Zustandsgleichung für vollkommene Gase, Gl. (3-6), S. 38, wird jetzt zur Diskussion gestellt:  $p \cdot V = m \cdot R \cdot T$ . Die physikalischen Größen  $p, V, m, T$  können im Gleichgewichtszustand "relativ einfach" gemessen werden. Da es sich bei allen vier um Zustandsgrößen handelt, stellen beide Gleichungsseiten wiederum, wenn auch zusammengesetzte Zustandsgrößen dar, und zwar von der Dimension einer Energie. In Gl. (1-9), S. 7, ist  $p \cdot V$  bereits als Druckenergie

eingeführt worden. Es wird nun hier der Vorschlag gemacht, das Produkt  $m \cdot R \cdot T$  "thermische Energie"  $E_{thm}$  zu nennen.

Nimmt man an, einem geschlossenen System durch Arbeits- und Wärmezufuhr oder -abfuhr eine Zustandsänderung vor, dann folgt durch Differenzbildung ohne weiteres:

$$p_2 \cdot V_2 - p_1 \cdot V_1 = m \cdot R \cdot (T_2 - T_1) = \Delta E_{thm} \quad (20-1).$$

Auf die Änderung der Druckenergie ist bereits in Gl. (3-5), S. 38, hingewiesen worden. Nur ist hier die Koppelung mit der thermischen Energie vorgenommen worden. - Entwickelt man obige Gleichung weiter mit den Beziehungen aus Gl. (3-9; 3-10; 3-12), dann folgt:

$$p_2 \cdot V_2 - p_1 \cdot V_1 = m \cdot (c_p - c_v) \cdot (T_2 - T_1) = \Delta H - \Delta U \quad (20-2).$$

#### 20.2.2. Arbeit der Druckkraft und Druckarbeit (Volumen- und Druckänderungsarbeit)

Da  $p \cdot V$  eine Zustandsgröße ist, darf man von dieser Größe das totale Differential bilden; desgleichen von  $m \cdot R \cdot T$  :  $dE_d = dE_{thm}$  ;

$$d(p \cdot V) = p \cdot dV + V \cdot dp = m \cdot R \cdot dT \quad (20-3).$$

Die Integration führt zu:

$$p_2 \cdot V_2 - p_1 \cdot V_1 = \int_{1.2} p \cdot dV + \int_{1.2} V \cdot dp = m \cdot R \cdot (T_2 - T_1) \quad (20-4).$$

Das erste Integral hiervon heißt auch Arbeit der Druckkraft oder, wie üblich, Volumenänderungsarbeit. (Der letzte Ausdruck ist nicht ganz treffend, weil ja das Volumen als geometrische Größe keine Arbeit verrichten kann). - Zur weiteren Erläuterung dient Bild 20-1. Ein gasgefüllter, elastischer Ballon befindet sich in Vakuum-Umgebung. Durch Wärme- und Arbeitszufuhr ( $Q; W$ ) geht der Zustand ( $V_1; p_1; T_1$ ) des geschlossenen Systems über in den Zustand ( $V_2; p_2; T_2$ ). Die elementare Druckkraft  $\vec{n} \cdot p \cdot dA$  verrichtet lokal die Arbeit  $dW = p \cdot dA \cdot d\vec{r}$ . Dafür kann man auch schreiben:  $dW = p \cdot dV$ . Auf diese Art läßt sich der Name "Arbeit der Druckkraft" erläutern:

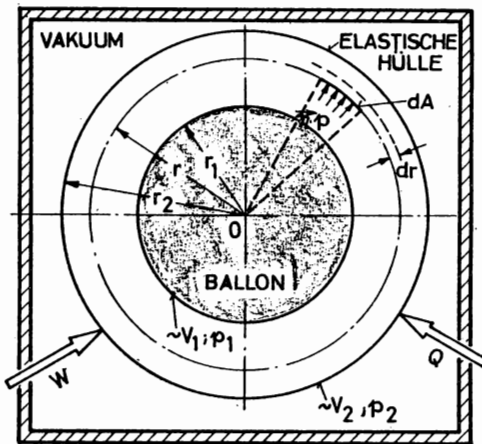


BILD 20-1

$$W_{Fp} = \int_{1.2} p \cdot dV \quad (20-5).$$

Das zweite Integral in Gl.(20-4) möge Druckarbeit oder Druckänderungsarbeit genannt werden. Denn hier ist es die mechanische Größe "Druck", die zur Arbeitsverrichtung herangezogen wird. (Für den dissipationsfreien Fall ist für diesen Ausdruck auch die Bezeichnung "technische Arbeit" gebräuchlich; davon wird ebenfalls kein

weiterer Gebrauch gemacht, weil nicht nur das Integral  $\int V \cdot dp$  technische Bedeutung hat.)- Die Druckarbeit lautet also :

$$W_p = \int_{1.2} V \cdot dp \quad (20-6).$$

Stellt man die thermische Zustandsgleichung, Gl.(3-6), grafisch dar, dann stößt man auf ein Hyperboloid mit dem absoluten Nullpunkt als Koordinatenursprung. Legt man Schnittflächen zur  $p, V$ -Ebene, so ergeben sich gleichseitige Hyperbeln, Bild 20-2. Außerdem ist eine Zustandsänderung (Expansion) von 1 → 2 eingetragen. Man findet dabei eine geometrische Veranschaulichung von Gl.(20-4). Flächen im  $pV$ -Diagramm sind ein Maß für verrichtete Arbeiten.

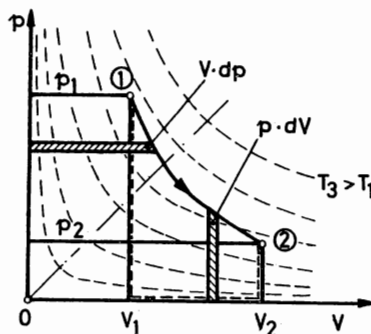


BILD 20-2

### 20.2.3. Wärme

Zu den Behandlungsgegenständen der Abschn.(2.9.1;3.5.7 ÷ 3.5.10):  
Wärmemenge, Wärmeaustausch, innere Energie, Enthalpie und erster Hauptsatz der Thermodynamik werden hier noch ein paar Ergänzungen nachgereicht.

Zunächst wird vereinbart, daß bei Ableitungen extensive Größen (Abschn. 1.3.3, S.5) durch Massenbezug zu spezifischen Größen (Abschn. 1.3.4, S.5) gemacht werden, weshalb nun kleingeschriebene Symbole verwendet werden. Z.B.:  $V/m = v$  ;  $Q/m = q$  u.a.

Es gibt grundsätzlich nur "die" Energie, aber verschiedene Energieerscheinungsformen. So kennt man mechanische Energie, elektrische und magnetische Energie, kalorische Energie u.a.

Zur kalorischen Energieerscheinungsform gehören nun folgende, bereits bekannte physikalische Größen: die Wärme, die innere Energie, die Enthalpie und die sogenannte thermische Energie. Nach den bisher vorliegenden Betrachtungen ist von diesen vier Größen nur die Wärme keine Zustandsgröße. Wegen ihres dynamischen Charakters ist sie eine Prozeßgröße, eine Austauschgröße oder, wie man auch noch sagt: eine Transformationsgröße. - Wenn man in diesem Zusammenhang sich der mechanischen Arbeit erinnert, die gleichermaßen wegababhängig ist und dabei zur Familie der mechanischen Energieerscheinungsformen gehört, dann kann man doch die sogenannte WÄRME analogerweise KALORISCHE ARBEIT nennen. Mit diesem Begriff ist nämlich die Wärme genauer definiert.

Wegen der Berechnung von der inneren Energie mit  $c_v$ , der spezifischen Wärme bei isochorem Wärmeaustausch, und der Enthalpie mit  $c_p$ , der spezifischen Wärme bei isobarem Wärmeaustausch, könnte man daran zweifeln, ob die innere Energie  $u$  und die Enthalpie  $h$  tatsächlich Zustandsgrößen sind, da ja  $c_v$  und  $c_p$  wegababhängig sind. Zur weiteren Beurteilung dieser Situation wird durch Bezugnahme auf das absolute Vakuum ( $T=0$ ;  $p=0$ ;  $v=0$ ) mit Hilfe der Gl.(3-9), Gl.(3-10) und Gl.(20-1) folgende Gegenüberstellung möglich:

$$u = c_v \cdot T \quad ; \quad h = c_p \cdot T \quad ; \quad e_{thm} = R \cdot T \quad (20-7).$$

Bei vollkommenen Gasen dürfen die "Faktoren"  $c_v$ ,  $c_p$  und  $R$  als konstant angesehen werden. Diese Konfrontation möge die Zweifel beseitigen; denn in allen drei Fällen wird die absolute Temperatur mit einem konstanten Faktor multipliziert, der sich aus den thermodynamischen Ableitungen ergab und "zufällig" für die Ermittlung von  $u$  und  $h$  mit einer



bekannten, wegabhängigen Größe korrespondiert. Zur weiteren Übersicht werden die Gl. (3-9), Gl. (3-10), Gl. (3-11) und Gl. (3-13) zusammengefaßt:

$$\begin{aligned} dq &= du + p.dv = dh - v.dp \\ dq &= c_v.dT + p.dv = c_p.dT - v.dp \end{aligned} \quad (20-8).$$

Daraus läßt sich auch ableiten:

$$dh = du + p.dv + v.dp = du + d(p.v) ;$$

für die Enthalpie in ihrer massenspezifischen Form ergibt sich schließlich:

$$h = u + p.v \quad (20-9).$$

#### 20.2.4. Entropie

Mit Hilfe des Schwartzschen Satzes (Abschn. 11.2.3) kann man erneut die Wegabhängigkeit der kalorischen Arbeit (Wärme) nachweisen:

Gl. (3-5) und Gl. (20-8) ermöglichen:

$$dq = c_v.dT + (R.T/v).dv = f(T, v) .$$

Diesem Differentialausdruck liegt deshalb keine Zustandsgröße zugrunde, weil die gemischten, partiellen Ableitungen:

$$\frac{\partial c_v}{\partial v} = \frac{\partial}{\partial T} \left( \frac{R.T}{v} \right) \rightarrow 0 \neq R/v \quad \text{nicht gleich sind !}$$

Mittels eines integrierenden Faktors  $F$  kann der Differentialausdruck zu einem vollständigen Differential werden. - Der Versuch, nachzuprüfen, ob ein solcher integrierender Faktor nur von der absoluten Temperatur abhängt, ist erfolgreich:

$$F(T).dq = F(T).c_v.dT + F(T). \frac{R.T}{v}.dv ; \text{ das Schwartzsche Krite-}$$

rium für die Existenz eines totalen Differentials ist bekanntlich die Gleichheit der gemischten, partiellen Ableitungen:

$$\frac{\partial}{\partial v} (F.c_v) = \frac{\partial}{\partial T} (F.R.T/v) \quad \text{oder:} \quad 0 = F. \frac{\partial}{\partial T} \left( \frac{R.T}{v} \right) + \frac{R.T}{v} . \frac{\partial F}{\partial T} ;$$

$$- F. \frac{R}{v} = \frac{R.T}{v} . \frac{dF}{dT} \rightarrow \frac{dF}{F} = - \frac{dT}{T} ; \quad \ln F = - \ln T ;$$

$$\ln (F.T) = 0 = \ln 1 \rightarrow F . T = 1 \rightarrow \underline{\underline{F = \frac{1}{T} = F(T)}} .$$

Es existiert also tatsächlich ein nur von  $T$  abhängiger, integrierender Faktor.

Nunmehr geht der erste Hauptsatz der Thermodynamik über in ein totales Differential:

$$\frac{dq}{T} = c_v \cdot \frac{dT}{T} + R \cdot \frac{dv}{v} = ds \quad (20-10).$$

Die kalorische Zustandsgröße  $s$ , gemessen in  $J/(kg \cdot K)$ , nennt Clausius ENTROPIE. Integriert man zwischen den Zuständen 1 und 2, so erhält man für die Änderung dieser dritten, kalorischen Zustandsgröße:

$$s_2 - s_1 = \Delta s = c_v \cdot \ln \frac{T_2}{T_1} + R \cdot \ln \frac{v_2}{v_1} \quad (20-11).$$

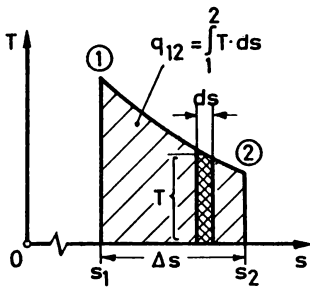


BILD 20-3

In Bild 20-3 wird ein thermodynamisches Diagramm gezeigt: das T,s-Diagramm. Es zeichnet sich besonders dadurch aus, daß aufgrund der Definition von  $ds = dq/T \rightarrow dq = T \cdot ds$  die zwischen den beiden Zuständen 1 und 2 ausgetauschten Wärmemengen als Flächen darstellbar sind:

$$q_{12} = \int_{1.2} T \cdot ds \quad (20-12).$$

An dieser Stelle ist auch auf die Vorzeichenvereinbarung in der Thermodynamik aufmerksam zu machen:

- | Zugeführte Wärmemengen gelten als positiv.
- | Zugeführte Arbeiten gelten als negativ.

#### 20.2.5. Zweiter Hauptsatz der Thermodynamik

Carnot (1824) hat die thermodynamischen Begriffe "reversibel" und "irreversibel" folgendermaßen erläutert [ 7 ]:

Kann ein System, in dem ein Prozeß abgelaufen ist, wieder in seinen Anfangszustand gebracht werden, ohne daß irgendwelche Änderungen in der Umgebung zurückbleiben, so heißt der Prozeß "reversibel" oder umkehrbar.

Ist der Anfangszustand des Systems ohne Änderung in der Umgebung nicht wiederherstellbar, so nennt man den Prozeß "irre-

versibel " oder nicht umkehrbar.

Die Erfahrung lehrt nun, daß alle natürlichen Prozesse nur in einer Richtung von selbst ablaufen können. Clausius u.a. formulierten deshalb den ZWEITEN HAUPTSATZ DER THERMODYNAMIK, dessen Inhalt folgendermaßen komprimiert werden kann:

|| Alle natürlichen Prozesse sind irreversibel. Reversible Prozesse sind nur idealisierte Grenzfälle irreversibler Prozesse.

Irreversible Prozesse lassen sich einteilen in Ausgleichsvorgänge (Druck-, Temperatur- und Dichteunterschiede gleichen sich aus) und in dissipative Prozesse (z.B.: hauptsächlich Reibung und plastische Verformungen).

Der zweite Hauptsatz der Thermodynamik hat, je nach seiner speziellen Anwendung, verschiedenartige Formulierungen erhalten. Eine davon heißt:

Kalorische Energie in Form von Wärme fließt nie allein vom Körper tiefer Temperatur zu einem Körper höherer Temperatur.

Die hydraulische Analogie ist naheliegend: Wasser fließt von allein nur talwärts. Nach oben muß es gepumpt werden; genauso auch kalorische Energie (Wärmepumpen).

Bei quasi-statischen Prozeßführungen beruhen in der Thermodynamik die Irreversibilitäten hauptsächlich auf dissipativer Reibung. Solche Effekte führen wandlungsfähige Energie (Exergie) in nicht wandlungsfähige Energie (Anergie) über.

Reibungsarbeiten gehen spontan in Reibungswärmen über, so daß gilt:

$$dw_{Rl2} = dq_{irr} \quad .$$

Man beachte auch Gl.(17-1). - Es ist nunmehr festzuhalten, daß die an einem geschlossenen System verrichtete, kalorische Arbeit aus zwei Anteilen besteht: aus dem mit der Umwelt ausgetauschten Betrag  $dq_A$  und der im System entstandenen Reibungswärme  $dq_{irr}$ . Somit gilt:

$dq = dq_A + dq_{irr}$

 (20-13).

Diese Erkenntnis führt zu einer erweiterten Formulierung des ersten Hauptsatzes der Thermodynamik:

Gl.(20-8):

$$\begin{aligned} dq &= dq_A + dq_{irr} = du + p.dv = dh - v.dp \\ &= c_v.dT + p.dv = c_p.dT - v.dp \end{aligned}$$

 (20-14).

Multipliziert man diesen Ausdruck mit dem integrierenden Faktor  $1/T$ , so ergibt sich für die Entropieänderung:

$$ds = \frac{dq}{T} = \frac{dq_A}{T} + \frac{dq_{irr}}{T} = ds_{rev} + ds_{irr} \quad , \text{ wobei man}$$

$$\left\{ \begin{array}{l} ds_{rev} = dq_A / T \quad \text{den } \underline{\text{Entropiestrom}} \text{ und} \\ ds_{irr} = dq_{irr} / T \quad \text{die } \underline{\text{Entropieerzeugung}} \text{ nennt.} \end{array} \right.$$

Der Entropiestrom beruht auf dem Austausch kalorischer Arbeit (Wärme) mit der Umgebung des geschlossenen Systems (das geschlossene System und seine Umgebung bilden übrigens das Gesamtsystem), die Entropieerzeugung hingegen geschieht im System selbst. - Nunmehr kann man vermerken:

$$\Delta s = s_{rev12} + \int_{1.2} ds_{irr} = c_v \cdot \ln \frac{T_2}{T_1} + R \cdot \ln \frac{v_2}{v_1} = c_p \cdot \ln \frac{T_2}{T_1} - R \cdot \ln \frac{p_2}{p_1} \quad (20-15).$$

Jetzt erfolgt die Anbindung des Entropiebegriffs an die Aussage des zweiten Hauptsatzes der Thermodynamik:

Zunächst betrachte man ein geschlossenes System, das mit seiner Umgebung nicht im Wärmeaustausch steht - man nennt es nach Abschn. 3.5.12, S. 42, ein adiabates System - , wonach also  $dq_A$  und  $ds_{rev}$  verschwinden. Da bei natürlichen Prozessen immer dissipative Effekte im System auftreten, ist  $ds_{irr} = dq_{irr}/T > 0$  ! - Mit anderen Worten:

In einem geschlossenen System, das mit seiner Umgebung nicht im Wärmeaustausch steht, wird bei natürlichen Prozessen ständig Entropie erzeugt.

Betrachtet man nun den Fall des Gesamtsystems, wo also das geschlossene System durchaus mit seiner Umgebung ebenfalls im Wärmeaustausch stehen kann, dann kommt es zu irreversiblen Austauschvorgängen. Auch sie vermehren die Entropie des Gesamtsystems. - Der zweite Hauptsatz kann folgendermaßen formal fixiert werden:

Die algebraische Summe der Entropieänderungen von Teilsystemen in einem Gesamtsystem ist immer größer null:

$$\sum s_i \geq 0$$

(20-16).

Das Gleichheitszeichen steht für den reversiblen, idealen Grenzfall, der für Vergleichszwecke sehr wertvoll ist.

### 20.2.6. Berechnung von Zustandsänderungen und kalorischer Arbeit

Das diesbezügliche Handwerkszeug ist bereits bekannt:

- S.33 : Gl.(2-31) : kalorische Arbeit (Wärmeaustausch) ;  
 S.38 : Gl.(3-7) : allgemeine Zustandsgleichung vollkommener Gase;  
 S.39 : Gl.(3-9) : Änderung der inneren Energie;  
 S.39 : Gl.(3-10) : Änderungen der Enthalpie ;  
 S.41 : Gl.(3-14) : Polytropenexponent ;  
 S.41 : Gl.(3-15) : polytrope Zustandsänderung ;  
 S.373 : Gl.(20-1) : Änderung der Druckenergie und der thermischen Energie ;  
 S.374 : Gl.(20-5) : Arbeit der Druckkraft (Volumenänderungsarbeit);  
 S.374 : Gl.(20-6) : Druckarbeit (Druckänderungsarbeit) ;  
 S.376 : Gl.(20-8) : erster Hauptsatz der Thermodynamik ;  
 S.377 : Gl.(20-11) : Entropieänderung  
 S.378 : Gl.(20-14) : erweiterter, erster Hauptsatz ;  
 S.379 : Gl.(20-15) : erweiterte Entropieänderung ;  
 S.379 : Gl.(20-16) : zweiter Hauptsatz der Thermodynamik .

Es wurden hier natürlich nur die wichtigsten Beziehungen zusammengestellt.

Es ist nun üblich geworden, Sonderfälle von Zustandsänderungen herauszuheben. Obige Gleichungen werden sich dementsprechend vereinfachen.

Eine stichwortartige Zusammenstellung möge den Überblick verschaffen:

Bezeichnung der Zust.änderg. (Charakteristik)	Polytropen- exponent	Gl.f.therm. Zust.änderg.	Spezifische Wärme	Kal.Arbeit (Wärme)
ISOBARE ( $p=\text{const}$ )	$n = 0$	$v/T = \text{const}$	$c = c_p$	$c_p \cdot \Delta T$
ISOTHERME ( $T=\text{const}$ )	$n = 1$	$p \cdot v = \text{const}$	$c \rightarrow \infty$	$\int p \cdot dv$ 1.2
ISENTROPE ( $s=\text{const}$ )	$n = \frac{c_p}{c_v} = \gamma$	$p \cdot v^\gamma = \text{const}$	$c = 0$	0
ADIABATE ( $q_{12}=0$ )	$n$	$p \cdot v^n = \text{const}$	$c = c_v \cdot \frac{n-\gamma}{n-1}$	$c_v \cdot \frac{n-\gamma}{n-1} \cdot \Delta T$
ISOCHORE ( $v=\text{const}$ )	$n \rightarrow \infty$	$p/T = \text{const}$	$c = c_v$	$c_v \cdot \Delta T$
POLYTROPE (keine Einschränkung)	$n$	$p \cdot v^n = \text{const}$	$c = c_v \cdot \frac{n-\gamma}{n-1}$	$c_v \cdot \frac{n-\gamma}{n-1} \cdot \Delta T$

Bemerkungen:

- (1) Der isotherme Wärmeaustausch berechnet sich nach dem ersten Hauptsatz, Gl.(20-8):  $dq = dq_A + dq_{irr} = du + p \cdot dv$ ;  $du = c_v \cdot dT = 0$ ;  

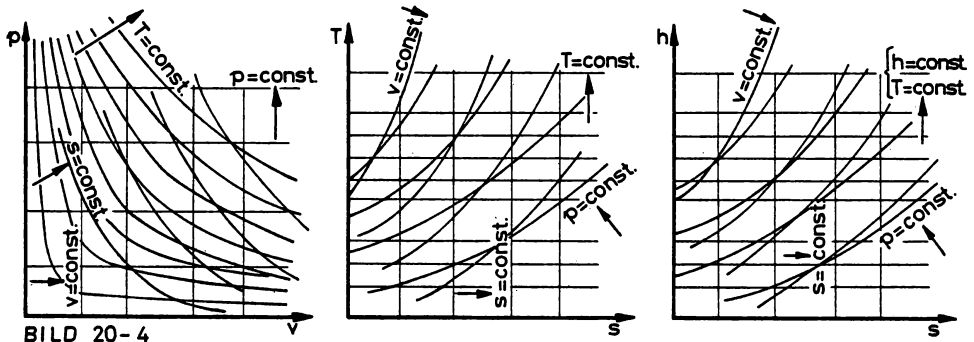
$$q_{12} = \int_{1.2} p \cdot dv$$
- (2) Der Exponent der Isentropen heißt auch Isentropenexponent. Die Isentrope ist dadurch charakterisiert, daß das geschlossene System wärmeisoliert (adiabat!) ist und daß die systeminternen Prozesse dissipationsfrei ablaufen! -  $ds = (dq_A + dq_{irr})/T = 0 \rightarrow s = \text{const}$  !
- (3) Während mit der Isentropen eine reversible Adiabate vorliegt, muß man im Normalfall einer Adiabaten mit Dissipationen rechnen. Hier ist nur  $dq_A = 0$ , nicht aber  $dq_{irr}$  ! - Der Exponent ist fallweise durch Experimente zu ermitteln.
- (4) Obwohl alle Zustandsänderungen letztlich Polytropen sind, spricht man gewöhnlich von polytropen Zustandsänderungen, wenn es sich dabei nicht um isobare, isotherme, isentrope, adiabate und isochore Zustandsänderungen handelt.
- (5) Die Tabellenanordnung geschah unter dem Gesichtswinkel wachsender Polytropenexponenten. Eine Ausnahme bildet natürlich die Polytrope.

Von Interesse sind in diesem Überblick auch die Entropieänderungen:

ISOBARE : $\Delta s = c_p \cdot \ln T_2/T_1$	ISOTHERME : $\Delta s = R \cdot \ln v_2/v_1$
ISENTROPE : $\Delta s = 0$	ADIABATE : $\Delta s_{irr} = c_v \cdot \frac{n-\kappa}{n-1} \cdot \ln \frac{T_2}{T_1}$
ISOCHORE : $\Delta s = c_v \cdot \ln T_2/T_1$	POLYTROPE : $\Delta s = "$

Bemerkung:

Die Entropieänderung der Adiabaten und der Polytropen ergibt sich aus Gl.(20-10) und Gl.(20-13):  $ds = (dq_A + dq_{irr})/T = c \cdot dT/T$  . - In Bild 20-4 werden drei thermodynamische Diagramme angegeben.



## 21. EINDIMENSIONALE BEWEGUNG

### 21.1. Kontinuitätsgleichung

Da in der Gasdynamik die Dichte  $\varrho(x,y,z,t)$  keine Konstante mehr ist wie etwa bei stationären Strömungen in der Hydrodynamik, muß man in allen Formen der Kontinuitätsgleichung mit der Massenstromdichte ( $\varrho \cdot \vec{c}$ ) operieren!-Alle Gleichungen in den Abschnitten 11.2.1 und 11.2.2, die auf dem Massenstrom aufgebaut sind, behalten ihre Gültigkeit in der Gasdynamik, auch die Gl.(11-19), S.195, wenn man die Dichte zum Integranden packt.

Volumenströme kann man natürlich auch in der Gasdynamik berechnen, sie dürfen aber nicht mehr zu Kontinuitätszwecken Verwendung finden.

Für gasdynamische Rohrströmungen soll jetzt nur noch die Gl.(11-34), S.202, eine formelle Anpassung an gleichbleibenden Querschnitt erfahren:

$$\boxed{\varrho \cdot \frac{\partial c}{\partial s} + c \cdot \frac{\partial \varrho}{\partial s} + \frac{\partial \varrho}{\partial t} = 0} \quad (21-1).$$

Je nach Art der Zustandsänderung des Gases während der Strömung kann beispielsweise die lokale Dichteänderung  $\partial \varrho / \partial t$  zudem verschwinden.

### 21.2. Schallgeschwindigkeit

Nach Abschn. 2.3.1, S.9, weiß man um die Bedeutung der Schallgeschwindigkeit: Sie ist eine andere Darstellungsart für das elastische Verhalten eines Fluids oder Festkörpers.-Die Anpassung an gasförmige Fluide geschah auf S.36 und führte zur Gl.(3-1):  $c_s = \sqrt{dp/d\varrho}$ , wobei jetzt natürlich die dementsprechende Zustandsänderung zu berücksichtigen ist.-Geht man etwa von einer isentropen Zustandsänderung aus (S.380 oder S.41 mit  $n = \kappa$ ), dann ergibt sich:

$$p = \text{const.} \cdot \varrho^\kappa; dp/d\varrho = \kappa \cdot \text{const.} \cdot \varrho^{\kappa-1} = \kappa \cdot \frac{p}{\varrho} \cdot \varrho^{\kappa-1};$$

$$\frac{dp}{d\varrho} = \kappa \cdot \frac{p}{\varrho} = \kappa \cdot p \cdot v = \kappa \cdot R \cdot T;$$

$$\boxed{c_s = \sqrt{\kappa \cdot R \cdot T}} \quad (21-2).$$

Da die gesamte Ableitung der Schallgeschwindigkeit (hier die isentro-

pe Schallgeschwindigkeit) auf die beweislos angeführte Gl.(2-4), S.9, aufgebaut ist, möge sie jetzt mit Hilfe der Dimensionsanalyse (Abschn. 15.2) nachgeprüft werden.

Funktioneller Ansatz:  $c_s = f(E, \varrho) = \sum k_i \cdot E^{x_1} \cdot \varrho^{x_2} ;$

Dimensionsgleichung:  $\dim c_s = (\dim E)^{x_1} \cdot (\dim \varrho)^{x_2} ;$

$$L \cdot T^{-1} = (L^{-1} \cdot T^{-2} \cdot M)^{x_1} \cdot (L^{-3} \cdot M)^{x_2} ;$$

Exponentenvergleich:

$$L : 1 = -x_1 - 3 \cdot x_2 ;$$

$$T : -1 = -2 \cdot x_1 ;$$

$$M : 0 = x_1 + x_2 ;$$

Lösungen:  $\underline{x_1 = -x_2 = 1/2} .$

$$c_s = \sum k_i \cdot E^{1/2} \cdot \varrho^{-1/2} ;$$

$$\underline{c_s = \sqrt{\frac{E}{\varrho}} \cdot \sum k_i} .$$

Bis auf einen konstanten Faktor konnte mittels der Dimensionsanalyse der Nachweis für die Richtigkeit der Gl.(2-4) erbracht werden. Die Dimensionsanalyse ist also hier nicht in der Lage, das genaue Ergebnis herbeizuführen. Damit deuten sich auch ihre Einsatzgrenzen an. - Experimente ergaben  $\sum k_i = 1$  .

### 21.3. Bernoulligleichung

#### 21.3.1. Theorie

Aus der Zusammenfassung der letzten Gleichungszeile im Zuge der Ableitung von Gl.(12-3), S.228, und der Aussage von Gl.(17-1), S.337, kann man die Bernoulligleichung für folgende Charakteristik zusammenschreiben: instationär, kompressibel, reibungsbehaftet, ohne Arbeitsaustausch und bei Vernachlässigung der Erdschwere:

$$\int_{1.2} \frac{\partial c}{\partial t} \cdot ds + \int_{1.2} \frac{dp}{\varrho} = \frac{c_1^2}{2} - \frac{c_2^2}{2} - w_{R12} ;$$

Legt man der allgemeinen Zustandsänderung die Polytrope zugrunde, so folgt für das Integral  $\int dp/\varrho$  :

$$p = \text{const.} \cdot \varrho^n = C \cdot \varrho^n ; dp = C \cdot n \cdot \varrho^{n-1} \cdot d\varrho ; dp/\varrho = C \cdot n \cdot \varrho^{n-2} \cdot d\varrho ;$$

$$\int_{1.2} dp/\varrho = C \cdot n \cdot \int_{1.2} \varrho^{n-2} \cdot d\varrho = C \cdot n/(n-1) \cdot \varrho^{n-1} \Big|_1^2 ;$$



$$\int_{1.2} dp/\rho = \frac{n}{n-1} \cdot \frac{p}{\rho^n} \cdot (\rho_2^{n-1} - \rho_1^{n-1}) \quad ; \quad \text{mit} \quad p_1/\rho_1^n = p_2/\rho_2^n = p/\rho^n$$

folgt schließlich:

$$\frac{n}{n-1} \cdot \frac{p_1}{\rho_1} + \frac{c_1^2}{2} = \frac{n}{n-1} \cdot \frac{p_2}{\rho_2} + \frac{c_2^2}{2} + \int_{1.2} \frac{\partial c}{\partial t} \cdot ds + w_{R12} \quad (21-3).$$

### 21.3.2. Beispiele [25]

#### 1. Beispiel

Aus einem Druckluftbehälter strömt Luft aus. Der Behälter ist verhältnismäßig groß, und der thermodynamische Luftzustand bleibe unverändert,

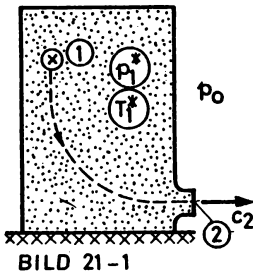


BILD 21-1

Bild 21-1. - Angaben:

Anfangsgeschwindigkeit  $c_1 = 0$  ;  $c_p = 1004,5 \frac{\text{J}}{\text{kg} \cdot \text{K}}$ ;  
 Absolutdruck im Behälter : 1,9 bar; Absoluttemperatur im Behälter : 293 K ; Atmosphärendruck  $p_2 = p_0 = 1,015$  bar ; Polytropenexponent  $n = \alpha = 1,4$  ; individuelle Gaskonstante  $R = 287 \text{ J}/(\text{kg} \cdot \text{K})$  ; Erdschwere ist zu vernachlässigen. - Man ermittle:

- die stationäre Austrittsgeschwindigkeit  $c_2$ ; im isentropen Fall;
- die statische Temperatur  $T_2$ , die kinetische Temperatur; die Totaltemperatur am Austritt;
- die Austrittsgeschwindigkeit  $c_2'$  nach Bunsen, also im inkompressiblen oder dichtebeständigen Fall;
- Vergleich der beiden Geschwindigkeiten und Folgerung für die definitionsgemäße Trennung zwischen Hydrodynamik und Gasdynamik.

#### Lösungen:

a)  $c_2$  :

In Gl.(21-3) fallen nach Angaben das instationäre Glied,  $c_1^2/2$  und  $w_{R12}$  weg, so daß eine weitgehende Vereinfachung möglich ist.

In Zukunft sind thermodynamische Zustände auch kinematisch genauer zu beschreiben:

Man unterscheidet die Total-Zustandsgrößen ( $T^*$ ;  $p^*$ ;  $\rho^*$ ;  $v^*$ ;  $h^*$  usw.) für ruhendes Gas von den statischen Zustandsgrößen ( $T$ ;  $p$ ;  $\rho$ ;  $v$ ;  $h$  usw.)

bewegter Gase. Die Differenzen hierzu beruhen auf der Geschwindigkeit des Gases. Man beachte ebenfalls die Ausführungen auf S. 249, wo beispielsweise der Totdruck für Flüssigkeitsströmungen eingeführt worden ist. Es ist also zu beachten:

Wenn  $c = 0$ , dann gilt  $T \rightarrow T^*$ ;  $p \rightarrow p^*$ ;  $v \rightarrow v^*$ ;  $h \rightarrow h^*$  u.a.

 (21-4).

Für die angestrebte Lösung von  $c_2$  geht demnach  $p_1 \rightarrow p_1^*$  und  $\rho \rightarrow \rho_1^*$ :

$$c_2^2 / 2 = \frac{n}{n-1} \cdot (p_1^* / \rho_1^* - p_2 / \rho_2) = \frac{n}{n-1} \cdot \frac{p_1^*}{\rho_1^*} \cdot \left[ 1 - \frac{p_2}{p_1^*} \cdot \frac{\rho_1}{\rho_2} \right]; \text{ nach}$$

Gl. (3-16) ergibt sich endlich mit  $n = \infty$ :

$$c_2 = \sqrt{2 \cdot \frac{\infty}{\infty-1} \cdot \frac{p_1^*}{\rho_1^*} \cdot \left[ 1 - \left( \frac{p_2}{p_1^*} \right)^{\frac{\infty-1}{\infty}} \right]}$$

$$= R \cdot T_1^*$$

 (21-5).

Das ist die bekannte Gleichung von Saint-Venant und Wantzel.-In Zahlen:

$$c_2 = \sqrt{2 \cdot \frac{1,4}{1,4-1} \cdot 287,293 \cdot \left[ 1 - \left( \frac{1,015 \cdot 10^5}{1,9 \cdot 10^5} \right)^{(1,4-1)/1,4} \right]}$$

$$\underline{\underline{c_2 = 310,85 \text{ m/s}}}$$

b)  $T_2$ ;  $T_{2kin}$ ;  $T_2^*$ :

Mit den Gl. (3-12) und Gl. (3-16) läßt sich Gl. (21-5) auch folgendermaßen anschreiben:

$$c_2 = \sqrt{2 \cdot c_p \cdot (T_1^* - T_2)} = \sqrt{2 \cdot (h_1^* - h_2)}$$

 (21-6).

Durch Auflösung nach  $T_1^*$  folgt:

$$\frac{c_2^2}{2 \cdot c_p} + T_2 = T_1^* = T_2^* ; \text{ die Totaltemperaturen sind im isentropen und adiabaten Strömungsfall konstant,}$$

vgl. Gl. (21-28) für  $Y_1 = 0$  und  $c_p = \text{const}$  u. S. 397.  $\frac{c_2^2}{2 \cdot c_p}$   
 Man nennt  $T_2$  die statische, absolute Temperatur und  $\frac{c_2^2}{2 \cdot c_p}$  die kinetische Temperatur  $T_{kin}$ . Allgemein gilt sodann:

$$T^* = T + T_{kin} = T + c^2 / (2 \cdot c_p)$$

 (21-7).

In Zahlen:  $T_{2\text{kin}} = 310,85^2 / (2 \cdot 1004,5)$  ;  $T_{2\text{kin}} = 48,1 \text{ K}$  ;  
 $T_2 = T_2^* - T_{2\text{kin}} = 293 - 48,1$  ;  $T_2 = 244,9 \text{ K} = -28,1^\circ\text{C}$  .  
 $T_2^* = T_1^* = 293 \text{ K}$  .

c)  $c_2'$  :

Die Bunsensche Formel, Gl. (12-12), S. 236, wird genauer mit Indizes bestückt:  $c_2' = \sqrt{2 \cdot (p_1^* - p_2) / \rho_1^*}$  ; die Dichte für den Totalzustand im Behälter ist:  $\rho_1^* = p_1^* / (R \cdot T_1^*) = 2 \cdot 10^5 / (287 \cdot 293) = 2,378 \text{ kg/m}^3$  ; es folgt:

$$c_2' = \sqrt{2 \cdot (1,9 - 1,015) \cdot 10^5 / 2,378} ; \quad c_2' = 272,82 \text{ m/s} .$$

d) Vergleich und Kommentar :

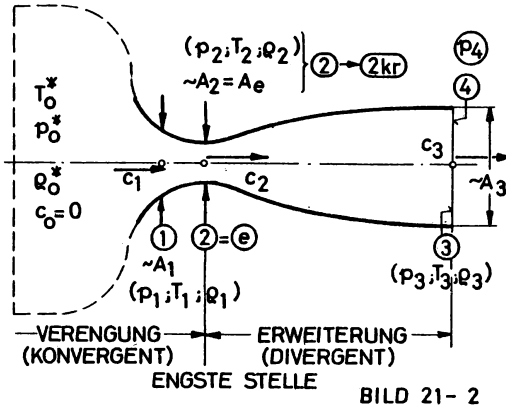
Der relative Fehler beträgt  $(c_2 - c_2') / c_2 = 12,23 \%$  , ein beachtlicher Wert.

Empfehlenswert für die Grenze zwischen kompressibler und inkompressibler Rechnung ist ein relativer Fehler von 2 % !

## 2. Beispiel

Der Kanalverlauf einer sogenannten LAVAL-Düse wird in Bild 21-2 gezeigt. Dem konvergenten Kanalverlauf folgt nach der engsten Stelle ein divergenter. - Als bekannte Größen werden in diesem Beispiel angesehen:  $p_1$  ;  $T_1$  ;  $c_1$  ;  $p_3 = p_4$  (Umgebungsdruck) ;  $c_p$  ;  $R$  ;  $D_2 = D_e$  . - Man ermittle:

- den Totalzustand in Kontrollebene 1 ;
- den Totalzustand im Behälter ;
- die Machzahl in Kontrollebene 1 ;
- die Differentialgleichung von Hugoniot (sie gibt bei polytroper Strömung den Zusammenhang zwischen Querschnitts- und Geschwindigkeitsänderungen sowie der Machzahl an) ;
- Diskussion der Hugoniot-Gleichung;
- die Geschwindigkeit im engsten Querschnitt und die thermischen Zustandsgrößen ;
- den maximalen Massenstrom ;
- einen Vergleich der Machzahlen  $Ma_1$  ,  $Ma_2$  und  $Ma_3$  ;
- Formel zur Berechnung der Geschwindigkeit  $c_3$  , wenn man vom Zustand 1 direkt ausgeht.



Lösungen:

a)  $T_1^*$  ;  $p_1^*$  ;  $\rho_1^*$  :

Aus den Angaben der absoluten statischen Temperatur  $T_1$  und der Geschwindigkeit  $c_1$  läßt sich mittels Gl.(21-7) die Totaltemperatur  $T_1^*$  ermitteln:

$$T_1^* = T_1 + \frac{c_1^2}{2 \cdot c_p} \quad (21- 8).$$

Da der statische und der totale, thermodynamische Zustand jeweils im isentropen Zusammenhang miteinander stehen, läßt sich mittels der Gl.(3-16), S.41, für  $n=\infty$  folgende Zustandsänderungsgleichung angeben, die sogar allgemein gilt:

$$\frac{p_1^*}{p_1} = \left( \frac{T_1^*}{T_1} \right)^{\frac{\alpha}{\alpha-1}} \quad (21-9).$$

Nachdem nun  $T_1^*$  und  $p_1^*$  bekannt sind, läßt sich ohne weiteres mit der allgemeinen Zustandsgleichung etwa, Gl.(3-7), S.38, auch die unbekannte Dichte für den Totalzustand  $\rho_1^*$  bestimmen.

b)  $p_0^*$  ;  $T_0^*$  ;  $\rho_0^*$  bei  $c_0 = 0$  :

Im verlustlosen, adiabaten Strömungsfall, also bei isentroper Strömung, bleiben Totaltemperatur und Totaldruck konstant; Gleiches gilt dann auch für die Dichte bzw. das spezifische Volumen (Gl.3-8).

c)  $Ma_1$  : Aus Gl.(15-6), S.323, und Gl.(21-2) folgt:

$$Ma_1 = c_1 / c_{s1} = c_1 / \sqrt{\alpha \cdot R \cdot T_1} \quad (21-10).$$

d) Differentialgleichung von Hugoniot:

Die logarithmische Differentiation der Kontinuitätsgleichung, Gl.(11-16), lautet:  $\ln \rho + \ln A + \ln c = \ln \text{const}$  ;  $\frac{d\rho}{\rho} + \frac{dA}{A} + \frac{dc}{c} = 0$  ;

Die Differentiation der Bernoulligleichung für den stationären, reibungsfreien und schwerelosen Fall ergibt nach Abschn.21.3.1 :

$$c \cdot dc + dp / \rho = 0 \quad ;$$


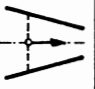


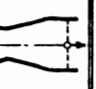


Führt man das Quadrat der Schallgeschwindigkeit nach Gl.(3-1) :  
 $c_s^2 = dp / d\rho$  ein, so folgt schließlich

$$\frac{dA}{A} = \left( \frac{dc}{c} \right) \cdot (Ma^2 - 1) \quad (21-11).$$

Das ist die gesuchte Dgl. von Hugoniot.

e) Diskussion der Hugoniot-Gleichung:

In Bild 21-3 sind Diskussionsergebnisse tabellarisch erfaßt.

KANALVERENGUNG: $\frac{dA}{A} < 0$			ENGSTER QUERSCHN.: $\frac{dA}{A} = 0$			KANALERWEITERUNG: $\frac{dA}{A} > 0$		
$Ma = \frac{c}{c_s} < 1$	$Ma = 1$	$Ma > 1$	$Ma < 1$	$Ma = 1$	$Ma > 1$	$Ma < 1$	$Ma = 1$	$Ma > 1$
$Ma^2 - 1 < 0$	$Ma^2 - 1 = 0$	$Ma^2 - 1 > 0$	$Ma^2 - 1 < 0$	$Ma^2 - 1 = 0$	$Ma^2 - 1 > 0$	$Ma^2 - 1 < 0$	$Ma^2 - 1 = 0$	$Ma^2 - 1 > 0$
$\frac{dc}{c} > 0$	KEINE LÖSUNG	$\frac{dc}{c} < 0$	$\frac{dc}{c} = 0$	$\frac{dc}{c} \geq 0$	$\frac{dc}{c} = 0$	$\frac{dc}{c} < 0$	KEINE LÖSUNG	$\frac{dc}{c} > 0$
								
UNTERSCHALLDÜSE		ÜBERSCHALLDIFFUSOR	PARALLELE UNTERSCHALLSTRÖMG.	1) ÜBERSCHALLDÜSE 2) PARALLELSCHALLG. 3) UNTERSCHALLDIFFUSOR	PARALLELE ÜBERSCHALLSTRÖMG.	UNTERSCHALLDIFFUSOR		ÜBERSCHALLDÜSE
BILD 21-3								

Unterschalldüse: Bei abnehmendem Kanalquerschnitt und wachsender Geschwindigkeit wird nirgends die Schallgeschwindigkeit erreicht.

Überschalldiffusor: Bei abnehmendem Querschnitt und fallender Geschwindigkeit liegt in jedem Querschnitt noch Überschallgeschwindigkeit vor.

Parallele Unterschallströmung: Sie liegt vor, wenn der Strömungsquerschnitt konstant bleibt und die Strömungsgeschwindigkeit anfangs schon im Unterschallbereich gelegen ist.

Überschalldüse: Im engsten Querschnitt herrscht als Strömungsgeschwindigkeit gerade die lokale Schallgeschwindigkeit vor. Steigt wegen  $p_3 < p_2$  die Geschwindigkeit bei zunehmendem Kanalquerschnitt, dann liegt die sogenannte LAVALdüse vor.

Parallele Schallgeschwindigkeit: Bleibt der engste Querschnitt, in dem hier Schallgeschwindigkeit vorliegt, weiterhin erhalten, und gilt  $p_2 = p_3$ , so erhält man eine Parallelströmung mit Schallgeschwindigkeit.

Unterschalldiffusor: Um ihn handelt es sich, wenn bei Querschnittszu- und Geschwindigkeitsabnahme höchstens am Eintritt Schallgeschwindigkeit festzustellen ist.

Parallele Überschallströmung ist dann zu erwähnen, wenn nach ihrer Erzeugung der Querschnitt gleichgroß bleibt und  $p_2 = p_3$  gilt.

Wenn im engsten Querschnitt eines solchen Gerätes die Strömungsgeschwindigkeit gleich der diesem thermodynamischen Zustand zuzuschreibenden lokalen Schallgeschwindigkeit ist, so nennt man ihn den kritischen Zustand und spricht auch vom kritischen Querschnitt.

$$\begin{array}{l} \text{Wenn } c_2 = c_{s2kr} \text{ dann } A_2 = A_e = A_{kr} \text{ und } c_2 = c_{2kr} ; \\ \text{ebenfalls } p_2 = p_{2kr} ; T_2 = T_{2kr} \text{ und } \varrho_2 = \varrho_{2kr} \end{array} \quad (21-12).$$

f)  $c_{2kr} ; T_{2kr} ; p_{2kr} ; \varrho_{2kr}$  :

Aus der Bernoulligleichung, Gl. (21-3), folgt für die Strömungsgeschwindigkeit  $c_{2kr} = c_{s2kr}$  (wegen  $Ma = 1$  sind ja Strömungsgeschwindigkeit und lokale Schallgeschwindigkeit gleich) im kritischen Zustand, sofern man beachtet:  $p_2 = p_{2kr}$  und  $\frac{\rho \cdot p_{2kr}}{\varrho_{2kr}} = c_{s2kr}^2$ .  $c_1$  und  $(p_1; \varrho_1)$  bilden zusammen den Totalzustand  $(p_1^*; \varrho_1^*)$ ,  $n = \kappa$ ; isentrope und stationäre Strömung:

$$\frac{\kappa}{\kappa-1} \cdot R \cdot T_1^* = \frac{\kappa}{\kappa-1} \cdot R \cdot T_{2kr} + c_{s2kr}^2 \quad /2 = \frac{c_{s2kr}^2}{\kappa-1} + \frac{c_{s2kr}^2}{2} ;$$

$$c_{s2kr} = c_{2kr} = \sqrt{2 \cdot \frac{\kappa}{\kappa+1} \cdot R \cdot T_1^*} \quad (21-13).$$

Für  $T_1^*$  kann hier natürlich auch  $T_0^*$  gesetzt werden, wie es unter Pos. b) erwähnt worden ist.

Beachtet man  $c_{s2kr} = \sqrt{\kappa \cdot R \cdot T_{2kr}}$ , Gl. (21-2), dann kann man sofort aus Gl. (21-13) nachweisen, daß gilt:

$$T_{2kr} = \left[ \frac{2}{\kappa+1} \right] \cdot T_1^* \quad (21-14).$$

Setzt man die Quadrate der Gl. (21-5) und Gl. (21-13) einander gleich, dann folgt für das sogenannte kritische Druckverhältnis bei  $p_2 \rightarrow p_{2kr}$ :

$$\frac{p_{2kr}}{p_1^*} = \left( \frac{2}{\kappa+1} \right)^{\kappa/(\kappa-1)} \quad (21-15).$$

Mit den beiden thermischen Zustandsgrößen  $T_{2kr}$  und  $p_{2kr}$  ist über die Isentropengleichung, Gl.(3-16), auch die Dichte im kritischen Zustand bestimmbar geworden:

$$\rho_{2kr} = \rho_1^* \cdot \left( \frac{2}{\alpha+1} \right)^{1/(\alpha-1)} \quad (21-16).$$

g) den maximalen Massenstrom:

Den Massenstrom berechne man zunächst für einen beliebigen Querschnitt, so daß man Gl.(11-17) anschreibt:  $\dot{m} = \rho \cdot c \cdot A$ ; setzt man hierin  $\rho = \rho_1^* \cdot (p/p_1^*) \exp 1/\alpha$  und  $c$  nach Gl.(21-5) ein, dann folgt:

$$\dot{m} = \sqrt{2 \cdot p_1^* \cdot \rho_1^*} \cdot A \cdot \underbrace{\left[ \frac{p}{p_1^*} \right]^{\frac{1}{\alpha}} \cdot \sqrt{\frac{\alpha}{\alpha-1} \cdot \left[ 1 - \left( \frac{p}{p_1^*} \right)^{\frac{\alpha-1}{\alpha}} \right]}}_{\psi = f(p/p_1^*; \alpha): \text{Ausflußfunktion}} \quad (21-17)$$

Die, nur vom Druckverhältnis  $p/p_1^*$  und dem Isentropenexponenten abhängige Ausflußfunktion kennt bei  $(p/p_1^*) = 0$  und  $(p/p_1^*) = 1$  zwei Nullstellen. Die Differentiation von  $\psi$  weist nach, daß beim kritischen Druckverhältnis

$$\frac{p}{p_1^*} = \left[ \frac{2}{\alpha+1} \right]^{\frac{\alpha}{\alpha-1}} = \frac{p_{2kr}}{p_1^*}$$

ein Maximum von  $\psi$  und damit auch vom Massenstrom vorliegt. Insofern erhält man nach Einsetzen in Gl.(21-17) bei  $A = A_e$  (thermodynamischer Zustand, Geschwindigkeit und Querschnitt gehören zusammen) für den maximalen Massenstrom:

$$\dot{m}_{\max} = \left[ \frac{2}{\alpha+1} \right]^{\frac{1}{\alpha-1}} \cdot \sqrt{\frac{\alpha}{\alpha+1}} \cdot \sqrt{2 \cdot p_1^* \cdot \rho_1^*} \cdot A_e \quad (21-18).$$

Besitzt das strömende Gas in einem engsten Querschnitt den kritischen, thermodynamischen Zustand, dann liegt gleichzeitig ein kritischer Querschnitt vor, und der Massenstrom nimmt einen Maximalwert an.

Läge an einer Behälteröffnung ein kleinerer Druck an als  $p_{kr}$ , dann stellt sich in dem Austrittsquerschnitt der kritische Zustand ein bei

maximalem Massenstrom. Es ist nicht so, daß man, was naheläge, durch einen möglichst geringen Gegendruck möglichst viel Masse aus dem Gefäß herausholen kann. Das erklärt sich damit, daß das Störsignal: "weitere Druckabsenkung" - "Nachlieferung erbeten" - in der Austrittsebene stehen bleibt, da es sich relativ zum mit Schallgeschwindigkeit strömenden Gas ja selbst nur mit Schallgeschwindigkeit ausbreiten kann:  $\vec{c} = \vec{w} + \vec{v}$ ;  $\vec{c} = -\vec{c}_s + \vec{c}_{\text{Gas}} = 0$ .

h)  $Ma_1$ ;  $Ma_2$ ;  $Ma_3$ :

Bekanntlich ist  $Ma_2 = Ma_{2kr} = 1$ . - Die Geschwindigkeit  $c_3$  bestimme man mit Gl.(21-5) für  $c_2 \rightarrow c_3$  und  $p_2 \rightarrow p_3$ ! - Vergleichsweise läßt sich notieren:

$$\left\| \begin{array}{ccc} Ma_1 < Ma_2 = Ma_{2kr} = 1 < Ma_3 \\ \text{Unterschall} & \text{Schall} & \text{Überschall} \end{array} \right.$$

i)  $c_3$  bei Vorgeschwindigkeit  $c_1$ :

Man greife auf die Bernoulligleichung, Gl.(21-3) zurück; es schreibt sich für eine isentrope und stationäre Strömung:  $c_2 \rightarrow c_3$ ,  $p_2 \rightarrow p_3$ :

$$c_3^2 = 2 \cdot \frac{\kappa}{\kappa-1} \cdot \left( \frac{p_1}{\rho_1} - \frac{p_2}{\rho_2} \right) + c_1^2 = 2 \cdot \frac{\kappa}{\kappa-1} \cdot R \cdot (T_1 - T_3) = 2 \cdot \frac{\kappa}{\kappa-1} \cdot R \cdot T_1 \cdot \left( 1 - \frac{T_3}{T_1} \right);$$

beachtet man die Isentropengleichung nach Gl.(3-16):  $T_2/T_1 = (p_2/p_1)^{\kappa/(\kappa-1)}$ , dann ergibt sich für die Austrittsgeschwindigkeit, sofern man nicht mit dem Totalzustand rechnen möchte, wie es eigentlich Gl.(21-5) nahelegt:

$$c_3 = \sqrt{2 \cdot \frac{\kappa}{\kappa-1} \cdot R \cdot T_1 \cdot \left[ 1 - \left( \frac{p_3}{p_1} \right)^{\frac{\kappa-1}{\kappa}} \right] + c_1^2} \quad (21-19).$$

### 3. Beispiel

Man gibt eine Lavaldüse nach dem Muster von Bild 21-2 vor und vermerkt noch folgende Angaben: Es handle sich um eine stationäre, isentrope Luftströmung;  $D_2 = D_e = 0,06$  m;  $\kappa = 1,4$ ;  $R = 287$  J/(kg.K);  $p_0^* = 5$  bar;  $T_0^* = 500$  K;  $p_3 = p_4 = 2$  bar. - Man ermittle:

- den Berechtigungsnachweis für eine Lavaldüse;
- die spezifische thermische Energie  $e_{thm}^*$ ;
- die spezifische Totalenthalpie  $h_0^*$ ;



- d) die spezifische totale, innere Energie  $u_o^*$  ;
- e) die spezifische Druckenergie im Behälter  $p_o^* \cdot v_o^*$  ;
- f) die Schallgeschwindigkeit für den Behälterzustand  $c_{so}^*$  ;
- g) die kritischen, thermischen Zustandsgrößen  $p_{kr}, T_{kr}$  und  $\varrho_{kr}$  für den statischen Zustand;
- h) die Strömungs- und die Schallgeschwindigkeit im kritischen Zustand  $c_{2kr}$  und  $c_{skr}$  ;
- i) den maximalen Massenstrom  $\dot{m}_{max}$  mittels der thermischen Einzelgrößen ;
- j) den maximalen Massenstrom mittels einer geschlossenen Gleichung ;
- k) den Düsenaustrittsquerschnitt  $A_3$  und den Durchmesser  $D_3$  ;
- l) die Austritts-Machzahl  $Ma_3$  ;
- m) die statische Temperatur  $T_3$  ;

### Lösungen:

#### a) Nachweis für Berechtigung einer Lavaldüse:

Eine Lavaldüse ist dann angebracht, wenn der statische Düsenaustrittsdruck unterhalb des kritischen Druckes liegt. Den kritischen Druck berechnet man mit Gl.(21-15): Wegen der Isentropität ist  $p_o^* = p_1^*$  :

$$p_{2kr} = p_1^* \cdot \left( \frac{2}{\varrho + 1} \right)^{\frac{\varrho}{\varrho - 1}} = 5 \cdot 10^5 \cdot \left( \frac{2}{\varrho + 1} \right)^{\frac{1,4}{1,4 - 1}} ; \quad \underline{\underline{p_{2kr} = 2,64 \text{ bar}}}$$

da  $p_{2kr} > p_3$  ist, muß bei geordneter Expansion eine Lavaldüse verwendet werden.

b)  $\underline{e_{thm}^*}$  : nach Gl.(20-7) folgt:  $\underline{e_{thm}^*} = R \cdot T_o^* = 287 \cdot 500 = \underline{\underline{143,5 \frac{kJ}{kg}}}$  .

c)  $\underline{h_o^*}$  : ebenfalls nach Gl.(20-7) :  $h_o^* = c_p \cdot T_o^* = \frac{\varrho}{\varrho - 1} \cdot R \cdot T_o^*$  ;  
 $\underline{h_o^*} = \frac{1,4}{1,4 - 1} \cdot 287 \cdot 500 = \underline{\underline{502,25 \text{ kJ/kg}}}$  .

d)  $\underline{u_o^*}$  : Gl.(20-7) und Gl.(3-12) führen zu:  $u_o^* = c_v \cdot T_o^* = (c_p - R) \cdot T_o^*$  ;  
 $\underline{u_o^*} = (1004,5 - 287) \cdot 500 = \underline{\underline{358,75 \text{ kJ/kg}}}$  .

e)  $\underline{p_o^* \cdot v_o^*}$  : Nach Gl.(20-1) oder Gl.(20-9) erhält man :

$$\underline{p_o^* \cdot v_o^*} = h_o^* - u_o^* = 502,25 - 358,75 = \underline{\underline{143,5 \text{ kJ/kg}}}$$
 .

f)  $\underline{c_{so}^*}$  : Gl.(21-2):  $\underline{c_{so}^*} = \sqrt{1,4 \cdot 287 \cdot 500} = \underline{448,22 \text{ m/s}}$  .

g)  $\underline{p_{kr}}$  ;  $\underline{T_{kr}}$  ;  $\underline{\rho_{kr}}$  :

Da nachweislich eine Lavaldüse vorliegt, ist der engste auch gleichzeitig der kritische Querschnitt. - Den kritischen Druck hat man bereits unter Pos. a) berechnet:  $\underline{p_{2kr}} = 2,64 \text{ bar}$  .

Gl.(21-14) liefert jetzt aber die statische, absolute, kritische Temperatur zu: Wegen der Isentropität ist  $\underline{T_1^*} = T_o^*$  :

$\underline{T_{2kr}} = \frac{2}{\gamma+1} \cdot T_1^* = \frac{2}{1,4+1} \cdot 500 = \underline{416,67 \text{ K}}$  . - Am einfachsten kommt

man neben Gl.(21-16) mit der allgemeinen Gasgleichung zum Ziel:

$\underline{\rho_{kr}} = 2,64 \cdot 10^5 / (287 \cdot 416,67) = \underline{2,208 \text{ kg/m}^3}$  .

h)  $\underline{c_{2kr}}$  und  $\underline{c_{skr}}$  :

Nach Gl.(21-13) weiß man um ihre Gleichheit. - Es folgt danach:

$\underline{c_{2kr}} = \sqrt{2 \cdot \frac{\gamma}{\gamma+1} \cdot R \cdot T_1^*} = \sqrt{2 \cdot \frac{1,4}{1,4+1} \cdot 287 \cdot 500} = \underline{409,165 \text{ m/s} = c_{s2kr}}$  .

i)  $\underline{\dot{m}_{max}}$  :  $\underline{\dot{m}_{max}} = \rho_{kr} \cdot c_{2kr} \cdot A_{kr} = 2,208 \cdot 409,17 \cdot (\pi/4) \cdot 0,06^2 = \underline{2,555 \text{ kg/s}}$  .

j)  $\underline{\dot{m}_{max}}$  : Als geschlossene Gleichung bietet sich hierfür Gl.(21-18) an.

$\underline{\dot{m}_{max}} = \left[ \frac{2}{1,4+1} \right]^{1,4-1} \cdot \sqrt{\frac{1,4}{1,4+1}} \cdot \sqrt{2 \cdot 5 \cdot 10^5 \cdot \frac{5 \cdot 10^5}{287 \cdot 500}} \cdot (\pi/4) \cdot 0,06^2$  ;  
 $\underline{\dot{m}_{max}} = \underline{2,555 \text{ kg/s}}$  .

k)  $\underline{A_3}$  und  $\underline{D_3}$  :

Nachdem der Massenstrom festliegt, bietet sich mit  $p_o^* \rightarrow p_1^*$  und  $p \rightarrow p_3$  die Gl.(21-17) an :

$2,555 = \sqrt{2 \cdot 5 \cdot 10^5 \cdot 3,484 \cdot \left( \frac{2 \cdot 10^5}{5 \cdot 10^5} \right)^{1,4}} \cdot \sqrt{3,5 \cdot \left[ 1 - \left( \frac{2}{5} \right)^{0,286} \right]} \cdot A_3$   
 $\underline{A_3} = \underline{0,00293 \text{ m}^2}$  ;  $\underline{D_3} = \underline{0,0611 \text{ m}}$  .

l)  $\underline{Ma_3}$  : Die Austrittsgeschwindigkeit  $c_3$  berechne man mit Gl.(21-5):

$$c_3 = \sqrt{2 \cdot \frac{\alpha}{\alpha-1} \cdot R \cdot T_o^* \cdot \left\{ 1 - \left[ \frac{p_3}{p_o^*} \right]^{\frac{\alpha-1}{\alpha}} \right\}} = \sqrt{2 \cdot \frac{1,4}{1,4-1} \cdot 287 \cdot 500 \cdot \left[ 1 - \left( \frac{2}{5} \right)^{\frac{1,4-1}{1,4}} \right]}$$

weil bei einer isentropen Strömung die Totalzustände  $0^*$  und  $1^*$  gleich sind. Das Ergebnis lautet:

$$\underline{c_3 = 481,22 \text{ m/s} .}$$

Zur Ermittlung der Schallgeschwindigkeit  $c_{s3}$  benötigt man noch die absolute, statische Temperatur  $T_3$ , welche sich aus der Isentropengleichung nach Gl.(3-16) bestimmen läßt:

$$\underline{T_3 = T_o^* \cdot \left( \frac{p_3}{p_o^*} \right)^{\frac{\alpha-1}{\alpha}} = 500 \cdot \left( \frac{2}{5} \right)^{(1,4-1)/1,4} = 384,73 \text{ K} . - \text{Analog zu Gl.(21-10) folgt:}$$

$$\underline{Ma_3 = c_3 / \sqrt{\alpha \cdot R \cdot T_3} = 481,22 / \sqrt{1,4 \cdot 287 \cdot 384,73} ; \underline{Ma_3 = 1,22} .}$$

m)  $T_3$  : Bereits ermittelt zu  $T_3 = 384,73 \text{ K}$  .

#### 4. Beispiel

Nach den jetzigen Erkenntnissen ist es interessant geworden, das erste Beispiel dieser Reihe noch einmal aufzugreifen (Bild 21-1), dieses Mal aber mit dem absoluten, totalen Anfangsdruck von  $p_1^* = 5 \text{ bar}$  . -Man bestimme:

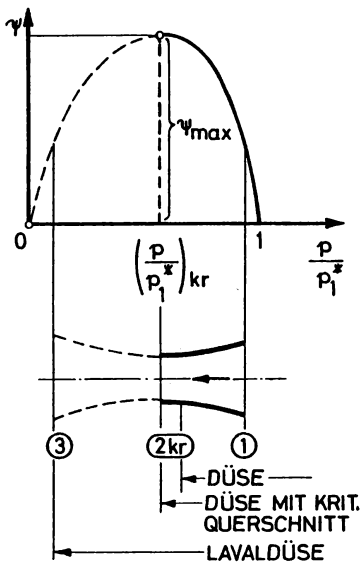


BILD 21-4

- das kritische und das angelegte Druckverhältnis;
- den statischen Druck in der Austrittsebene;
- eine Interpretation der Ausflußfunktion nach Darstellung von Bild 21-4.

#### Lösungen:

a)  $(p_2/p_1^*)_kr$  und  $p_o / p_1^*$  :

Für das zu berechnende kritische Druckverhältnis bietet sich Gl.(21-15) an:

$$\underline{\underline{\frac{p_{2kr}}{p_1^*} = \left( \frac{2}{1,4+1} \right)^{\frac{1,4}{1,4-1}} = 0,528 .}}$$

Das angelegte Druckverhältnis beträgt  $p_0/p_1^* = 1,015/5 = 0,203$  ;  
es ist kleiner als das kritische.

b)  $p_2$  :

Der engste Querschnitt fungiert als kritischer Querschnitt mit dem kritischen Zustand. Der statische Druck in der Austrittsebene ist infolgedessen  $p_{2kr}$  und nicht  $p_0$  wie im ersten Beispiel, wo das angelegte Druckverhältnis  $1,015/1,9 = 0,534$  größer ist als das kritische:

$$p_{2kr} = 0,528.5 \quad ; \quad \underline{\underline{p_{2kr} = 2,64 \text{ bar}}} \quad .$$

Verläßt der Strahl die düsenförmige Austrittsöffnung des Behälters, so zerplatzt der Strahl infolge einer ungeordneten, dissipativen Nachexpansion auf den Umgebungsdruck  $p_0 = 1,015 \text{ bar}$  !

c) Interpretation von Bild 21-4 :

Die Ausflußfunktion nach Gl. (21-17) ist für  $\gamma = 1,4$  qualitativ dargestellt. Auf S. 390 ist bereits gesagt worden, daß sie zwei Nullstellen und ein Maximum besitzt; Analoges gilt natürlich für den Massenstrom. Geht man bei der Diskussion immer von einer Unterschallzuströmung 1 aus, so sind fünf Fälle erwähnenswert.

#### 1. Fall

Das angelegte Druckverhältnis ist größer als das kritische. Der engste Querschnitt der konvergenten Düse zeigt keine kritischen Daten. Die Expansion geschieht bis zum Umgebungsdruck.

#### 2. Fall

Das angelegte Druckverhältnis ist gleich dem kritischen. Der engste Querschnitt heißt jetzt auch kritischer Querschnitt. Die Expansion erfolgt bis zum Umgebungsdruck.

#### 3. Fall

An die nur konvergente Düse wird nunmehr ein Druckverhältnis angelegt, das kleiner ist als das kritische. Der engste Querschnitt ist zwar ein kritischer Querschnitt, aber der Strahl zerplatzt infolge dissipativer Nachexpansion auf Umgebungsdruck. Der Massenstrom behält seinen maximalen Wert bei, gleichgültig, wie niedrig der Gegendruck ist.

#### 4. Fall

Erst die Lavaldüse erlaubt eine geordnete Expansion auf Überschall bei maximalem Massenstrom, wenn der Austrittsdruck gleich dem Umgebungsdruck ist, was durch eine entsprechende Kanaldivergenz erreicht wird.

#### 5. Fall

Ist die Kanalerweiterung ungenügend, dann stellt sich im Sinne der Aus-

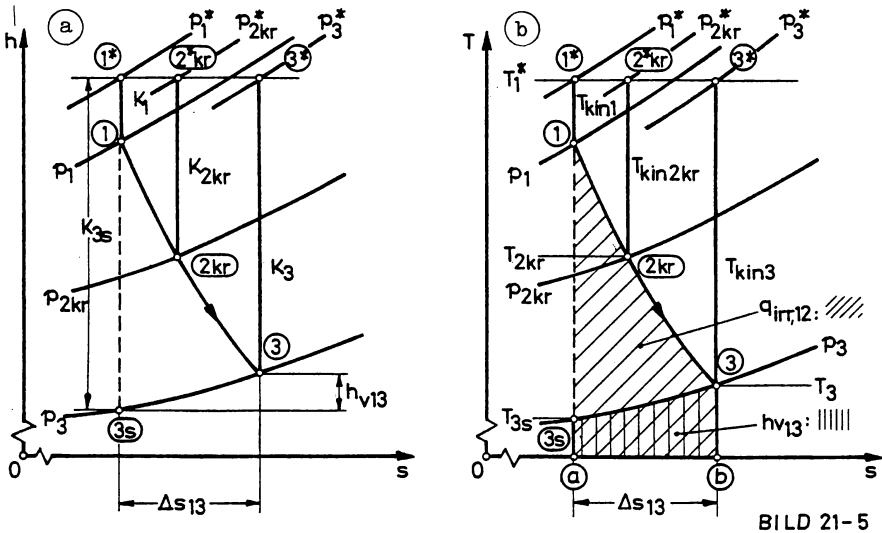
flußfunktion ein Austrittsdruck  $p_3$  ein, welcher noch über dem Umgebungsdruck liegt, so daß auch hier eine dissipative Nachexpansion auftritt. - Der divergente Verlauf der Lavaldüse ist deshalb erforderlich, weil nach dem kritischen Zustand das spezifische Volumen gas- und dampfförmiger Fluide stärker zunimmt als die Geschwindigkeit!

### 5. Beispiel

Es ist eine adiabate und irreversible Strömung durch eine Lavaldüse (Bild 21-2) zu untersuchen. - Angaben: Luft mit  $c_p = 1004,5 \text{ J/(kg.K)}$ ;  $\kappa = 1,4$ ;  $R = 287 \text{ J/(kg.K)}$ ;  $c_1 = 50 \text{ m/s}$ ;  $T_1 = 450 \text{ K}$ ;  $p_1 = 12 \text{ bar}$ ;  $p_3 = 4 \text{ bar}$ ; die Dissipationen werden durch den Geschwindigkeitsverlustbeiwert  $\varphi = 0,9$  berücksichtigt:

$$c_3 = \varphi \cdot c_{3s} \quad (21-20) ;$$

$c_{3s}$  ist die isentrop erreichte Endgeschwindigkeit. - Die Strömungsvorgänge sind in einem qualitativen  $h$ - $s$ - und  $T$ - $s$ -Diagramm festgehalten, Bild 21-5. - Man bestimme :



- den Nachweis, daß die Totaltemperaturen längs der Düse konstant bleiben;
- den statischen Zustand  $p_1$  und  $T_1$  ;
- die reale Austrittsgeschwindigkeit  $c_3$  und die massenspezifische

kinetische Energie  $K_3$  ;

d) den Strömungsverlust

$$h_v = K_{3s} - K_3 \quad (21-21),$$

der als Manko an kinetischer Energie verstanden werden möge.

e) die reale, statische Endtemperatur  $T_3$  ;

f) den Polytropenexponenten  $n$  ;

g) den realen Totaldruck am Ende  $p_3^*$  ;

h) für den realen kritischen Zustand  $p_{2kr}$  ;  $T_{2kr}$  ;  $K_{2kr}$  ;  $c_{2kr}$  ;  $p_{2kr}^*$  ;

i) die Entropiezunahme  $\Delta s$

j) die Reibungswärme  $q_{irr}$

k) den Vergleich zwischen Strömungsverlust und Reibungswärme.

### Lösungen:

a) Nachweis für die Konstanz der Totaltemperaturen :

Die Differentiation der Bernoulligleichung nach Gl.(21-3) ergibt für den stationären Strömungsfall:

$$v \cdot dp = -c \cdot dc - dw_R$$

Man ersetze  $v \cdot dp$  mittels des ersten Hauptsatzes der Thermodynamik, Gl.(20-14), und bekommt:

$$dh - dq_A - dq_{irr} = -c \cdot dc - dw_R ;$$

da ein adiabater Strömungsfall vorliegt, ist der Wärmeaustausch  $dq_A = 0$ . Reibungswärme  $dq_{irr}$  und die Reibungsarbeit  $dw_R$  entsprechen einander, so daß auch sie verschwinden. Es bleibt:  $dh + c \cdot dc = 0$ . Die Integration erbringt:

$$h_2 - h_1 = c_1^2/2 - c_2^2/2$$

Im Sinne des Kommentars zur Gl.(21-6), S.385, definiert man die Totalenthalpie:

$$h_2 + c_2^2/2 = h_2^* = h_1 + c_1^2/2 = h_1^* = h^* \quad (21-22).$$

Man erkennt: Bei einer adiabaten Strömung, ob reversibel oder irreversibel, bleibt die Totalenthalpie konstant. - Das bedeutet für ein vollkommenes Gas, daß nach Division der Totalenthalpiewerte durch die konstante spezifische Wärme  $c_p$  ohne weiteres die Konstanz auch der Totaltemperaturen folgt:

$$\underline{T_1^* = T_2^* = T^*}$$

b)  $p_1$  ;  $T_1$  :

$$\text{Gl.(21-7) : } T_1 = T_1^* - c_1^2/(2 \cdot c_p) = 450 - \frac{50^2}{2 \cdot 1004,5} ; \quad \underline{T_1 = 448,76 \text{ K}}$$

- 398 -

$$\text{Gl. (3-16): } p_1 = p_1^* \cdot (T_1/T_1^*)^{\frac{\alpha}{\alpha-1}} = 12 \cdot 10^5 \cdot (448,76/450)^{1,4/(1,4-1)} \text{ Pa;}$$

$$\underline{\underline{p_1 = 11,88 \text{ bar}}}$$

c)  $c_3$  und  $K_3$  :

$$\text{Gl. (21-20): } c_3 = \varphi \cdot c_{3s} ; c_{3s} \text{ nach Gl. (21-5):}$$

$$c_{3s} = \sqrt{2 \cdot \frac{1,4}{1,4-1} \cdot 287 \cdot 450 \cdot \left[ 1 - (4/12)^{0,286} \right]} ; \underline{\underline{c_{3s} = 493,72 \text{ m/s}}}$$

$$c_3 = 0,9 \cdot 493,72 ; \underline{\underline{c_3 = 444,35 \text{ m/s}}}$$

$$\text{Gl. (1-8) : } K_3 = c_3^2/2 = 444,35^2/2 ; \underline{\underline{K_3 = 98,722 \text{ kJ/kg}}}$$

d)  $h_v$  :

$$\text{Gl. (21-21) : } h_v = K_{3s} - K_3 = \frac{493,72^2}{2} - 98,722 ; \underline{\underline{h_v = 23,156 \text{ kJ/kg}}}$$

e)  $T_3$  :

$$\text{Gl. (21-7) : } T_3 = T_3^* - \frac{c_3^2}{2 \cdot c_p} = 450 - \frac{444,35^2}{2 \cdot 1004,5} ; \underline{\underline{T_3 = 351,72 \text{ K}}}$$

f)  $n$  :

Setzt man eine quasi-statische Zustandsänderung voraus, so läßt sich die irreversible, adiabate Zustandsänderung durch einen Polytropenexponenten nach Gl. (3-16) beschreiben:

$$\frac{p_3}{p_1} = \left[ \frac{T_3}{T_1} \right]^{\frac{n}{n-1}} ; \frac{n}{n-1} \cdot \ln \frac{351,72}{448,76} = \ln \frac{4}{11,88} ; \frac{n}{n-1} = 4,4677 ; \underline{\underline{n = 1,288}}$$

g)  $p_3^*$  :

$$\text{Gl. (3-16) : } p_3^* = p_3 \cdot (T_3^*/T_3)^{\frac{\alpha-1}{\alpha}} = 4 \cdot 10^5 \cdot (450/351,72)^{3,5} ; \underline{\underline{p_3^* = 9,476 \text{ bar}}}$$

h)  $p_{2kr}$ ;  $T_{2kr}$ ;  $K_{2kr}$ ;  $c_{2kr}$ ;  $p_{2kr}^*$  :

$$\text{Gl. (21-15) : } p_{2kr} = 0,528 \cdot 12 \cdot 10^5 \text{ Pa ; } \underline{\underline{p_{2kr} = 6,336 \text{ bar}}}$$

$$\text{Gl. (3-16) : } T_{2kr} = T_1 \cdot (p_{2kr}/p_1)^{(n-1)/n} = 448,76 \cdot (6,336/11,88)^{0,224} \text{ K;}$$

$$\underline{\underline{T_{2kr} = 389,82 \text{ K}}}$$

$$\text{Gl. (3-10) : } \Delta h = K_{2kr} = c_p \cdot \Delta T = 1004,5 \cdot (450 - 389,82) ;$$

$$\underline{\underline{K_{2kr} = 60,453 \text{ kJ/kg}}}$$

$$\text{Gl. (1-8)} : c_{2kr} = \sqrt{2 \cdot K_{2kr}} = \sqrt{2 \cdot 60453} ; \quad \underline{c_{2kr} = 347,71 \text{ m/s.}}$$

$$\text{Gl. (3-1)} : p_{2kr}^* = p_{2kr} \cdot (T_{2kr}^* / T_{2kr})^{\frac{\alpha}{\alpha-1}} = 6,336 \cdot 10^5 \cdot (450/389,82)^{3,5} \text{ Pa};$$

$$\underline{p_{2kr}^* = 10,472 \text{ bar.}}$$

i)  $\Delta s_{13}$  :

$$\text{Nach S.381 gilt: } \Delta s_{irr,13} = c_v \cdot \frac{n-\alpha}{n-1} \cdot \ln(T_3/T_1) ; \quad \underline{c_v = \frac{c_p}{\alpha} = 717,5 \frac{\text{J}}{\text{kg} \cdot \text{K}}}$$

$$\Delta s_{irr,13} = 717,5 \cdot \frac{1,288 - 1,4}{1,288 - 1} \cdot \ln 351,72/448,76 ;$$

$$\underline{\Delta s_{irr,13} = 67,99 \text{ J/(kg} \cdot \text{K)}} .$$

j)  $q_{irr}$  :

$$\text{Nach S.380 gilt: } q_{irr} = c_v \cdot \frac{n-\alpha}{n-1} \cdot (T_3 - T_1) ;$$

$$q_{irr} = 717,5 \cdot \frac{1,288 - 1,4}{1,288 - 1} \cdot (351,72 - 448,76) ; \quad \underline{q_{irr} = 27,077 \frac{\text{kJ}}{\text{kg}}} .$$

k) Vergleich zwischen Strömungsverlust und Reibungswärme :

Überraschenderweise stellt man fest, daß bei adiabater und irreversibler Strömung der Strömungsverlust geringer ist als die Reibungswärme. Es fällt der sogenannte Wärmerückgewinn  $q_{RG}$  an:

$$\boxed{q_{irr} = h_v + q_{RG}} \quad (21-23).$$

Da die Reibungswärme spontan und isobar dem Fluid zugeführt wird, liegt die Endenthalpie höher als bei isentroper Expansion.- Im Ts-Diagramm liegt die Reibungswärme als Fläche unterhalb der Zustandsänderungslinie 1-2kr-3.-Der Strömungsverlust läßt sich auch mit  $h_v = h_3 - h_{3s}$  ausdrücken. Versteht man unter der Enthalpie aufgrund ihrer Berechnungsart isobar zu- oder abgeführte Wärme, so stellt die Fläche unterhalb der Isobaren  $p_3$  zwischen den Grenzen a und b den auftretenden Strömungsverlust dar. - Siehe auch Bild 21-5, Pos. a und b .

Es wird hier nochmals daraufhingewiesen, daß der sogenannte Strömungsverlust als Mangel an kinetischer Energie aufzufassen ist.  $h_v$  ist energetisch zwar im Fluid vorhanden, kann aber nicht umgeformt werden.



## 6. Beispiel

Durch eine Stahlrohrleitung (  $D = 0,2 \text{ m}$ ;  $L = 500 \text{ m}$ ;  $k = 0,2 \text{ mm}$  ) strömt Methan ( $\text{CH}_4$ ;  $R = 518,31 \text{ J}/(\text{kg.K})$ ;  $c_p = 2156 \text{ J}/(\text{kg.K})$ ;  $\alpha = 1,317$ ;  $v_1 = 0,5 \cdot 10^{-6} \text{ m}^2/\text{s}$  ) mit folgenden Anfangsdaten:  $T_1 = 300 \text{ K}$ ;  $p_1 = 25 \text{ bar}$ ;  $c_1 = 50 \text{ m/s}$ . -Man bestimme :

- die Bernoulligleichung in entwickelter Form für eine isotherme Rohrströmung;
- dafür die Austrittsgeschwindigkeit  $c_2$  und den Druck  $p_2$  sowie  $Ma_2$ ;
- die Bernoulligleichung in entwickelter Form für eine adiabate Rohrströmung;
- dafür  $c_2$  und  $p_2$ ; zur Kontrolle  $Ma_2$  .

### Lösungen:

#### a) Isotherme Rohrströmung:

Diese Strömungsart liegt nahezu bei in der Erde verlegten Pipelines vor. -Die differenzierte Bernoulligleichung wird in der Form, wie sie auf S.397 erwähnt ist, hier übernommen:

$$v \cdot dp = - c \cdot dc - dw_R \quad (1)$$

Differenzierte Form der Kontinuitätsgleichung, Gl. (11-17):

(Logarithmische Diff.)  $0 = d\varrho/\varrho + dc/c + dA/A$  ; (2)  
 $dA/A$  verschwindet bei einer Rohrströmung.

Differenzierte Form der Zustandsgleichung, Gl. (3-7):

(Logarithmische Diff.)  $dT/T = dp/p - d\varrho/\varrho = dp/p + dv/v$  (3).

Setzt man (2) in (3) ein, dann folgt:

$$dT/T = dp/p + dc/c \quad (4).$$

Wegen der isothermen Strömung ist  $dT/T = 0$ , so daß gilt:

$$dp/p = - dc/c \quad (5).$$

Ersetzt man in (1)  $v$  durch  $R \cdot T_1/p$  und  $dp$  nach (5), dann folgt:

$$R \cdot T_1 \cdot dc/c - c \cdot dc = dw_R \quad (6).$$

Für ein differentielles Rohrstück ergibt sich nach den Gl. (17-2) und Gl. (17-5) für die Reibungsarbeit:

$$dw_R = \lambda / (2 \cdot D) \cdot dx \cdot c^2 \quad (7).$$

Setzt man jetzt (7) in (6) ein, dann erhält man eine Differentialgleichung:

$$R \cdot T_1 \cdot \frac{dc}{c^3} - \frac{dc}{c} = \frac{\lambda}{2 \cdot D} \cdot dx \quad .$$

Die Integration zwischen 1 und 2 ergibt:

$$R \cdot T_1 \cdot \left[ \frac{1}{c_1^2} - \frac{1}{c_2^2} \right] + \ln \left[ \frac{c_1}{c_2} \right]^2 = \frac{\lambda}{D} \cdot L$$

Erinnert man sich der Machzahl nach Gl.(15-6) und der Schallgeschwindigkeit nach Gl.(21-2), so erhält man mit  $c_{s1}^2 = \alpha \cdot R \cdot T_1$  und  $Ma_1^2 = c_1^2 / c_{s1}^2$ :

$$\frac{1}{\alpha \cdot Ma_1^2} \cdot \left[ 1 - \left( \frac{c_1}{c_2} \right)^2 \right] + \ln \left( \frac{c_1}{c_2} \right)^2 = \lambda \cdot \frac{L}{D} \quad (21-24).$$

Die Rohrreibungszahl bleibe aus Gründen der Vereinfachung konstant und werde mit den Daten für den Anfangszustand beschafft. Die obige Gleichung wird durch  $c_2$ -Variation näherungsweise ermittelt.

b)  $c_2$  und  $p_2$ ; zur Kontrolle  $Ma_2$  :

Zunächst werden einige Daten ermittelt, bevor das Näherungsverfahren beginnen kann. -  $c_{s1} = \sqrt{1,317 \cdot 518,31 \cdot 300}$  ;  $c_{s1} = 452,53 \text{ m/s}$  ;  
 $Ma_1 = c_1 / c_{s1} = 50 / 452,53$  ;  $Ma_1 = 0,11$  .

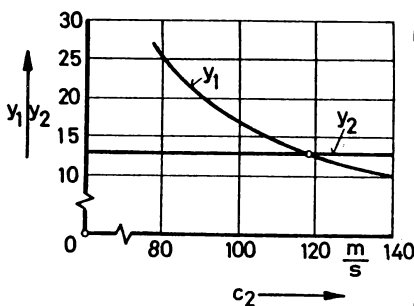
Bestimmung von  $\lambda$  : Hierzu benötigt man die Re-Zahl:  $Re = c_1 \cdot D / \nu_1$  ;  
 $Re = 50 \cdot 0,2 / (0,5 \cdot 10^{-6}) = 2 \cdot 10^7$  ; aus Bild 17-2 ist für die relative Rauigkeit  $k_s / D \approx k / D = 0,2 / 200 = 0,001$  damit die Rohrreibungszahl  $\lambda$  abzulesen:  $\lambda = 0,02$  . Setzt man nun alle Angaben in Gl.(21-24) ein, dann ergibt sich:

$$62,752 - 62,752 \cdot (50/c_2)^2 + \ln(50/c_2)^2 = 0,02 \cdot 500 / 0,2 = 50$$

$$62,752 \cdot (50/c_2)^2 - \ln(50/c_2)^2 = 12,752$$

$$\underbrace{\hspace{10em}}_{y_1 = f(c_2)} \quad \underbrace{\hspace{10em}}_{y_2 = \text{const}}$$

Die grafische Näherungslösung nach dem Intersektionsverfahren ist in Bild 21-6 angeboten. - Man wähle zunehmende  $c_2$ -Werte (siehe Tabelle)



$c_2$ m/s	$y_1$	$y_2$
80	25,45	12,75
100	17,07	"
120	12,65	"
140	10,06	"

$$c_2 \approx 118 \frac{\text{m}}{\text{s}}$$

und berechne  $y_2$  .

Diese Funktion schneidet  $y_1 = \text{const}$  etwa bei einem Geschwindigkeitswert von

$$\underline{\underline{c_2 = 118 \text{ m/s} .}}$$

BILD 21-6

Daß die Geschwindigkeit zunehmen muß, beruht darauf: Infolge der Überwindung des Rohrreibungswiderstandes nimmt der statische Druck des Gases ab, das spezifische Volumen steigt, so daß wegen gleichbleibenden Querschnitts die Geschwindigkeit anwachsen muß. Der zur Beschleunigung erforderliche Druckunterschied bleibt bei dieser Näherung außer Betracht.

Den statischen Druck am Ende der Rohrleitung bekommt man mit Hilfe der Kontinuität und der Zustandsgleichung:

$$\begin{aligned} \rho_1 \cdot c_1 \cdot A_1 &= \rho_2 \cdot c_2 \cdot A_2 ; \\ \rho_1 &= \frac{p_1}{R \cdot T_1} = \frac{25 \cdot 10^5}{518,31 \cdot 300} ; \quad \rho_1 = 16,078 \text{ kg/m}^3 ; \\ \rho_2 &= 50 \cdot 16,078 / 118 ; \quad \rho_2 = 6,813 \text{ kg/m}^3 ; \quad p_2 = \rho_2 \cdot R \cdot T_1 ; \\ p_2 &= 6,813 \cdot 518,31 \cdot 300 ; \quad p_2 = 10,593 \text{ bar} . \end{aligned}$$

Man muß bei solchen Aufgaben die Austrittsmachzahl  $Ma_2$  kontrollieren, weil sie nicht gegen den Wert eins anwachsen darf. Sonst entstünde ein ebener Verdichtungsstoß, der zusätzliche Dissipationen auslöst. Darüber wird in Abschn. 21.5.2 berichtet.

$$Ma_2 = c_2 / c_{s2} = c_2 / c_{s1} = 118 / 452,53 ; \quad \underline{\underline{Ma_2 = 0,26 < 1 !}}$$

### c) Adiabate Rohrströmung :

Diese Strömungsart liegt bei isolierten Heißdampf- und Heißgasleitungen sowie bei Kaltdampfleitungen beispielsweise vor.

Von einer adiabaten Strömung, ob reversibel oder irreversibel, weiß man seit Gl.(21-22), daß die Totalenthalpie längs der Rohrleitung gleich groß bleibt. Die differentielle Form dieses Sachverhaltes lautet:

$$dh + c \cdot dc = 0 \quad (8) ;$$

Weiterentwicklung von  $dh$  :

$$dh = c_p \cdot dT ; \text{ beachtet man (4), dann folgt: } dh = c_p \cdot T \cdot (dp/p + dc/c) ;$$

$$dh = c_p \cdot (T/p) \cdot dp + c_p \cdot T \cdot dc/c ; \text{ mit } p/\rho = R \cdot T \text{ und } c_p = \alpha \cdot R / (\alpha - 1)$$

ergibt sich dann, wenn man mit  $T = T^* - c^2 / (2 \cdot c_p)$  die Totaltemp. einfügt:

$$(8): \quad \frac{\alpha}{\alpha - 1} \cdot \frac{dp}{\rho} + \frac{\alpha}{\alpha - 1} \cdot R \cdot (T^* - c^2 / (2 \cdot c_p)) \cdot dc/c + c \cdot dc = 0 ;$$

mit (1) zusammen bekommt man jetzt unter Verwendung von (7):

$$-\frac{\alpha + 1}{2 \cdot \alpha} \cdot c \cdot dc + R \cdot T^* \cdot dc/c = dw_R = \lambda \cdot \frac{c^2}{2 \cdot D} \cdot dx , \text{ was sich}$$

zur folgenden Differentialgleichung umformen läßt:

$$(R.T^* - \frac{\alpha + 1}{2.\alpha} \cdot c^2) \cdot \frac{dc}{c^3} = \frac{\lambda}{2} \cdot \frac{dx}{D} ;$$

die Integration liefert:

$$R.T^* \cdot \left( \frac{1}{c_1^2} - \frac{1}{c_2^2} \right) + \frac{\alpha + 1}{2.\alpha} \cdot \ln\left(\frac{c_1}{c_2}\right) = \lambda \cdot \frac{L}{D} ;$$

in Anlehnung an den Aufbau der Gl.(21-24) klammert man links  $c_1^2$  aus und führt die Machzahl für die Totaltemperatur  $Ma_1^* = c_1 / \sqrt{\alpha \cdot R.T^*}$  ein:

$$\frac{1}{\alpha \cdot Ma_1^{*2}} \cdot \left[ 1 - \left( \frac{c_1}{c_2} \right)^2 \right] + \frac{\alpha + 1}{2.\alpha} \cdot \ln \left( \frac{c_1}{c_2} \right)^2 = \lambda \cdot \frac{L}{D} \quad (21-25).$$

Aus genannten Gründen rechnet man auch hier mit gleichbleibender Rohrreibungszahl  $\lambda$ . Die Näherungslösung wird durch das Intersektionsverfahren wiederum erreicht.

d)  $c_2$  und  $p_2$  ; zur Kontrolle  $Ma_2$  :

Datenbeschaffung:

$$\text{Totaltemperatur nach Gl.(21-7) : } T_1^* = T_1 + \frac{c_1^2}{2 \cdot c_p} = T^* ;$$

$$T^* = 300 + 50^2 / (2 \cdot 2156) ; \quad \underline{T^* = 300,58 \text{ K.}}$$

$$\text{Schallgeschwindigkeit für den Totalzustand: } c_{s1}^* = \sqrt{1,317 \cdot 518,31 \cdot 300,58} ;$$

$$\underline{c_{s1}^* = 452,97 \text{ m/s} .}$$

$$\text{Anfangsmachzahl für den Totalzustand : } Ma_1^* = 50 / 452,97 ; \underline{Ma_1^* = 0,11.}$$

$$\text{Bestimmung von } \lambda : \text{Wert kann sofort übernommen werden; } \underline{\underline{\lambda = 0,02.}}$$

Datenverwertung in Gl.(21-25):

$$62,317 - 62,317 \cdot (50/c_2)^2 + 0,88 \cdot \ln(50/c_2)^2 = 50$$

$$62,317 \cdot (50/c_2)^2 - 0,88 \cdot \ln(50/c_2)^2 = 12,317$$

$$70,815 \cdot (50/c_2)^2 - \ln(50/c_2)^2 = 13,997 ;$$

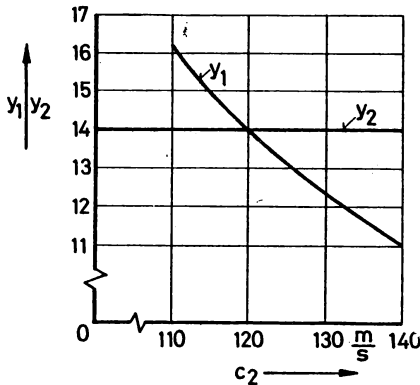
$$y_1 = f(c_2)$$

$$y_2 = \text{const}$$

Die grafische Näherungslösung ist in Bild 21-7 dargestellt. -

Die Näherungslösung ergibt  $c_2 = 120 \text{ m/s}$  .

Interessanterweise unterscheidet sich dieser Wert nur wenig von dem der isothermen Rohrströmung.



$c_2$ m/s	$y_1$	$y_2$
110	16,21	13,997
120	14,05	"
130	12,39	"
140	11,09	"

$$c_2 \approx 120 \frac{\text{m}}{\text{s}}$$

BILD 21-7

Dichte am Ende:

$$\varrho_1 \cdot c_1 = \varrho_2 \cdot c_2 ;$$

$$Q_2 = 50 \cdot 16,078 / 120$$

$$\underline{\underline{\varrho_2 = 6,7 \text{ kg/m}^3 .}}$$

Bei der isothermen Strömung bleibt die statische Temperatur konstant, wogegen hier im Falle adiabater Strömung die Totaltemperatur unverändert bleibt. Deshalb

erhält man die absolute, statische Endtemperatur über:

$$T_2 = T^* - c_2^2 / (2 \cdot c_p) = 300,58 - 120^2 / (2 \cdot 2156) ; \quad \underline{\underline{T_2 = 297,24 \text{ K} .}}$$

$$\text{Enddruck : } p_2 = \varrho_2 \cdot R \cdot T_2 = 6,7 \cdot 518,31 \cdot 297,24 ;$$

$$\underline{\underline{p_2 = 10,322 \text{ bar} .}}$$

Die Machzahlkontrolle kann entfallen.

Bemerkung: Diese beiden Extremfälle der Strömung mit vollkommenem Wärmeaustausch (isotherme Strömung) und der Strömung bei vollkommener Wärmeisolierung (adiabate Strömung) stecken für die Praxis die Grenzen ab, zwischen denen die Realität der Zustandsgrößen technischer Rohrströmungen liegt.

#### 21.4. Energieformel

##### 21.4.1. Theorie

Die allgemeinste Energieformel, also die Energiebilanzgleichung mit Arbeitsaustausch, steht auf S.231 als Gl.(12-9). Bezüglich stationärer Strömungen im Erdschwerefeld lautet sie:

$$\frac{c_2^2}{2} - \frac{c_1^2}{2} + 2 \cdot \underbrace{\int_{1.2} \vec{\omega} \times \vec{c} \cdot d\vec{r}}_{= J} + \int_{1.2} v \cdot dp + g \cdot (z_2 - z_1) = 0 .$$

Im Turbinenfall stellt das Integral  $J$  die vom Fluid verrichtete Arbeit dar. Man hat darunter neben der Turbinenarbeit  $Y_1$  auch die Rei-

bungsarbeit  $w_{R12}$  zu verstehen, so daß gilt:  $J = Y_i + w_{R12}$ . Die Vorzeichen (hier +) sind derart gewählt, daß die abgegebenen Arbeiten das gleiche Vorzeichen tragen wie die Größen mit Index 2, damit  $Y_i$  als positive Größe erhalten werden kann:

$$Y_i = - \int_{1.2} v \cdot dp + \frac{c_1^2}{2} - \frac{c_2^2}{2} + g \cdot z_1 - g \cdot z_2 - w_{R12} \quad (21-26).$$

Wird das Integral durch den ersten Hauptsatz der Thermodynamik, Gl. 20-14, ersetzt, dann bekommt man zunächst:

$$Y_i = q_{A12} + q_{irr12} + h_1 - h_2 + \frac{c_1^2}{2} - \frac{c_2^2}{2} + g \cdot z_1 - g \cdot z_2 - w_{R12} \quad \text{.Wiederum}$$

entsprechen sich Reibungswärme und Reibungsarbeit, so daß man unter Verwendung der Totalenthalpie, Gl. (21-4) und Gl. (21-22), schließlich notieren kann:

$$Y_i = h_1^* - h_2^* + g \cdot (z_1 - z_2) + q_{A12} \quad (21-27).$$

Da bei Gas- und Dampfturbinen Energie als Wärme aus dem System abfließt,  $q_{A12}$  also negativ würde, ist auf beste Isolation zu achten, solange das Fluid eine relativ hohe Temperatur besitzt. Die Energieumformung geschieht demnach adiabatisch. Verzichtet man, wie es bei Gas- und Dampfturbinen immer geschieht, auf das Schwereglied, dann nimmt die Energieformel die denkbar einfache Gestalt an:

$$Y_i = h_1^* - h_2^* \quad (21-28).$$

Im Kompressorenfall stellt das Integral  $J$  die am Fluid verrichtete Arbeit dar. Man hat darunter neben der spezifischen Schaufel- oder Radarbeit  $-Y_{th}$  (Minuszeichen wegen Arbeitszufuhr) auch die Reibungsarbeit  $w_{R12}$  zu verstehen, so daß gilt:  $J = -Y_{th} + w_{R12}$ . Die Vorzeichen sind so gewählt, daß die zugeführte Arbeit das gleiche Vorzeichen trägt wie die Größen mit Index 1 und die abgeführte Arbeit vorzeichenmäßig genauso bestückt ist wie die Größen mit Index 2. Dadurch kann  $Y_{th}$  jetzt ebenfalls als positive Größe bei Zahlenrechnungen erhalten werden.

$$Y_{th} = \int_{1.2} v \cdot dp + \frac{c_2^2}{2} - \frac{c_1^2}{2} + g \cdot z_2 - g \cdot z_1 + w_{R12} \quad (21-29).$$

Die Umformung mit Hilfe des ersten Hauptsatzes der Thermodynamik liefert:

$$Y_{th} = h_2 - h_1 - q_{A12} - q_{irr12} + c_2^2 / 2 - c_1^2 / 2 + g \cdot z_2 - g \cdot z_1 + w_{R12}.$$

Nach Kompensation der Reibungsarbeit und Reibungswärme bleibt:

$$Y_{th} = h_2^* - h_1^* + g \cdot (z_2 - z_1) - q_{A12} \quad (21-30).$$

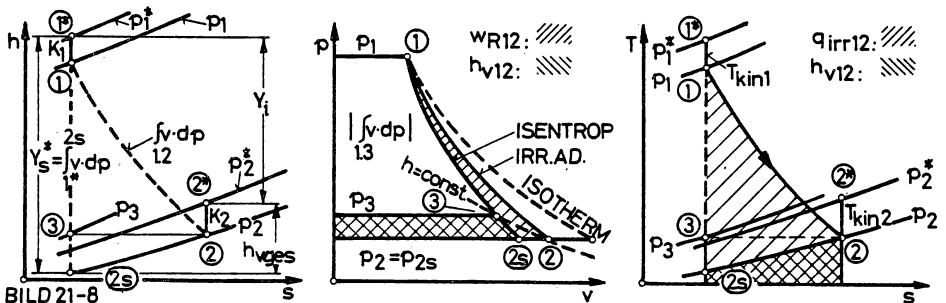
Man muß im Kompressorenfall natürlich darauf achten, damit zur Zielerreichung  $Y_{th}$ , der Aufwand nämlich, möglichst klein wird. Wärmeabfuhr, d.h. Kühlung, ist angebracht. Wenn man bei einem Kompressor keine Kühler vorsieht, verständlicherweise auch auf den Schwereeinfluß verzichtet, dann ist auch hier die Energieformel denkbar einfach:

$$Y_{th} = h_2^* - h_1^* \quad (21-31).$$

Der Verdichtungs Vorgang verläuft in der thermischen Turbomaschine deshalb u.U. quasi-adiabat, weil sie vom Fluid relativ schnell durchströmt wird, so daß zum Wärmeaustausch wenig Zeit zur Verfügung steht.

#### 21.4.2. Beispiel

Das Expansionsgeschehen einer Heißluftturbine ist in drei thermodynamischen Diagrammen des Bildes 21-8 verdeutlicht. Im  $h, s$ -Diagramm kann



man u.a. kinetische Energie und isentrop berechenbare Arbeit sowie Strömungsverluste angeben. - Das  $p, v$ -Diagramm eignet sich besonders für die Darstellung jeglicher Art von Arbeit, also auch der polytropen Druckarbeit, wozu das  $h, s$ -Diagramm nicht in der Lage ist. - Im  $T, s$ -Diagramm lassen sich Reibungswärme (Reibungsarbeit) und Strömungsverlust (nicht abbaufähige, in mechanische Arbeit wandlungsunfähige Enthalpie-

differenz, und zwar in der vorgegebenen Maschine) flächenhaft veranschaulichen. -Angaben: Irreversibel adiabate Expansion;  $T_1^* = 875 \text{ K}$ ;  $p_1^* = 5 \text{ bar}$ ;  $p_2 = 1 \text{ bar}$ ;  $c_1 = 60 \text{ m/s}$ ;  $c_2 = 80 \text{ m/s}$ ;  $c_p = 1050 \text{ J/(kg.K)}$ ;  $R = 300 \text{ J/(kg.K)}$ ;  $\kappa = 1,4$ ; innerer Wirkungsgrad  $\eta_i = Y_i/Y_s^* = 0,8$ . - Man bestimme bei einer Berechnung von Flansch zu Flansch:

- den statischen Anfangszustand durch  $T_1$  und  $p_1$ ;
- das totale isentrope Gefälle  $Y_s^*$  sowie die massenstromspezifische, innere Turbinenleistung  $Y_i$ ;
- die totale und die statische Austrittstemperatur  $T_2^*$  und  $T_2$ ;
- den Polytropenexponenten  $n$ ;
- den gesamten Strömungsverlust  $h_{v,ges} = h_{v12} + K_2$ ;
- die Reibungswärme  $q_{irr12}$ ;
- den Wärmerückgewinn  $q_{RG}$ ;
- die Entropieänderung  $\Delta s_{12}$ .
- die polytrope Druckarbeit  $Y_{pol,12} = - \int_{1.2} v \cdot dp$ .

Lösungen:

a)  $T_1$  und  $p_1$ :

$$\text{Gl. (21-7): } T_1 = T_1^* - c_1^2 / (2 \cdot c_p) = 875 - 60^2 / (2 \cdot 1050) ; \quad \underline{T_1 = 873,29 \text{ K.}}$$

$$\text{Gl. (3-16): } p_1 = p_1^* \cdot (T_1/T_1^*)^{\kappa/(\kappa-1)} = 5 \cdot 10^5 \cdot (873,29/875)^{1,4/0,4} \text{ Pa;}$$

$$\underline{\underline{p_1 = 4,9658 \text{ bar.}}}$$

b)  $Y_s^*$  und  $Y_i$ :

Isentrope Arbeiten berechnet man bekanntlich mit (siehe auch die Ableitungen zu Gl. (21-3) und Gl. (21-5)):

$$Y_s = \frac{\kappa}{\kappa-1} \cdot R \cdot T_1 \cdot \left[ 1 - (p_2/p_1)^{(\kappa-1)/\kappa} \right] \quad (21-32).$$

Legt man die Grenzen hier zwischen  $1^*$  und  $2s$  fest, dann folgt:

$$Y_s^* = \frac{1,4}{1,4-1} \cdot 300 \cdot 875 \cdot \left[ 1 - (1/5)^{0,4/1,4} \right] \text{ J/kg ;} \quad \underline{\underline{Y_s^* = 338,93 \frac{\text{kJ}}{\text{kg}}.}}$$

$$Y_i = \eta_i \cdot Y_s^* = 0,8 \cdot 338,93 ; \quad \underline{\underline{Y_i = 271,16 \text{ " .}}}$$

c)  $T_2^*$  und  $T_2$ :

$$\underline{h_2^*} = h_1^* - Y_i = c_p \cdot T_1^* - Y_i = 1050 \cdot 875 - 271160 = \underline{647,59 \text{ kJ/kg}} ;$$

$$\text{Gl. (20-7): } T_2^* = h_2^* / c_p = 647590 / 1050 ; \quad \underline{\underline{T_2^* = 616,75 \text{ K.}}}$$

$$\text{Gl. (21-7): } T_2 = 616,75 - 80^2 / (2 \cdot 1050) ; \quad \underline{\underline{T_2 = 613,70 \text{ K.}}}$$



d) n :

$$\text{Gl. (3-16): } 1/5 = (613,7/873,29)^{n/(n-1)} ; \ln 0,2 = \frac{n}{n-1} \cdot \ln 0,7027 ;$$
$$n/(n-1) = 0,5677 ; \quad \underline{\underline{n = 1,2807}}$$

e) h<sub>v,ges</sub> :

$$\text{Gl. (3-10): } \Delta h = c_p \cdot \Delta T ; Y_s^* = c_p \cdot (T_1^* - T_{2s}) ; T_{2s} = 875 - \frac{338930}{1050} \text{ K};$$
$$\underline{\underline{T_{2s} = 552,21 \text{ K}}}$$

Damit läßt sich der statische Strömungsverlust  $h_{v12} = h_3 - h_{2s} = h_2 - h_{2s}$  ermitteln:  $\underline{\underline{h_{v12} = c_p \cdot (T_2 - T_{2s}) = 1050 \cdot (613,7 - 552,21) = 64,565 \text{ kJ/kg}}}$

Die kinetische Austrittsenergie wird für den inneren Wirkungsgrad auch als Verlust gewertet (nicht abbaufähig !), so daß gilt:

$$h_{v12} + K_2 = 64565 + 80^2/2 ; \quad \underline{\underline{h_{v,ges} = 67,765 \text{ kJ/kg}}}$$

f) q<sub>irr,12</sub> :

$$\text{S. 380: } q_{irr,12} = c_v \cdot \frac{n-\infty}{n-1} \cdot (T_2 - T_1) = \frac{1050}{1,4} \cdot \frac{1,2807-1,4}{1,2807-1} \cdot (613,7-873,29) ;$$
$$\underline{\underline{q_{irr,12} = 82,746 \text{ kJ/kg}}}$$

g) q<sub>RG</sub> :

$$\text{Gl. (21-23): } q_{RG} = q_{irr,12} - h_{v12} = 82,746 - 64,565 ;$$
$$\underline{\underline{q_{RG} = 18,181 \text{ kJ/kg}}}$$

h) Δ s<sub>12</sub> :

$$\text{S. 381: } \Delta s_{12} = c_v \cdot \frac{n-\infty}{n-1} \cdot \ln(T_2/T_1) = \frac{1050}{1,4} \cdot \frac{1,2807-1,4}{1,2807-1} \cdot \ln \frac{613,70}{873,29} ;$$
$$\underline{\underline{\Delta s_{12} = 112,445 \text{ J/(kg.K)}}}$$

i) die polytrope Druckarbeit Y<sub>pol,12</sub> :

Entweder nach Gl. (21-26) oder nach Gl. (21-32) erhält man :

$$\underline{\underline{Y_{pol,12} \approx 355 \text{ kJ/kg}}}$$

## 21.5. Impulssätze

### 21.5.1. Theorie

Da bei den Ableitungen zu den Impulssätzen auf den S.265 bis 270 keine isochoren Einschränkungen gemacht worden sind, behalten alle Ausführungen auch in der Gasdynamik ihre Gültigkeit.-Auch die Eulersche Hauptgleichung für Strömungsmaschinen, Gl.(19-18) u.a., S.366/367, darf weiterhin verwendet werden:

Für Kompressoren gilt:	$Y_{th} = c_{2u} \cdot u_2 - c_{1u} \cdot u_1$	;
für Turbinen gilt:	$Y_i = c_{1u} \cdot u_1 - c_{2u} \cdot u_2$	

Gl.(21-33).

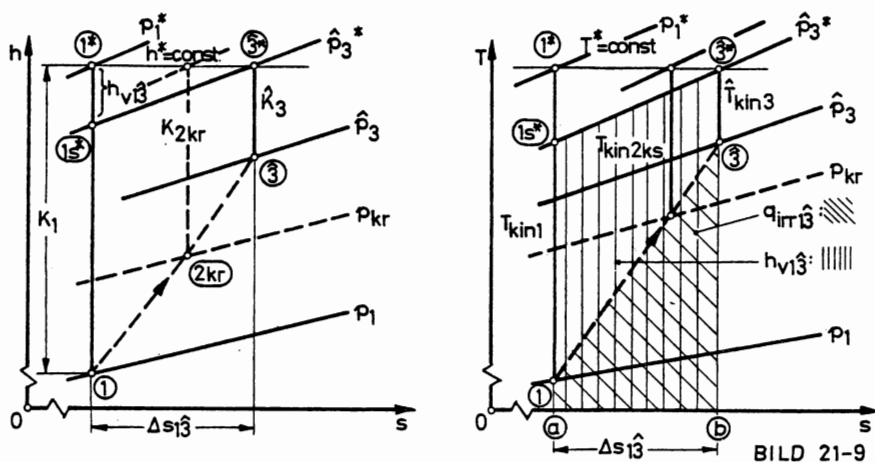
### 21.5.2. Beispiele

#### 1.Beispiel

Wenn bisher die Rede gewesen ist von einer Verdichtungsströmung, dann ging man stillschweigend immer von einer stetigen Verdichtung aus. In Hochgeschwindigkeitsströmungen treten aber auch sprungartige Dichtevergrößerungen auf: Man spricht von Verdichtungsstößen.-In diesem Beispiel soll nur der senkrechte Verdichtungsstoß besprochen werden, wie er beispielsweise in einer Rohrströmung u.U. auftreten kann. Wenn in einer geraden Rohrströmung mit Überschallgeschwindigkeit die geringste Störung durch Wandrauigkeit, Wandwelligkeit u.a. auftritt, dann entsteht eine Verdichtungsfront im Strömungsquerschnitt, die wenige Zehntausendstel Millimeter dick ist, in der aber die Dichte  $\varrho$  massiv ansteigt.-Man ermittle:

- a) den Nachweis, daß der Verdichtungsstoß nur von Über- auf Unterschallströmung anzutreffen ist;
- b) den statischen Zustand nach dem Stoß, wenn alle Daten vor dem Stoß als bekannt vorauszusetzen sind, und zwar für  $\hat{T}_3$  und  $\hat{p}_3$  ;
- c) den Totalzustand nach dem Stoß für  $\hat{T}_3^*$  und  $\hat{p}_3^*$  ;
- d) den Polytropenexponenten  $n$  für den Verdichtungs Vorgang ;
- e) spätestens bei  $\hat{p}_3^* < p_1^*$  ist klar geworden, daß es sich beim Verdichtungsstoß um einen dissipativen Vorgang handelt; er läßt sich zwischen Anfangs- und Endzustand mittels eines Polytropenexponenten beschreiben; man bestimme nun die Entropievermehrung  $\Delta s_{13}$  ;
- f) die Rankine - Hugoniot - Kurve bzw. die dynamische Adiabate oder Stoßadiabate ;
- g) die maximale Dichteänderung bei diesem unstetigen Verdichtungs Vorgang.-Gasdynamische Zusammenhänge siehe Bild 21-9;

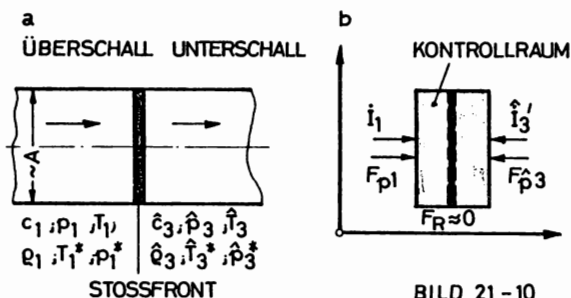
h) Zusammenhang zwischen Strömungsverlust und Reibungswärme.



Lösungen:

a) Nachweis für Überschall-/Unterschallströmung:

In Bild 21-10, Pos. a, sind die Zustandsgrößen vor und nach der Stoßfront lokalisiert worden.



Die Indexführung ist in Anlehnung an Bild 21-2, die Lavaldüse, vorgenommen worden, weil der kritische Zustand "durchstoßen" wird.

Mit Hilfe des Impulssatzes wird nun das Kräftegleichgewicht

an einem Kontrollraum untersucht, wie es Bild 21-10, Pos. b, angibt:

$$G1.(12-25), S.268: \sum F_{ix} + \dot{I}_1 - \dot{I}_3' = 0 :$$

$$+ p_1 \cdot A + A \cdot \varrho_1 \cdot c_1^2 - A \cdot \hat{p}_3 - A \cdot \hat{\varrho}_3 \cdot \hat{c}_3^2 = 0 .$$

$$\boxed{\hat{p}_3 - p_1 = \varrho_1 \cdot c_1 \cdot (c_1 - \hat{c}_3)} \quad (21-34);$$

hierzu ist die Kontinuitätsgleichung  $A \cdot \varrho_1 \cdot c_1 = A \cdot \hat{\varrho}_3 \cdot \hat{c}_3$  herangezogen worden. Ersetzt man in dieser Gleichung die Drücke über die allgemeine Gasgleichung:  $\hat{p}_3 = \hat{\varrho}_3 \cdot R \cdot \hat{T}_3$  und  $p_1 = \varrho_1 \cdot R \cdot T_1$ , so folgt:

$c_1 \cdot (c_1 - \hat{c}_3) = R \cdot (\hat{T}_3 \cdot \hat{\rho}_3 / \rho_1 - T_1) = R \cdot (T_3 \cdot c_1 / c_3 - T_1)$ , weil  $\hat{\rho}_3 / \rho_1 = c_1 / \hat{c}_3$  ist !-Um eine Bestimmungsgleichung für  $\hat{c}_3$  zu erhalten, die nur von Stoffgrößen und der Totaltemperatur abhängt, werden  $T_1$  und  $\hat{T}_3$  nach Gl.(21-7) ersetzt:

$$\begin{aligned} \hat{c}_3 \cdot c_1 \cdot (c_1 - \hat{c}_3) &= R \cdot (\hat{T}_3 \cdot c_1 - T_1 \cdot \hat{c}_3) \\ " &= R \cdot \left[ c_1 \cdot (T^* - \hat{c}_3^2 / (2 \cdot c_p)) - \hat{c}_3 \cdot (T^* - c_1^2 / (2 \cdot c_p)) \right]. \end{aligned}$$

Dies führt zu einer quadratischen Gleichung für  $\hat{c}_3$  mit folgenden beiden Lösungen:

$$\hat{c}_3 = \frac{c_1}{2} + \frac{\alpha}{\alpha+1} \cdot \frac{R \cdot T^*}{c_1} + \left( \frac{c_1}{2} - \frac{\alpha}{\alpha+1} \cdot \frac{R \cdot T^*}{c_1} \right);$$

die Triviallösung  $\hat{c}_3 = c_1$  entfällt; die richtige Lösung lautet:

$$c_3 = 2 \cdot \frac{\alpha}{\alpha+1} \cdot \frac{R \cdot T^*}{c_1} \quad \text{oder:} \quad \boxed{\hat{c}_3 \cdot c_1 = 2 \cdot \frac{\alpha}{\alpha+1} \cdot R \cdot T^*} \quad (21-35).$$

Auf diesen Zusammenhang hat Prandtl aufmerksam gemacht.-Die rechte Gleichungsseite entspricht gerade der kritischen Schallgeschwindigkeit  $c_{s2kr}$  nach Gl.(21-13) im Quadrat !-Wenn demnach das Produkt zweier Geschwindigkeiten gleich  $c_{s2kr}^2$  ist und wenn wegen der Dichtezunahme  $\hat{c}_3$  kleiner geworden sein muß, dann kann es sich bei  $c_1$  nur um eine Überschallgeschwindigkeit handeln !

b)  $\hat{T}_3$  und  $\hat{p}_3$  :

Wegen Gleichheit der Totaltemperaturen folgt sofort:

$$\boxed{\hat{T}_3 = T^* - \hat{c}_3^2 / (2 \cdot c_p)} \quad (21-36).$$

$\hat{p}_3$  ergibt sich aus Gl.(21-34).

c)  $\hat{T}_3^*$  und  $\hat{p}_3^*$  :  $\hat{T}_3^* = T_1^*$ .

Aus den Überlegungen im h,s-Diagramm beispielsweise ergeben sich einfache Hinweise über das weitere programmatische Vorgehen. -Gl.(3-16),

Bild 21-9 : 
$$\boxed{\hat{p}_3^* = \hat{p}_3 \cdot (\hat{T}_3^* / \hat{T}_3)^{\alpha/(\alpha-1)}} \quad (21-37).$$

d)  $\underline{n}$  :

Gl.(3-16): 
$$\hat{T}_3 / T_1 = (\hat{p}_3 / p_1)^{(n-1)/n};$$

$$n = \frac{\ln(\hat{p}_3 / p_1)}{\ln(\hat{p}_3 / p_1) - \ln(\hat{T}_3 / T_1)} \quad (21-38).$$

e)  $\Delta s_{13}$  :

Nach S.381 gilt:

$$\Delta s_{13} = c_v \cdot \frac{n - \alpha}{n - 1} \cdot \ln(\hat{T}_3 / T_1) \quad (21-39).$$

f) Dynamische Adiabate:

Den Zusammenhang zwischen dem beim Verdichtungsstoß auftretendem Druck- und Dichteverhältnis nennt man dynamische Adiabate oder Stoßadiabate; ihre grafische Darstellung im pv Diagramm heißt Rankine-Hugoniot-Kurve.

g)  $(\hat{s}_3 / \rho_1)_{\max}$  :

Aus der Massenstromdichte erkannte man :  $\hat{s}_3 / \rho_1 = c_1 / \hat{c}_3$ .  
Das Dichteverhältnis nimmt einen maximalen Wert an, wenn  $c_1$  einem Maximum entspricht. Die maximal mögliche Geschwindigkeit erhält man aus Gl.(21-5), S.385, wenn man  $p_2 \rightarrow 0$  gehen läßt:

$$c_{\max} = \sqrt{2 \cdot \frac{\alpha}{\alpha - 1} \cdot R \cdot T^*} = c_{1\max} \quad (21-40).$$

Diese Geschwindigkeit ist ebenfalls unter dem Namen Crocco-Geschwindigkeit bekannt. - Nun folgt:

$$\left(\frac{\hat{s}_3}{\rho_1}\right)_{\max} = \frac{c_{1\max}}{c_3} = \frac{c_{1\max}}{c_{2\text{skr}}^2 / c_{1\max}} = \frac{2 \cdot \frac{\alpha}{\alpha - 1} \cdot R \cdot T^*}{2 \cdot \frac{\alpha}{\alpha + 1} \cdot R \cdot T^*} = \frac{\alpha + 1}{\alpha - 1} ;$$

$$\left(\frac{\hat{s}_3}{\rho_1}\right)_{\max} = \frac{\alpha + 1}{\alpha - 1} \quad (21-41).$$

Für  $\alpha = 1,4$  ergibt sich:

$$\underline{\underline{\left(\frac{\hat{s}_3}{\rho_1}\right)_{\max} = 6}}$$

h)  $\underline{h_{v3}}$  und  $\underline{q_{irr3}}$ :

Als Strömungsverlust verstehe man im Verdichtungsfall den Mehraufwand an kinetischer Energie, um einen angestrebten Totaldruck zu er-

reichen. Strebt man effektiv  $\hat{p}_3^*$  an, dann muß man um

$$h_{v3} = h_1^* - h_{1s}^* = c_p \cdot (T_1^* - T_{1s}^*) = c_p \cdot \left[ T_1^* - T_1 \cdot \left( \frac{\hat{p}_3^*}{p_1} \right)^{(\alpha-1)/\alpha} \right] \quad (21-42)$$

mehr kinetische Anfangsenergie aufwenden. - Da  $T_1^* = \hat{T}_3^*$  ist, läßt sich aus dem T,s-Diagramm des Bildes 21-9 ablesen, daß der Strömungsverlust um den Erhitzungsverlust größer ist als die Reibungswärme:

$$h_v = q_{irr} + f \quad (21-43).$$

Der Erhitzungsverlust  $f$  entspricht der Fläche  $ls^* - \hat{3}^* - \hat{3} - l - ls^*$ . Er stellt sich deshalb ein, weil die Reibungswärme  $q_{irr} = w_R$  spontan dem Fluid mitgeteilt wird: Wärmezufuhr ist aber bei quasi-isobarer Mitteilung der Verdichtung abträglich, weshalb nicht nur die Reibung, sondern auch die expansive Auswirkung der Zufuhr von Reibungswärme überwunden bzw. rückgängig gemacht werden muß.

#### Bemerkungen:

- (1) Je größer die Anfangsmachzahl ist, desto höher liegen Totaldruckverluste.
- (2) Der stetigen Dichtezunahme sind keine Grenzen gesetzt, wohl aber der stoßartigen.
- (3) Schwache Störungen breiten sich in einem Fluid mit Schallgeschwindigkeit aus. - Stoßartige Druckzunahmen bezüglich der statischen Drücke, wie z.B. ebene Verdichtungsstöße und Detonationen, breiten sich mit Überschallgeschwindigkeit aus.
- (4) Wenn der Umgebungsdruck  $p_4$  bei einer Lavalldüse (Bild 21-2) größer ist als  $p_3$  - das ist der statische Druck, der sich entsprechend der Düsenenerweiterung einstellt, wenn im engsten Querschnitt kritische Verhältnisse vorliegen - , aber kleiner als derjenige Druck, welcher sich beim kritischen Venturibetrieb der Lavalldüse einstellt, dann kommt es in der Düsenenerweiterung ebenfalls zu einem Verdichtungsstoß; der restliche Teil der Lavalldüse wird dann wie ein Diffusor im Unterschallbereich durchströmt.

## 2. Beispiel

In einem Rohr strömt Luft mit Überschallgeschwindigkeit. Mit Hilfe eines Pitotrohres soll der Totaldruck gemessen werden. Nach dem Drehen der Meßsonde um  $180^\circ$  läßt sich auch die Totaltemperatur näherungsweise messen. - Vor der relativ stumpfen Sonde entsteht ein ebener Verdichtungsstoß, der zur Wand hin abflacht. Durch eine Wandbohrung wird der statische

- sche Druck nach dem Stoß gemessen. -Angaben:  $\gamma = 1,4$ ;  $c_p = 1004,5 \text{ J/(kg.K)}$ ;  $R = 287 \text{ J/(kg.K)}$ ;  $p_{\text{Pitot}} = 5,5 \text{ bar}$ ;  $\hat{T}_3^* = 520 \text{ K}$ ;  $\hat{p}_3 = 4,5 \text{ bar}$ . -Man ermittle:
- den statischen Zustand nach dem Stoß mit  $\hat{T}_3$  und  $\hat{\rho}_3$ ;
  - die Geschwindigkeiten nach und vor dem Stoß  $\hat{c}_3$  und  $c_1$ ;
  - den statischen Zustand vor dem Stoß mit  $T_1$ ,  $\rho_1$  und  $p_1$ ;
  - den Totaldruck vor dem Stoß  $p_1^*$  und den Totaldruckverlust  $\Delta p^*$ ;
  - die Machzahlen vor und nach dem Stoß  $Ma_1$  und  $Ma_3$ ;
  - den Unterschied zwischen dynamischem und kinematischem Druck;
  - den Polytropenexponenten  $n$  und die Entropiezunahme  $\Delta s_{13}$ ;
  - die Crocco-Geschwindigkeit  $c_{\text{max}}$ ;
  - Strömungsverlust  $h_{v13}$ , die Dissipation  $q_{\text{irr},13}$  und den Erhitzungsverlust  $f$ .

Die Meßanordnung geht aus Bild 21-11 hervor, das thermodynamische Programm ist im Bild 21-9 vorgezeichnet. - Lösungen:

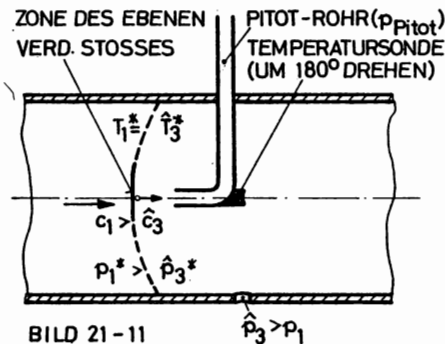


BILD 21-11

a)  $\hat{T}_3$  und  $\hat{\rho}_3$ :-

Gl. (21-37):

$$\hat{T}_3 = 520 / (5,5/4,5)^{0,286} = 491 \text{ K.}$$

Gl. (3-7):

$$\hat{\rho}_3 = 4,5 \cdot 10^5 / (287 \cdot 491) = 3,193 \text{ kg/m}^3.$$

b)  $c_1$  und  $\hat{c}_3$ :-

Gl. (21-7):  $\hat{T}_{\text{kin}3} = 520 - 491 = 29 \text{ K}$ ;

$$\hat{c}_3 = \sqrt{2 \cdot 1004,5 \cdot 29} = 241,37 \text{ m/s.}$$

Gl. (21-35):

$$\hat{c}_3 = 2,1 \cdot 4,287 \cdot 520 / (241,37 \cdot 2,4)$$

$$\hat{c}_3 = 721,35 \text{ m/s.}$$

c)  $T_1$ ,  $\rho_1$  und  $p_1$ :-

Gl. (21-8):  $T_1 = 520 - 721,35^2 / (2 \cdot 1004,5) = 261 \text{ K}$ ; aus der Kontinuität

folgt:  $\rho_1 = 3,193 \cdot 241,37 / 721,35 = 1,068 \text{ kg/m}^3$ ; Gl. (21-34):  $p_1 = 4,5 \cdot 10^5 - 1,068 \cdot 721,35 \cdot (721,35 - 241,37) = 0,8 \text{ bar}$ .

d)  $p_1^*$  und  $\Delta p^*$ :-

Gl. (3-16):  $p_1^* = 0,8 \cdot 10^5 \cdot (520/261)^{3,5} = 8,93 \text{ bar}$  -  $\Delta p^* = 8,93 - 5,5 = 3,43 \text{ bar}$ .

e)  $Ma_1$  und  $Ma_3$ :-

Gl. (21-10):  $Ma_1 = 721,35 / \sqrt{1,4 \cdot 287 \cdot 261} = 2,228$ .

$$Ma_3 = 241,37 / \sqrt{1,4 \cdot 287 \cdot 491} = 0,543$$

f)  $p_{\text{dyn}}$  und  $p_k$ :- Siehe S.248 bis 250 !

Im Pitotrohr wird das Fluid von  $\hat{c}_3$  bis auf null abgebremst. Dabei steigt die Dichte, so daß die Differenz aus Totaldruck- und statischer

Druckmessung ( $p_{\text{Pitot}} = \hat{p}_3^*$ ) nicht gleich dem kinetischen Druck  $\hat{p}_{k3} = \hat{\rho}_3 \cdot \hat{c}_3^2 / 2$  ist, sondern größer:  $\hat{p}_{\text{dyn},3} = \epsilon \cdot \hat{\rho}_3 \cdot \hat{c}_3^2 / 2$ . Man ermittle jetzt den Korrekturfaktor  $\epsilon$ :

In der Gleichung (21-19), S. 391, setzt man für die Endgeschwindigkeit  $c_3 = 0$ ,  $p_1 \rightarrow \hat{p}_3$ ,  $p_2 \rightarrow \hat{p}_3^*$  und  $T_1 \rightarrow \hat{T}_3$  (neue Indexführung zwischen Anfangs- und Endzustand), so folgt:

$$\frac{\hat{\rho}_3}{2} \cdot \hat{c}_3^2 \cdot \frac{\alpha - 1}{\alpha} \cdot \frac{1}{\left(\frac{\hat{p}_3^*}{\hat{p}_3}\right)^{\frac{\alpha - 1}{\alpha}} - 1} = \hat{p}_3 \quad ; \quad \hat{p}_{\text{dyn}3} = \hat{p}_3^* - \hat{p}_3 \quad ;$$

$$\hat{p}_{\text{dyn}3} = \left(\frac{\hat{p}_3^*}{\hat{p}_3} - 1\right) \cdot \hat{p}_3 = \frac{\hat{\rho}_3}{2} \cdot \hat{c}_3^2 \cdot \left[ \frac{\alpha - 1}{\alpha} \cdot \frac{\hat{p}_3^* / \hat{p}_3 - 1}{\left(\hat{p}_3^* / \hat{p}_3\right)^{(\alpha - 1)/\alpha} - 1} \right] \quad (21-43).$$

$$\hat{p}_{\text{dyn}3} = \underbrace{\hat{p}_{k3}}_{\hat{p}_{k3}} \cdot \underbrace{\epsilon}_{\epsilon}$$

In Zahlen:

$$\hat{p}_{\text{dyn}3} = 5,5 - 4,5 = 1 \text{ bar} \quad ; \quad \epsilon = 1,0759 \quad ; \quad \hat{p}_{k3} = 1/1,0759 = 0,9294 \text{ bar}.$$

g)  $n$  und  $\Delta s_{13}$ :

$$\text{Gl. (21-38): } n = 1,577 \quad ; \quad \text{Gl. (21-39): } \Delta s_{13} = 139,04 \text{ J/(kg.K)}.$$

h)  $c_{\text{max}}$ : Gl. (21-40):  $c_{\text{max}} = 1022,1 \text{ m/s}$ .

i)  $h_{v13}$ ,  $q_{\text{irr},13}$  und  $f$ :

$$\text{Gl. (21-42): } h_{v13} = 67,299 \text{ kJ/kg} \quad ; \quad \text{S. 380: } q_{\text{irr},13} = 50,623 \text{ kJ/kg} \quad ;$$

$$\text{Gl. (21-43): } f = h_{v13} - q_{\text{irr},13} = 16,676 \text{ kJ/kg}.$$

Bemerkungen:

- (1) Gl. (21-43) gilt natürlich für alle Unterschallströmungen, so daß auf den Akzent  $\wedge$  und den Index 3 nicht mehr geachtet werden muß.
- (2) Die Staupunktsströmung darf isentrop angenommen werden, weil die Abbremsung praktisch verlustlos verläuft und zum Wärmeaustausch keine Zeit vorhanden ist.

### 3. Beispiel

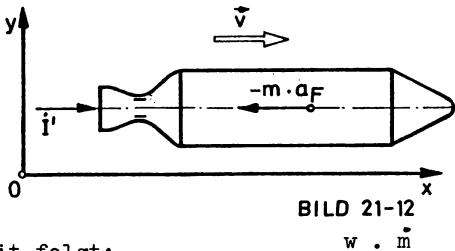
Die Beschleunigungsphase einer Rakete spiele sich im schwerelosen und reibungsfreien Raum ab.



Die Startmasse beträgt  $m_0$ ; der austretende konstante Massenstrom heißt  $\dot{m}$ ; nach Brennschluß liegt nur noch die Masse  $m$  vor. Es soll bei einer relativen Gasaustrittsgeschwindigkeit  $w = 4000 \text{ m/s}$  eine Fluggeschwindigkeit von  $v = 11\,200 \text{ m/s}$  erreicht werden. - Man bestimme das Massensverhältnis  $m/m_0$ .

### Lösung:

Nach Gl.(9-16) und Bild 21-12 ergibt sich das Kräftegleichgewicht an der freigemachten Rakete zu:



$$\begin{aligned} \sum F_{ix} - m \cdot a_F &= 0; \\ \dot{I}' - m \cdot a_F &= 0 = \dot{m} \cdot w - m \cdot \frac{dv}{dt}; \end{aligned}$$

die Momentanmasse lautet in Abhängigkeit von der Brennzeit:  $m(t) = m_0 - \dot{m} \cdot t$ .

Somit folgt:

$$dv = \frac{w \cdot \dot{m}}{m_0 - \dot{m} \cdot t} \cdot dt \quad . \text{ Die Integration liefert:}$$

$$v = w \cdot \ln \frac{m_0}{m_0 - \dot{m} \cdot t} = w \cdot \ln \frac{m_0}{m(t)} \quad (21-44).$$

Setzt man die Daten ein und löst die Gleichung nach dem Massenverhältnis auf, dann ergibt sich:

$$\underline{\underline{m/m_0 = 0,0608}} \quad .$$

### Bemerkung:

Wegen dieses sehr ungünstigen Massenverhältnisses geht man zur Mehrstufenrakete über, so daß leere Tanks abgeworfen werden können. Damit entfällt die Beschleunigung unnützer Massen.

## 22. ZWEIDIMENSIONALE BEWEGUNG

### 22.1. Theorie

Unter einer zweidimensionalen Strömung versteht man eine ebene Strömung, wie sie auf S.199 beschrieben worden ist. - Es ist üblich, gasdynamische Strömungen durch ihre Machzahl zu kennzeichnen. Gewisse  $Ma$ -Bereiche tragen besondere Namen:  $Ma < 1$  : Unterschall- oder subsonischer Bereich;  $Ma \approx 1$  : schallnaher oder transsonischer Bereich;  $1 < Ma < 5$  : Überschall- oder supersonischer Bereich;  $Ma > 5$  : Hyperschall- oder hypersonischer Bereich.

Die Schallgeschwindigkeit ist auf S.9 als die Ausbreitungsgeschwindigkeit einer "schwachen" (nicht explosiven) Störung in einem Medium eingeführt worden.-Die gasdynamische Berechnung erfolgt für eine isentrope Zustandsänderung bei der Druckwellenausbreitung mit  $c_s$  nach Gl. (21-2), S.382.

Geht man beispielsweise von einer punktförmigen Störquelle aus, die etwa periodisch das Fluid um sich herum stört, dann breiten sich die Störungen als kugelförmige Druckwellen aus mit der Störquelle als Kugelmittelpunkt.-Überlagert man nun eine ebene Transportströmung, so werden die kugeligen, induzierten Fluidbereiche weggespült. Wenn die Anströmung

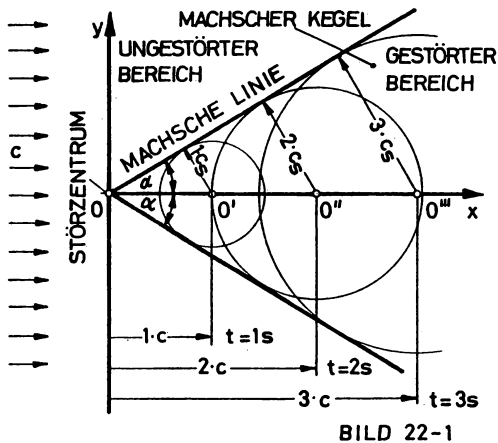


BILD 22-1

gar mit Überschallgeschwindigkeit vorgenommen wird, dann erhält man als Schnittformation das Bild 22-1. Nach 2s befindet sich z.B. das Störzentrum in O'' (zurückgelegter Weg = 2\*c). Die Druckwelle legte den Weg 2\*c<sub>s</sub> zurück. Die Kugelwellen werden vom sogenannten Machschen Kegel eingehüllt. Die Kegelerzeugende heißt Machsche Linie. Außerhalb des Kegels ist kein Einfluß der Störquelle zu spüren. Der halbe Öffnungswinkel des Machschen Kegels heißt Machscher Winkel  $\alpha$ . Es gilt also:

$$\sin \alpha = 1/Ma = c_s/c$$

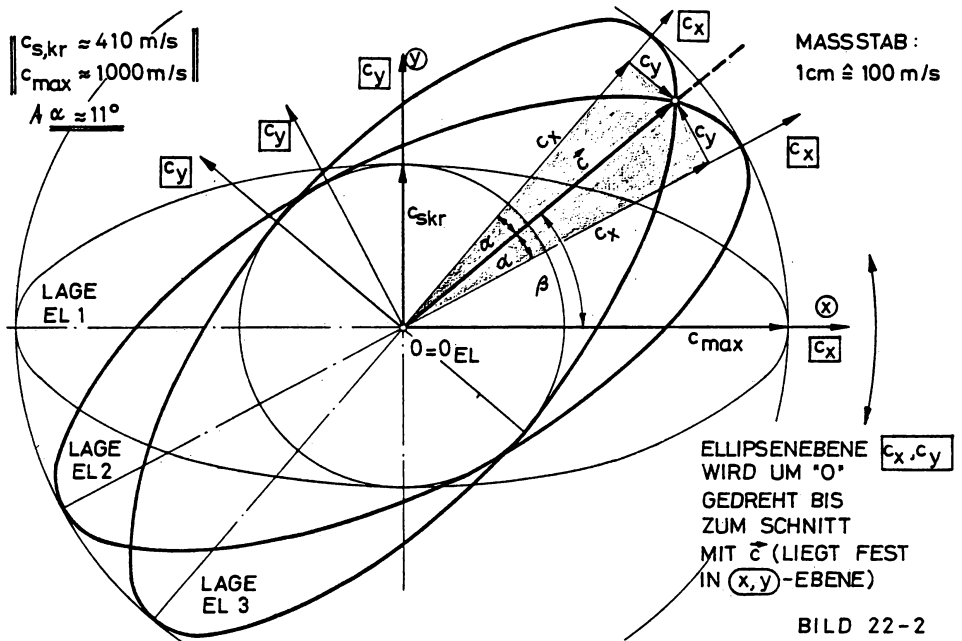
(22-1).

Man beachte, daß die Schallgeschwindigkeit senkrecht auf der Machschen Linie steht. Im übrigen entsteht das gleiche Strömungsbild, wenn ein spitzer Körper mit Überschallgeschwindigkeit sich durch ruhendes Fluid bewegt.-Im Grunde genommen, kann jeder Krümmungssprung im Oberflächenverlauf einer Körperoberfläche und damit jede Kante, jede besonders raue Stelle Ausgangspunkt zweier Machschen Linien sein, wobei eine wegen des vorhandenen Festkörpers nur virtuelle Bedeutung hat.-Bei der zweidimensionalen Strömung spricht man vom Machschen Keil.

## 22.2. Beispiele

### 1. Beispiel

Heißluft strömt unter dem Winkel  $\beta = 40^\circ$  gegenüber der x-Achse des



- ruhenden  $x,y$ -Koordinatensystems. Bei ebener Strömung werden noch folgende Daten nachgereicht:  $c = 920 \text{ m/s}$ ;  $R = 287 \text{ J/(kgK)}$ ;  $\gamma = 1,4$ ;  $c_p = 1004,5 \text{ J/(kgK)}$ ;  $T^* = 500 \text{ K}$ . -Man ermittle:
- die obere und untere Geschwindigkeitsgrenze bei Überschallströmung;
  - eine Beziehung zwischen Machschem Winkel, der kritischen Schallgeschwindigkeit, der Croccogeschwindigkeit und der Momentangeschwindigkeit;
  - eine grafische Darstellung obigen Zusammenhangs, so daß man für jede Geschwindigkeit zwischen den beiden Grenzgeschwindigkeiten den Machschen Winkel ablesen kann. -Grafische Darstellungen zu diesem Problem finden sich in Bild 22-2;
  - den Machschen Winkel bezüglich der Zahlenangaben, die Machzahl und die Schallgeschwindigkeit.

#### Lösungen:

##### a) Grenzgeschwindigkeiten bei Überschallströmung:

Wenn man sich des Geschehens in einer Lavaldüse erinnert, bes. S. 389, dann wird klar, daß mit  $c_{skr}$ , Gl. (21-13), die Strömung gerade anfängt, mit Schallgeschwindigkeit zu strömen:

$$c_{skr} = \sqrt{2 \cdot \frac{1,4}{1,4+1} \cdot 287 \cdot 500} ; \quad \underline{\underline{c_{skr} = 409,2 \text{ m/s}}}$$

Die für den jeweiligen Gaszustand maximal mögliche Strömungsgeschwindigkeit ist nach Gl.(21-40) auch als Croccogeschwindigkeit bekannt:

$$c_{\max} = \sqrt{2 \cdot \frac{1,4}{1,4-1} \cdot 287 \cdot 500} ; \quad \underline{\underline{c_{\max} = 1002,25 \text{ m/s}}}$$

Die gegebene Geschwindigkeit liegt also als Überschallgeschwindigkeit im berechneten Bereich.

b)  $f(\text{Stoffgrößen}, c_{\text{skr}}, c_{\max}, \alpha) = 0$  :

Die lokale Schallgeschwindigkeit, Gl.(21-2), wird mittels der Isentropengleichung folgendermaßen umgeformt:

$$T = T^* \cdot (p/p^*)^{(\kappa-1)/\kappa}, \text{ Gl.(21-9).} - \quad \underline{\underline{c_s^2 = c_s^{*2} \cdot (p/p^*)^{(\kappa-1)/\kappa}}} \quad (1).$$

Hier ist die Schallgeschwindigkeit für den Totalzustand  $c_s^{*2} = \kappa \cdot R \cdot T^*$  eingeführt worden.

Damit folgt mit Gl.(21-13) für die kritische Schallgeschwindigkeit:

$$\underline{\underline{c_{\text{skr}}^2 = c_s^{*2} \cdot 2/(\kappa+1)}} \quad (2).$$

Formt man gar Gl.(21-5) unter Zuhilfenahme von Gl.(21-40) um, so folgt:

$$\underline{\underline{c^2 = c_{\max}^2 \cdot \left[ 1 - (p/p^*)^{\frac{\kappa-1}{\kappa}} \right]}} \quad (3).$$

Setzt man nach dieser Beziehung  $(p/p^*)^{(\kappa-1)/\kappa} = 1 - c^2/c_{\max}^2$  in (1) ein und verwertet noch für  $c_s^{*2}$  die Beziehung (2), dann ergibt sich aus Gl.(22-1):

$$\boxed{\sin \alpha = \frac{c_{s,kr}}{c} \cdot \sqrt{\frac{\kappa+1}{2} \cdot (1 - c^2/c_{\max}^2)}} \quad (22-2).$$

c) Grafische Darstellung von Gl.(22-2):

Die Ringfläche zwischen dem Innenkreis mit Radius  $c_{\text{skr}}$  und dem Außenkreis mit Radius  $c_{\max}$  (Bild 22-2) ist der Bereich, in dem sich eine Kurve befindet, die sowohl den Innenkreis als auch den Außenkreis anpeilt. Auf dieser Kurve werden die Pfeilspitzen des Vektors  $\vec{c}$  liegen müssen, denn die Funktion nach Gl.(22-2) ist ja zu erfüllen. Es ist einzusehen, daß man als Funktionsdarstellung eine Ellipse erwartet. - In diesem Sinne wird obige Gleichung umgeformt. Damit bei der weiteren Betrachtung nur Geschwindigkeiten bzw. Geschwindigkeitskomponenten anwesend sind, wird  $\sin \alpha$  durch die Annahme  $\sin \alpha = c_y / c$  ersetzt.

Somit kann aus Gl.(22-2) folgendes nachgewiesen werden:

$$\frac{c_y^2}{c^2} = \frac{\alpha + 1}{2} \cdot \frac{c_{s,kr}^2}{c^2} \cdot \left(1 - \frac{c_x^2 + c_y^2}{c_{\max}^2}\right) \rightarrow \frac{c_y^2}{c_{s,kr}^2} \cdot \underbrace{\left[\frac{2}{\alpha + 1} + \frac{c_{s,kr}^2}{c_{\max}^2}\right]}_{=1} = 1 - \frac{c_x^2}{c_{\max}^2} ;$$

mit Gl.(21-13) und Gl.(21-40) folgt:  $\frac{2}{\alpha + 1} + \frac{\alpha - 1}{\alpha + 1} = 1$  sowie:

$$\boxed{\frac{c_x^2}{c_{\max}^2} + \frac{c_y^2}{c_{s,kr}^2} = 1} \quad (22-3).$$

Das ist aber die vermutete Gleichung einer Ellipse. Unter der Annahme  $\sin \alpha = c_y/c$  also liegt als geometrischer Ort für alle möglichen Geschwindigkeitsvektoren im Überschallbereich eine Ellipse vor. Man nennt sie auch Isentropenellipse, weil ihrer Ableitung isentrope Zustandsänderungen (siehe isentrope Schallgeschwindigkeit  $c_s = \sqrt{\alpha \cdot R \cdot T}$ ) zugrundeliegen.

Das Arbeiten mit der Isentropenellipse:

- (1) Der Geschwindigkeitsvektor ist in der x,y-Koordinatenebene fest dem Betrage und der Richtung nach gegeben (Bild 22-2).
- (2) Für das vorliegende Gas und den gegebenen Totalzustand der Strömung entwerfe man auf einem durchsichtigen Blatt die diesbezügliche Isentropenellipse, z.B. EL 1.
- (3) Man lege nun den Ellipsenmittelpunkt  $O_{EL}$  auf den Ursprung 0, so daß die Anfangslage EL 1 heißen kann. Man spricht auch von der Hodografenebene; die Ellipse ist der Hodograf des anstehenden Problems.
- (4) Nun drehe man die Ellipsenebene so lange, bis der Geschwindigkeitspfeil mit seiner Spitze auf der Ellipsenkontur liegt: Lage EL 2.
- (5) Der Winkel zwischen  $\vec{c}$  und der  $c_x$ -Achse ist der gesuchte Machsche Winkel.
- (6) Da von einer punktförmigen Störung zwei Machsche Linien ausgehen (Machscher Keil), muß auch das Hodografenverfahren zwei Lösungen anbieten können: Dreht man die Ellipse weiter: Lage EL 3, so erhält man ohne weiteres die Lage der zweiten Machschen Linie.

d)  $\alpha$  ;  $Ma$  ;  $c_s$  :

Der Ellipsendarstellung in Bild 22-2 entnimmt man einen Machschen Win-

kel von

$$\underline{\underline{\alpha \approx 11^\circ}}$$

Nach Gl.(22-1) kann man die gesuchte Machzahl berechnen, und zwar zu:

$$Ma = 1/\sin \alpha = 1/\sin 11^\circ ; \quad \underline{\underline{Ma = 5,24}}$$

Über die Definitionsgleichung der Machzahl  $Ma = c/c_s$  erhält man für die dazugehörige Schallgeschwindigkeit von:

$$c_s = c/Ma = 920/5,24 ; \quad \underline{\underline{c_s = 175,54 \text{ m/s}}}$$

## 2.Beispiel

Eine wirbelfreie, ebene Heißluftströmung ( $\gamma = 1,4; R = 287 \text{ J}/(\text{kg} \cdot \text{K}); c_p = 1004,5 \text{ J}/(\text{kg} \cdot \text{K});$

$$T_1 = 450 \text{ K};$$

$$p_1 = 4 \text{ bar};$$

$$c_1 = 600 \text{ m/s})$$

verläuft längs

der Wand AO,

Bild 22-3.

Die Wand er-

fährt einen

Knick in O bei

einem weiteren

Wandverlauf OB.

An der Störkante

O entsteht eine

Druckwellenstör-

front in Form

der Machschen

Linie OD<sub>1</sub>, wenn

der Druck in

Zone 2 kleiner

ist als p<sub>1</sub>.

Man ermittle

bei isentropem

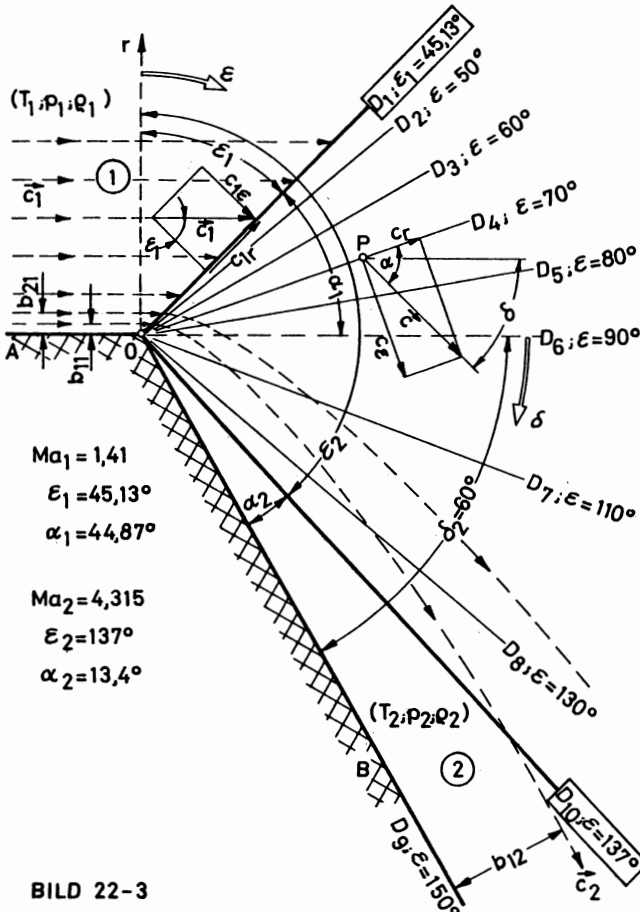
Strömungsgesche-

hen und einem

Neigungswinkel

der Wand von

$$\delta_2 = 60^\circ :$$



- a) die Art des Strömungsvorganges;
- b) die Machzahl am Anfang  $Ma_1$  und den Machschen Winkel  $\alpha_1$  ;
- c) die Strömungsgeschwindigkeit am Ende des Geschehens  $c_2$  ;
- d) den Machschen Winkel  $\alpha_2$  und die Machzahl  $Ma_2$  ;
- e) den statischen Zustand am Ende:  $T_2$  ,  $p_2$  ,  $\rho_2$  ;
- f) den Stromlinienabstand  $b_{12}$  ,  $b_{22}$  usw.;
- g) den maximalen Umlenkwinkel  $\delta_{2max}$  .

Lösungen:

a) Art des Strömungsvorganges:

Nimmt man den oberen Bildrand etwa als Kanalbegrenzung an, so liegt eine Kanalerweiterung vor. Da laut Voraussetzung  $p_2 < p_1$  gilt und das Fluid mit Überschallgeschwindigkeit ankommt, liegt im Sinne der Lavaldüse eine Expansionsströmung vor, S.386ff.

b)  $Ma_1$  und  $\alpha_1$  :

Schallgeschwindigkeit am Anfang: Gl.(21-2):  $c_{s1} = 1,4 \cdot 287,450$ ;  $c_{s1} = 425,22 \frac{m}{s}$ ;

Machzahl am Anfang: Gl.(21-10):  $Ma_1 = 600/425,22$  ;  $Ma_1 = 1,41$ .

Machscher Winkel am Anfang: Gl.(22-1):  $\sin \alpha_1 = 1/1,41$ ;  $\alpha_1 = 45,13^\circ$ .

c)  $c_2$  :

Die Expansion beginnt rechts von der Anfangsmachlinie  $OD_1$  und ist längs der Endmachlinie  $OD_{10}$  abgeschlossen. Von hier aus verlaufen die Stromlinien wieder parallel zur Wand  $OB$ , sofern der Gegendruck  $p_2$  nicht zur Ablösung zwingt. -Zunächst trage man beliebig viele Machlinien  $OD$  ein, z.B.:  $OD_2$  ,  $OD_3$  bis  $OD_9$  (man weiß ja noch nichts um die letzte Machlinie). Im beliebigen Punkt  $P$  auf z.B.  $OD_4$  hat die lokale Geschwindigkeit eine Komponente  $c_r$  und eine senkrecht dazu  $c_\epsilon$ , die nach S.417 gleich der lokalen Schallgeschwindigkeit sein muß:  $c_\epsilon = c_s$  . Führt man, was bei Wirbelfreiheit erlaubt ist, das Geschwindigkeitspotential  $\varphi(r, \epsilon)$  ein, dann folgt für die Geschwindigkeitskomponenten:

$$\vec{c} = \text{grad } \varphi ; \quad c_r = \partial \varphi / \partial r ; \quad c_\epsilon = (1/r) \cdot \partial \varphi / \partial \epsilon \quad (22-4).$$

Aus der Bernoulligleichung, Gl.(21-3), folgt bei Expansion ins Vakuum ( $p_2=0$ ) und  $c_2=c_{2max} = c_{max}$  , Gl.(21-40), und isentroper, stationärer Strömung mit indexlosen Anfangssymbolen:

$$\frac{c_{max}^2}{2} = \frac{\alpha}{\alpha-1} \cdot \frac{p}{\rho} + \frac{c^2}{2} = \frac{c_s^2}{\alpha-1} + \frac{c^2}{2} = \frac{c_\epsilon^2}{\alpha-1} + \frac{c_r^2 + c_\epsilon^2}{2} ; \text{ somit folgt mit Gl.}$$

(22-4):

$$c_{\max}^2 = \frac{x+1}{x-1} \cdot c_{\varepsilon}^2 + c_r^2 = \frac{x+1}{x-1} \cdot \left[ \frac{1}{r} \cdot \frac{\partial \varphi}{\partial \varepsilon} \right]^2 + \left[ \frac{\partial \varphi}{\partial r} \right]^2 \quad (1).$$

Es handelt sich um eine partielle Differentialgleichung erster Ordnung und zweiten Grades. Als Integrationsverfahren verwende man die Trennung der Variablen. Die unbekannte Funktion  $\varphi(r, \varepsilon)$  setze man als Produkt zweier Teilfunktionen an, die ihrerseits jeweils nur von einer Größe abhängen mögen:  $\varphi(r, \varepsilon) = \varphi_1(r) \cdot \varphi_2(\varepsilon)$ . - Man versuche, eine Lösung zu finden mit der einfachen Form von  $\varphi_1(r) = r$ ! - Dann gilt:  $\varphi(r, \varepsilon) = r \cdot \varphi_2(\varepsilon)$ . Für die Geschwindigkeitskomponenten ergibt sich dann:  $c_r = \partial \varphi / \partial r = \varphi_2(\varepsilon)$ ;  $c_{\varepsilon} = (1/r) \cdot \partial \varphi / \partial \varepsilon = (1/r) \cdot \frac{\partial}{\partial \varepsilon} [r \cdot \varphi_2(\varepsilon)]$ ; man fasse zusammen:

$$\boxed{c_r = \varphi_2(\varepsilon)} \quad (2) ; \quad \boxed{c_{\varepsilon} = d\varphi_2/d\varepsilon} \quad (3) \quad . \quad \text{Dadurch läßt}$$

sich die wichtige Beziehung angeben:

$$\boxed{c_{\varepsilon} = dc_r/d\varepsilon} \quad (4) ,$$

womit man durch Einsetzen in (1) zu einer gewöhnlichen Differentialgleichung gelangt:

$$c_{\max}^2 = \frac{x+1}{x-1} \cdot \left( \frac{dc_r}{d\varepsilon} \right)^2 + c_r^2 \quad , \text{eine Dgl. erster Ordnung}$$

und zweiten Grades. Ihre Integration verläuft einfach über:

$$d\varepsilon = \sqrt{\frac{x+1}{x-1}} \cdot \frac{d(c_r/c_{\max})}{\sqrt{1 - (c_r/c_{\max})^2}} :$$

$$\boxed{\varepsilon = \sqrt{\frac{x+1}{x-1}} \cdot \arcsin(c_r/c_{\max}) + C} \quad (22-5).$$

Oder:

$$\boxed{\begin{aligned} c_r &= c_{\max} \cdot \sin \left[ \sqrt{\frac{x-1}{x+1}} \cdot (\varepsilon - C) \right] \quad \text{und} \quad c_{\varepsilon} = \frac{dc_r}{d\varepsilon} ; \\ c_{\varepsilon} &= c_{\max} \cdot \sqrt{\frac{x-1}{x+1}} \cdot \cos \left[ \sqrt{\frac{x-1}{x+1}} \cdot (\varepsilon - C) \right] \end{aligned}} \quad (22-6).$$

Zur Bestimmung der Integrationskonstanten benötigt man die Anfangswerte: Gl.(21-7):  $T_1^* = 450 + 600^2 / (2 \cdot 1004,5)$  ;  $T_1^* = 626,19 \text{ K}$  ;  
 Gl.(21-40):  $c_{\max} = \sqrt{2 \cdot 3,5 \cdot 287 \cdot 629,19}$  ;  $\frac{c_{\max}}{c_{r1}} = 1124,3 \text{ m/s}$  ;  
 $\varepsilon_1 = 90^\circ - \alpha_1 = 90^\circ - 45,13^\circ$  ;  $\frac{\varepsilon_1}{\varepsilon_{r1}} = 44,87^\circ$  ;  
 $c_{r1} = \sin \varepsilon_1 \cdot c_1 = \sin 44,87^\circ \cdot 600$  ;  $\frac{c_{r1}}{c_{r1}} = 423,3 \text{ m/s}$  .

Mit diesen Werten folgt für C aus Gl.(22-5) : C = - 0,1624 .



Der Winkel zwischen der Geschwindigkeit  $c$  und der Machschen Linie  $OD_4$  ist der lokale Machsche Winkel. Dafür gilt:

$$\boxed{\operatorname{tg} \alpha = c_E / c_r} \quad (22-7).$$

Die Neigung der Stromlinien ist:

$$\boxed{\delta^\circ = \epsilon^\circ + \alpha^\circ - 90^\circ} \quad (22-8).$$

Man ermittle nun mittels eines Näherungsverfahrens (z.B. Intersektionsverfahren, S.401 und 403) den Winkel  $\epsilon$  derart, daß  $\delta_2 = \delta = 60^\circ$  wird. Dieses Ziel wird erreicht mit:

$$\underline{\epsilon_2 \approx 137^\circ} \quad \text{und} \quad \alpha_2 \approx 13,4^\circ. \quad - \text{ Siehe Bild 22-3 !}$$

Nun folgt für die Geschwindigkeitskomponenten von  $c_2$  nach Gl.(22-6):

$$c_{2r} = 1124,3 \cdot \sin \left[ \sqrt{\frac{1,4-1}{1,4+1}} \cdot (2,391 + 0,1624) \right]; \quad \underline{c_{2r} = 970,98 \text{ m/s}}.$$

$$\text{Gl.(22-7): } c_{2E} = c_{2r} \cdot \operatorname{tg} \alpha_2 = 970,98 \cdot \operatorname{tg} 13,4^\circ; \quad \underline{c_{2E} = 231,32 \text{ m/s}}.$$

Für die Endgeschwindigkeit ergibt sich nun:

$$c_2 = \sqrt{c_{2r}^2 + c_{2E}^2} = \sqrt{970,98^2 + 231,32^2}; \quad \underline{\underline{c_2 = 998,15 \text{ m/s}}}.$$

d)  $\alpha_2$  und  $Ma_2$  :

Den Mach-Winkel  $\alpha_2$  kennt man bereits:

Die Machzahl lautet dann:  $\sin \alpha_2 = 1:Ma_2$  ;

$$\underline{\underline{\alpha_2 = 13,4^\circ}} \quad \underline{\underline{Ma_2 = 4,315}}.$$

e)  $T_2$  ;  $p_2$  ;  $\rho_2$  :

$$c_{s2} = c_2 / Ma_2 = 998,15 / 4,315 ;$$

$$\underline{\underline{c_{s2} = 231,32 \text{ m/s}}};$$

$$T_2 = c_{s2}^2 / (\kappa \cdot R) = 231,32^2 / (1,4 \cdot 287) ;$$

$$\underline{\underline{T_2 = 133,17 \text{ K}}}.$$

$$p_2 = p_1 \cdot (T_2 / T_1)^{\kappa / (\kappa - 1)} = 4 \cdot 10^5 \cdot (133,17 / 450)^{3,5};$$

$$\underline{\underline{p_2 = 0,056 \text{ bar}}}.$$

$$\rho_2 = 0,056 \cdot 10^5 / (287 \cdot 133,17) ;$$

$$\underline{\underline{\rho_2 = 0,1465 \text{ kg/m}^3}}.$$

f) Stromlinienabstand  $b_{12}$  ,  $b_{22}$  :

Bei einer ebenen Strömung gilt beispielsweise  $b_{11} \cdot c_1 \cdot \rho_1 = b_{12} \cdot c_2 \cdot \rho_2$   
Für  $b_{11} = 2,5 \text{ mm}$  und  $\rho_1 = 4 \cdot 10^5 / (287 \cdot 450) = 3,097 \text{ kg/m}^3$  folgt:

$$\underline{\underline{b_{12} = 31,76 \text{ mm}}} \quad \text{usw.}$$

g)  $\delta_{2\max}$  :

Wenn  $\epsilon$  nach Gl.(22-5) mit  $c_r = c_{\max}$  einen Maximalwert annimmt,

dann wird auch  $\delta$  maximal werden:  $\varepsilon_{\max} = \sqrt{\frac{\alpha+1}{\alpha-1}} \cdot \frac{\pi}{2} - 0,1624 = 3,6852$  ;

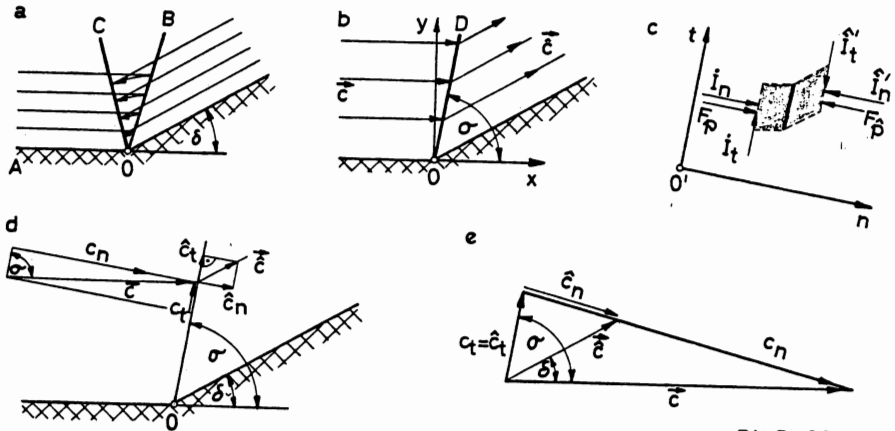
$$\alpha_2 = 0 : \quad \underline{\underline{\varepsilon_{\max} = 211,15^\circ}} \quad ; \quad \underline{\underline{\delta_{\max} = 121,15^\circ}} .$$

### Bemerkungen:

- (1) In Gl.(22-6) fällt auf, daß die Strömungsgeschwindigkeit nicht vom Radius abhängt; sie ist also längs einer Machschen Linie überall gleich. Daraus läßt sich sofort folgern, daß alle übrigen Zustandsgrößen längs der Machlinie konstant sind.
- (2) Ist die Kantenneigung größer als  $\delta_{\max}$ , dann hebt die Strömung von der Wand ab. Zwischen Wand und Strömungsrand herrscht Vakuum.
- (3) Die Stromlinien in der Expansionszone, also zwischen  $D_1$  und  $D_2$ , sind Epizykloiden, was sich aus der Zusammenfassung obiger Beziehungen nachweisen läßt.
- (4) Aus didaktischen Gründen ist die Problemlösung immer wieder auf die grundsätzlichen Zusammenhänge zurückgeführt worden.

### 3. Beispiel

Luft ( $\alpha = 1,4$ ;  $R = 287 \text{ J/(kg.K)}$  ;  $T = 300 \text{ K}$ ) strömt mit der Geschwindigkeit  $c = 1000 \text{ m/s}$  der Wand AO entlang und wird längs der Kante O



unstetig um  $\delta = 30^\circ$  abgelenkt, Bild 22-4, Pos. a.-Man ermittle:

- a) Nachweis, daß es sich um eine Überschallanströmung handelt und  $Ma$  ;
- b) physikalische Kurzbeschreibung der Eckenströmung;

- c) den Neigungswinkel der Stoßfront  $\sigma$  ;
- d) die Geschwindigkeit nach dem schiefen Verdichtungsstoß  $\hat{c}$  ;
- e) die Machzahl nach dem Verdichtungsstoß  $\hat{Ma}$  ;

Lösungen:

a) Nachweis der Überschallströmung und  $Ma$  :

Schallgeschwindigkeit nach Gl.(21-2):  $c_s = \sqrt{1,4 \cdot 287 \cdot 300}$  ;  $c_s = 347,19 \frac{m}{s}$ .

Machzahl nach Gl.(21-10) :  $Ma = 1000 / 347,19$  ;  $Ma = 2,88$  .

b) Beschreibung der Eckenströmung :

Die Überschallströmung wird durch die Kippkante O gestört; von hier aus vermutet man eine Machlinie OB, wie sie in Bild 22-4 eingetragen ist. Die Strömung wird durch den konkaven Wandverlauf zwangsweise gedreht. Also käme die Machlinie OB in die neue Lage OC. Diese sich aus dieser Überlegung ergebende Doppellage ist natürlicherweise unmöglich: Der notwendige Drehvorgang der Strömungsfront bedeutet eine Verzögerung der ankommenden Strömung: Die Natur zieht sich durch einen Verdichtungsstoß aus der Affäre, Bild 22-4, Pos. b. Die Stoßfront OD wird schiefer Verdichtungsstoß genannt. Es stellt sich der Stoßfrontwinkel  $\sigma$  ein.

c)  $\sigma$  :

Aus der Stoßfront nehme man einen Kontrollraum heraus und untersuche das Kräftegleichgewicht. Das Koordinatensystem ist um  $90^\circ - \sigma^\circ$  gedreht; die Achsen heißen t und n. Druckkräfte in t-Richtung heben sich gegenseitig auf. Die Impulsströme hierzu sind gegensinnig gleich, so daß gilt:  $\hat{I}_t - \hat{I}_t = \dot{m} \cdot c_t - \dot{m} \cdot \hat{c}_t = 0$  ;  $c_t = \hat{c}_t$  . - Ohne jetzt

das Kräftegleichgewicht in n-Richtung weiterzuverfolgen, kann man in Bild 22-4, Pos. d, die Geschwindigkeitspläne vor und nach dem schiefen Verdichtungsstoß prinzipiell andeuten. Daraus kann man aber eine wichtige Erkenntnis gewinnen: Überlagert man der ankommenden Strömung eine Art Fahrzeuggeschwindigkeit mit  $-\vec{c}_t$ , dann liegen relativ zur schiefen Stoßfront nun Verhältnisse vor, wie man sie vom geraden Verdichtungsstoß her kennt. Damit sind die Zusammenhänge beim schiefen Verdichtungsstoß klargestellt worden, wenn man c durch  $c_n$  ersetzt.

Aus der Ineinanderzeichnung der beiden Geschwindigkeitsdreiecke (Bild 22-4, Pos. e) lassen sich folgende beiden trigonometrischen Beziehungen ablesen:

$$\cot \sigma = c_t / c_n ; \quad \cot(\sigma - \delta) = \hat{c}_t / \hat{c}_n = c_t / \hat{c}_n \quad (22-9).$$

Eliminiert man  $c_t$ , dann bleibt nach [ ]:

$$\frac{\cot(\sigma - \delta)}{\cot \sigma} = c_n / \hat{c}_n \quad (22-10).$$

Entsinnt man sich der Prandtl'schen Stoßgleichung, Gl.(21-35):

$$c \cdot \hat{c} = c_{kr}^2,$$

was für den senkrechten Stoß gilt, so erhält man durch Umschreiben auf die Normalkomponenten der Geschwindigkeiten für den schiefen Verdichtungsstoß:

$$c_n \cdot \hat{c}_n = c_{kr,n}^2 \quad (22-11).$$

Neu an dieser Beziehung ist die kritische Geschwindigkeit für die Normalenverhältnisse  $c_{kr,n}$ . Sie ist nämlich mit der Totaltemperatur

$$T_n^* = T + \frac{c_n^2}{2 \cdot c_p} \quad (22-12)$$

zu berechnen. - Wenn man  $c_n = \sin \sigma \cdot c$  setzt, dann ergibt sich aus Gl.(22-10) mit Gl.(22-11):

$$\underbrace{\frac{\cot(\sigma - \delta)}{\cot \sigma}}_{y_1 = f(\sigma)} = \underbrace{\frac{c^2 \cdot \sin^2 \sigma}{2 \cdot \frac{\alpha}{\alpha+1} \cdot R \cdot (T + \frac{c^2 \cdot \sin^2 \sigma}{2 \cdot c_p})}}_{y_2 = f(\sigma)} \quad (22-13).$$

Nach Einsetzen der Daten (Zusatzangabe  $c_p = 1004,5 \text{ J/(kg.K)}$ ) ist die Näherungslösung beispielsweise mit dem schon angedeuteten Intersektionsverfahren zu ermitteln. - Ein Näherungswert liegt vor bei

$$\underline{\underline{\sigma \approx 54^\circ}}.$$

d)  $\hat{c}$ :

$$\begin{aligned} c_t &= c \cdot \cos \sigma = 1000 \cdot \cos 54^\circ ; \quad \underline{\underline{c_t = 587,79 \text{ m/s} = \hat{c}_t}} ; \\ \hat{c} &= \hat{c}_t / \cos(\sigma - \delta) = 587,79 / \cos(54-30)^\circ ; \\ &\quad \underline{\underline{\hat{c} = 643,42 \text{ m/s}}} . \end{aligned}$$

e)  $\hat{Ma}$  :

Die statische Temperatur nach dem Stoß  $\hat{T}$  kann man wegen der Gleichheit der Totaltemperaturen in Normalenrichtung aus Gl.(22-12):

$$T_n^* = \hat{T}_n^* = \hat{T} + \frac{\hat{c}_n^2}{2 \cdot c_p} \quad \text{berechnen:}$$

$$\hat{T} = 300 + \frac{(1000 \cdot \sin 54^\circ)^2}{2 \cdot 1004,5} - \frac{(587,79 / \cot(54-30)^\circ)^2}{2 \cdot 1004,5} ;$$

somit erhält man für die statische, absolute Temperatur nach dem Stoß:

$$\underline{\underline{\hat{T} = 591,7 \text{ K} .}}$$

Daraus folgt die Schallgeschwindigkeit nach dem Stoß zu:

$$\hat{c}_s = \sqrt{1,4 \cdot 287 \cdot 591,7} ; \quad \underline{\underline{\hat{c}_s = 494,51 \text{ m/s} .}}$$

Als Mach-Zahl nach dem schiefen Verdichtungsstoß stellt sich ein:

$$\hat{Ma} = \hat{c} / \hat{c}_s = 643,42 / 494,51 ;$$
$$\underline{\underline{\hat{Ma} = 1,3 .}}$$

#### Bemerkungen:

- (1) Man stellt fest, daß durch schiefe Verdichtungsstöße nicht unbedingt Unterschallgeschwindigkeit erreicht wird.-Von einem bestimmten Grenzwert an allerdings wird dieses Ziel erreicht.
- (2) Die Dissipationen in einem schiefen Verdichtungsstoß sind geringer als in einem senkrechten Verdichtungsstoß. Deshalb vermeidet man stumpfe Flugkörper und führt sie spitz und scharfkantig aus, damit möglichst nur schiefe und schwache senkrechte Verdichtungsstöße entstehen.
- (3) Arbeitet man bei zweidimensionalen Strömungen mit dem Machschen Keil, so ist bei dreidimensionalen Strömungen der Machsche Kegel von Interesse.-Eine besondere Theorie konischer Strömungen geht auf Busemann zurück.

L I T E R A T U R V E R Z E I C H N I S
---

Es kann sich hier nur um eine unvollkommene Auflistung handeln. Die Veröffentlichungen sind in vier Gruppen eingeteilt.

Vorwiegend mathematische Werke

- [1] ALBRING, W. : Angewandte Strömungslehre, 2. Auflage. Verlag Th. Steinkopf, Dresden und Leipzig, 1962.
- [2] GREINER, W., und H. STOCK : Theoretische Physik, Band 2A : Hydrodynamik. Verlag Harri Deutsch. Thun und Frankfurt a.M., 1978.
- [3] KAUFMANN, W. : Technische Hydro- und Aeromechanik, 2. Auflage. Springer, Berlin/Göttingen/Heidelberg, 1958.
- [4] MILNE-THOMSON, L.M. : Theoretical Hydrodynamics. Mac Millan, London, 1949.
- [5] OSWATITSCH, K. : Gasdynamik. Springer, Wien, 1952.
- [6] SAUER, R. : Einführung in die theoretische Gasdynamik. Springer, Berlin/Göttingen/Heidelberg, 1960.

Physikalische Werke

- [7] BAEHR, H.D. : Thermodynamik, 2. Auflage. Springer, Berlin/Heidelberg/New York, 1966.
- [8] PRANDTL, L., OSWATITSCH, K. und K. WIEGHARDT : Führer durch die Strömungslehre, 7. Auflage. Vieweg, Braunschweig, 1969. (Mit ausführlichem Literaturverzeichnis).
- [9] WALLOT, J. : Größengleichungen, Einheiten und Dimensionen. Johann Ambrosius Barth-Verlag, Leipzig, 1953.

Technische Werke

- [10] BOHL, W. : Technische Strömungslehre, 1. Auflage. Vogel, Würzburg, 1971.
- [11] DUBBEL, Bd. I : Taschenbuch für den Maschinenbau, 13. Auflage. Springer, Berlin/Heidelberg/New York, 1970.
- [12] ECK, B. : Technische Strömungslehre, 7. Auflage. Springer, Berlin/Heidelberg/New York, 1966.
- [13] JOGWICH, A. : Strömungslehre. Girardet, Essen, 1975.
- [14] NAUE, G. : Technische Strömungsmechanik. VEB Deutscher Verlag für Grundstoffindustrie, Leipzig, 1975.
- [15] RICHTER, H. : Rohrhydraulik, 5. Auflage. Springer, Berlin/Heidelberg/New York, 1971.

- [16] RÖDEL, H. : Hydromechanik, 7. Auflage. Verlag Carl Hanser, München/Wien, 1974.
- [17] TRUCKENBRODT, E. : Strömungsmechanik. Springer, Berlin/Heidelberg/New York, 1968.

Pädagogische Werke, Beispiel- und Aufgabensammlungen

- [18] BECKER, E. und E. PILTZ : Übungen zur Technischen Strömungslehre. Teubner, Stuttgart, 1971.
- [19] BÖSWIRTH, L. und O. SCHÜLLER : Beispiele und Aufgaben zur Technischen Strömungslehre. Vieweg, Braunschweig/Wiesbaden, 1978.
- [20] FEDERHOFER, K. : Aufgaben aus der Hydromechanik. Springer, Wien, 1954.
- [21] GILES, R. V. : Strömungslehre und Hydraulik (Theorie und Anwendung). Mc Graw-Hill, Düsseldorf, 1976.
- [22] KALIDE, W. : Einführung in die Technische Strömungslehre. Verlag Carl Hanser, München, 1965.
- [23] KALIDE, W. : Aufgabensammlung zur Technischen Strömungslehre. Verlag Carl Hanser, München, 1967.
- [24] OSWATITSCH, K. und R. SCHWARZENBERGER : Übungen zur Gasdynamik. Springer, Berlin 1960.
- [25] RITTER, R. : Vorlesungsmanuskript der Technischen Strömungslehre an der Fachhochschule des Saarlandes, 1978.
- [26] SCHRIEDER, E. : Mechanik-Aufgaben, Bd. V, Strömungslehre (Lehr- und Aufgabenbuch). Schroedel, Hannover, 1961.
- [27] TASCA, D. : Cours de Mécanique des Fluides. Univ. d'Alger, Ed. ENPA, Algier, 1973.
- [28] TASCA, D. : Mesures en mécanique des fluides, cycle de conférences pour les doctorands. Univ. d'Alger, Ed. ENPA, Algier, 1973.
- [29] TASCA, D. und I. BACANU : Aufgabensammlung der technischen Hydraulik (rumänisch), 2. Auflage. Technischer Verlag, Bukarest, 1966.

## A

Abbildungsebene 300,314  
 Abbildungsfunktion 300,314  
 Abflußbedingung 316  
 Abfluß  
 - ,schießender 289  
 - ,strömender 289  
 Ablassheber 260  
 Ablesegenauigkeit 64  
 Ablösungspunkt 330  
 Absinkkraft 102  
 Absolutbeschleunigung 43,130,132  
 Absolutdruck 52,53,71,249  
 Absolutgeschwindigkeit 361ff  
 Absolutsystem 130,131  
 Absorptionskoeffizient 16  
 Absperrschieber 317  
 Adhäsion 19,24  
 Adiabate 42,380,381ff,404,409ff  
 Aerosol 2  
 Aerostatik 44,166ff  
 Aggregatzustand 1  
 Ähnlichkeit  
 - ,geometrische 320,355ff  
 - ,mechanische 320,355ff  
 Ähnlichkeitsbedingungen 321  
 Ähnlichkeitsgesetz  
 - , nach Rateau 369  
 Akzelerometer 146  
 Anergie 7,8,372,378  
 Angriffspunkt  
 - ,einer Druckkraft 72  
 Anstellwinkel 354  
 Antriebsdrehmoment 365  
 Antriebsleistung  
 - ,massenspezifische 366  
 - ,mechanische 365  
 Äquatorebene 361  
 Äquipotentialfläche 50,51,137  
 Aräometer 104,111  
 Arbeit 5,232,372  
 - ,des Druckes 373,374,407  
 - ,der Druckkraft 40,372ff  
 - ,hydraulische 359  
 - ,kalorische 375  
 - ,mechanische 8,372,406  
 - ,technische 372,374  
 - ,virtuelle 48  
 Archimedes  
 - ,Hauptsatz von 99,101,109ff  
 Atmosphärendruck 51,52  
 Aufdruckkraft 96  
 Aufsteigkraft 102,104  
 Auftrieb  
 - ,aero-und hydrostatischer 99,101,111,118ff

- ,dynamischer nach Kutta-Joukowski 295,297,312,354  
 Auftriebsbeiwert 355  
 Ausdehnbarkeit 35,370,371  
 Ausdehnungskoeffizient  
 - ,linearer 33,34  
 - ,Volumen 32  
 Ausflußfunktion 390  
 Ausflußgeschwindigkeit 233,235  
 Ausgleichsvorgang 378  
 Austauschgröße  
 - ,thermodynamische 372,379  
 Austrittsdiffusor 251  
 Avogadro'sche Zahl 3  
 Axialgeschwindigkeit 361  
 Axiallager 109  
 Axialmaschine 362

## B

Badewannenwirbel 256  
 Ballon 168,176,373  
 Barometer 54  
 Bazin-Formel 347  
 Bernoulli  
 - ,Formel von 227ff,338ff  
 - ,für Relativströmung 365ff  
 - ,mit Dissipationen 337ff  
 Beschleunigung 6,43,118,130,189  
 - ,Fahrzeug- 131  
 - ,gleichmäßige 118,191  
 - ,konvektive 190,267  
 - ,Lokal- 190,267  
 - ,Normal- 133,191  
 - ,Relativ- 134  
 - ,substantielle 190,331  
 - ,Tangential- 132,191  
 - ,Total- 190,331  
 - ,ungleichmäßige 191  
 Beschleunigungsarbeit 232  
 Beschleunigungsmesser 146  
 Bewegung  
 - ,Änderung der 42  
 - ,ebene 199  
 - ,Fahrzeug- 131  
 - ,gleichförmige 130,191  
 - ,gleichmäßig beschl. 118  
 - ,nach Couette 324  
 - ,nach Hagen-Poiseuille 326  
 - ,ungleichförmige 191  
 Bewegungsgleichungen  
 - ,allgemeine 328  
 - ,der vollkommenen Fluide 199,2  
 - ,im Grenschichtbereich 330  
 - ,reller Fluide 324  
 - ,von Euler 227  
 Bidone 289  
 Bingham-Phase 20



- Blasius 341  
 Bodendruckkraft. 75  
 Borda-Carnot 286  
 Boyle-Mariotte 38  
 Bramah 59  
 Brownsche Molekularbew. 335  
 Buckingham  
 - ,  $\pi$ -Theorem von 322,338  
 Bunsen  
 - , Formel von 236,384
- C
- Camerer 370  
 Carnotscher Stoßverlust 286,342  
 Cauchy-Riemannsche Dgl. 299  
 Charakteristik  
 - , einer Strömung 234,235  
 Charlesches Gesetz 37  
 Clapeyron 37  
 Clausius 377,378  
 Colebrook 341  
 Coriolis  
 - , 1. Satz von 132,195,364  
 - , 2. Satz von 132  
 Coriolisbeschleunigung 132,134  
 Corioliskraft 133,156  
 Couette-Strömung 324,335  
 Coulombsches Reibungsges. 78,140  
 Crocco-Geschwindigkeit 412,418
- D
- d'Alembertsche Hilfskraft 119,  
 133  
 d'Alembertsches Prinzip 118,  
 127,191,226,267,329  
 Dalton  
 - , Gesetz von 168  
 Dampf 2  
 Dampfdruckkurve 15,16,55  
 Darcy 339  
 Deformation 42  
 Dehnung 9  
 Deviationsmoment 73  
 Diagonalmaschinen 362  
 Dichte 4,6,13,49,58,110,371  
 Differentialgleichungen der  
 Stromlinien 183  
 Differentialmanometer 68  
 Differenzdruck 56  
 Diffusion 21,36,167,370  
 Diffusor 251,288,338,413  
 Dimension 321,372  
 Dimensionsanalyse 321,338,368  
 Dispersion 2  
 Dissipation 234,288,337  
 - , lineare 338,342,350  
 - , lokale 338,341,350  
 Divergenz 197,198  
 Drall 269,270,366  
 Drehbewegung von Fluiden 5  
 Drehmoment 5,365  
 Drehzahlmesser 151  
 Drehzahl, spezifische 370  
 Druck 6,8,44,370  
 - , Absolut- 53,328,347  
 - , dynamischer 250,415  
 - , Feld des 99  
 - , Gesamt- 249  
 - , Geschwindigkeits- 249  
 - , Gradient des 46  
 - , kinetischer 249,415  
 - , kritischer 15,16,389  
 - , skalare Natur des 44  
 - , Zusatz- 52  
 Druckerbeit 373,374  
 Druckenergie 7,38,50,229,372ff  
 Druckformel  
 - , für Flüssigkeiten 49,51  
 - , für Gase 167  
 Druckkennzahl 369  
 Druckkraft 6,35,44,70,71,83,87,  
 167,180,226,337,371  
 - , als Stützreaktion 43,371  
 - , auf gekrümmte offene Flächen  
 83  
 - , auf geschlossene Flächen 99  
 - , Angriffspunkt der 73ff,371  
 Drucklinie 345  
 Druckluftbehälter  
 - , Ausströmen aus 384  
 Druckmittelpunkt 73ff,87  
 Druckstoß 317ff  
 Druckunterschied 9ff  
 Druckverlusthöhe 345  
 Druckverstärker  
 Druckwelle 317  
 Druckwiderstand 334,354  
 Dupin  
 - , Satz von 103,107  
 Durchmesser  
 - , hydraulischer 346  
 Düse 338  
 Düsenströmung 275  
 Dyeder 304  
 Dynamik 180ff  
 dynamischer Auftrieb 297  
 dynamisches Gleichgewicht 329  
 dynamisches Grundgesetz 6  
 - , für Relativbewegung 133ff  
 - , für Rotation 126,269  
 - , für Translation 118,130,  
 131,265
- E
- Ebene Fluidbewegung 199,416  
 Eckenströmung 205,226,302  
 Einheitsvektor 70,133  
 Einschnürungsfaktor 235  
 Einstein 196  
 Elastizität von Gasen 371

- Elastizitätsmodul 9  
 Emulsion 2  
 Energie 5,7,8,372,375  
 - ,Druck- 229  
 - ,hydraulische 359  
 - ,innere 39,372ff  
 - ,kalorische 375,378  
 - ,kinetische 120,229  
 - ,mechanische 375  
 - ,potentielle 50,120  
 - ,thermische 375  
 Energieerhaltungssatz 40,50ff  
 Energieerscheinungsform 372ff  
 Energieformel 229,232,337,359  
 - ,für Pumpenfall 360,404ff  
 - ,für Turbinenfall 404ff  
 engster Querschnitt 390ff  
 Enthalpie 39,372,373ff  
 Entropie 376,377,379ff  
 Entropieerzeugung 379  
 Entropiestrom 379  
 Erdbeschleunigung 7,13,50,371  
 Ersatzkörper  
 - ,ruhender 119,127,134,144,208  
 Erstarrungsprinzip 272  
 Erster Hauptsatz der Thermodynamik 40,376,378ff  
 Euler 182,227,265,365,367,368,409  
 Exergie 7,8,232,372,378  
 extensive Größe 5
- F**
- Fahrradbewegung 134,195  
 Fahrzeugbeschleunigung 131  
 Fahrzeugbewegung 130,131,326  
 Fahrzeugkoordinaten 131  
 Faktor, integrierender 376,378  
 Fall, freier 235  
 Fallschirm 358  
 Feldbeschleunigung 42  
 Feldkraft 42  
 Fläche, geschlossene 99  
 Flächenfunktion 70  
 Flächenkraft 42,43  
 Flächenreibungszahl 347  
 Flächenschwerpunkt 72  
 Flächenträgheitsmoment 73,107,124  
 Flächenwiderstand 334  
 Flettner 313  
 Fliehkraft 13  
 Fließkunde 1  
 Fließverhalten 19,20  
 Flugzeughangar 310  
 Fluid 1,3,179  
 - ,allgemeines 20  
 - ,inkompressibles 195  
 - ,kompressibles 195  
 - ,natürliches 180,320,354  
 - ,Newtonsches 329
- ,reelles 43,180,222,319,320ff  
 - ,viskoses 354  
 - ,vollkommenes 43,151,179,180,226,320  
 Fluidbereich 44  
 Fluiddynamik 179  
 fluiddynamischer Auf- oder Quertrieb 354  
 Fluidgebiet 44,179,181,298,336  
 Fluidität 4,8,211,270  
 Fluidmechanik 1  
 Fluidstatik 44,179  
 Flußsohle 346  
 Flußströmung 346  
 Formänderungsarbeit 317  
 Formwiderstand 334  
 Fourier 321  
 Francis-Turbine 362  
 Freie Oberfläche 21  
 Freistrahle 235,275  
 Freistrahlturbine 281  
 Froude 323  
 Funktion  
 - ,analytische 298  
 - ,komplexe 299,300
- G**
- Galilei 235  
 Gas, physik. Eigenschaften 35,116  
 - ,thermodynam. Verhalten 371ff  
 - ,vollkommenes 38,180,370,372  
 Gasdynamik 370  
 Gasgehalt einer Flüssigkeit 14  
 Gaskonstante, individuelle 38,168  
 Gaußscher Integralsatz 46,47  
 Gay-Lussacsches Gesetz 37  
 Gasgleichung, allgemeine 38,168  
 Gesamtdruck 249  
 Gesamtenergie in einer Stromlinie 229,232  
 Gesamtenergiehöhe 345  
 Gesamtwiderstand 334,354  
 Geschwindigkeit  
 - ,absolute 7,42,130,179,181,198  
 - ,Fahrzeug- 131  
 - ,induzierte 219,312  
 - ,in Tangentialebene 361,362  
 - ,komplexe 299  
 - ,maximale 324,412  
 - ,mittlere 324  
 Geschwindigkeitsdreieck 362  
 Geschwindigkeitsdruck 249  
 Geschwindigkeitsfeld 218  
 Geschwindigkeitsgradient 19,320  
 Geschwindigkeitshöhe 247,345  
 Geschwindigkeitsverlustbeiwert 396  
 Geschwindigkeitsverteilung 324ff  
 Gewichtskraft 7,13,35  
 Gleichdruckgebiet 87

Gleichgewicht	hydrostatisches Paradoxon 76
- ,dynamisches 226,329ff	Hysterese 9
- ,indifferentes 103,107,122	I
- ,Kräfte- 22,44ff	ideales Fluid 180
- ,labiles 103,107	Imaginärteil von kompl.Fkt. 299
- ,Momenten- 44	Impuls 265
- ,relatives 130,133,136,147, 151,164	Impulssätze
- ,stabiles 103,107	- ,für Kräfte 265,409ff
Gleichgewichtsbedingungen 44,115	- ,für Momente 265,409ff
Gleitschütz 78	Impulsstrom 266,347ff
Gleitfluggeschwindigkeit 357	individuelle Gaskonstante 38
Globalkennzahl 323,369	induzierte Geschwindigkeit 219, 221,312,354
v.Guericke 92	Inertialsystem 130
Gradientvektor des Druckes 46	Inkompressibilität 234
Gradierung einer Flächenfunktion 70,83	innere Energie 39,372ff
Gravitationskonstante 22	instationäre Strömung 184
Gravitationskraft 13,372	Integrationsgebiet 70
Grenzschicht 320,330,354	integrierender Faktor 376,378
- ,laminare 336	intensive Größe 5
- ,turbulente 336	internationales Maßsystem 321
Grenzschichtdicke 336	Isentrope 381,390,407,420,380
Grunddimension 321	Isobare 37,39,380,404
H	Isochore 39,380,381
Haarröhrchen 27	Isotherme 37,171,380,381,404
Haftbedingung 320,324	J
Hagen-Poiseuille 326,335,341	Joukowsky 314,316
Hakensonde 246	Jurin 29
Halbaxialmaschinen 362	K
Hangabtrieb 347	kalorische Zustandsgröße 372
harmonische Schwingung 259	kalorische Energie 375,378
Hauptsatz der Thermodynamik	Kaltdampfleitung 402
- ,erster 40,376,378	Kanalströmung 208,348
- ,zweiter 377,378	Kant-Laplace'sche Hypothese 163
Heißdampfleitung 402	Kapillardepresion 30
Heißgasleitung 402	Kapillarität 22,24,27,372
Heißluftturbine 406	Kapillarkonstante 27,32
Hochdruckhydraulik 360	Kapillarröhrchen 27
Hodograf 362,364,420	Kapillarspannung 24
Höhenformel	Kapillarrowellen 26
- ,barometrische 174	Kaplanturbine 362
- ,thermometrische 174	v.Kármán 335,341,358
Höhenlage 7	Kavitation 14ff,251ff
Hohlraumbildung 14ff	Kavitationskennlinie 15
Homogenitätsprinzip 321	Keller 370
Hookesches Gesetz 9	Kennzahl,dimensionslose 322,335
de l'Hospital 254	- ,Froudsche 323
h,s-Diagramm 374ff,406	- ,Machsche 323
Hugoniot 386,387,412	- ,Reynoldssche 323
hydraulische Presse 60	- ,Webersche 323
hydraulische Leistung 360,366	Kernwirbelbewegung 151,155,180, 258,354
hydraulischer Durchmesser 346	Kesselformel 89
hydraulischer Radius 347	Kinematik 180,360
hydraulischer Widerstand 352	Kinetik 180,226
Hydrodynamik 180,384	kinetische Energie 7,229,247,317
hydrodynamisches Spektrum 184	
Hydrostatik 44	

kinetische Temperatur 384  
kinetischer Druck 415  
Kippmoment 79,105  
Kirchhoffsche Knotenpunktsregel 194,353  
Klassifikation der Kräfte 42,136  
Komplementärbeschleunigung 132  
Kondensation 33,168  
Kohäsionsdruck 23  
Kohäsionskraft 4,22  
komplexes Potential 299ff  
Kompressibilität 8,36,167,370ff  
kompressibles Fluid 195,234  
Kompressionsmodul 9  
konforme Abbildung 300,313ff  
König, Satz von 212  
Kontinuitätsbedingung 193ff  
Kontinuumsmechanik 1,3  
Kontrollebene 193  
Kontrollraum 6,43,74,193,265, 268,271,329,371ff  
konvektive Beschleunigung 190,267  
Koordinaten  
- ,kartesische 361  
- ,Kugel- 361  
- ,natürliche 132,191  
- ,Zylinder- 361  
Kraft 3  
- ,äußere 42,136,328  
- ,Druck- 42,136,328  
- ,Feld- 42,136,328  
- ,Flächen- 42,136,328  
- ,Linien- 42,136  
- ,Massen- 43  
- ,Tangential- 42,136,328  
Kräftepaar 104  
Krafthaus 8  
Krellsches Mikromanometer 63  
kritischer Druck 15,16,389ff  
krit. Geschwindigkeit 389ff  
krit. Querschnitt 389ff  
krit. Reynoldszahl 335ff  
krit. Zustand 389ff  
Krümmerstömung 343  
Krümmungsdruck 23,24  
Krümmungsmittelpunkt 93  
Krümmungsradius 133,191  
Kugel, Gleichung der 83  
Kugeloktant 23  
Kutta-Joukowski 295,312,336,354

## L

Lackschicht 358  
Lagrange 182  
Laminarströmung 334,335ff  
laminare Grenzschicht 336  
Längenausdehnung 34  
Längsstabilität 107,126  
Laplace-Operator 330  
Lavaldüse 386,391,396ff,413

Leichtgewichtigkeit 35,167,370  
Leistung 5  
- ,hydraulische 360,366  
Leistungskennzahl 368  
Lieferwagen, Widerstand eines 356  
Lieferzahl 369  
Linienkraft 42  
logarithmische Spirale 309  
Lokalbeschleunigung 190,267  
Lorentz 196  
Ludion 178

## M

Mach 323,416,417ff  
Magdeburger Halbkugeln 92  
Magneto-Hydrodynamik 3  
Magnuseffekt 313  
Manometer 54,68  
Mariottesches Gefäß 245  
Masse 6,8,11,12,33ff,118,133, 193,370,416  
Massenkraft 3,13,42,46,48,167, 226,328  
Massenmittelpunkt 22,133  
Maßeinheit 5,321  
massenspezifische Kraft 136  
Massenstrom  
- ,absoluter 194ff  
- ,Fahrzeug- 194  
- ,relativer 194  
Massenstromdichte 382,410ff  
Massenträgheitskraft 119,267  
Maßzahl 321  
mechanische Ähnlichkeit 320  
mechanische Arbeit 372  
Meereshöhe 8  
Meniskus 23  
Meridianebene 151,361  
Meridiangeschwindigkeit 361ff  
Meßbereichserweiterung eines Ma-  
nometers 68  
Meßempfindlichkeit 63,67  
metazentrische Fläche 107  
metazentrische Linie 107  
Metazentrum 103ff,123  
Michaud 318  
Mikromanometer 63,66  
Mischbarkeit 21  
Mischungsverluste 343  
Modellfluid 180  
Modelluntersuchung 320  
Modellmaschine 368  
Mol 3  
Molvolumen 3  
Moment  
- ,einer Kraft 5,44,269  
- ,einer Fläche 72  
Momentensatz  
- ,von Euler 269  
- ,von Varignon 72

N

Nabla-Operator 190  
Nachexpansion 395  
Naßdampf 168  
natürliches Fluid 180  
natürliche Koordinaten 132,191  
Navier-Stokes, Gl. von 329,330  
Newton, dynamisches Grundgesetz  
von 6,118,196,265,326ff,354  
Newton'sches Fluid 19,20,329  
Nickbewegung 107,126  
Nikuradse 341  
Niveaufläche 50  
Niveaulinie 345  
Normalbeschleunigung 191  
Normalebene 100  
Normalenvektor 43,70,74,195,329  
Normalgeschwindigkeit 196  
Normalkraft 45  
Normalmaschine 368  
Normalspannung 9  
Normzustand 3  
Nullauftrieb 316

O

Oberfläche, freie 21,337  
Oberflächenkrümmung 24  
Oberflächenrauigkeit 336  
Oberflächenspannung 22,321  
Ohm'sches Gesetz der Hydraulik 351  
Orientierung der Druckkraft 72  
Ortsfunktion, skalare 46,298  
Ortshöhe 345  
Ortsvektor 47,48  
Ostwald-Phase 21

P

Paradoxon, hydrostatisches 76  
Parallelebene 361  
Parallelschaltung von Rohrlei-  
tungen 352  
Parallelströmung 336,354,361ff  
Partialdruck 168  
Pelton-turbine 280,362  
Phase 1,2  
- ,Bingham- 20  
- ,dilatante 20  
- ,Ostwald- 21  
- ,pseudo-plastische 20  
- ,strukturviskose 20  
Phasor 128  
physikalische Größe 5,36,320,321  
piezometrische Linie 345  
Pipeline 400  
Pitot-Rohr 246,413  
Plasma 2,196  
Plattenwiderstandsbeiwert 358

plötzliche Kanalerweiterung  
286,342  
Poiseuille 326  
Polytrope 41,380,381  
Polytropenexponent 380,407,409  
Ponton 112  
Potential, komplexes 299  
Potentialbereich 330ff  
Potentialbewegung 218,220,330  
mit Zirkulation 219,220ff,354  
Potentialfunktion  
- ,für Erdschwerefeld 50,51  
- ,für Geschwindigkeit 218,298  
- ,für Massenkraft 46,48,136,167  
Potentialwirbelbewegung 180,  
218,220,308,313  
potentielle Energie der Lage 7,  
136,208,229,365  
Prallplatte 275,276,277  
Prandtl, Ludwig 248,320,341,411  
Grenzschicht 330,335ff  
Presse, hydraulische 59  
Profil 314,354  
Profilhinterkante 315  
Prozeß  
- ,dissipativer 378  
- ,irreversibler 377  
- ,natürlicher 378  
- ,reversibler 377  
Prozeßweg 371  
Pumpenlaufrad, radiales 365  
p,V-Diagramm 374,406  
Pythagoras 86

Q

Quecksilbersäule 4,55  
Quellfaden 306  
Querkraft 336  
Querschnittsänderung, plötzl. 338  
Querstabilität 107,126  
Quertrieb, fluiddynamischer 350

R

Radararbeit, spezifische 359ff  
Radialmaschinen 362  
Radialpumpe 359  
Radius, hydraulischer 347  
Rakete 415  
Rankine-Hugoniot-Kurve 409  
Rankine-Wirbel 257  
Rateau, Ähnlichkeitsgesetz 369  
Rauheit einer Wand 337  
- ,relative 337,339  
Raum, isobarer 74  
Raumfläche 100,181  
reales Fluid 180,222,319

mplexen Fkt.299 en 356	Schwerepotential 167 Schwerkraft 13,53,72ff,371ff Schwimmachse 103ff,122 Schwimmfläche 107,108,125 Schwimmkörper 125 Schwimmregler 117 Schwimmstabilität 121,123 Schwimmzustand 99,101 Schwingung 102,120,126,259 Schwingungsdauer 118,126 Seitenwanddruckkraft 71,79 Sektorwehr 93 Senkwaage 104 Serienmanometer 68 Serienschaltung von Rohrlei- tungen 350 Sersche Scheibe 247 Sieb 338 singulärer Punkt 179,306,315 Siphon 260 skalar Ortsfunktion 46 Sohle, Fluß- oder Kanal- 347 Sol 1 Spannung, elastische 9 Spantquerschnitt 105,355,356 spezifische Anergie 7,8 - ,Drehzahl 370 - ,Druckenergie 7 - ,Exergie 7,8 - ,Größe 5,6 - ,kinetische Energie 7 - ,Massenkraft 6,7 - ,potentielle Energie 7 - ,Wärme 37,39,373,375 spezifisches Volumen 6,39 Spiegelgefälle, relatives 347 Sportflugzeug 357 Sprühwagen 264 Spurzapfenlager 61 Stabilität des Schwimmzustand 103,121 Stabilitätskoeffizient 107,1 Stalagmometrie 24,32 Stammebene 300,314 Stampfbewegung 107,126 Standmoment 79 stationäre Strömung 184,193, 234,324 stat.Moment der Fläche 72,85 Staudamm 79 Staudruck 249 Staupunkt 179,180,247ff,303, Staurohr, Prandtl'sches 248 Steinerscher Satz 73 Stetigkeit 1 Stevinus-Dreieck 25 Stokes 329 - ,Integralformel von 216 - ,Stromfunktion von 199 Stoßadiabate 412 Strahlablenker 284ff Strombahn 181ff
37,378,406,413 234,377 ,151,319,334ff 8,378 on Rohrleitungen	
130ff r 133 gung 132ff ewicht 133 gkeit 131,195,  158 ,339 ohrstr. 335,346 0	
kkraft 72,74 ,plötzliche 342	
Gleichung 40	
338,343 350,353 338,346,350ff ,382,413	
,126 d der Erde 165 ndigkeit 214ff 6	
144ff	
zel 385 39	
keit 8,9,36,175, 82,391,417ff ,411 91	
eit 20 360 ß 289	
318 107,108,126 70 356	
200,376 20,21	

strömender Abfluß 289  
 Stromfaden 184, ff, 193ff  
 Stromfläche 184ff  
 Stromlinie 183ff, 200, 214, 300ff, 361  
 - , Dgl. der 183, 199, 228  
 Stromlinienbild 184  
 Stromröhre 185, 193, 196  
 Strömung, ebene, wirbelfreie 298  
 Strömungsmaschine 13, 359  
 Strömungsverlust 397, 406, 412  
 Stützenarbeit, spez. 359, 366  
 Stützkraft 81  
 Stützreaktion der Druckkraft 43, 44, 45, 227  
 substantielle Beschleunigung  
 Suspensoid 2  
 System  
 - , adiabates 379  
 - , einfaches 372  
 - , Gesamt- 379  
 - , geschlossenes 371, 373  
 - , offenes 372  
 - , Teil- 379

T

Tangentialbeschleunigung 191  
 Tangentialgeschwindigkeit 361  
 Tangentialkomponente der Geschwindigkeit 196  
 Tangentialkraft 19, 43, 180, 319, 324ff  
 Tangentialmaschinen 362  
 Tangentialspannung 19, 324  
 Tantalgefäß 260  
 Taucherglocke 171  
 Taylor 335  
 technische Arbeit 374  
 Temperatur, kinetische 32, 36ff, 376, 384  
 Temperaturgradient der Atmosphäre 175  
 thermische Energie 373  
 thermische Turbomaschinen 372  
 thermische Zustandsgröße 372  
 Thermodynamik 371  
 thermodyn. Verh. d. Gase 371  
 Thixotropie 20  
 Tiefgang 113  
 Tollmien 335  
 Tornado 258  
 Torricelli, Satz von 103  
 Torricelli-Barometer 54  
 Torricellische Leere 55  
 Totalbeschleunigung 190  
 Totaldruck 249, 385, 413  
 Totalenergie längs Stromlinie 229, 232  
 Totalenthalpie 397  
 Totaltemperatur 387  
 Totalzustandsgrößen 384

Totwasser 334, 354  
 Tragflügel 296, 314, 354  
 Trägheitsgesetz 265  
 Trägheitskraft 42, 156, 226, 267, 328  
 Transformationsgröße, thermodynamische 372, 375  
 Translation 6, 7  
 Trennebene 21, 334  
 Tropfen 23  
 Troposphäre 173  
 T, s-Diagramm 374ff, 406, 413  
 Turbinenarbeit, innere 404, 407  
 Turbomaschinen 233, 372  
 Turbulenz 334ff

## U

Überdruck 68, 71  
 Überdruckhöhe 345  
 Überdruckkraft 71ff, 99ff  
 Überdruckwelle 317  
 Überfallwehr 240  
 Überschalldiffusor 368, 389  
 Überschalldüse 368, 391ff  
 Überschallströmung 389, 391, 416f.  
 Übertragbarkeit 320, 323  
 Umfangsgeschwindigkeit 211  
 Umschlagspunkt 336  
 Unterdruckwelle 318  
 Unterschalldüse 388  
 Unterschallströmung 388, 391  
 Unterschicht, laminare 336  
 Unterwassermotorpumpe 362  
 U-Rohr-Manometer 66  
 - , in Serienschaltung 68

## V

Vakuum 8, 375  
 Vakuummeter 54  
 Varignon, Momentensatz von 72  
 Ventil 338  
 Ventilkugel 97  
 Venturi-Rohr 250, 253  
 Verdampfungswärme 33  
 Verdichtungsstoß  
 - , senkrechter 409ff  
 - , schiefer 425ff  
 Verdrängungsmittelpunkt 102ff  
 Verdünnungswelle 421  
 Verlust, Erhitzungs- 413  
 Verlustbeiwert  
 - , für Carnotschen Stoßverl. 342  
 - , für lineare Dissipation 338ff  
 - , für lokale Dissipation 341  
 - , für plötzliche Richtungsänderung 342  
 Verschiebearbeit 40  
 Verschiebungsmoment 86  
 Verwölbungsmoment 86  
 Verzögerung 134

t 232	Wirbelbewegung 211,334
69	Wirbelfaden 217,218
d 180	Wirbelfläche 214
38,372	Wirbelfluxus 215
ches 39	Wirbelintensität 215ff,324,354
urbeit 373	Wirbelkern 218ff,336ff,354
32	Wirbellinie 214
itsmodul 9	Wirbelring 328
ff,324	Wirbelrohr 215ff,326,328
2,264	Wirbelschicht 215,354
2,264	Wirbelstrom 215
2,264	Wirbelvektor 211ff,230,298
	Z
lt 235,391	Zähigkeit 5,19,319ff,370
ler Thermody-	Zentrifugalmoment 73
	Zentripetalbeschleunigung 133
	Zeppelin 168
ulischer 60	Zirkulation 215,294,297,324,
Druckmessung 332	336,354,355,365,366
219ff,354	- ,Potentialbewegung mit 354
2ff	Zusatzdruck 52
9,373,375	Zustandsänderung 36,167,371,380
9,378	- ,adiabate 42,380ff,400
en der Fluide	- ,isobare 37,380
	- ,isochore 37,380
	- ,isotherme 37,171,380,402
	- ,polytrope 41,408ff
	- ,thermische 38ff
399,407	Zustandsgleichung 38,372
	Zustandsgröße 1,36,371,372
288	- ,abgeleitete 372
	- ,direkt meßbare 372
88	- ,kalorische 39,377
3	- ,kritische 389,410,413
283	- ,statische 384
3	- ,thermische 38
	- ,totale 384,385
518	Zweigmassenstrom 194
57	zweiter Hauptsatz der Thermo-
ftwerk 8	dynamik 377ff
102	Zylinder,Umströmung eines 300,
11 323	310,333
esetz 265	
at 355ff	
355	
119,352ff	
2	
68	
417	
gkeit,mittlere	
54	
2,337	
5	
50,354	





